

**ANATOLIE HRISTEV
VASILE FĂLIE
DUMITRU MANDA**

FIZICĂ

IX

MINISTERUL EDUCAȚIEI ȘI ÎNVĂȚĂMINTULUI

ANATOLIE HRISTEV

VASILE FĂLIE

DUMITRU MANDA



Fizică

Manual pentru clasa a IX-a



EDITURA DIDACTICĂ ȘI PEDAGOGICĂ
BUCUREȘTI

CUPRINS

CAP. 1. MIȘCAREA ȘI REPAUSUL

1.1. Sistem de referință	7
1.2. Punct material	8
1.3. Traectorie. Coordonate. Legea mișcării	9
1.4. Vector de poziție	11
1.5. Deplasare	12
1.6. Mărimi vectoriale	14
1.7. Viteza	18
1.8. Accelerația	23
1.9. Clasificarea mișcărilor punctului material	26
1.10. Relativitatea mișcării mecanice	27
1.11. Compunerea mișcărilor	28
1.12. Reprezentarea grafică a legii mișcării	29
Probleme rezolvate	31
<i>Întrebări. Exerciții. Probleme</i>	32

CAP. 2. PRINCIPIILE MECANICII NEWTONIENE

2.1. Principiul inerției	34
2.2. Sisteme de referință inerțiale	35
2.3. Principiul fundamental al dinamicii	38
2.4. Principiul acțiunilor reciproce	44
2.5. Principiul suprapunerii forțelor	48
2.6. Principiul relativității în mecanica newtoniană	51
Probleme rezolvate	52
<i>Întrebări. Exerciții. Probleme</i>	57

CAP. 3. MIȘCAREA PUNCTULUI MATERIAL SUB ACȚIUNEA UNOR TIPURI DE FORȚE

3.1. Mișcarea rectilinie uniformă	60
Probleme rezolvate	62
<i>Întrebări. Exerciții. Probleme</i>	62

3.2. Mișcarea rectilinie uniform variată.....	64
Probleme rezolvate	69
<i>Întrebări. Exerciții. Probleme</i>	71
3.3. Mișcarea corpurilor sub acțiunea greutății.....	72
Probleme rezolvate	77
<i>Întrebări. Exerciții. Probleme</i>	80
3.4. Forțele de frecare.....	83
Probleme rezolvate	92
<i>Întrebări. Exerciții. Probleme</i>	94
3.5. Mișcarea circulară uniformă	96
Problemă rezolvată	105
<i>Întrebări. Exerciții. Probleme</i>	106
3.6. Forțe elastice	108
Probleme rezolvate	111
<i>Întrebări. Exerciții. Probleme</i>	112
3.7. Legea atracției universale a lui Newton. Câmpul gravitațional.....	113
3.8. Masa gravifică. Relația dintre masa gravifică și masa inerțială. Sateliți artificiali.....	119
Problemă rezolvată	122
<i>Întrebări. Exerciții. Probleme</i>	122

CAP. 4. ENERGIA MECANICĂ A PUNCTULUI MATERIAL ȘI A SISTEMULUI DE PUNCTE MATERIALE

4.1. Lucrul mecanic efectuat la mișcarea punctului material într-un câmp de forțe	124
4.2. Energia cinetică. Teorema variației energiei cinetice a punctului material	135
4.3. Energia potențială a punctului material în câmp conservativ de forțe. Energia mecanică a punctului material în câmp conservativ de forțe	139
4.4. Conservarea energiei mecanice	144
4.5.* Sisteme de puncte materiale. Forțe interne și forțe externe	145
Probleme rezolvate	147
<i>Întrebări. Exerciții. Probleme</i>	148

CAP. 5. IMPULSUL MECANIC

5.1. Teorema impulsului pentru punctul material. Conservarea impulsului	153
5.2. Teorema impulsului și legea conservării impulsului pentru un sistem de două particule	154
5.3.* Teorema impulsului și legea conservării impulsului pentru un sistem oarecare de particule	155
5.4. Centrul de masă al unui sistem de două particule.....	156

5.5.* Centrul de masă al unui sistem oarecare de particule	158
5.6. Ciocniri	159
Probleme rezolvate	167
<i>Întrebări. Exerciții. Probleme</i>	168

CAP. 6. MOMENTUL CINETIC

6.1. Momentul forței. Momentul cinetic al punctului material	172
6.2. Teorema momentului cinetic pentru punctul material. Conservarea momentului cinetic	177
6.3.* Teorema momentului cinetic total al unui sistem mecanic. Conservarea momentului cinetic total	178
<i>Întrebări. Exerciții. Probleme</i>	179

CAP. 7*. CINEMATICA ȘI DINAMICA RIGIDULUI

7.1. Noțiunea de rigid	181
7.2. Viteza și accelerația unghiulară	181
7.3. Energia cinetică de rotație. Momentul de inerție al unui rigid	184
7.4. Legile cinematicii și dinamicii solidului rigid	186
Probleme rezolvate	190
<i>Întrebări. Exerciții. Probleme</i>	192

CAP. 8. ECHILIBRUL MECANIC AL CORPURILOR

8.1. Sistem de forțe concurente. Rezultanta. Mișcarea de translație ..	193
8.2. Compunerea forțelor paralele. Cuplul de forțe. Mișcarea de rotație ..	197
8.3. Centrul de greutate	204
8.4. Echilibrul mecanic. Condiții de echilibru	208
8.5. Echilibrul în câmp gravitațional. Echilibrul și energia potențială ..	217
<i>Întrebări. Exerciții. Probleme</i>	220

CAP. 9. MECANICA FLUIDELOR

9.1. Starea fluidă	225
9.2. Noțiunea de presiune	226
9.3. Statica fluidelor: hidrostatica și aerostatica	227
9.4. Dinamica fluidelor	244
<i>Întrebări. Exerciții. Probleme</i>	252

CAP. 10. UNDE ELASTICE. NOȚIUNI DE ACUSTICĂ

10.1 Oscilatorul liniar armonic. Compunerea oscilațiilor	255
10.2. Pendulul gravitațional. Rezonanța	267
10.3. Propagarea mișcării oscilatorii	270

10.4.	Unde transversale, unde longitudinale. Viteza de propagare	274
10.5.	Ecuația undei plane.....	282
10.6.	Clasificarea undelor elastice după frecvență.....	285
10.7.	Condiții de audibilitate a oscilațiilor elastice.....	285
10.8.	Reflexia și refracția undelor.....	286
10.9.	Difracția	292
10.10.	Interferența. Unde staționare.....	293
10.11.*	Coarde și tuburi sonore	300
	<i>Întrebări. Exerciții. Probleme</i>	302
	Probleme recapitulative	307

1

MIȘCAREA ȘI REPAUSUL

Fizica studiază diferite fenomene ale naturii: mecanice, termice, electrice, optice, atomice etc. Cel mai simplu dintre ele este *mișcarea mecanică*, studiată în cadrul *mecanicii*.

Mecanica, numită *clasică newtoniană*, a fost elaborată în esență de ISAAC NEWTON (1643—1727) și expusă în celebra sa carte „*Principiile matematice ale filozofiei naturale*” (1687), unde sînt formulate cele trei legi sau *principii* ale mecanicii, precum și legea atracției universale (gravitaționale) (aplicată la mișcarea sistemului solar).

Mecanica se împarte de obicei în trei capitole: *cinematica* se ocupă cu descrierea geometrică, spațio-temporală, a mișcării (coordonate, timp, traiectorie, viteză, accelerație); *dinamica* studiază și cauzele mișcării (forțele, impulsul, lucrul mecanic, energia); *statica* studiază echilibrul corpurilor. Mecanica se mai împarte în: mecanica punctului material, mecanica sistemului de puncte materiale, mecanica solidului rigid, mecanica fluidelor etc.

În capitolul 1 sînt expuse noțiuni de cinematică a punctului material.

1.1. SISTEM DE REFERINȚĂ

Deplasările oamenilor, mișcările diferitelor piese ale mașinilor unelte, deplasarea vehiculelor, curgerea apelor, curenții de aer — iată exemple de *mișcări mecanice*.

Cînd vorbim de mișcarea mecanică a unui corp, înțelegem totdeauna schimbarea poziției sale *față de alte corpuri*, de obicei față de Pămînt sau față de diferite obiecte fixe pe Pămînt (case, borne kilometrice etc.).

Se numește *mișcare mecanică* a unui corp schimbarea poziției sale față de alte corpuri.

Repausul este un caz particular al mișcării: un corp este în repaus dacă poziția sa față de alte corpuri nu se schimbă.

Pentru a studia mișcarea unui corp trebuie să alegem totdeauna un alt corp, numit *corp de referință* (de exemplu, Pământul), la care să raportăm în fiecare moment poziția corpului studiat. Desigur, orice corp de referință este la rindul său în mișcare față de alte corpuri. Pentru a determina *poziția* corpului studiat la diferite *momente* sînt necesare o *riglă* și un *ceasornic*.

Corpul de referință, împreună cu rigla pentru determinarea poziției corpurilor studiate și cu ceasornicul pentru indicarea momentului, constituie un *sistem de referință*, numit pe scurt *referențial*.

1.2. PUNCT MATERIAL

În mișcarea mecanică a corpurilor nu sînt determinante unele proprietăți ale acestora, de exemplu, cele termice, cele optice, și de aceea le putem neglija. În multe probleme nu ne interesează nici deformarea corpurilor, de exemplu, la căderea și aruncarea obiectelor, de aceea în astfel de probleme o putem neglija, considerînd corpul *rigid*.

Mișcarea solidului rigid este totuși complicată, de aceea se studiază mai întîi mișcarea unui corp ale cărui dimensiuni și rotații proprii sînt neglijabile în problema dată. Acesta este *punctul material*, caracterizat numai prin *masa* sa (deci un corp cu dimensiuni neglijabile față de distanțele sale pînă la corpurile înconjurătoare).

Un același corp poate fi considerat punct material într-o problemă și într-o altă problemă, *nu*.

De exemplu, în mișcarea unui vapor pe ocean, dimensiunile sale nu sînt esențiale și pot fi neglijate (fig. 1.1), însă în cazul manevrării în rada unui port, ele nu pot fi neglijate. O piatră în mișcarea sa în atmosferă poate fi

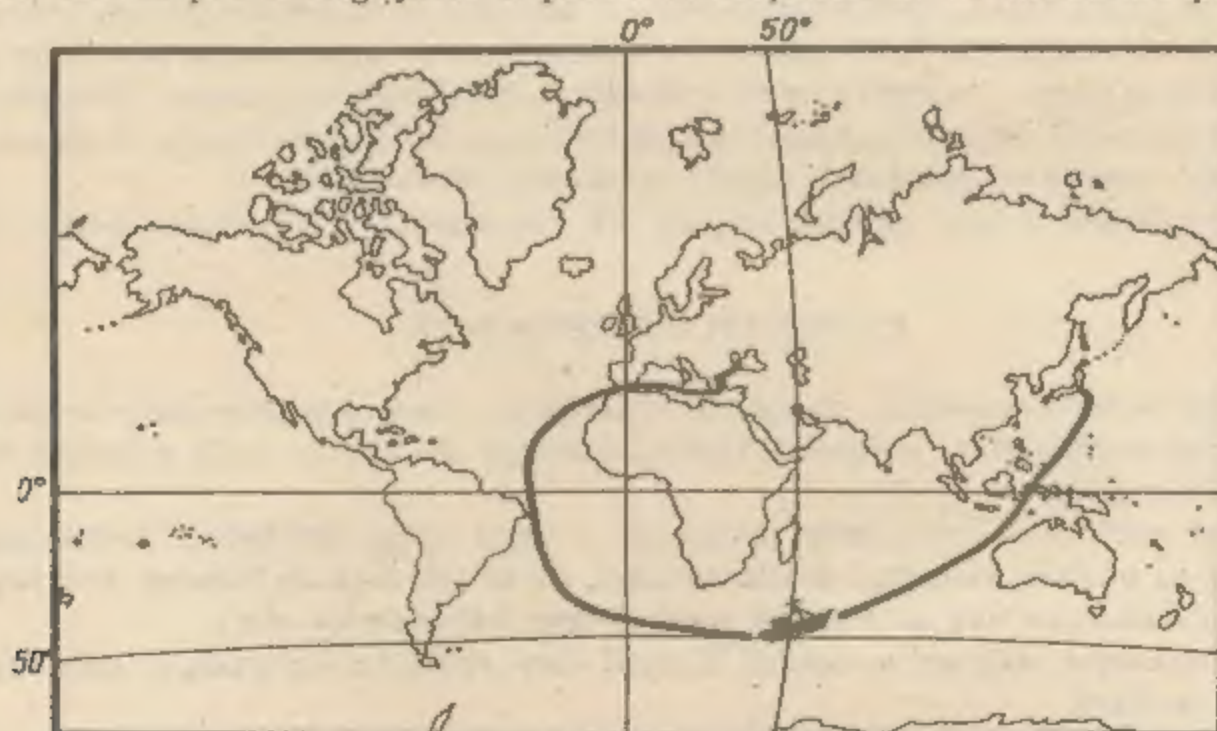


Fig. 1.1. Un vapor pe un ocean se poate aproxima printr-un punct a cărui poziție în fiecare moment este dată de coordonatele sale geografice: latitudinea și longitudinea.

aproximată de cele mai multe ori printr-un punct material, nu însă, de exemplu, în cazul rostogolirii sale pe o suprafață.

Cînd toate punctele unui corp se mișcă *identic* (mișcarea de *translație*), atunci mișcarea unui singur punct oarecare al corpului caracterizează pe deplin mișcarea întregului corp, indiferent de dimensiunile acestuia, deci putem aplica modelul punctului material.

Dacă nu interesează masa corpului (în cinematică), punctul material se numește *mobil*.

1.3. TRAIECTORIE. COORDONATE. LEGEA MIȘCĂRII

Curba descrisă de un mobil în timpul mișcării sale se numește *traietorie* (fig. 1.2). Traietoria poate fi rectilinie sau curbilinie. Traietoria curbilinie poate fi situată: într-un plan — mișcare *plană* (de exemplu, mișcarea circulară), sau în spațiu (de exemplu, mișcarea unui punct periferic al unui șurub).

Mișcarea rectilinie și mișcarea circulară sînt cele mai simple și mai frecvente mișcări.

1.3.1. Cazul mișcării rectilinii. Pentru a determina poziția corpului în fiecare moment, alegem pe dreapta mișcării un punct origine O și un sens pozitiv (obținem astfel axa coordonatelor Ox). *Coordonata x* a corpului este distanța de la originea O pînă la corp, prevăzută cu semnul plus sau minus,

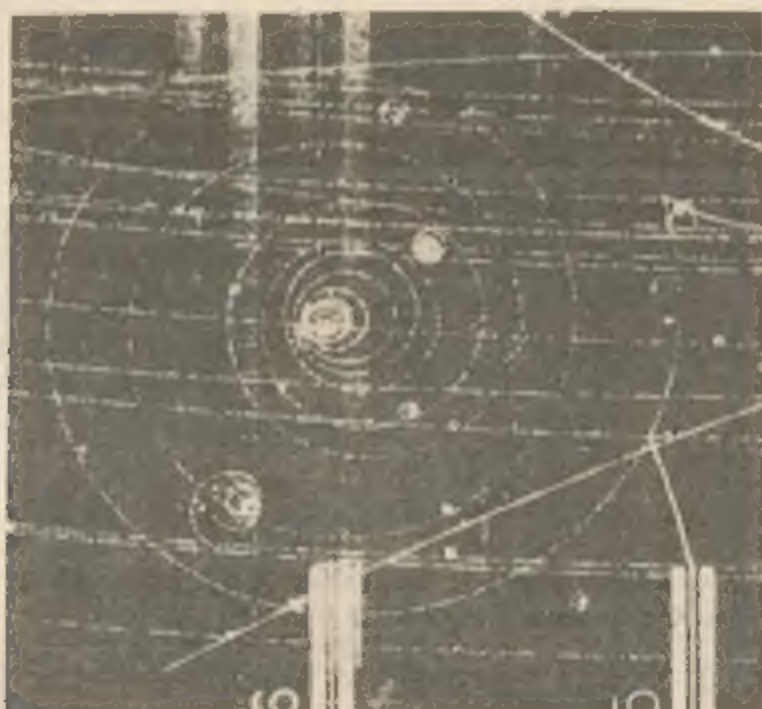


Fig. 1.2. Particulele atomice deplasîndu-se în camera cu ceață determină în drumul lor formarea unor pleături fine de apă (vizibile la microscop prin iluminare laterală).

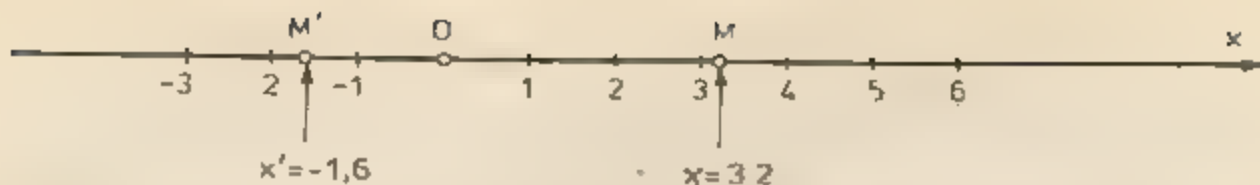


Fig. 1.3. Poziția mobilului pe traiectoria sa rectilinie este determinată de coordonata sa x . Coordonata este pozitivă dacă mobilul se află de partea pozitivă a axei (M) și este negativă, dacă mobilul este de partea cealaltă (M')

după cum corpul se află de partea pozitivă sau de cea negativă a axe (fig. 1.3).

Pentru a descrie mișcarea mobilului pe traiectoria sa rectilinie trebuie să cunoaștem poziția mobilului în fiecare moment pe această traiectorie, adică coordonata sa x în funcție de timpul t :

$$x = f(t).$$

Această expresie constituie *legea mișcării* (ecuația cinematică a mișcării).

1.3.2. Cazul mișcării într-un plan. Pentru a determina poziția corpului în fiecare moment, alegem *două axe* de coordonate Ox, Oy , perpendiculare între ele, situate în planul mișcării. Poziția M a corpului este dată de cele *două* coordonate: x (abscisa) și y (ordonata), care se obțin ducând din M paralele la axele de coordonate (fig. 1.4). Pentru a descrie mișcarea corpului (în plan) trebuie să cunoaștem coordonatele sale (x, y) în funcție de timpul t , adică *două* funcții:

$$x = f_1(t), \quad y = f_2(t)$$

(ecuațiile cinematice ale mișcării). Fiecare ecuație descrie mișcarea proiecției mobilului pe axa respectivă sau mișcarea mobilului în direcția axei respective (de exemplu, spre Est sau spre Nord). Mișcarea plană a mobilului se descompune astfel în două mișcări rectilinii după cele două axe alese.

Se pot alege și alte sisteme de coordonate pentru a descrie poziția și mișcarea mobilului, de exemplu poziția unui vapor pe ocean este dată de coordonatele sale geografice: latitudinea și longitudinea (fig. 1.1).

1.3.3. Cazul mișcării în spațiu. Alegem un sistem de trei axe de coordonate Ox, Oy, Oz , perpendiculare între ele. Atunci poziția mobilului M este dată de *trei* coordonate: x (abscisa), y (ordonata) și z (cota), care se obțin ducând din M paralele la axe, ca în figura 1.5. Mișcarea corpului în spațiu este descrisă de *trei* ecuații:

$$x = f_1(t), \quad y = f_2(t), \quad z = f_3(t)$$

(ecuațiile cinematice ale mișcării).

Ele descriu mișcarea corpului în spațiu după cele trei direcții.

Se pot alege și alte sisteme de coordonate pentru a determina poziția mobilului în spațiu.

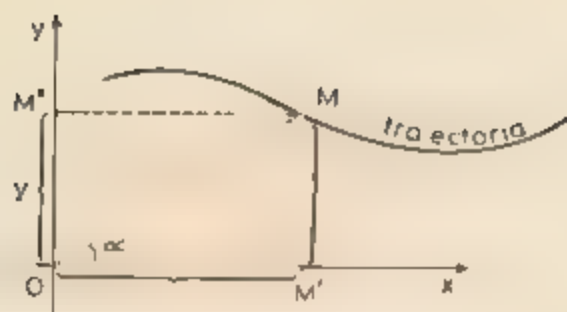


Fig. 1.4. Poziția unui mobil în plan este dată de cele două coordonate ale sale: abscisa $x = OM'$ și ordonata $y = M'M = OM''$. Abscisa x și ordonata y se obțin proiectând pe axele de coordonate vectorul de poziție $\vec{r} = \vec{OM}$, ($x = r \cos \alpha$, $y = r \sin \alpha$). Proiecțiile se obțin ducând din vârful vectorului de poziție \vec{r} paralele la axele de coordonate.

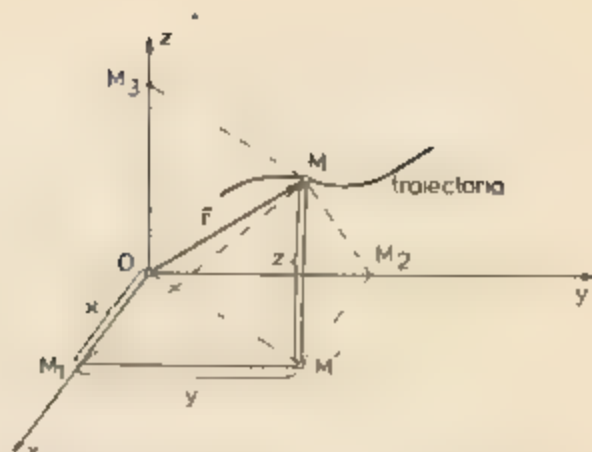


Fig. 1.5. Poziția mobilului în spațiu este dată de cele trei coordonate ale sale: abscisa $x = OM_1$, ordonata $y = M_2M' = OM_2$ și cota $z = M'M = OM_3$. Coordonatele x , y , z se obțin proiectând pe axele de coordonate vectorul de poziție

$$\vec{r} = \vec{OM}.$$

1.4. VECTOR DE POZIȚIE

Un alt mod de a preciza poziția unui mobil este următorul: alegem pe corpul de referință un punct-origine O și îl unim cu mobilul M , obținem astfel segmentul de dreaptă orientat \vec{OM} (fig. 1.4–1.5), numit *vector de poziție* al mobilului, $\vec{r} = \vec{OM}$.

El este caracterizat prin:

- 1) *modul* (sau mărime) dat de lungimea $r = OM$ a segmentului orientat \vec{OM} ;
- 2) *direcție*, dată de dreapta definită de punctele O , M , și
- 3) *sens*, dat de succesiunea $O \rightarrow M$, origine-mobil.

Cunoașterea vectorului de poziție (ca modul, direcție și sens) înseamnă cunoașterea poziției în spațiu a mobilului.

De exemplu, o instalație radar determină vectorul de poziție al unui obiect-țintă (avion) cu ajutorul unui impuls de undă electromagnetice (radio) dirijat în spațiu. Știind viteza de propagare a undelor ($c = 300\,000$ km/s) și măsurând timpul de propagare dus-întors a semnalului, găsim distanța r până la obiect. Direcția este dată de orientarea antenei emițătoare (fig. 1.6).



Fig. 1.6. Instalația radar determină vectorul de poziție al obiectului reperat.

În timpul mișcării, vectorul de poziție se schimbă ca modul și orientare, deci este o funcție de timp.

Legăm de corpul de referință un sistem ortogonal de coordonate cu originea în punctul O . Dacă proiectăm vectorul de poziție \vec{r} pe axele de coordonate, ducînd din vîrfurile vectorului \vec{r} paralele la axe, obținem coordonatele x, y ale mobilului (fig. 1.4). Conform teoremei lui Pitagora $r^2 = x^2 + y^2$.

1.5. DEPLASARE

1.5.1. Cazul mișcării rectilinii. Fie $A(x_1)$ și $B(x_2)$ pozițiile mobilului la momentele t_1 , respectiv t_2 (fig. 1.7). Deplasarea mobilului în intervalul de timp $\Delta t = t_2 - t_1$ este segmentul AB (prevăzut cu semn) $\Delta x = x_2 - x_1$. Litera Δ (delta majusculă) scrisă în fața unei mărimi înseamnă variația acelei mărimi, adică diferența dintre valoarea finală și cea inițială.

Deplasarea Δx este pozitivă dacă mobilul se mișcă în sensul pozitiv al axei ($\Delta x > 0, x_2 > x_1$) și negativă dacă mobilul se mișcă în sensul negativ ($\Delta x < 0$) (fig. 1.7).

1.5.2. Cazul mișcării plane. Fie A, B pozițiile mobilului la momentele t_1 , respectiv t_2 (fig. 1.8). Dacă urmărim proiecțiile mobilului pe axe, se vede că $A'B' = \Delta x = x_2 - x_1$, respectiv $A''B'' = \Delta y = y_2 - y_1$, reprezintă deplasările în direcțiile axelor respective.

Unind poziția inițială $A(t_1)$ a mobilului cu cea finală $B(t_2)$ obținem segmentul de dreaptă orientat \overrightarrow{AB} care se numește *vectorul deplasare* al mobilului în intervalul de timp considerat $\Delta t = t_2 - t_1$.

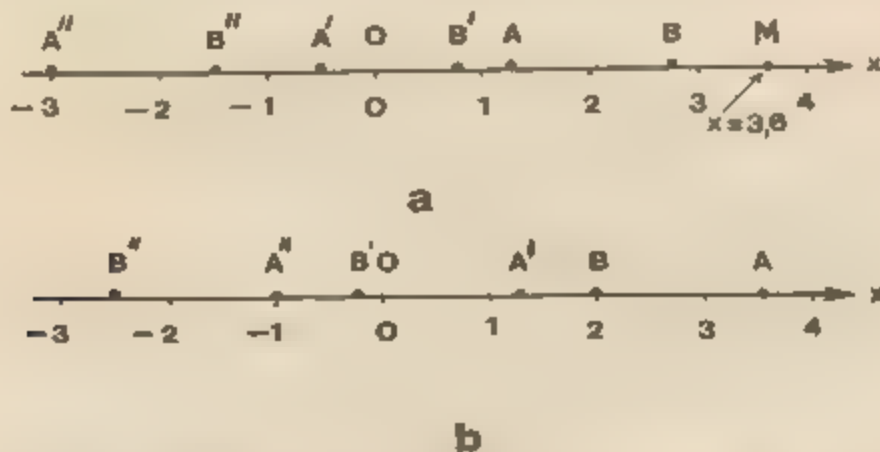


Fig. 1.7. Deplasările $AB, A'B', A''B''$ ale mobilului M în cazul (a) sînt pozitive (mobilul se mișcă în sensul pozitiv al axei Ox), în cazul (b) sînt negative (mobilul se mișcă în sensul negativ al axei Ox)

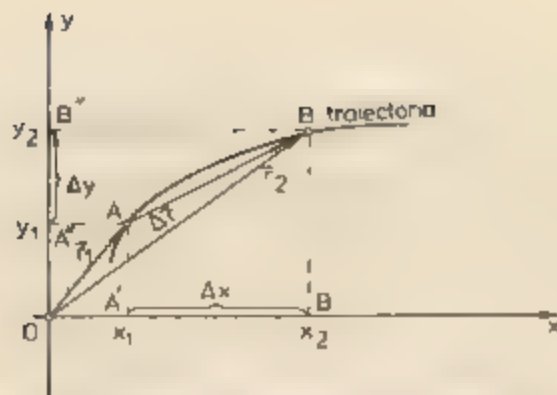


Fig. 1.8. Vectorul deplasare al mobilului: $\vec{AB} = \Delta \vec{r} = \vec{r}_2 - \vec{r}_1$ are drept componente deplasările pe axe $\Delta x = x_2 - x_1$, $\Delta y = y_2 - y_1$ care se obțin prin proiecție, din baza din originea A și vîrfurile B paralele la axele de coordonate

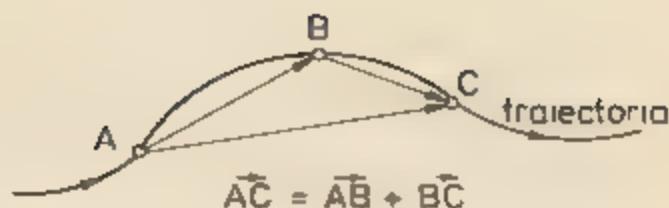


Fig. 1.9. Deplasarea rezultantă \vec{AC} este suma vectorială a deplasărilor componente \vec{AB} și \vec{BC} .

El este caracterizat de *modul* (lungimea segmentului AB), *direcție* (dată de dreapta care trece prin A și B) și *sens* (de la A la B)

Dacă proiectăm vectorul deplasare \vec{AB} pe axele de coordonate, ducînd din originea A și din vîrfurile B paralele la axele de coordonate, obținem deplasările pe axele de coordonate:

$$A'B' = \Delta x = x_2 - x_1, A''B'' = \Delta y = y_2 - y_1.$$

Fie un mobil care se mișcă pe o traiectorie curbilinie oarecare (fig. 1.9) și fie A , B , C pozițiile sale succesive la momentele t_1 , t_2 , t_3 . Deplasarea în intervalul de timp (t_1, t_2) este vectorul \vec{AB} , iar în intervalul de timp (t_2, t_3) este \vec{BC} . Care este deplasarea „globală” sau rezultantă în intervalul de timp (t_1, t_3) ?

Evident, este vectorul \vec{AC} , care se obține unind originea primei deplasări cu vîrfurile ultimei deplasări. Se spune că vectorul deplasare \vec{AC} este *suma* vectorilor deplasare \vec{AB} și \vec{BC} :

$$\vec{AC} = \vec{AB} + \vec{BC}. \quad (1.1)$$

De exemplu, un avion se deplasează de la București la Pitești $AB = 105$ km și apoi de la Pitești la Brașov $BC = 100$ km. Deplasarea rezultantă București—Brașov este $AC = 140$ km.

Se vede că mărimea deplasării rezultante \vec{AC} nu se obține prin simplă adunare aritmetică a mărimilor deplasărilor \vec{AB} și \vec{BC} , ci după regula geometrică de mai sus.

1.6. MĂRIMI VECTORIALE

Mărimile caracterizate prin modul, direcție și sens (așa cum este de exemplu, vectorul deplasare) se numesc mărimi vectoriale sau *vectori*. Ele se reprezintă, convențional, la o anumită scară, prin segmente orientate (analog vectorului deplasare). Mărimile caracterizate doar printr-un *număr* (pozitiv sau negativ) se numesc mărimi scalare sau *scalari*, de exemplu, timpul, masa, temperatura, densitatea.

1.6.1. Adunarea vectorilor. Vectorii se adună după regula geometrică dată la vectorii deplasare. Pentru a aduna doi vectori \vec{a} și \vec{b} îi desenăm (la o anumită scară) unul cu originea în extremitatea celuilalt și unim originea primului vector cu vârful celui de-al doilea vector (fig. 1.10). Acest vector de închidere va da suma celor doi vectori.

Dacă în figura 1.10 ducem din originea primului vector \vec{a} un vector paralel și egal cu vectorul \vec{b} , obținem un paralelogram a cărui diagonală reprezintă suma celor doi vectori. De aici rezultă:

Regula paralelogramului.

Paralelogramul construit cu cei doi vectori componenți ca laturi are ca diagonală suma pe care o reprezintă vectorul rezultat.

Din această construcție se vede că suma vectorială este *comutativă*:

$$\vec{a} + \vec{b} = \vec{b} + \vec{a}. \quad (1.2)$$

Dacă avem mai mulți vectori suma lor se obține aplicând succesiv regula paralelogramului. Același rezultat se obține direct cu ajutorul regulii poligonului.

Regula poligonului.

Conturul poligonului construit cu vectorii componenți (fig. 1.11) reprezintă suma lor.

Aplicând regula paralelogramului sau cea a poligonului pentru trei vectori, ne convingem că adunarea vectorilor este *asociativă*:

$$(\vec{a} + \vec{b}) + \vec{c} = \vec{a} + (\vec{b} + \vec{c}). \quad (1.3)$$

Orice diagramă de compunere a doi vectori (de exemplu, cea din fig. 1.10) poate fi privită și ca o *descompunere* a unui vector în doi vectori compo-

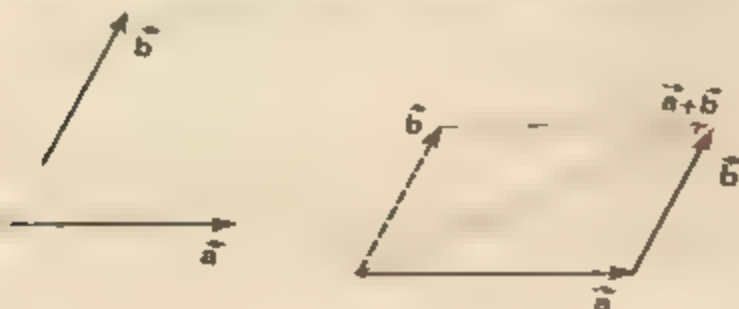


Fig. 1.10. Vectorii se adună după regula paralelogramului.

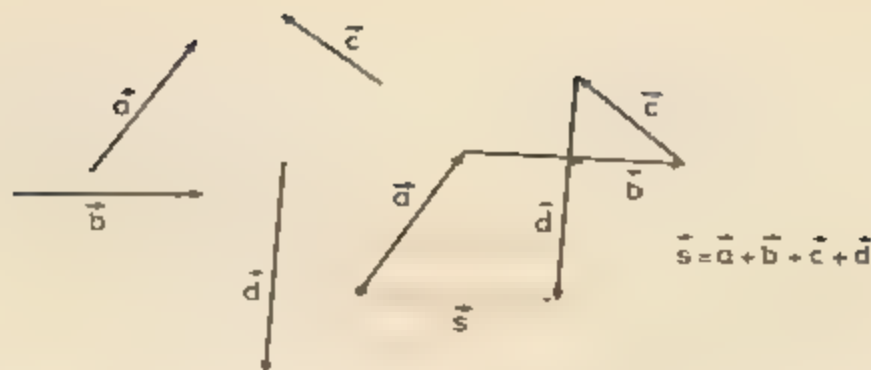


Fig. 1.11. Soma mai multor vectori este dată de linia de închidere a conturului poligonal construit cu vectorii componenți.

nenți. În adevăr, orice vector poate fi descompus după două direcții arbitrare coplanare cu vectorul dat (sau după trei direcții arbitrare în spațiu), deci poate fi înlocuit cu vectorii componenți. Pentru aceasta ducem prin originea și prin vârful vectorului dat drepte paralele cu direcțiile date (fig. 1.12). Se formează astfel paralelogramul de compunere a vectorilor.

Astfel, de exemplu, vectorul de poziție \vec{r} din figura 1.4 are drept vectori componenți pe $\vec{OM'}$ și $\vec{OM''}$:

$$\vec{r} = \vec{OM} = \vec{OM'} + \vec{M'M} = \vec{OM'} + \vec{OM''}. \text{ Analog în spațiu (fig. 1.5).}$$

$$\vec{r} = \vec{OM} = \vec{OM_1} + \vec{M_1M'} + \vec{M'M} = \vec{OM_1} + \vec{OM_2} + \vec{OM_3}.$$

1.6.2. Scăderea vectorilor. Dacă modulul unui vector se reduce la zero, se obține vectorul zero (nul), notat cu 0, ca și numărul zero; direcția vectorului zero rămâne nedeterminată. De exemplu, dacă adunând mai mulți vectori linia poligonală se închide, suma vectorilor respectivi este zero. În particular, dacă adunăm doi vectori egali în modul, de aceeași direcție dar de sensuri opuse, obținem vectorul zero. De aici se vede că oricărui vector nenul \vec{a} îi corespunde un vector opus $\vec{a'} = -\vec{a}$, de același modul, de aceeași



Fig. 1.12. Descompunerea unui vector \vec{a} după două direcții date D_1, D_2 coplanare cu vectorul dat \vec{a} .

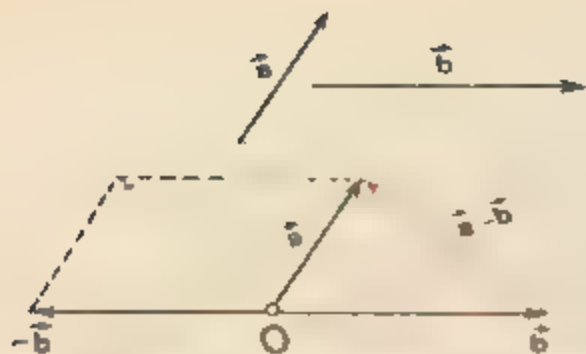


Fig. 1.19. Scăderea vectorilor: diferența este dată de cealaltă diagonală a paralelogramului

direcție dar de *sens opus*, care prin adunare cu primul dă vectorul zero:

$$\vec{a} + \vec{a}' = \vec{a} + (-\vec{a}) = \vec{a} - \vec{a} = 0$$

Acum putem defini scăderea vectorilor: *a scădea un vector \vec{b} dintr-un vector \vec{a} , înseamnă a aduna la \vec{a} vectorul opus $-\vec{b}$* :

$$\vec{a} - \vec{b} = \vec{a} + (-\vec{b}). \quad (1.4)$$

Din figura 1.13 se vede că diferența a doi vectori este dată de cealaltă diagonală a paralelogramului construit cu cei doi vectori drept laturi.

Pentru a obține diferența a doi vectori, îi trasăm cu origine comună și unim vîrfurile lor, orientînd săgeata spre vectorul descăzut. Ducînd în figura 1.8 vectori de poziție $\vec{r}_1 = \vec{OA}$, $\vec{r}_2 = \vec{OB}$, se vede imediat, conform regulii de scădere vectorială, că vectorul deplasare \vec{AB} este egal cu diferența vectorilor de poziție ai punctelor A , B , anume $\vec{AB} = \vec{OB} - \vec{OA} = \vec{r}_2 - \vec{r}_1 = \Delta\vec{r}$ adică *vectorul deplasare este egal cu variația vectorului de poziție*. Prin variația unui vector se înțelege (la fel ca pentru un scalar) *diferența* — *bineînțeleles vectorială* — *dintre valoarea finală și cea inițială*.

Un vector este *constant* (în timp) dacă nu-i modulul, nu-i *direcția* și nu-i *sensul*, să-i nu se schimbă în timp. Variația unui vector constant este nulă.

1.6.3. Componentele unui vector. Dacă proiectăm ortogonal un vector $\vec{a} = \vec{AB}$ pe o axă Ox , coborînd perpendicular pe axă din originea A și din vîrfurile B al vectorului (Fig. 1.14), obținem un segment $A'B'$, orientat în sensul pozitiv al axe Ox . Dacă unghiul α format de vectorul \vec{a} și axa Ox este ascuțit, și orientat în sensul negativ al axe. Dacă unghiul este obtuz. Lungimea acestui segment prevăzută cu semnul plus, respectiv minus, se numește componenta a_x a vectorului \vec{a} pe axa Ox : $a_x = (\pm) A'B'$.

Componenta unui vector \vec{a} pe o axă Ox este dată de formula

$$a_x = a \cos \alpha \text{ unde } a = |\vec{a}|, \alpha = \angle(\vec{a}, Ox). \quad (1.5)$$

Componenta pe axa Oy va fi $a_y = a \cos \beta = a \sin \alpha$ (α catetă este egală cu ipotenuza înmulțită cu cosinusul unghiului alăturat sau cu sinusul unghiului opus).

Componenta este nulă dacă vectorul este perpendicular pe axă ($\alpha = 90^\circ$) și este $\pm a$, dacă vectorul este paralel cu axa (respectiv $\alpha = 0$ sau 180°).

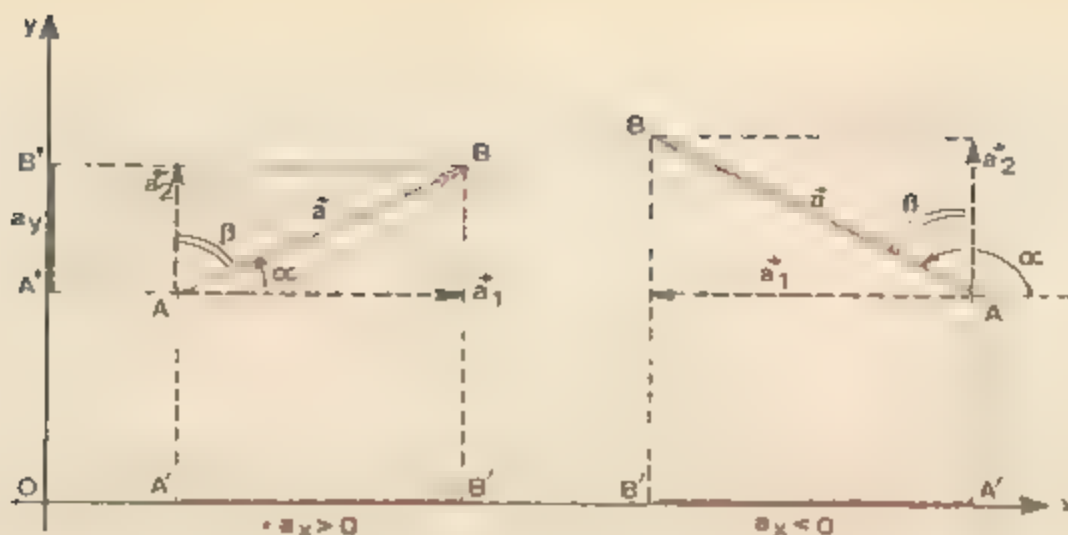


Fig. 1.14. Componentele unui vector pe axele de coordonate.

Dacă adunăm doi vectori $\vec{a} + \vec{b} = \vec{c}$ și proiectăm vectorii pe o axă, obținem aceeași egalitate și pentru componentele lor: $a_x + b_x = c_x$ (Fig. 1.15).

În general, orice sumă de vectori poate fi proiectată pe o axă oarecare și se obține o sumă corect punzătoare pentru componentele vectorilor:

$$\vec{a} = \vec{a}_1 + \vec{a}_2 + \dots + \vec{a}_n \quad \text{și} \quad a_x = \text{pr } \vec{a} = \text{pr } \vec{a}_1 + \text{pr } \vec{a}_2 + \dots + \text{pr } \vec{a}_n = a_{1x} + a_{2x} + \dots + a_{nx}, \quad (1.6)$$

unde a vectorilor componentu.

Desigur același rezultat se obține și în cazul *diferenței* a doi vectori. Astfel, componentele vectorului deplasare $\vec{AB} = \Delta \vec{r} = \vec{r}_2 - \vec{r}_1$ pe axele de coordonate sînt deplasările pe axe $\Delta x = x_2 - x_1$, $\Delta y = y_2 - y_1$ (Fig. 1.18). Orice egalitate *vectorială* dă prin proiectare pe axele de coordonate egalități *algebrice* pentru componentele vectorilor.

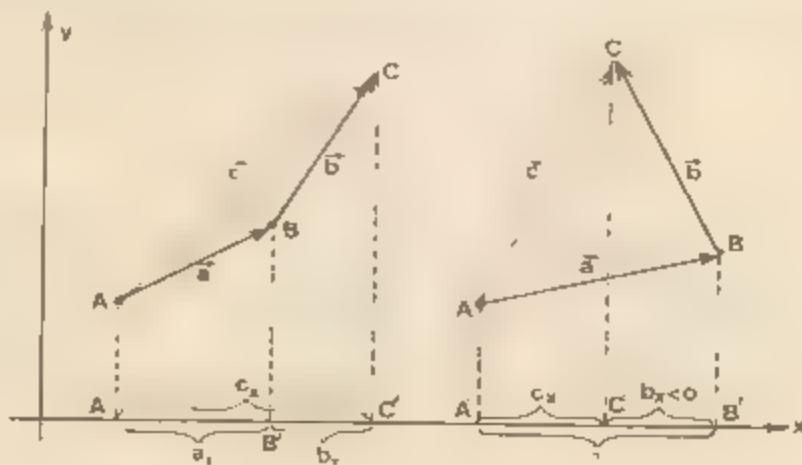


Fig. 1.15. Proiecția sumei a doi vectori este egală cu suma proiecțiilor celor doi vectori.

Prin urmare orice vector \vec{a} este caracterizat prin ansamblul componentelor sale (a_x, a_y, a_z) într-un anumit sistem de coordonate. Schimbând sistemul de coordonate, se schimbă și componentele vectorului, spre deosebire de un scalar a cărui valoare nu depinde de alegerea sistemului de coordonate.

1.7. VITEZA

1.7.1. Mișcarea rectilinie. Pentru a putea compara mișcările între ele trebuie să comparăm deplasările mobilelor efectuate în același interval de timp și anume în unitatea de timp (secunda). Cunoșcând deplasarea Δx efectuată în intervalul de timp Δt , pentru a afla deplasarea ce revine (corespunde) unității de timp trebuie să împărțim Δx la Δt . Obținem astfel viteza medie a mobilului în intervalul de timp considerat:

$$v_m = \frac{\Delta x}{\Delta t} = \frac{x_2 - x_1}{t_2 - t_1} = \frac{\text{deplasare}}{\text{durată}}. \quad (1.7)$$

Viteza (1.7) are același semn ca și deplasarea, deoarece $\Delta t = t_2 - t_1$ este totdeauna pozitiv. Viteza este pozitivă dacă mobilul se mișcă în sensul pozitiv al axei ($\Delta x > 0, v_m > 0$) și este negativă dacă mobilul se mișcă în sensul negativ al axei ($\Delta x < 0, v_m < 0$).

EXEMPLU

Un biciclist pleacă din Ploiești ($x_1 = 60$ km) la ora $t_1 = 8,0$ h și ajunge la Sinaia ($x_2 = 127$ km) la ora $t_2 = 13,0$ h. Viteza medie pe această distanță $\Delta x = x_2 - x_1 = 67$ km sau pe intervalul de timp respectiv $\Delta t = t_2 - t_1 = 5,0$ h este $v_m = \Delta x / \Delta t = 67 \text{ km} / 5,0 \text{ h} = 13,4 \text{ km/h}$. Dar biciclistul n-a mers tot timpul cu această viteză. La început a mers probabil mai repede, apoi mai încet. Când a oprit să se odihnească viteza a fost zero, dacă a pierdut ceva și s-a întors, viteza a fost negativă. Viteza medie calculată pentru alte intervale de timp sau pentru alte distanțe (de exemplu, Ploiești-Cîmpina, Breaza-Comarnic) a fost alta.

Pentru a afla viteza la un moment dat t sau într-un anumit punct x al traiectoriei, de exemplu, viteza biciclistului la Băicoi, în dreptul bornei kilometrice $x = 80$ km, vom măsura viteza medie a biciclistului pe o distanță mică, de exemplu, $\Delta x = 10$ m în vecinătatea bornei kilometrice respective. Luind o distanță și mai mică, $\Delta x = 1$ m, și folosind un ceas electric vom găsi o viteză foarte apropiată de viteza biciclistului în momentul când trece prin punctul $x = 80$ km.

Prin urmare, în intervalul Δt pentru care calculăm viteza medie, mobilul poate merge mai repede sau mai încet pe subintervale mai mici. Pentru a afla viteza la un moment dat t când mobilul trece prin punctul $P(x)$ putem proceda astfel: considerăm un moment t_1 apropiat de t când mobilul trece prin $A(x_1)$ și calculăm viteza medie

$$v_1 = \frac{x_1 - x}{t_1 - t} = \frac{PA}{t_1 - t}$$

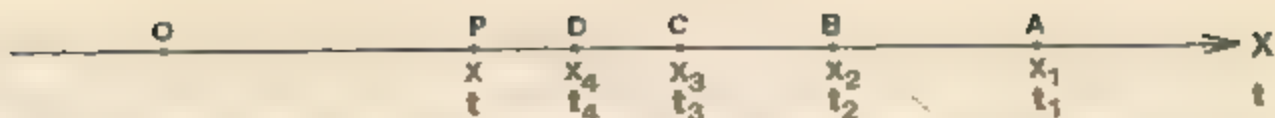


Fig. 1.16. Viteza momentană la momentul t când mobilul trece prin punctul $P(x)$ se obține calculând viteza medie pe intervale de timp din ce în ce mai scurte $t_1 - t$, $t_2 - t$, $t_3 - t$ etc., când mobilul trece prin punctele A , B , C , etc. (din ce în ce mai apropiate de P , deci pentru deplasări din ce în ce mai mici $PA = x_1 - x$, $PB = x_2 - x$, $PC = x_3 - x$ etc.).

(fig. 1.16). Aceasta nu redă încă exact viteza din P la momentul t , deoarece pe segmentul PA în timpul $t_1 - t$ mobilul poate să și schimbe viteza. Dacă luăm însă momente t_2 , t_3 , t_4 etc. din ce în ce mai apropiate de momentul t (deci intervale Δt din ce în ce mai mici), când mobilul se află respectiv în punctele $B(x_2)$, $C(x_3)$, $D(x_4)$ etc. din ce în ce mai apropiate de punctul P (deci deplasări Δx din ce în ce mai mici) și calculăm vitezele medii corespunzătoare:

$$v_1 = \frac{x_1 - x}{t_1 - t}, \quad v_2 = \frac{x_2 - x}{t_2 - t}, \quad v_4 = \frac{x_4 - x}{t_4 - t} \text{ etc.}$$

obținem valori care se apropie din ce în ce mai bine de valoarea vitezei la momentul t când mobilul trece prin P . Această viteză, care se obține până la urmă prin procedeul indicat, se numește *viteză momentană* sau *instantanee*, sau pe scurt, *viteză*:

$$v = \frac{\Delta r}{\Delta t} \text{ când } \Delta x \text{ și } \Delta t \text{ sînt foarte mici (descreșc către zero)}. \quad (1.8)$$

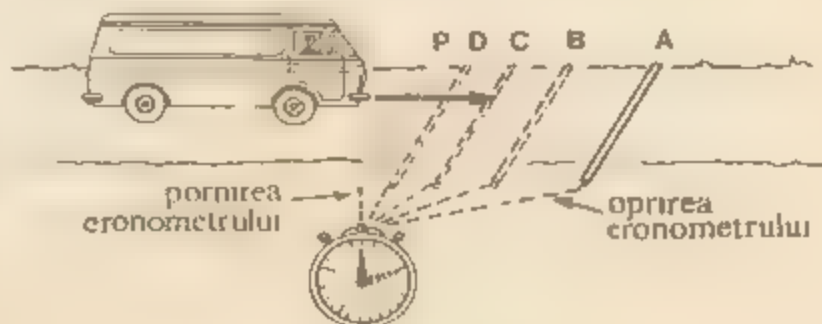
Figura 1.17 ilustrează un experiment pentru situația din figura 1.16.

Viteza momentană diferă în general de la un moment la altul (cum este de exemplu în căderea liberă a unei pietre). La vehicule ea este indicată permanent de **vitezometru**.

Observăm că în (1.8) viteza momentană v se obține ca un raport al două mărimi foarte mici Δx și Δt care descreșc simultan către zero (se spune: *tind către zero* și se scrie $\Delta x \rightarrow 0$, $\Delta t \rightarrow 0$). Deși Δx și Δt descreșc *fiecare* către zero, *raportul* lor $\Delta x/\Delta t$ nu devine în general zero (viteza momentană nu este în general nulă). Vom conveni să notăm în cele ce urmează raportul a două variațiuni foarte mici, care descreșc către zero, înlocuind simbolul variației Δ cu simbolul d , astfel de exemplu (1.8) se scrie

$$v = \frac{dr}{dt}, \text{ adică } v = \frac{\Delta r}{\Delta t} \text{ când } \Delta t \rightarrow 0 \text{ (atunci și } \Delta x \rightarrow 0). \quad (1.9)$$

Fig. 1.17. Viteza momentană a unui camion, în momentul t când el trece prin punctul P , se poate determina calculând viteza medie pe distanțe din ce în ce mai mici: PA , PB , PC , PD . Cronometrul este pornit și oprit când camionul calcă cablurile respective.



Când am procedat la descriere cunoscând legea mișcării $x = f(t)$ (adică ecuația cinematică a mișcării), putem calcula viteza (momentană). În adevăr, să calculăm viteza mobilului la momentul t . Pentru aceasta să considerăm un moment apropiat $t' = t + \Delta t$. Calculăm coordonata mobilului pentru acest moment $t' = x' = f(t') = f(t + \Delta t)$. Calculăm deplasarea respectivă $\Delta x = x' - x = f(t + \Delta t) - f(t)$, o raportăm la intervalul de timp respectiv $\Delta t = t' - t$ și facem apoi ca Δt să descrească către zero ($\Delta t \rightarrow 0$).

EXEMPLE

1. Fie legea mișcării $x = 2t^2 + 3$. Calculăm $x' = 2t'^2 + 3 = 2(t + \Delta t)^2 + 3$ ca fiind deplasarea $\Delta x = x' - x = 2(t + \Delta t)^2 + 3 - (2t^2 + 3) = 4t\Delta t + 2\Delta t^2$ și o raportăm la Δt ,

$$v_m = \frac{\Delta x}{\Delta t} = \frac{4t\Delta t + 2(\Delta t)^2}{\Delta t} = 4t + 2\Delta t$$

Pe măsură ce Δt (pe măsură descrește) se apropie de zero ($\Delta t \rightarrow 0$), atunci $4t + 2\Delta t$ se apropie de $4t$ și obținem viteza (momentană):

$$v = \frac{dx}{dt} = 4t.$$

2. Mai general, fie legea mișcării

$$x = At^2 + Bt + C \quad (1.1)$$

unde A, B, C sînt niște constante (numere)

Calculăm coordonata x' pentru momentul $t' = t + \Delta t$

$$x' = A(t + \Delta t)^2 + B(t + \Delta t) + C = At^2 + 2At\Delta t + A(\Delta t)^2 + Bt + B\Delta t + C,$$

de unde deplasarea $\Delta x = x' - x = 2At\Delta t + B\Delta t + A(\Delta t)^2$ și viteza medie

$$v_m = \frac{\Delta x}{\Delta t} = 2At + B + A\Delta t$$

Pe măsură ce Δt (pe măsură descrește) se apropie de zero ($\Delta t \rightarrow 0$), atunci

$$\frac{dx}{dt} = 2At + B \quad (1.1')$$

Pe măsură ce Δt (pe măsură descrește) se apropie de zero ($\Delta t \rightarrow 0$), atunci viteza medie (1.1') se apropie de viteza momentană (1.1). Vom folosi acest rezultat mai târziu.

3. Fie legea mișcării

$$x = At + B, \text{ unde } A, B \text{ sînt constante} \quad (1.12)$$

Calculăm coordonata x' pentru $t' = t + \Delta t$ și deplasarea Δx

$$x' = At' + B = A(t + \Delta t) + B; \quad \Delta x = x' - x = A\Delta t$$

Viteza medie

$$v_m = \frac{\Delta x}{\Delta t} = A = \text{const} = \frac{dx}{dt} = v. \quad (1.13)$$

Nici nu este nevoie să descreștem pe Δt către zero, deoarece raportul este constant: viteza medie este constantă și coincide cu viteza momentană — mișcarea se numește *rectilinie uniformă*.

1.7.2 Mișcarea plană. (Analog se studiază mișcarea în spațiu.) Cunoscând ecuațiile mișcării $x = f_1(t)$, $y = f_2(t)$, putem calcula, exact ca mai sus, vitezele medii și momentane ale mobilului în direcțiile axelor de coordonate. Notăm vitezele respective cu un indice corespunzător axei

$$v_{xm} = \frac{\Delta x}{\Delta t}, \quad v_{ym} = \frac{\Delta y}{\Delta t}. \quad (1.14)$$

Dacă luăm intervale Δt din ce în ce mai mici, descrescând (tinzind) către zero $\Delta t \rightarrow 0$ (atunci și $\Delta x \rightarrow 0$, $\Delta y \rightarrow 0$), obținem vitezele momentane

$$v_x = \frac{dx}{dt}, \quad v_y = \frac{dy}{dt}. \quad (1.15)$$

Pe de altă parte, deplasările Δx și Δy sînt componentele pe axe ale vectorului deplasare $\vec{\Delta r}$ (fig. 1.8). Dacă împărțim vectorul deplasare la intervalul de timp (care este un scalar), obținem vectorul viteză medie

$$\vec{v}_m = \frac{\vec{\Delta r}}{\Delta t} = \frac{\vec{\Delta r}}{\Delta t}. \quad (1.16)$$

Vectorul viteză medie are direcția și sensul vectorului deplasare, iar modulul egal cu modulul vectorului deplasare împărțit la intervalul de timp. Componentele vectorului viteză (1.16) pe axe sînt tocmai vitezele (1.15) de pozițiilor mobilului.

1.7.3 Înmulțirea vectorilor cu scalari. Dacă înmulțim un vector \vec{a} cu un număr și obținem un vector ce are aceeași direcție și același sens, ca și de modul dublu, ceea ce se scrie astfel: $\vec{a} + \vec{a} = 2\vec{a}$. La fel pentru mai mulți vectori:

$$\vec{a} + \vec{a} + \vec{a} + \dots + \vec{a} = n \cdot \vec{a}, \quad (1.17)$$

Dacă punem acum:

$$(-1) \cdot \vec{a} = -\vec{a} \text{ și } 0 \cdot \vec{a} = \vec{0}, \quad (1.18)$$

obținem prin aceeași regulă următorii vectori: $-\vec{a}$ (care are aceeași direcție cu \vec{a} dar sens opus) și $\vec{0}$ (care este vectorul nul).

Prin înmulțirea cu un scalar r , vectorul \vec{a} cu un număr real r se obține un vector $r\vec{a}$ care are modul $|r\vec{a}| = |r| \cdot |\vec{a}|$ și de aceeași direcție cu \vec{a} , sensul va fi același cu \vec{a} dacă $r > 0$ și opus lui \vec{a} dacă $r < 0$ (fig. 1.18).

A împărți un vector \vec{a} la un număr real $p \neq 0$ înseamnă a-l înmulți cu numărul $\frac{1}{p}$.

$$\frac{\vec{a}}{p} = \frac{1}{p} \cdot \vec{a}, \quad (1.19)$$



Fig. 1.18. Înmulțirea și împărțirea vectorilor cu numere (cu scalari)

adică modulul vectorului dat se împarte la $|p|$, direcția nu se schimbă, iar sensul rămâne același dacă $p > 0$ și se inversează dacă $p < 0$. În cazul vitezei (1.16), Δt este totdeauna pozitiv!

Înmulțirea vectorilor cu scalari este asociativă și distributivă.

$$m(n\vec{a}) = (mn)\vec{a}, (m + n)\vec{a} = m\vec{a} + n\vec{a}, m(\vec{a} + \vec{b}) = m\vec{a} + m\vec{b}. \quad (1.20)$$

1.7.4. Vectorul viteză. În cazul mișcării curbilini vectorul deplasare $\Delta\vec{r} = \vec{AA'}$ și vectorul viteză medie $\vec{v}_m = \Delta\vec{r}/\Delta t$, pentru un interval oarecare, au direcția secantei AA' la traiectorie (fig. 1.19). Pentru a obține viteza momentană într-un punct A al traiectoriei trebuie să luăm un interval $\Delta t = t' - t$ foarte mic, descrescând către zero, atunci punctul A' se apropie de A , iar secanta AA' se rotește în jurul punctului A (AA' , AA'' etc.) pînă cînd devine tangentă la traiectorie (cînd punctele A , A' se confundă), deci vectorul viteză momentană

$$\vec{v} = \frac{d\vec{r}}{dt}, \text{ adică } \frac{\Delta\vec{r}}{\Delta t} \text{ cînd } \Delta t \rightarrow 0, \quad (1.21)$$

este tangent la traiectorie în punctul considerat, adică are direcția tangentei la traiectorie și sensul dat de sensul mișcării mobilului în acel moment.

Proiectînd punctul material pe axele de coordonate, mișcarea sa curbilinie în spațiu $\vec{r} = f(t)$, $\vec{v} = d\vec{r}/dt$ se descompune în mișcări rectilinii după axele de coordonate, descrise de ecuațiile cinematice ale mișcării: $x = f_1(t)$,

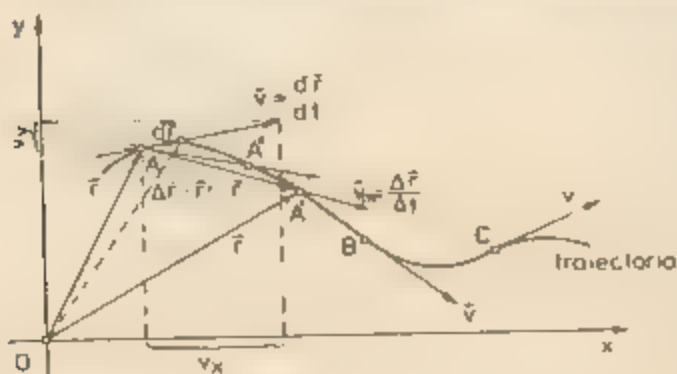


Fig. 1.19. Vectorul viteză medie $\vec{v}_m = \Delta\vec{r}/\Delta t$ are direcția secantei la traiectorie: AA' . Făcînd pe $\Delta t = t' - t$ să descrescă către zero, punctul A' se apropie de A (trezînd prin A'' etc.), secanta se rotește în jurul lui A și devine tangentă la traiectorie, deci vectorul viteză (momentană) $\vec{v} = d\vec{r}/dt$ este tangent la traiectorie în fiecare moment și are sensul dat de sensul mișcării.

$y = f_2(t)$, $z = f_3(t)$. Vitezele mișcărilor componente sînt componentele vectorului viteză $\vec{v}(v_x, v_y, v_z)$ al mobilului.

În cazul plan, aplicînd teorema lui Pitagora, avem $r^2 = x^2 + y^2$, $v^2 = v_x^2 + v_y^2$.

În cazul mișcării rectilinii vectorul deplasare $\vec{\Delta r}$ și vectorul viteză $\vec{v}_m = \vec{\Delta r}/\Delta t$,

$\vec{v} = d\vec{r}/dt$ sînt situați chiar pe dreapta mișcării; în locul figurii 1.19 vom avea figura 1.20.

Alegînd dreapta mișcării dreptă axă $O'x'$ și proiectînd pe această axă vectorii $\vec{\Delta r}$, \vec{v}_m , \vec{v} , obținem deplasarea $\Delta x'$, respectiv viteza $v_m = \Delta x'/\Delta t$, $v = dx'/dt$ așa cum le-am definit în § 1.7.1. Observăm că pentru un vector *paralel* cu o axă, componenta (proiecția) sa pe acea axă este egală cu plus sau minus modulul vectorului, după cum acesta este orientat în sensul pozitiv sau negativ al axei.

Dacă vectorul este paralel cu axa, atunci deplasarea este rectilinie uniformă (în sensul pe scurt, uniformă).

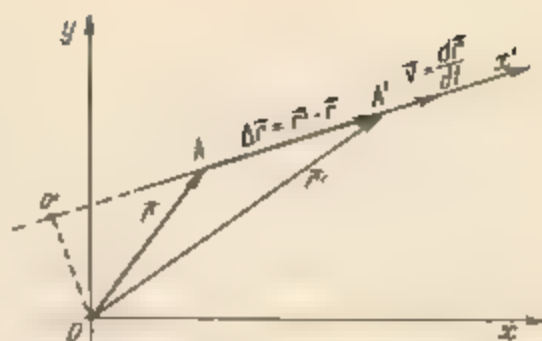


Fig. 1.20. În cazul mișcării rectilinii, vectorul deplasare $\vec{\Delta r}$ și vectorul viteză $\vec{v}_m = \vec{\Delta r}/\Delta t$, respectiv $\vec{v} = d\vec{r}/dt$, sînt chiar pe dreapta mișcării $O'x'$. Proiecțiunile pe această axă, ei dau $\Delta x'$, $v_m = \Delta x'/\Delta t$, $v = dx'/dt$.

1.8. ACCELERAȚIA

În general vectorul viteză se schimbă în timpul mișcării, atât în *modul* — dacă mobilul merge mai repede sau mai încet pe traiectoria sa, cât și cu *direcție* — dacă traiectoria este *curbilinie*.

O aceeași variație a vectorului viteză se poate produce într-un timp mai lung sau mai scurt. Pentru a compara *neuniformitatea* diferitelor mișcări trebuie să calculăm variația de viteză în același interval standard de timp (unitatea de timp). De aceea, vom împărți variația vitezei la intervalul de timp în care ea s-a produs, pentru a afla variația vitezei care *revine* (corespunde) *unității* de timp.

1.8.1. Accelerația în mișcarea rectilinie. În cazul mișcării *rectilinii*, *accelerația medie* (în intervalul de timp Δt) este

$$a_m = \frac{\Delta v}{\Delta t} = \frac{v_2 - v_1}{t_2 - t_1} = \frac{\text{variația vitezei}}{\text{intervalul de timp}} \quad (1.22)$$

Ea poate fi pozitivă sau negativă după semnul lui Δv .

Accelerația medie caracterizează variația globală a vitezei în intervalul Δt , dar pe subintervale de timp mai scurte variația vitezei poate fi diferită. Pentru a caracteriza variația vitezei „la un moment dat”, vom calcula raportul (1.22) pentru intervale Δt din ce în ce mai mici, descrescînd către zero, și vom obține astfel accelerația *momentană* (sau *instantanee*):

$$a = \frac{dv}{dt} \text{ cînd } \Delta t \rightarrow 0 \text{ adică } a = \frac{dv}{dt} \quad (1.23)$$

De exemplu, fie legea vitezei $v = 2t - 5$. Calculăm viteza v' la momentul apropiat $t' = t + \Delta t$, anume $v' = 2t' - 5 = 2(t + \Delta t) - 5 = (2t - 5) + 2\Delta t$ și o raportăm la intervalul de timp Δt : $a_m = \Delta v / \Delta t = 2$, deci a_m este constantă și coincide cu accelerația momentană. Mai general, dacă legea vitezei este $v = At + B$, unde A, B sînt constante, rezultă $a_m = a = A$ și mișcarea se numește *rectilinie uniform variată*.

1.8.2. Vectorul accelerație. În cazul mișcării în spațiu, dacă împărțim variația vectorului viteză $\Delta \vec{v}$ (fig. 1.21) la intervalul de timp Δt în care s-a produs, obținem variația *medie* a vectorului viteză pe unitatea de timp, numită *vectorul accelerație medie*:

$$\vec{a}_m = \frac{\Delta \vec{v}}{\Delta t} = \frac{\vec{v}_2 - \vec{v}_1}{t_2 - t_1} = \frac{\text{variația vectorului viteză}}{\text{intervalul de timp}}. \quad (1.24)$$

El caracterizează global (în medie) variația *vectorului* viteză în intervalul de timp considerat. Dar în subintervale de timp mai mici variația poate fi diferită. La fel ca în cazul vitezei medii și vitezei instantanee, luînd un interval de timp foarte mic (care descrește către zero), obținem *vectorul accelerație momentană* (sau instantanee), numit pe scurt *vectorul accelerație*.

Vectorul accelerație (momentană) este variația vectorului viteză calculată pentru un interval de timp foarte scurt în jurul momentului care ne interesează și împărțită la acest interval (pentru a obține variația *cu revine unității de timp*):

$$\vec{a} = \frac{\Delta \vec{v}}{\Delta t} \text{ cînd } \Delta t \rightarrow 0, \text{ adică } \vec{a} = \frac{d\vec{v}}{dt}. \quad (1.25)$$

Accelerația medie \vec{a}_m are direcția și sensul vectorului $\Delta \vec{v}$ (fig. 1.21). Cînd îl descreștem pe Δt către zero, vectorul \vec{a} obținut poate diferi, în general, puțin de \vec{a}_m (așa cum \vec{v}_m are direcția secantei, iar \vec{v} are direcția tangentei la traiectorie).

Observație. Din figura 1.21 se vede că vectorul accelerație este totdeauna îndreptat spre „interiorul” traiectoriei, adică spre partea concavă

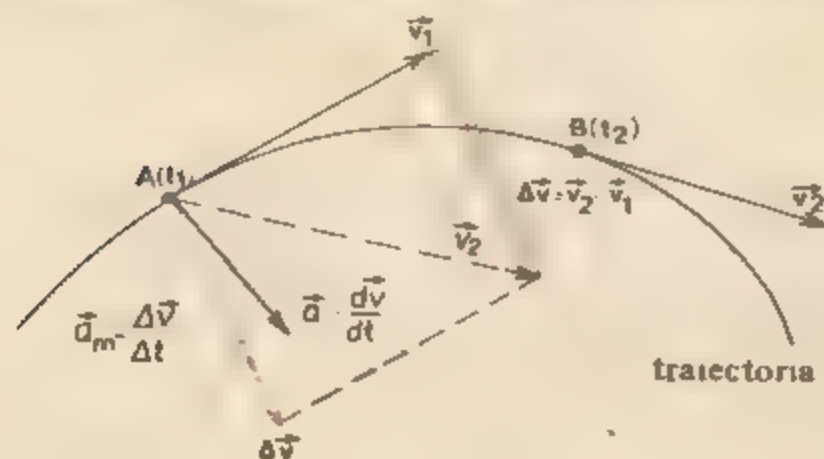


Fig. 1.21. Variația vectorului viteză $\Delta \vec{v} = \vec{v}_2 - \vec{v}_1$ în intervalul de timp $\Delta t = t_2 - t_1$, vectorul accelerație medie $\vec{a}_m = \Delta \vec{v} / \Delta t$ și accelerația momentană $\vec{a} = d\vec{v}/dt$.

a curbei, în sensul în care deviază virful vectorului viteză cînd mobilul se mișcă pe traiectorie. Vectorul accelerație este *paralel* cu vectorul vitezei *numai* în cazul mișcării *rectilini*, cînd numai modulul vitezei variază, direcția rămî-
nînd neschimbată.

Subliniem încă o dată că accelerația caracterizează sau măsoară *variația* vectorului viteză (calculată pentru unitatea de timp) și *nu* viteza raportată la timp. Dacă vectorul viteză este constant, nu variază, nu avem accelerație, indiferent de valoarea vitezei. Accelerația momentană poate fi nenulă, chiar dacă în acel moment viteza este nulă.

Analog ca pentru vectorul viteză, componenta vectorului accelerație pe o axă reprezintă accelerația mobilului în direcția acelei axe și este egală cu accelerația cu care se mișcă proiecția mobilului pe acea axă, de exemplu

$$a_{xm} = \frac{\Delta x}{\Delta t} \text{ și } a_x = \frac{d^2x}{dt^2} \left(\text{adică } \frac{\Delta v_x}{\Delta t} \text{ cînd } \Delta t \rightarrow 0 \right). \quad (1.26)$$

În cazul particular al mișcării *rectilini*, variația $\Delta \vec{v}$, calculată pentru un interval Δt suficient de mic, deci și vectorul accelerație, este în același sens cu vectorul viteză, dacă modulul vitezei crește (mișcare accelerată) și este în sens opus vectorului viteză, dacă modulul vitezei scade (mișcare încetinită) (fig. 1.22).

Accelerația (1.22 - 1.23) definită mai sus în cazul mișcării *rectilini* reprezintă componenta vectorului accelerație $\vec{a}_m = \Delta \vec{v} / \Delta t$, $\vec{a} = d\vec{v}/dt$ pe dreapta mișcării Ox și este pozitivă dacă vectorul accelerație este orientat în sensul pozitiv al axei. Mișcarea este *accelerată*, dacă viteza v și accelerația a au *același semn*, și *încetinită*, dacă au *semne opuse*.

EXEMPLU

Un tren care se mișcă cu viteza de 90 km/h este la un moment dat frînat astfel încît în 20 secunde viteza sa scade la 18 km/h. Să se calculeze accelerația medie în această mișcare încetinită.

Rezolvare Alegem sensul pozitiv pe traiectorie în sensul mișcării (al vitezei). Atunci $v_1 = +90 \text{ km/h} = 25 \text{ m/s}$, $v_2 = +18 \text{ km/h} = 5 \text{ m/s}$ și accelerația medie

$$a_m = \frac{v_2 - v_1}{\Delta t} = \frac{5 - 25}{20} \frac{\text{m/s}}{\text{s}} = -1 \text{ m/s}^2.$$

Semnul minus arată că vectorul accelerație este orientat în sensul opus sensului pozitiv ales și cum viteza este pozitivă, semnul este în concordanță cu caracterul încetinit al mișcării ($v > 0$, $a < 0$).

O b s e r v a ț i i. 1. În cazul mișcării rectilini, semnul vitezei v și semnul accelerației a depind atît de sensul mișcării mobilului, cît și de *sensul ales pozitiv pe axa mișcării*. Dacă schimbăm sensul pozitiv pe axa mișcării, atît v cît și a își schimbă *amîndouă* semnul (de aceea caracterul accelerat sau încetinit nu depinde de sensul ales pozitiv pe axa mișcării).

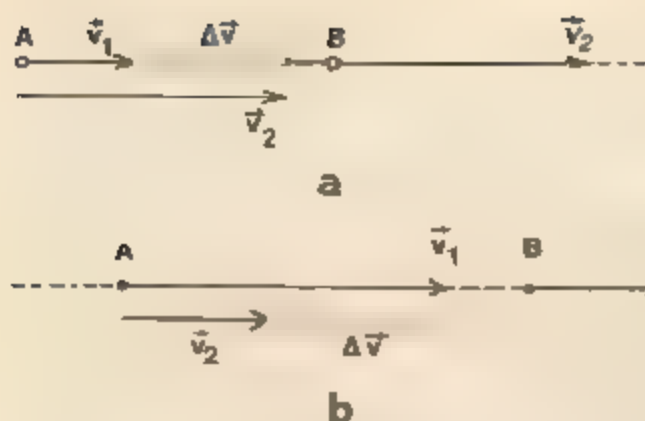


Fig. 1.22. În mișcarea rectilinie accelerată vectorii viteză și accelerație au același sens (a), iar în mișcarea încetinită ei au sensuri opuse (b)

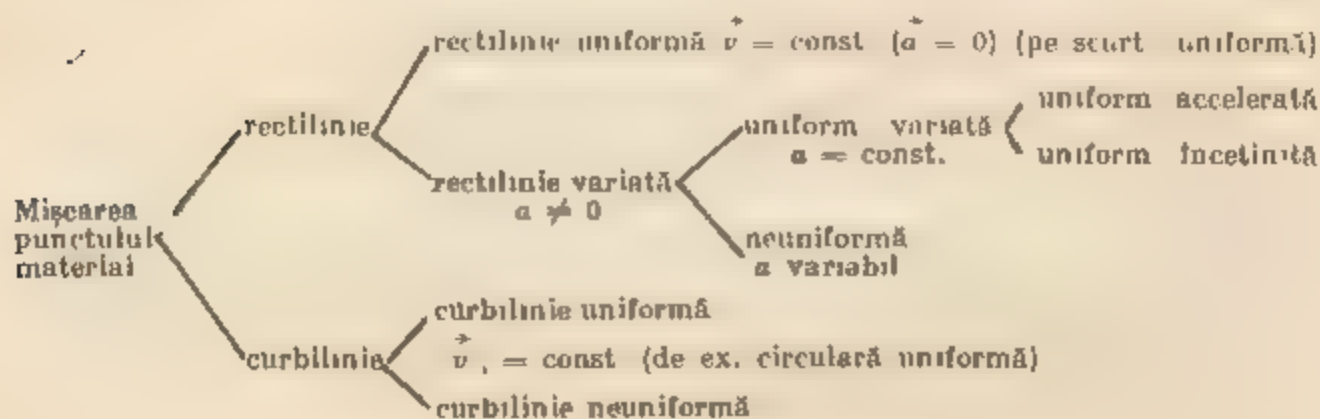
Aproape totdeauna se alege sensul pozitiv pe axa mișcării în sensul vitezei (al mișcării); în acest caz $a > 0$ înseamnă accelerare și $a < 0$ înseamnă frinare.

2. În cazul mișcării rectilinii, accelerația medie, conform formulei (1.22) ne arată cu cât variază în medie în unitatea de timp (1 s) viteza corpului (pentru fiecare secundă din intervalul de timp Δt pentru care a fost calculată acea accelerație medie). În adevăr, din (1.22) avem $\Delta v = a_m \Delta t$ și pentru $\Delta t = 1$ s, rezultă $\Delta v = a_m$. De exemplu, dacă accelerația unui tren este $a = 2,0 \text{ m/s}^2$, înseamnă că viteza sa crește în fiecare secundă cu $2,0 \text{ m/s}$. Caracterul accelerat sau încetinit depinde și de semnul vitezei: dacă $v > 0$, trenul este accelerat, dacă $v < 0$, el este frinat. Doar semnul accelerației singur nu ne spune încă despre caracterul accelerat sau încetinit al mișcării.

Iată încă un exemplu. Dacă vectorul accelerație al unui lift este îndreptat în sus, aceasta înseamnă fie pornire accelerată în sus fie frinare la coborîre. Dacă vectorul accelerație al liftului este îndreptat în jos, aceasta înseamnă fie pornire accelerată în jos fie frinare la urcare.

Exemple de accelerații. Accelerația gravitațională de cădere liberă a corpurilor pe suprafața pământului $g = 9,8 \text{ m/s}^2$, pe suprafața Lunii $1,62 \text{ m/s}^2$, pe suprafața Soarelui 271 m/s^2 , pe Marte $3,77 \text{ m/s}^2$. Accelerația unui electron într-un atom de hidrogen $0,9 \cdot 10^{22} \text{ m/s}^2$. Un om suportă în mod acceptabil accelerații până la de cinci ori accelerația gravitațională.

1.9 CLASIFICAREA MIȘCĂRILOR PUNCTULUI MATERIAL



1.10. RELATIVITATEA MIȘCĂRII MECANICE

Am văzut că noțiunile de repaus și de mișcare nu au sens decât *relativ* la un sistem de referință. Același lucru este valabil și pentru traiectorie, adică nu numai viteza, ci și forma traiectoriei depinde de sistemul de referință ales. Uneori în loc de sistem de referință se spune „observator”, fiindcă totdeauna un observator studiază fenomenele față de un sistem de referință legat de el (sistem de coordonate, riglă și ceasornic) și reciproc, putem considera că în oricare sistem de referință se află un observator care studiază fenomenele.

Pentru exemplificare se consideră un observator aflat într-un vagon, ce se mișcă orizontal cu viteza constantă \vec{v} . Observatorul ține în mână un obiect. Pentru observatorul din tren obiectul este în repaus, traiectoria se reduce la un punct, deplasarea și viteza sînt zero. Pentru observatorul de pe Pămînt, obiectul se deplasează orizontal cu viteza \vec{v} împreună cu trenul și traiectoria este o dreaptă orizontală.

Dacă observatorul din vagon scapă obiectul din mână, acesta va cădea vertical în jos față de vagon, dar față de observatorul de pe Pămînt, obiectul va descrie o traiectorie curbilinie și vectorul vitezei va avea direcție variabilă în timpul căderii (fig. 1.23).

Un alt exemplu îl constituie un obiect lăsat liber să cadă dintr-un avion (fig. 1.24). Pentru un observator terestru, traiectoria va fi curbilinie, analogă

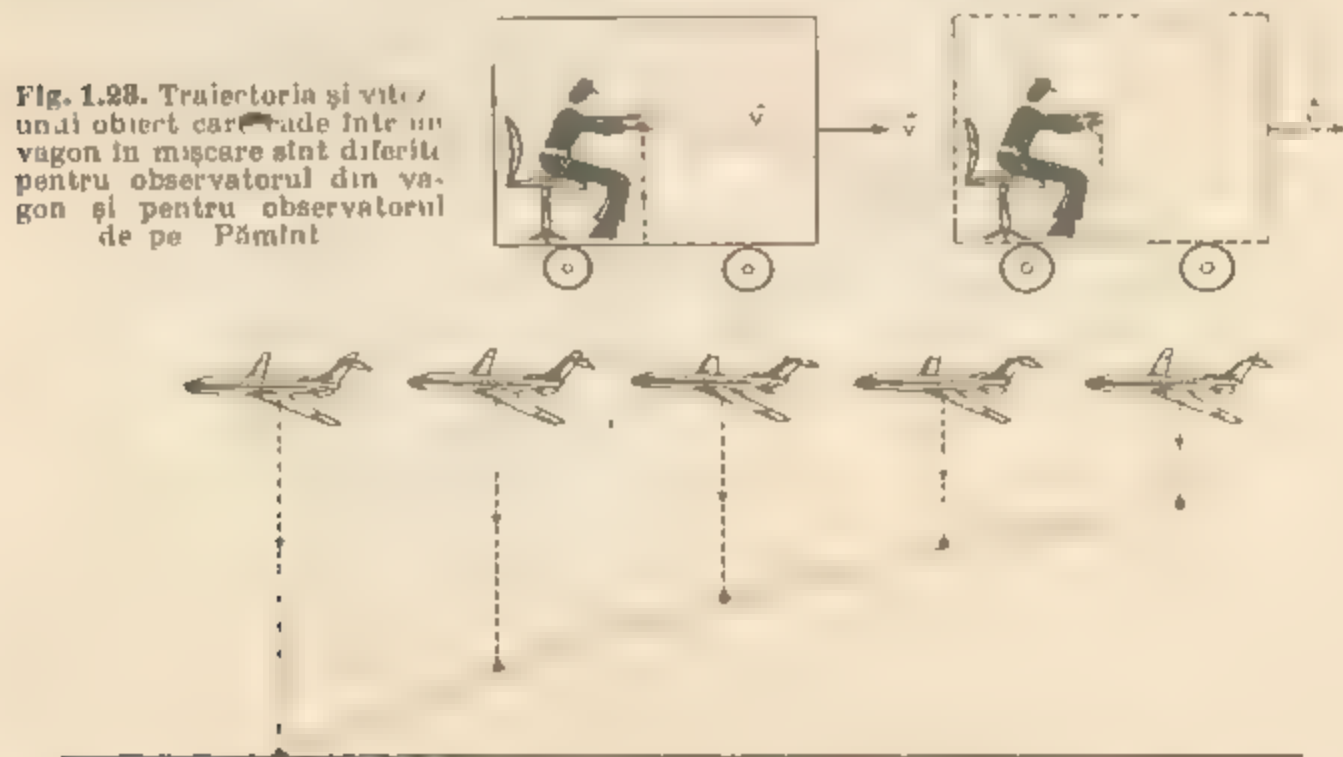


Fig. 1.24. Traiectoria și viteza obiectului lansat din avion sînt diferite pentru avion și pentru observatorul terestru.

celor din exemplul precedent, în timp ce pentru aviator traiectoria va fi practică (dacă neglijăm rezistența aerului) o linie verticală, tot timpul sub avion, dacă avionul continuă să zboare orizontal rectiliniu uniform.

Astfel de exemple ne demonstrează relativitatea traiectoriei, deplasării și vitezei.

1.11. COMPUNEREA MIȘCĂRILOR

Un corp poate participa simultan la două mișcări. Cum se compun ele pentru a da mișcarea rezultantă?

De exemplu, un om se plimbă într-un vagon, care la rândul său se află în mișcare (sau un obiect cade într-un vagon în mișcare). Cunoșcând cele două mișcări cum aflăm mișcarea rezultantă a omului (obiectului) față de pământ? Să cunoaștem mișcarea unui satelit artificial față de Pământ și mișcarea Pământului față de Soare. Cum calculăm mișcarea satelitului față de Soare?

Alt exemplu: un bloc este ridicat în sus prin intermediul unei scripete și în același timp scripetele se deplasează orizontal de-a lungul brațului unei catene. Care va fi mișcarea (viteza) rezultantă (fig. 1.25)?

Care va fi deplasarea și viteza unui corp care se mișcă față de apă și se deplasează pe o direcție perpendiculară pe cursul apei unui râu (fig. 1.26)?

Stăruim exemplul de mai sus, constatăm că deplasările și vitezele se compun după regula lui diagramului ca orice vectori.

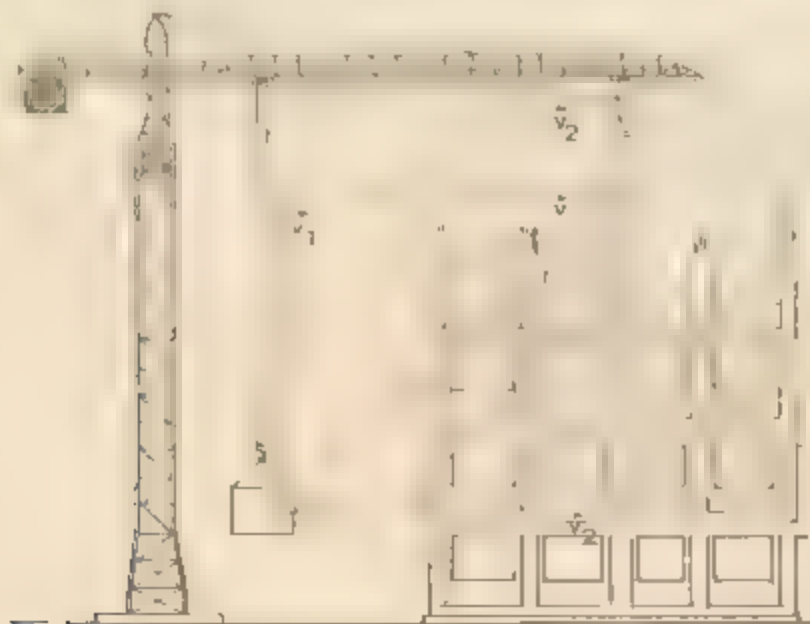


Fig. 1.25. Blocul este ridicat vertical în sus cu viteza \vec{v}_2 față de scripete superior, care se deplasează orizontal cu viteza \vec{v}_1 . Care este viteza rezultantă \vec{v} a blocului față de pământ?

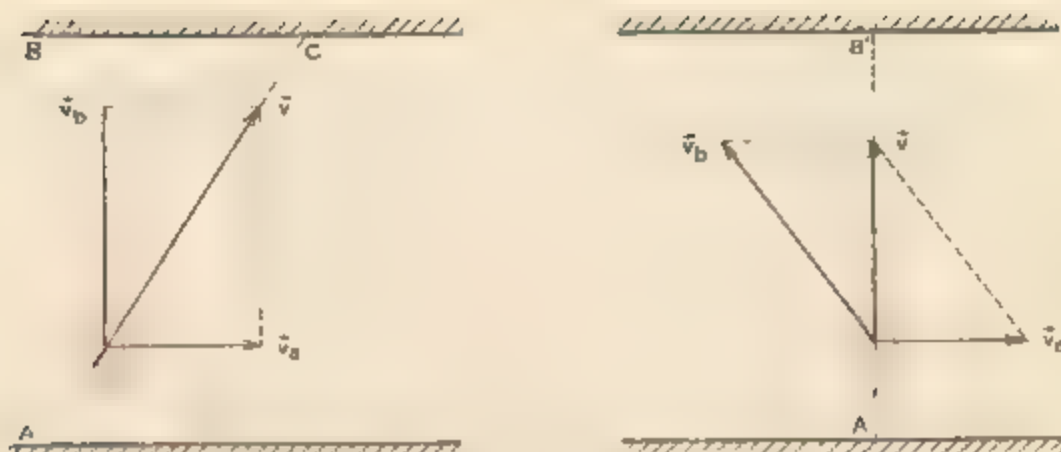


Fig. 1.26. Calcularea vitezei. Viteza bărcii față de apă \vec{v}_b se adăugă la viteza curentului (viteza apei) \vec{v}_a pentru a da viteza bărcii față de țară $\vec{v} = \vec{v}_b + \vec{v}_a$. Căci trebuie orientată viteza bărcii față de țară pentru a ajunge perpendicular pe malul râului. Când este posibil aceasta.

1.12. REPREZENTAREA GRAFICĂ A LEGII MIȘCĂRII

Legea mișcării poate fi determinată experimental și reprezentată sub forma unui tabel:

t (în s)	-3	:	-1	0	1	2	3	4	5	6	7	8
x (în m)	-0,2	0	0,1	0,2	0,4	0,8	1,4	2,2	3,2	4,5	6,0	7,8

Este util să sugerezi să reprezentați grafic legea mișcării într-o diagramă coordonată timp. Trebuie să alegeți axa orizontală, naș, ca timpul t (altfel s-ar putea vorbi de mișcare în funcție de x), ca curbă în funcție de timp, sau în funcție de poziție (fig. 1.27). Un punct P pe curbă reprezintă poziția mobilului în cazul poziției afecșate în funcție de timp și poziția mobilului în cazul poziției afecșate în funcție de poziție. Dacă mobilul trece prin originea coordonatelor ($x = 0$), curba reprezentativă taie axa timpului. Curba reprezentativă a legii de mișcare $x = f(t)$ nu are nici o legătură cu traiectoria.

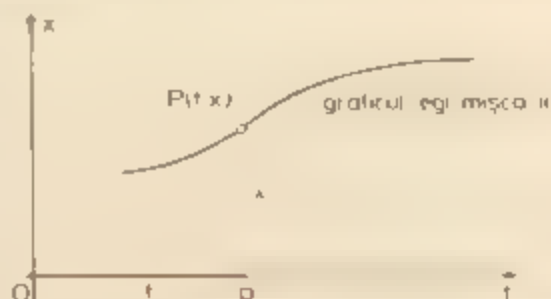


Fig. 1.27. Reprezentarea legii mișcării $x = f(t)$.

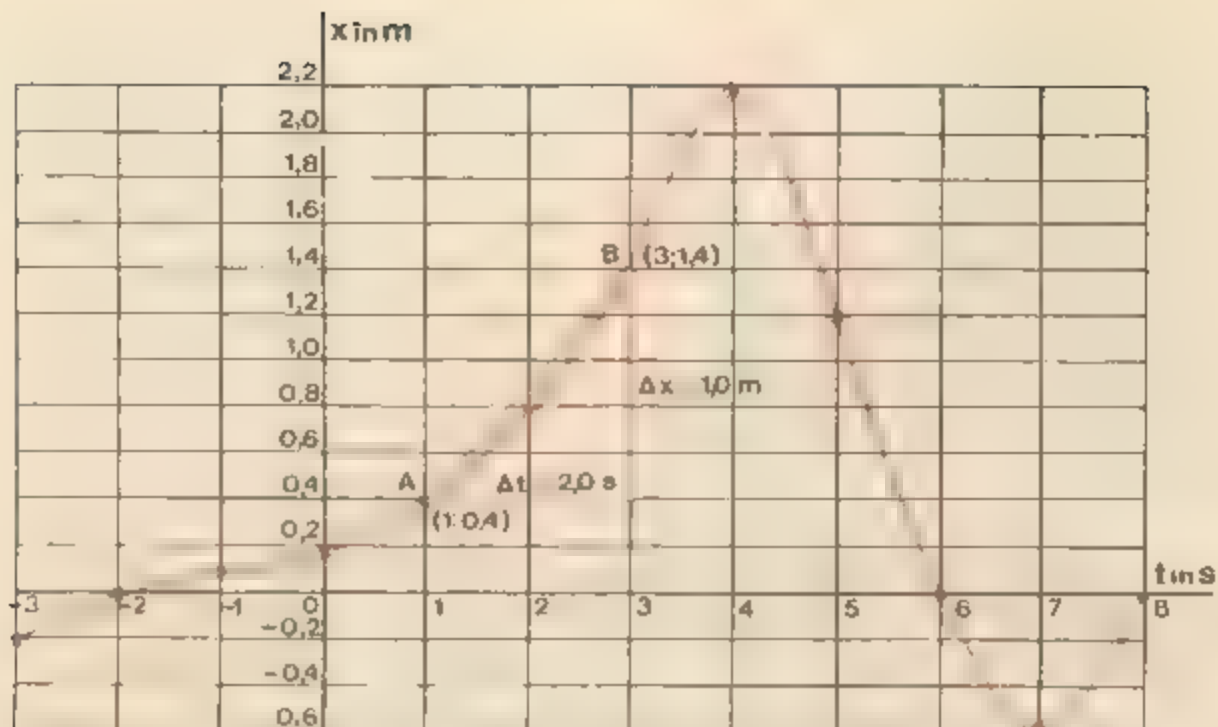


Fig. 1.28 Reprezentarea grafică a legii mișcării $x = f(t)$

În exemplul din figura 1.28 la momentul (inițial) $t = 0$ mobilul se afla la distanța $x_0 = 0,20$ m de origine (coordonata inițială). În „trecut” ($t < 0$) mobilul a trecut prin origine la momentul $t = -2,0$ s, venind din partea negativă a traiectoriei. La momentul $t = 4,0$ s mobilul se afla la distanța maximă de origine $x = 2,20$ m, după care a început să se apropie de origine foarte repede. La $t = 6,0$ s mobilul ajunge în origine și trece de partea „cealaltă” negativă a traiectoriei, depărtându-se cel mai mult ($x = -0,60$ m) la $t = 7,0$ s, după care se întoarce din nou în origine la $t = 8,0$ s.

Viteza medie pe diferite intervale de timp se poate calcula din tabel sau din grafic. Astfel, viteza medie în intervalul $(1,0; 3,0)$ s este

$$v_m = \frac{\Delta x}{\Delta t} = \frac{x_2 - x_1}{t_2 - t_1} = \frac{1,40 - 0,40 \text{ m}}{3,0 - 1,0 \text{ s}} = 0,50 \text{ m/s.}$$

Viteza medie în intervalul $(-3,0; 0,0)$ s este:

$$v_m = \frac{0,20 - (-0,20) \text{ m}}{0,0 - (-3,0) \text{ s}} = \frac{0,40 \text{ m}}{3,0 \text{ s}} = 0,13 \text{ m/s.}$$

EXPERIMENTE

Se vor face experimente privind mișcarea rectilinie cu ajutorul Trusei le fizică pentru licee.

Montajul *meccanic* (fig. 1.29) conține o bară (66) pe care rulează un cărucior (27) a cărui mișcare se studiază. Montajul *electric* (fig. 1.29, 1.30 și 1.31) conține un electromagnet (20) pentru reținerea căruciorului, întrerupătoarele *ND* (18)

Fig. 1.29. Montaj pentru studiul mișcării rectilinii: 66 - bară de rulare, 27 - cărucior, 67 - riglă gradată, 18 - întrerupător *ND* (1), 23 - întrerupător *NI* (2), 20 - electromagnet, 28 - înscriptor, 30 - dispozitiv de înregistrare.

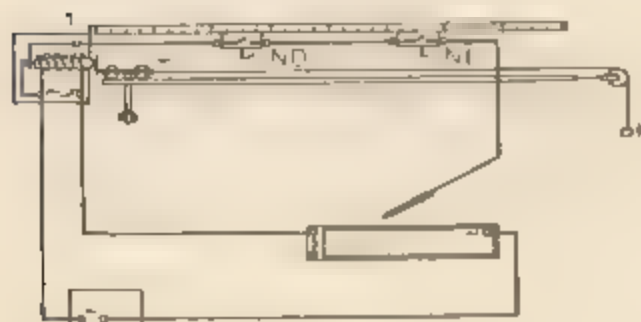
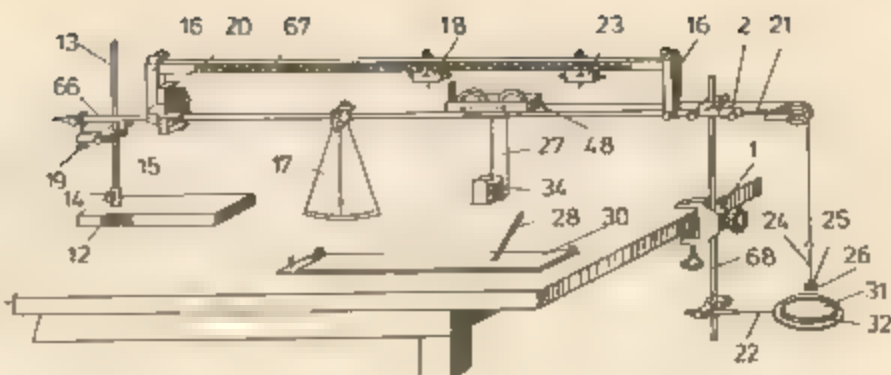


Fig. 1.80. Montajul electric

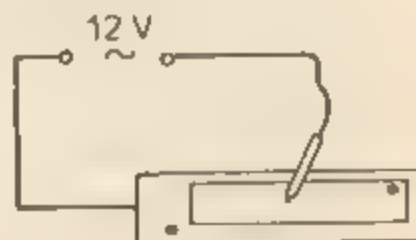


Fig. 1.81. Înscriptorul.

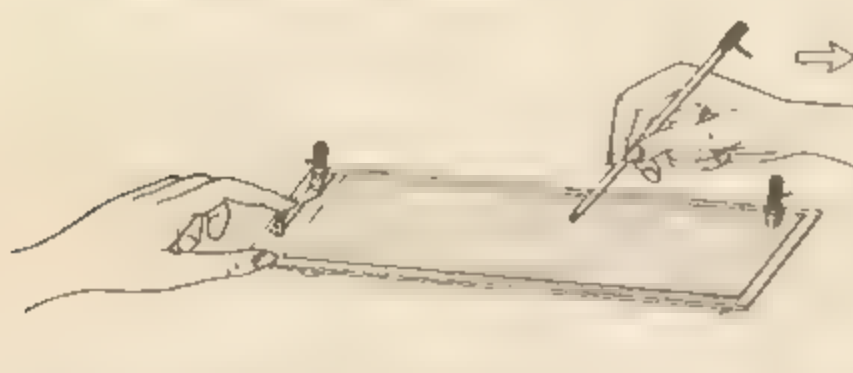


Fig. 1.82. Înregistrarea timpului.

(normal deschis) și *NI* (23) (normal închis) și un înscriptor (28). Înregistrarea timpului (fig. 1.32) se face printr-o metodă chimică folosind curentul alternativ.

Se fac experiențe de măsurare a vitezei *medii* pe diferite distanțe Δx . Se fixează pe rigla gradată (67) întrerupătoarele la această distanță și se măsoară timpul Δt , atunci $v_m = \Delta x / \Delta t$.

PROBLEME REZOLVATE

1. a) Putem vizi. pe un riu astfel încât barca să rămână pe loc față de mal? b) Se poate deplasa un om pe o scară rulantă astfel încât să fie în repaus față de pământ?

Rezolvare. Dacă barca are față de apă exact viteza apei dar în *sens opus*, ea va rămâne pe loc față de mal. La fel, dacă omul are față de scară o viteză \vec{v}' egală în modul, de aceeași direcție, dar de *sens opus* cu viteza scării \vec{v} , adică $\vec{v}' = -\vec{v}$, el va rămâne pe loc față de pământ.

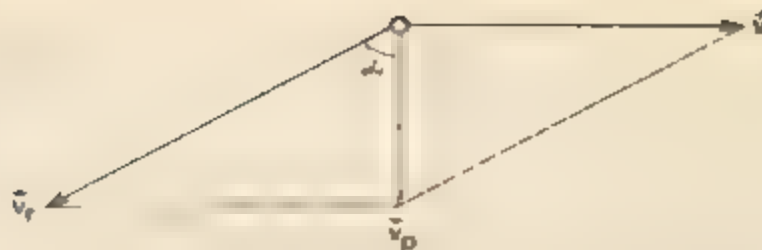


Fig. 1.88. Pentru problema rezolvată 2

2. Picăturile de ploaie, care cad vertical formează pe geamurile unui tramvai în mișcare urme înclinate sub un unghi $\alpha = 60^\circ$ față de verticală. Care este viteza picăturilor de ploaie (față de pământ) dacă viteza tramvaiului este $v = 12$ m/s?

Rezolvare Viteza picăturilor de ploaie față de tramvai \vec{v}_r (sub $\alpha = 60^\circ$ față de verticală), compusă cu viteza tramvaiului \vec{v} (orizontală) trebuie să dea viteza \vec{v}_p a picăturilor de ploaie față de pământ (verticală): $\vec{v}_r = \vec{v}_p + \vec{v}$. Din figura 1.88 rezultă $v_p = v \operatorname{ctg} \alpha = 7,0$ m/s.

ÎNTREBĂRI, EXERCIIU, PROBLEME

1. Un vector \vec{a} are modulul $a = 12$ unități și este orientat exact spre Est. Ce modul și ce orientare au vectorii

$$1,5 \vec{a}, \quad \frac{\vec{a}}{4}, \quad -\vec{a}, \quad 0,5\vec{a}, \quad \frac{\vec{a}}{3}.$$

R: 18; 3 spre Est; 12; 6, 4 spre Vest.

2. Cum se compun mai mulți vectori dacă ei sînt pe aceeași dreaptă? Ce devine regula paralelogramului în cazul a doi vectori colinari? Între ce limite este cuprins modulul sumei și diferenței a doi vectori \vec{a} , \vec{b} , dacă unghiul dintre ei variază?

R: algebric, $a + b \geq |\vec{a} \pm \vec{b}| \geq |a - b|$.

3. Pot fi combinați doi vectori de mărimi diferite astfel încît să dea rezultantă (sumă) nulă? Dar trei vectori?

R: nu, da în anumite condiții (cînd reprezintă laturile unui triunghi)

4. Este operația de scădere vectorială, comutativă și asociativă?

R: nu.

5. Cum sînt vectorii \vec{a} și \vec{b} dacă sînt valabile relațiile $\vec{a} + \vec{b} = \vec{c}$ și $a^2 + b^2 = c^2$? Dar în cazul $\vec{a} + \vec{b} = \vec{a} - \vec{b}$? Dar în cazul $\vec{a} + \vec{b} = \vec{c}$ și $a^2 + b^2 = c^2$?

R: $\vec{a} \perp \vec{b}$, $\vec{b} = 0$, $\vec{a} \perp \vec{b}$

6. În ce fel de mișcare distanța parcursă coincide cu modulul vectorului deplasare?

R: în mișcarea rectilinie cînd viteza nu schimbă semnul.

7. Suma pe care o plătim la un taxi este proporțională cu: „distanța parcursă” sau cu „modulul vectorului deplasare”?

R: cu distanța parcursă

8. Pentru mișcarea din figura 1.28 să se calculeze: *a*) viteza medie a mobilului în intervalele de timp: (1, 0; 4, 0)s; (4, 0; 6, 0)s; (6, 0; 7, 0)s și (6, 0, 8, 0)s. Pentru ce intervale de timp viteza medie este nulă? *b*) Distanța străbătută de mobil în tot timpul mișcării. Care a fost viteza medie, în modul, pe întregul interval?

R: *a*) 0,60; -1,1; -0,60 și 0,0 m/s, *b*) 5,8 m; 0,53 m/s.

9. Poate un mobil avea o viteză îndreptată spre Est și în același timp o accelerație îndreptată spre Vest sau spre Nord?

R: da.

10. Poate avea un corp viteză nulă, la un moment dat, și accelerație nenulă?

R: da.

11. Poate varia direcția vitezei unui mobil dacă vectorul accelerației este constant?

R: da (vezi fig. 2.18)

12. Un camion, mișcându-se curbiliniu, a descris o traiectorie sub forma unui sfert de cerc. Care este distanța parcursă și care este modulul vectorului deplasare?

R: $\pi R/2$; $R\sqrt{2}$.

13. Un vapor se deplasează $d_1 = 7,0$ km spre Est, apoi în continuare $d_2 = 3\sqrt{2}$ km spre N-V. Care este deplasarea rezultantă?

R: $d = 5,0$ km.

14. Viteza unui biciclist este $v_1 = 14,4$ km/h, iar viteza vântului care i suflă din față este $v_2 = 4,0$ m/s. Ce viteză a vântului înregistrează biciclistul față de el? Dar dacă vântul suflă din spate?

R: $v' = v_1 \pm v_2 = 8$, respectiv 0 m/s.

15. Un tractor cu șenile se mișcă cu viteza $v = 3$ m/s. Care este viteza șenilelor inferioare și a celor superioare față de sol? Dar față de tractorist?

R: *a*) 0 și $2v = 6,0$ m/s; *b*) $v = \pm 3,0$ m/s.

16. Un avion cu elice zboară rectiliniu uniform. Care va fi traiectoria unui vîrf al elicei în sistemul de referință legat de: *a*) elice, *b*) avion; *c*) pămînt?

R: *a*) punct; *b*) cerc; *c*) elice (ca filotul unui șurub).

17. Ecuațiile mișcării a cinci puncte materiale sînt următoarele: $x = 2t$, $x = 2 + 3t$, $x = 1 + 2t$, $x = 2 - t$, $x = 3$. Să se reprezinte grafic aceste ecuații pe aceeași diagramă Otx . Ce semnificație au punctele de intersecție a graficului mișcării cu axele Ox , Ot ?

R: coordonata inițială (la $t = 0$), momentul trecerii prin origine (cînd $x = 0$).



Mecanica clasică, elaborată în esență de ISAAC NEWTON (1643 - 1727) se bazează pe trei legi foarte generale, numite *principii*. Separat de aceste principii NEWTON a formulat principiul suprapunerii forțelor. Toate celelalte legi ale mecanicii newtoniene se deduc atunci din aceste principii ca teoreme.

2.1. PRINCIPIUL INERȚIEI (lex prima)

Un tren se mișcă rectiliniu uniform numai dacă este tras de locomotivă; altfel ar merge încetinit și până la urmă s-ar opri. La fel se întâmplă cu diferite alte vehicule.

Să facem o experiență simplă. Să lăsăm o bilă de oțel pe un plan orizontal dur și foarte bine lustruit (din sticlă), vom constata că ea se mișcă (rostogolindu-se) practic *rectiliniu uniform* mult timp. În schimb, o placă de lemn lansată pe un plan orizontal tot din lemn sau din cauciuc se oprește aproape imediat. De ce? Pentru că este puternic frînată de planul orizontal aspru (rugos) *prin frecare, deci prin acțiunea unui alt corp.*

Dacă am elimina acțiunile tuturor corpurilor înconjurătoare, adică am *izola* un corp aflat în mișcare, s-ar opri el oare?

Pe măsură ce diminuăm frecările și alte acțiuni ale mediului, constatăm că mișcarea corpului se apropie tot mai mult de mișcarea rectilinie uniformă (de exemplu, mișcarea pe o linie cu pernă de aer). De aici prin idealizare sau abstractizare se ajunge la *principiul I al dinamicii* (principiul inerției):

echimbo această stare de mișcare.

Acest principiu a fost descoperit de GALILEO GALILEI în 1632 și formulat de ISAAC NEWTON drept principiu I al dinamicii (lex prima) (1686).

GALILEO GALILEI (1564—1642) mare învățat italian, astronom, fizician, mecanician, unul din fondatorii științelor exacte ale naturii. A descoperit legea inerției, legile căderii corpurilor, legile pendulului. Pentru prima dată în istoria astronomiei, cu ajutorul unei lunete confecționate de el însuși, a observat corpurile cerești, descoperind mănți de pe Lună, patru sateliți ai planetei Jupiter, fazele planetei Venus, structura stelară a Căii Lactee, petele pe Soare. În cartea sa „Dialog asupra celor două sisteme principale ale lumii, ptolemaic și copernican” (1632) a dezvoltat strălucit învățătura lui N. Copernic asupra sistemului solar, pentru care în 1633 a fost osândit de un tribunal catolic.



Cum se exprima atunci faptul că în practică mișcarea rectilinie uniformă a vehiculelor trebuie permisiuită înțelegerea interacțiunii între corpul exterior (motor)? În asemenea cazuri există totdeauna acțiuni opuse, anume de obicei forță de inerție, care trebuie învinsă sau compensată. În cazul când toate acțiunile asupra punctului material se compensează reciproc, acesta rămâne în repaus sau în mișcare rectilinie uniformă.

2.1.1. **Inerția și masă.** Pentru a pune în mișcare un corp, pentru a-l opri sau pentru a-i curba traiectoria (a-i schimba vectorul vitezei), trebuie să acționăm asupra sa. În orice acțiune externă, care cauzează schimbarea stării de repaus sau de mișcare rectilinie uniformă, corpul se opune, reacționează.

Se spune că *inerția* este proprietatea unui corp care și-o păstrează starea de repaus sau de mișcare rectilinie uniformă în absența acțiunilor externe care, respectiv, de a se opune (reacționa) la orice acțiune externă, care cauzează schimbarea stării de repaus sau de mișcare rectilinie uniformă în care se afla.

Principiul I al dinamicii se numește și *principiul inerției*, tocmai fiindcă proprietatea enunțată în el este o manifestare a inerției: un punct material izolat se află în repaus sau se mișcă rectiliniu uniform în *virtutea inerției*. O măsură a inerției este *masa*. În această calitate masa se numește *inertială* (sau inertă).

2.2. SISTEME DE REFERINȚĂ INERTIALE

Dacă un corp izolat se mișcă rectiliniu uniform față de stele (sau este în repaus față de stele), atunci față de Pământ el se mișcă curbiliniu din cauza rotației proprii diurne a Pământului, iar față de o navă cosmică, accelerată față de stele, el se mișcă accelerat. De aici rezultă evident că principiul inerției nu poate fi valabil în orice sistem de referință.

Sistemele de referință în care este valabil principiul inerției se numesc *sisteme de referință inerțiale*.

Vom arăta că toate sistemele de referință inerțiale se mișcă unele față de altele *rectiliniu uniform*.

Experiența arată că sistemele de referință legate de stele sau chiar de Soare sînt sisteme de referință inerțiale cu un mare grad de precizie. În schimb, sistemele de referință legate de Pămînt nu sînt riguros inerțiale din cauza rotației Pămîntului față de stele. În majoritatea covârșitoare a nevoilor practice, Pămîntul poate fi însă considerat sistem de referință inerțial cu un suficient grad de precizie.

Peste tot, în cele ce urmează, în rezolvarea problemelor, se înțelege că se folosește un sistem de referință *inerțial* (de obicei legat de Pămînt).

2.2.1 Transformarea Galilei. Un același eveniment sau proces (de exemplu mișcarea unui punct material) poate fi studiat din două sisteme de referință diferite - vom spune, de către doi observatori diferiți. Un eveniment este caracterizat prin coordonatele sale spațiale x, y, z , care arată locul unde se produce evenimentul, și prin coordonata temporală t , care arată momentul la care se produce evenimentul. Fiecare observator măsoară coordonatele evenimentelor cu instrumentele *sale* (rigla și ceasornicul) și stabilește legile corespunzătoare.

Este important de stabilit legătura dintre coordonatele unui eveniment măsurate de diferiți observatori, adică *transformările de coordonate care dau trecerea de la un sistem de referință la altul*.

Astfel putem vedea care aspecte ale fenomenelor și legilor sînt *relative*, adică dependente de sistemul de referință, și care sînt *invariante*, adică independente de sistemul de referință (aceleași pentru toți observatorii).

Vom presupune că riglele și ceasornicele diferiților observatori sînt *construite și etalonate identic*, adică după aceeași „rețetă” (aceiași procedeu tehnologic).

Fie două sisteme de referință S și S' cu axele paralele (axele $Ox, O'x'$ nu sînt deso-

nalate). Presupunem că S' se mișcă față de S cu viteza \vec{u} constantă, astfel încît originile O, O' au coincis la momentul $t = t' = 0$, unde t este timpul măsurat în S , iar t' în S' .

Din punctul de vedere al observatorului S , aplicînd regula compunerii vectoriale, rezultă conform figurii 2.1:

$$\vec{r} = \vec{r}' + \vec{r}_0 = \vec{r}' + \vec{u}t, \quad (2.1)$$

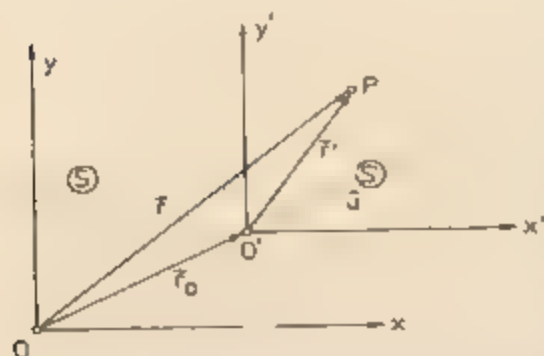


Fig. 2.1. Două sisteme de referință care se mișcă rectiliniu uniform unul față de altul. Transformările Galilei

unde toți vectorii sînt măsurați cu instrumentele din S . Noi vrem însă să stabilim legătura dintre coordonatele (\vec{r}, t) ale unui eveniment P , măsurate de observatorul S cu instrumentele *sale*, și coordonatele (\vec{r}', t') ale aceluiași eveniment dar măsurate de observatorul S' cu instrumentele *sale*. Or, instrumentele (rigla și ceasornicul) din S' se află în mișcare față de S ! Oare distanța $O'P$ măsurată de fiecare observator cu instrumentele *sale* va fi aceeași?

În mecanica clasică newtoniană se consideră că lungimile (distanțele) și duratele au caracter

invariant (sau *absolut*) adică rezultatele măsurătorilor de lungime și durată nu depind nici de mișcarea instrumentelor de măsură, nici de mișcarea obiectelor măsurate.

Această ipoteză este foarte bine verificată în domeniul vitezelor obișnuite (chiar pentru viteze cosmice), dar în domeniul vitezelor foarte mari, apropiate de viteza luminii $c = 3 \cdot 10^8$ m/s (de exemplu, în cazul particulelor atomice), această ipoteză nu mai este exactă și trebuie aplicată mecanica relativistă.

Rămânând în cadrul mecanicii clasice, putem considera că lungimile și duratele au caracter invariant. Astfel, timpul „curge” la fel în cele două sisteme de referință, și prin alegerea noastră a momentelor inițiale ($t = t' = 0$) rezultă permanent $t = t'$. În relația (2.1), putem considera \vec{r} măsurat în S , iar \vec{r}' măsurat în S' , astfel încît obținem următoarele transformări Galilei:

$$\begin{cases} \vec{r} = \vec{r}' + \vec{u}t', \\ t = t' \end{cases} \quad \begin{cases} \vec{r}' = \vec{r} - \vec{u}t, \\ t = t \end{cases} \quad (2.2)$$

Din transformările Galilei rezultă imediat legea clasică de compunere a vitezelor. În adevăr, considerind două poziții consecutive la două momente succesive, avem:

$$\begin{cases} \vec{r}_1 = \vec{r}'_1 + \vec{u}t_1 \\ t_1 = t_1 \end{cases} \text{ și } \begin{cases} \vec{r}_2 = \vec{r}'_2 + \vec{u}t_2 \\ t_2 = t_2 \end{cases} \rightarrow \begin{cases} \Delta \vec{r} = \vec{r}_2 - \vec{r}_1 = \vec{r}'_2 - \vec{r}'_1 + \vec{u}(t_2 - t_1) \\ \Delta t = t_2 - t_1 = t_2' - t_1' = \Delta t' \end{cases}$$

Împărțind ultimele două relații membru la membru, găsim legea clasică de compunere a vitezelor:

$$\vec{v}_m = \frac{\Delta \vec{r}}{\Delta t} = \frac{\Delta \vec{r}'}{\Delta t'} + \vec{u} = \vec{v}' + \vec{u} \quad (2.3)$$

unde \vec{v}' este viteza relativă a mobilului față de S' , \vec{u} — viteza sistemului S' față de S și \vec{v} — viteza rezultantă față de S .

Dacă acum considerăm vitezele la două momente consecutive:

$$\vec{v}_1 = \vec{v}'_1 + \vec{u}, \quad \vec{v}_2 = \vec{v}'_2 + \vec{u}, \quad \Delta \vec{r} = \vec{r}_2 - \vec{r}_1 = \vec{r}'_2 - \vec{r}'_1 = \Delta \vec{r}'$$

și împărțind la intervalul de timp $\Delta t = \Delta t'$, obținem pentru accelerații

$$\vec{a}_m = \vec{a}'_m \text{ și } \vec{a} = \vec{a}', \quad (2.4)$$

adică accelerația este aceeași în toate sistemele de referință în mișcare relativă rectilinie uniformă ($\vec{u} = \text{const}$), deci accelerația este invariantă față de aceste sisteme.

În particular, dacă accelerația este nulă într-un sistem S , adică particula este în repaus sau se mișcă rectiliniu uniform, atunci accelerația va fi nulă în orice alt sistem S' mișcat rectiliniu uniform față de primul, adică particula va fi în repaus sau în mișcare rectilinie uniformă în toate aceste sisteme de referință aflate în mișcare relativă rectilinie uniformă unele față de altele. Dacă principiul inerției este valabil într-unul din ele, deci acesta este un sistem de referință inerțial, atunci acest principiu va fi valabil în toate aceste sisteme de referință, care vor fi de asemenea inerțiale. Reciproc, dacă două sisteme de referință sînt inerțiale, atunci ele se mișcă unul față de altul rectiliniu uniform [altfel (2.4) n-ar fi valabilă, adică accelerația n-ar fi

invariantă, deci mișcarea inerțială, cu $\vec{a} = 0$ într-unul din sisteme, ar apărea accelerată în celălalt].

2.3. PRINCIPIUL FUNDAMENTAL AL DINAMICII (lex secunda)

În procesele de *ciocnire* a două corpuri, de *frecare* între două corpuri solide sau între un solid și un fluid, de *atracție* sau *respingere* între corpuri magnetizate sau electrizate etc., corpurile acționează reciproc, unele asupra altora, adică *interactionează*. Ca efect al interacțiunii corpurile în general se deformează reciproc și se schimbă starea lor de mișcare, adică se schimbă vectorul viteză.

NEWTON a explicat căderea corpurilor ca efect al interacțiunii *gravitaționale* dintre corp și Pământ. Acesta este un caz particular al *interacțiunii gravitaționale* sau *atracției universale* dintre două corpuri. Un corp suspendat de un resort și lăsat să cadă, mișcă liber, este accelerat datorită *atracției reciproce* dintre corp și Pământ.

O măsura a interacțiunii este *vectorul forță*. Astfel, corpurile care interacționează exercită una asupra celei altă *forță*. Acțiunile diferitelor corpuri între ele se resimt asupra corpului și se manifestă prin forțe aplicate acestuia. Prin intermediul forțelor aplicate unui corp se transmite mișcarea născută că

Exemple de forțe Toate forțele din natură se reduc până la urmă la un număr mic de forțe *fundamentale* corespunzător interacțiunilor fundamentale.

a) Un exemplu ar acesta este *forța de atracție gravitațională*, care se exercită între ori care corpuri și depinde numai de masele lor și de distribuția substanței, indiferent de natura ei chimică.

Legea atracției universale a fost descoperită de Isaac Newton și aplicată la *mișcarea corpurilor cerești* (1687).

b) Un alt exemplu de forțe sînt *forțele electrice*. Ele sînt forțe de interacțiune între corpurile electrizate. Știm că prin frecare, de exemplu, corpurile se electrizează și între ele se exercită forțe de respingere sau de atracție.

Forțele elastice sînt forțe care apar în corpurile deformate*. Ele se reduc pînă la urmă la forțe *electrice*. În adevăr, prin deformarea unui solid, ionii, atomii sau moleculele sale constituente sînt dislocate din pozițiile lor de echilibru și se nasc forțe *electrice* care tind să restabilească echilibrul.

Forțele de frecare se reduc pînă la urmă tot la forțe *electrice*.

Orice forță aplicată unui corp îi modifică vectorul viteză, adică îi imprimă o *acelerație*. Din experiența de toate zilele știm că *aceeași* forță aplicată diferitelor corpuri produce variații diferite ale vitezei, fiindcă efectul depinde și de *inerția* corpului, adică de *masa* sa. Cu cît masă este mai mare cu atît variația de viteză, la aceeași forță aplicată, în același interval de timp, este mai mică. Ne putem da seama de acest fapt cînd tragem sau împingem cu *aceeași* forță același cărucior gol apoi încărcat.

* Acest tip de forță va fi studiat mai pe larg la § 3.6.

ISAAC NEWTON (1643—1727) a fost un mare fizician, astronom și matematician englez. În celebra sa carte „Principiile matematice ale filozofiei naturale” (1687) a fundamentat și dezvoltat mecanica clasică, formulind cele trei principii ale mecanicii, precum și legea atracției universale. El a pus bazele mecanicii corpurilor cerești, explicând mișcările planetelor în sistemul solar. Pentru rezolvarea problemelor mecanicii a elaborat mijloace și metode matematice noi și de o mare însemnătate, punând bazele calculului diferențial și integral (în același timp și independent de Gottfried Wilhelm Leibniz).

Newton este cunoscut și pentru cercetările sale în domeniul opticii. El a descoperit și a studiat dispersia luminii (descompunerea luminii albe solare în culori). El este autorul unei teorii cu privire la natura luminii care a jucat un rol important în istoria științei (teoria corpusculară).

A perfecționat aparatele optice, a construit pentru prima dată telescoape (cu oglindă fără aberații cromatice).

Lucrările și concepțiile lui Newton au exercitat o puternică și îndelungată influență asupra întregii fizici, ele au dominat fizica aproape două secole. Prestigiul și succesele lucrărilor lui Newton au influențat imens întreaga istorie, nu numai a științei ci și a culturii în general.

Începând cu primele decenii ale secolului XX, s-a stabilit că mecanica clasică newtoniană nu este valabilă în domeniul vitezelor foarte mari, comparabile cu viteza luminii în vid ($c = 300\,000\text{ km/s}$), precum și în domeniul atomic.

De asemenea, constatăm ușor că aplicând unui corp, aflat în mișcare *rectilinie*, o forță în *direcția mișcării sale* (a vitezei), nu modificăm caracterul *rectiliniu* al mișcării, adică nu abatem corpul de la traiectoria sa rectilinie, nu curbăm traiectoria, ci doar îl accelerăm sau frînăm pe această direcție (traiectorie). Deci *variația vitezei (acelerația) este în același sens cu forța*.

Dacă însă aplicăm o forță oblică sau perpendiculară față de traiectorie (față de viteză), atunci abatem corpul de la mișcarea rectilinie, curbăm traiectoria, modificăm *direcția* vectorului viteză. Astfel se întâmplă de exemplu dacă lovim lateral o bilă de biliard aflată în mișcare sau dacă, în drumul unei bile de oțel care se rostogolește pe un plan orizontal de sticlă, punem lateral un magnet (fig. 2.2).



Fig. 2.2. Forța de atracție a magnetului curbează traiectoria unei bile de oțel care se rostogolește pe un plan orizontal

Chiar din aceste experiențe și observații simple se poate bănuia că *accele-
rația imprimată are direcția și sensul forței aplicate, fiind proporțională cu forța
și invers proporțională cu masa corpului*: $\vec{a} = \text{const} \cdot \frac{\vec{F}}{m}$

Nenumărate experiențe, efectuate cu tot felul de corpuri, aflate în cele
mai variate stări de mișcare, cărora li s-au aplicat diferite forțe (gravitaționale,
electrice, elastice etc.), au condus la următorul principiu.

Legea

$$\vec{F} = \text{const.} \cdot m \vec{a}.$$

Acesta este conținutul principiului II al dinamicii, numit și *principiul
fundamental* (lex secunda). Acest principiu a fost formulat de I. NEWTON
(împreună cu celelalte principii ale mecanicii) în cartea sa „Principiile mate-
matice ale filozofiei naturale” (1687).

Deoarece unitatea de măsură pentru masă (1 kg) este fixată, fiind chiar
unitate fundamentală în SI (Sistem Internațional de unități), iar unitatea de
acceleerație a fost deja stabilită ca unitate derivată (1 m/s²), vom alege unitatea
de forță astfel încât constanta de proporționalitate din legea de mai sus să
fie 1. Atunci ecuația principiului II devine:

$$\vec{F} = m\vec{a}, \quad (2.5)$$

iar unitatea de măsură pentru forță va fi egală cu unitatea de masă ori uni-
tatea de acceleerație:

$$[F] = [m] \cdot [a] = 1 \text{ kg} \cdot 1 \frac{\text{m}}{\text{s}^2} = 1 \frac{\text{kg} \cdot \text{m}}{\text{s}^2} = 1 \text{ N} \quad (2.6)$$

Această unitate în SI se numește **newton (N)**.

*Newtonul este egal cu mărimea acelei forțe care aplicată unui corp cu masa
de 1 kg îi imprimă o acceleerație de 1 m/s².*

Înțelegând prin forță medie pe un interval de timp Δt , o forță constantă
care produce aceeași acceleerație medie sau aceeași variație de viteză pe inte-
valul Δt ca și forța variabilă dată, putem scrie (2.6) pentru valori medii:

$$\vec{F}_m = m\vec{a}_m = m \frac{\Delta \vec{v}}{\Delta t}; \quad \Delta \vec{v} = \vec{F}_m \cdot \frac{\Delta t}{m}, \quad (2.7)$$

*variația vitezei are direcția și sensul forței (medii) aplicate (este coliniară cu
forța).*

Dacă forța aplicată este coliniară cu viteza, variația de viteză va fi de
asemenea coliniară cu viteza, deci viteza își păstrează direcția, adică
mișcarea va fi rectilinie pe direcția comună a forței și vitezei (fig. 2.3, a).

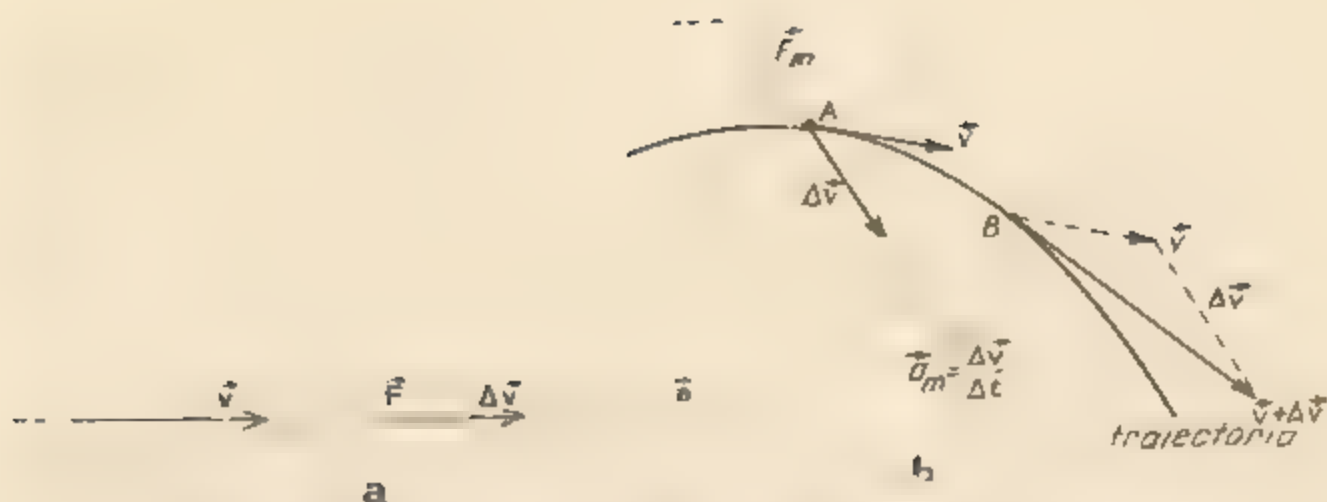


Fig. 2.2. Variația vectorului viteză are direcția și sensul forței aplicate (a) Forța fiind paralelă cu viteza, creșterea de viteză și accelerația sînt pe aceeași direcție și mișcarea este rectilinie (b) Forța fiind oblică pe viteză, variația de viteză și accelerația au direcția și sensul forței aplicate, deci mișcarea va fi curbilinie.

Dacă însă forța aplicată este oblică față de viteză, variația vitezei va fi în direcția și în sensul forței, deci traiectoria se va curba înspre regiunea spre care este îndreptată forța (fig. 2.3, b).

Experimente de verificare a legii fundamentale $\vec{F} = m\vec{a}$ în două cazuri mai simple, vor fi prezentate la paragrafele următoare: forță constantă pe direcția mișcării - mișcare rectilinie uniform variată, § 3.2, și forță constantă în modul, perpendiculară pe direcția mișcării - mișcare circulară uniformă, § 3.5.

2.3.1. Observații în legătură cu principiul II. 1. Ecuația principiului II este o ecuație *vectorială*. Variația unui vector de exemplu, $\Delta \vec{v}$, nu trebuie confundată cu variația modului Δv (unde $v = |\vec{v}|$). De exemplu, într-o mișcare *curbilinie* uniformă avem $|\vec{v}| = v = \text{const}$, deci $\Delta v = 0$, dar variază *direcția* vectorului viteză, deci $\Delta \vec{v} \neq 0$ și $\vec{a}_m = \frac{\Delta \vec{v}}{\Delta t} \neq 0$. De asemenea, variația modului, Δv , nu trebuie confundată cu modulul variației vectorului $|\Delta \vec{v}| \neq \Delta |\vec{v}|$.

2. În cazul mișcării *rectilinii* putem scrie:

$$F_m = ma_m = m\Delta v / \Delta t \quad F = m \cdot dv / dt, \quad (2.8)$$

unde mărimile F , v , a sînt componentele vectorilor respectivi pe axa mișcării Ox , pozitive dacă vectorii respectivi sînt orientați în sensul pozitiv ales pe axă și negative dacă vectorii respectivi sînt orientați în sensul opus.

În cazul mișcării *plane* ecuația vectorială $\vec{F} = m\vec{a}$ se proiectează pe cele două axe și se obțin două ecuații pe componente.

$$\vec{F} = m\vec{a} \rightarrow F_x = ma_x, \quad F_y = ma_y \quad (2.9)$$

(analog în cazul mișcării în spațiu).

3. În ecuația (2.5) masa apare în calitate de măsură a *inerției* corpului, de aceea se numește *masă inerțială* (sau inertă). În adevăr, accelerația imprimată unui corp de către o forță dată este cu atât mai mică, cu cât inerția corpului este mai mare, altfel spus, este invers proporțională cu măsura iner-

ției corpului, adică cu masa inerțială: $\vec{a} = \frac{\vec{F}}{m}$.

Pe de altă parte, forța gravitațională exercitată asupra unui corp de către un câmp gravitațional, de exemplu greutatea unui corp în câmpul gravitațional terestru, este proporțională tot cu masa corpului:

$$\vec{G} = m\vec{g}. \quad (2.10)$$

Se va arăta mai târziu că cele două mase coincid (§ 3.8.1).

Accelerația gravitațională \vec{g} este orientată spre centrul Pământului, la fel ca și greutatea corpurilor și are valoarea $g \approx 9,8 \text{ m/s}^2$ (depinde de altitudine și latitudine).

Greutatea etalonului masă de 1 kg în câmpul gravitațional normal (standard) dat de accelerația gravitațională $g_n = 9,80665 \text{ m/s}^2$ este.

$$G = mg = 1 \text{ kg} \cdot 9,80665 \text{ m/s}^2 = 9,80665 \text{ N} \approx 9,8 \text{ N}.$$

Accelerația gravitațională la nivelul mării și la paralela de 45° este $g_0 = 9,80616 \text{ m/s}^2$.

4. Ecuația $\vec{F} = m\vec{a}$ nu ne spune nimic despre *natura* forței: ea poate fi de natură gravitațională, electrică sau în particular forță elastică, forță de frecare etc. În ecuația $\vec{F} = m\vec{a}$ forța apare sub formă abstractă ca un model *meccanic* al oricărei interacțiuni a corpurilor, independent de natura fizică a acestei interacțiuni. În modul acesta, relația $\vec{F} = m\vec{a}$, pe lângă caracterul de lege a naturii, poartă și caracterul de *definiție dinamică a forței*. De aceea pentru determinarea mișcării unui sistem: oscilator elastic, sistem solar, atom etc. trebuie cunoscută și *legea forței*, de exemplu legea lui Hooke, legea atracției gravitaționale (NEWTON), legea interacțiunii electrice (COULOMB) etc.

2.3.2. Impulsul. Să scriem desfășurat relația (2.7):

$$\vec{F}_m = m \frac{\Delta \vec{v}}{\Delta t} = m \frac{\vec{v}_2 - \vec{v}_1}{t_2 - t_1} = \frac{m\vec{v}_2 - m\vec{v}_1}{t_2 - t_1} = \frac{(m\vec{v})_2 - (m\vec{v})_1}{t_2 - t_1}. \quad (2.11)$$

Se vede că aici apare produsul $m\vec{v}$ dintre masă și viteză. Acest produs reprezintă o nouă mărime fizică importantă numită impuls.

Impulsul punctului material este

Definiție 2.4.

Impulsul este o mărime **vectorială** care are aceeași direcție și același sens cu vectorul viteză (fig. 2.4).

Revenind la ecuația (2.11), putem scrie:

$$\begin{aligned} \vec{F} &= m \vec{a} = m \frac{d\vec{v}}{dt} = \frac{d(m\vec{v})}{dt} \\ &= \frac{d\vec{p}}{dt} \end{aligned} \quad (2.12)$$

Forța este egală cu variația impulsului raportată la intervalul de timp, adică variația impulsului cu revine unității de timp.

Aceasta este o altă formulare (o altă generalizare) a principiului II al dinamicii (de altfel așa l-a formulat chiar Newton).

Unitatea de măsura pentru impuls rezultă din definiția sa:

$$[p] = [m][v] = 1 \text{ kg} \cdot 1 \text{ m/s} = 1 \text{ kg} \cdot \text{m/s} = 1 \text{ N} \cdot 1 \text{ s} = \text{N} \cdot \text{s} \quad (2.13)$$

Această unitate este deci egală cu impulsul unui punct material care are masa de 1 kg și se mișcă cu viteza de 1 m/s.



Fig. 2.4. Impulsul unui punct material $\vec{p} = m\vec{v}$ are aceeași direcție și sensul vitezei. Variația impulsului este direcția și sensul forței aplicate.

EXPERIMENT

Forțele produc două feluri de efecte: efecte de **deformare** a corpurilor (numite efecte statice) și efecte de **accelerare** a corpurilor (numite efecte dinamice).

a) Efectele de deformare sînt folosite pentru a măsura forțele. Există corpuri, numite **elastice**, la care deformările (nu prea mari) dispar odată cu îndepărtarea forțelor care le-au produs, de exemplu tot felul de **resorturi**.

Dinamometrele sînt resorturi elastice prevăzute cu o riglă pentru măsurarea alungirilor, deci a forțelor aplicate, rigla fiind gradată direct în unități de forță (fig. 2.5). Cu ajutorul dinamometrelor putem verifica legea de compunere **vectorială** a forțelor.

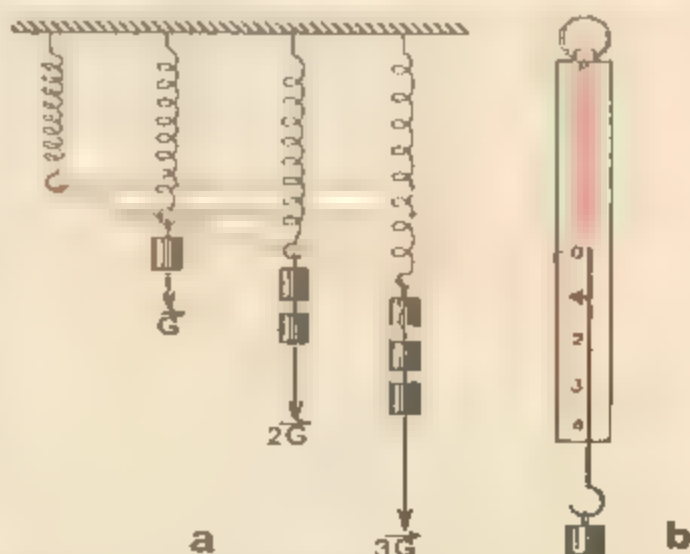


Fig. 2.5. (a) Alungirea unui resort elastic este proporțională cu forța de întindere. (b) Schema unui dinamometru.

b) Efectele de accelerare pot fi puse în evidență cu montajul din figura 1.29. Detașind inelul cu placa de prindere (22, 32) și folosind diferite greutateți creștate (25, 26) vom constata că, cu cât forța de greutate a acestora este mai mare, cu atât accelerația imprimată căruciorului este mai mare.

2.4. PRINCIPIUL ACȚIUNILOR RECIPROCE (lex tertia)

Prin ciocnirea a două bile, *fiecare* își schimbă viteza, fiindcă în timpul contactului bilele se deformează *reciproc* și se nasc forțe elastice cu care o bilă acționează asupra celeilalte. La fel, la ciocnirea a două vagoane, resorturile tampoanelor de la *fiecare* vagon se comprimă, *fiecare* vagon acționând asupra celuilalt cu o forță.

În procesul interacțiunii a două corpuri, *fiecare* corp exercită o forță asupra celuilalt, adică apar totdeauna *simultan* două forțe, numite *acțiune* și *reacțiune*. Care din aceste două forțe se numește acțiune și care reacțiune, depinde de care corp se consideră primul și care al doilea. Primul corp acționează asupra celui de-al doilea cu o forță care se va numi acțiune, iar corpul al doilea acționează (vom spune acum, reacționează) asupra primului cu o forță numită reacțiune. Cele două forțe acționează *simultan* (în concepția clasică newtoniană a acțiunii instantanee la distanță).

Oriunde constatăm o forță acționând asupra unui corp, că este expresia acțiunii unui alt corp din mediul înconjurător, este o latură a *interacțiunii* dintre cele două corpuri. O forță unică, izolată, este o imposibilitate.

EXPERIMENTE

1. Să luăm două dinamometre, să le cuplăm prin țărligele lor și apucându-le de inele să le întindem ca în figura 2.6. Oricât le-am întinde, indicațiile dinamometrelor sînt permanent identice, forța cu care primul dinamometru acționează asupra celui de-al doilea este egală ca mărime și opusă ca sens cu forța cu care cel de-al doilea dinamometru acționează asupra primului.

2. Punem pe două cărucioare un magnet și o bucată de fier și prindem cărucioarele prin intermediul unor dinamometre de obiecte fixe, ca în figura 2.7. Oricare ar fi distanța dintre magnet și bucata de fier, forțele de interacțiune arătate de dinamometre sînt egale în modul și de sensuri opuse.

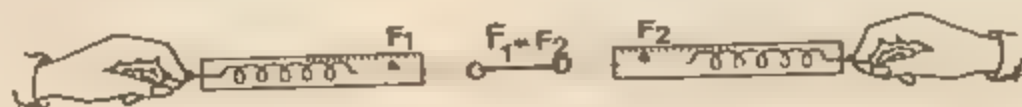


Fig. 2.6. Fiecare dinamometru acționează asupra celuilalt cu o forță egală în modul și de sens opus.

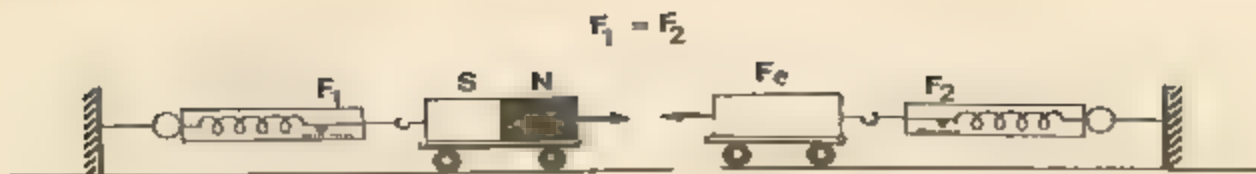


Fig. 2.7. Interacțiunea dintre un magnet și o bucată de fier: se atrag reciproc, cu forțe egale în modul și de sensuri opuse.

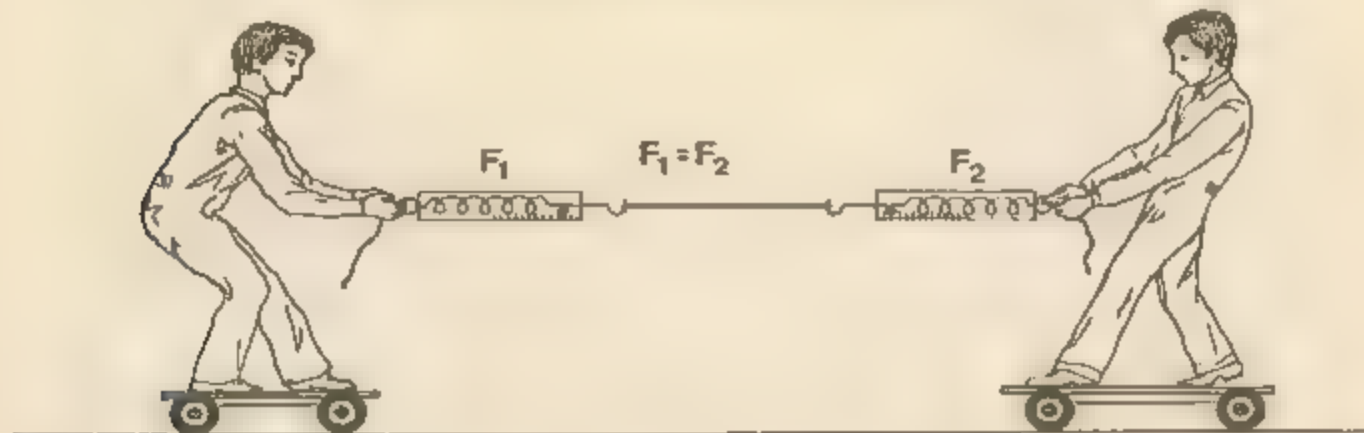


Fig. 2.8. Oricare din elevi ar trage de sfoară, ambele cărucioare se apropie și se întâlnesc mereu în același loc.

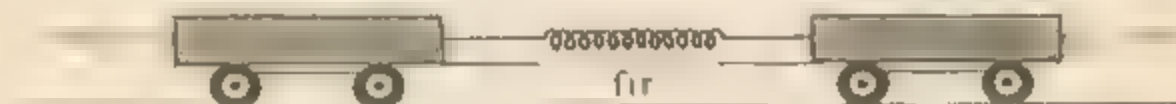


Fig. 2.9. Două cărucioare identice, așezate pe un plan orizontal și cuplate printr-un resort comprimat sînt supuse reciproc unor forțe egale în modul și de sensuri opuse.

3. Pe două cărucioare stau doi elevi și trag de o sfoară (fig. 2.8). Indiferent care dintre ei trage activ „scurtînd” sfoara, ambele cărucioare se vor întâlni de fiecare dată în același loc. Fiecare elev acționează asupra celuilalt, prin intermediul sforii, cu o forță egală în modul și de sens opus (ceea ce se poate constata cu ajutorul unor dinamometre intercalate).

4. Într-o altă variantă a experienței două cărucioare *identice* sînt așezate pe o sticlă orizontală și cuplate printr-un resort comprimat, legat cu un fir. Dacă ardem firul, cele două cărucioare se vor depărta la fel, sub acțiunea unor forțe egale în modul și de sensuri opuse (fig. 2.9).

5. Dacă punem un corp pe o platformă orizontală (ușoară) așezată pe un resort, corpul apasă pe platformă cu o forță \vec{F} egală cu greutatea sa \vec{G} și comprimă resortul. Apare atunci o forță elastică de reacțiune \vec{N} din partea resortului, aplicată corpului, egală în modul și de sens opus cu greutatea, astfel încît corpul va fi în repaus (fig. 2.10).

Același lucru se întîmplă cu orice corp așezat pe orice suprafață orizontală, numai că la materialele dure deformarea nu se observă cu ochiul liber.

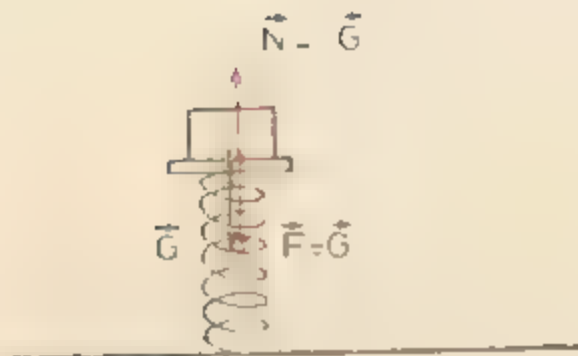


Fig. 2.10. Corpul așezat pe un resort îl comprimă cu o forță egală cu greutatea sa \vec{G} . Se naște automat o reacțiune elastică \vec{N} din partea resortului, egală în modul și de sens opus, aplicată corpului.

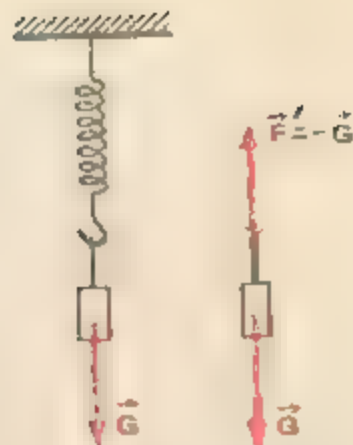


Fig. 2.11. Corpul suspendat de un resort (fir) întinde resortul cu o forță egală cu greutatea sa \vec{G} . Se naște atunci o forță elastică \vec{F}' din partea resortului, aplicată corpului, egală în modul și de sens opus tracțiunii (greutății) \vec{G} .

6. 1. Alta variantă suspendăm corpul de un resort (de exemplu de un dinamometru) (fig. 2.11). În punctul de legătură corpul acționează asupra resortului sau firului cu forța sa, greutate și îl întinde. Apare atunci o forță elastică din partea resortului sau a firului, aplicată corpului, egală în modul și de sens opus cu greutatea corpului (acesta fiind în repaus, în echilibru).

Numărutele experimente și măsurători dovedesc validitatea principiului acțiunilor reciproce sau principiului acțiunii și reacțiunii.

fiecarei acțiuni i se opune totdeauna o reacțiune egală în modul și de sens opus sau altfel, acțiunile reciproce a două corpuri sînt totdeauna egale ca mărime și dirijate în sensuri opuse.

Cele două forțe, acțiunea și reacțiunea, sînt aplicate unor corpuri *diferite* și acționează pe *aceeași linie*, linia care unește cele două corpuri. Dacă cele două forțe ar acționa asupra aceluiași corp, acesta n-ar putea fi niciodată accelerat, deoarece cele două forțe ar da totdeauna rezultantă nulă.

Principiul acțiunii și reacțiunii poate fi exprimat și astfel

și opusă ca sens, numită reacțiune.

2.4.1. Exemple și aplicații ale principiului III. 1. La *contactul* oricăror două corpuri apar totdeauna *două* forțe, egale în modul și de sensuri opuse, acțiunea unui corp asupra celuilalt și reacțiunea celui de-al doilea asupra primului (fig. 2.12).

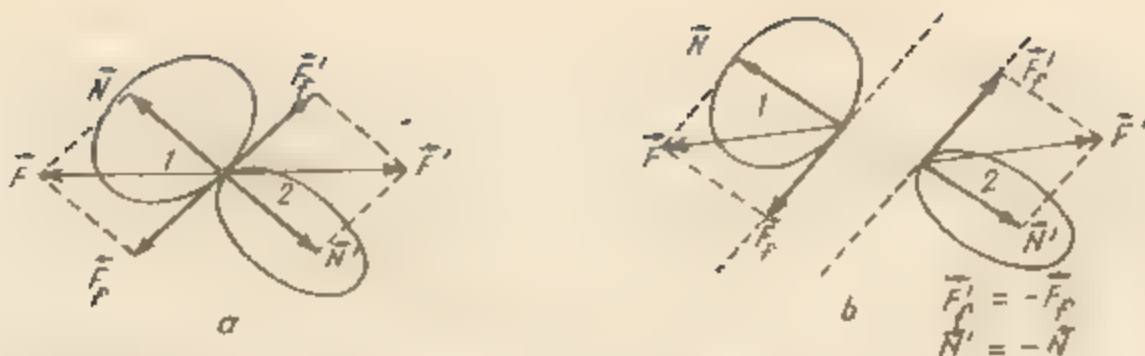


Fig. 2.12. La contactul a două corpuri apar totdeauna două forțe, egale în modul și de sensuri opuse: acțiunea și reacțiunea, cu care corpurile acționează unul asupra celuilalt. Componentele normale (perpendiculare) pe planul de contact se datoresc deformării reciproce a corpurilor, iar cele tangențiale (de frecare), conținute în planul de contact, se datoresc frecării dintre corpuri.

Aceste forțe sînt **rezultatul deformării reciproce a corpurilor și a frecării dintre corpuri la suprafața de contact.**

Anume, prin deformarea reciprocă se nasc forțe (elastice) normale (perpendiculare) pe suprafața de contact. Desigur corpurile se deformează diferit, deși forțele normale sînt egale în modul. Prin frecare, între corpuri se nasc forțe tangențiale, de frecare, conținute în planul de contact. Avem: $\vec{N}' = -\vec{N}$, $\vec{F}'_f = -\vec{F}_f$. (Uneori forțele de frecare sînt mici și pot fi neglijate.)

2. În orice secțiune a unui fir (sau cablu) întins de o forță (de exemplu de greutatea unui corp atîrnat) sau în orice secțiune a unei bare, întinse sau comprimate, acționează două forțe egale în modul și de sensuri opuse, acțiunea și reacțiunea, cu care o parte a firului (barei) acționează asupra celeilalte părți (fig. 2.13). Oricare din aceste două forțe se numește **tensiune elastică** din fir (sau bară). Tensiunea în orice punct al firului se poate măsura cu un dinamometru inserat pe fir în punctul respectiv. Dacă greutatea proprie a firului este neglijabilă, tensiunea din fir în orice secțiune a sa va fi aceeași (egală cu greutatea corpului atîrnat, de exemplu).

3. Principiul acțiunii și reacțiunii se aplică nu numai în cazul unui contact nemijlocit între două corpuri, ci și în cazul cînd corpurile interacționează prin câmpul gravitațional sau electrostatic.

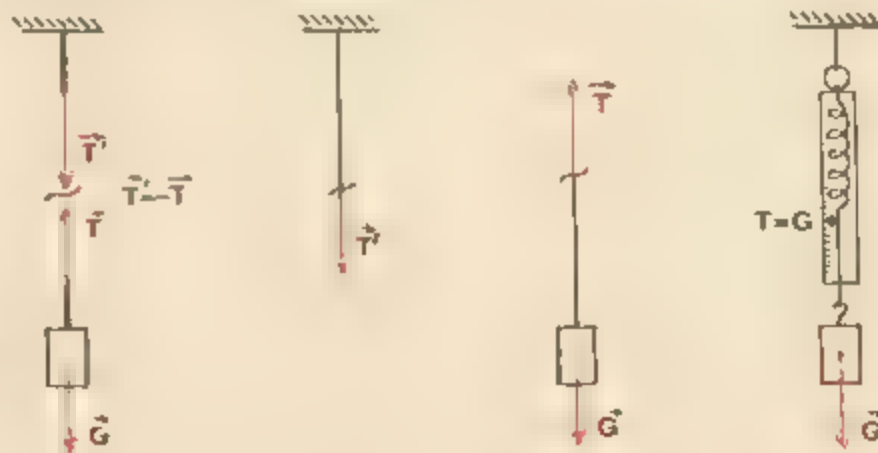


Fig. 2.13. Tensiunea (elastică) dintr-un fir întins poate fi măsurată cu un dinamometru inserat în fir în secțiunea dorită.

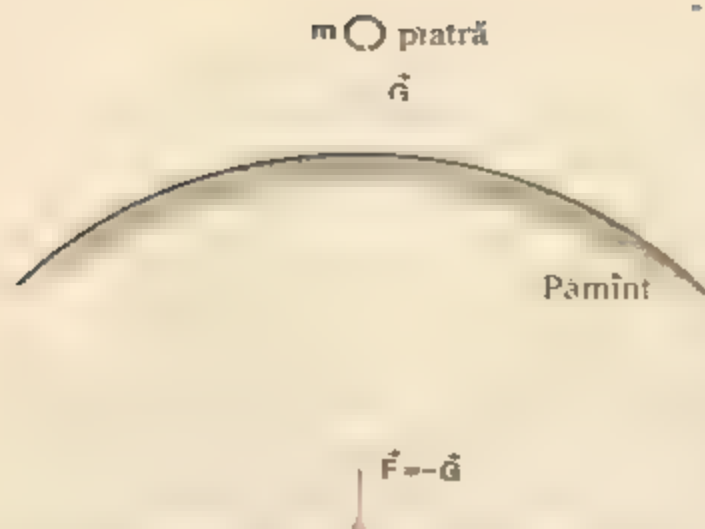


Fig. 2.14. Piatra este atrasă de Pământ cu o forță exact egală în modul și de sens opus cu forța cu care Pământul este atras de piatră. Efectele acestor forțe sînt însă cu totul diferite din cauza maselor total diferite.

În cazul interacțiunii electrostatice, de asemenea, forța de atracție sau de respingere, exercitată de un purtător de sarcină asupra altuia, este totdeauna egală în modul și opusă ca sens forței exercitate de cel de-al doilea purtător de sarcină asupra primului. Cele două forțe acționează pe aceeași dreaptă, dreapta care unește cei doi purtători.

2.5 PRINCIPIUL SUPRAPUNERII FORTELOR

Fie un punct material asupra căruia acționează trei forțe care își fac echilibrul: $\vec{F}_1 + \vec{F}_2 + \vec{F}_3 = 0$ (fig. 2.15). Aceasta înseamnă că suma a două forțe, de exemplu, $\vec{F}_1 + \vec{F}_2$ este egală în modul și de sens opus cu cea de a treia forță: $\vec{F}_1 + \vec{F}_2 = -\vec{F}_3$.

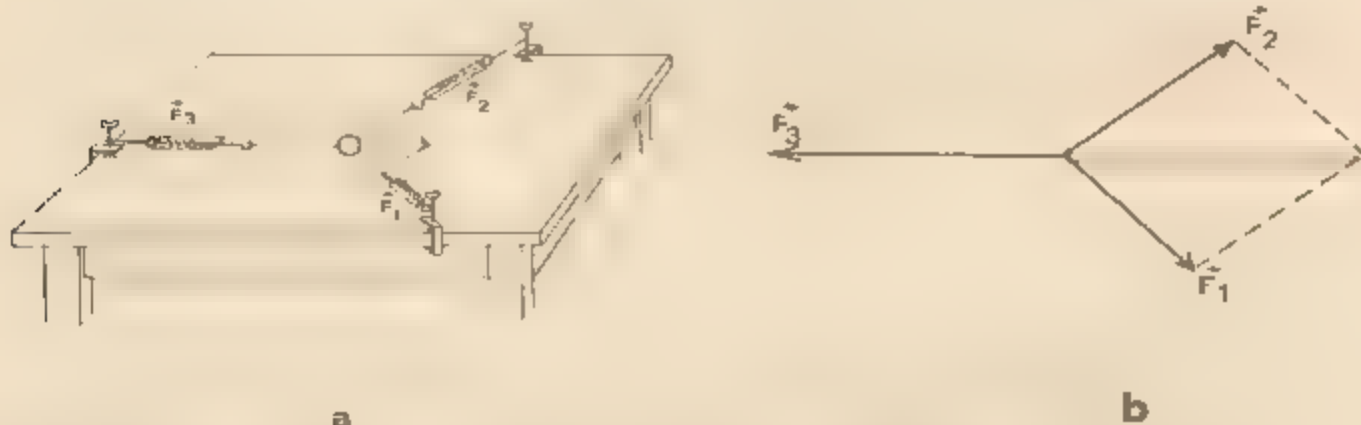


Fig. 2.15. Punct material supus la trei forțe care își fac echilibrul: $\vec{F}_1 + \vec{F}_2 + \vec{F}_3 = 0$

De exemplu, o piatră este atrasă de Pământ cu o forță gravitațională egală cu greutatea sa. Dar și piatra, la rîndul ei, atrage Pământul cu o forță egală în modul și de sens opus, aplicată în centrul Pământului (fig. 2.14). Efectele acestor forțe, egale în modul, sînt însă cu totul diferite, din cauza deosebirii colosale în privința masei celor două corpuri.

La fel, forțele de atracție gravitațională reciprocă între Lună și Pământ, între oricare satelit și Pământ, între Pământ și Soare etc. sînt egale în modul și opuse ca sens.

Forța \vec{F}_1 , aplicată singură punctului material, i-ar imprima o anumită accelerație \vec{a}_1 , conform legii fundamentale $\vec{F}_1 = m\vec{a}_1$. Forța \vec{F}_2 aplicată singură ar da o anumită accelerație \vec{a}_2 , $\vec{F}_2 = m\vec{a}_2$ și la fel forța $\vec{F}_3 = m\vec{a}_3$ i-ar imprima accelerația \vec{a}_3 . Accelerațiile sînt proporționale cu forțele. Dacă forțele \vec{F}_1 , \vec{F}_2 acționează *simultan*, accelerația produsă de ele trebuie să fie egală în modul și de sens opus cu accelerația \vec{a}_3 produsă de \vec{F}_3 , de vreme ce corpul rămîne în repaus. Prin urmare, accelerația rezultantă se compune, după regula paralelogramului, din accelerațiile pe care le-ar produce *separat* fiecare forță componentă dacă ar acționa singură. De asemenea, accelerația imprimată de o forță nu depinde de viteza momentană a corpului (în mecanica *relativistă* accelerația nu este riguros coliniară cu forța, și depinde și de viteza corpului).

Astfel de considerații conduc la formularea *principiului independenței acțiunii forțelor* sau *principiului suprapunerii forțelor*:

„Dacă mai multe forțe acționează în același timp asupra unui punct material, accelerația rezultantă este egală cu suma

accelerațiilor individuale.”

1. NEWTON a formulat acest principiu separat de celelalte trei principii sub forma următoare:

„un corp, sub acțiunea simultană a două forțe, descrie diagonala unui paralelogram avînd ca laturi aceste forțe, în același timp în care ar descrie separat fiecare latură sub acțiunea forței corespunzătoare.”

Acest principiu arată deci că forțele și accelerațiile produse de ele sînt mărimi *vectoriale* care se compun după regula paralelogramului, și ne permite să rezolvăm probleme cînd asupra corpului acționează simultan mai multe forțe.

În adevăr, cazul unei *singure* forțe se prezintă rar, și anume, atunci cînd interacțiunea corpului cu mediul exterior este dată *în principal* de interacțiunea sa cu un *singur* corp, interacțiunile cu celelalte corpuri putînd fi neglijate.

EXEMPLU

Dacă aruncăm o piatră, asupra ei acționează, pe de o parte, forța de greutate \vec{G} , datorită interacțiunii cu Pămîntul, și pe de altă parte forța arhimedică și forțele de frecare cu aerul, care se opun mișcării, dar care într-o primă aproximație pot fi neglijate. Care este atunci accelerația pietrei în mișcarea sa liberă în atmosferă?

Conform legii fundamentale, n-avem decît să împărțim forța \vec{G} la masa corpului și obținem vectorul accelerației $\vec{g} = \vec{G}/m$, orientat vertical în jos (fig. 2.16).



Fig. 2.10. În mișcarea liberă în vid a unui corp accelerația sa \vec{a} este tot timpul aceeași, orientată vertical în jos ca și forța de greutate \vec{G} .

normală și forța de frecare. În cazul mișcării într-un fluid (la contactul solid-fluid) apar de asemenea două forțe: forța arhimedică (verticală) și forța de rezistență (opusă vitezei). În sfârșit, asupra corpului se pot exercita forțe de tracțiune sau de împingere prin fire sau tije.

După ce am ales corpul pe care vrem să îl studiem și l-am izolat mintal, reprezentăm *toate* forțele care acționează *asupra lui* și care sînt evident rezultatul interacțiunii sale cu mediul exterior.

În cazul unui corp aproximat printr-un *punct material*, toate forțele se aplică în acest punct, deci sînt forțe *concurente* și se compun după *regula paralelogramului sau a poligonului*.

În cazul mișcării de *translație* a unui corp forțele pot fi deplasate paralel și compuse ca la punctul material.

De altfel, în rezolvarea problemelor practice nu este de obicei necesar să compunem forțele, ci mai degrabă să le *descompunem*.

În cazul particular cînd toate forțele acționează *pe direcția mișcării*, alegem dreapta respectivă drept axă Ox (cu sensul pozitiv ales în sensul vitezei) și considerăm forțele pozitive dacă acționează în sensul pozitiv ales și negative dacă acționează în sensul negativ. Suma algebrică a a acestor forțe ne dă forța rezultantă, pozitivă dacă acționează în sensul pozitiv și negativă în caz contrar:

$$\Sigma F = ma.$$

(Litera sigma majusculă, Σ , înseamnă *sumă*.)

Cînd toate forțele acționează în *planul mișcării*, alegem în acel plan două direcții convenabile (de obicei perpendiculare între ele) și descompunem toate forțele, viteza și accelerația, după cele două direcții alese. De cele mai multe ori alegem axele *perpendiculare* între ele Ox Oy atunci paralelogramul vectorilor devine un *dreptunghi* și componentele vectorilor se obțin prin *proiecție ortogonală*. Mișcarea plană se descompune în două mișcări rectilinii după cele

În practică, asupra corpului acționează aproape totdeauna simultan mai multe forțe, printre care este forța de greutate, deoarece nici un corp de pe Pămînt nu poate fi sustras interacțiunii sale gravitaționale cu Pămîntul. În afară de aceasta, corpul este în contact cu mediul, adică în contact cu alte corpuri (așezat pe un plan, sprijinit de un perete, mișcat într-un fluid). La contactul cu un solid apar, după cum am văzut, două forțe: reacțiunea

două axe și deci pentru fiecare axă separat scriem formulele din cazul mișcării rectilinii.

Prin urmare, ecuația fundamentală $\vec{R} = \Sigma \vec{F} = m\vec{a}$ scrisă pentru un punct material dat se aplică totdeauna proiectind-o pe axele de coordonate ortogonale între ele (două axe în cazul mișcării plane și trei axe în cazul mișcării în spațiu), adică pe componente.

$$\Sigma \vec{F} = m\vec{a} \begin{cases} F_{1x} + F_{2x} + \dots = ma_x \\ F_{1y} + F_{2y} + \dots = ma_y \\ (F_{1z} + F_{2z} + \dots = ma_z) \end{cases} \quad (2.14)$$

2.6 PRINCIPIUL RELATIVITĂȚII ÎN MECANICA NEWTONIANĂ

Încă pentru Galilei era clar că prin experiențe mecanice efectuate în interiorul unui sistem (laborator), este imposibil de determinat mișcarea rectilinie uniformă a acestuia față de stele sau față de Soare sau chiar față de Pământ. Iată ce scria Galilei în 1632 despre fenomenele mecanice dintr-o cabină închisă a unei corăbii:

„Dacă mișcarea corăbii este rectilinie uniformă, nu veți observa nimic deosebit de obișnuit în toate fenomenele și nu veți putea hotărî, privind asupra de vremea din aceste fenomene, dacă corăbia se mișcă sau stă pe loc. Săciud, veți parcurge pe podul acesteia distanțe ca și atunci când corăbia se află în repaus, adică, dacă vă mișcați rapid a corăbii, nu veți face sărituri mai mari spre pupă decât spre prora corăbii, deși, în timpul cît vă aflați în aer, podul va de sub voi fugi în partea opusă săriturii sau aramînd un obiect oarecare mai prieten, nu va trebui să lăungați cu o forță mai mare, dacă praetorul se va afla lângă prora corăbii sau doamna voastră lângă pupă, decât dacă veți ocupa poziții inverse, praeturile dintr-o cană cu apă atîrnată în tavan vor cădea vertical pe podul și nici una din ele nu va cădea în direcția pupii, deși în timpul cîl praetura se află în aer, corăbia mănținează. Măștile își vor continua zborul, indiferent în ce direcție, și niciodată nu se va întimpla ca ele să se strîngă spre partea mai apropiată de pupă, ca și cum ar obosi să se lăunga după mersul rapid al corăbii.”

Acesta este de fapt conținutul principiului relativității mecanice.

Principiul relativității al lui Galilei se poate formula astfel: nici o experiență mecanică efectuată în interiorul unui sistem de referință inerțial nu ne permite să determinăm mișcarea sa rectilinie uniformă față de alte sisteme de referință inerțiale (față de stele și nebuloase). Altfel spus:

Legile fizice au aceeași formă în toate sistemele de referință inerțiale.

De aici rezultă că din punct de vedere mecanic toate sistemele de referință inerțiale, deci cele care se mișcă rectiliniu uniform unele față de altele și față de stele, sînt *absolut echivalente*, niciun sistem de referință inerțial nu poate fi considerat fix sau absolut, toate sînt egal justificate.

În adevăr, primul principiu al mecanicii (principiul inerției) este valabil în oricare sistem de referință inerțial, deoarece este chiar folosit pentru a defini aceste sisteme. Deoarece măsurarea forței poate fi redusă la măsurarea unor lungimi și durate (măsurarea simultană a capeteilor alungirii unui resort), iar lungimile și duratele sînt invariante

în mecanica clasică newtoniană, rezultă că și forța este aceeași în diferite sisteme de referință inerțiale (este vorba de forțe dependente numai de distanțe și viteze relative), deci și principiul III al acțiunii și reacțiunii este valabil în aceste sisteme. În sfârșit, am arătat cu ajutorul transformărilor lui Galilei, că și *acelerația are caracter invariant* față de sistemele de referință inerțiale, de aceea și principiul fundamental (II) este valabil în orice sistem de referință inerțial (masa este o constantă în mecanica clasică). Prin urmare

principiile mecanicii newtoniene sunt invariante la transformările Galilei, rezultă că toate legile mecanicii newtoniene (care sînt consecințe ale principiilor) sînt invariante la transformările lui Galilei, adică sînt aceleași în toate sistemele de referință inerțiale.

După cum am spus, un fizician închis într-un laborator nu poate determina cu ajutorul experiențelor mecanice locale mișcarea rectilinie uniformă a laboratorului său față de sistemele de referință inerțiale, dar poate determina o mișcare curbilinie accelerată a laboratorului. Astfel, prin experiențe mecanice efectuate chiar pe Pământ se poate dovedi mișcarea de rotație diurnă a Pământului. Amintim, de exemplu, celebra experiență a lui Foucault din 1851 cu rotația planului de oscilație al unui pendul.

PROBLEME REZOLVATE

1. Un cărucior cu ciment, cu masa $m = 100$ kg, este ridicat cu ajutorul unei macarale cu o forță $F = 1,20$ kN. Care este accelerația căruciorului?

Rezolvare. Asupra căruciorului acționează două forțe: greutatea $\vec{G} = m\vec{g}$, în jos, și forța de tracțiune \vec{F} exercitată de macara prin cablu, în sus (neglijăm forța arhimedică și forțele de frecare, (fig. 2.17). Alegînd axa Ox verticală în sus, în sensul mișcării, avem

$$F - mg = ma, \quad a = \frac{F - mg}{m} = 2,2 \text{ m/s}^2$$

Observație. Forța F poate fi exercitată prin intermediul unui fir trecut peste scripete. Vom presupune totdeauna în problemele de mai jos că firul este de masă neglijabilă, subțire, flexibil și inextensibil. De asemenea, vom presupune faldetura că scripetele este ideal, adică de masă neglijabilă și cu frecări neglijabile în lagărele sale (cu rulmenți).

Un scripete ideal schimbă convenabil direcția forței: de o parte și de alta a scripetelui forța de întindere a firului va fi aceeași. Se poate verifica acest lucru cu ajutorul unor

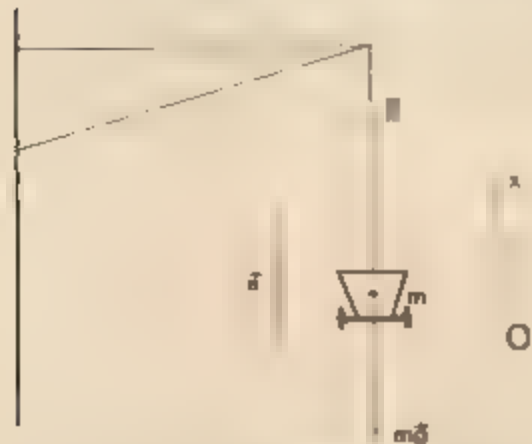


Fig. 2.17. La problema rezolvată 1

dinamometre prinse de cele două capete ale firului (fig. 2.18).

Prin *tensiunea din fir* se înțelege forța care întinde firul și care se poate măsura tăind firul și intercalând un dinamometru (fig. 2.19). Tensiunea din fir este o forță elastică care se datorește deformării (alungirii) elastice a firului. Astfel de tensiuni în cabluri sau bare din cadrul diferitelor construcții (poduri, acoperișuri etc.) trebuie neapărat cunoscute pentru a alege cablul sau bara de grosime corespunzătoare ca să nu se rupă.

2. Peste un scripete ideal este trecut un fir de capetele căruia sînt atîrnate două corpuri de

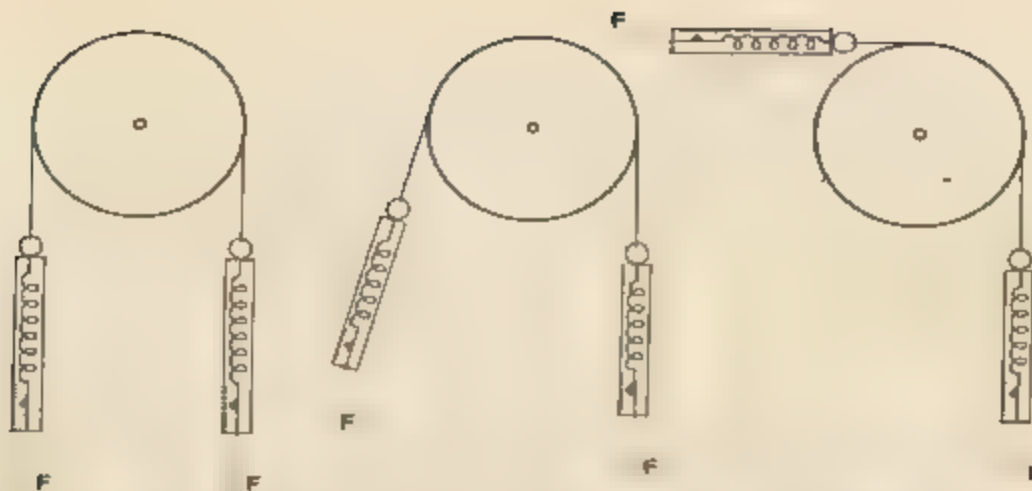


Fig. 2.16. Un scripete ideal (de inerție neglijabilă și frecări neglijabile) în lagăre schimbă convenabil direcția forței de o parte și de alta a scripetelui forța de întindere a firului (tensiunea din fir) este aceeași.

mase $m_1 = 220 \text{ g}$ și $m_2 = 230 \text{ g}$. Să se calculeze accelerația sistemului și tensiunea din fir (fig. 2.20).

Rezolvare. Un scripete ideal schimbă convenabil direcția forței, deci de o parte și de alta a scripetelui tensiunea din fir este aceeași.

Asupra fiecărui corp acționează forța de tensiune din fir T în sus și forța de greutate în jos. Diferența acestor două forțe produce accelerația corpului. Cele două corpuri, fiind legate prin fir, se mișcă solidar, m_2 în jos, m_1 în sus, cu accelerații egale în

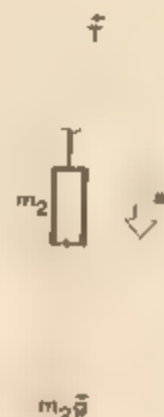
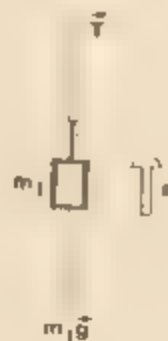
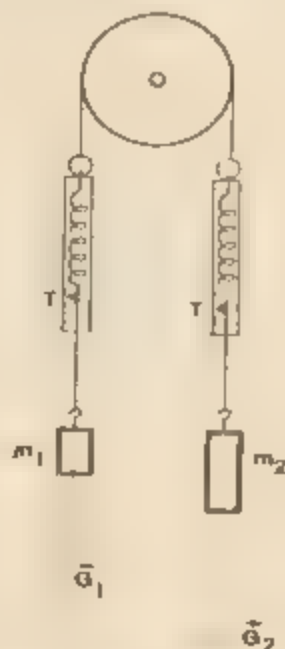


Fig. 2.19. Tensiunea dintr-un fir este forța care întinde firul și se poate măsura cu un dinamometru inserat pe fir

Fig. 2.20. Un scripete peste care este trecut un fir cu două corpuri atârnate la capete (la exemplul rezolvat 2).

neodată dar de sensuri opuse. Alegând pentru fiecare corp sensul pozitiv al axei în sensul mișcării sale, scriem ecuația principiului II:

$$T - m_1 g = m_1 a, \quad m_2 g - T = m_2 a.$$

Aici T , a , g reprezintă mărimea sau modulul tensiunii, accelerației, respectiv accelerației gravitaționale, semnul (+) sau (-) provine de la orientarea vectorilor respectivi față de sensul pozitiv ales de noi pe axa mișcării. Dacă am inversa sensul axei, ecuația respectivă s-ar înmulți cu (-1), adică toți membrii și ar schimba semnul. Prin adunarea membru cu membru a celor două ecuații, obținem accelerația sistemului:

$$a = g \frac{m_2 - m_1}{m_1 + m_2} = g \frac{230 - 220}{220 + 230} = \frac{g}{45} = 0,218 \text{ m/s}^2.$$

Puteți obține acest rezultat direct, știind că forța ($m_2 g - m_1 g$) este egală cu masa sistemului, ($m_1 + m_2$) înmulțită cu accelerația sistemului a . Introducând expresia accelerației a în prima sau a doua ecuație de mai sus găsim tensiunea din fir:

$$T = \frac{2m_1 m_2 g}{m_1 + m_2} = 1,20 \text{ N}$$

3. Într-un lift este suspendat de tavan un dinamometru la care atârna un corp cu masă $m = 1,00 \text{ kg}$. Ce forță indică dinamometrul dacă liftul se mișcă cu accelerația $a = 2,0 \text{ m/s}^2$ îndreptată: a) în sus, b) în jos (fig. 2.21).

Rezolvare. Dacă liftul este în repaus, resortul dinamometrului este întins cu o forță egală cu greutatea corpului atârnat, acesta fiind în repaus.

$$F = G = mg = 1,00 \text{ kg} \cdot 9,8 \text{ m/s}^2 = 9,8 \text{ N}.$$

a) În primul caz, alegând sensul pozitiv în sus, în sensul accelerației avem pentru corpul suspendat:

$$F - mg = ma,$$

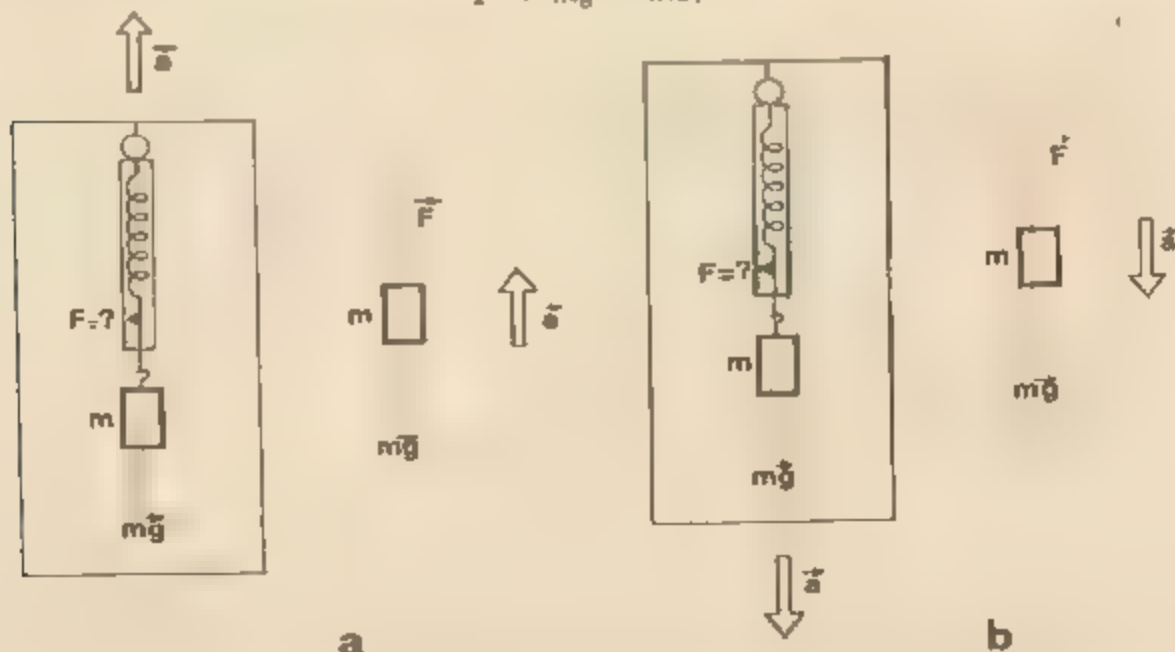


Fig. 2.21. Dinamometrul suspendat de tavanul unui lift accelerat și având un corp suspendat la capăt dă indicații diferite de greutatea corpului. (Problema rezolvată 3.).

de unde

$$F = m(g + a) = 1,00 \text{ kg} \cdot (9,8 + 2,0) \text{ m/s}^2 = 11,8 \text{ N} > G = 9,8 \text{ N}$$

Acest caz are loc cind liftul pornește accelerat în sus. Atunci corpul rămîne la început puțin în urmă datorită inerției sale, resortul se întinde, se naște o forță elastică suplimentară necesară pentru a accelera corpul. Exact la fel se întîmplă cînd liftul coboară și începe să frîneze (aceeași accelerație ca mai sus). Corpul în virtutea inerției caută să-și mențină viteza, întinde resortul, se naște o forță elastică suplimentară care îl frînează.

b) Alegînd sensul pozitiv în jos, în sensul accelerației, avem pentru corpul suspendat: $mg - F = ma$, $F = m(g - a) = 1,00 \text{ kg} \cdot (9,8 - 2,0) \text{ m/s}^2 = 7,8 \text{ N} < G = 9,8 \text{ N}$. Acest caz are loc cînd liftul urcă și începe să frîneze. Atunci corpul caută să-și mențină viteza în sus, în virtutea inerției, și slăbește întinderea resortului. La fel, cînd liftul pornește accelerat în jos, corpul rămîne inițial în urmă și întinderea resortului scade. Dacă liftul cade liber în jos cu accelerația $a = g$, dinamometrul va indica forța zero (starea de „imponderabilitate”, oricare corp din cabina liftului cade liber cu aceeași accelerație de cădere liberă, ca și liftul). Dacă liftul ar fi tras în jos cu o accelerație $a > g$, resortul ar fi comprimat.

Calculați ce forță de apăsare simte un om de masă $m = 70 \text{ kg}$ din partea podelei liftului în cazurile de mai sus.

Observație. Un corp așezat pe un plan orizontal neted, fără frecări, exercită o forță de apăsare asupra planului, deformîndu-l.

Apare atunci o forță de reacțiune \vec{N} din partea planului, exercitată asupra corpului (principiul III). Forța \vec{N} este perpendiculară pe planul orizontal și compensează forța verticală de greutate \vec{G} , adică $\vec{N} = -\vec{G}$ sau $\vec{N} + \vec{G} = 0$.

Dacă acum asupra corpului acționează forțe pe o aceeași direcție orizontală, putem aplica întotdeauna considerațiile de la cazul unidimensional, deoarece greutatea \vec{G} a corpului va fi permanent anulată de reacțiunea normală \vec{N} a planului orizontal.

Acest caz intervine frecvent în mișcarea vehiculelor pe drumuri rectilinii orizontale.

4. Pe o masă netedă, fără frecări, este așezat un corp de masă $m_1 = 5,0 \text{ kg}$ de care este prins un fir orizontal, trecut peste un scripete ideal și avînd la capăt un corp de masă $m_2 = 2,0 \text{ kg}$ (fig. 2.22). Să se calculeze accelerația sistemului și tensiunea din fir.

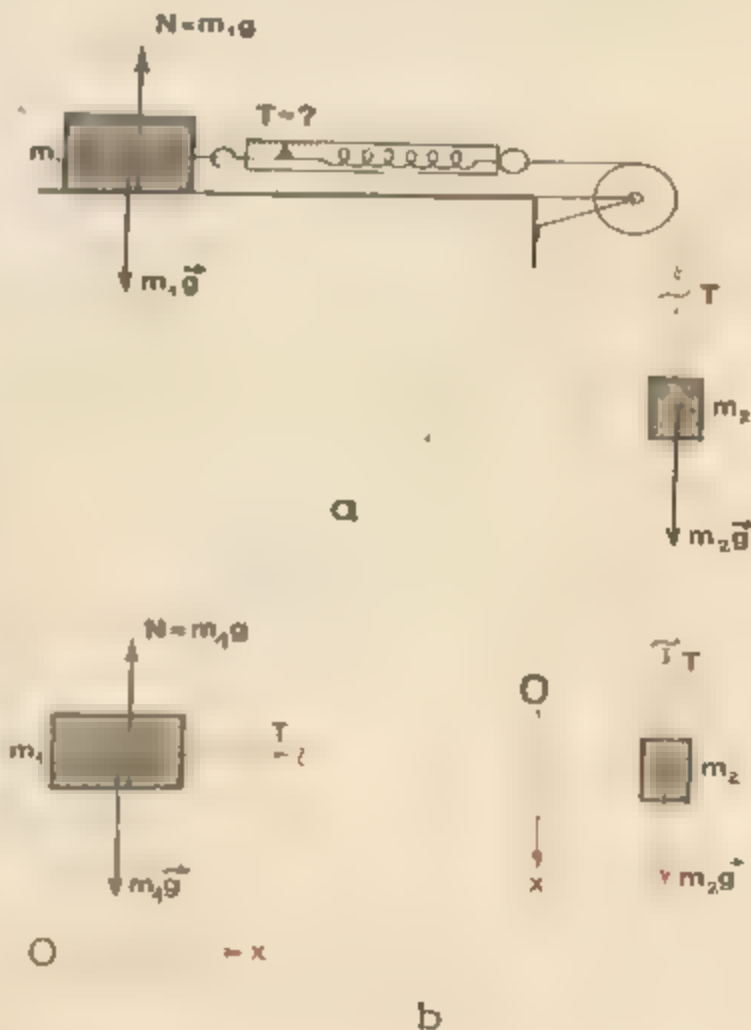


Fig. 2.22. Care este accelerația sistemului și ce forță indică dinamometrul? (Exemplul rezolvat 4.)

Rezolvare Forța de greutate $G_1 = m_1 g$ a corpului m_1 este anulată de reacțiunea normală N_1 a mesei orizontale. Forțele de frecare sînt neglijabile. Scripetele sînt ideale, tensiunea din fir este aceeași de o parte și de alta a scripetelui. Alegem axa Ox pentru fiecare corp în direcția și sensul mișcării sale. Atunci ecuația fundamentală se scrie astfel:

$$T = m_1 a, \quad m_2 g - T = m_2 a,$$

de unde

$$a = g \frac{m_2}{m_1 + m_2} = 2,8 \text{ m/s}^2; \quad T = m_1 a = 14 \text{ N}$$

5. O lampă cu masa $m = 3,0 \text{ kg}$ este suspendată ca în figura 2.23. Să se afle tensiunea din fir (de lungime $l = 0,50 \text{ m}$) și din bară (de lungime $b = 0,40 \text{ m}$).

Rezolvare. Putem judeca în două moduri:

a) Descompunem greutatea lămpii \vec{G} după direcția firului și a barei. Pentru aceasta ducem prin originea și prin vîrfurile vectorului $\vec{G} = m\vec{g}$ (desenat separat) paralele la cele două direcții. Componenta \vec{G}_1 întinde firul și este anulată de tensiunea \vec{T}_1 din fir, iar componenta \vec{G}_2 comprimă bara și este anulată de tensiunea \vec{T}_2 din bară. Prin urmare:

$$T_1 = mg/\cos \alpha, \quad T_2 = mg \lg \alpha, \quad \cos \alpha = \frac{l}{\sqrt{l^2 + b^2}}, \quad \lg \alpha = \frac{b}{\sqrt{l^2 + b^2}}.$$

Deci

$$T_1 = mg \frac{l}{\sqrt{l^2 + b^2}} = 49 \text{ N}, \quad T_2 = mg \frac{b}{\sqrt{l^2 + b^2}} = 39,2 \text{ N}.$$

Observăm că un fir nu poate fi decât întins, în fiecare secțiune a firului acționează două forțe egale în modul și de sensuri opuse, acțiunea și reacțiunea, aplicate capetelor firului din secțiune, care întind respectiv cele două părți ale firului.

O bară poate fi întinsă, ca un fir, sau comprimată. În ultimul caz, în fiecare secțiune, cele două forțe comprimă respectiv cele două părți ale barei.

b) Nodul P în care se îmbină firul, bara și cablul de susținere al lămpii este în echilibru, deci cele trei forțe trebuie să aibă rezultantă nulă: $\vec{T}_1 + \vec{T}_2 + \vec{G} = 0$. Alegem două direcții convenabile, în cazul nostru cea orizontală și cea verticală (fig. 2.23, c) și scriem condiția de echilibru separat pentru fiecare direcție, proiectînd ecuația vectorială de mai sus pe cele două direcții:

$$\text{pe orizontală } T_2 - T_1 \sin \alpha = 0, \quad \text{pe verticală } T_1 \cos \alpha - mg = 0.$$

De unde

$$T_1 = mg/\cos \alpha, \quad T_2 = T_1 \sin \alpha = mg \cdot \lg \alpha$$

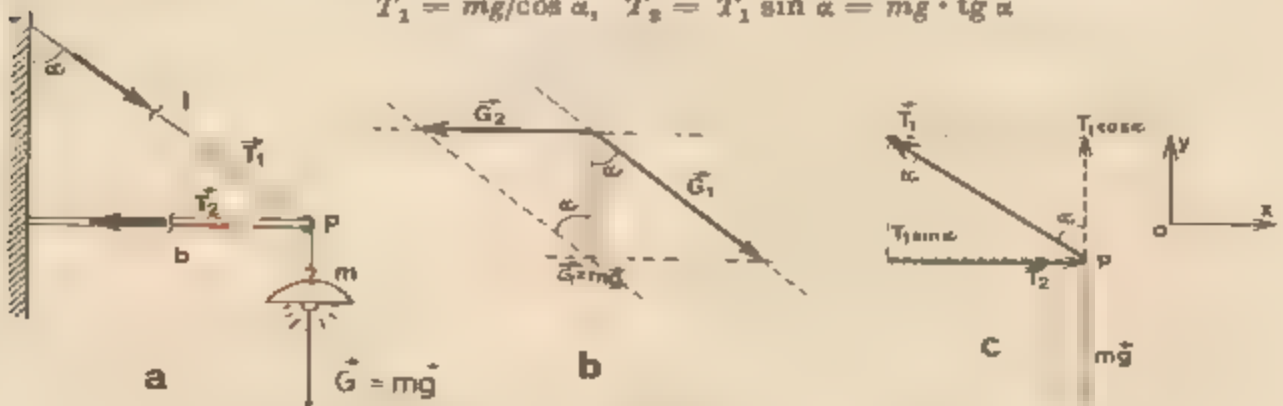


Fig. 2.23. Descompunerea forțelor în problema rezolvată 5

ÎNTREBĂRI. EXERCIȚII. PROBLEME

1. Un muncitor sparge lemn cu toporul. La spargerea unui butuc, toporul a rămas înfipt în butuc. Cum trebuie să lovim de un suport rigid cu butucul în jos sau cu dosul toporului în jos, pentru a sparge butucul? (Indicație: a se compara inerțiile, adică masele toporului și butucului.)

R: cu butucul în sus, dacă masă acestuia e mai mare.

2. Pentru a îndepărta praful, hainele sau covoarele sunt scuturate sau bătute. Explicați aceste două procedee.

R: în virtutea inerției particulele de praf continuă să meargă înainte sau rămân pe loc.

3. De ce atunci când vrem să introducem mineralul de lemn într-un ciocan, topor sau lopată, lovim cu capătul liber al mineralului de un obiect masiv imobil?

R: masa mineralului e mai mică (v. probl. 1).

4. De ce este greu să batem un cui într-un gard prost fixat care se leagănă? Ce trebuie să facem ca să putem totuși bate cuiul?

R: apăsăm de partea opusă cu un obiect masiv (topor, ciocan).

5. Dacă stăm într-o barcă ușoară și tragem de o sfoară legată de un vapor, ne vom apropia de vapor. De ce nu se apropie vaporul de barcă?

R: deși forțele sînt egale în modul, accelerațiile imprimare sînt total diferite.

6. Un dinamometru ușor este legat prin două fire orizontale trecute peste doi scripeti, de două corpuri identice, fiecare de greutate G , ca în figura 2.24. Dinamometrul va indica: 1) zero, fiindcă cele două forțe de greutate egale se echilibrează, 2) forța $2G$, fiindcă fiecare din cele două forțe de greutate întinde resortul dinamometrului, 3) forța de greutate G a unui singur corp. Care răspuns este corect?

R: 3)

7. O sfoară este întinsă orizontal de doi elevi. La mijlocul sferei este un inel de care este agățat un corp cu masa de 1 kg. Poate fi sfoara întinsă perfect orizontal?

R: nu.

8. În ce constă eroarea afirmației: „Nu pot mișca din loc (accelera) nici un corp, deoarece la orice acțiune de-a mea, oricît de mare, exercitată asupra corpului, acesta răspunde automat cu o reacțiune egală în modul și opusă ca sens (conform principiului egalității acțiunii și reacțiunii), care îmi anihilează deci automat orice acțiune“?

R: acțiunea și reacțiunea se aplică la corpuri diferite

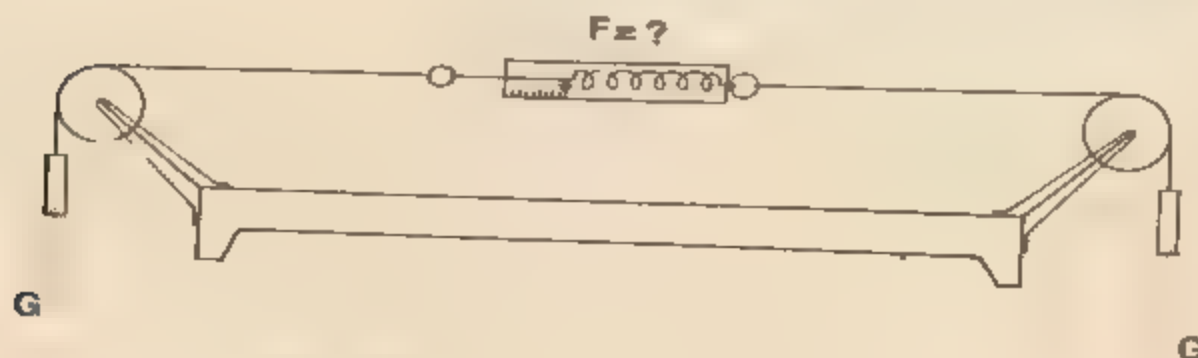


Fig. 2.24. Ce forță arată dinamometrul?

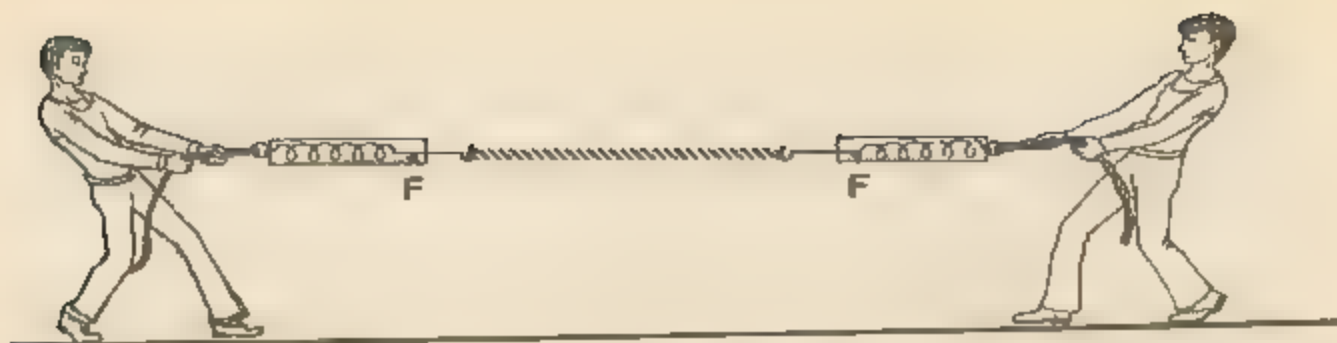


Fig. 2.26. Forțele cu care este trasă sfoara de către elevi sînt permanent egale în modul și opuse ca sens. Totuși elevul mai tare învinge și îl trage pe cel mai slab spre el. De ce?

9. Doi elevi trag de un capăt și de altul o sfoară, opintindu-se cu picioarele de pămînt (fig. 2.25). Cele două forțe, cu care fiecare acționează asupra celuilalt prin intermediul sforii, sînt permanent egale în modul și opuse ca sens, conform principiului egalității acțiunii și reacțiunii (ceea ce se poate verifica punînd pe fiecare elev să tragă de sfoară prin intermediul unui dinamometru prins de un capăt). Totuși elevul mai puternic va învinge, trăgînd pe cel slab de partea sa. Cum explicați aceasta?

R: intervin și forțele de frecare cu solul.

10. Două vagoane au la tamponarele lor resorturi identice. Vagoanele se ciocnesc. Se consideră mai multe cazuri: unul din vagoane este în repaus, amîndouă se mișcă, unul este încărcat, celălalt gol etc. Să se compare între ele, comprimările celor două resorturi în aceste cazuri.

R: se comprimă egal.

11. Un vapor ciocnește o barcă, pe care o rupe, fără ca el să aibă vreo stricăciune, sau un camion lovește un cărucior și îl stercă fără a avea el însuși vreo stricăciune etc. Nu contrazice aceasta principiul acțiunii și reacțiunii?

R: nu, efectele forțelor depind de proprietățile corpurilor.

12. Cum sînt deformatе resorturile tamponelor între diferite vagoane consecutive la un tren *tras* de locomotivă și la un tren *împins* de locomotivă?

R: alungirile respectiv comprimările scad de la locomotivă spre capătul liber.

13. a) Cum explicați răsturnarea corpurilor într-un vehicul care frînează brusc sau virează brusc?
b) Cum explicați devierea obiectelor suspendate într-un vagon care accelerează rectiliniu sau virează? În ce sens are loc devierea?

R: în virtutea inerției corpul tinde să meargă înainte rectiliniu uniform, în timp ce podeaua (cavanul) fuge accelerat. Devierea relativă este în sensul opus accelerației.

14. Un parașutist cu masa $m = 100$ kg, după deschiderea parașutei, începe să se miște uniform. Ce forță de rezistență întâmpină el din partea aerului în acest caz?

R: $F_r = mg = 980$ N.

15. Sub acțiunea unei forțe $F_1 = 10$ N un punț material se mișcă cu accelerația $a_1 = 2,0$ m/s². Cu ce accelerație se va mișca acesta sub acțiunea forței $F_2 = 30$ N?

R: $a_2 = a_1 \cdot F_2 / F_1 = 10$ m/s².

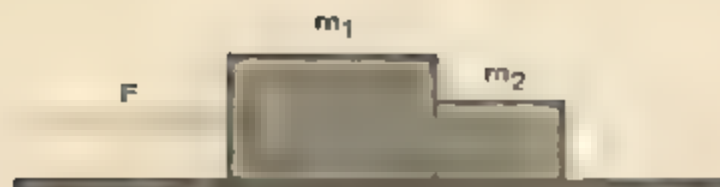


Fig. 2.26. Cu ce forță împinge corpul m_1 corpul m_2 ?

16. Un corp cu masa $m_1 = 5,0$ kg, sub acțiunea unei forțe, a căpătat accelerația $a_1 = 4,0$ m/s². Ce accelerație va căpăta un corp de masă $m_2 = 20$ kg sub acțiunea aceleiași forțe?

$$\text{R: } a_2 = a_1 \cdot m_1/m_2 = 1,0 \text{ m/s}^2$$

17. O minge cu masa $m = 0,40$ kg după lovire a căpătat o viteză $v = 10$ m/s. Dacă durata lovirii a fost $\Delta t = 4,0$ ms, să se afle forța medie de ciocnire

$$\text{R: } F_m = m \frac{\Delta v}{\Delta t} = 1,0 \text{ kN.}$$

18. O sîrmă de oțel rezistă pînă la o forță de întindere (de rupere) $F_r = 1,20$ kN. Cu ce accelerație maximă putem ridica, cu ajutorul acestei sîrme, un bloc de beton de masă $m = 100$ kg atîrnat la capătul sîrmei?

$$\text{R: } a_{\max} = F_r/m - g = 2,2 \text{ m/s}^2.$$

19. Două corpuri paralelipipedice de mase $m_1 = 20$ kg și $m_2 = 5,0$ kg sînt așezate alături pe o masă orizontală netedă fără frecări. Corpul de masă m_1 este împins cu o forță orizontală $F = 100$ N (fig. 2.26). Cu ce forță corpul m_1 împinge corpul m_2 ?

$$\text{R: } f = F \frac{m_2}{m_1 + m_2} = 20 \text{ N.}$$

TIPURI DE FORȚE

Cunoscând forțele care acționează asupra punctului material, se poate determina mișcarea sa. Vom studia numai cazurile simple, dar frecvent întâlnite în practică.

3.1. MIȘCAREA RECTILINIE UNIFORMĂ

Conform principiului inerției, un punct material izolat ($\vec{F} = 0$) se mișcă rectiliniu uniform, *vectorul viteză este constant* $\vec{v} = \text{const.}$ În acest caz viteza medie coincide cu viteza momentană:

$$\vec{v} = \vec{v}_m = \frac{\Delta \vec{r}}{\Delta t} = \frac{\vec{r} - \vec{r}_0}{t - t_0}, \quad \vec{r} = \vec{r}_0 + \vec{v}(t - t_0), \quad (\vec{v} = \text{const.}), \quad (3.1)$$

unde x este coordonata mobilului la momentul t , x_0 — coordonata la momentul t_0 și v — viteza (constantă) (v este pozitiv dacă mobilul se mișcă în sensul pozitiv al axei Ox). În particular, dacă $t_0 = 0$,

$$x = x_0 + vt, \quad (3.2)$$

unde x_0 este coordonata inițială la momentul inițial $t = 0$.

Dacă reprezentăm grafic legea mișcării (3.2), luând pe abscisă timpul t și pe ordonată coordonata x , obținem o *linie dreaptă* (fig. 3.1). Legea mișcării (3.1) sau (3.2) este un polinom de gradul întâi în timp, adică o *funcție liniară de timp*.

Mișcarea rectilinie uniformă va avea loc și în cazul în care toate acțiunile corpurilor înconjurătoare se compensează reciproc.

Sub formă vectorială:

$$\vec{v} = \vec{v}_m = \frac{\Delta \vec{r}}{\Delta t} = \frac{\vec{r} - \vec{r}_0}{t - t_0}, \quad \vec{r} = \vec{r}_0 + \vec{v}(t - t_0), \quad (\vec{v} = \text{const.}), \quad (3.3)$$

A graph showing position x versus time t . Two parallel lines represent constant velocity motion. The upper line is labeled $x = x_0 + vt$ and the lower line is labeled $x = vt$ with $v > 0$. The vertical axis x has markings for x_0 , x_1 , and x_2 . The horizontal axis t has markings for t_1 and t_2 . Point A is on the lower line at (t_1, x_1) and point B is on the upper line at (t_2, x_2) . Dashed lines connect these points to their respective coordinates on the axes. The time interval $\Delta t = t_2 - t_1$ and the position interval $\Delta x = x_2 - x_1$ are indicated with arrows.

61

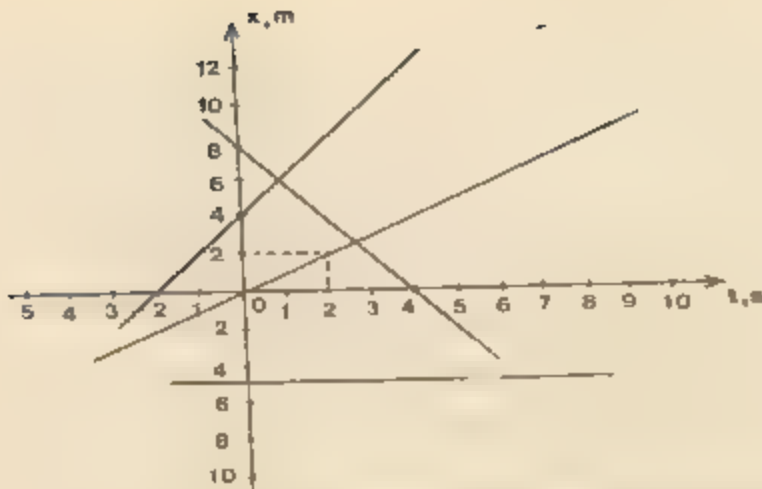


Fig. 3.3. Graficele mișcărilor rectilinii uniforme la problema rezolvată 1.

1. Să se scrie ecuațiile mișcărilor rectilinii uniforme, reprezentate în figura 3.3.

Rezolvare. Pe axa Ox , la intersecția cu graficul mișcării, citim coordonata inițială x_0 pentru $t = 0$. Găsim respectiv: 0; 4; 8; -5. Viteza se găsește luând două puncte convenabile pe grafic (fie punctele de intersecție cu axele, fie originea și un punct de pe grafic), ducând paralele la axe și calculând raportul catetelor în triunghiul format.

$v = \Delta x / \Delta t$. Găsim respectiv, 1,2 - 2,0. Prin urmare, ecuațiile sînt $(x = x_0 + vt)$

$$x = t, \quad x = 4 - 2t, \quad x = 8 - 2t, \quad x = -5$$

2. O scară rulantă ridică un călător, aflat în repaus pe scară, în timpul $t_1 = 30$ s. Pe scara mobilă călătorul urcă în timpul $t_2 = 60$ s. În cât timp t urcă călătorul pe scara mobilă?

Rezolvare. Fie v_s - viteza scării, v_c - viteza călătorului față de scară și v - viteza călătorului față de Pămînt. Atunci distanța parcursă se scrie în cele trei cazuri $d = v_s t_1 = v_c t_2 = vt$, dar $v = v_c + v_s$. Atunci

$$t = \frac{d}{v} = \frac{d}{v_c + v_s} = \frac{d}{d/t_2 + d/t_1} = \frac{t_1 t_2}{t_1 + t_2} = 20 \text{ s}$$

3. Două trenuri merg unul spre celălalt cu viteze $v_1 = 72$ km/h și $v_2 = 54$ km/h. Un călător din primul tren observă că trenul al doilea trece prin dreptul său un timp $\tau = 4,0$ s. Care este lungimea trenului al doilea? Care sistem de referință este mai potrivit pentru rezolvare?

Rezolvare. Față de călătorul din primul tren, trenul al doilea trece cu viteza $v_1 + v_2$, deci $l_2 = (v_1 + v_2)\tau = 140$ m. Se poate raționa și față de trenul al doilea

ÎNTREBĂRI, EXERCIȚII, PROBLEME

1. Într-un vagon aflat în mișcare rectilinie uniformă un elev aruncă vertical în sus o minge (care nu se lovește de tavan). Cum va arăta traiectoria mingii în reperul legat de vagon, dar într-un reper legat de Pămînt?

R: dreaptă verticală; curba din fig. 2.16 (parabolă).

2. Semnalele de radio, ca și undele luminoase, se propagă în vid rectiliniu uniform cu viteza $c = 300\,000$ km/s. În cât timp un semnal de radio se propagă de la Pămînt la Lună și înapoi? În cât timp se propagă lumina de la Soare la Pămînt? (Distanța Pămînt - Lună $d_{PL} = 384\,000$ km, Pămînt - Soare $d_{PS} = 149,5 \cdot 10^6$ km)

$$R: t = 2 \frac{d_{PL}}{c} = 2,56 \text{ s}; t = \frac{d_{PS}}{c} = 8 \text{ min } 18 \text{ s.}$$

3. Steaua polară se află la o distanță $d = 460$ ani lumină de Pământ. Un an lumină reprezintă distanța parcursă de lumină în timp de un an. Să se calculeze în kilometri valoarea unui an-lumină, precum și distanța până la steaua polară.

$$R: 1 \text{ an-lumină} = 9,5 \cdot 10^{15} \text{ km}; d = 4,37 \cdot 10^{18} \text{ km}.$$

4. În cit timp lumina parcurge o distanță de $1,00 \text{ m}$, dar diametrul unui atom de hidrogen ($1,06 \cdot 10^{-10} \text{ m}$)?

$$R: 3,3 \text{ ns (nanosecunde)}; 0,35 \cdot 10^{-10} \text{ s}.$$

5. Sunetul se propagă în aer practic rectiliniu uniform cu viteza $c = 340 \text{ m/s}$. La ce distanță s-a produs un fulger, dacă sunetul s-a auzit după $\Delta t = 10 \text{ s}$ de la observarea fulgerului?

$$R: d = c\Delta t = 3,4 \text{ km}.$$

6. Un autobuz merge prima jumătate din drumul său total cu viteza $v_1 = 60 \text{ km/h}$, iar cealaltă jumătate cu viteza $v_2 = 40 \text{ km/h}$. Care este viteza medie a autobuzului pe întreaga distanță?

$$R: v_m = \frac{2v_1v_2}{v_1 + v_2} = 48 \text{ km/h}$$

7. Ecuațiile mișcării a doi bicicliști sînt: $x_1 = 8t$, $x_2 = 200 - 12t$. Să se reprezinte grafic legile mișcării și să se afle locul și momentul întîlnirii lor. Ce reprezintă coeficientul lui t în aceste ecuații?

$$R: x = 80 \text{ m}, t = 10 \text{ s}; \text{viteza}.$$

8. Ecuațiile mișcării a două mobile sînt: $x_1 = 1 + t$, $x_2 = 2 + 2t$.

Să se construiască graficele mișcării. Să se afle locul și momentul întîlnirii mobilelor. Care este semnificația fizică a răspunsului obținut?

$$R: x = 0, t = -1 \text{ s (s au întîlnit în originea axei în trecut)}$$

9. O barcă cu motor, mișcându-se împotriva sensului de curgere a unui fluu, parcurge o distanță $d = 9,0 \text{ km}$ în $\tau = 0,50 \text{ h}$. În cit timp va parcurge barca aceeași distanță înapoi, dacă viteza de curgere a fluului este $v = 6,0 \text{ km/h}$?

$$R: \tau' = \tau \cdot \frac{d}{d + 2v\tau} = 0,30 \text{ h} = 18 \text{ min}$$

10. Distanța $d = 100 \text{ km}$ dintre două porturi fluviale este parcursă de o șalupă în sensul curentului în $t_1 = 4,0 \text{ h}$, iar împotriva curentului în $t_2 = 10,0 \text{ h}$. Care este viteza apei și viteza șalupii față de apă?

$$R: v_a = \frac{t_2 - t_1}{2t_1t_2} d = 7,5 \text{ km/h}; v_b = \frac{t_1 + t_2}{2t_1t_2} d = 17,5 \text{ km/h}.$$

11. În cit timp este ridicat de o scară rulantă un om care stă pe ea, știind că la aceeași viteză relativă față de scară, omul urcă scara nemîșcată în timpul $t_1 = 120 \text{ s}$, iar pe scară mobilă în $t_2 = 30 \text{ s}$?

$$R: T = \frac{t_1t_2}{t_1 - t_2} = 40 \text{ s}$$

12. Din București și Ploiești pleacă simultan unul spre celălalt câte un autobuz cu vitezele constante $v_1 = 60 \text{ km/h}$ și respectiv $v_2 = 40 \text{ km/h}$. În același moment dintr-unul din autobuze își ia zborul spre celălalt autobuz un porumbel, călător care continuă să zboare neînterupt, între cele două autobuze, de la unul la celălalt, cu viteza constantă $v = 70 \text{ km/h}$, pînă la întîlnirea autobuzelor. Ce drum total străbate porumbelul? (Distanța București — Ploiești este $d = 60 \text{ km}$.)

$$R: s = d \frac{v}{v_1 + v_2} = 42 \text{ km}$$

13. Pe șoseaua București-Brașov, pleacă din București un camion cu viteza $v_1 = 50$ km/h. Din Ploiești (la distanța $s_0 = 60$ km) pleacă un alt camion cu viteza $v_2 = 60$ km/h, după un timp $t_0 = 1,5$ h de la plecarea primului camion. După cât timp și în ce loc se vor întâlni camioanele? Să se reprezinte grafic pe aceeași diagramă coordonatele celor două camioane în funcție de timp.

$$R: T = \frac{v_2 t_0 - s_0}{v_2 - v_1} = 3,0 \text{ h}; L = v_1 T = 150 \text{ km}.$$

14. Un barcagiu vislește perpendicular către țărm cu o viteză $v_0 = 7,2$ km/h față de apă. Cursul apei deplasează barca cu o distanță $d = 150$ m în josul riului. Lățimea riului este $L = 500$ m. Care este viteza riului și durata traversării riului?

$$R: v = v_0 d / L = 0,60 \text{ m/s}; T = L / v_0 = 4 \text{ min } 10 \text{ s}.$$

15. Pe un strung trebuie strunjită o piesă de forma unui trunchi de con cu razele bazelor $r_1 = 15$ mm, $r_2 = 20$ mm și înălțimea $h = 50$ mm. Viteza de deplasare longitudinală a cutitelor este $v_1 = 5,0$ mm/s. Care trebuie să fie viteza v_2 de avans transversal?

$$R: v_2 = v_1 \frac{r_2 - r_1}{h} = 0,50 \text{ mm/s}.$$

3.2. MIȘCAREA RECTILINIE UNIFORM VARIATĂ

Dacă vectorul forță este *constant*, atunci din legea fundamentală rezultă că și vectorul accelerație este *constant*: $\vec{a} = \vec{F}/m = \text{const.}$ În acest caz accelerația medie coincide cu accelerația momentană: $\vec{a}_m = \vec{a}$.

Dacă forța are direcția vitezei, mișcarea va fi *rectilinie*. În adevăr, accelerația și variația vitezei au direcția și sensul forței: $\vec{F} = m\vec{a} = m\Delta\vec{v}/\Delta t$, deci în acest caz variația vitezei $\Delta\vec{v}$ are direcția vitezei, care își păstrează astfel direcția neschimbată.

Vectorii forță, viteză și accelerație sînt toți pe aceeași dreaptă pe care o alegem drept axă a coordonatelor Ox (a absciselor). Sensul pozitiv pe axă se alege de obicei în sensul vitezei (inițiale).

3.2.1. Legea vitezei. Din definiția accelerației rezultă:

$$a = a_m = \frac{\Delta v}{\Delta t} = \frac{v - v_0}{t - t_0} = \text{const.} \rightarrow v = v_0 + a(t - t_0), \quad (3.4)$$

unde v este viteza la un moment oarecare t și v_0 este viteza la momentul t_0 , iar a este accelerația constantă. Aceasta este ecuația sau legea vitezei în mișcarea rectilinie uniform variată.

În particular, dacă viteza (inițială) v_0 este cunoscută pentru momentul (inițial) $t = 0$ (adică $t_0 = 0$), ecuația de mai sus devine.

$$v = v_0 + at. \quad (3.5)$$

În diagrama viteză — timp această ecuație se reprezintă printr-o linie dreaptă (fig. 3.4 și 3.5), de aceea se spune că în mișcarea rectilinie uniform

variata viteza variaza liniar cu timpul sau este o functie liniara de timp (adică este un polinom de gradul intii in timp). Panta acestei drepte este chiar accelerația a .

Viteza inițială v_0 (la momentul inițial $t = 0$) poate fi pozitivă (mobilul se mișcă în momentul $t = 0$ în sensul pozitiv al axei), negativă (mobilul se mișcă în momentul $t = 0$ în sensul negativ al axei) sau nulă (mobilul era în repaus în momentul $t = 0$). În ultimul caz legea (3.5) devine $v = at$, adică viteza crește proporțional cu timpul. De obicei alegem sensul pozitiv al axei în sensul vitezei inițiale v_0 (atunci $v_0 > 0$) sau al accelerației dacă $v_0 = 0$ (atunci $a > 0$).

Din graficul vitezei putem determina accelerația, luând două puncte pe grafic $A(t_1, v_1)$ și $B(t_2, v_2)$ și calculând $\Delta v / \Delta t$, adică panta dreptei (fig. 3.4 și 3.5).

3.2.2. Legea mișcării. Din expresia vitezei medii $v_m = \Delta x / \Delta t = (x - x_0) / (t - t_0)$, rezultă

$$x = x_0 + v_m(t - t_0). \quad (3.6)$$

În mișcarea uniform variată, cind viteza este o funcție liniară de timp, viteza medie este egală cu media aritmetică a vitezelor inițială și finală pe intervalul considerat, de aceea (3.6) devine:

$$x = x_0 + \frac{1}{2} (v_0 + v)(t - t_0). \quad (3.7)$$

Cum $v = v_0 + a(t - t_0)$, ecuația (3.7) devine:

$$x = x_0 + v_0(t - t_0) + \frac{1}{2} a(t - t_0)^2. \quad (3.8)$$

Aceasta este legea mișcării rectilinii uniform variate.

Pentru a scrie ecuația (3.8) trebuie să cunoaștem condițiile inițiale, adică coordonata și viteza la un moment dat: $x = x_0$ și $v = v_0$ pentru $t = t_0$.

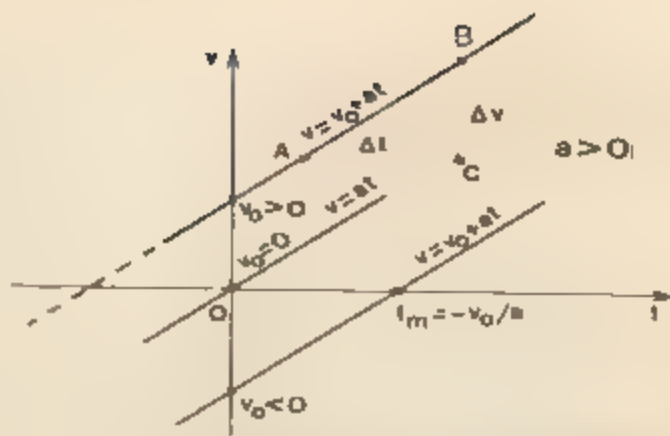


Fig. 3.4. Graficul vitezei în mișcarea uniform variată (accelerație pozitivă)

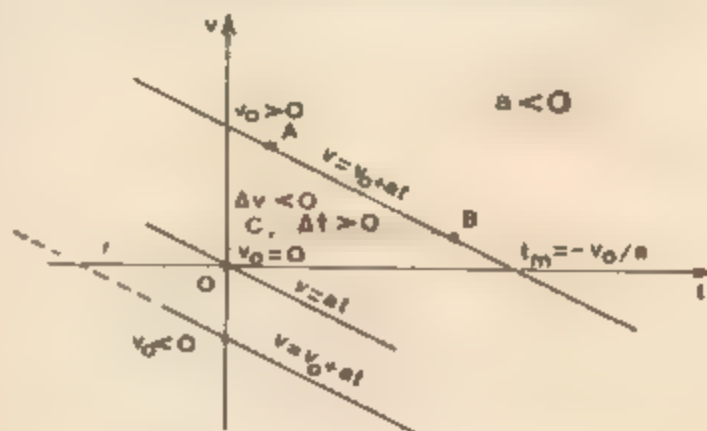


Fig. 3.5. Graficul vitezei în mișcarea uniform variată (accelerație negativă)

În particular, dacă cunoaștem coordonata (inițială) x_0 și viteza (inițială) v_0 la momentul inițial $t = 0$ (adică $t_0 = 0$), ecuația precedentă devine mai simplă:

$$x = x_0 + v_0 t + \frac{1}{2} a t^2. \quad (3.9)$$

În ecuațiile (3.8) și (3.9) toate mărimile pot fi pozitive, negative sau nule.

Reciproc, din legea mișcării (3.8) sau (3.9) se obține legea vitezei (3.4) sau (3.5).

Coordonata mobilului în mișcarea uniform variată este o funcție *pătratică de timp* (adică un polinom de gradul doi în timp). Coeficientul lui t este viteza inițială, iar coeficientul lui t^2 este jumătate din accelerație (termenul liber este coordonata inițială).

De obicei alegem originea coordonatelor (de unde măsurăm coordonata) în punctul în care se află mobilul la momentul inițial $t = 0$, atunci $x_0 = 0$,

iar sensul pozitiv al axei îl luăm în sensul vitezei inițiale v_0 , atunci $v_0 > 0$. În cazul $x_0 = 0$, avem

$$x = v_0 t + \frac{1}{2} a t^2. \quad (3.10)$$

Dacă și $v_0 = 0$, ecuația devine

$$x = \frac{1}{2} a t^2, \quad (3.11)$$

adică, dacă mobilul pleacă din repaus din originea coordonatelor, coordonata sa este proporțională cu pătratul timpului.

Reprezentînd grafic legea (3.9), obținem curbele din figura 3.6 (graficul unei funcții pătratice este o parabolă). De obicei $v_0 > 0$ și ne interesează mișcarea numai pentru $t > 0$.

Dacă accelerația este negativă, graficul are un maxim în momentul opririi mobilului.

Dacă $v_0 > 0$ și $a < 0$ mobilul se depărtează de origine *încetînit*, la un moment dat se oprește ($v = 0$, x maxim) și se întoarce îna-

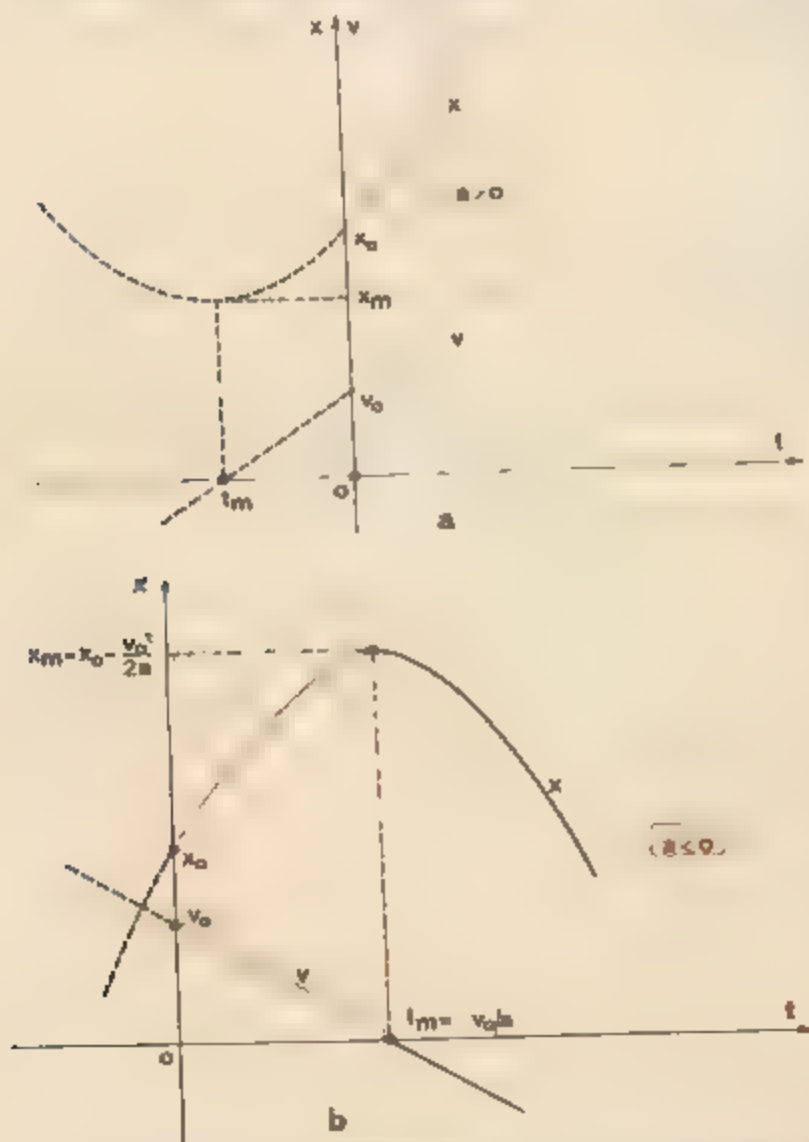


Fig. 3.4. a) Dacă accelerația este pozitivă, coordonata are un minim cînd mobilul are viteză nulă
b) Dacă accelerația este negativă coordonata are un maxim în momentul opririi (pentru $v = 0$)

poi ($v < 0$). Durata mișcării până la oprire se obține imediat, punind condiția de oprire $v = 0$:

$$0 = v_0 + at, \text{ de unde } t_m = -\frac{v_0}{a}, \quad (3.12)$$

iar coordonata maximă

$$x_m = x_0 + v_0 t_m + \frac{1}{2} a t_m^2 = x_0 - \frac{v_0^2}{2a}. \quad (3.13)$$

3.2.3 Formula lui Galilei. Să eliminăm timpul t din cele două ecuații, a vitezei (3.5) și a coordonatei (3.9). Scoatem timpul din ecuația vitezei și îl introducem în ecuația coordonatei:

$$v = v_0 + at, \text{ de unde } t = \frac{v - v_0}{a},$$

$$x = x_0 + v_0 t + \frac{1}{2} a t^2 = x_0 + v_0 \frac{v - v_0}{a} + \frac{1}{2} a \left(\frac{v - v_0}{a} \right)^2 = x_0 + \frac{v^2 - v_0^2}{2a}$$

sau

$$v^2 = v_0^2 + 2a(x - x_0). \quad (3.14)$$

Aceasta este *ecuația sau formula lui Galilei*. Ea ne permite să calculăm viteza mobilului pentru orice poziție a sa. Punând $v = 0$ (condiția de oprire), regăsim (3.13).

De obicei $x_0 = 0$, adică alegem originea coordonatelor în punctul în care se afla mobilul la $t = 0$. Atunci (3.14) devine

$$v^2 = v_0^2 + 2ax. \quad (3.15)$$

În particular, dacă și $v_0 = 0$, adică mobilul pleacă din repaus (la $t = 0$), avem

$$v^2 = 2ax. \quad (3.16)$$

Menționăm că ecuațiile mișcării rectilinii uniform variate se pot scrie *vectorial* astfel:

$$\vec{a} = \vec{a}_m = \frac{\Delta \vec{v}}{\Delta t} = \frac{\vec{v} - \vec{v}_0}{t - t_0}, \text{ de unde } \vec{v} = \vec{v}_0 + \vec{a}(t - t_0), \quad (3.17)$$

$$\vec{r} = \vec{r}_0 + \vec{v}_0(t - t_0) + \frac{1}{2} \vec{a}(t - t_0)^2. \quad (3.18)$$

Bineînțeles, din legea mișcării (3.18) se poate obține prin procedeul cunoscut legea vitezei (3.17). Proiectând aceste ecuații vectoriale pe axa mișcării, obținem ecuațiile algebrice cunoscute (pe componente). Mai mult, aceste ecuații vectoriale sînt valabile chiar dacă vectorii \vec{v}_0 și \vec{a} ($\vec{a} = \text{const}$) nu sînt coliniari și deci mișcarea nu este rectilinie ci curbilinie în planul definit de vectorii (\vec{v}_0, \vec{a}) sau (\vec{v}_0, \vec{F}) , de exemplu în cazul aruncării în vid în câmpul gravitațional terestru (atunci $\vec{a} = \vec{g}$).

Se folosește montajul din figura 1.29.

a) *Legea mișcării rectilinii uniform variate*. Se procedează ca la experimentul de la § 3.1, (b).

Se va reprezenta grafic legea mișcării $x = f(t)$. Teoretic, ecuația mișcării trebuie să fie $x = \frac{1}{2} at^2$ (parabolă). Dacă trasăm graficul $x = F(t^2)$ trebuie să obținem o dreaptă cu panta $\frac{a}{2}$. De aceea se va trasa și graficul $x = F(t^2)$ și luând două puncte convenabile pe grafic (aproximat printr-o dreaptă) se va calcula panta $a/2$ deci accelerația a .

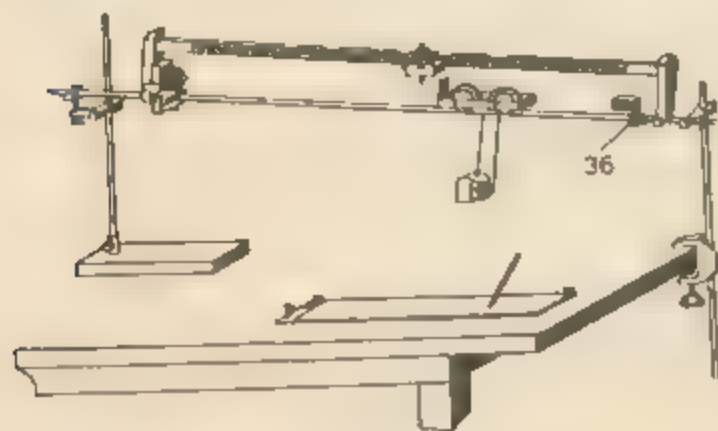


Fig. 3.7. Montaj pentru verificarea legilor mișcării rectilinii uniform variate

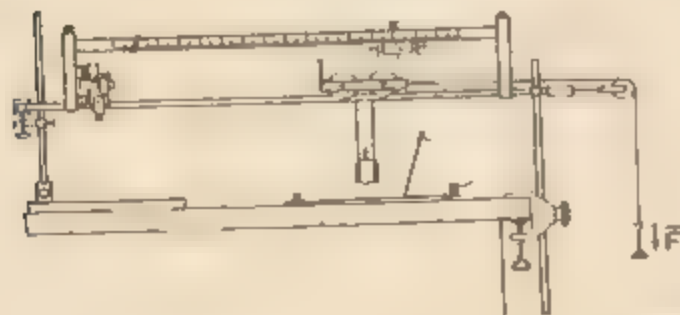


Fig. 3.8. Montaj pentru verificarea legii fundamentale a dinamicii

b) *Legea vitezei în mișcarea rectilinii uniform variată*. Se montează dispozitivul de prindere (31, 32) astfel încât să rețină greutatea (26) când caruciorul a străbătut fiecare din distanțele x de la experimentul precedent (fig. 3.7). În dreptul fiecărei valori x , se montează întrerupătorul (18) și la o distanță convenabilă $\Delta x'$ de acesta se montează întrerupătorul (23). Pe distanța Δx parcursă în timpul $\Delta t'$, caruciorul se mișcă practic uniform cu viteza avută în dreptul coordonatei x , deci $v(x) = \Delta x' / \Delta t'$.

Se va reprezenta grafic legea vitezei $v = f(t)$. Teoretic, legea vitezei trebuie să fie $v = at$ (dreaptă). Se va calcula panta dreptei obținute, deci accelerația a , și se va compara cu accelerația obținută în experiența precedentă, din legea mișcării.

c) *Legea fundamentală a dinamicii*. Se realizează montajul din figura 3.8 (montajul detaliat este dat în figura 1.29). Se aleg diferite distanțe x ($\sim 0,5 - 0,7$ m) de la vârful electromagnetului până la întrerupătorul 2. Forța F este dată de greutatea crestate (26), caruciorul (27) fiind încărcat cu greutățile cu șurub (34).

În prima variantă, pentru o distanță aleasă x se măsoară timpul de mișcare t sub acțiunea diferitelor forțe F . Se calculează accelerația $a = 2x/t^2$ și

raportul F/a , care trebuie să coincidă cu masa $(M + m)$ a sistemului (cărucior cu greutatea cu șurub + cirligul cu greutatea crestate).

În a doua variantă, se păstrează constantă forța F dată de greutatea crestate (26) și se modifică încărcarea M a căruciorului (27).

PROBLEME REZOLVATE

Peste tot unde este posibil alegem originea coordonatelor în punctul în care se află mobilul la $t = 0$ (atunci $x_0 = 0$), iar sensul pozitiv pe axa mișcării îl alegem în sensul vitezei inițiale (atunci $v_0 > 0$) sau al accelerației (forței) dacă $v_0 = 0$ (atunci $a > 0$).

1. Un șofer începe să frneze automobilul pe un drum horizontal de la o distanță $d = 25$ m de un obstacol. Forța de frinare este $F_f = 1,5$ kN, iar masa automobilului $m = 750$ kg.

Care este viteza maximă admisibilă v_0 a automobilului pentru ca acesta să poată opri înainte de obstacol?

Rezolvare. Forța de greutate a automobilului este anulată de reacțiunea normală a solului. Rămâne forța de frinare orientată în sens invers mișcării (fig. 3.9). Alegând axa Ox în sensul mișcării, avem

$$-F_f = ma, \text{ de unde } a = -F_f/m$$

(accelerația, la fel ca și forța, este orientată în sensul opus vitezei). Aplicând direct formula (3.13) cu $x_0 = 0$, avem

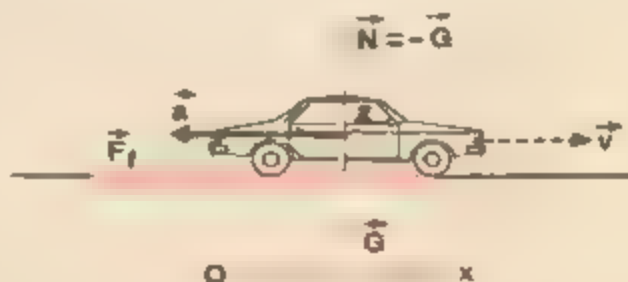


Fig. 3.9. La problema rezolvată 1

$$d = -\frac{v_0^2}{2a} = \frac{v_0^2}{2F_f/m}, \text{ de unde } v_0 = \sqrt{2F_f d/m} = 10 \text{ m/s} = 36 \text{ km/h}$$

Putem aplica de asemenea formula lui Galilei (cu $x_0 = 0$), punând condiția de oprire $v = 0$.

2. Două corpuri pornesc din același punct pe aceeași direcție cu vitezele inițiale $v_{01} = 4,0$ m/s, respectiv $v_{02} = 3,0$ m/s și accelerațiile $a_1 = 2,0$ m/s², respectiv $a_2 = 3,0$ m/s², corpul 2 însă la un interval $\tau = 2,0$ s mai târziu decât corpul 1. Să se afle a) după cât timp și la ce distanță se vor întâlni corpurile, b) vitezele medii ale corpurilor de la plecare pînă la întâlnire.

Rezolvare a) Alegem originea timpului în momentul cînd pornește primul corp, atunci

$$x_1 = v_{01}t + \frac{1}{2} a_1 t^2 \text{ și } x_2 = v_{02}(t - \tau) + \frac{1}{2} a_2 (t - \tau)^2 \text{ (pentru al doilea corp } t_0 \text{ este } \tau)$$

În momentul întîlnirii $x_1 = x_2$ (corpurile se află în același punct, la aceeași distanță de origine).

$$v_{01}t + \frac{1}{2} a_1 t^2 = v_{02}(t - \tau) + \frac{1}{2} a_2 (t - \tau)^2,$$

de unde $t^2 - 14t = 0$ cu soluțiile $t = 0$ și $t = 14$ s. Prima soluție este inacceptabilă, deoarece corpul 2 pleacă abia peste $\tau = 2,0$ s. Coordonata punctului de întîlnire este,

$$x = v_{01}t + \frac{1}{2} a_1 t^2 = 252 \text{ m.}$$

b) Vitezele medii:

$$v_{1m} = \frac{\Delta x}{\Delta t} = \frac{252}{14} = 18 \text{ m/s}; v_{2m} = \frac{252}{12} = 21 \text{ m/s}.$$

3. Din originea axei Ox pleacă un mobil cu viteza inițială $v_{01} = 2,0 \text{ m/s}$ și accelerația $a_1 = 3,0 \text{ m/s}^2$. În același moment, dintr-un punct de pe axa Ox , de abscisă $x_0 = 18 \text{ m}$, pleacă un al doilea mobil cu viteza inițială $v_{02} = 5,0 \text{ m/s}$ și accelerația $a_2 = 1,0 \text{ m/s}^2$.

a) După cât timp și la ce distanță se întâlnesc mobilele? b) Care sînt vitezele medii ale mobilelor în acest timp?

Rezolvare a) Ecuațiile pentru coordonatele celor două mobile sînt

$$x_1 = v_{01}t + \frac{1}{2} a_1 t^2; x_2 = x_0 + v_{02}t + \frac{1}{2} a_2 t^2.$$

Condiția de întâlnire $x_1 = x_2$ dă

$$v_{01}t + \frac{1}{2} a_1 t^2 = x_0 + v_{02}t + \frac{1}{2} a_2 t^2 \text{ sau } t^2 - 3t - 18 = 0$$

cu soluțiile $t = -3,0 \text{ s}$ și $t = 6,0 \text{ s}$. Prima soluție este inacceptabilă deoarece înseamnă întâlnirea mobilelor anterior ($t < 0$) plecării lor. Punctul de întâlnire

$$x = v_{01}t + \frac{1}{2} a_1 t^2 = 66 \text{ m}.$$

$$b) v_{1m} = \frac{\Delta x}{\Delta t} = \frac{66}{6,0} = 11 \text{ m/s}; v_{2m} = \frac{66 - 18}{6,0} = 8,0 \text{ m/s}$$

4. Fie legea vitezei $v = f(t)$ dată sub forma tabelului

$t \text{ [s]}$	-4	-3	-2	-1	0	1	2	3	4	5	6	7	8
$v \left[\frac{\text{m}}{\text{s}} \right]$	1,0	1,0	1,0	2,0	4,0	8,0	10,0	4,0	0	-2,0	0	0	0

Să se reprezinte grafic această lege. a) Să se calculeze accelerația medie în intervalele de timp $(-4; -2) \text{ s}$, $(-2, 2) \text{ s}$, $(2, 5) \text{ s}$, $(5, 6) \text{ s}$ și $(6, 8) \text{ s}$. b) Care este accelerația momentană a mobilului la momentul $t = 2,0 \text{ s}$?

Rezolvare. Graficul este dat în figura 3.10

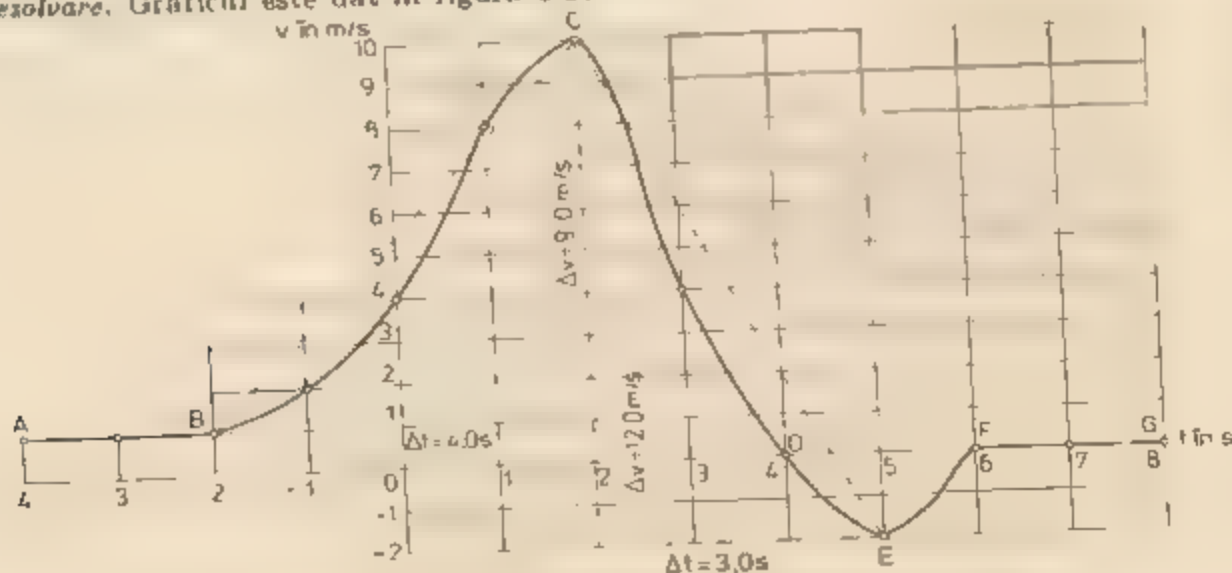


Fig. 3.10. Graficul legii vitezei la problema rezolvată 4

a) Acceleerațiile medii sînt:

$$a_m = \frac{\Delta v}{\Delta t} = \frac{0}{2} = 0; \quad \frac{10,0 - 1,0}{2,0 - (-2,0)} = 2,25 \text{ m/s}^2, \quad \frac{2,0 - 10,0}{5,0 - 2,0} = -4,0 \frac{\text{m}}{\text{s}^2};$$

$$\frac{0 - (-2,0)}{6,0 - 5,0} = 2,0 \text{ m/s}^2, \quad \frac{0}{2} = 0$$

b) Pentru un interval Δt foarte mic, descrescînd cîtredreze zero, luat la $t = 2,0$ s, variația Δv este zero, viteza este constantă, graficul vitezei fund ari orizontal, deci $a = 0$.

INTREBĂRI, EXERCIIII, PROBLEME

1. Cum va arăta graficul vitezei în cazul accelerației nule?

R: dreaptă orizontală

2. Legea mișcării rectilinii a unui corp este dată de ecuația $x = 2,0 + 1,5t + t^2$. Să se scrie legea vitezei.

R: $v = 1,5 + 2t$

3. Dacă accelerația nu este constantă, se poate calcula viteza medie în mișcarea rectilinie ca media aritmetică $v_m = (v_0 + v)/2$?

R: nu,

4. Să se arate că pentru mișcarea uniform variată avem:

$$x = x_0 + \frac{v_0 + v}{2} t$$

5. Un tren electric se mișcă cu viteza $v_0 = 72 \text{ km/h}$. Întrerupîndu se curentul electric, trenul se oprește (uniform încetînit) după $\Delta t = 20 \text{ s}$. Să se afle accelerația și distanța pînă la oprire.

$$\text{R: } a = -\frac{v_0}{\Delta t} = -1,0 \text{ m/s}^2; \quad d = \frac{1}{2} v_0 \Delta t = 200 \text{ m.}$$

6. Un automobil pornește cu accelerația $a = 0,40 \text{ m/s}^2$. Cît timp îi trebuie ca să-și mărească viteza de la $v_1 = 12 \text{ m/s}$ la $v_2 = 20 \text{ m/s}$?

$$\text{R: } \Delta t = \frac{v_2 - v_1}{a} = 20 \text{ s.}$$

7. O sîniuță coboară liber, uniform accelerat, pe un deal de lungime $l = 60 \text{ m}$ într-un timp $t = 10 \text{ s}$. Care a fost accelerația și ce viteză a răpătat la sfîrșitul dealului?

$$\text{R: } a = \frac{2l}{t^2} = 1,2 \text{ m/s}^2, \quad v = \frac{2l}{t} = 12 \text{ m/s.}$$

8. Un schior parcurge cu accelerația $a = 0,30 \text{ m/s}^2$ o porțiune de pistă $\Delta x = 100 \text{ m}$ în $\Delta t = 20 \text{ s}$. Care a fost viteza schiorului la începutul și la sfîrșitul porțiunii de pistă?

$$\text{R: } v_{1,2} = \frac{\Delta x}{\Delta t} \mp a \frac{\Delta t}{2} = 2,0 \text{ și } 8,0 \text{ m/s.}$$

9. Un corp cu masa $m = 0,50 \text{ kg}$ este tras orizontal rectiliniu uniform pe o masă orizontală (cu frecare) cu ajutorul unui dinamometru care arată o forță $F_1 = 2,0 \text{ N}$. Cu ce accelerație se va mișca același corp dacă dinamometrul va arăta $F_2 = 3,0 \text{ N}$?

$$\text{R: } a = \frac{F_2 - F_1}{m} = 2,0 \text{ m/s}^2$$

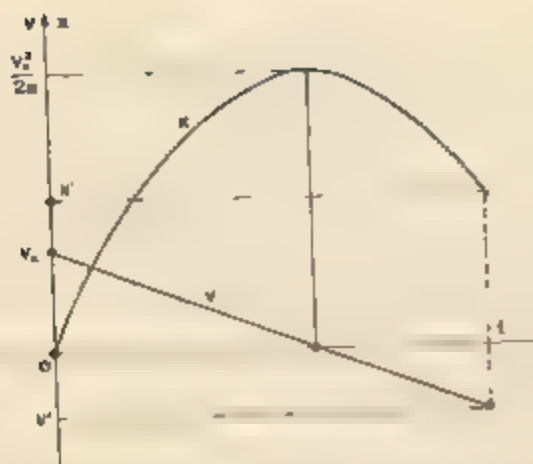


Fig. 3.11. Viteza și coordonata în mișcarea uniform variată din problema 12.

10. Un corp pornește fără viteză inițială. În prima secundă el parcurge o distanță egală cu 1 m, în a doua secundă parcurge o distanță egală cu 2 m și așa mai departe, în a n -a secundă parcurge o distanță egală cu n metri. Este aceasta o mișcare uniform accelerată?

R nu.

11. Un corp pornește uniform accelerat cu viteza inițială $v_0 = 2,0$ m/s și ajunge în punctul $x_0 = 300$ m după $\tau = 1,0$ min. Să se afle accelerația și viteza finală

$$R: a = 2(x_0 - v_0\tau)/\tau^2 = 0,40 \text{ m/s}^2, \\ v' = 2x_0/\tau - v_0 = 8,0 \text{ m/s}.$$

12. Un mobil pornește uniform variat din originea axei Ox cu viteza inițială $v_0 = 15$ m/s. După un timp t' mobilul trece prin punctul de abscisă $x' = 10$ m cu viteza $v' = 10$ m/s. Să se calculeze a) accelerația, b) timpul t' , c) distanța parcursă în acest timp, d) viteza în modul, medie. Să se reprezinte grafic, pe aceeași diagramă, viteza și coordonata.

$$R: a) a = \frac{v'^2 - v_0^2}{2x'} = -5,25 \text{ m/s}^2; b) t' = \frac{2x'}{v_0 + v'} = 4,0 \text{ s}.$$

$$c) d = x' \frac{v_0^2 + v'^2}{v_0^2 - v'^2} = 26 \text{ m}, d) |v|_m = \frac{d}{t'} = \frac{v_0^2 + v'^2}{2(v_0 - v')} = 6,5 \text{ m/s}.$$

curba și dreapta din figura 3.11.

13. Un corp mișcă uniform variat parcurge prima jumătate din drumul său $d = 150$ m în timpul $t_1 = 10$ s, iar cealaltă jumătate în $t_2 = 5,0$ s. Să se afle accelerația și viteza inițială ale corpului.

$$R: a = d \frac{t_1 - t_2}{t_1 t_2 (t_1 + t_2)} = 1,0 \text{ m/s}^2, v_0 = d/2t_1 - \frac{1}{2} at_1 = 2,5 \text{ m/s}$$

14. Din originea axei Ox pleacă un mobil cu viteza constantă $v' = 1,0$ m/s, iar după $\tau = 5,0$ s un al doilea mobil cu viteza inițială $v_0 = 5,0$ m/s și accelerația $a = -0,70$ m/s². Să se afle după cât timp de la pornirea mobilului 2 se vor întâlni mobilele

$$R: v'(t + \tau) = v_0 + \frac{1}{2} at^2, \text{ de unde } t = \frac{10}{7} \text{ s și } 10 \text{ s}.$$

3.3. MIȘCAREA CORPURILOR SUB ACȚIUNEA GREUTĂȚII

3.3.1. **Căderea liberă.** Greutatea unui corp este *forța* cu care acesta întinde firul sau resortul de care este suspendat. Ea are direcția „firului cu plumb”. Sau, altfel, greutatea unui corp este *forța* cu care acesta apasă asupra unui plan orizontal pe care este așezat (planul orizontal este perpendicular pe direcția firului cu plumb). Greutatea unui corp se datorește atracției gravitaționale

dintre corp și Pământ. Dacă neglijăm efectele rotației proprii diurne a Pământului și neomogenitățile globului terestru (care sînt într-adevăr neglijabile în majoritatea covârșitoare a nevoilor practice), atunci:

Gravitația este o accelerație constantă, care acționează asupra tuturor corpurilor în aceeași direcție, cu care acesta este atras de Pământ, cu aceeași direcția razei.

Corpurile lăsate liber în vid, fără viteză inițială, cad vertical, sub acțiunea greutății lor, cu aceeași accelerație gravitațională \vec{g} ($g \approx 9,8 \text{ m/s}^2$), independentă de masa corpului, natura, dimensiunile sau forma corpurilor. Conform legii fundamentale $\vec{F} = m\vec{a}$, rezultă atunci

$$\vec{G} = m\vec{g}, \quad (3.19)$$

unde \vec{g} în același loc este același pentru toate corpurile. Aceasta se poate dovedi experimental cu ajutorul tubului lui Newton — un tub de sticlă vidat în care sînt introduse diferite obiecte. Răsturnînd tubul, toate obiectele cad la fel, cu aceeași accelerație. În aer însă, corpurile cad cu accelerații diferite, fiindcă pe lângă greutatea lor $m\vec{g}$, acționează și o forță de rezistență din partea aerului, care depinde sensibil de dimensiunile și de forma corpului. În tot ce urmează vom neglija forța de rezistență a aerului (deci vom considera corpuri mici și grele).

Accelerația gravitațională de cădere liberă \vec{g} depinde de altitudine (de distanța pînă la centrul Pământului) și puțin de latitudine (din cauza turtirii Pământului la poli și a rotației Pământului).

Accelerația gravitațională *normală* (sau standard) se consideră:

$$g_n = 9,80665 \text{ m/s}^2. \quad (3.20)$$

La nivelul mării și la paralela 45° : $g_0 = 9,80616 \text{ m/s}^2$.

Prin urmare, toate corpurile care se mișcă liber în vid au aceeași accelerație $\vec{g} = \vec{G}/m$, orientată vertical în jos la fel ca și forța de greutate \vec{G} (fig. 2.16).

Dacă viteza inițială este verticală (sau nulă), corpul se va mișca pe verticală (forța fiind verticală) *uniform variat*. Alegînd axa Oy vertical în sus, avem

$$v = v_0 - g(t - t_0), \quad y = y_0 + v_0(t - t_0) - \frac{1}{2} g(t - t_0)^2, \quad (g \approx 9,8 \text{ m/s}^2) \quad (3.21)$$

și în particular, dacă condițiile inițiale y_0, v_0 se referă la momentul $t = 0$ (adică $t_0 = 0$), avem mai simplu

$$v = v_0 - gt, \quad y = y_0 + v_0 t - \frac{1}{2} gt^2, \quad (g \approx 9,8 \text{ m/s}^2). \quad (3.22)$$

În ecuațiile de mai sus, y, y_0, v, v_0 pot avea diferite semne, în funcție de poziția și sensul mișcării corpului pe axa aleasă Oy ($-g$ este componenta vectorului accelerație \vec{g} pe axa Oy aleasă).

Desigur, se poate alege o axă Oy cu sensul pozitiv în jos, atunci

$$v = v_0 + g(t - t_0), \quad y = y_0 + v_0(t - t_0) + \frac{1}{2} g(t - t_0)^2, \quad (g \approx 9,8 \text{ m/s}^2), \quad (3.23)$$

unde y, y_0, v, v_0 au semne corespunzătoare noii axe ($+g$ este acum componenta vectorului \vec{g} pe axa aleasă).

EXEMPLE

1. Un corp cade liber (fără viteză inițială) de la o înălțime h . Să se afle viteza și timpul de cădere.

Rezolvare. Este mai convenabil să alegem axa verticală Oy cu sensul pozitiv în jos și cu originea în punctul de unde cade corpul la momentul $t = 0$ (fig. 3.12). Atunci

$$v = gt, \quad h = \frac{1}{2} gt^2, \quad \text{de unde } v = \sqrt{2gh}, \quad t_c = \sqrt{\frac{2h}{g}}, \quad (3.24)$$

corpul cade accelerat cu accelerația g .

2. Un corp este aruncat vertical în sus cu viteza inițială v_0 . Să se afle timpul de urcare și înălțimea maximă la care se ridică corpul.

Rezolvare. Alegem axa Oy vertical, cu sensul pozitiv în sus și cu originea în punctul de unde se aruncă corpul (fig. 3.13). Atunci

$$v = v_0 - gt, \quad y = v_0 t - \frac{1}{2} gt^2. \quad (3.25)$$

Punând condiția de oprire $v = 0$, găsim timpul de urcare și apoi înălțimea maximă:

$$0 = v_0 - gt, \quad t_u = \frac{v_0}{g}, \quad h = y_m = v_0 t_u - \frac{1}{2} gt_u^2 = \frac{v_0^2}{2g}, \quad (3.26)$$

corpul urcă încetinit cu accelerația $-g$.

Aceste rezultate se obțin și din formulele (3.12–3.13) pentru timpul până la oprire și distanța maximă din cazul mișcării uniform încetinite, dacă punem acolo $a = -g$.

După atingerea înălțimii maxime și oprire, corpul cade înapoi accelerat și când ajunge din nou la punctul de lansare va avea viteza finală v' , egală în modul și de sens opus cu viteza inițială de lansare v_0 . De asemenea, timpul de urcare este egal cu timpul de coborâre:

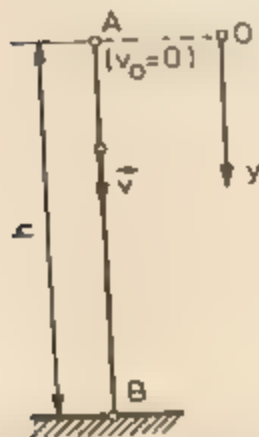


Fig. 3.12. Căderea liberă de la o înălțime h (Exemplul 1)



Fig. 3.13. Aruncarea unui corp vertical în sus cu viteza inițială v_0 (Exemplul 2)

$$\begin{aligned} v' &= \sqrt{2gh} = \sqrt{2g \cdot \frac{v_0^2}{2g}} = v_0; \\ t_u &= \frac{v_0}{g} = \sqrt{\frac{v_0^2}{g^2}} = \sqrt{\frac{v_0^2}{2g} \cdot \frac{2}{g}} = \\ &= \sqrt{\frac{2h}{g}} = t_c. \end{aligned} \quad (3.27)$$

Observăm că ecuațiile (3.25) descriu atât urcarea, cât și coborârea ulterioară a corpului.

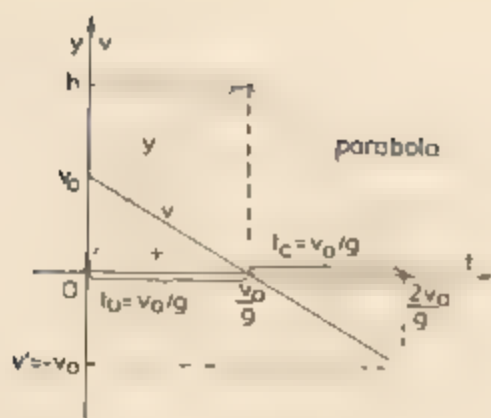


Fig. 3.14. Graficul vitezei și coordonatei unui corp aruncat vertical în sus cu viteza inițială v_0 .

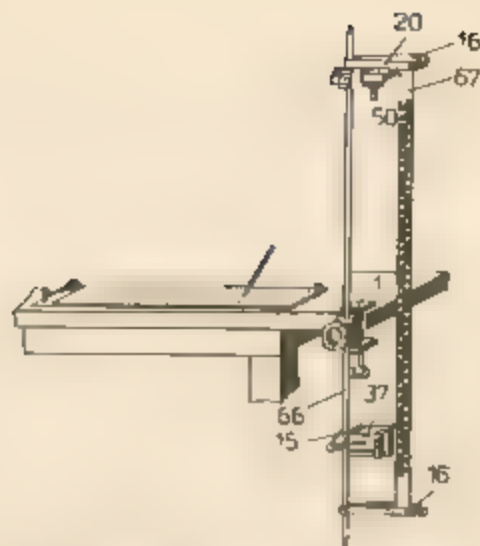


Fig. 3.15. Montajul mecanic pentru studiul căderii libere.

Dacă reprezentăm grafic pe aceeași diagramă pe v și pe y în funcție de timp.

$v = v_0 - gt$, $y = v_0 t - \frac{1}{2} gt^2$, obținem o linie dreaptă (pentru v) și o parabolă (pentru y) (fig. 3.14).

EXPERIMENT

Studiul căderii libere. Montajul mecanic este dat în figura 3.15.

Corpul a cărui mișcare se analizează este o bilă (50) din oțel. Din vârful miezului electromagnetului (20) se lasă să cadă bila pe clapeta captorului (37).

Montajul electric este dat în figura 3.16.

Experimentul se face montind captorul, succesiv, la diferite distanțe y față de reperul 0 al riglei și măsurind de fiecare dată timpul t de cădere.

Se va reprezenta grafic legea mișcării $y = f(t)$. Teoretic: $y = \frac{1}{2} gt^2$ parabolă. De aceea, se va trasa și graficul $y = F(t^2)$, care trebuie să fie o dreaptă cu panta $g/2$, de unde se obține accelerația gravitațională g .

3.3.2. Mișcarea pe plan înclinat. Vom neglija frecările dintre corp și planul înclinat (de exemplu, un cărucior pe șine netede). În acest caz asupra corpului acționează: forța de greutate $\vec{G} = m\vec{g}$ și reacțiunea normală \vec{N} a planului

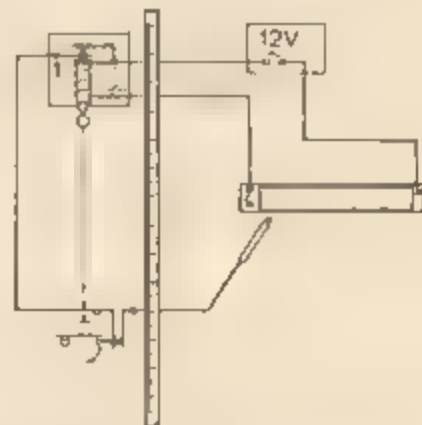


Fig. 3.16. Montajul electric pentru studiul căderii libere.

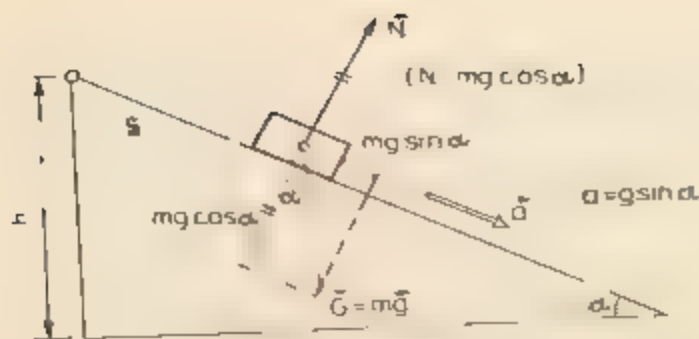


Fig. 3.17. Mișcarea pe plan inclinat fără frecare.

inclinat (fig. 3.17). Dacă descompunem greutatea după două direcții: una paralelă cu planul inclinat și alta perpendiculară pe el, atunci pe direcția perpendiculară pe planul inclinat nu este accelerație (corpul alunecă paralel cu planul inclinat), deci $N - mg \cos \alpha = 0$. Prin urmare reacțiunea normală N a planului inclinat asupra corpului este egală

cu componenta $mg \cos \alpha$ a greutății, cu care corpul apasă asupra planului inclinat. În adevăr, corpul nu apasă asupra planului inclinat cu toată greutatea sa mg , ci numai cu componenta normală $mg \cos \alpha$, cealaltă componentă $mg \sin \alpha$ fiind paralelă cu planul inclinat.

Componenta $mg \sin \alpha$, paralelă cu planul inclinat (ea este bineînțeles rezultanta celor două forțe \vec{G} și \vec{N}), imprimă corpului o accelerație

$$a = \frac{F}{m} = \frac{mg \sin \alpha}{m} = g \sin \alpha \quad (3.28)$$

în direcția și sensul acestei forțe, adică paralelă cu planul inclinat și îndreptată în jos.

Prin urmare, un corp lăsat liber pe un plan inclinat fără frecări, va coborî uniform accelerat cu accelerația $a = g \sin \alpha$, iar lansat în sus de-a lungul planului inclinat cu viteza inițială v_0 va urca încetinit, se va opri și apoi se va întoarce înapoi accelerat. Situația este perfect asemănătoare cu cea din mișcarea pe verticală în câmp gravitațional, cu singura deosebire că mișcarea se face paralel cu planul inclinat (și nu pe verticală), cu accelerația $a = g \sin \alpha$ (în loc de g).

Dacă notăm cu h înălțimea de la care coboară liber corpul și cu s lungimea corespunzătoare a planului inclinat, atunci $h = s \sin \alpha$. Deci la coborîre liberă (fără viteză inițială):

$$v = \sqrt{2as} = \sqrt{2g \sin \alpha \cdot s} = \sqrt{2gh}, \quad t_c = \sqrt{\frac{2s}{a}} = \sqrt{\frac{2s}{g \sin \alpha}} = \frac{1}{\sin \alpha} \sqrt{\frac{2h}{g}} \quad (3.29)$$

și la urcare cu viteza inițială v_0 :

$$t_u = \frac{v_0}{g \sin \alpha} \cdot s = \frac{v_0^2}{2g \sin \alpha}, \quad h = \frac{v_0^2}{2g}; \quad (t_c = t_u, \quad v' = -v_0). \quad (3.30)$$

EXPERIMENT

Mișcarea pe planul inclinat. Se reface montajul din figura 1.29. Montajul electric este prezentat în figura 3.18.

Experimentul se realizează înclinând bara de rulare cu 5° , fixînd întrerupătorul la diferite distanțe x și măsurînd timpul de mișcare respectiv.

Se va reprezenta grafic legea mișcării $x = f(t)$. Teoretic (cu neglijările respective) ea trebuie să fie $x = \frac{1}{2} g \sin \alpha \cdot t^2$. De aceea reprezentând dependența $x \Rightarrow F(t^2)$ și aproximând-o printr-o dreaptă, panta acesteia trebuie să fie egală cu $\frac{1}{2} g \sin \alpha$, în limitele erorilor experimentale.

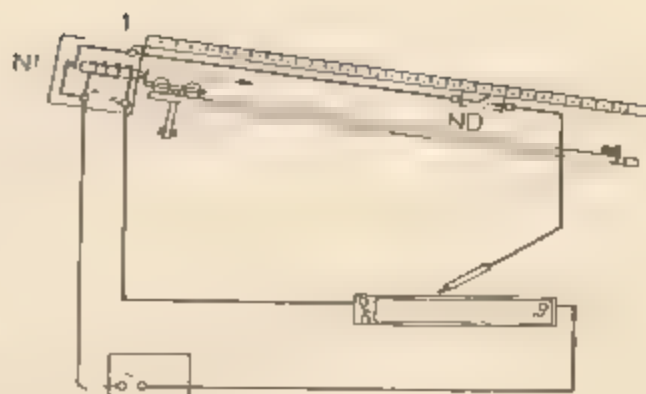


Fig. 8.18. Montajul electric pentru studiul mișcării pe planul înclinat

PROBLEME REZOLVATE

1. Un corp cade liber de la o înălțime $h = 15$ m fără viteză inițială. În același timp este aruncat vertical în sus un al doilea corp cu viteză inițială $v_0 = 10$ m/s. După cât timp și la ce înălțime deasupra solului se întâlnesc corpurile?

Rezolvare. Alegem axa Oy vertical în sus cu originea în punctul de unde este aruncat corpul 2 (fig. 8.19). Atunci, ecuațiile mișcării sînt:

$$y_1 = h - \frac{1}{2} g t_m^2, \quad y_2 = v_0 t - \frac{1}{2} g t^2.$$

Punem condiția de întâlnire $y_1 = y_2$ (în momentul întâlnirii distanța corpurilor până la originea O este aceeași):

$$y_1 = y_2, \quad h - \frac{1}{2} g t_m^2 = v_0 t - \frac{1}{2} g t^2,$$

de unde

$$t_m = \frac{h}{v_0} = 1,5 \text{ s}, \quad y_m = h - \frac{1}{2} g t_m^2 = 4,0 \text{ m}.$$

2. Două corpuri sînt aruncate vertical în sus cu vitezele inițiale $v_{01} = 60$ m/s și $v_{02} = 40$ m/s, corpul 2 la un interval $\tau = 6,0$ s după primul. După cât timp și la ce înălțime deasupra solului se vor întâlni corpurile? (Se va lua $g = 10$ m/s²)

Rezolvare. Alegem axa Oy vertical în sus. Atunci ecuațiile mișcării sînt:

$$y_1 = v_{01} t - \frac{1}{2} g t^2, \quad y_2 = v_{02} (t - \tau) - \frac{1}{2} g (t - \tau)^2.$$

Punind condiția de întâlnire $y_1 = y_2$, găsim

$$t_m = \frac{g \tau^2 / 2 + v_{02} \tau}{g \tau + v_{02} - v_{01}} = 10,5 \text{ s};$$

$$y_m = v_{01} t_m - \frac{1}{2} g t_m^2 = 78,8 \text{ m}.$$

3. Un corp cade liber (în vid) fără viteză inițială dintr-un punct A aflat la o înălțime $H = 4,9$ m. Simultan, dintr-un punct B situat cu $h = 2,0$ m mai jos de A , este aruncat vertical în sus un al doilea corp. Cu ce viteză inițială v_0 a fost aruncat acesta, dacă a ajuns pe Pământ simultan cu primul?



Fig. 8.19. La problema rezolvată 1.

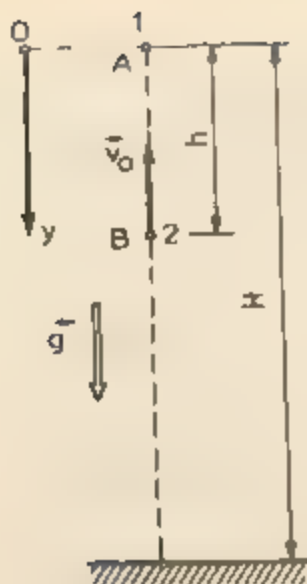


Fig. 8.20. La problema rezolvată 3

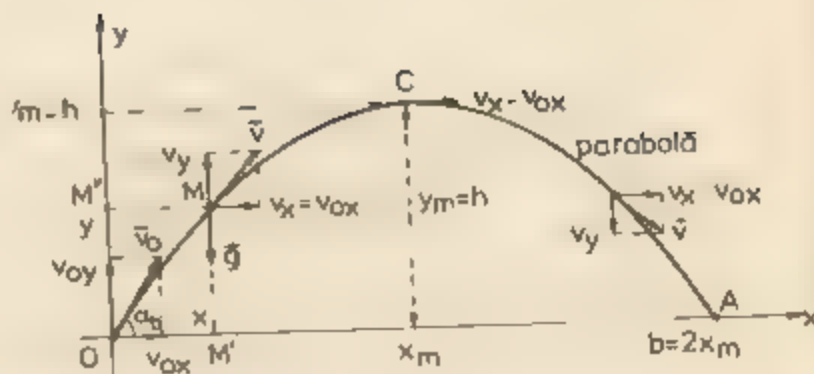


Fig. 8.21. Mișcarea în câmp gravitațional terestru (Problema rezolvată 4)

Rezolvare Alegem axa Oy vertical în jos, cu originea în punctul A (fig. 8.20). Atunci ecuațiile mișcării sînt:

$$y_1 = \frac{1}{2} g t^2, \quad y_2 = h - v_0 t + \frac{1}{2} g t^2$$

(componenta vitezei inițiale \vec{v}_0 pe axa aleasă este $-v_0$)
Condiția de întâlnire la suprafața pămîntului este:

$$y_1 = y_2 = H, \text{ adică } \frac{1}{2} g t^2 = h - v_0 t + \frac{1}{2} g t^2 = H,$$

de unde

$$t_m = h/v_0 \text{ și } v_0 = h \sqrt{\frac{g}{2H}} = 2,0 \text{ m/s.}$$

4.* Să se studieze aruncarea oblică a unui corp (în vid) cu o viteză inițială \vec{v}_0 care face un unghi α_0 cu orizontala.

Rezolvare Mișcarea va avea loc în planul vertical conținînd forța $\vec{G} = m\vec{g}$ și viteza \vec{v}_0 , și se descompune în două mișcări: în direcția orizontală după axa Ox și în direcția verticală după axa Oy (fig. 3.21). Deoarece forța $\vec{G} = m\vec{g}$ și accelerația respectivă \vec{g} sînt permanent verticale, nu avem forță și accelerație pe direcția orizontală Ox , și mișcarea pe direcția orizontală va fi uniformă cu viteza constantă $v_x = v_{0x} = v_0 \cos \alpha_0$. În schimb pe direcția verticală, după axa Oy , avem o mișcare uniform variată cu accelerația $-g$ și viteza inițială $v_{0y} = v_0 \sin \alpha_0$.

$$\begin{cases} v_x = v_{0x} = v_0 \cos \alpha_0, \\ x = v_0 t \cos \alpha_0, \end{cases} \quad \begin{cases} v_y = v_{0y} - gt = v_0 \sin \alpha_0 - gt, \\ y = v_0 t \sin \alpha_0 - \frac{1}{2} g t^2. \end{cases} \quad (3.31)$$

Scoatem timpul din ecuația lui x : $t = x/v_0 \cos \alpha_0$, și îl introducem în ecuația lui y .

$$y = v_0 \cdot \frac{x}{v_0 \cos \alpha_0} \sin \alpha_0 - \frac{1}{2} g \frac{x^2}{v_0^2 \cos^2 \alpha_0} = x \tan \alpha_0 - \frac{1}{2} \frac{g}{v_0^2 \cos^2 \alpha_0} x^2. \quad (3.32)$$

Aceasta este ecuația explicită a traiectoriei — o *parabolă*, deoarece y este o funcție pătratică de x , de forma $y = Ax + Bx^2$.

Tempul de urcare pînă la înălțimea maximă se obține din condiția ca în punctul de înălțime maximă C $v_y = 0$, deoarece aici vectorul viteză este orizontal și nu are componentă pe axa Oy :

$$v_y = 0 = v_0 \sin \alpha_0 - gt, \text{ de unde } t_u = \frac{v_0 \sin \alpha_0}{g} \quad (3.33)$$

și înălțimea maximă:

$$h = y_m = v_0 t_u \sin \alpha_0 - \frac{1}{2} g t_u^2 = \frac{v_0^2 \sin^2 \alpha_0}{2g}, \quad (3.34)$$

adică obținem formulele cunoscute pentru timpul de urcare și înălțimea maximă de la aruncarea verticală (3.26), dar cu viteza inițială $v_{0y} = v_0 \sin \alpha_0$.

În timpul de urcare t_u deplasarea pe orizontală va fi

$$x_m = v_0 t_u \cos \alpha_0 = \frac{1}{g} v_0^2 \sin \alpha_0 \cos \alpha_0. \quad (3.35)$$

Distanța maximă pe orizontală OA (fig. 3.21), numită *bătăia* (proiectilului) este $2x_m$.

$$b = 2x_m = \frac{1}{g} v_0^2 2 \sin \alpha_0 \cos \alpha_0 = \frac{1}{g} v_0^2 \sin 2\alpha_0, \quad (3.36)$$

unde am folosit o formulă din trigonometrie $\sin 2\alpha = 2 \sin \alpha \cos \alpha$.

Dacă se aruncă corpurile cu aceeași viteză inițială v_0 dar sub diferite unghiuri față de orizontală, bătaia maximă va fi sub unghiul α_m pentru care $\sin 2\alpha_m = 1$ în (3.36), deci $2\alpha_m = 90^\circ$, de unde $\alpha_m = 45^\circ$.

5.* Să se studieze aruncarea pe orizontală a unui corp (în vid)

Rezolvare Alegem axele de coordonate ca în figura 3.22, unde h este înălțimea de la care se aruncă corpul. Se vede imediat că traiectoria coincide în acest caz cu jumătatea dreaptă a parabolei de la problema precedentă (dacă mutăm axa Oy astfel încît ea să treacă prin vîrfurile C). Asemănător problemei precedente avem

$$\begin{cases} v_x = v_0 = \text{const}, \\ x = v_0 t, \end{cases} \quad \begin{cases} v_y = -gt, \\ y = h - \frac{1}{2} g t^2. \end{cases} \quad (3.37)$$

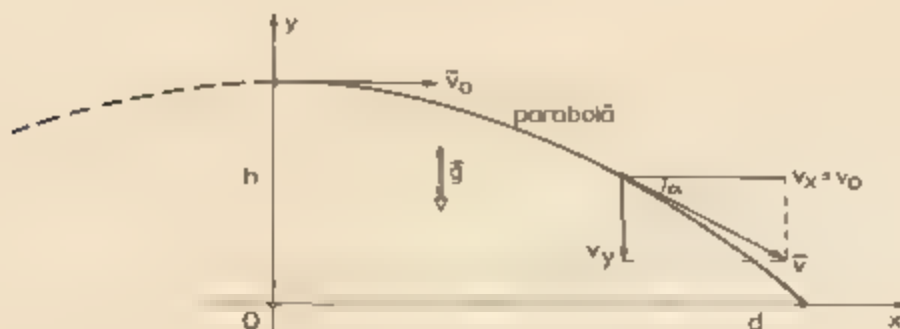


Fig. 3.22. Aruncarea orizontală a unui corp în câmpul gravitațional terestru. (Problema rezolvată 5.)

Din aceste ecuații rezultă imediat ecuația traiectoriei, timpul de coborire (punem condiția $y = 0$), distanța parcursă pe orizontală și viteza finală v' :

$$t = \frac{x}{v_0}; \quad y = h - \frac{1}{2} g \frac{x^2}{v_0^2} \quad (\text{parabolă}); \quad (3.38)$$

$$y = 0; \quad t_c = \sqrt{\frac{2h}{g}}, \quad d = v_0 t_c = v_0 \sqrt{\frac{2h}{g}}, \quad (3.39)$$

$$v' = \sqrt{v_x^2 + v_y^2} = \sqrt{v_0^2 + (-gt_c)^2} = \sqrt{v_0^2 + 2gh} \quad (3.40)$$

Observăm că ecuațiile (3.24) și (3.25) de la mișcarea pe verticală, cît și ecuațiile (3.31) de la aruncarea oblică sau (3.32) de la aruncarea orizontală se obțin imediat prin proiectarea pe cele două axe Ox, Oy a ecuațiilor vectoriale (3.17 - 3.18) (cu $\vec{a} = \vec{g}$).

$$\vec{v} = \vec{v}_0 + \vec{g}(t - t_0), \quad \vec{r} = \vec{r}_0 + \vec{v}_0(t - t_0) + \frac{1}{2} \vec{g}(t - t_0)^2 \quad (3.41)$$

și ținînd seama, bineînțeles, că \vec{g} are proiecția zero pe Ox .

ÎNTREBĂRI. EXERCIIU. PROBLEME

1. Un corp cade liber de la o înălțime $h = 1,1$ km și parcurge astfel o distanță $h' = 314$ m, după care își continuă mișcarea uniform pînă la atingerea Pămîntului. Să se afle durata mișcării.

$$R: t = \frac{h + h'}{\sqrt{2gh'}} = 18 \text{ s.}$$

2. Un corp aruncat vertical în sus are la înălțimea h_1 viteza v_1 . Să se afle viteza inițială v_0 .

$$R: v_0 = \sqrt{v_1^2 + 2gh_1}.$$

3. Considerînd că o săritură de la înălțimea $h \approx 1$ m pe Pămînt nu este periculoasă, să se calculeze înălțimea corespunzătoare pe Lună ($g = 1,62 \text{ m/s}^2$).

$$R: h' = h g_P / g_L \approx 6 \text{ m (2 etaje)}.$$

4. Un corp aruncat vertical în sus a revenit pe pămînt după un timp $\tau = 4$ s. Să se afle viteza inițială a corpului și înălțimea la care s-a ridicat corpul.

$$R: v_0 = g\tau/2 = 19,6 \frac{\text{m}}{\text{s}}; \quad h = g\tau^2/8 = 19,6 \text{ m.}$$

5. Un corp aruncat vertical în sus ajunge la înălțimea maximă $h = 19,6$ m. După cît timp revine el pe Pămînt? La ce înălțime se va ridica corpul dacă viteza inițială este mărită de $n = 3$ ori?

$$R: \tau = 2\sqrt{2h/g} = 4,0 \text{ s}; \quad h' = n^2 h = 176,4 \text{ m.}$$

6. De la înălțimea $h = 117,7$ m cade o piatră dintr-un aerostat care 1) urcă cu viteza $v_0 = 9,8 \text{ m/s}$, 2) coboară cu aceeași viteză. Să se afle viteza pietrei la suprafața Pămîntului și durata de cădere a pietrei în cele două cazuri.

$$R: v' = \sqrt{v_0^2 + 2gh} = 49 \text{ m/s}; \quad t' = \frac{v' \pm v_0}{g} = 6,0 \text{ și } 4,0 \text{ s.}$$

7. Să se afle înălțimea h de la care cade liber un corp și durata T a mișcării sale știind că în intervalul de timp $\tau = 1,0$ s înainte de atingerea Pământului, el străbate o fracțiune $k = 0,19$ din înălțimea totală de la care cade.

$$R: T = \tau \frac{1 + \sqrt{1-k}}{k} = 10 \text{ s}; h = \frac{1}{2} g T^2 = 490 \text{ m}.$$

8. De la înălțimea $h = 225$ m, pe o planetă oarecare, cad liber două corpuri unul după altul, al doilea începe să cadă în momentul cînd primul a parcurs $h' = 16$ m. Să se afle distanța dintre corpuri în momentul cînd primul corp a ajuns la suprafața planetei.

$$R: d = 2\sqrt{hh'} - h' = 104 \text{ m}$$

9. Două corpuri sînt aruncate vertical în sus cu aceeași viteză inițială $v_0 = 19,6$ m/s și la un interval $\tau = 2,0$ s unul după altul. După cît timp ele se vor întîlni? Să se reprezinte grafic coordonatele în funcție de timp.

$$R: T = v_0/g + \tau/2 = 3,0 \text{ s}.$$

10. Un corp cade liber de la o înălțime $h = 10$ m. În același moment un alt corp este aruncat vertical în jos de la o înălțime $H = 20$ m. Să se afle viteza inițială a corpului 2, dacă ambele corpuri au căzut simultan pe pămînt.

$$R: v_0 = \frac{H-h}{2h} \sqrt{2gh} = 7,0 \text{ m/s}.$$

- 11.* Cum se schimbă durata și distanța orizontală de cădere a unui corp aruncat orizontal, dacă viteza de aruncare crește de n ori?

$$R: \text{nu se schimbă; crește de } n \text{ ori.}$$

- 12.* Un corp este aruncat orizontal cu viteza $v_0 = 10$ m/s. De la ce înălțime a fost aruncat, dacă această înălțime este egală cu distanța orizontală de cădere? ($g = 10$ m/s².)

$$R: h = 2v_0^2/g = 20 \text{ m}.$$

- 13.* Un corp aruncat orizontal își mărește viteza de n ori după un timp τ de la începutul mișcării. Care este viteza inițială v_0 a corpului?

$$R: v_0 = \sqrt{n^2 \frac{g\tau^2}{1}}.$$

- 14.* Un avion zboară orizontal la înălțimea h cu viteza constantă v_0 . Aviatorul trebuie să arunce o bombă asupra unei ținte. Să se afle unghiul β dintre raza vizuală spre țintă și verticală în momentul aruncării bombei, pentru ca ea să nimerească ținta, distanța d pe orizontală pînă la țintă în acel moment. Unde se va găsi avionul în momentul cînd bomba atinge ținta?

$$R: \lg \beta = v_0 \sqrt{\frac{2}{gh}}; d = v_0 \sqrt{\frac{2h}{g}}; \text{ deasupra ținte}$$

- 15.* Doi copii se joacă cu mingea aruncînd o unul altuia. Ce înălțime maximă h atinge mingea în timpul jocului, știind că mingea zboară de la un copil la altul timp de $\tau = 2,0$ s?

$$R: h = \frac{1}{8} g \tau^2 = 4,9 \text{ m}.$$

- 16*. De cîte ori este mai mare distanța (bătăia) la care un sportiv ar arunca o greutate pe Lună față de Pămînt? (Accelerația gravitațională pe Lună $g_L = 1,62$ m/s².)

$$R: b_L : b_P = g_P : g_L \approx 6.$$

- 17.* Cu ce viteză inițială v_0 trebuie lansată o rachetă sub un unghi $\alpha = 45^\circ$ față de orizontală, pentru ca să explodeze la înălțimea maximă a traiectoriei sale, știind că timpul de ardere a fitilului este $\tau = 6$ s?

$$R: v_0 = \frac{g\tau}{\sin \alpha} = 82 \text{ m/s.}$$

- 18.* De pe puntea unui vapor care merge cu viteza constantă v_x se trage un obuz vertical în sus cu viteza v_y . Să se afle ecuația traiectoriei obuzului față de Pământ. Unde va cădea obuzul?

$$R: y = \frac{v_y}{v_x} x - \frac{g}{2v_x^2} x^2; \text{ pe vapor.}$$

- 19.* Un vânător ochăște vîrfurile unui turn de înălțime $h = 20$ m. La ce distanță d de turn trebuie să tragă pentru ca glonțul care iese cu viteza inițială $v_0 = 250$ m/s să lovească baza turnului?

$$R: d = \sqrt{h(2v_0^2/g - h)} = 505 \text{ m.}$$

20. Cu ce forță orizontală trebuie apăsător un corp de greutate $G = 10,0$ N, așezat pe un plan înclinat fără frecări, de unghi $\alpha = 60^\circ$, pentru ca acest corp să nu lunece?

$$R: F = G \tan \alpha = 17,3 \text{ N.}$$

21. Pe un plan înclinat neted, fără frecări, de unghi $\alpha = 30^\circ$ față de orizontală, este așezat un corp de masă $m = 2,0$ kg, legat printr-un fir de un alt corp de masă $M = 3,0$ kg.

Firul este întins paralel cu planul și trecut peste un scripete ideal din creștetul planului, ca în figura 3.23. Să se afle accelerația cu care se mișcă corpurile

$$R: T - Mg = Ma; mg \sin \alpha - T = ma, N - mg \cos \alpha = 0,$$

de unde

$$a = g \frac{m \sin \alpha - M}{m + M} = -3,92 \text{ m/s}^2; T = mMg \frac{1 + \sin \alpha}{m + M} = 176,4 \text{ N.}$$

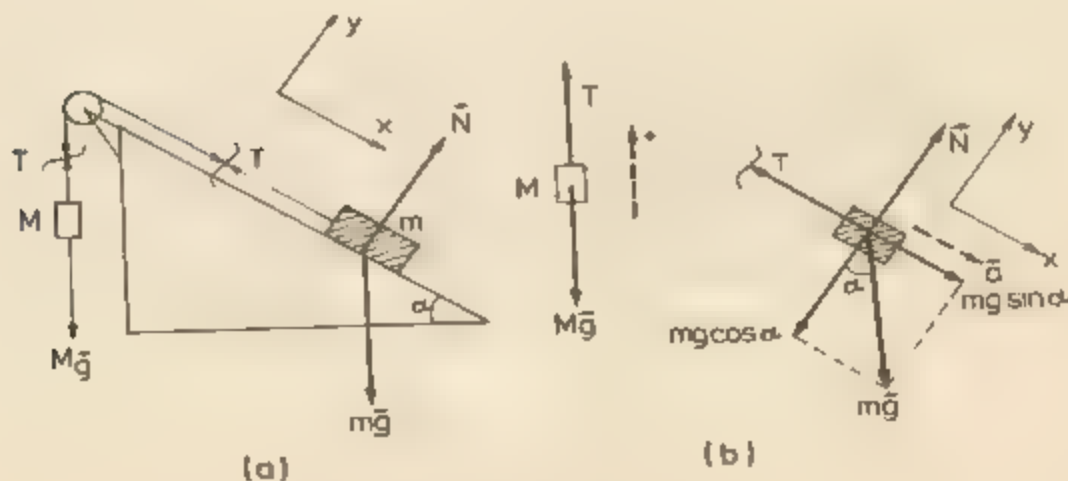


Fig. 3.23. La problema 21.

3.4. FORȚELE DE FRECARÉ

3.4.1. Forțele de frecare la alunecare între solide. Dacă lansăm un obiect cu o viteză inițială v_0 de-a lungul unui plan orizontal (pe o masă), el va avea o mișcare *încetinită* de alunecare și pînă la urmă se va opri. Cum se explică această mișcare încetinită? Deoarece viteza se micșorează, vectorul accelerație este opus vectorului viteză, deci și forța rezultantă trebuie să fie opusă vectorului viteză. Greutatea corpului este orientată vertical în jos și este anihilată (echilibrată) de reacțiunea normală a planului. Corpul nu are accelerație pe direcția verticală. Prin urmare trebuie să existe o forță *orizontală* de interacțiune între corp și plan. Aceasta este *forța de frecare*. Ea se datorește întrepătrunderii asperităților și neregularităților microscopice ale celor două suprafețe care alunecă una față de cealaltă. Prin urmare, mișcarea orizontală încetinită se datorește forței de frecare, exercitată de plan asupra corpului. Această *forță de frecare este conținută în planul alunecării* și este îndreptată în sens opus vitezei corpului (fig. 3.24). Desigur în planul de contact există două forțe de frecare, acțiunea și reacțiunea, egale în modul și de sensuri opuse, una acționează asupra corpului, iar cealaltă asupra planului.

Pentru a menține corpul în mișcare *uniformă* de alunecare trebuie să aplicăm o forță de tracțiune (sau de împingere) *egală* în modul și de sens opus cu forța de frecare, de exemplu, o sanie în mișcare uniformă trebuie trasă de cal.

Pentru a deplasa un obiect pe podea, de exemplu un dulap, un frigider, o masă, trebuie să împingem corpul cu o anumită forță *minimă*, necesară pentru a-l urni din loc, adică pentru a învinge înțepenirea (aderența) inițială de repaus. Dar, odată corpul pornit, este necesară o forță mai mică pentru a-l menține în mișcarea de alunecare pe podea. Dacă dulapul sau frigiderul este plin (încărcat) aceste forțe sînt mai mari, decît în cazul cînd dulapul sau frigiderul este gol.

Orî de cîte ori un corp *alunecă* peste alt corp, în planul de contact (planul alunecării), apar *forțe de frecare conținute în acest plan și orientate în sensul opus vitezei relative a corpului considerat, față de celălalt corp*. Forțele de frecare frînează totdeauna mișcarea relativă a corpurilor care alunecă.

3.4.2. Legile frecării. Experiment. Să punem pe o scîndură fixă o placă paralelipipedică dintr-un material oarecare (lemn, plastic, metal) prevăzută cu un cîrlig. Pe placă se pot pune diferite etaloane de masă, iar de cîrlig putem trage orizontal printr-un dinamometru

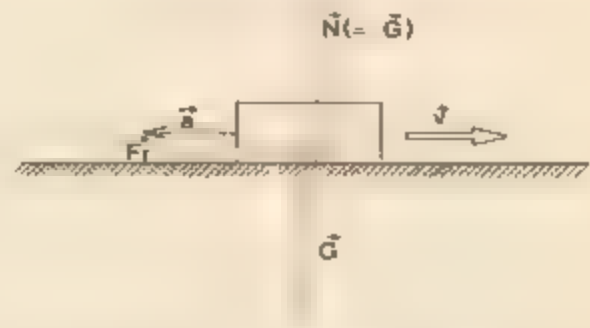


Fig. 3.24. Forța de frecare în cazul alunecării unui corp pe un plan orizontal

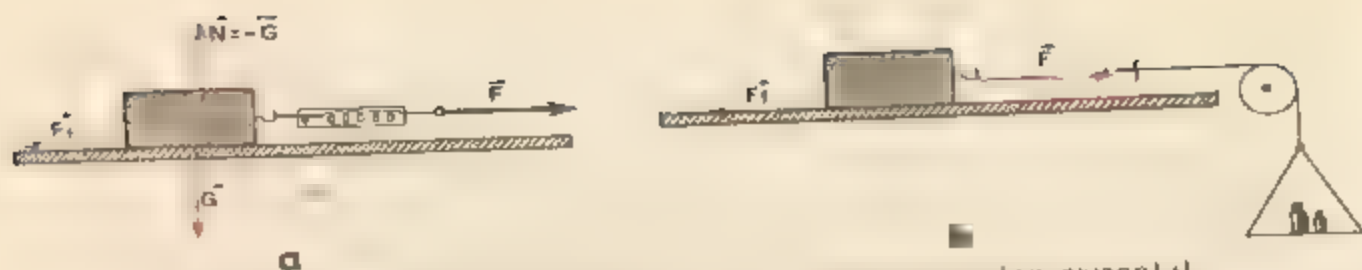


Fig. 3.25. Starea legilor frecării la alunecare pe un plan orizontal

sau putem lega un fir, întins orizontal și trecut peste un scripete. La capătul firului se leagă un platan pe care putem pune diferite etaloane de masă (fig. 3.25).

Dacă tragem încet de dinamometru sau adăugăm treptat etaloane de masă pe taler, constatăm că la început placa nu pornește. Cum greutatea plăcii este echilibrată de reacțiunea normală a scindurii și în plus aceste forțe sînt verticale, ele nu pot echilibra forța de tracțiune exercitată de fir. Această forță de tracțiune este echilibrată de forța de frecare care ia naștere în planul de contact.

Prin urmare, chiar înainte de a începe alunecarea apar forțe de frecare între solide, numite forțe de frecare statică sau de aderență.

Dacă mărim treptat forța de tracțiune, fie trăgînd de dinamometru (fig. 3.25, a), fie adăugînd etaloane de masă pe platan (fig. 3.25, b), constatăm că la un moment dat, pentru o anumită forță de tracțiune F_a , corpul pornește. Forța F_a este egală cu forța maximă de frecare statică (de aderență). Odată mișcarea începută, dacă menținem aceeași forță de tracțiune F_a , corpul se mișcă accelerat. Reducînd însă ulterior, convenabil, forța de tracțiune, este

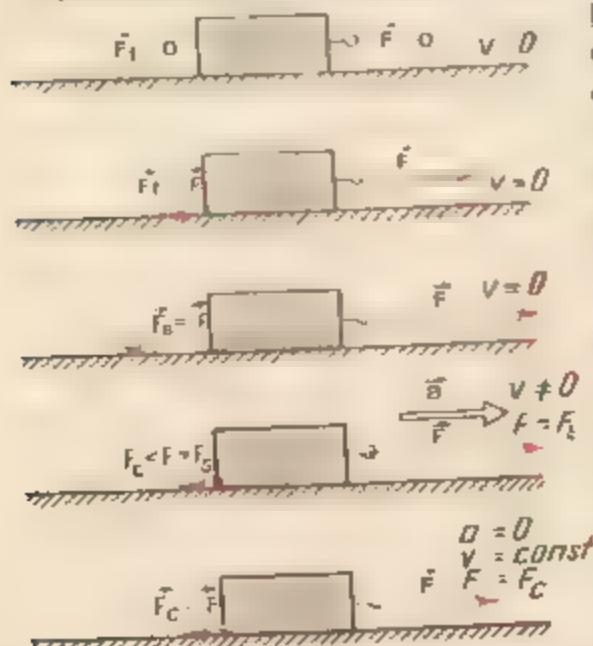


Fig. 3.26. Forțele de frecare statică (aderență) și forțele de frecare la alunecare (cinetice)

posibil să se obțină o mișcare uniformă a corpului (cu diferite viteze constante), pentru o anumită forță de tracțiune F_c mai mică decît F_a (fig. 3.26). Forța F_c este egală cu forța de frecare la alunecare (forță de frecare cinetică) (Cu F_f vom nota forța de frecare în general.)

Pentru a măsura forța de frecare de alunecare F_c încărcăm treptat platanul cu mici etaloane de masă și de frecare dată ciocănim ușor scindura pentru a imprima mici impulsuri corpului. Cît timp forța de tracțiune (tensiunea din fir), egală cu greutatea platanului și a etaloanelor de masă, este mai mică decît forța de frecare la alunecare F_c , micile impulsuri imprimate corpului prin ciocnirea scindurii se sting și corpul nu va aluneca pe scindură. Dar în momentul

cind forța de tracțiune atinge valoarea F_c , corpul o dată pornit (prin ciocănirea scindurii) își va menține mișcarea de alunecare, practic uniformă, deoarece forța de tracțiune va fi echilibrată de forța de frecare la alunecare.

Aparatul cu ajutorul căruia se studiază legile frecării se numește *tribometru*. El este format dintr-o scindură care poate fi fixată orizontal sau se poate inclina treptat și care are la un capăt un mic scripete ușor, cu frecări neglijabile. Aparatul mai are trei sau patru corpuri paralelipipedice identice (de obicei din lemn, dar avind fixate pe fețele laterale plăci din alte materiale plastice, metal, sticlă), prevăzute cu cirlige pentru a putea fi cuplate între ele sau legate printr-un fir. Cu acest aparat se lucrează în două variante: ca plan orizontal (fig. 3.25, b) și ca plan inclinat (fig. 3.28). Vom studia mai jos numai forțele de frecare la alunecare F_c .

În prima variantă, ca în figura 3.25, măsurăm forța necesară pentru menținerea unei mișcări uniforme de alunecare, adică forța de frecare la alunecare F_c (prin ciocănirea ușoară a scindurii).

Punind corpul paralelipipedic pe diferite fețe (cu același material), constatăm experimental că forțele măsurate F_c sînt de frecare dată *aceleași*, deși corpul se sprijina de frecare dată cu suprafețe de *arie diferită*. Mai mult, punind trei corpuri identice unul *peste* altul sau legîndu-le unul *după* altul (fig. 3.27), pe o față sau pe alta (cu același material), găsim iarăși *aceeași* forță de frecare F_c , deși aria suprafeței de contact s-a schimbat de frecare dată, însă greutatea sistemului a fost aceeași. De aici deducem *prima lege a frecării*:

suprafeței de contact dintre corpuri.

Punînd peste corpul studiat diferite etaloane de masă, constatăm experimental că forțele de frecare cresc și anume:

Notînd cu N forța normală de apăsare pe suprafața de contact dintre corpuri (în cazul experienței descrise N este egal cu greutatea corpului și a etaloanelor de masă puse peste corp) și cu μ coeficientul de proporționalitate putem scrie deci

$$F_c = \mu N. \quad (3.42)$$

Coeficientul μ se numește *coeficient de frecare la alunecare*.

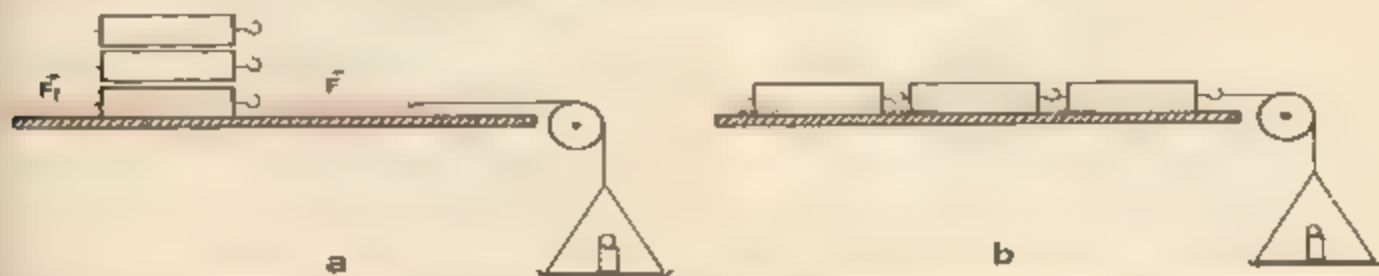


Fig. 3.27. Forța de frecare la alunecare nu depinde de aria suprafeței de contact dintre corpuri.

Repetind experiențele descrise cu alte materiale, constatăm că într-adevăr coeficientul de frecare μ nu depinde de aria suprafeței de contact dintre cele două corpuri (nelubrificate), dar depinde de natura corpurilor și de felul prelucrării suprafețelor în contact (gradul de șlefuire sau contaminare cu oxizi sau alte substanțe).

De asemenea, experiența arată că μ este practic independent de viteza relativă de alunecare a corpului (scade mai întâi puțin cu creșterea vitezei, ca apoi să crească iarăși, puțin, cu viteza).

Aceleași legi ale frecării se obțin în varianta experimentală cu planul înclinat. Punem corpul pe scindura tribometrului și înclinăm (ridicând) treptat scindura pînă cînd la un moment dat, pentru un anumit unghi α de înclinare corpul pornește. În acest moment componenta greutății $G \sin \alpha$ învinge forța maximă de frecare statică (de aderență) F_s (fig. 3.28). O dată corpul pornit, dacă nu mușoiăm unghiul, corpul va aluneca în jos accelerat, deoarece forța de frecare cinetică (de alunecare) F_c este mai mică decît cea de frecare statică, $F_c < F_s$. Reluînd experiența dar ciocnînd ușor scindura putem găsi un unghi φ (mai mic decît cel precedent) pentru care corpul o dată pornit va aluneca în jos practic uniform. În acest caz $G \sin \varphi = F_c$.

Exact ca în experiența cu scindura orizontală, punînd corpul pe diferite fețe sau combinînd mai multe corpuri identice, găsim că unghiul φ , numit *unghi de frecare*, este de fiecare dată același, adică nu depinde de aria suprafeței de contact (legea I). Punînd peste corp diferite etaloane de masă găsim că forța F_c este proporțională cu apăsarea normală pe planul înclinat, care este $G \cos \varphi$ (legea II). Coeficientul de frecare rezultă imediat din această experiență:

$$\mu = \frac{F_c}{N} = \frac{G \sin \varphi}{G \cos \varphi} = \operatorname{tg} \varphi. \quad (3.43)$$

Coeficientul de frecare la alunecare μ este egal cu tangenta unghiului de frecare φ , care la rîndul lui este egal cu unghiul planului înclinat pentru care corpul alunecă uniform pe plan.

Coeficientul de frecare, fiind un raport de forțe, este *adimensional* (număr fără dimensiuni fizice, adică fără unități de măsură).

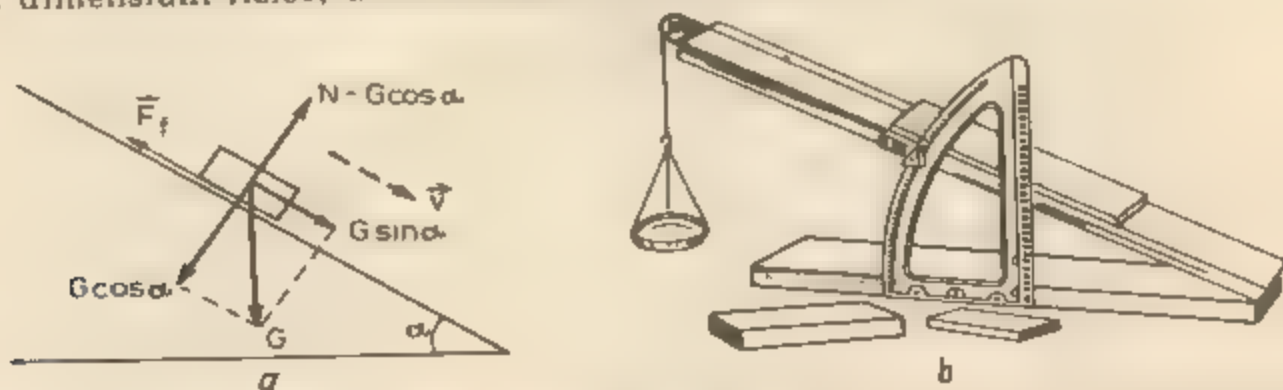


Fig. 3.28. Forța de frecare pe planul înclinat. La echilibru $F_f = G \sin \alpha$. În cazul alunecării uniforme $F_c = G \sin \varphi$ și $F_c = \mu N = \mu G \cos \varphi$, de unde $\mu = \operatorname{tg} \varphi$ (φ — unghiul de frecare)

Exemple de coeficienți de frecare la alunecare

Piele pe metal	0,6	Piele pe fontă	- 0,28
Cărămidă pe cărămidă	0,5—0,7	Oțel pe oțel	0,17
Lemn pe lemn	0,2—0,6	Lemn pe gheață	0,035
Cauciuc pe șosea asfaltată	0,4—0,6	Oțel pe gheață	0,020
Piele pe lemn	0,40		

Cele două legi ale frecării au fost descoperite experimental de LEONARDO DA VINCI (1452 -1519) și redescoperite în 1699 de inginerul francez G. AMONTONS. Ulterior savantul francez CHARLES A. COULOMB (1736—1806) a efectuat multe experiențe asupra frecării și a subliniat deosebirea dintre frecarea statică și cea cinetică. În cinstea lui cele două legi îi poartă numele.

Explicația legilor frecării rezultă din analiza microscopică a suprafețelor în contact. Ori cât de șlefuite ar fi suprafețele, ele prezintă nenumărate neregularități sau asperități microscopice. Atunci aria *reală* a contactului este mult mai mică decât aria aparentă macroscopică (poate fi de zece mii de ori mai mică) (fig. 3.29). Această arie reală de contact este proporțională cu apăsarea normală, deoarece vîrfurile neregularităților, dacă sînt supuse la o apăsare sporită, se deformează plastic (presiunea este foarte mare din cauza ariei mici) și aria de contact crește practic proporțional. În cazul alunecării aceste contacte-suduri dintre suprafețe sînt rupte și se formează continuu altele noi.

Prin urmare, forța de frecare este în realitate proporțională cu aria reală a suprafețelor microscopice de contact, care este independentă de aria aparentă macroscopică de contact, dar care este proporțională cu apăsarea normală. Rezultă că forța de frecare este proporțională cu apăsarea normală, dar este independentă de aria aparentă macroscopică de contact.

3.4.3. Frecarea în natură și în tehnică. Forțele de frecare la contactul dintre solide apar peste tot în natură și în tehnică. În unele domenii ele sînt utile, chiar indispensabile, iar în altele sînt dăunătoare și trebuie reduse cît mai mult.

Astfel, echilibrul corpurilor pe suprafețe ușor înclinate este posibil numai datorită forțelor de frecare. Insușii mersul oamenilor este posibil datorită forțelor de frecare dintre talpa încălțămîntei și teren. La fel mersul vehiculelor este posibil datorită forțelor de frecare dintre periferia roților motoare (antre-



Fig. 3.29. Contactul microscopic între solide și rolul lubrifiantului.

nate de motor) și teren. Pe gheață sau polei mersul este foarte greu (la vehicule roțile patinează, adică se învârtesc pe loc).

Trebuie observat că la roțile *motoare* (acționate de motor) ale vehiculelor, forța de frecare asupra roții este orientată *înainte* (roata împinge Pământul înapoi și Pământul împinge roata înainte, așa cum se vede clar în cazul patinării roții). Această *forță de frecare* reprezintă tocmai *forța de tracțiune* dezvoltată de motor. La fel în cazul mersului oamenilor forța de frecare asupra tălpii acționează *înainte*: noi împingem Pământul înapoi și Pământul ne împinge înainte.

Frinarea vehiculelor este posibilă tot datorită forțelor de frecare (între sabot și discul roții, între roți și șosea). Pentru o frinare eficientă a vehiculului nu trebuie să intrăm în regimul de alunecare a roților pe șosea, frinând prea brusc pe teren lunecos sau blocind roțile, ci să menținem rostogolirea roților în preajma alunecării, cînd forța de aderență este mai mare decît forța de frecare la alunecare.

Transmiterea mișcării de rotație prin curele de transmisie este posibilă datorită forțelor de frecare dintre curea și periferia roții (fig. 3.30 și fig. 3.31).

Legarea nodurilor la sforile pentru ambalarea mărfurilor; ținerea la mal a unui vas care acostează prin înfășurarea funiei de amaraj de mai multe ori în jurul bornei cilindrice fixate pe țărm; ținerea cu degetele mîinii a diferitelor obiecte (creion, unelte) - toate sînt posibile numai datorită forțelor de frecare.

Pe de altă parte forțele de frecare sînt dăunătoare în diferite motoare și mecanisme, deoarece pentru învingerea lor se consumă energie în plus, în mod inutil, energie care se transformă în căldură, ducînd la încălzirea pieselor în mișcare. Uneori această încălzire poate duce la deformarea pieselor, la griparea lor sau chiar la topirea lor.

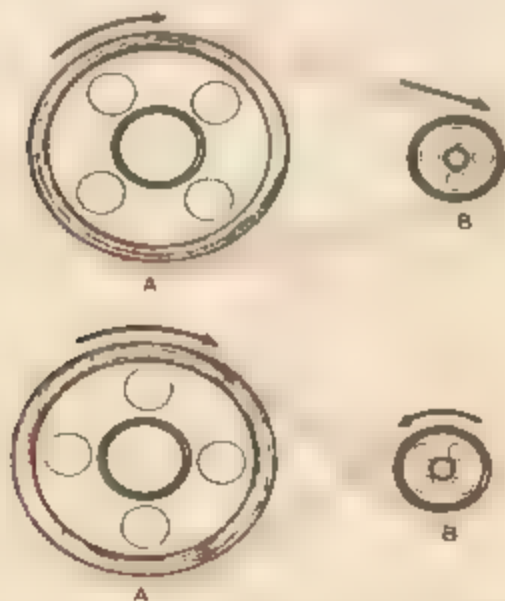


Fig. 3.30. Curele de transmisie

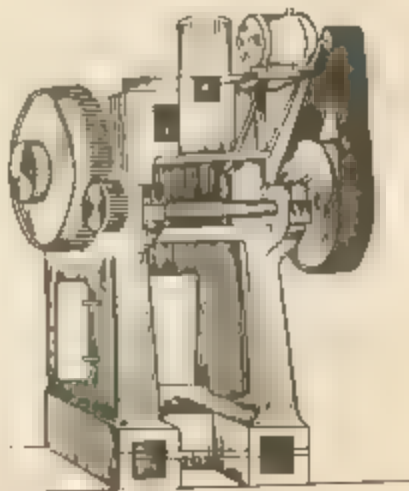


Fig. 3.31. Transmisie prin roți dințate și prin curea.



Fig. 3.32. Frecarea la alunecare și frecarea la rostogolire.

Pentru a micșora forțele de frecare la alunecare se folosesc *lubrifianți*: uleiuri și unsori. Acestea formează o peliculă care separă solidele și duce astfel la alunecarea pe o pătură de lichid, la care forțele de frecare sînt de zeci de ori mai mici.

O altă cale este folosirea *rostogolirii* în locul alunecării. Forța de frecare care se opune deplasării unui corp care se rostogolește peste altul este mult mai mică (de sute de ori) decît forța de frecare la alunecare. De exemplu, un cilindru (creion rotund) pus de-a lungul unui plan, înclinat ușor, rămîne în repaus, dar pus de-a curmezișul planului (pantei) sigur se va rostogoli, chiar la înclinări mici ale planului.

La rostogolire asperitățile sînt mai degrabă „netezite” sau „călcate”, decît rupte ca în cazul alunecării.

Pentru a deplasa un bloc greu se pun sub el butuci de lemn (fig. 3.32) — procedeu cunoscut cu mult înaintea erei noastre, de exemplu în Egiptul antic, la construcția piramidelor.

Descoperirea roții a marcat un important progres al omenirii.

Pentru a reduce frecările în lagăre, în care se rotesc arbori sau osii, se folosesc *rulmenți* cu bile sau cu role (fig. 3.33, 3.34, 3.35) transformînd frecarea de alunecare din lagăre în frecarea de rostogolire a bilelor.

Forța de frecare la rostogolire se poate măsura în principiu la fel ca și forța de frecare la alunecare (cu tribometrul).

Astăzi există vehicule pe *pernă de aer* în care motoare speciale creează o pătură de aer sub vehicul, pe care acesta alunecă. De asemenea, se experimentează vehicule cu suspensie *magnetică* care se deplasează deasupra unor șine speciale, fiind menținute în suspensie cu ajutorul cîmpului magnetic.



Fig. 3.33. a) Rulmenți cu bile și b) rulmenți cu role.

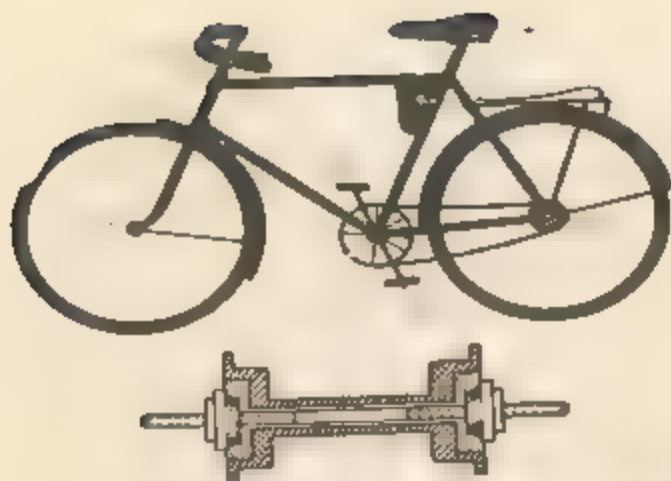


Fig. 3.34. Rulmenți cu bile la o bicicletă.

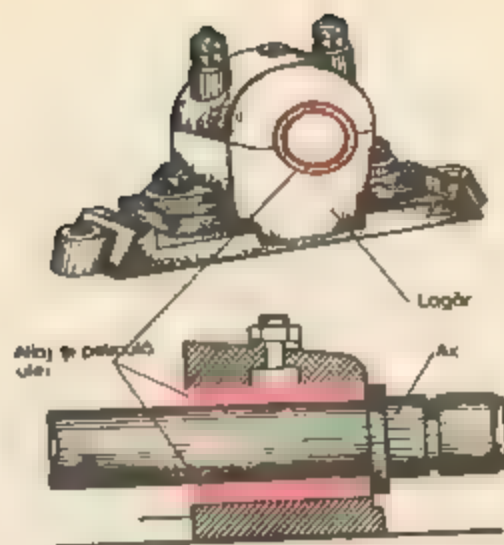


Fig. 3.35. Lagăr de alunecare (fără rulmenți)

În afară de frecarea între solide, există forțe de frecare între solide și fluide sau între straturi de fluid. Astfel, orice corp care se mișcă într-un fluid întâmpină din partea acestuia o forță de rezistență, de exemplu la vapoare, submarine, vehicule terestre, avioane, rachete.

EXPERIMENTE

Studiul frecării la alunecare. (Trusă de fizică pentru liceu.) Se analizează frecarea de alunecare dintre cărucior (cu roțile blocate) și bara de rulare. Pentru aceasta se realizează montajul din figura 3.36 (detalii în fig. 1 29). Se blochează roțile căruciorului (fig. 3.37) pentru a realiza frecarea de alunecare.

a) *Metoda planului orizontal.* Se încarcă căruciorul cu greutatea cu șurub de 100 g. Forța de tracțiune se alege prin încercări astfel încât căruciorul cu roțile blocate să lunece *uniform* după ce a fost pus în mișcare. Atunci forța de tracțiune F echilibrează forța de frecare la alunecare F_c și $\mu = F_c/N = F/G$.

Se fac mai multe determinări pentru încărcări diferite ale căruciorului și se calculează μ . În limitele erorilor experimentale se obține același coeficient μ .

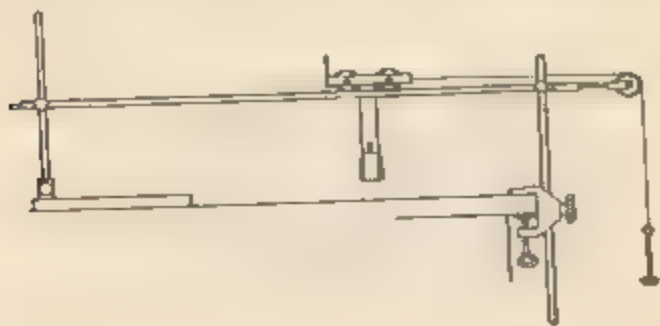


Fig. 3.36. Montaj pentru studiul frecării pe plan orizontal.

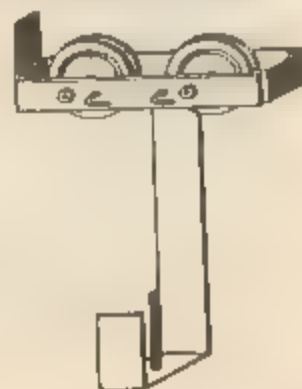


Fig. 3.37. Blocarea roților căruciorului.

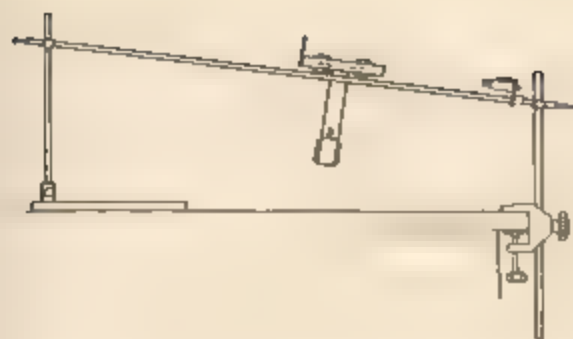


Fig. 3.38. Montaj pentru studiul frecării pe plan înclinat.

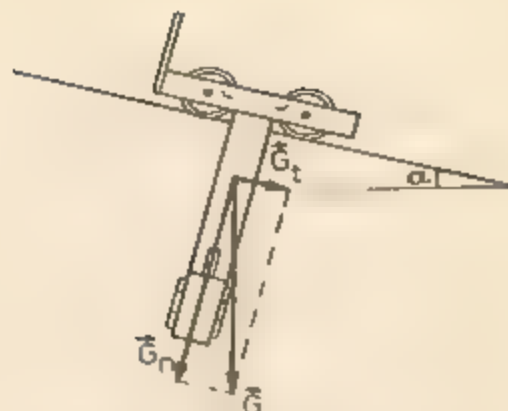


Fig. 3.39. Componentele forței de greutate (la căruciorul încărcat).

b) *Metoda planului înclinat.* Se utilizează planul înclinat fără montajul electric (fig. 3.38). Pe acesta se lasă să lunece căruciorul cu roțile blocate. Forța care pune în mișcare căruciorul este componenta tangențială a greutății acestuia (fig. 3.39). În mișcare *uniformă*, cu unghiul φ al planului, forța de frecare $F_c = \mu N = \mu G_n = \mu mg \cos \varphi$ este echilibrată de componenta tangențială $G_t = mg \sin \varphi$ astfel încât $\mu = \tan \varphi$ (φ — unghiul de frecare).

Se lasă căruciorul să lunece pe bara de rulare și se modifică unghiul de înclinare α al acesteia pînă se obține o mișcare *uniformă* în urma unui impuls. Se măsoară unghiul φ cu raportorul (17). Se repetă experiența de cîteva ori și se ia media valorilor μ . Se va compara cu valoarea obținută în varianta precedentă.

2. *Determinarea randamentului planului înclinat.* Pentru a ridica *uniform* un corp pe un plan înclinat de lungime l și înălțime h , fără frecări, trebuie să efectuăm lucrul mecanic $L_u = G \sin \alpha \cdot l = Gh$, la fel ca pentru ridicarea directă pe verticală. În prezența frecărilor: $L_t = (G \sin \alpha + \mu G \cos \alpha) \cdot l > L_u$ deci ridicarea corpului se face cu randamentul

$$\eta = \frac{L_u}{L_t} = \frac{mgh}{mg(\sin \alpha + \mu \cos \alpha)l} = \frac{\sin \alpha}{\sin \alpha + \mu \cos \alpha} = \frac{1}{1 + \mu / \tan \alpha} < 1.$$

Cu cît unghiul α este mai mare (deci $\tan \alpha$ mai mare), cu atît η este mai mare, dar și forța necesară este mai mare. La unghiuri α mici randamentul este mai mic dar, în schimb și forța necesară este mai mică.

Se realizează montajul din figura 3.40 montat ca plan înclinat (roțile căruciorului sînt blocate). Se încarcă căruciorul cu greutateți cu șurub. Pe taler se pun corpuri cu mase cunoscute M pînă cînd căruciorul se deplasează *uniform în sus* în urma unui impuls. Atunci

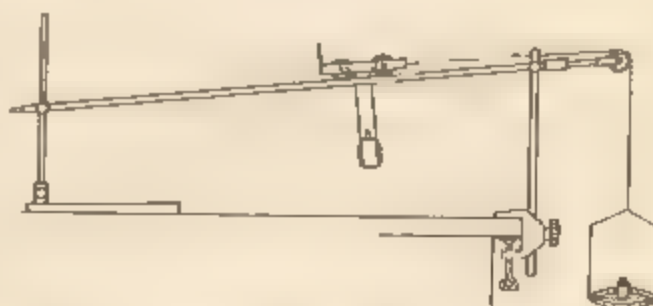


Fig. 3.40. Montaj pentru determinarea randamentului unui plan înclinat.

$G \sin \alpha + \mu G \cos \alpha = F = (m_1 + M)g$, unde G este greutatea căruciorului încărcat, m_1 — masa talerului, M — etaloanele de masă. Randamentul se calculează cu formula:

$$\eta = \frac{Gh}{Fl} = \frac{m \sin \alpha}{m_1 + M}$$

Se repetă experiența pentru diferite încărcări ale căruciorului și apoi pentru alte unghiuri de înclinare. Se va compara cu valoarea teoretică de mai sus.

PROBLEME REZOLVATE

1. Un corp este lansat de-a lungul unui plan orizontal cu viteza inițială $v_0 = 4,9$ m/s. Coeficientul de frecare la alunecare între corp și plan este $\mu = 0,20$. Să se afle accelerația corpului, timpul până la oprire și distanța parcursă.

Rezolvare. Conform figurii 3.41 avem $\vec{G} + \vec{N} + \vec{F}_f = m\vec{a}$, care proiectată pe cele două axe dă ecuațiile pe componente.

$$-F_f = ma, N - G = 0,$$

dar, deoarece are loc alunecarea, $F_f = F_c = \mu N = \mu G = \mu mg$, atunci

$$-\mu mg = ma, a = -\mu g.$$

Semnul minus arată că accelerația este îndreptată în sensul opus vitezei (mișcare în cetinită). Aplicând formulele cunoscute pentru timpul până la oprire și distanța parcursă până la oprire într-o mișcare încetinită, obținem

$$t_m = -\frac{v_0}{a} = -\frac{v_0}{-\mu g} = \frac{v_0}{\mu g} = 2,5 \text{ s}; x_m = -\frac{v_0^2}{2a} = -\frac{v_0^2}{-2\mu g} = \frac{v_0^2}{2\mu g} = 5,1 \text{ m}.$$

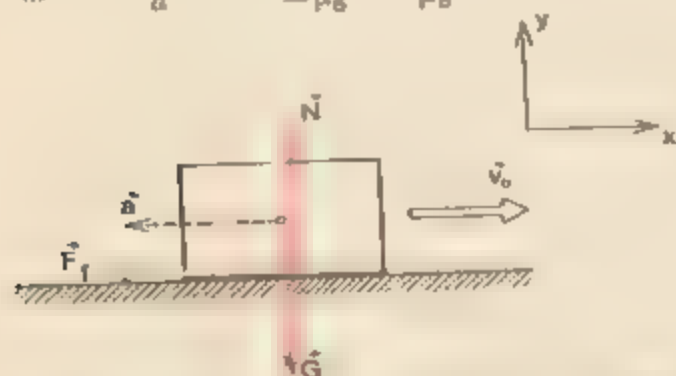


Fig. 3.41. Alunecarea liberă a unui corp pe un plan orizontal cu frecare

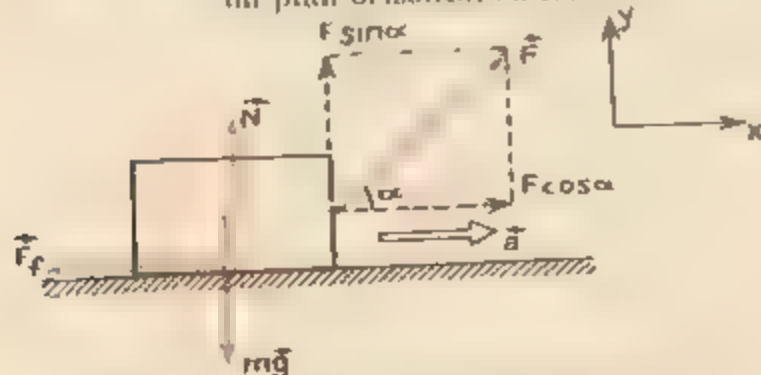


Fig. 3.42. La problema rezolvată 2.

2. Un corp de masă $m = 10,0$ kg, așezat pe un plan orizontal, este tras de o forță care formează un unghi $\alpha = 30^\circ$ cu orizontala (fig. 3.42). Să se afle această forță, știind că corpul se mișcă orizontal cu accelerația $a = 1,34$ m/s² și coeficientul de frecare la alunecare este $\mu = 0,27$.

Rezolvare. Conform figurii 3.42 avem $\vec{F} + m\vec{g} + \vec{N} + \vec{F}_f = m\vec{a}$, care proiectată pe cele două axe dă ecuațiile:

$$F \cos \alpha - F_f = ma; F \sin \alpha + N - mg = 0; \text{ dar } F_f = F_c = \mu N = \mu(mg - F \sin \alpha),$$

de unde:

$$F = \frac{m(a + \mu g)}{\cos \alpha + \mu \sin \alpha} = 40 \text{ N}.$$

Aici se greșește uneori punând $F_f = \mu mg$

3. Un corp de masă $M = 4,0 \text{ kg}$ este așezat pe un plan orizontal. De corp este legat un fir întins orizontal, trecut peste un scripete ideal și având la capăt un corp de masă $m = 3,0 \text{ kg}$ (fig. 3.43). Coeficientul de frecare la alunecare dintre corpul M și planul orizontal este $\mu = 0,25$. Să se afle accelerația sistemului și tensiunea din fir.

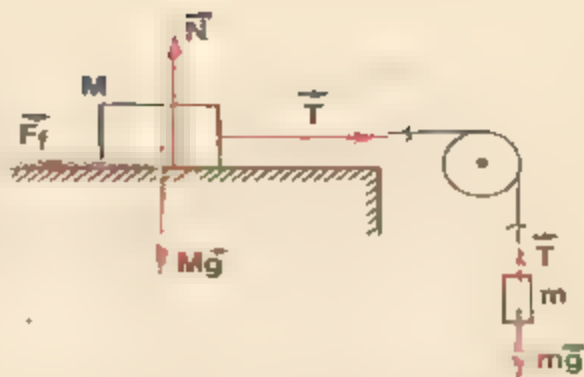


Fig. 3.43. La problema rezolvată 3.

Rezolvare. Conform figurii 3.43 avem:

$$\text{pentru corpul } M: T - F_f = Ma,$$

$$N - Mg = 0;$$

$$\text{pentru corpul } m: mg - T = ma.$$

Dar în cazul alunecării $F_f = F_c = \mu N = \mu Mg$. Rezolvând atunci sistemul de ecuații, obținem:

$$a = g \frac{m - \mu M}{m + M} = 2,8 \text{ m/s}^2, \quad T = \frac{(1 + \mu)mMg}{m + M} = 21 \text{ N}$$

4. Să se studieze alunecarea liberă a unui corp pe un plan înclinat cu frecare

Rezolvare a) Corpul alunecă liber în jos (fără viteză inițială). Conform figurii 3.44, a avem

$$mg \sin \alpha - F_f = ma, \quad N - mg \cos \alpha = 0,$$

dar în cazul alunecării $F_f = F_c = \mu N = \mu mg \cos \alpha$, atunci

$$mg \sin \alpha - \mu mg \cos \alpha = ma, \quad a_c = g(\sin \alpha - \mu \cos \alpha). \quad (3.44)$$

Pentru ca corpul să alunece trebuie ca:

$$a > 0, \sin \alpha > \mu \cos \alpha \text{ sau } \mu < \tan \alpha \quad (3.45)$$

altfel corpul rămâne în repaus pe planul înclinat.

Cazuri particulare:

$\alpha = 0$, plan orizontal, $a = 0$ (adică rezultatul cunoscut de la problema rezolvată 1,

$\alpha = 90^\circ$, căderea liberă, $a = g$ (rezultat bine cunoscut).

Conștient de accelerația la coborâre a_c (3.44), putem calcula timpul de coborâre și viteza finală

$$t_c = \sqrt{\frac{2s}{a_c}} = \sqrt{\frac{2s}{g(\sin \alpha - \mu \cos \alpha)}}; \quad v' = \sqrt{2a_c s} = \sqrt{2g(\sin \alpha - \mu \cos \alpha)s}. \quad (3.46)$$

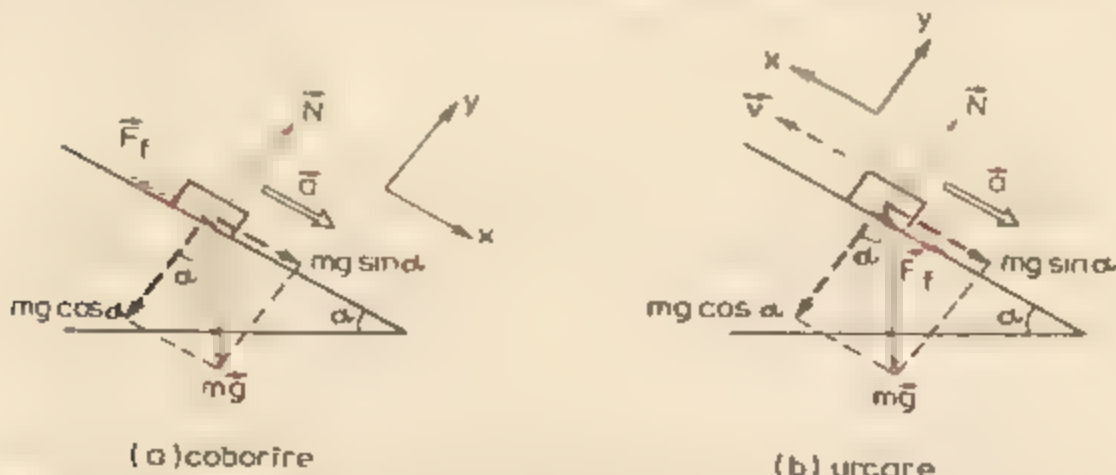


Fig. 3.44. Mișcarea pe plan înclinat cu frecare. La problema rezolvată 4.

b) Lansăm corpul cu o viteză inițială v_0 în sus de-a lungul planului înclinat. Conform figurii 3.44, b) avem:

$$\begin{aligned} -mg \sin \alpha - F_f &= ma, & N - mg \cos \alpha &= 0, \\ F_f &= \mu N = \mu mg \cos \alpha, & a_x &= -g(\sin \alpha + \mu \cos \alpha). \end{aligned} \quad (3.47)$$

Accelerația este îndreptată în sensul opus vitezei (mișcare încetinită).

Cazuri particulare:

$\alpha = 0$, plan orizontal, $a = -\mu g$, rezultat cunoscut;

$\alpha = 90^\circ$, aruncare vertical în sus, $a = -g$, iarăși rezultat cunoscut

Cunoscând accelerația de urcare (3.47), putem calcula timpul de urcare și distanța parcursă:

$$t_u = \frac{v_0}{a_u} = \frac{v_0}{g(\sin \alpha + \mu \cos \alpha)}; \quad s_m = -\frac{v_0^2}{2a_u} = \frac{v_0^2}{2g(\sin \alpha + \mu \cos \alpha)}. \quad (3.48)$$

După oprire, corpul rămîne în repaus, blocat pe planul înclinat dacă $\mu > \operatorname{tg} \alpha$, și alunecă înapoi dacă $\mu < \operatorname{tg} \alpha$ (3.45). În ultimul caz, timpul de coborîre înapoi la baza planului este mai mare decît timpul de urcare, și viteza finală v' cu care corpul ajunge înapoi la baza planului este mai mică decît viteza de lansare v_0 .

$$t_c = \sqrt{\frac{2s_m}{a_c}} = \frac{v_0}{g} \sqrt{\frac{1}{\sin^2 \alpha - \mu^2 \cos^2 \alpha}} = t_u \sqrt{\frac{\sin \alpha + \mu \cos \alpha}{\sin \alpha - \mu \cos \alpha}} = t_u \sqrt{\frac{\operatorname{tg} \alpha + \mu}{\operatorname{tg} \alpha - \mu}} > t_u; \quad (3.49)$$

$$v' = \sqrt{2a_c s_m} = v_0 \sqrt{\frac{\sin \alpha - \mu \cos \alpha}{\sin \alpha + \mu \cos \alpha}} = v_0 \sqrt{\frac{\operatorname{tg} \alpha - \mu}{\operatorname{tg} \alpha + \mu}} < v_0 \quad (3.50)$$

ÎNTREBĂRI. EXERCIIII. PROBLEME

1. De ce locomotivele se fac grele din oțel și nu ușoare din aluminiu (sau duraluminu)?

R: forța de tracțiune este forța de frecare la roțile motoare ($F_{f, \max} = \mu G$)

2. Care este condiția ca un corp, lansat în sus de-a lungul unui plan înclinat să rămînă pe loc după oprire?

R: $\mu > \operatorname{tg} \alpha$.

3. Este posibil ca un vagon (sau sanie) să coboare rectiliniu uniform pe o pîntă lină?

R: da (dacă $\alpha = \varphi$).

4. Un corp lansat de-a lungul unui plan orizontal se oprește datorită frecării pe o distanță $d = 19,6$ m într-un timp $\tau = 4,0$ s. Să se afle viteza inițială și coeficientul de frecare la alunecare.

R: $v_0 = 2d/\tau = 9,8$ m/s; $\mu = 2d/g\tau^2 = 0,25$.

5. Un tren frînează cu o forță de $n = 10$ ori mai mică decît greutatea sa. Ștînd viteza inițială $v_0 = 108$ km/h, să se afle timpul pînă la oprire și distanța parcursă.

R: $t_m = nv_0/g = 31$ s; $d = nv_0^2/2g = 460$ m.

6. Un camion cu masa $m = 5,0$ t pornește cu accelerația $a = 0,61$ m/s². Știind că forțele de frecare (rezistență) reprezintă o fracțiune $f = 0,040$ din greutatea camionului, să se afle forța de tracțiune dezvoltată de motor

$$R: F = m(fg + a) = 5,0 \text{ kN.}$$

7. Un tren cu masa $m = 1\,000$ t își mărește viteza de la $v_1 = 54$ km/h la $v_2 = 72$ km/h într-un timp $\Delta t = 1$ min 40 s. Știind forța de tracțiune a locomotivei $F = 80$ kN, să se afle forța de rezistență.

$$R: F_r = F - m \frac{v_2 - v_1}{\Delta t} = 30 \text{ kN.}$$

8. Pentru a evita o ciocnire un șofer a frinat brusc, la maximum. Măsurând lungimea urmelor lăsate de anvelope pe asfalt s-a găsit lungimea de frinare $s = 22$ m. Știind coeficientul de frecare pe asfalt $\mu = 0,60$, să se afle dacă șoferul a respectat viteza maximă legală $v_{max} = 60$ km/h.

$$R: v_0 = \sqrt{2\mu g s} = 16,1 \text{ m/s} = 58 \text{ km/h.}$$

9. Un corp cade liber în aer de la o înălțime $h = 14,7$ m într-un timp $t_c = 2,0$ s. Ce fracțiune din greutatea sa reprezintă forța de rezistență medie întâmpinată de corp din partea aerului?

$$R: F_r/mg = 1 - 2h/gt_c^2 = 0,25.$$

10. Pentru a menține în repaus un corp pe un plan înclinat de unghi $\alpha = 30^\circ$ trebuie aplicată o forță minimă în sus de-a lungul planului $F_1 = 3,5$ N, iar pentru a-l trage uniform în sus de-a lungul planului trebuie o forță în sus de-a lungul planului $F_2 = 6,5$ N.

Să se afle coeficientul de frecare la alunecare (fig. 3.45).

$$R: \mu = \frac{F_2 - F_1}{F_2 + F_1} \operatorname{tg} \alpha = 0,17.$$

11. O săniuță alunecă pe zăpadă pe un drum înclinat de unghi $\alpha = 45^\circ$ de la o înălțime $h = 2,0$ m, după care intră pe un drum orizontal, oprindu-se din urmă datorită frecării pe zăpadă. Coeficientul de frecare la alunecare pe zăpadă $\mu = 0,050$. Să se afle distanța parcursă pe planul orizontal.

$$R: d = h(1/\mu - \operatorname{ctg} \alpha) = 38 \text{ m.}$$

12. O săniuță lansată în sus de-a lungul unui plan înclinat, care formează unghiul $\alpha = 45^\circ$ cu orizontala, revine înapoi la baza planului astfel încât timpul de coborîre este de $n = 1,1$ ori mai mare decât timpul de urcare. Care este coeficientul de frecare la alunecare între săniuță și planul înclinat?

$$R: \mu = \operatorname{tg} \alpha (n^2 - 1)/(n^2 + 1) = 0,095.$$

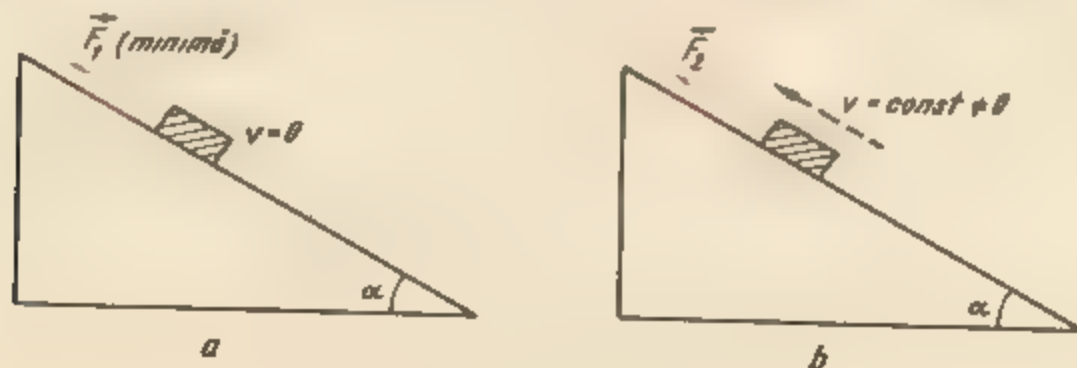


Fig. 3.45. La problema 10.

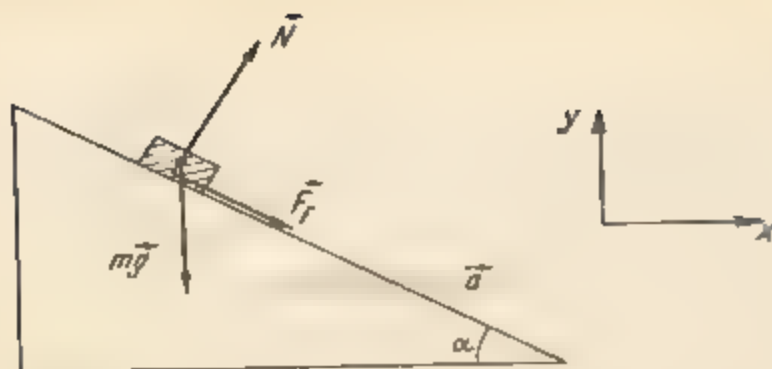


Fig. 8.46. La problema 14.

urcă pe plan. Coeficientul de frecare dintre corp și planul inclinat este $\mu = 0,20$ (fig. 8.46).

13. O săniuță de greutate $G = 0,50 \text{ kN}$ alunecă liber în jos pe o pantă $p = 4\%$ cu viteză constantă. Ce forță, paralelă cu planul, este necesară pentru a urca săniuța înapoi cu viteză constantă?

$$R: F \approx 2Gp = 40 \text{ N.}$$

14. Cu ce accelerație orizontală minime trebuie împins un plan inclinat de unghi $\alpha = 45^\circ$ pentru ca un corp așezat pe el să înceapă să

$$R: N \sin \alpha + F_f \cos \alpha = ma, \quad N \cos \alpha - mg - F_f \sin \alpha = 0,$$

$$F_f = \mu N, \text{ de unde } a = g \frac{\mu + \tan \alpha}{1 - \mu \tan \alpha} = \frac{8}{3} g.$$

3.5. MIȘCAREA CIRCULARĂ UNIFORMĂ

Cea mai simplă și una din cele mai răspândite și mai importante mișcări curbilinii este *mișcarea circulară*. În mișcarea circulară traiectoria punctului material este un *cerc*.

În structura diferitelor mecanisme, motoare, mașini-unelte intră tot felul de roți și osii ale căror particule descriu cercuri în jurul axei de rotație, deci au o mișcare circulară.

Să legăm o piatră de o sfoară și s-o învîrtim deasupra capului astfel încît să descrie un cerc orizontal. Piatra va avea o mișcare circulară.

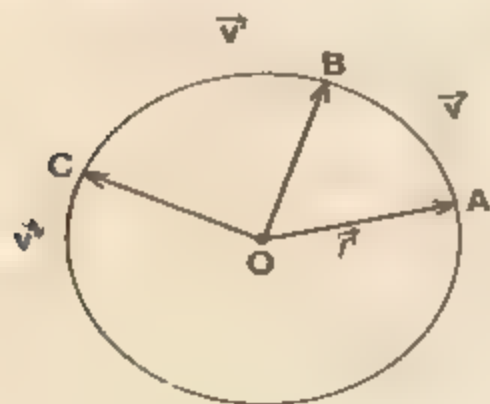


Fig. 8.47. În mișcarea circulară uniformă vectorul viteză este constant în modul, dar își schimbă mereu direcția, deoarece este tangent la cerc sau perpendicular pe raza vectoare a mobilului.

Mișcarea circulară este *uniformă* dacă viteza mobilului este *constantă în modul*, adică mobilul descrie arce de cerc egale în intervale de timp egale.

Vectorul viteză, fiind totdeauna tangent la traiectorie, deși rămîne constant în modul în timpul mișcării circulare uniforme, își schimbă permanent *direcția* (fig. 3.47).

Vectorul de poziție $\vec{r} = \vec{OA}$ dus din centrul cercului pînă la mobil se mai numește *raza vectoare* a mobilului.

În timpul mișcării raza vectoare a mobilului mătură aria cercului, iar vectorul viteză este permanent perpendicular pe raza vectoare a mobilului (fig. 3.47).

Mișcarea circulară uniformă este o mișcare *periodică* deoarece se repetă identic după parcurgerea întregului cerc, la intervale egale de timp.

Perioada mișcării circulare uniforme este intervalul de timp în care mobilul parcurge circumferința cercului.

Perioada T se măsoară în secunde.

O caracteristică a mișcării circulare uniforme folosită mai des în practică, este *turația sau frecvența de rotație care reprezintă numărul de rotații efectuate în unitatea de timp (1 s).*

Dacă înmulțim durata unei rotații, adică perioada T , cu numărul rotațiilor efectuate în unitatea de timp, adică cu frecvența ν , trebuie să obținem unitatea de timp: $T\nu = 1$, de unde rezultă că frecvența și perioada sînt inverse între ele sau reciproce:

$$T\nu = 1, \nu = \frac{1}{T}, T = \frac{1}{\nu}. \quad (3.51)$$

Frecvența se măsoară în 1/s sau s^{-1} . În practică turația (notată de obicei cu n) se măsoară adesea în rot/min ($1 \text{ rot/s} = 60 \text{ rot/min}$).

3.5.1. Viteza unghiulară. Poziția mobilului pe cerc poate fi determinată cu ajutorul coordonatei curbilini care măsoară lungimea arcului de cerc de la un punct origine O , considerată pozitivă în sensul trigonometric (antiorar).

Fie la momentul inițial $t = t_0$ mobilul în $A_0(s_0)$ și la momentul t mobilul în $A(s)$ (fig. 3.48), atunci mișcarea fiind uniformă pe traiectorie, avem analog mișcării rectilinii uniforme:

$$v = \frac{\Delta s}{\Delta t} = \frac{s - s_0}{t - t_0} = \text{const. de unde } s = s_0 + v(t - t_0) \quad (3.52)$$

(v va fi negativă în cazul mișcării în sens orar).

Fie θ_0 și θ unghiurile la centru pe care le formează raza vectorie a mobilului cu raza de referință CO ($\theta = 0$) la momentele t_0 și t . Unghiul la centru $\Delta\theta = \theta - \theta_0$, măsurat în radiani, descris de raza vectorie în timpul $\Delta t = t - t_0$ este legat de arcul subîntins $\Delta s = s - s_0$ prin relația cunoscută din trigonometrie.

$$\Delta s = s - s_0 = R\Delta\theta = R(\theta - \theta_0), \quad (3.53)$$

unde R este raza cercului.

Radianul este un unghi la centru care subîntinde un arc de cerc egal cu raza cercului. Cum unghiul total de 360° subîntinde toată lungimea cercului care cuprinde 2π raze, rezultă că unghiul de 360° are 2π radiani, deci

$$1 \text{ rad} = \frac{360^\circ}{2\pi} = \frac{180^\circ}{\pi} = 57^\circ 17' 44''{,}8 \quad (3.54)$$

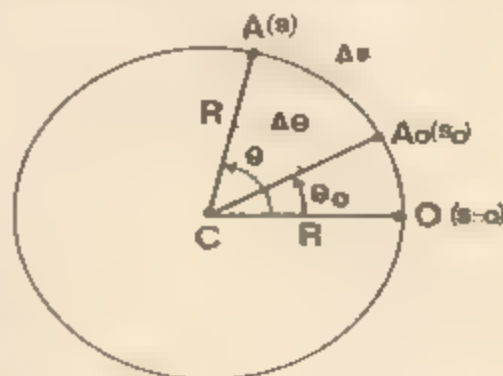


Fig. 3.48. În mișcarea circulară uniformă: $s = s_0 + v(t - t_0)$ și $\theta = \theta_0 + \omega(t - t_0)$ (legea mișcării)

În fiecare secundă mobilul descrie arce egale, deci și unghiuri la centru egale. O caracteristică unghiulară a mișcării circulare este viteza unghiulară.

Viteza unghiulară reprezintă unghiul la centru descris de raza vectorie în unitatea de timp.

$$\omega = \frac{\Delta\theta}{\Delta t}, [\omega] = 1 \text{ rad/s.} \quad (3.55)$$

Viteza unghiulară se măsoară în *radiani pe secundă* (rad/s).

În mișcarea circulară uniformă $\omega = \text{const.}$ Într-o mișcare circulară oarecare (neuniformă) unghiul la centru măsurat de raza vectorie, raportat la unitatea de timp, adică viteza unghiulară (momentană), nu este constant, ci variază în timp.

Vom studia numai mișcarea circulară *uniformă*. Din (3.55) rezultă

$$\omega = \frac{\theta - \theta_0}{t - t_0}, \quad \theta = \theta_0 + \omega(t - t_0). \quad (3.56)$$

Aceasta este legea mișcării circulare *uniforme* exprimată prin mărime unghiulară (ω va fi negativ dacă mobilul se mișcă în sens orar).

Împărțind relația (3.53) la Δt , avem

$$v = \frac{\Delta s}{\Delta t} = R \frac{\Delta\theta}{\Delta t} = R\omega \rightarrow v = R\omega. \quad (3.57)$$

Aceasta este legătura dintre viteza v (numită și viteză liniară) și viteza unghiulară ω .

În timpul unei perioade T mobilul descrie circumferința cu viteza constantă v , deci

$$vT = 2\pi R, \text{ dar } v = \omega R, \text{ de unde } \omega = \frac{2\pi}{T} = 2\pi\nu. \quad (3.58)$$

Aceasta este legătura dintre viteza unghiulară ω (în rad/s) și perioada T (în s) sau frecvența ν (în 1/s).

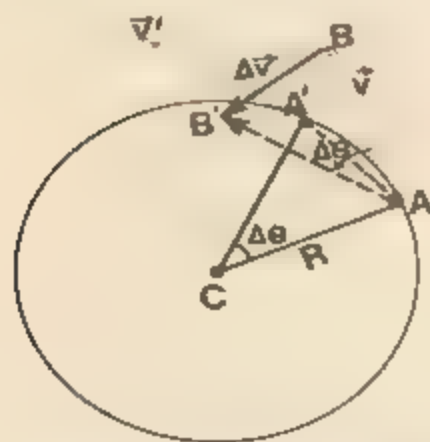


Fig. 3.49. Calculul accelerației centripete în mișcarea circulară uniformă

3.5.2 Accelerația centripetă. În mișcarea circulară uniformă, $|\vec{v}| = \text{const.}$ sau $\Delta v \equiv 0$, dar $\Delta \vec{v} \neq 0$, deoarece *vectorul viteză* \vec{v} variază cu direcție și deci există o accelerație $\vec{a} = \Delta \vec{v} / \Delta t$. Să calculăm această accelerație.

Să considerăm mobilul la două momente succesive t și $t' = t + \Delta t$ în punctele A , A' având vitezele \vec{v} , respectiv \vec{v}' , unde $|\vec{v}'| = |\vec{v}|$ (fig. 3.49).

Diferența $\Delta \vec{v} = \vec{v}' - \vec{v}$ se obține după cum știm unind vîrfurile vectorilor \vec{v}' , \vec{v} duși din același

punct, de exemplu din 4. Triunghiul vitezelor ABB' este asemenea cu triunghiul CAA' , ele fiind isoscele și avînd laturile respectiv perpendiculare. Din asemănarea acestora avem

$$\frac{|\Delta \vec{v}|}{AA'} = \frac{v}{R}.$$

Pentru intervale de timp Δt foarte mici punctele A, A' sînt foarte apropiate și coarda AA' coincide (la limită) cu arcu Δs . Atunci

$$\frac{|\Delta \vec{v}|}{\Delta s} = \frac{v}{R}, \quad |\Delta \vec{v}| = \frac{v}{R} \Delta s, \\ (\text{pentru } \Delta t \text{ și } \Delta s \rightarrow 0).$$

Împărțind la Δt corespunzător, rezultă

$$\vec{a} = \frac{\Delta \vec{v}}{\Delta t} = \frac{v}{R} \frac{\Delta s}{\Delta t} = \frac{v^2}{R}.$$

Directia și sensul accelerației sînt date de segmentul BB' care este perpendicular pe AA' . Cînd Δt descrește către zero ($\Delta t \rightarrow 0$) și A' se apropie de A , coarda ia direcția tangentei la cerc în A , iar BB' ia direcția razei cercului. Prin urmare, accelerația este *radială, orientată spre centrul cercului*, de aceea se numește *accelerație centripetă*. Ea este *perpendiculară permanent pe traiectorie* (pe tangenta la cerc sau pe vectorul viteză), de aceea se numește și *accelerație normală*:

$$a_n = \frac{v^2}{R} = \omega v = \omega^2 R = 4\pi^2 \frac{R}{T^2}, \quad (3.59)$$

unde am ținut seama că $v = \omega R$ și $\omega = 2\pi\nu = 2\pi/T$. Relația (3.59) se poate scrie și vectorial, folosind raza vectorie \vec{r} :

$$\vec{a}_n = -\omega^2 \vec{r} \quad (3.60)$$

Această relație *vectorială* ne dă accelerația centripetă atât ca mărime, cît și ca direcție și sens. Observăm că în mișcarea circulară uniformă, \vec{a} este const., dar \vec{a}_n variază permanent *ca direcție* (o dată cu raza vectorie \vec{r}).

Dacă mișcarea circulară nu este uniformă, adică $|\vec{v}|$ și ω variază, atunci în variația $\Delta \vec{v}$ apare și un termen suplimentar care provine din variația *modulului* vitezei și atunci vectorul accelerație \vec{a} este orientat *oblic* față de raza vectorie (variind ca modul și direcție).

3.5.3. Forța centripetă. Pentru a schimba vectorul viteză, fie ca mărime fie ca direcție, este nevoie de o forță aplicată corpului. Altfel, corpul s-ar mișca rectiliniu uniform, conform principiului inerției. În mișcarea circulară *uniformă* accelerația este centripetă (3.59–3.60) și conform legii fundamentale

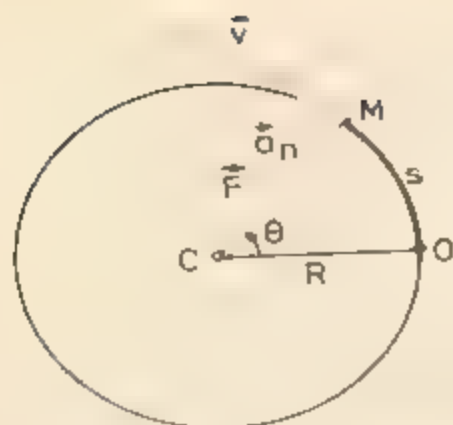


Fig. 3.50. Elementele mișcării circulare uniforme

$\vec{F} = m\vec{a}$, asupra corpului trebuie să acționeze o forță centripetă, care să-determine mișcarea circulară uniformă (fig. 3.50):

$$F = ma_n = m\omega^2 R = m\omega v = m \frac{v^2}{R},$$

$$\vec{F} = -m\omega^2 \vec{r}. \quad (3.61)$$

Forța centripetă nu este un nou tip de forță. Ea poate fi forță elastică de tensiune a unui fir legat de corp, forță gravitațională exercitată de corpul central (de exemplu, în sistemul solar), forță electrică exercitată de nucleul atomului asupra electronilor etc.

EXPERIMENT

Descrierea dispozitivului. Pentru a verifica expresia forței centripete (3.61) putem face un experiment simplu. Luăm un tub de sticlă de diametru ≈ 1 cm și de lungime ≈ 40 cm cu marginile răsfrite la un capăt și un fir de ≈ 80 cm. La un capăt al firului legăm un dop de masă bine cîntărită ($m \approx 2,0$ g) iar la celălalt capăt legăm un etalon de masă ($M \approx 20$ g) sau un dinamometru cu un capăt prins de masă (fig. 3.51).

Modul de lucru 1. Aducem corpul m în mișcare circulară uniformă pe un cerc orizontal. Firul va fi întins de forța $F = Mg$ în varianta din figura 3.51, a sau de forța F indicată de dinamometru în varianta din figura 3.51, b și va avea o poziție practic orizontală, deci forța centripetă va fi practic egală F (altfel trebuie calculată componenta orizontală a tensiunii din fir).

2. Alegem trei valori pentru raza R (20 cm, 40 cm și 60 cm) și măsurăm perioada respectivă (cronometrăm timpul a 10-20 rotații).



Fig. 3.51. Forța centripetă în mișcarea circulară uniformă

3 Schimbăm corpul m (luăm un alt dop cu $m \approx 3,0$ g) și repetăm experiența.

4. Schimbăm corpul M (luăm $M \approx 30$ g) sau menținem dinamometrul la o altă valoare a forței F și repetăm experiența.

Prelucrarea datelor. Trebuie să verificăm legea

$$F = m\omega^2 R = 4\pi^2 m \frac{R}{T^2} \quad (3.62)$$

Alcătuiți un tabel ca cel de mai jos:

F sau Mg [N]	m [kg]	R [m]	T [s]	$4\pi^2 m R / T^2$ [N]
0,196	$2,0 \cdot 10^{-3}$	0,40	0,41	0,188
—	—	—	—	—
—	—	—	—	—

Trebuie să comparăm valorile din prima coloană (F) cu cele din ultima coloană ($4\pi^2 m R / T^2$).

Experimentul simplu de mai sus, precum și nenumărate alte experiențe foarte precise și observații asupra mișcării circulare din natură confirmă valabilitatea legii fundamentale $\vec{F} = m\vec{a}$ în cazul mișcării circulare (în mișcarea circulară uniformă $\vec{F} = -m\omega^2 \vec{r}$).

În mișcările circulare neuniforme, pe lângă componenta centripetă $F_n = m\omega^2 r$, care modifică direcția vectorului viteză, mai apare și o componentă tangențială a forței ($F_t = m dv/dt$) care modifică modulul vectorului viteză.

EXEMPLU

În mișcarea de rotație proprie diurnă a Pământului, să se calculeze viteza unghiulară de rotație a Pământului, viteza și accelerația centripetă a unui punct de pe suprafața Pământului, aflat la latitudinea $\varphi = 45^\circ$ (fig. 3.52)

Rezolvare. Viteza unghiulară:

$$\omega = \frac{2\pi}{T} = \frac{2 \cdot 3,14 \text{ rad}}{24 \cdot 60 \cdot 60 \text{ s}} = 7,29 \cdot 10^{-5} \text{ rad/s}$$

Ea este foarte mică (gândiți-vă că de încet trebuie să învârtiți o minge ca ea să facă o rotație în 24 h). Viteza liniară:

$$v = \omega r \approx \omega R \cos \varphi = 7,29 \cdot 10^{-5} \cdot 6380 \cdot 10^3 \text{ m} \cdot \cos 45^\circ = 330 \text{ m/s}$$

și accelerația centripetă:

$$a_n = \omega^2 r = \omega^2 R \cos \varphi = 0,024 \text{ m/s}^2,$$

mult mai mică decât g ($a_n \approx g/400$ sau 0,25% din g).

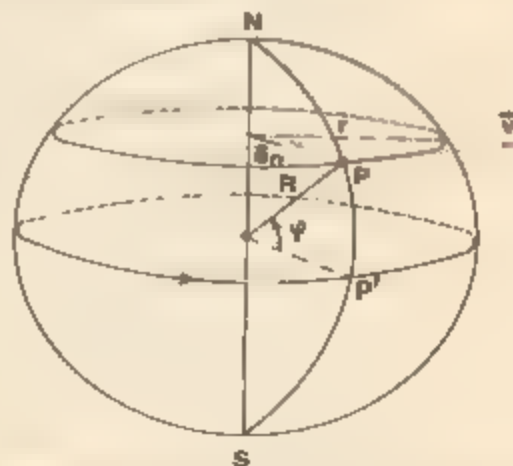


Fig. 3.52. Rotația proprie diurnă a Pământului.

3.5.4: Forța centrifugă. Aplicații. Principiile mecanicii, așa cum le am formulat, sînt valabile într-un sistem de referință *inerțial*, de exemplu legat de Soare (sistemul heliocentric) sau de stele și nebuloase sau chiar de Pămînt într-o aproximație destul de bună. Într-un astfel de sistem de referință este valabil principiul inerției: un corp (punct material) *izolat*, adică nesupus la nici o forță, se mișcă rectiliniu uniform în virtutea inerției, sau este în repaus.

Dacă însă privim mișcarea dintr-un sistem de referință *neinerțial*, adică accelerat față de stele sau față de Pămînt, atunci un corp izolat apare în mișcare accelerată *față de noi*, fără să putem indica vreo forță cauză a mișcării accelerate. Invers, într-un sistem de referință neinerțial un corp poate fi în repaus, deși asupra lui acționează o forță rezultantă. De exemplu, fie pe un disc un corp legat de centru printr-un fir cu dinamometru, ambele aflate într-o mișcare de rotație *uniformă* (după atingerea rotației uniforme nu este nevoie de nici o forță tangențială) (fig. 3.53). Pentru observatorul terestru, inerțial, forța de tracțiune centripetă exercitată de resortul dinamometru-lui obligă corpul să execute mișcarea circulară uniformă. Pentru observatorul în obșigă corpul să execute mișcarea circulară uniformă. Pentru observatorul situat pe platformă corpul este în repaus (față de acest observator) deși este tras spre centru de forța indicată de dinamometru. Lucrurile se petrec ca și cum asupra corpului ar mai acționa o „forță”, centrifugă, egală în modul și opusă ca sens cu forța reală centripetă.

Ori de cîte ori studiem mișcarea unui corp într-un sistem de referință *neinerțial*, pe lângă forțele reale \vec{F} trebuie să introducem anumite *forțe complementare* \vec{F}_c , pentru a putea scrie și în astfel de repere legea: forța este egală cu masa înmulțită cu accelerația ($\vec{F} + \vec{F}_c = m\vec{a}$).

Forțele complementare nu există pentru un observator inerțial, ele nu satisfac principiul III al mecanicii (al acțiunii și reacțiunii sau al acțiunii reciproce),

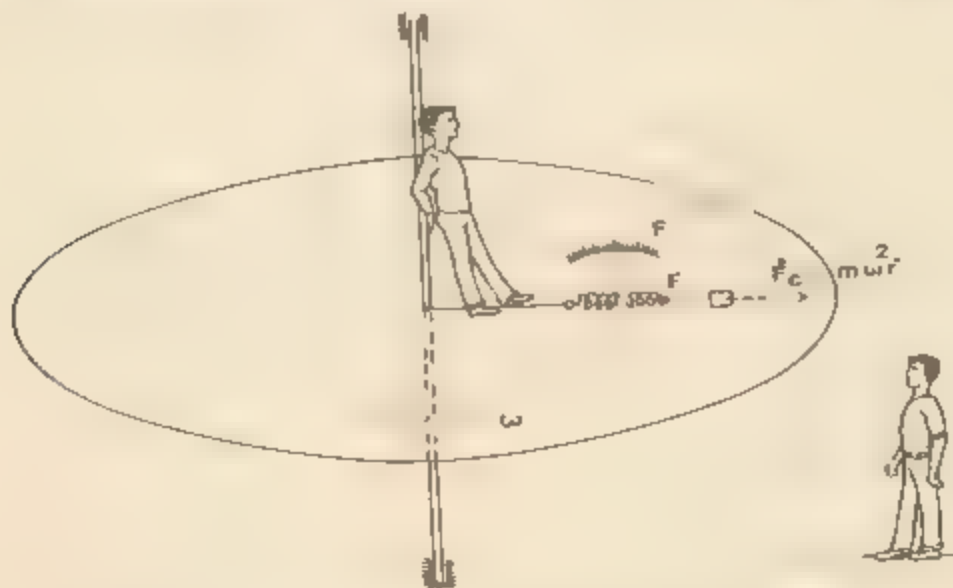


Fig. 3.58. Mișcarea circulară uniformă într-un sistem de referință inerțial și în sistemul de referință propriu.

nu există un corp din mediul înconjurător care să le exercite și asupra cărui să se exercite reacțiunea respectivă, adică ele nu sînt forțe de interacțiune. Forțele complementare se mai numesc pseudoforțe sau forțe de inerție. Observăm că Newton a numit forțe de inerție, forțele reale exercitate de corpul accelerat față de repere inerțiale, asupra legăturilor, de exemplu piatra asupra firului și mîinii. Luna asupra Pămîntului.

Pentru observatorul neinerțial forțele complementare se manifestă însă ca forțe reale pe care el nu le poate discerne de forțele reale (gravitaționale) cu ajutorul unor experiențe locale în cadrul restrîns al laboratorului său, ci numai dacă examinează și mediul înconjurător.

În cazul mișcării circulare uniforme a unui corp, pentru observatorul rotit solidar cu corpul, pe lângă forța centripetă, apare și o forță complementară centrifugă (forța de inerție centrifugă) $\vec{F}_c = + m\omega^2\vec{r}$, care explică repausul relativ al corpului. De multe ori acest punct de vedere este mai sugestiv, deoarece reduce problema dinamică la o problemă de statică, de echilibru între aceste două forțe.

Iată câteva exemple.

1. Într-un autobuz care virează brusc sîntem așvîrțiți în afară de către forța (complementară) centrifugă, care va fi echilibrată de forța centripetă produsă de peretele autobuzului sau de scaun. Pentru observatorul terestru inerțial, nu există această forță centrifugă, podava și peretele vehiculului sînt deviate în timp ce noi avem tendința să ne mișcăm în continuare rectiliniu uniform, în virtutea inerției. Forța centripetă exercitată de perete ne obligă atunci să ne înscuim în mișcarea circulară a autobuzului.

2. a) Pe mașina centrifugă fixăm o tijă orizontală pe care alunecă liber două bile de mase diferite m_1, m_2 , legate printr-un fir (fig. 3.54). Dacă punem bilele la egală distanță de axul de rotație și rotim tija, constatăm că bila de masă mai mare m_2 este aruncată la margine, trăgînd după ea și bila de masă mai mică m_1 . În adevăr, în reperul legat de tijă asupra bilelor acționează forțele centrifuge $F_1 = m_1\omega^2 R, F_2 = m_2\omega^2 R$ în sensuri opuse, dar $F_2 > F_1$, ceea ce explică deplasarea lor.

Dacă aranjăm bilele la distanțe invers proporționale cu masele: $R_1/R_2 = m_2/m_1$ sau $m_1 R_1 = m_2 R_2$, atunci forțele centrifuge sînt egale în modul și de sensuri opuse și bilele rămîn în echilibru relativ la orice rotație.

b) O altă experiență se face fixînd la mașina centrifugă un pahar bombat umplut cu mercur și apă colorată (fig. 3.55). În repaus, mercurul se așază la fund și apa deasupra, din cauză forțelor de greutate (mercurul avînd densitate mai mare decît apa).



Fig. 3.54. Echilibrul unor bile la mașina centrifugă

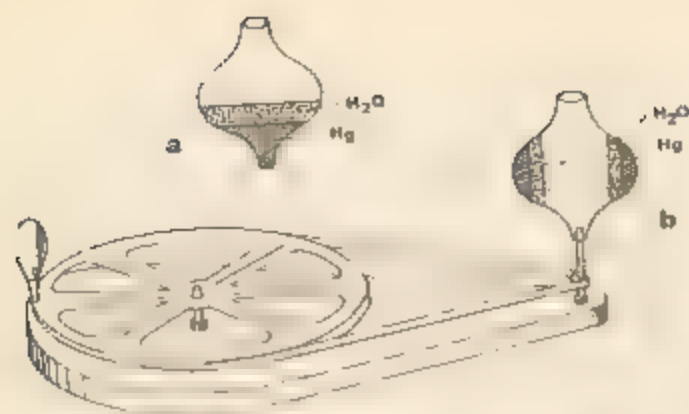


Fig. 3.55. Echilibrul hidridilor la mașina centrifugă.



Fig. 3.56. Datorită rotației inelul se turteste

Punând în rotație rapidă paharul, constatăm că mercurul urcă și se așază ca un manșon la periferia bombată a paharului, iar apa în stratul următor spre centru. Această stratificare se explică cu ajutorul forțelor centrifuge, care sînt proporționale cu masa (și cu distanța pînă la axă), la fel cum se explică stratificarea în cazul repausului prin forțele de greutate.

c) Să punem pe mașina centrifugă un inel elastic de oțel care poate culisa liber pe axul vertical de rotație (fig. 3.56). Punind în rotație inelul, el se turteste, datorită forțelor centrifuge care sînt proporționale cu distanța pînă la axa de rotație.

Un astfel de efect explică turtirea Pămîntului la poli.

3. Pentru a preveni pînă solicitarea inegală a șinelor și chiar răsturnarea vagoanelor la curbe, calea ferată este supranălțată la șina exterioară. La viraj forța centripetă este produsă de șine (asupra cărora se exercită acțiunea roților). Forța centrifugă \vec{F}_c se compune cu greutatea \vec{G} pentru a da rezultanta \vec{R} . Dacă această rezultantă cade perpendicular pe drum șinele vor fi egal solicitate (fig. 3.57).

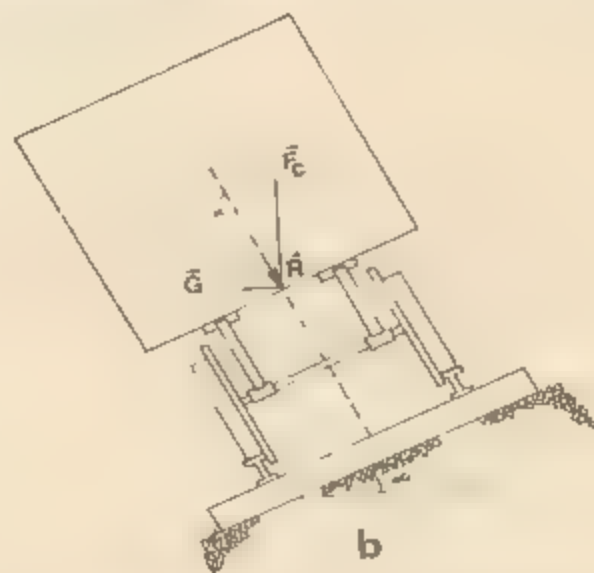
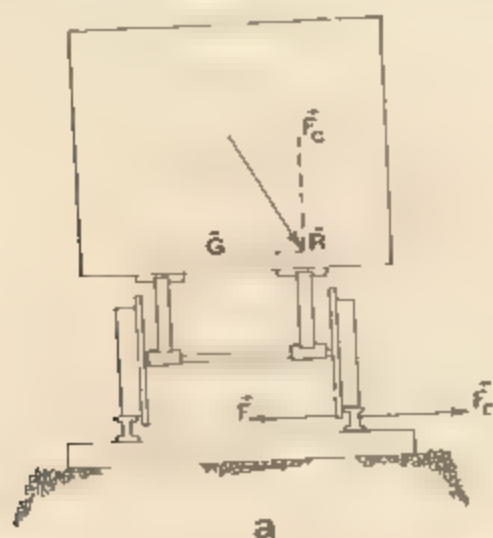


Fig. 3.57. La curbe linia exterioară este supranălțată pentru a preveni pînă solicitarea inegală a șinelor și chiar răsturnarea vagoanelor

Unghiul de înclinare a drumului este dat de

$$\operatorname{tg} \alpha = \frac{F_c}{G} = \frac{mv^2/R}{mg} = \frac{v^2}{gR} \quad (3.63)$$

El nu depinde de masa vehiculului, ci de viteza acestuia și de raza de curbura R a drumului.

Analog, la viraje, bicicliștii și motocicliștii se înclină spre centrul de rotație (de curbura) pentru a nu cădea (fig. 3.58):

$$\operatorname{tg} \alpha = \frac{F_c}{G} = \frac{v^2}{gR}$$

adică același rezultat ca pentru înclinarea drumurilor.



Fig. 3.58. La viraje bicicliștii și motocicliștii se înclină spre centrul de curbura pentru a nu cădea

4. a) *Separatorul centrifugal* Pentru a separa rapid particulele în suspensie într-un lichid, se așază vasele la mașina centrifugă. La turații mari, forța centrifugă $F_c = m\omega^2 R$ este foarte mare și împinge particulele cu masă mai mare spre fundul vasului, unde ele se depun (fig. 3.59).

b) *Uscătorul centrifugal* Separarea lichidelor de solide se face pe baza aceluiași metode. Corpurile sînt așezate într-un vas cilindric perforat fixat într-un vas cilindric mai larg (fig. 3.60). Prin rotirea rapidă a vasului interior, lichidul este împins spre exterior, iese prin orificiile peretelui și se scurge în vasul exterior.

Un astfel de uscător este folosit la mașinile de spălat. Un aparat asemănător servește pentru scoaterea mierei de albine din faguri.

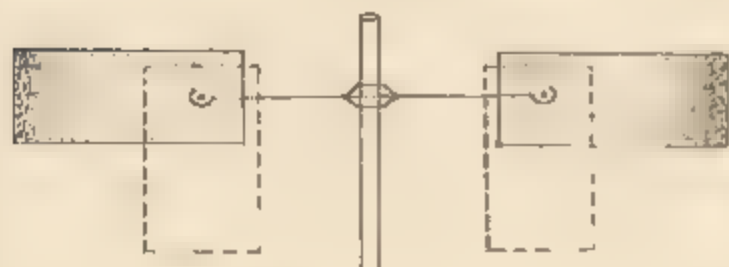


Fig. 3.59. Separatorul centrifugal

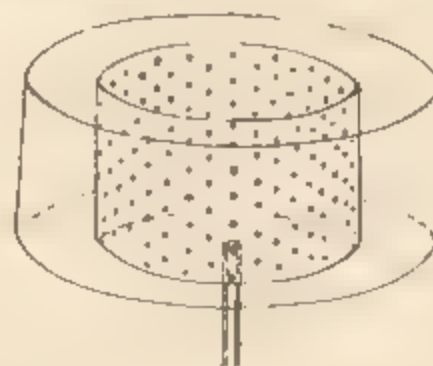


Fig. 3.60. Uscătorul centrifugal.

PROBLEMĂ REZOLVATĂ

Pendulul conic Un corp de dimensiuni neglijabile, suspendat de un punct fix printr-un fir de lungime $l = 0,40$ m, este pus să descrie o circumferință într-un plan orizontal. Firul de suspensie descrie atunci pînza unui con cu ca deschiderea $2\alpha = 2 \cdot 50^\circ$ (fig. 3.61)



Fig. 8.61. Pendolul conic

Să se afle perioada de rotație.

Rezolvare. Asupra corpului acționează două forțe: greutatea și tensiunea din fir. Rezultanta lor trebuie să fie forța centripetă, egală cu $m\omega^2 r$, deoarece corpul are o mișcare circulară uniformă. Din paralelogramul forțelor se vede că

$$\operatorname{tg} \alpha = \frac{F}{mg} = \frac{m\omega^2 r}{mg} = \frac{4\pi^2 r}{T^2 g},$$

dar $r = l \sin \alpha$, de unde

$$T = 2\pi \sqrt{\frac{l \cos \alpha}{g}} = 0,9 \text{ s.} \quad (3.64)$$

Dacă considerăm sistemul de referință propriu atentei, adăugăm forța centrifugă $F_c^* = +m\omega^2 r^*$ și scriem condiția de echilibru relativ.

ÎNTREBĂRI, EXERCIȚII, PROBLEME

1. Cum trebuie să circule automobilu în la curbe, dacă vremea este umedă (mizgă) sau este polei? De ce?

R: cu viteză redusă (pericol de derapaj) datorită forței centrifuge și aderenței scăzute).

2. Ce viteză unghiulară și ce perioadă are o placă de patelon cu turația $n = 33 \text{ rot/min}$?

R: $\omega = 2\pi n = 1,1\pi \approx 3,5 \text{ rad/s}$; $T = \frac{1}{n} = 1,8 \text{ s}$.

3. Viteza liniară periferică a discurilor de polizor nu trebuie să depășească $v = 100 \text{ m/s}$. Ce turație maximă poate avea un disc de diametru $D = 20 \text{ cm}$?

R: $n = \frac{v}{\pi D} = 16 \text{ rot/s} = 960 \text{ rot/min}$

4. Să se afle durata t a $N = 100$ rotații efectuate de o roată cu viteza unghiulară $\omega = 4\pi \text{ rad/s}$

R: $t = \frac{2\pi N}{\omega} = 50 \text{ s}$.

5. Care este perioada de rotație și viteza unghiulară a acelor unui ceasornic?

R: orar $T = 12 \text{ h}$, $\omega = 1,45 \cdot 10^{-4} \text{ rad/s}$; minutar $T = 1 \text{ h}$, $\omega = 1,75 \cdot 10^{-3} \text{ rad/s}$; secundar $T = 1 \text{ min}$, $\omega = 0,105 \text{ rad/s}$

6. Virful minutarului unui ceasornic dintr-un turn s-a deplasat cu $\Delta s = 15,7 \text{ cm}$ într-un timp $\Delta t = 1 \text{ min}$. Care este lungimea minutarului?

R: $l = \frac{T \Delta s}{2\pi \Delta t} = 1,50 \text{ m}$

7. Un automobil se mișcă cu viteza $v = 72 \text{ km/h}$ și are roți cu diametrul $D \approx 60 \text{ cm}$. Care este turația roților și accelerația normală a punctelor periferice ale roților?

R: $n = v/\pi D = 10,6 \text{ rot/s}$; $a_n = v^2/R = 1330 \text{ m/s}^2 = 136 \cdot g$

9. Cu ce viteză și în ce sens ar trebui să zboare un avion deasupra Ecuatorului pentru a vedea Soarele staționar?

$$R: v = 2\pi R/T = 460 \text{ m/s spre vest}$$

9. Care ar trebui să fie durata unei zile și nopți pentru ca la Ecuator corpurile să năibă greutate (aparentă, ținând seama de rotația Pământului)?

$$R: T = 2\pi\sqrt{R/g} = 1 \text{ h } 25 \text{ min}$$

10. Un autobuz de masă $m = 10,0 \text{ t}$ merge cu viteză $v = 54 \text{ km/h}$ peste un drum (pod) curbat: a) convex, b) concav, cu raza de curbatură $R = 100 \text{ m}$. Ce apăsare exercită autobuzul asupra drumului în punctul superior, respectiv cel inferior, al drumului?

$$R: N = mg \mp mv^2/R = (98 \mp 22,5) \text{ kN.}$$

11. Un corp de masă $m = 1,0 \text{ kg}$ (o caldăucă cu apă), legat de o sfoară de lungime $l = 1,00 \text{ m}$, este rotit într-un plan vertical. Care este frecvența minimă de rotație pentru ca sfoara să rămână întinsă (apa să nu iurgă)? Care va fi tensiunea în sfoară în acest caz, când corpul trece prin punctul inferior?

$$R: v_{\min} = \frac{1}{2\pi} \sqrt{\frac{g}{l}} = 0,50 \text{ rot/s}; T = 2mg = 98 \text{ N}$$

12. Un copil învârtă o piatră cu frecvența $\nu = 120 \text{ rot/min}$ într-un plan vertical, legată de un fir de lungime $l = 1,0 \text{ m}$. În ce moment trebuie să lase firul liber pentru ca piatra să zboare vertical în sus? Până la ce înălțime se va ridica piatra?

R: când piatra este la capătul diametrului orizontal cu viteză în sus

$$h = \frac{v_0^2}{2g} = \frac{2\pi^2 \nu^2 l^3}{g} = 8,0 \text{ m}$$

13. Cu ce unghi trebuie inclinat drumul la o curbă de rază $R = 100 \text{ m}$, prevăzută pentru circulație cu viteză $v = 54 \text{ km/h}$?

$$R: \tan \alpha = v^2/Rg = 0,23; \alpha = 13^\circ$$

14. Un camion face un viraj de rază $R = 100 \text{ m}$ cu viteză $v = 54 \text{ km/h}$. Care trebuie să fie coeficientul de frecare la alunecare minimă dintre anvelope și șosea pentru ca autocamionul să nu lunece?

$$R: \mu_{\min} = v^2/Rg = 0,23.$$

15. La ce distanță maximă de centru poate fi așezată o monedă pe un disc de patfon care se rotește cu turația $n = 78 \text{ rot/min}$ pentru ca moneda să nu lungească? Coeficientul de frecare la alunecare $\mu = 0,30$.

$$R: R_{\max} = \mu g / 4\pi^2 n^2 = 5,4 \text{ cm.}$$

16. Cu ce turație minimă trebuie rotit un cilindru de rază $r = 1,0 \text{ m}$ în jurul axei sale verticale, pentru ca un corp așezat pe peretele interior al cilindrului să rămână în repaus față de cilindru (fig. 3.62)? Coeficientul de frecare între corp și cilindru $\mu = 0,25$.

$$R: n = (1/2\pi)\sqrt{g/\mu r} = 1,0 \text{ rot/s.}$$

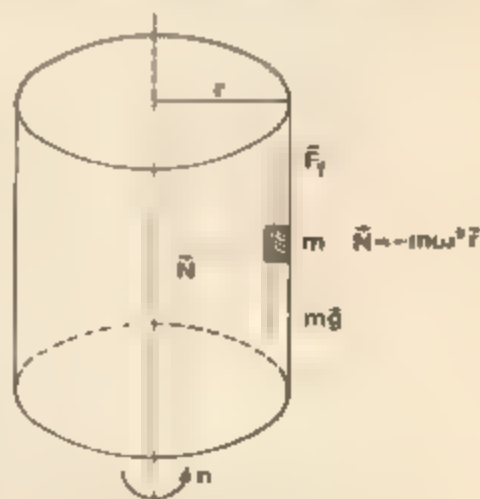


Fig. 3.62. Un corp în echilibru pe o suprafață în rotație (problema 16).

3.6. FORȚE ELASTICE

3.6.1. Deformări elastice. Legea lui Hooke. Când o forță acționează asupra unui corp, atunci acesta își modifică starea de mișcare sau se deformează. Vom analiza cazul când forțele produc numai deformări asupra corpului cu care interacționează.

Să tragem de un fir (tijă) dintr-un material oarecare (cauciuc, oțel, plumb, material plastic). Vom observa că firul se alungește, se deformează. Dacă acțiunea forței încetează sînt posibile două situații:

- a) deformația nu dispare;
- b) deformația dispare.

În primul caz deformările sînt permanente și ele caracterizează materialele numite *plastice*. În această categorie deosebim materiale ca: țeara, plastilina, plumbul, smoala etc.

În al doilea caz deformările sînt *elastice*. Majoritatea corpurilor prezintă această proprietate numită elasticitate. Corpuri perfect elastice nu există, dar dacă forțele care acționează asupra lor nu depășesc anumite limite, atunci deformările sînt considerate elastice.

EXPERIMENT

Un fir cilindric (de oțel sau cauciuc) de lungime l_0 și arie S_0 (aria secțiunii transversale), este suspendat vertical la un capăt (fig. 3.63, a). De capătul inferior se suspendă discuri identice cu masa cunoscută. Sub acțiunea greutății

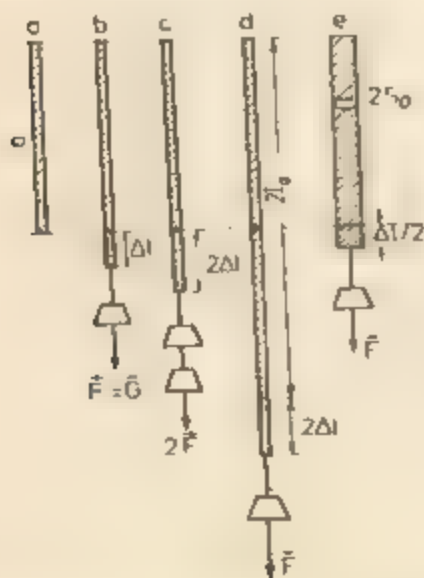


Fig. 3.63. Alungirea barei este direct proporțională cu forța deformatoare și cu lungimea sa inițială și invers proporțională cu aria secțiunii transversale

în unul din discuri lungimea firului devine l (fig. 3.63, b). Diferența $l - l_0 = \Delta l$ se numește alungire absolută. Dacă suspendăm de fir două discuri, adică dacă dublăm forța de greutate se constată că și alungirea se dublează (fig. 3.63, c). Dacă forța crește de trei, de patru sau de mai multe ori, se constată că și alungirea crește de același număr de ori. Concluzia care se impune este:

alungirea este proporțională cu forța deformatoare $\Delta l \sim F$.

Alegem acum un fir din același material avînd aceeași secțiune dar lungimea inițială dublă $2l_0$. Suspendînd un disc ca în figura 3.63, d, se poate observa că în acest caz alungirea este dublă față de cazul din figura 3.63, b.

Deci:

alungirea este proporțională cu lungimea inițială $\Delta l \sim l_0$.

Dacă înlocuim firul cilindric de lungime l_0 cu un altul de aceeași lungime din același material dar cu aria secțiunii $2S_0$, suspendînd de el un disc vom observa că alungirea lui devine $\Delta l/2$ (fig. 3.63, c). Pe această cale se ajunge la concluzia:

alungirea este invers proporțională cu aria secțiunii transversale a materialului solicitat $\Delta l \sim \frac{1}{S_0}$.

Rezultatele obținute pe cale experimentală pot fi puse sub forma:

$$\Delta l \sim \frac{Fl_0}{S_0}.$$

Dacă lungimea inițială l_0 , aria secțiunii (transversale) inițiale S_0 și forța F care acționează asupra firului vor rămâne neschimbate, dar vom experimenta cu fire din materiale diferite vom obține alungiri diferite. Deformările depind deci și de *natura materialului* supus solicitării. Aceste constatări experimentale pot fi scrise sub forma:

$$\Delta l = \frac{1}{E} \cdot \frac{Fl_0}{S_0} \text{ sau } \frac{F}{S_0} = E \frac{\Delta l}{l_0}, \quad \sigma = E\varepsilon, \quad (3.65)$$

unde E este un factor de proporționalitate.

Raportul $F/S_0 = \sigma$, ce reprezintă forța exercitată pe unitatea de suprafață, se numește *tensiune sau efort unitar*; $\Delta l/l_0 = \varepsilon$ reprezintă raportul dintre alungirea absolută și lungimea inițială și se numește *alungire relativă sau deformare specifică*; factorul de proporționalitate E este o constantă de material și se numește *modul de elasticitate longitudinal*, sau *modulul lui Young*, se măsoară în N/m^2 .

Relația (3.65) arată că alungirile relative $\Delta l/l_0$ sînt proporționale cu eforturile unitare F/S_0 , pentru un material dat. Această dependență reprezintă *legea lui Hooke* sau *legea deformărilor elastice*. Legea lui Hooke este o lege empirică, obținută experimental, valabilă pînă la anumite valori ale efortului unitar, valori caracteristice materialului solicitat, motiv pentru care este denumită și *lege de material*.

Scrînd relația (3.65) sub forma

$$F = \frac{ES_0}{l_0} \Delta l$$

și observînd că pentru un sistem fizic (de exemplu: firul din experimentul nostru, un resort etc.) putem pune $ES_0/l_0 = k$ (constant) expresie numită *constantă de elasticitate* (a firului sau a resortului) avem.

$$F = k\Delta l.$$

Constanta k se măsoară în N/m .

Notînd deformarea elastică (alungirea sau comprimarea) Δl cu x obținem, pentru forța care provoacă deformarea, expresia

$$F = kx. \quad (3.66)$$

Putem determina pe cale experimentală constanta de elasticitate a unui resort elastic, utilizînd legea deformărilor elastice.

Din trusa de experiențe de mecanică, alegem dinamometrul etalonat pentru măsurarea forțelor până la 1 N și fixăm pe marginea lui o hirtie milimetrică ca în figura 3.64. Pe ea vom măsura alungirile. Dinamometrul se fixează apoi, pe un suport așa cum se arată în figura 3.65, iar de cîrligul său se suspendă cîrligul pentru discuri crestate, cu mase cunoscute. Se introduc pe el diferite discuri și pentru fiecare valoare a masei discului (a greutății) se notează alungirea resortului. Fiecare determinare permite calculul factorului k din relația $F = k\Delta l$, unde $F = G = mg$.

Se înlocuiește dinamometrul de 1 N cu cel de 2,5 N și se repetă determinările. Rezultatele obținute se trec într-un tabel (k_m este valoarea medie pentru k):

Determinarea	Dinamometru 1 N				Dinamometru 2,5 N			
	$F = G$ (N)	Δl (m)	k (N/m)	k_m (N/m)	$F = G$ (N)	Δl (m)	k (N/m)	k_m (N/m)
1								
2								

Se obțin valori identice pentru fiecare determinare? De ce? Puteți determina eroarea făcută?

3.62. Forța elastică. În timpul deformării unui corp, în el apar forțe F_e egale ca valoare cu forțele deformatoare F și orientate în sens opus acestora (fig. 3.66). Deci aceste forțe sînt de forma

$$F_e = -kx. \quad (3.67)$$

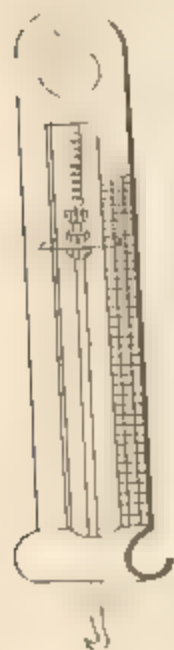


Fig. 3.64. Dinamometru

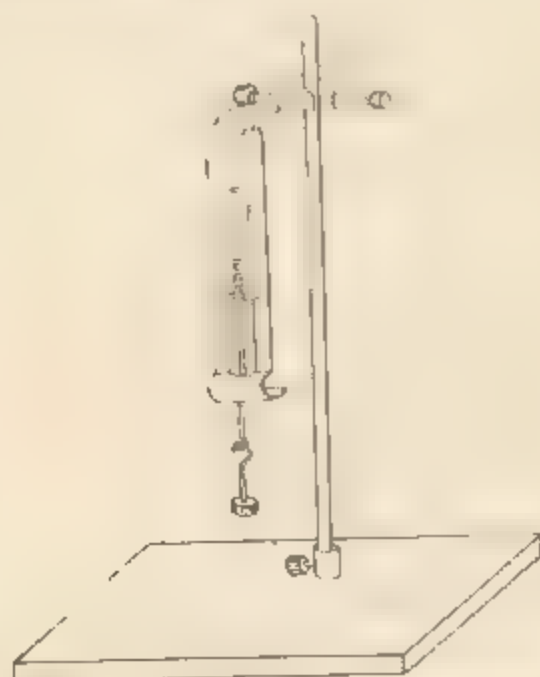


Fig. 3.65. Dispozitiv experimental pentru determinarea constantei elastice.

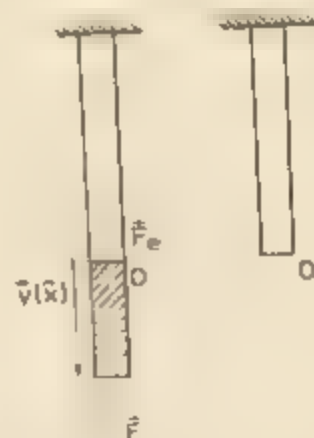


Fig. 3.66. În orice moment, forța elastică este egală cu forța deformatoare și îndreptată în sens opus ei.

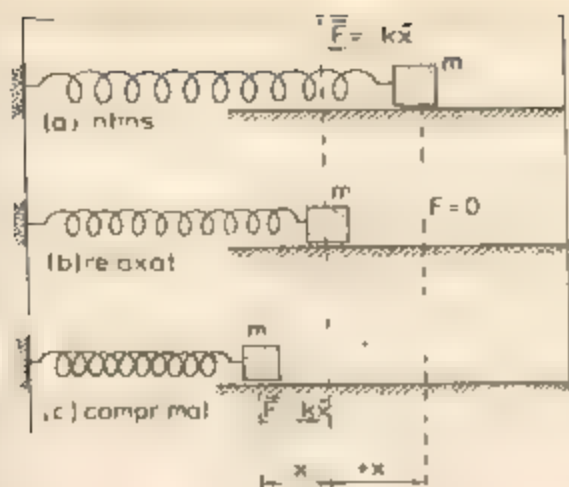


Fig. 3.67. În resort elastic. Forța exercitată de resort este arătată în fiecare caz. Corpul alunecă pe o masă fără frecări.

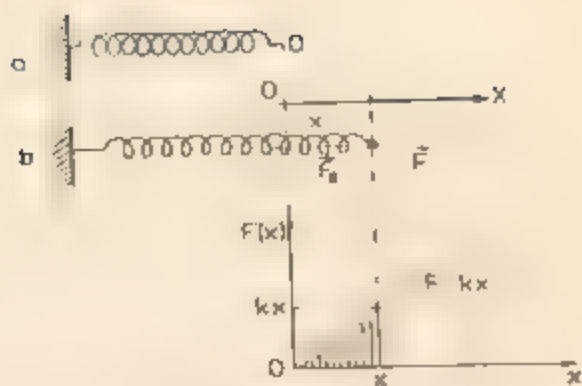


Fig. 3.68. Graficul dependenței de alungire a forței deformatoare, egală și de sens opus cu forța elastică

creșterii deformației, se numește forță elastică

Forțele elastice sînt forțe interne care apar între regiunile deplasate ale corpurilor solicitate și sub acțiunea cărora ele revin la forma inițială. Un exemplu de forță elastică este forța care apare într-un resort de oțel supus unei deformări (întindere sau comprimare). Figura 3.67 ilustrează forța F care deformează resortul cu $\Delta l = x$ și forța elastică $F_e = -kx$ care apare în resort și care tinde să-l readucă la forma inițială. Figura 3.68 prezintă graficul dependenței de alungire, $\Delta l = x$, a forței deformatoare, egală ca valoare cu forța elastică.

PROBLEME REZOLVATE

1. Un ascensor cîntărește 980 kg, iar cablul său de acționare, din oțel, are lungimea de 25 m și cîntărește 0,800 kg m. Pornirea se face uniform accelerat cu accelerația de $1,96 \text{ m/s}^2$. Efortul unitar admisibil în cablu σ_a este de $112,60 \cdot 10^6 \text{ N/m}^2$, iar pentru oțel modulul de elasticitate este $E = 1,96 \cdot 10^{11} \text{ N/m}^2$. Se cere: a) forța de tracțiune suportată de cablu la pornire; b) secțiunea cablului, pentru a nu se depăși efortul unitar admisibil; c) alungirea cablului datorită forței de tracțiune la pornire; d) forța elastică care apare în cablu, la pornirea ascensorului, dacă secțiunea cablului este cea de la punctul b).

Rezolvare a) Ascensorul și cablul au împreună $m = 980 + 25 \cdot 0,8 = 1000 \text{ kg}$. Forța de tracțiune la pornire are valoarea:

$$F = m(g + a) = 1000 \cdot 11,76 = 11760 \text{ N.}$$

b) Din relația $\sigma_a = \frac{F}{S}$ rezultă $S = \frac{F}{\sigma_a} = \frac{11760}{112,60 \cdot 10^6} = 10^{-4} \text{ m}^2 = 1 \text{ cm}^2$

c) Din $\Delta l = \frac{Fl}{SE}$ se obține $\Delta l = \frac{11760 \cdot 25}{10^{-4} \cdot 19,6 \cdot 10^{10}} = 0,015 \text{ m} = 1,5 \text{ cm}$

d) Din $F = -k\Delta l$ unde $k = \frac{SE}{l}$ rezultă valoarea forței elastice $F = \frac{SE}{l} \Delta l = \frac{10^{-4} \cdot 1,96 \cdot 10^{11} \cdot 15 \cdot 10^{-3}}{25} = 11\,760 \text{ N}$, egală cu forța de tracțiune exercitată asupra cablului, dar de sens opus acesteia.

2. Două cabluri metalice de oțel cu secțiunile egale $S_1 = S_2 = S = 1 \text{ cm}^2$ sînt fixate de ele un zid, iar capetele libere ale lor trebuie prinse împreună în prelungire. Distanța dintre ziduri este $l = 12 \text{ m}$, iar lungunile cablurilor sînt $l_1 = 6,930 \text{ m}$ și $l_2 = 5,065 \text{ m}$. Lungimea totală a cablurilor fiind mai mică decît distanța dintre ziduri, cablu de tre-buie întinse bine, pentru a se putea prinde între ele. Știind că efortul unitar admisibil la întindere $\sigma_a = 117,6 \cdot 10^6 \text{ N/m}^2$ și că modulul de elasticitate al oțelului este $E = 2,1 \cdot 10^{11} \text{ N/m}^2$ se cere: a) tensiunile din cabluri, b) este posibilă prinderea cablu-rilor fără ca acestea să se rupă?

Rezolvare: a) După prinderea capetelor cablurilor tensiunile T_1 și T_2 vor avea aceeași valoare:

$$T_1 = T_2 = T$$

Suma alungirilor celor două cabluri trebuie să fie egală cu distanța dintre capetele care trebuie unite:

$$\Delta l = \Delta l_1 + \Delta l_2 = l - (l_1 + l_2) = 12 - 11,995 = 0,005 \text{ m},$$

$$\text{Dar: } \Delta l_1 = \frac{T l_1}{ES_1} = \frac{T l_1}{ES} \text{ și } \Delta l_2 = \frac{T l_2}{ES_2} = \frac{T l_2}{ES}.$$

Avem acum: $\Delta l = \frac{T}{ES} (l_1 + l_2)$ și de aici rezultă

$$T = \frac{ES \Delta l}{l_1 + l_2} = \frac{2,1 \cdot 10^{11} \cdot 10^{-4} \cdot 5 \cdot 10^{-3}}{11,995} = 8\,751 \text{ N}$$

b) Eforturile unitare în cabluri sînt

$$\sigma_1 = \sigma_2 = \frac{T}{S} = \frac{8\,751}{10^{-4}} = 87,51 \cdot 10^6 \text{ N/m}^2$$

Pentru că $\sigma_1 = \sigma_2 < \sigma_a$ rezultă că cele două cabluri pot fi întinse fără a ele să se rupă.

ÎNTEBĂRI, EXERCITII, PROBLEME

1. Care este diferența între forța exprimată prin legea lui Hooke și forța elastică?
2. O bară de oțel cilindrică cu lungimea $l_0 = 19,8 \text{ m}$ s-a alungit datorită unei forțe de întindere $F = 98 \text{ N}$ cu $\Delta l = 0,455 \text{ mm}$. Să se calculeze raza barei. Se cunoaște modulul de elasticitate al oțelului $E = 1,96 \cdot 10^{11} \text{ N/m}^2$.

$$R : R_0 = \sqrt{\frac{F l_0}{\pi E \Delta l}} = 0,26 \cdot 10^{-2} \text{ m}$$

3. Pentru a măsura modulul lui Young, se suspendă un corp cu greutatea $G = 4\,410 \text{ N}$ de un fir de oțel cu lungimea $l_0 = 5 \text{ cm}$ și secțiunea $S_0 = 0,0625 \text{ cm}^2$, și găsește că alungirea absolută a firului este $\Delta l = 18 \text{ mm}$. Să se calculeze efortul unitar σ , alungirea relativă ϵ și modulul de elasticitate E al oțelului.

$$R : \sigma = \frac{G}{S_0} = 7\,056 \cdot 10^5 \text{ N/m}^2, \quad \epsilon = \frac{\Delta l}{l_0} = 0,36, \quad E = \frac{\sigma}{\epsilon} = 1,96 \cdot 10^{11} \text{ N/m}^2$$

4. Să se calculeze alungirea unei bare de oțel de secțiune pătrată și de lungime $l_0 = 20$ m sub efectul propriei greutate. Densitatea barei este $\rho = 7,85 \cdot 10^3 \text{ kg m}^{-3}$ și $E = 2,1 \cdot 10^{11} \text{ N/m}^2$. Se consideră $g = 10 \text{ m/s}^2$.

$$R: \Delta l = \frac{1}{2E} \cdot \rho g l_0^2 \approx 7,85 \cdot 10^{-4} \text{ m}$$

5. Un cablu de oțel are lungimea $l_0 = 20$ m și este format din împletirea a $N = 70$ fire de oțel. Cu cablul de acest profil se ridică un corp cu masa $m = 904 \text{ kg}$. Știind că alungirea cablului a fost $\Delta l = 15 \text{ mm}$ și $E = 2,15 \cdot 10^{11} \text{ N/m}^2$, $g = 10 \text{ m/s}^2$, să se calculeze
a) diametrul unui fir de oțel;
b) efortul în cablu.

$$R: a) d_0 = \sqrt[4]{\frac{4 m g l_0}{N \pi E \Delta l}} = 1 \text{ mm}; b) \frac{F}{S_0} = E \cdot \frac{\Delta l}{l_0} = 15 \cdot 10^7 \text{ N/m}^2$$

6. Un corp de masă $m = 510 \text{ kg}$ este deplasat pe un plan orizontal cu ajutorul unui cablu paralel cu direcția planului. Cablul are lungimea l_0 , secțiunea $S_0 = 16 \text{ cm}^2$ și modulul de elasticitate $E = 2,15 \cdot 10^{11} \text{ N/m}^2$. Considerind $g = 10 \text{ m/s}^2$ și coeficientul de frecare la alunecare a corpului pe plan $\mu = 0,215$, să se calculeze
a) raportul alungirilor cablului în cazul deplasării uniforme a corpului și în cazul deplasării uniforme accelerate cu accelerația $a = 2,5 \text{ m/s}^2$,
b) alungirile relative în cele două cazuri de deplasare

$$R: a) \frac{\Delta l_u}{\Delta l_a} = \frac{\mu g}{a + \mu g} \approx 0,46; \frac{\Delta l_u}{l_0} = \frac{\mu m g}{S_0 E} \approx 7 \cdot 10^{-4}; b) \frac{\Delta l_a}{l_0} = \frac{m(a + \mu g)}{S_0 E} \approx 6,8 \cdot 10^{-4}$$

3.7. LEGEA ATRACȚIEI UNIVERSALE A LUI NEWTON CÂMPUL GRAVITAȚIONAL

3.7.1. Legea atracției universale a lui Newton. Proprietatea unui corp de a cădea către Pământ, greutatea sa, a fost privită ca o proprietate inerentă tuturor corpurilor pînă în secolul al XVII-lea. Newton este acela care a afirmat că greutatea unui corp trebuie privită ca o forță de atracție dintre Pământ și acel corp.

Mișcarea corpurilor cerești, în particular cea a planetelor și a Soarelui, era pe vremea lui Newton un subiect de mare interes. Legile mișcărilor acestor corpuri erau considerate ca fiind cu totul diferite de cele ale mișcării corpurilor de pe Pământ. Newton a considerat că aceeași forță a gravitației (care atrage un corp (de exemplu un măr) către Pământ, ar putea atrage de asemenea și Luna către Pământ, altfel ea s-ar mișca pe o traiectorie rectilinie și nu pe una (aproape) circulară.

Datorită acestei forțe de atracție apare o accelerație centripetă care poate fi calculată știind perioada de revoluție de $T = 28$ zile și raza orbitei pe care se mișcă Luna în jurul Pământului, $R_{PL} = 380\,000 \text{ km}$. Din expresia accelerației centripete se obține

$$a_L = 4\pi^2 \frac{R_{PL}}{T^2} = 2,7 \cdot 10^{-3} \text{ m/s}^2.$$

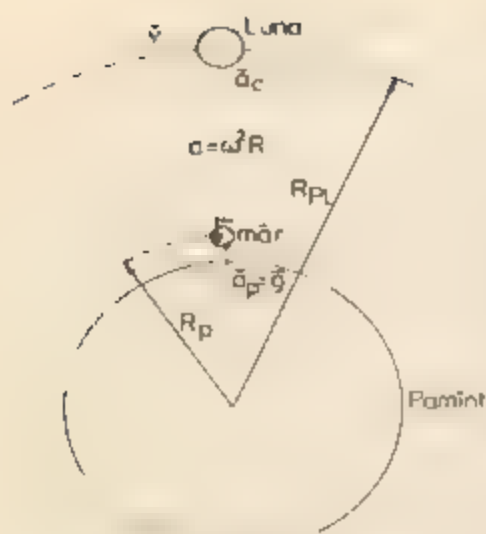


Fig. 3.69. Luna și un corp de la suprafața Pământului sînt atrase spre centrul Pământului.

Această valoare, $a_L = 2,7 \cdot 10^{-3} \text{ m/s}^2$, este de aproximativ 3 600 ori mai mică decît g , adică

$$a_L = \frac{g}{3\,600} = \frac{9,8}{3\,600} \text{ m/s}^2.$$

Newton a explicat această diferență, bazîndu-se pe ideea că accelerația unui corp în cădere este invers proporțională cu pătratul distanței sale pînă la Pămînt, $1/R^2$. Considerînd masa Pămîntului concentrată în centrul său, un corp care cade la suprafața Pămîntului se află la o distanță de o rază terestră, $R_P \approx 6\,400 \text{ km}$ de centrul efectiv de atracție. Dar Luna se află la aproximativ 380 000 km distanță (R_{PL}) de Pămînt. Pătratul raportului acestor distanțe

$$\left(\frac{R_P}{R_{PL}}\right)^2 = \frac{(6\,400)^2}{(380\,000)^2} = \frac{1}{3\,600}$$

este în concordanță cu raportul a_L/g .

Forțele exercitate asupra Lunii și asupra corpului de la suprafața Pămîntului depind de masa Lunii și respectiv de masa corpului precum și de masa Pămîntului. Așadar Newton a presupus că forța de atracție gravitațională depinde atît de masele corpurilor care se atrag cît și de inversul pătratului distanței dintre ele. Mai mult, el a considerat că toate corpurile din Univers, indiferent unde s-ar afla ele, exercită o forță de atracție gravitațională (fig. 3.69) unele asupra altora.

corpurile și are valoarea

$$F = K \frac{m_1 m_2}{r^2},$$

(3.68)

unde K este o constantă universală avînd aceeași valoare pentru orice pereche de corpuri din Univers.

Relația (3.68) exprimă legea atracției universale.

Observații. Forțele gravitaționale dintre două corpuri constituie o pereche acțiune reacțiune. Corpul de masă m_1 exercită, asupra corpului de masă m_2 , o forță \vec{F}_{12} , avînd direcția dată de dreapta care unește cele două corpuri și sensul așa cum se arată în figura 3.70. La rîndul său corpul de masă m_2 exercită, asupra corpului de masă m_1 , o forță \vec{F}_{21} egală în valoare cu \vec{F}_{12} avînd aceeași direcție cu aceasta dar sensul opus.

Relația (3.68) exprimă valoarea forței de atracție gravitațională dintre două corpuri punctiforme. Pentru corpuri ca Pământul, Luna, Soarele etc. se va presupune că întreaga masă este concentrată în centrele lor de masă.

Legea atracției universale implică ideea că forța gravitațională dintre două corpuri este independentă de prezența altor corpuri sau de proprietățile spațiului dintre ele.

Constanta K poate fi determinată pe cale experimentală. Pentru aceasta trebuie măsurată forța de atracție dintre două corpuri de mase cunoscute. Prima măsurătoare de acest fel a fost făcută de Cavendish în 1798. Astăzi, pentru constanta atracției universale, este acceptată valoarea $K = 6,673 \cdot 10^{-11} \text{ N} \cdot \text{m}^2/\text{kg}^2$.

Constanta K a fost determinată cu ajutorul balanței de torsiune care este reprezentată în figura 3.71.

De capetele unei tije rigide și ușoare de lungime l sunt fixate două sfere mici, fiecare de masă m (50 g). Tija prevăzută cu cele două sfere este suspendată, printr-un fir vertical foarte fin din cuarț, astfel încât axa ei să fie orizontală. Două sfere mari, fiecare de masă M (50 kg) sunt situate în vecinătatea capetelor tije și determină, datorită atracției gravitaționale, răsturnarea firului de cuarț. Măsurând pe scară unghiul cu care s-a răsturnat firul, se poate calcula valoarea forței de atracție dintre sfere, pentru că această forță este proporțională cu unghiul de răsturnare a firului, $F = \text{constantă} \cdot \alpha$.



Fig. 3.70. Forțele gravitaționale dintre două corpuri sînt forțe de atracție și constituie o pereche acțiune-reacțiune.

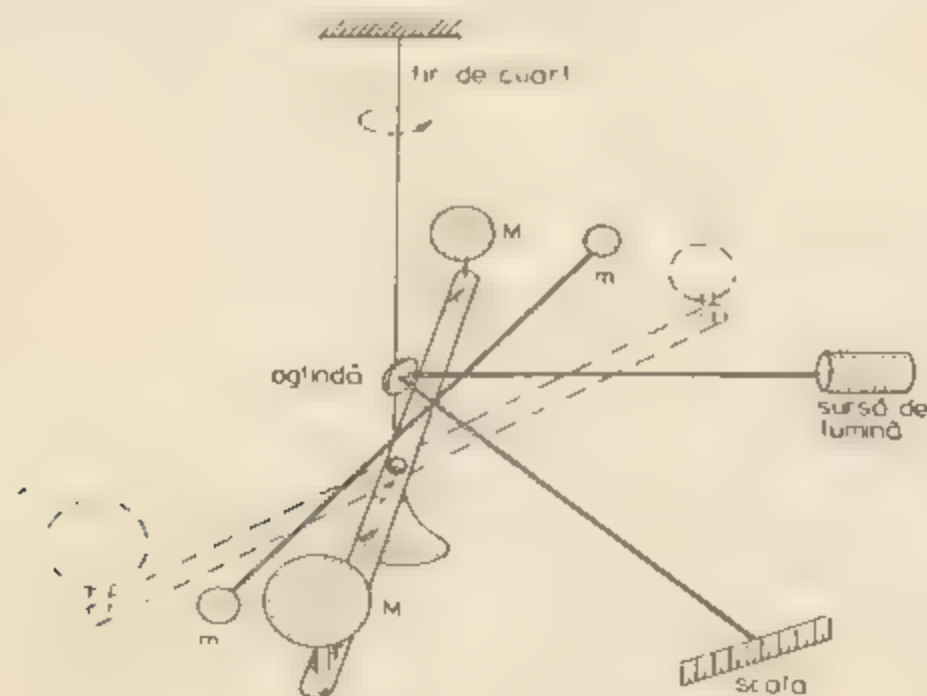


Fig. 3.71. Balanța lui Cavendish folosită pentru determinarea constantei K .

Din :

$$F = K \frac{m_1 m_2}{r^2} \text{ rezultă } K = \frac{F r^2}{m_1 m_2}$$

și dacă $m_1 = m_2 = 1 \text{ kg}$, iar distanța $r = 1 \text{ m}$ se obține $K = F$. Adică:

Constanta atracției universale K este numeric egală cu forța, exprimată în newtoni, care se exercită între două corpuri punctiforme având fiecare masă de 1 kg și fiind situate la distanța de 1 metru .

Rezultă că două corpuri punctiforme, cu masa de un kilogram fiecare aflate la un metru depărtare unul de altul se atrag cu o forță egală cu $6,673 \cdot 10^{-11} \text{ N}$ ceea ce reprezintă aproximativ $\frac{1}{15} \cdot 10^{-9} \text{ N}$! Acum se poate

înțelege de ce forța de atracție dintre două corpuri aflate la suprafața Pământului nu poate fi observată direct. În timp ce două corpuri cu masa de câte un kilogram fiecare, aflate la un metru depărtare unul de altul, se atrag cu o forță de $F = \frac{1}{15} \cdot 10^{-9} \text{ N}$, fiecare dintre ele este atras de Pământ

cu o forță de $F' = 9,8 \text{ N}$, deci o forță de $147 \cdot 10^9$ ori mai mare decât F .

Forța gravitațională mare pe care Pământul o exercită asupra tuturor corpurilor de la suprafața sa se datorește masei foarte mari a Pământului. Știind valoarea lui K putem determina masa Pământului. Să considerăm Pământul de masă M_P și un corp de pe suprafața sa cu masa m . Forța de atracție gravitațională este dată alături de legea a II-a a dinamicii $F = mg$ și de relația $F = K \frac{m M_P}{R_P^2}$, de unde rezultă:

$$M_P = \frac{g R_P^2}{K} = \frac{(9,8 \text{ m/s}^2) (6,37 \cdot 10^6 \text{ m})^2}{6,67 \cdot 10^{-11} \text{ N} \cdot \text{m}^2/\text{kg}^2} = 5,97 \cdot 10^{24} \text{ kg}.$$

Din $mg_0 = K \frac{m M_P}{R_P^2}$ rezultă valoarea accelerației gravitaționale la suprafața Pământului, $g_0 = K \frac{M_P}{R_P^2}$, care la distanța r de centrul Pământului

are valoarea $g = K \frac{M_P}{r^2}$. (3.69)

3.7.2. Cîmpul gravitațional. Din capitolele anterioare se știe că forță înseamnă acțiunea unui corp asupra altui corp. Acțiunile, forțele, care se exercită între corpuri presupun fie un contact direct între corpuri, fie legături materiale (tije, sfori, șine) prin care ele acționează unele asupra altora. În cazul atracției gravitaționale, situația pare să fie deosebită. De aceea s-a vorbit la început despre atracția gravitațională ca despre o forță care acționează instantaneu și la distanță fără intermediul unei legături materiale între corpuri.

Cel care a formulat ideea că în cazul gravitației este vorba de un efect care se transmite din aproape în aproape, de la un punct din spațiu la altul, a fost Faraday.

Astăzi se consideră că orice corp modifică proprietățile fizice ale spațiului înconjurător, în așa fel încît în acest spațiu asupra unui corp care are caracteristica particulară masă, masă grea sau gravifică, se exercită o forță. Cu alte cuvinte, regiunea din spațiu în care există un corp de masă dată este purtătoarea unei proprietăți fizice noi, care în absența corpului nu se manifestă. În această regiune se manifestă un sistem fizic numit *cîmp gravitațional sau cîmp gravific*.

Cîmpul gravitațional, formă de existență a materiei distinctă de substanță, face posibilă transmiterea din aproape în aproape a atracției dintre corpuri. Legea atracției universale ne arată că orice corp trebuie privit ca o sursă, un izvor, de cîmp gravitațional.

De exemplu, fie Pămîntul o sursă de cîmp gravitațional izolată de alte surse (Lună, Soare, planete). Dacă în vecinătatea Pămîntului este adus un corp de masă $m \ll M_P$, denumit corp de probă, atunci asupra lui se va exercita o forță de atracție F pe direcția razei Pămîntului (presupus sferic) care trece prin acel punct (fig. 3.72). Valoarea acestei forțe este:

$$F = K \frac{mM_P}{r^2},$$

unde r este distanța dintre centrul Pămîntului și corpul de probă, M_P masa Pămîntului, m masa corpului de probă.

Raportul

$$\frac{\vec{F}}{m} = \vec{\Gamma}, \quad (3.70)$$

definește mărimea fizică numită *intensitatea cîmpului gravitațional* produs de sursa gravifică Pămînt în acel punct și semnifică forța de atracție gravitațională care se exercită pe unitatea de masă în acel punct al cîmpului. Din definiția dată intensității cîmpului gravitațional rezultă

$$\Gamma = \frac{F}{m} = K \frac{M_P}{r^2}. \quad (3.70')$$

Deci mărimea Γ nu depinde de corpul de probă, ea depinde numai de sursa gravifică (M_P) și locul (r) în care se analizează cîmpul gravitațional. Comparînd relațiile (3.69) și (3.70') se poate constata egalitatea între valorile mărimilor Γ și g (accelerația gravitațională). De asemenea din (3.70) se observă că mărimea $\vec{\Gamma}$ este o mărime vectorială.

Din faptul că intensitatea cîmpului gravitațional este o mărime vectorială, rezultă că putem descrie sistemul cîmp gravitațional cu aju-

torul unei mulțimi de vectori $\vec{\Gamma}$ atașați punctelor din jurul sursei gravitaționale unde aceasta își manifestă

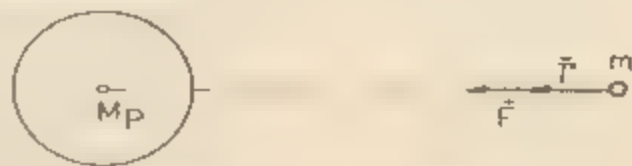


Fig. 3.72. Forța (\vec{F}) de atracție exercitată de Pămînt asupra unui corp de probă și intensitatea ($\vec{\Gamma}$) a cîmpului gravitațional.

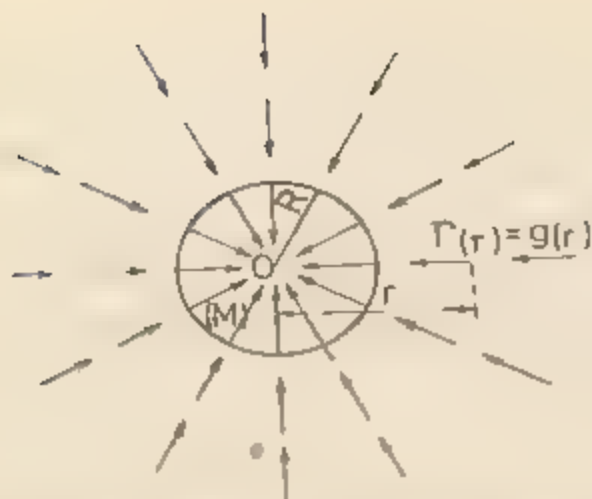


Fig. 3.73. Un câmp gravitațional radial generat de un corp sferic omogen și vectorii intensitate atașați arestul câmp.

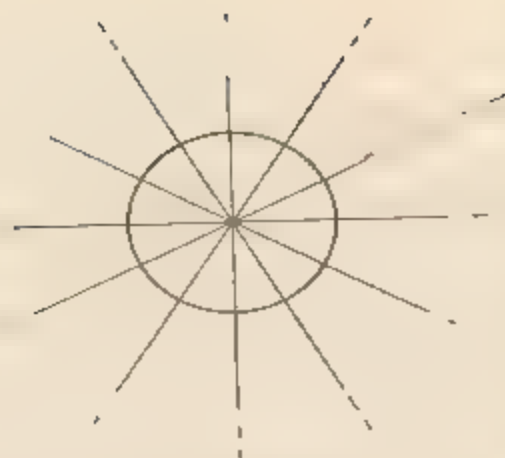


Fig. 3.74. Reprezentarea unui câmp gravitațional prin linii de câmp

prezență (fig. 3.73). Deoarece acestui câmp fizic se poate asocia un câmp de vectori se spune că el este un *câmp vectorial*. Câmpul gravitațional produs de o distribuție statică dată a masei unui corp este și un exemplu de *câmp staționar*, deoarece valoarea intensității câmpului într-un punct dat nu variază în timp.

Câmpul gravitațional, ca orice câmp fizic de altfel, poate fi reprezentat și prin linii de câmp. Linile de câmp sînt linii a căror tangentă coincide în fiecare punct cu direcția vectorului intensitate a câmpului respectiv. Pentru un corp sferic omogen liniile de câmp arată ca în figura 3.74 și ele coincid cu direcțiile razelor care pornesc din centrul sursei de câmp, un astfel de câmp este un *câmp radial sau central*.

Măsurători efectuate la distanțe mari (de ordinul $10^2 - 10^4$ km), cu ajutorul sateliților artificiali, au dus la concluzia că în cazul Pământului, câmpul său gravitațional este un câmp radial.

Dacă este investigat, cercetat, câmpul gravitațional al Pământului în imediata sa vecinătate, în regiuni de mică întindere, de exemplu într-o sală de clasă sau de laborator, atunci se poate constata că în puncte diferite ale spațiului investigat \hat{r} are aceeași valoare, iar direcțiile vectorilor intensitate sînt paralele. Deci, în astfel de regiuni câmpul gravitațional al Pământului poate fi descris prin linii de câmp paralele și echidistante, intensitatea câmpului avînd aproximativ aceeași valoare în toate punctele (fig. 3.75). Un astfel de câmp se numește *câmp uniform*.

În cazul unui sistem de surse gravitice, intensitatea câmpului într-un punct este suma vectorială a intensităților câmpurilor gravitaționale produse de fiecare sursă în punctul considerat (fig. 3.76).

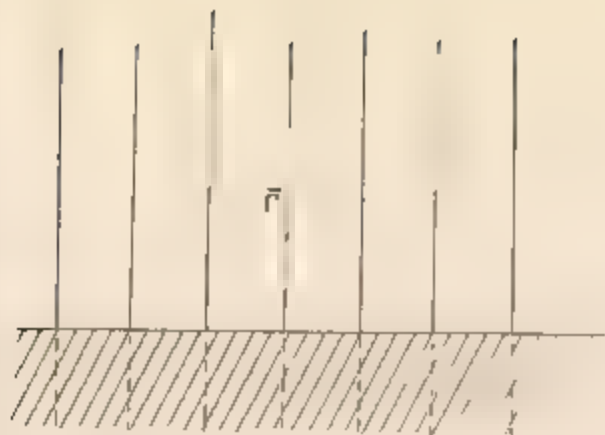


Fig. 3.76. Cîmp gravitațional uniform.

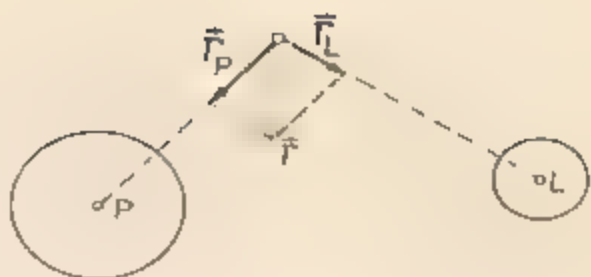


Fig. 3.76. Intensitatea cîmpului gravitațional creat printr-un corp (două sursă g diferite) este suma vectorială a intensităților cîmpurilor gravitaționale create de fiecare corp (sursă) în parte.

3.8. MASA GRAVIFICĂ. RELAȚIA DINTRE MASA GRAVIFICĂ ȘI MASA INERȚIALĂ. SATELIȚII ARTIFICIALI

3.8.1 Masa gravifică. Relația dintre masa gravifică și masa inerțială. În capitolul II paragraful 2.3.4 s-a arătat că în ecuația (2.5), $\vec{F} = m\vec{a}$, masa apare în calitate de măsură a inerției corpului. Într-adevăr dacă încercăm să împingem un corp aflat în repaus pe o suprafață orizontală, fără frecări, constatăm că este necesară o anumită forță pentru a-l pune în mișcare. Aici se manifestă inerția corpului, gravitația nu se manifestă. Experimentul se poate face și într-un spațiu lipsit de gravitație (stare de imponderabilitate). În acest caz pentru accelerarea corpului ar fi necesară aceeași forță $\vec{F} = m\vec{a}$, deci masa m este masă inerțială.

În cele ce urmează vom arăta că există situații diferite de cea anterioară în care de asemenea este implicată masa corpului. De exemplu, pentru a ține un corp în repaus deasupra Pământului este necesară o forță, în caz contrar lăsat liber corpul cade spre Pământ într-o mișcare accelerată. Forța care ține corpul este egală ca valoare cu forța de atracție gravitațională dintre el și Pământ. În această situație inerția nu joacă nici un rol, aici este importantă proprietatea corpurilor materiale de a fi atrase de alte corpuri, cum ar fi Pământul. Forța de atracție gravitațională este

$$F = k \frac{m_g M_P}{R_P^2},$$

unde m_g este masa gravitațională, masa grea a corpului.

Sînt masele m_g (masa gravitațională) și m (masa inerțială) ale aceluiași corp identice?

Fie două corpuri A și B , de mici dimensiuni, cu masele gravitaționale m_{gA} și m_{gB} asupra cărora acționează un al treilea corp C cu masa gravitațională m_{gC} . Fie corpul C la egală distanță r de celelalte două (fig. 3.77). Forța gravitațională exercitată asupra-lui A de către C este,

$$F_{AC} = K \frac{m_{gA} m_{gC}}{r^2}.$$

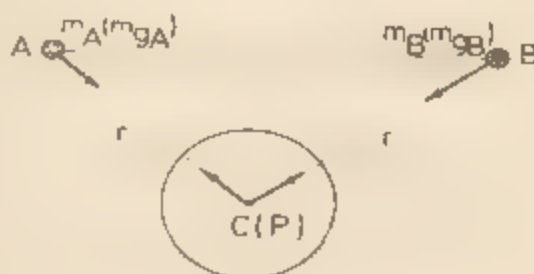


Fig. 3.77. Forțele exercitate de un corp C asupra a două corpuri A și B aflate la egală distanță de C .

forța gravitațională cu care C acționează asupra lui B este:

$$F_{BC} = K \frac{m_{gB} m_{gC}}{r^2}.$$

Raportul dintre forțele gravitaționale exercitate asupra lui A și B de către corpul C este egal cu raportul maselor lor gravitaționale.

$$\frac{F_{AC}}{F_{BC}} = \frac{m_{gA}}{m_{gB}}.$$

Dacă cel de al treilea corp C este Pământul, atunci F_{AC} și F_{BC} sînt ceea ce numim greutatea corpurilor A și B , în câmpul gravitic al Pământului. Avem deci

$$\frac{G_A}{G_B} = \frac{m_{gA}}{m_{gB}}.$$

Așadar legea atracției universale implică faptul că greutatea diferitelor corpuri, în același loc pe suprafața Pământului sînt exact proporționale cu masele lor gravitaționale.

Să măsurăm masele inerte m_A și m_B ale corpurilor A și B pe o cale oarecare (de exemplu prin metoda ciocnirilor). Să lăsăm apoi aceste corpuri să cadă spre Pământ dintr-un anumit loc și să măsurăm accelerațiile mișcărilor lor. Se află experimental, că obiecte, corpuri, cu mase inerciale diferite cad cu aceeași accelerație g datorită atracției gravitaționale terestre. Dar forțele de atracție gravitaționale exercitate asupra corpurilor reprezintă chiar greutatea lor, astfel încît din legea a doua a dinamicii obținem

$$G_A = m_A \cdot g \text{ și } G_B = m_B \cdot g$$

sau

$$\frac{G_A}{G_B} = \frac{m_A}{m_B}.$$

Deci greutatea corpurilor în același loc de pe Pământ sînt de asemenea exact proporționale cu masele lor inerte.

Așadar masa inertă și masa gravitațională sînt cel puțin proporționale între ele. Astăzi se consideră că masa inertă este echivalentă cu masa gravitațională.

În anul 1909 Eötvös a construit un aparat care putea detecta o diferență de $5 \cdot 10^{-6}$ în valoarea forței gravitaționale. El a aflat că masele inerte egale suferă totdeauna forțe gravitaționale egale în limitele preciziei aparatului său.

În fizica clasică, newtoniană, echivalența dintre masa gravitațională și masa inertă a fost considerată ca o coincidență remarcabilă fără vreo semnificație mai adîncă. În fizica modernă, însă, echivalența masei grele și a masei inerciale este considerată un fapt fundamental care duce la o înțelegere mai profundă a gravitației.

3.8.2. **Satelii artificiali.** Să considerăm un punct A situat în câmpul gravitațional al Pământului la distanța r de centrul acestuia (fig. 3.78). Un corp de masă m lăsat

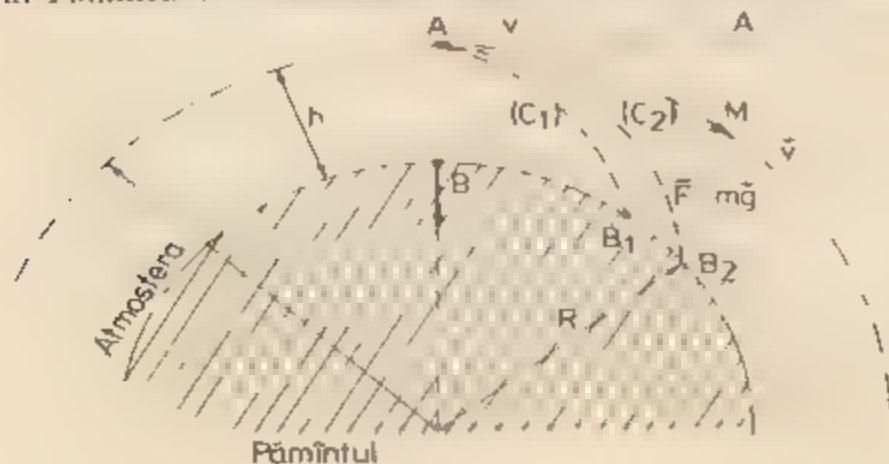


Fig. 3.78. Există o valoare a vitezei cu care un corp lansat din A se deplasează pe o traiectorie ce înconjură Pământul devenind satelit artificial.

liber în punctul A , se va mișca după direcția razei r , adică după linia de câmp, și va cădea în punctul B de la suprafața Pământului. Dacă în punctul A corpul are o viteză \vec{v} orientată perpendicular pe direcția intensității câmpului gravitațional $\vec{\Gamma}$ din acel punct atunci el se mișcă descriind o traiectorie curbă care nu mai coincide cu direcția liniei de câmp. Pentru o anumită viteză \vec{v}_1 a corpului, acesta se va deplasa pe curba C_1 și va ajunge pe Pământ în punctul B_1 . Pentru o altă viteză $v_2 > v_1$, corpul se va deplasa pe o curbă C_2 și va ajunge în B_2 . Se observă, că pe măsură ce viteza \vec{v} crește, corpul ajunge pe Pământ într-un punct din ce în ce mai depărtat de B . Înseamnă că poate să existe o astfel de valoare a vitezei \vec{v} pentru care corpul nu mai ajunge pe Pământ ci descrie o mișcare circulară în jurul Pământului. Un astfel de corp se numește *satelit artificial al Pământului*.

Ciad satelitul descrie o mișcare circulară în jurul Pământului, în fiecare punct al traiectoriei, direcția vectorului viteză \vec{v} este perpendiculară pe direcția intensității câmpului gravitațional radial. Accelerația centripetă a satelitului $a = v^2/r$ este imprimată de forța gravitațională a Pământului, $F = m\Gamma$. Din legea a doua a dinamicii avem

$$F = ma \text{ și } \frac{mv^2}{r} = m\Gamma, \text{ de unde rezultă } \frac{v^2}{r} = \Gamma(r).$$

Deci pentru a descrie o traiectorie de rază r viteza satelitului trebuie să ajungă la valoarea:

$$v = \sqrt{r\Gamma(r)}, \quad (3.71)$$

unde $\Gamma(r)$ este intensitatea câmpului gravitațional în punctele corespunzătoare traiectoriei satelitului. Ea este numeric egală cu valoarea g a accelerației gravitaționale din acel loc $\Gamma(r) = g(r)$.

Un satelit artificial al Pământului care are traiectoria în imediata vecinătate a suprafeței lui trebuie să aibă viteza $v_0 = \sqrt{R \cdot g_0} = 7,9 \text{ km/s}$, unde $R = 6400 \text{ km}$ este raza Pământului și $g_0 = 9,8 \text{ m/s}^2$ este accelerația gravitațională la suprafața Pământului. Valoarea $v_0 = 7,9 \text{ km/s}$ se numește *prima viteză cosmică* și este o valoare caracteristică câmpului gravitațional al Pământului.

Dacă satelitul se află la distanța $r = R + h$ de centrul Pământului din relațiile

$$\Gamma = g(r) = k \frac{M_P}{(R + h)^2} \text{ și } \Gamma_0 = g_0(R) = K \frac{M_P}{R^2} \text{ rezultă,}$$

$$g(r) = g_0 \frac{R^2}{(R + h)^2}$$

și înlocuind în expresia lui v se obține:

$$v = R \sqrt{\frac{g_0}{R + h}}.$$

Pentru ca traiectoria satelitului să fie relativ stabilă este necesar ca asupra lui să nu se exercite forțe de frecare cu aerul (forțe perturbatoare) motiv pentru care altitudinea h la care se plasează un satelit este mare, de ordinul a 10^2 km , acolo unde rarefierea aerului este pronunțată (mare).

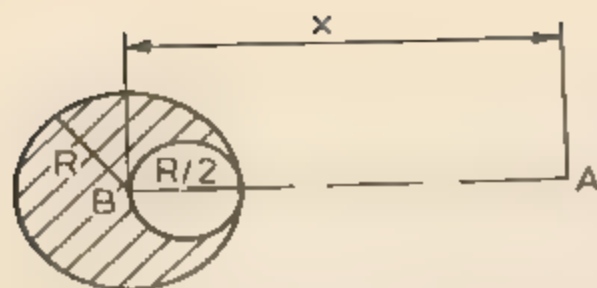


Fig. 8.79. La problema rezolvată.

$x \gg R$ vom considera atât sfera cil și cavitatea sferică drept puncte materiale situate în centrele sferelor.

Distingem două cazuri:

a) punctul material se află de aceeași parte cu cavitatea (fig. 8.79). În acest caz forțele de interacție sînt F_1, F_2 iar rezultanta lor este:

$$F = F_1 - F_2, \quad (1)$$

unde $F_1 = K \frac{m_1 m_2}{x^2}$ și $F_2 = K \frac{m_1 m_2}{8(x - R/2)^2}$ și înlocuind în (1)

$$F = \frac{K m_1 m_2}{8} \cdot \frac{7x^3 - 8xR + 2R^2}{x^3(x - R/2)^2};$$

b) punctul material se află în partea opusă cavității. Avem în acest caz:

$$F' = F'_1 - F'_2, \quad (1')$$

unde $F'_1 = K \frac{m_1 m_2}{x^2}$ și $F'_2 = K \frac{m_1 m_2}{8\left(x + \frac{R}{2}\right)^2}$ și înlocuind în (1') avem:

$$F' = \frac{K m_1 m_2}{8} \cdot \frac{7x^3 + 8xR + 2R^2}{x^3\left(x + \frac{R}{2}\right)^2}.$$

ÎNTREBĂRI. EXERCIIII. PROBLEME

1. Considerînd Pămîntul și Luna două corpuri punctiforme, explicați cum variază greutatea unui cosmonaut într-o călătorie cu mișcare rectilinie uniformă de la Pămînt la Lună.
2. Explicați de ce toate corpurile cad la fel de repede în vid cu toate că forța de atracție gravitațională este proporțională cu masa lor.
3. Undeva, într-un punct de pe suprafața Pămîntului se așază un tun uriaș. Se poate lansa un satelit artificial al Pămîntului folosind acest tun? (Se neglijează dificultățile tehnice și frecările cu aerul.)
4. Se confecționează un proiectil suficient de mare ca să încapă în el oameni și materiale. Proiectilul este lansat în vid dintr-un tun special. Pasagerii afirmă că la un moment dat au început să mai simtă atracția gravitațională. Cînd a fost posibil acest lucru?

R: tot timpul (din momentul părăsirii tunului pînă la atingerea Pămîntului).

5. Un corp cu masa $m_1 = 800 \text{ kg}$ se află la distanța $r = 0,25 \text{ m}$ de un alt corp cu masa $m_2 = 600 \text{ kg}$. Să se calculeze intensitatea cîmpului gravitațional într-un punct situat la $r_1 = 0,20 \text{ m}$ de m_1 și la distanța $r_2 = 0,15 \text{ m}$ de m_2 .

$$\text{R: } \Gamma = \sqrt{\Gamma_1^2 + \Gamma_2^2 + 2 \Gamma_1 \Gamma_2 \cos \alpha}, \quad \Gamma_1 = K \frac{m_1}{r_1^2}, \quad \Gamma_2 = K \frac{m_2}{r_2^2}, \\ \cos \alpha = 0, \quad \Gamma = 2,2 \cdot 10^{-3} \text{ N/kg.}$$

6. Cunoștînd că distanța dintre Pămînt și Lună este $d = 384 \cdot 10^3 \text{ km}$ și că $m_P = 81 m_L$, să se afle la ce distanță de centrul Lunii cîmpul gravitațional rezultat este nul

$$\text{R: } x = \frac{d}{1 + \sqrt{m_P/m_L}} = \frac{d}{10} = 38,4 \cdot 10^3 \text{ km.}$$

7. Două corpuri sferice cerești au raportul razelor $1/2$ iar raportul accelerațiilor gravitaționale $3/2$. Știind că valoarea masei primului corp este M_1 se cere să se determine masa celui alt corp ceresc M_2 .

$$\text{R: } M_2 = M_1 \frac{g_2}{g_1} \left(\frac{R_2}{R_1} \right)^2 = \frac{8}{3} M_1.$$

8. Știind că raza Soarelui este R și densitatea medie a materiei solare este ρ_s , să se determine distanța Pămînt-Soare, dacă perioada de rotație a Pămîntului în jurul Soarelui este T .

$$\text{R: } d^3 = \frac{KR^3 \rho_s}{3\pi} \cdot T^3.$$

9. De pe o planetă cu raza $R = 1/8$ din raza Pămîntului, trebuie lansat un satelit artificial pe o orbită circulară la înălțimea $h = 600 \text{ km}$. Știind că masa planetei este $m = 8 \cdot 10^{21} \text{ kg}$ să se calculeze a) viteza tangențială care trebuie imprimată satelitului; b) viteza unghiulară și c) perioada lui de rotație.

$$\text{R: } v = \sqrt{\frac{Km}{R+h}} \approx 0,6 \text{ km/s}; \quad \omega = \frac{v}{R+h} \approx 0,75 \cdot 10^{-3} \text{ rad/s}; \quad T = \frac{2\pi}{\omega} \approx 8320 \text{ s.}$$

4

4.1. LUCRUL MECANIC EFECTUAT LA MIȘCAREA PUNCTULUI MATERIAL ÎNTR-UN CÂMP DE FORȚE

4.1.1. Noțiunea de lucru mecanic. În activitatea sa fizică, omul întrebun-
tează fie propria sa forță musculară, fie aceea a animalelor de muncă sau a
mașinilor, cu scopul de a pune în mișcare o uncăltă, un vehicul prin învinge-
rea unei alte forțe, care se opune mișcării, sau inerției.

Astfel, un muncitor acționează asupra unui cărucior deplasându-l
(fig.4.1). Forța \vec{F} cu care acționează muncitorul asigură deplasarea
căruciorului învingând forța de frecare.

În toate procesele în care se transmite mișcarea de la un corp la alt corp,
un rol esențial îl joacă o mărime fizică numită *lucru mecanic*.

Măsura lucrului mecanic este legată de noțiunea de forță și de deplasarea
punctului de aplicație al forței.

Se spune că o forță efectuează lucru mecanic cînd aceasta acționează asu-
pra unui corp își deplasează punctul de aplicație pe o anumită distanță.

**4.1.2. Lucrul mecanic al unei forțe constante al cărei punct de aplicație
se deplasează pe suportul său.** Un corp ale cărui deplasări în spațiu sînt lini-

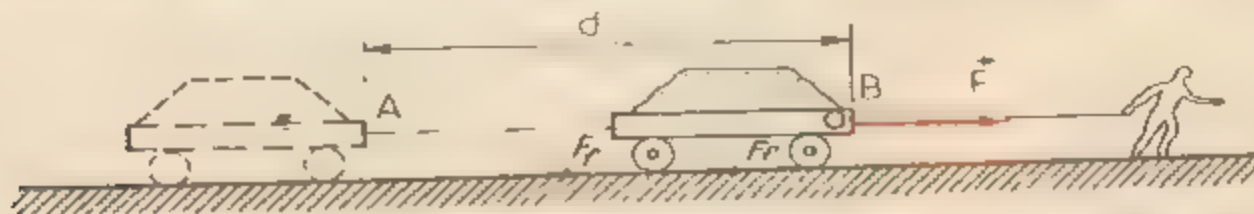
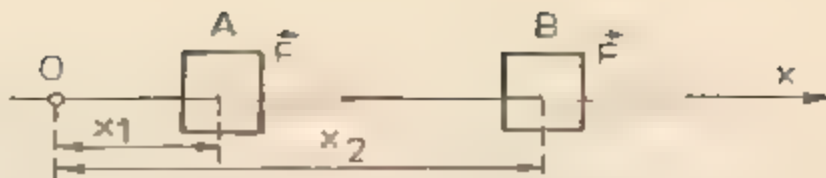


Fig. 4.1. Un om deplasează un cărucior pe un drum orizontal. Lucrul mecanic
efectuat în timpul acestei deplasări este determinat de forța de tracțiune \vec{F}
și de deplasarea punctului de aplicație al acesteia pe distanța d .

Fig. 4.2. Lucrul mecanic efectuat de forța \vec{F} pentru o deplasare d a punctului său de aplicatie pe suportul său este: $L = Fd$



tate de către alte corpuri de care este legat sau cu care este în contact, se numește corp supus la legături sau neliber. Exemple: o ușă fixată în balamale, o lustră fixată printr-o tijă de tavan, un vagon de tren care se mișcă pe șine.

Un corp care nu este legat de alte corpuri și care se poate deplasa în orice direcție din spațiu se numește corp liber. Exemple: un balon care plutește în aer, un elicopter în timpul zborului.

Să considerăm un corp liber asimilat cu un punct material, care este acționat de o forță constantă \vec{F} și care îl deplasează pe distanța d între două puncte A și B , de coordonate x_1 și x_2 . Corpul fiind liber se deplasează pe direcția și în sensul forței (fig. 4.2).

produsul dintre mărimea forței și mărimea deplasării

$$L = Fd, \quad (4.1)$$

unde $d = x_2 - x_1$ este distanța dintre punctele A și B , între care se deplasează punctul de aplicatie al forței.

Forța care produce mișcarea se numește *forță motoare*, iar forța care se opune mișcării se numește *forță rezistentă*. Lucrul mecanic al forței motoare se numește *lucru mecanic motor*, iar cel al forței rezistente se numește *lucru mecanic rezistent*.

Lucrul mecanic definit prin relația (4.1) se poate calcula și printr-o metodă grafică. Reprezentăm grafic variația forței \vec{F} în funcție de distanță, $F = f(x)$, într-un sistem de coordonate FOx . Forța F , fiind constantă între x_1 și x_2 graficul funcției $f(x)$ este o dreaptă paralelă cu axa Ox (fig. 4.3). Produsul $F(x_2 - x_1) = Fd$, reprezintă aria suprafeței limitată de curba $F = f(x)$ de axa Ox și de segmentele perpendiculare pe axa Ox în punctele $A(x_1, 0)$ și $B(x_2, 0)$. Acest produs este egal cu lucrul mecanic efectuat de forță pe distanța AB .

Această metodă de aflare a lucrului mecanic este valabilă și în cazul în care forța F nu este constantă.

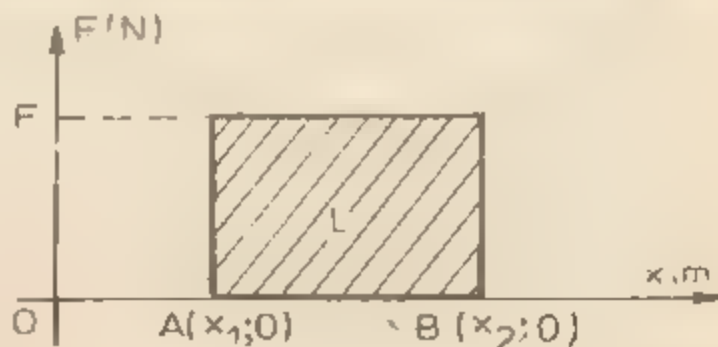


Fig. 4.3. Lucrul mecanic efectuat de forța constantă \vec{F} pe distanța $d = x_2 - x_1$ este egal cu aria suprafeței hășurate

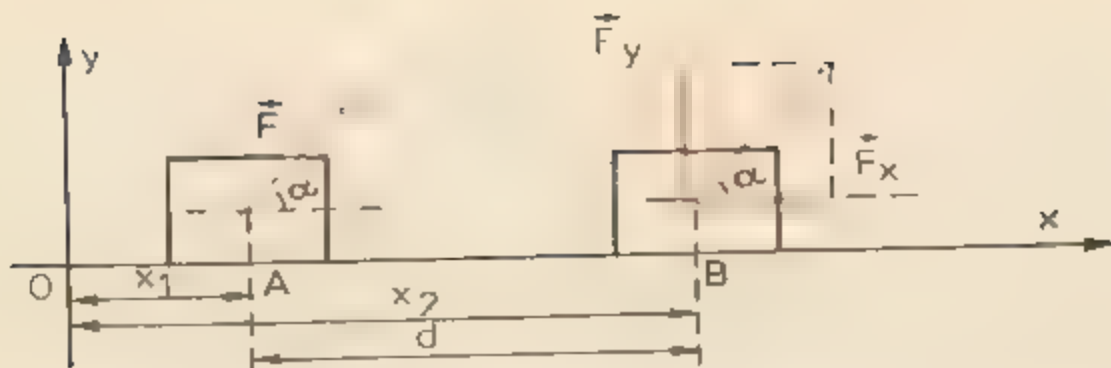


Fig. 4.4. Lucrul mecanic al forței \vec{F} , a cărei direcție este oblică în raport cu direcția deplasării, este egal cu produsul dintre componenta forței pe direcția deplasării și mărimea deplasării. $L = Fd \cos \alpha$.

Dacă în relația (4.1) se ia $F = 1 \text{ N}$ și $d = 1 \text{ m}$ se obține unitatea de lucru mecanic în SI, numită joule (J):

$$1 \text{ joule} = 1 \text{ newton} \times 1 \text{ metru.}$$

4.1.3 Lucrul mecanic al unei forțe constante a cărei direcție face un unghi cu direcția deplasării. Să considerăm un corp, asimilat cu un punct material, supus la legături, care se poate deplasa pe direcția Ox , sub acțiunea unei forțe \vec{F} , a cărei direcție face unghiul α cu direcția Ox .

Pentru calculul lucrului mecanic al forței \vec{F} , se poate folosi, și în acest caz, relația (4.1).

Se descompune forța \vec{F} în două componente, după direcțiile perpendiculare Ox și Oy (fig. 4.4):

$$F_x = F \cos \alpha; F_y = F \sin \alpha. \quad (4.2)$$

Lucrul mecanic al componentei F_y este zero deoarece ea nu produce nici o deplasare pe direcția Oy .

Corpul se deplasează pe distanța d , între punctele A și B de abscise x_1 și x_2 sub acțiunea componentei F_x . Lucrul mecanic produs de această componentă este:

$$L = F_x d = Fd \cos \alpha, \quad (4.3)$$

unde $d = x_2 - x_1$.

Dacă unghiul α este ascuțit (fig. 4.5, a), forța \vec{F} contribuie la deplasarea punctului material, aceasta este o forță motoare și efectuează un lucru mecanic motor; $\cos \alpha > 0$ deci $L = Fd \cos \alpha > 0$, pentru $\alpha = 0$, $L = Fd$ și pentru

$$\alpha = \frac{\pi}{2}, L = 0$$

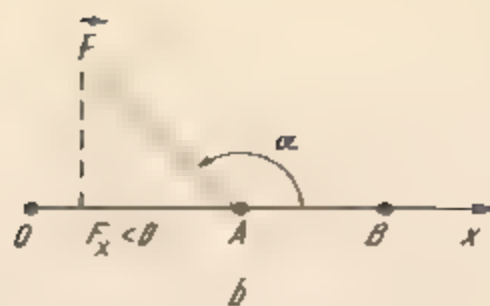
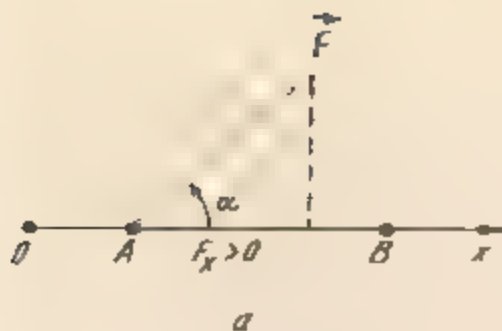


Fig. 4.5. Când forța \vec{F} face un unghi $\alpha < \frac{\pi}{2}$ cu direcția deplasării efectuează un lucru mecanic motor, $L > 0$, pentru $\frac{\pi}{2} < \alpha < \frac{3}{2}\pi$ forța \vec{F} efectuează un lucru mecanic rezistent, $L < 0$.

Dacă unghiul $\frac{\pi}{2} < \alpha < \frac{3\pi}{2}$ (fig. 4.5, b), forța \vec{F} se opune deplasării. \vec{F} este o forță rezistentă și efectuează un lucru mecanic rezistent; în acest caz $\cos \alpha < 0$, deci $L = Fd \cos \alpha < 0$; pentru $\alpha = \pi$, $L = -Fd$.

EXEMPLE

1. Un om pune în mișcare, pe o suprafață orizontală, un corp cu masa $m = 20 \text{ kg}$, acționând asupra lui cu o forță $F = 50 \text{ N}$, a cărei direcție face cu orizontala un unghi $\alpha = 37^\circ$ ($\cos 37^\circ = 0,8$). Acțiunea omului asupra corpului durează 3 secunde. Neglijând forțele de frecare, să se calculeze lucrul mecanic efectuat de om asupra corpului.
Rezolvare a) *Calculul deplasării corpului.* Vom calcula mai întâi accelerația corpului aplicând relația fundamentală a dinamicii (fig. 4.6):

$$\vec{N} + m\vec{g} + \vec{F} = m\vec{a}. \quad (4.1)$$

Proiectând relația (4.1) pe direcția deplasării (pe direcția Ox), obținem

$$F_x = F \cos \alpha = ma,$$

de unde:

$$a = \frac{50 \text{ N} \cdot 0,8}{20 \text{ kg}} = 2 \text{ m/s}^2.$$

În 3 secunde corpul s-a deplasat pe distanța

$$d = v_0 t + \frac{1}{2} at^2 = \frac{1}{2} \cdot 2 \cdot 9 = 9 \text{ m}; v_0 = 0.$$

b) *Calculul lucrului mecanic.* Calculăm lucrul mecanic aplicând relația (4.3).

$$L = Fd \cos \alpha = 50 \cdot 9 \cdot 0,8 = 360 \text{ J}.$$

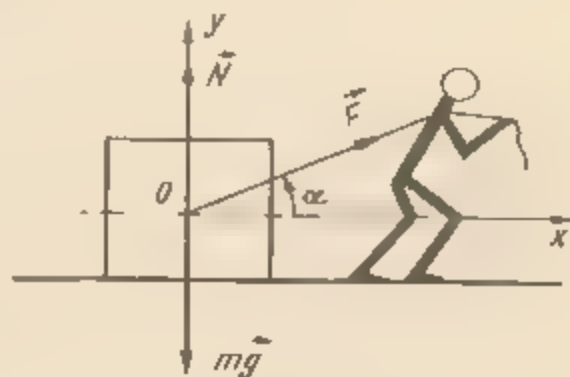


Fig. 4.6. La exemplul 1.

2. Un copil trage o sanie de masă $m = 4 \text{ kg}$, cu o forță \vec{F} care face cu direcția deplasării un unghi α , imprimându-i o accelerație $a = 3 \text{ m/s}^2$.

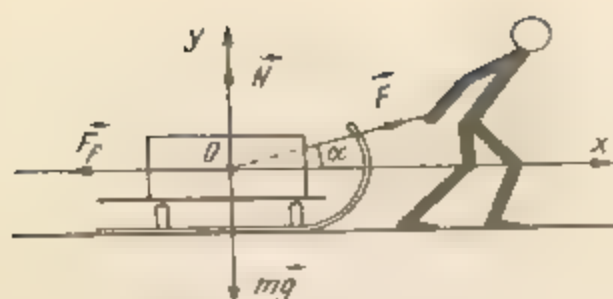


Fig. 4.7. La exemplul 2.

Dacă forța de frecare dintre sanie și zăpadă este $F_f = 5 \text{ N}$, ce lucru mecanic a efectuat copilul asupra saniei, pe distanța $d = 4 \text{ m}$?

Rezolvare. a) Calculul forței care produce lucrul mecanic. Forța $F_x = F \cos \alpha$, care produce lucrul mecanic o determinăm aplicând relația fundamentală a dinamicii, la mișcarea saniei (fig. 4.7).

$$\vec{F}_f + \vec{N} + \vec{F} + m\vec{g} = m\vec{a}. \quad (4.5)$$

Proiectând relația (4.5) pe direcția deplasării, adică pe direcția Ox, obținem:

$$-F_f + F \cos \alpha = ma; F \cos \alpha = ma + F_f.$$

b) Calculul lucrului mecanic. Lucrul mecanic produs de forța F este dat de relația:

$$L = (F_f + ma) \cdot d = (5 \text{ N} + 4 \text{ kg} \cdot 3 \text{ m/s}^2) \cdot 4 \text{ m} = 68 \text{ J}$$

4.1.4. Produsul scalar a doi vectori. Vom defini o nouă operație cu vectori și anume o operație de înmulțire a vectorilor.

Regulile de înmulțire a vectorilor sînt diferite de regulile de înmulțire a mărimilor scalare. Se pot defini două feluri de produse a doi vectori:

- a) *produsul scalar*, al cărui rezultat este o mărime scalară;
- b) *produsul vectorial*, al cărui rezultat este o mărime vectorială

Produsul vectorial urmează să fie definit în capitolul 6 (§ 6.1); acum vom defini produsul scalar a doi vectori.

Să considerăm doi vectori \vec{a} și \vec{b} , orientați după direcțiile (D_1) și (D_2) care fac între ei unghiul α (fig. 4.8).

Astfel:

$$s = \vec{a} \cdot \vec{b} = ab \cos \alpha. \quad (4.6)$$

Relația (4.6) se mai poate scrie și astfel:

$$s = (a \cos \alpha)b = a(b \cos \alpha) = a_1 b = ab_1,$$

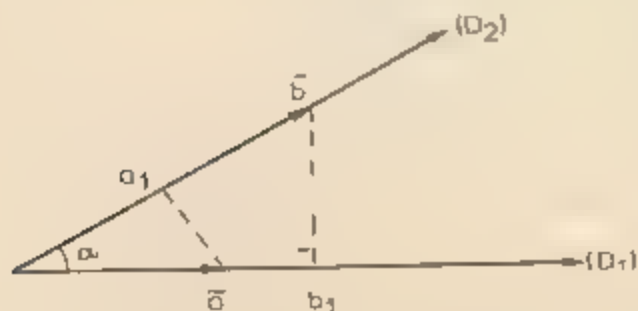


Fig. 4.8. Produsul scalar a doi vectori \vec{a} și \vec{b} este numărul real $\vec{a} \cdot \vec{b} = ab \cos \alpha$

unde $a_1 = a \cos \alpha$ reprezintă componenta vectorului \vec{a} pe direcția (D_2) , iar $b_1 = b \cos \alpha$ este componenta lui \vec{b} pe direcția (D_1) .

Prin urmare produsul scalar a doi vectori este egal cu produsul dintre modulul unuia dintre ei prin componenta celuilalt pe direcția primului vector.

Analizând relația (4.6) observăm că:

a) produsul scalar este zero, ($\vec{a} \cdot \vec{b} = 0$), fiind unul dintre vectori are modulul egal cu zero ($a = 0$ sau $b = 0$), sau fiind vectorii sînt perpendiculari

$$\left(\alpha = \frac{\pi}{2}, \cos \frac{\pi}{2} = 0\right);$$

b) produsul scalar este maxim fiind vectorii sînt paraleli ($\alpha = 0$, $\cos 0 = 1$);

c) produsul scalar este comutativ:

$$\vec{a} \cdot \vec{b} = \vec{b} \cdot \vec{a} = ab \cos \alpha;$$

d) produsul scalar are și proprietatea de distributivitate față de adunare

$$\vec{a} \cdot (\vec{b} + \vec{c}) = \vec{a} \cdot \vec{b} + \vec{a} \cdot \vec{c}.$$

Produsul scalar al unui vector prin el însuși este dat de relația:

$$\vec{a} \cdot \vec{a} = \vec{a}^2 = a^2; a = \sqrt{\vec{a} \cdot \vec{a}}. \quad (4.7)$$

Aplicăm această proprietate a produsului scalar pentru a obține modulul rezultatelor a doi vectori. Notînd cu \vec{c} suma vectorilor \vec{a} și \vec{b} , adică $\vec{c} = \vec{a} + \vec{b}$ și făcînd produsul scalar al vectorului \vec{c} prin el însuși, obținem:

$$\vec{c} \cdot \vec{c} = (\vec{a} + \vec{b})^2 = \vec{a}^2 + 2\vec{a} \cdot \vec{b} + \vec{b}^2,$$

de unde

$$c^2 = a^2 + b^2 + 2ab \cos \alpha,$$

unde α este unghiul dintre cei doi vectori.

Notînd cu \vec{d} vectorul diferență al vectorilor \vec{a} și \vec{b} , adică $\vec{d} = \vec{a} - \vec{b}$, și făcînd produsul scalar al vectorului \vec{d} prin el însuși, obținem:

$$\vec{d} \cdot \vec{d} = (\vec{a} - \vec{b})^2 = \vec{a}^2 - 2\vec{a} \cdot \vec{b} + \vec{b}^2,$$

din care rezultă

$$d^2 = a^2 + b^2 - 2ab \cos \alpha.$$

Ținînd seamă de relația de definiție a produsului scalar (4.6), putem spune că *lucrul mecanic al unei forțe constante \vec{F} , care și deplasează punctul de aplicație pe distanța d este egal cu produsul scalar al vectorilor \vec{F} și \vec{d} , deci*

$$L = \vec{F} \cdot \vec{d} = Fd \cos \alpha. \quad (4.8)$$

Dacă forța și deplasarea au același sens lucrul mecanic este pozitiv (lucru mecanic motor), iar dacă forța și deplasarea sînt de sensuri opuse lucrul mecanic este negativ (lucru mecanic rezistent)

Din proprietatea de distributivitate a produsului scalar, față de adunare, rezultă că lucrul mecanic al rezultantei \vec{R} a unui sistem de forțe concurente $\vec{F}_1, \vec{F}_2, \dots, \vec{F}_n$ este egal cu suma lucrurilor mecanice ale forțelor componente

$$L = \vec{R} \cdot \vec{d} = (\vec{F}_1 + \vec{F}_2 + \dots + \vec{F}_n) \cdot \vec{d} = \vec{F}_1 \cdot \vec{d} + \vec{F}_2 \cdot \vec{d} + \dots + \vec{F}_n \cdot \vec{d};$$

$$L = L_1 + L_2 + \dots + L_n.$$

4.1.5. Lucrul mecanic al forței de greutate. Să considerăm o regiune restrinsă din apropierea Pământului în care câmpul gravitațional este uniform. În această regiune liniile de câmp sînt drepte paralele, iar accelerația gravitațională este constantă, adică are în toate punctele aceeași mărime, direcție și sens. Greutatea unui punct material care se mișcă în acest câmp rămîne constantă în tot timpul mișcării lui.

Într-un punct A al acestui câmp, la înălțimea h față de suprafața Pământului, se află un corp de masă m , asimilat cu un punct material. Punctul material se poate deplasa de la nivelul A la nivelul B , pe verticală, sau urmînd unul dintre drumurile următoare: CD , $FGHIJKL$ sau NO (fig. 4.9).

Vom calcula lucrul mecanic al greutății corpului, cînd acesta cade liber pe verticală și apoi cînd corpul se deplasează pe planul înclinat CD , considerînd frecarea neglijabilă.

Lucrul mecanic al greutății pe distanța $AB = h$ este

$$L = mgh. \quad (4.9)$$

Lucrul mecanic al greutății corpului, cînd acesta se deplasează pe distanța $CD = l$, se poate calcula aplicînd formula (4.1). În acest scop, înlocuim greutatea cu componentele sale $G_t = G \sin \alpha$ pe planul înclinat și $G_n = G \cos \alpha$, normală pe planul înclinat.

Reacțiunea normală \vec{N} a planului înclinat și forța componentă \vec{G}_n nu efectuează lucru mecanic. Prin urmare, efectuează lucru mecanic numai forța componentă \vec{G}_t :

$$L = G_t l = mgl \sin \alpha = mgh, \quad (4.10)$$

deoarece $l \sin \alpha = h$.

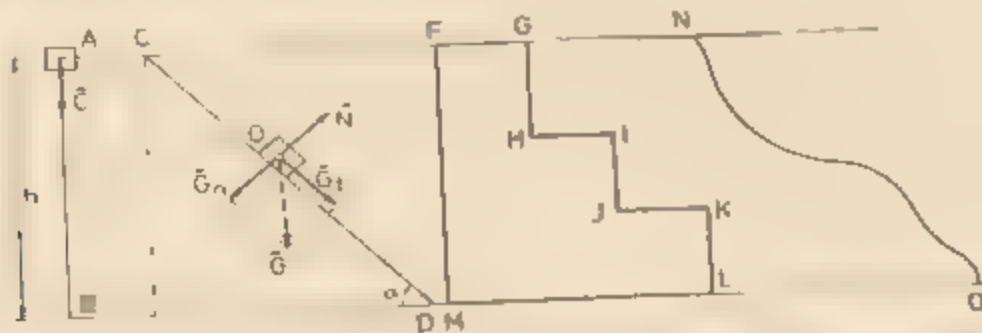


Fig. 4.9. Lucrul mecanic al greutății este egal cu produsul dintre nodulul său prin diferența de nivel dintre punctul inițial și punctul final al drumului urmat de punctul său de aplicație (centrul de greutate): $L = mgh$.

Rezultă că:

ex. 1.

Greutatea efectuează același lucru mecanic fie că se deplasează pe drumul AB , fie pe drumul FG , KL sau pe drumul NO .

O forță care acționând asupra unui punct material, efectuează un lucru mecanic independent de drumul parcurs și de legea după care se mișcă punctul material și depinde numai de pozițiile punctelor extreme ale traiectoriei se numește *forță conservativă*. Exemple de forțe conservative: greutatea, forța elastică, forța electrostatică etc.

O regiune din spațiu limitată sau nelimitată, unde în fiecare punct se face simțită acțiunea unei forțe determinată în modul, direcție și sens (punem că formează un câmp de forțe. Câmpul ale cărui forțe sînt conservative se numește *câmp de forțe conservativ*. Câmpul gravitațional este un exemplu de câmp de forțe conservativ, nelimitat, creat în jurul unei mase gravitaționale. Forța care se face simțită în acest câmp este forța de atracție gravitațională exercitată asupra corpurilor plasate în punctele câmpului.

EXEMPLE

1. Se transportă un punct material de masă m , în câmpul gravitațional uniform, pe drumul închis $FGHLMF$ (fig. 4.9). În timpul acestei deplasări asupra punctului material acționează mai multe forțe, printre care greutatea și forța de frecare. Să se calculeze lucrul mecanic al greutății și lucrul mecanic al forței de frecare pe acest drum închis.

Rezolvare: a) *Calculul lucrului mecanic al greutății.* Calea dăm mai întâi la corde mecanice parțiale pe diferitele porțiuni de drum:

$L_{FG} = 0$, forța este perpendiculară pe deplasare

$L_{GH} = mg \cdot GH$; $L_{HI} = 0$; $L_{IJ} = mg \cdot IJ$; $L_{JK} = 0$; $L_{KL} = mg \cdot KL$; $L_{LM} = 0$;

$L_{MF} = -mg \cdot MF$, lucru mecanic rezistent.

Lucrul mecanic efectuat de greutate pe întreg drumul este egal cu suma lucrurilor mecanice parțiale:

$$L_{PF} = mg (GH + IJ + KL - MF) = 0,$$

deoarece segmentul MF este egal cu suma segmentelor GH , IJ și KL . Rezultă că lucrul mecanic al greutății pe un drum închis este egal cu zero.

b) *Calculul lucrului mecanic al forței de frecare.* În cazul exemplului prezentat în figura 4.9, forța de frecare este paralelă cu deplasarea și de sens opus mișcării. Deci, lucrul mecanic al forței de frecare este egal cu produsul dintre mărimea acestei forțe și lungimea drumului total parcurs de punctul material:

$$L_{F_f} = F_f \cdot (FG + HI + JK + LM + MF),$$

pe GH , IJ și KL forța de frecare fiind nulă.

Lucrul mecanic al forței de frecare depinzînd de lungimea drumului parcurs, rezultă că forța de frecare nu este o forță conservativă. Se spune că forța de frecare este o *forță disipativă*.

2. Un copil aruncă o minge cu masa $m = 100 \text{ g}$ pe verticală, cu viteză inițială $v_0 = 10 \text{ m/s}$ din care a fost aruncată. Mingea atinge înălțimea maximă $h_m = 5 \text{ m}$. Să se calculeze lucrul mecanic al greutății în timpul urcării mingei la înălțimea h_m , la coborrea mingei pe aceeași distanță și pe toată distanța parcursă de minge. Se va lua $g = 10 \text{ m/s}^2$.

Rezolvare a) Lucrul mecanic al greutății mingei, în timpul urcării acesteia, este un lucru mecanic rezistent, dat de relația:

$$L_{\text{a}} = -mgh_m = -5 \text{ J}.$$

b) În timpul coborîrii mingei greutatea acesteia efectuează un lucru mecanic motor

$$L_{\text{c}} = mgh_m = 5 \text{ J}.$$

c) Lucrul mecanic al greutății, pe tot parcursul, este:

$$L = L_{\text{a}} + L_{\text{c}} = -5 \text{ J} + 5 \text{ J} = 0$$

4.1.6 Lucrul mecanic al forței elastice. Am studiat lucrul mecanic al forțelor constante, însă în practică întâlnim foarte des forțe care variază în funcție de poziția corpului asupra cărora ele acționează. Un exemplu de astfel de forță este forța elastică:

$$F = -kx, \quad (4.11)$$

unde k este constanta elastică a resortului și x este deformarea resortului. Forța elastică este egală și de sens opus forței deformatoare $F_1 = kx$.

În timpul deformării resortului, se deplasează pe distanța x , atât punctul de aplicare al forței deformatoare F_1 , cât și cel al forței elastice F . Ambele forțe efectuează lucru mecanic. La adăugarea celor două lucruri mecanice, lucrul mecanic al forței deformatoare F_1 este un lucru mecanic motor, pe când cel al forței elastice F este un lucru mecanic rezistent. Așadar, două lucruri mecanice sunt egale și de semn contrar.

Lucrul mecanic L al unei forțe variabile $F = f(x)$ a cărei punct de aplicare se deplasează pe distanța AB (fig. 4.10, a și b), este egal cu aria S , cuprinsă de linia $f = f(x)$ și un segment din axa Ox și, dacă ordonatele corespund punctelor A și B , înecăm între $x = a$ și $x = b$, $f(x) = 0$ și $f(x) = f_2$.

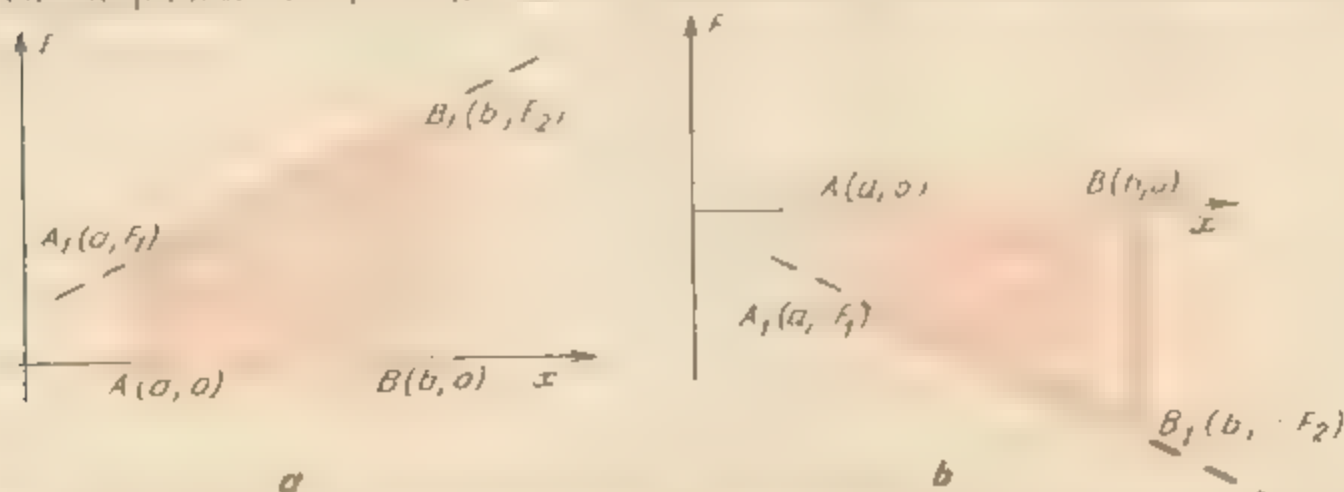


Fig. 4.10. a) Aria S sub $f = f(x)$ și x din $x = 0$ la $x = b$, unde $f_2 = f(b)$, este egală cu S dacă S este negativă dacă se află sub axa Ox .

este pozitivă, deci și lucrul mecanic este pozitiv (fig. 4.10, a), iar dacă $f(x) \leq 0$, atunci aria S este negativă, deci și lucrul mecanic este negativ (fig. 4.10, b).

Vom calcula lucrul mecanic al forței elastice $F = -kx$ folosind graficul de variație al acestei forțe în funcție de x , într-un sistem de coordonate FOx (fig. 4.11). Graficul funcției $F = -kx$ este o dreaptă care trece prin originea axelor de coordonate

Lucrul mecanic al forței elastice este egal cu aria suprafeței limitată de dreapta $F = -kx$ și segmentele de dreaptă OA și AA_1 , deci este egal cu aria triunghiului AA_1O :

$$L = \frac{AA_1 \cdot OA}{2} = \frac{kx \cdot x}{2}.$$

Așadar:

$$L = -\frac{kx^2}{2}. \quad (4.12)$$

Din relația (4.12) rezultă că lucrul mecanic al forței elastice depinde numai de poziția punctului inițial și a celui final din drumul parcurs de punctul de aplicare al forței. Deci forța elastică este o forță conservativă. Forțele din natură care pot fi considerate un caz de forțe conservative sunt forțele

EXEMPLE

1. O forță variabilă în funcție de deplasare, variând în funcție de deplasare după legea $F = 3x$, unde F este în newtoni, iar x în metri, acționează asupra unui corp. Se calculeze lucrul mecanic efectuat de forță în timpul deplasării de la $x_1 = 0$ la $x_2 = 6$ metri.

Rezolvare. Lucrul mecanic efectuat de forță este egal cu aria suprafeței limitată de dreapta $F = 3x$, de segmentul AB și de ordonatele $F(x_1) = AA_1$ și $F(x_2) = BB_1$ (fig. 4.12). Prin urmare lucrul mecanic al forței $F = 3x$ este egal cu aria trapezului AA_1B_1B :

$$L = \frac{AA_1 + BB_1}{2} \cdot AB = \frac{F(x_1) + F(x_2)}{2} (x_2 - x_1) = 48 \text{ J}.$$

Din relația de mai sus rezultă că lucrul mecanic al forței variabile $F = 3x$ poate fi calculat considerând aria suprafeței AA_1B_1B în funcție de deplasarea x și forța F la punctele de aplicare al forței.

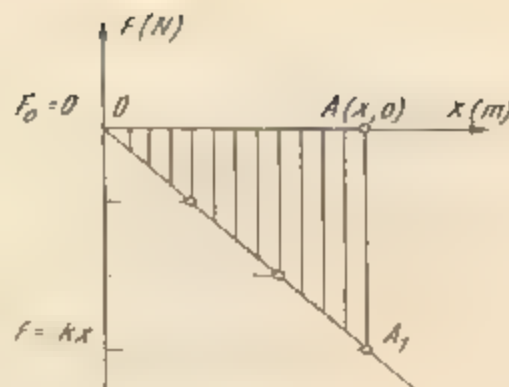


Fig. 4.11. Lucrul mecanic al forței elastice $F = -kx$, pentru $x \in [0, x_1]$ este egal cu aria suprafeței hășiate.

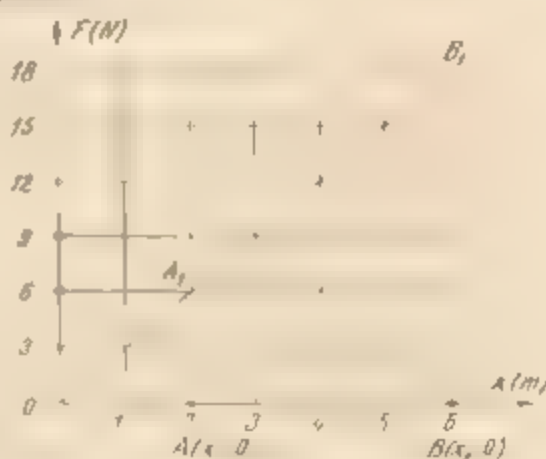


Fig. 4.12. La exemplul 1

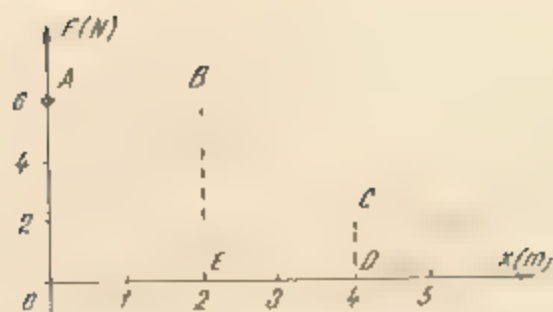


Fig. 4.13. La exemplul 2

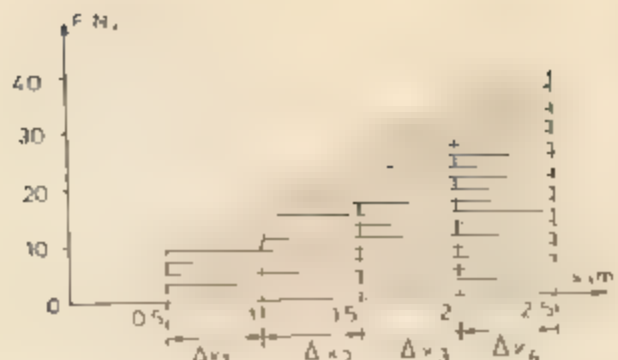


Fig. 4.14. Lucrul mecanic efectuat de forța variabilă F este: $L = \sum_{i=1}^n F_i \Delta x_i$.

2. O forță \vec{F} se exercită asupra unui corp variază în funcție de deplasarea punctului său de aplicație după cum se arată în graficul din figura 4.13. Ce lucru mecanic efectuează forța pe intervalul $[0 \text{ m}; 4 \text{ m}]$?

Rezolvare Lucrul mecanic al forței \vec{F} este egal cu aria suprafeței $OABCD$. Observăm că această suprafață se compune din dreptunghiul $OABEO$ și trapezul $EBCDE$. Valoarea lui rubu mecanic căutat este egală cu suma ariilor dreptunghiului $OABEO$ și trapezului $EBCDE$, deci:

$$L = OA \times OE + \frac{(BE + CD)}{2} ED,$$

$$L = 6 \text{ N} \cdot 2 \text{ m} + \frac{(6 \text{ N} + 2 \text{ N})}{2} \cdot 2 \text{ m} = 20 \text{ J}.$$

3. O forță variabilă F acționează asupra unui punct material, deplasându-l pe o anumită distanță Δx . În figura 4.14 este reprezentată variația forței în funcție de distanță, $F = f(x)$. Să se calculeze lucrul mecanic total efectuat de către forța \vec{F} , între limitele între care variază x , și care sunt indicate pe figură.

Rezolvare Lucrul mecanic total este egal cu aria suprafeței hășurate pe figură. Se împarte suprafața hășurată într-un număr de dreptunghiuri, de lățime Δx_i , astfel ca pe intervalul Δx_i , forța să fie constantă.

Lucrul mecanic total efectuat de forța \vec{F} este egal cu suma ariilor $F_i \Delta x_i$, a dreptunghiurilor, deci:

$$L = F_1 \Delta x_1 + F_2 \Delta x_2 + F_3 \Delta x_3 + F_4 \Delta x_4,$$

sau

$$L = (10 + 20 + 30 + 40) \cdot 0.5 = 50 \text{ J}.$$

4.1.7 Puterea. În considerațiile pe care le am făcut pînă acum nu am ținut seamă de timpul în care o forță efectuează un anumit lucru mecanic. Forța care produce lucrul mecanic se poate datora unui motor sau unei instalații. În activitatea practică, timpul în care o instalație sau un motor efectuează un anumit lucru mecanic prezintă o deosebită importanță.

Spre exemplu, să presupunem că o macara ridică o sarcină de 5 000 N la 2 metri înălțime în 50 secunde, iar alta ridică o sarcină de 8 000 N la 3 me-

la înălțime în 60 secunde. Se pune întrebarea care dintre cele două macarale este mai productivă?

Prima efectuează lucrul mecanic $L_1 = 5\,000\text{ N} \times 2\text{ m} = 10\,000\text{ J}$, iar într-o secundă produce un lucru mecanic de 200 J/s . A doua macara produce lucrul mecanic $L_2 = 8\,000\text{ N} \times 3\text{ m} = 24\,000\text{ J}$, iar pe secundă produce lucrul mecanic de 400 J/s . A doua macara este mai productivă deoarece produce un lucru mecanic mai mare în timp de o secundă, deci ea este mai puternică decât prima. Puterea este o mărime care caracterizează viteza cu care se efectuează un lucru mecanic.

Prin definiție, *puterea medie într-un interval de timp Δt este egală cu raportul dintre lucrul mecanic efectuat și timpul necesar producerii acestui lucru mecanic*:

$$P = \frac{\Delta L}{\Delta t}. \quad (4.13)$$

Am definit puterea medie deoarece, în general, lucrul mecanic nu se efectuează în mod uniform în timp.

În cazul când puterea este constantă, ea este dată de relația:

$$P = \frac{L}{t}. \quad (4.14)$$

Dacă în relația (4.14) se ia $L = 1$ joule și $t = 1$ secundă, se obține *unitatea pentru putere numită watt*, cu simbolul W:

$$1\text{ watt} = \frac{1\text{ joule}}{1\text{ secundă}}; \quad 1\text{ W} = \frac{1\text{ J}}{1\text{ s}}.$$

4.2. ENERGIA CINETICĂ. TEOREMA VARIAȚIEI ENERGIEI CINETICE A PUNCTULUI MATERIAL

4.2.1. Noțiunea de energie. Energia este o mărime fizică scalară ce caracterizează capacitatea unui corp sau a unui sistem de corpuri de a produce lucru mecanic.

Dacă un corp are capacitatea să efectueze lucru mecanic datorită unor factori mecanici cum ar fi schimbarea poziției lui într-un câmp de forțe, deformărilor sale sau accelerării sale spunem că posedă *energie mecanică*. Spre exemplu, un corp în cădere poate acționa mecanismul unui ceasornic punându-l în mișcare (fig. 4.15). Apa zăgăzuită de un baraj poate acționa paletele unei turbine punând în funcțiune un gater, o moară sau o hidrocentrală (fig. 4.16). Resortul comprimat, al unui pistol jucărie, prin destindere aruncă proiectilul la o anumită distanță.

Din exemplele date rezultă că un corp efectuează lucru mecanic numai dacă acesta trece dintr-o stare în alta. Astfel, resortul comprimat al pistolului jucărie efectuează lucru mecanic numai când acesta se destinde.

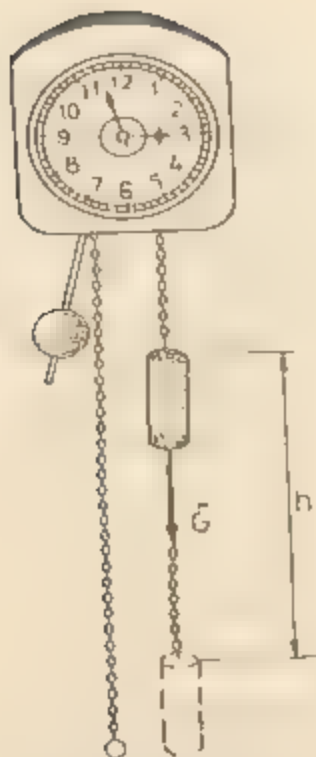


Fig. 4.15. Funcționarea ceasornicului reprezentat în figură este asigurată prin acțiunea unui corp în cădere asupra mecanismului său.

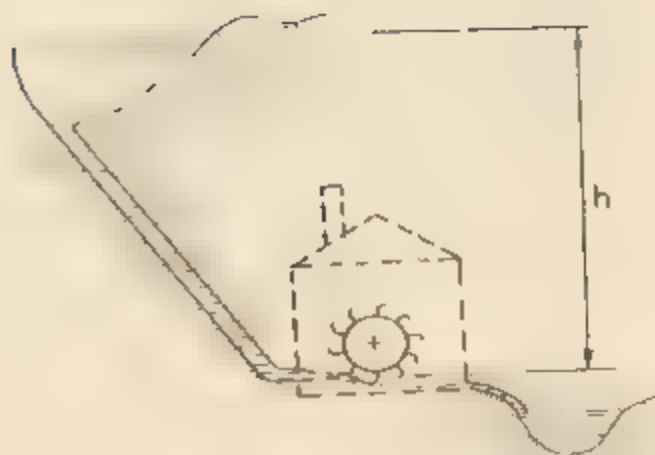


Fig. 4.16. Apa zgâzuită de barajul unei hidrocentrale are înmagazinată în ea energie. Această apă poate acționa paletele unei turbine producând un lucru mecanic.

Deoarece energia unui corp (sistem de corpuri) este legată de posibilitatea acestui corp (sistemului de corpuri) de a efectua lucru mecanic, este normal ca energia corpului (sistemului) să scadă când el efectuează lucru mecanic asupra altor corpuri și invers, să crească când se efectuează lucru mecanic asupra lui.

Fiecărei stări a corpului (sistemului) îi corespunde o energie, pe care o notăm cu E , iar la trecerea corpului (sistemului) din starea A în starea B energia variază cu valoarea:

$$\Delta E = E_B - E_A.$$

Variația ΔE (creșterea sau descreșterea) a energiei este măsurată prin lucrul mecanic efectuat în timpul acestei variații.

Energia este o mărime fizică de stare, caracterizând corpul (sistemul) într-o stare staționară. Lucrul mecanic caracterizează corpul (sistemul) când acesta ia parte la procesul de trecere dintr-o stare A într-o stare B . Deci, lucrul mecanic este o mărime de proces.

Energia mecanică E , pe care o studiem în continuare, are două părți: energia cinetică E_c , sau energia de mișcare, și energia potențială E_p , numită și energie de poziție sau energie de configurație.

Energia are aceeași unitate de măsură ca și lucrul mecanic (joule; J).

4.2.2. **Energia cinetică a punctului material.** Corpurile în mișcare posedă energie, deoarece acționind asupra altor corpuri le pot deplasa, deci pot să efectueze lucru mecanic.

Energia pe care o posedă un corp datorită mișcării sale (în raport cu un sistem de referință dat) se numește *energie cinetică*. Iată câteva exemple de corpuri care posedă energie cinetică: vântul, care reprezintă mișcarea unei mase de aer, prin acțiunea sa poate pune în mișcare o moară de vânt, o navă cu vele, poate smulge copaci din pământ sau poate avaria clădiri când viteza sa depășește o anumită valoare; un ciocan în mișcare care lovește un cui și îl introduce într-un material oarecare; o apă curgătoare (apa unui riu) care poate transporta pe suprafața sa plute făcute din trunchiuri de copaci.

Energia cinetică a unui corp este definită prin lucrul mecanic pe care trebuie să-l efectueze acest corp din momentul frinării sale și pînă la oprirea sa, sau prin lucrul mecanic efectuat pentru a-i imprima o anumită viteză.

Să considerăm un punct material în mișcare rectilinie uniform variată sub acțiunea unei forțe \vec{F} . Viteza punctului material variază pe distanța $d = x_2 - x_1$, dintre două puncte A și B de pe traiectorie, de la \vec{v}_1 la \vec{v}_2 (fig. 4.17). Legătura dintre cele două viteze este dată de formula lui Galilei.

$$v_2^2 - v_1^2 = 2ad. \quad (4.15)$$

Înlocuind în (4.15) accelerația a , prin valoarea sa dată de relația fundamentală a dinamicii $F = ma$, obținem:

$$\frac{mv_2^2}{2} - \frac{mv_1^2}{2} = Fd. \quad (4.16)$$

Termenul Fd reprezintă lucrul mecanic al forței \vec{F} pe distanța $d = x_2 - x_1$, deci

$$L_{AB} = \frac{mv_2^2}{2} - \frac{mv_1^2}{2}. \quad (4.17)$$

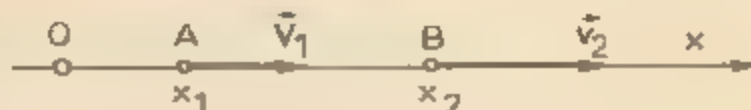
Din relația (4.17) rezultă că lucrul mecanic efectuat de forța \vec{F} care acționează asupra punctului material a contribuit la variația mărimii

$$E_c = \frac{1}{2} mv^2, \quad (4.18)$$

numită prin definiție *energia cinetică a punctului material*.

Deci,

Fig. 4.17. Lucrul mecanic efectuat de forța \vec{F} pe distanța AB este egal cu variația energiei cinetice între punctele A și B .



Relația (4.17) exprimă teorema variației energiei cinetice pe care o enunțăm astfel:

Împul acestei variații.

În concluzie, putem spune că energia cinetică a punctului material este o mărime care caracterizează mișcarea sa mecanică. Fiecărei stări de mișcare a punctului material îi corespunde o energie cinetică, iar la trecerea punctului material dintr-o stare de mișcare (1) într-o altă stare de mișcare (2) energia lui cinetică variază cu valoarea:

$$\Delta E_c = E_{c2} - E_{c1}.$$

Modificarea stării de mișcare a punctului material se datorează forței rezultante care acționează asupra lui. Încercăm să legăm lucrul mecanic L al forței rezultante este o măsură a efectelor acestei forțe în procesele de modificare a stării de mișcare. Deci, lucrul mecanic al forței rezultante este egal cu variația energiei cinetice a punctului material:

$$L = E_{c2} - E_{c1}. \quad (4.19)$$

EXEMPLE

1. Un om deplasează un corp cu masa $m = 50 \text{ kg}$, pe o suprafață orizontală cu viteză $v = 0,8 \text{ m/s}$ (fig. 4.18). Coeficientul de frecare dintre corp și suprafața orizontală este $\mu = 0,1$. Să se calculeze:

- forța de frecare exercitată de om asupra corpului, aplicând teorema variației energiei cinetice;
- puterea medie dezvoltată de om. Se dă $g = 10 \text{ m/s}^2$.

Rezolvare a) Lucrul mecanic rezultat, efectuat de forțele \vec{F} , \vec{F}_f , \vec{N} și \vec{G} care acționează asupra corpului, este o măsură a efectelor forțelor, pentru procesele însoțite de schimbarea vitezei corpului. Cum viteza corpului nu se modifică, lucrul mecanic rezultat este nul:

$$L = (\vec{F} + \vec{F}_f + \vec{G} + \vec{N}) \cdot \vec{d} = Fd - F_f d = 0. \quad (4.20)$$

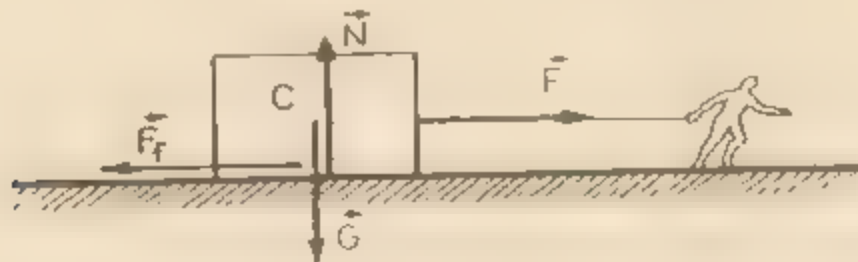


Fig. 4.18. La problema rezolvată.

Din relația (4.20) rezultă că lucrul mecanic al forței \vec{F} este egal cu lucrul mecanic al forței \vec{F}_f și de semn contrar. Aceste lucruri mecanice sînt o măsură a interacțiunii însoțite de modificarea poziției corpului. Cum corpul se deplasează, aceste lucruri mecanice sînt diferite de zero. Din relația (4.20) obținem:

$$F = F_f = \mu mg = 50 \text{ N.}$$

b) Puterea medie este dată de relația

$$P = \frac{\Delta L}{\Delta t} = \frac{F \Delta x}{\Delta t} = F v_m$$

Deoarece viteza este constantă, rezultă

$$P = Fv = 50 \cdot 0,8 = 40 \text{ W.}$$

2. Un automobil cu masa de 1 000 kg pornește din repaus și ajunge la viteza de 30 m/s după ce parcurge 500 m, pe un drum orizontal. Să se calculeze forța de tracțiune a motorului, dacă forța de frecare este de 200 N.

Rezolvare Asupra automobilului acționează forțele greutatea \vec{G} , reacțiunea normală \vec{N} , forța de tracțiune \vec{F} și forța de frecare \vec{F}_f . Suma algebrică a lucrurilor mecanice ale forțelor ce acționează asupra automobilului pe distanța d este

$$\Sigma L_i = Fd - F_f d.$$

Acest lucru mecanic fiind diferit de zero, el este folosit pentru accelerarea automobilului.

Aplucînd teorema variației energiei cinetice, obținem:

$$\frac{1}{2} mv^2 - 0 = (F - F_f)d,$$

de unde

$$F = \frac{mv^2}{2d} + F_f = 1\,400 \text{ N}$$

4.3. ENERGIA POTENȚIALĂ A PUNCTULUI MATERIAL ÎN CÎMP CONSERVATIV DE FORȚE. ENERGIA MECANICĂ A PUNCTULUI MATERIAL ÎN CÎMP CONSERVATIV DE FORȚE

4.3.1. Energia potențială a punctului material în cîmpul gravitațional. Considerăm un punct material de masă m plasat într-un punct A din cîmpul gravitațional al Pămîntului considerat uniform (fig. 4.19). Punctul material și Pămîntul, care interacționează prin cîmpul gravitațional, alcătuiesc un sistem fizic deformabil în cadrul căruia acționează forțe conservative (forțele de greutate). Configurația sistemului (starea sistemului) este determinată de înălțimea h a punctului material față de un plan orizontal P de la suprafața Pămîntului, luat ca nivel de referință. Spunem că înălțimea h este un parametru de stare al sistemului.

Lăsăm punctul material să cadă liber din punctul A în punctul A_0 , aflat la înălțimea h_0 . Lucrul mecanic efectuat de greutatea punctului material pe distanța $h - h_0$ este

$$L = mg(h - h_0). \quad (4.21)$$

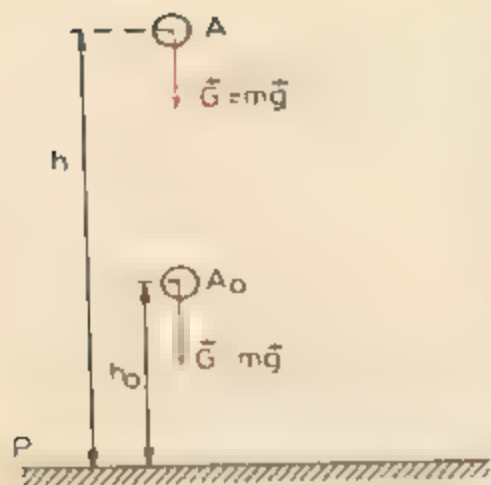


Fig. 4.19. Variația energiei potențiale a sistemului Pământ-punct material, pentru deplasarea punctului material din A în A_0 este egală și de semn contrar cu lucrul mecanic efectuat de greutate pe distanța $\Delta A_0 \Delta P = mg(h - h_0)$.

variația energiei potențiale. Astfel, dacă punctul material se deplasează din poziția m , a a. d. de altitudine h în poziția m_0 de altitudine h_0 (fig. 4.19), energia potențială a sistemului salară variația

$$\Delta E_p = E_{p0} - E_p. \quad (4.22)$$

Energia potențială E_p a sistemului nu se poate determina în mod absolut, se poate asigura variația energiei potențiale, prin lucrul mecanic efectuat de către forțele de greutate.

Prin convenție variația energiei potențiale între două stări configuraționale este egală și de semn contrar cu lucrul mecanic al forțelor de greutate, exercitate asupra punctului material între aceste stări:

$$\Delta E_p = E_{p0} - E_p = -mg(h - h_0), \quad (4.23)$$

sau

$$E_{p0} - E_p = mgh_0 - mgh.$$

Dacă se alege starea de referință ocupând punctul $I_0 = 0$, ca starea de referință și careia i se atribuie energia potențială E_{p0} , atunci energia potențială a sistemului în starea corespunzătoare parametrului h va fi dată de relația:

$$E_p = mgh + E_{p0}. \quad (4.24)$$

Din relația (4.24) rezulta că energia potențială nu este total determinată, ea este determinată pînă la constanta arbitrară aditivă E_{p0} , careia i se poate da în mod convențional valoarea zero. În acest caz

$$E_p = mgh. \quad (4.25)$$

Configurația (starea) pentru care s-a convenit să se ia energia potențială a sistemului egală cu zero $E_{p0} = 0$ se numește configurație zero (starea zero).

Astfel punctul material apropiindu-se de Pământ poate efectua un lucru mecanic. Din acest motiv noi spunem că sistemul alcătuit din Pământ și punctul material — sistem deformabil (cu interacțiune gravitațională) posedă energie. Această energie, care depinde de poziția punctului material față de Pământ, se numește energie de poziție sau **energie potențială gravitațională**.

Cu toate că energia potențială caracterizează starea sistemului Pământ-punct material, datorită unei comodități de exprimare se spune adesea energia potențială gravitațională a punctului material, lăsând impresia că se face abstracție de rolul esențial al Pământului, care generează câmpul gravitațional.

Fiecarei configurații (stări) a sistemului i corespunde o energie potențială E_p , iar modificarea configurației sistemului determină

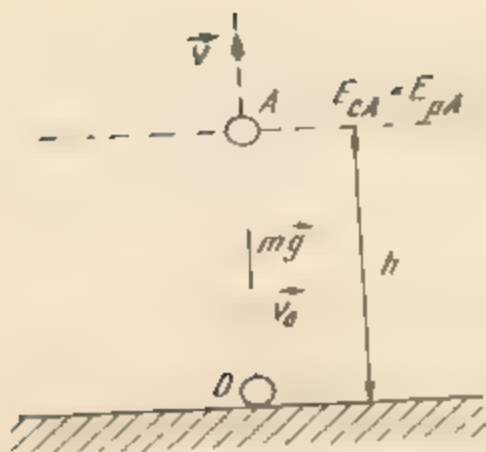


Fig. 4.22. La exemplul 3.

2. Un corp cu masa $m = 3 \text{ kg}$ cade liber de la înălțimea $h = 5 \text{ m}$ să se calculeze energia cinetică a corpului și energia potențială a sistemului corp-Pământ, când corpul se află la înălțimea $h_1 = 2 \text{ m}$ deasupra Pământului. Se va lua $g = 10 \text{ m/s}^2$.

Rezolvare. Energia cinetică la înălțimea h_1 este:

$$E_c = \frac{mv_1^2}{2}, \text{ unde } v_1^2 = 2g(h - h_1),$$

deci

$$E_c = mgh(h - h_1) = 90 \text{ J}.$$

Energia potențială a sistemului, când corpul se află la înălțimea h_1 față de Pământ, este

$$E_p = mgh_1 = 60 \text{ J}$$

Am considerat suprafața Pământului nivel zero pentru energia potențială

3. Un corp este aruncat pe verticală în sus cu viteza $v_0 = 10 \text{ m/s}$. La ce înălțime energia cinetică a corpului este egală cu energia potențială a sistemului corp-Pământ? Se va lua $g = 10 \text{ m/s}^2$

Rezolvare. a) Vom considera nivelul zero pentru energia potențială suprafața Pământului și nivelul la care energia cinetică este egală cu energia potențială, nivelul corespunzător punctului A (fig. 4.22).

Deci

$$E_{pA} = E_{cA} = \frac{mv^2}{2}. \quad (4.26)$$

Variația energiei potențiale între nivelele A și O (sol) este egală și de semn contrar cu lucrul mecanic al greutății pe distanța OA, deci

$$E_{pA} - E_{pO} = -L_G(OA) = -(\cdot mgh) \quad (4.27)$$

Am luat $L_G = mgh$, deoarece L_G este un lucru mecanic rezistent. Având în vedere relațiile (4.26) și (4.27), obținem.

$$mgh = \frac{mv^2}{2}. \quad (4.28)$$

Variația energiei cinetice pe distanța OA este egală cu lucrul mecanic al greutății pe această distanță:

$$E_{cA} - E_{cO} = \frac{mv^2}{2} - \frac{mv_0^2}{2} = -mgh. \quad (4.29)$$

Comparând relațiile (4.28) și (4.29), obținem:

$$mgh = \frac{mv_0^2}{2} - mgh,$$

de unde

$$h = \frac{v_0^2}{4g} = 2,5 \text{ m}.$$

4.3.2. Generalizarea noțiunii de energie potențială. Am putut defini energia potențială a sistemului alcătuit dintr-un punct material și Pământ (pentru deplasări mici când câmpul gravitațional este uniform) numai datorită faptului că în cadrul sistemului acționează forțe conservative (forțele de greu-

tate). Deci, se poate defini energia potențială a oricărui sistem în care acționează forțe conservative: forțe gravitaționale; forțe elastice, datorate deformării temporare a unui solid; forțe electrostatice; forțe magnetice care se exercită între magneți permanenți.

$$L = -(E_{p2} - E_{p1}) = E_{p1} - E_{p2},$$

unde E_{p1} este energia potențială a sistemului în stare inițială și E_{p2} este energia potențială a sistemului în stare finală.

În cazul sistemelor în care acționează forțe neconservative nu se poate defini o energie potențială. Spre exemplu, în sistemele în care acționează forțele de presiune dintr-un gaz, forțe electromagnetice, forțe de frecare.

4.3.3. Energia potențială în cimpul forțelor elastice Să ne închipuim un arcas care și a încordat arcul (fig. 4.23). Pe coarda întinsă a arcului se sprijină o săgeată. Sistemul arc-săgeată are înmagazinat în el o energie mecanică, numită energie potențială elastică. Acest sistem este capabil să producă un lucru mecanic în momentul cînd se dă drumul corzii care aruncă săgeata spre țintă. Deci cînd sistemul își modifică configurația

Să comprimăm un resort și să așezăm apoi pe el un corp (fig. 4.24). Cînd resortul este lăsat liber, el se destinde și se lansează corpul, efectuînd un lucru mecanic. Deci, resortul comprimat (același lucru și pentru resortul întins) posedă energie potențială elastică.

Energia potențială de deformare a unui corp elastic, spre exemplu energia potențială a unui resort elastic, depinde de poziția relativă a diferitelor părți ale acestui corp.

Variația energiei potențiale elastice a resortului este egală și de semn contrar cu lucrul mecanic al forțelor elastice. Deci, conform relației (4.12), obținem:

$$\Delta E_p = -\Delta L \quad (4.30)$$



Fig. 4.23. Sistemul arc-coardă are înmagazinată în el energie potențială. Se va produce lucru mecanic numai dacă se dă drumul corzii care va arunca săgeata din arc.

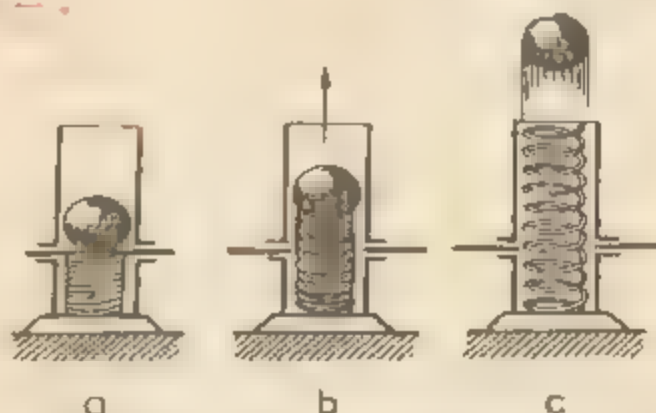


Fig. 4.24. Resortul comprimat are înmagazinată în el energie potențială. Dacă resortul este lăsat liber, el se destinde și lansează corpul care este așezat pe el, efectuînd lucru mecanic.

4.3.4. Energia mecanică a punctului material în câmp conservativ de forțe. Fie un sistem alcătuit dintr-un punct material și un alt corp (presupus fix), interacționând printr-un câmp de forțe conservativ (spre exemplu câmpul gravitațional). Presupunem ca asupra sistemului nu acționează forțe provenind de la alte sisteme, adică, sistemul este izolat.

Considerăm că punctul material se deplasează în câmp sub acțiunea forțelor câmpului. În timpul deplasării punctului material se produce o variație continuă atât a energiei cinetice cât și a energiei potențiale a sistemului. Astfel la momentul $t_0 = 0$, sistemul posedă energia cinetică E_{c0} și energia potențială E_{p0} , iar la momentul t posedă energia cinetică E_c și energia potențială E_p .

Conform teoremei variației energiei cinetice $L = E_c - E_{c0}$ și a definiției energiei potențiale $L = -(E_p - E_{p0})$, unde L este lucrul mecanic al forței rezultante aplicată punctului material în intervalul de timp $\Delta t = t - t_0$, deci,

$$L = E_c - E_{c0} = -(E_p - E_{p0}),$$

de unde

$$E_c + E_p = E_{c0} + E_{p0}. \quad (4.31)$$

Din relația (4.31) rezultă că în timpul modificării configurației unui sistem fizic izolat, în care acționează forțe conservative, suma

$$E = E_p + E_c, \quad (4.32)$$

numită *energia mecanică* a sistemului, are o valoare constantă pentru orice stare (configurație) a sistemului.

4.4. CONSERVAREA ENERGIEI MECANICE

Relația (4.31) reprezintă legea conservării energiei mecanice pentru forțe conservative, care se enunță astfel:

Legea conservării energiei

Condiția necesară pentru ca să se conserve energia mecanică este ca asupra punctului material, respectiv în sistem, să nu acționeze nici o forță neconservativă. Aceasta implică ca forțele de frecare să fie nule, iar sistemul să nu cuprindă mașini termice sau mașini electrice.

4.4.1. Conservarea energiei mecanice în mișcarea de cădere liberă. Fie un punct material de masă m , plasat într-un punct A din câmpul gravitațional uniform al Pământului. Considerăm sistemul fizic Pământ-punct material, izolat.

Energia mecanică a sistemului, când punctul material se află în punctul A , este

$$E_A = E_{pA} + E_{cA} = mgh,$$

deoarece $E_{cA} = 0$, punctul material fiind imobil în A (fig. 4.25).

În A se lasă punctul material să cadă liber; el ajunge în punctul B cu viteza

$$v_B = \sqrt{2gx},$$

unde $x = AB$.

Energia mecanică a sistemului, când punctul material se află în B , este

$$E_B = E_{pB} + E_{cB} = mg(h - x) + mgx = mgh,$$

deoarece $E_{cB} = \frac{mv_B^2}{2} = mgx$.

Energia mecanică a sistemului este constantă în timpul căderii libere a punctului material. În timpul acestei mișcări variază atât energia cinetică cât și energia potențială a sistemului.

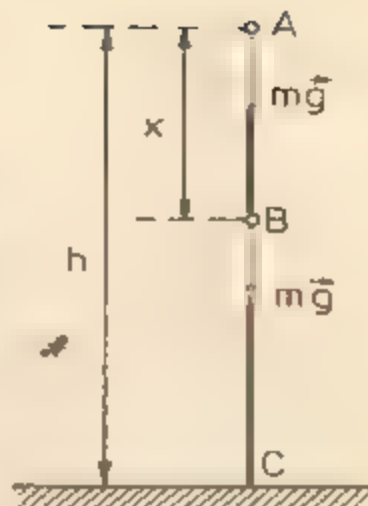


Fig. 4.25. În timpul mișcării unui punct material în timpul gravitațional, energia mecanică este constantă.

4.5. SISTEME DE PUNCTE MATERIALE. FORȚE INTERNE ȘI FORȚE EXTERNE

4.5.1 Sistem mecanic. Corpurile și sistemele de corpuri din natură pot fi descrise din punct de vedere al echilibrului și al mișcărilor lor relative, precum și din punctul de vedere al interacțiunilor care influențează aceste mișcări, ca *sisteme de puncte materiale* între care, în general, se exercită anumite forțe de interacțiune. De exemplu, sistemul solar poate fi considerat în primă aproximație ca un sistem de puncte materiale (planetele și Soarele) ale căror dimensiuni sînt mici în comparație cu distanțele reciproce) între care se exercită forțele de interacțiune gravitaționale. Un atom poate fi considerat ca un sistem de particule (nucleu și electroni) considerate puncte materiale, între care se exercită forțe electrice de atracție (nucleu — electroni) sau de respingere (electron — electron).

Tot astfel, un corp oarecare poate fi descompus mintal într-un număr foarte mare de elemente de volum foarte mici care pot fi approximate prin puncte materiale. Aproximația este bună dacă luăm aceste elemente de volum suficient de mici.

Prin *sistem mecanic* vom înțelege un *sistem de puncte materiale* care nu sînt independente între ele, ci supuse la legături reciproce, astfel că formează un „întreg” mai mult sau mai puțin stabil, mai mult sau mai puțin deformabil.

Sistemul mecanic este un *model al realității* care reflectă mai mult sau mai puțin exact proprietățile mecanice ale corpurilor reale.

4.5.2 Sistem material. Mai general, prin sistem material se înțelege orice porțiune din Univers, bine delimitată fie prin frontiere naturale fie mintal, pe care o considerăm și o studiem la un moment dat.

Astfel, un sistem material poate fi o planetă, o piatră, o mașină, gazul dintr-un vas, sistemul de corpuri reprezentat în figura 4.26, alături din două corpuri legate de capetele unui fir trecut peste un scripete etc.

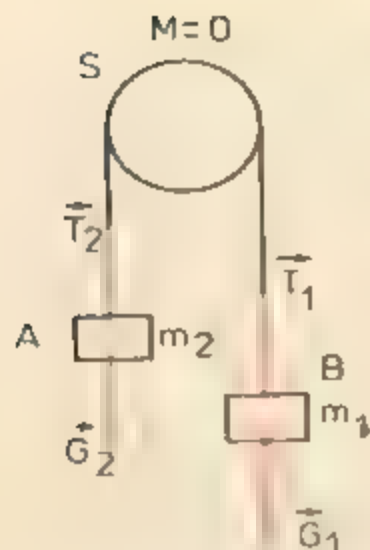


Fig. 4.26. Sistemul material este alcătuit din corpurile A și B legate de capetele unui fir trecut peste un scripete cu masa neglijabilă. Asupra sistemului acționează forțele externe \vec{G}_1 , \vec{G}_2 și forțele interne \vec{T}_1 , \vec{T}_2 .

Sistemul material este deformabil dacă distanțele dintre părțile sale componente sînt variabile. De exemplu un resort, sistemul solar, sistemul reprezentat în figura 4.26.

Sistemul material este nedeformabil sau rigid dacă distanțele reciproce dintre elementele care îl alcătuiesc nu se modifică în procesul mișcării mecanice.

4.5.3 Forțe externe. Odată sistemul ales și bine precizat, interacțiunea cu restul Universului este luată în considerare prin forțele exercitate de acesta, numite *forțe externe*.

din partea corpurilor exterioare care nu fac parte din sistemul considerat

Vom nota forțele interne cu litera \vec{f} rond, cu indici, de exemplu, dacă considerăm sistemul Lună - Pământ supus atracției Soarelui (fig. 4.27), atunci prin \vec{F}_1 și \vec{F}_2 am reprezentat rezultantele forțelor externe care se exercită asupra Lunii, respectiv Pământului.

4.5.4 Forțe interne. Asupra fiecărei particule (părți) din sistem se exercită atât forțe externe din partea corpurilor care nu fac parte din sistem, cât și forțe interne din partea tuturor celorlalte particule (părți) din sistem.

Vom nota forțele interne cu litera \vec{f} rond, cu indici.

Forțele interne sînt forțele de interacțiune dintre punctele materiale (părți) ale sistemului considerat.

Să analizăm din nou sistemul Lună - Pământ (fig. 4.27), la care am notat cu \vec{f}_{12} , \vec{f}_{21} forțele interne. Forța \vec{f}_{21} este forța exercitată de Pământ asupra Lunii, iar \vec{f}_{12} este forța exercitată de Lună asupra Pământului. Conform principiului acțiunii și reacțiunii forțele interne \vec{f}_{21} și \vec{f}_{12} sînt egale în modul și de sens opus:

$$\vec{f}_{12} = -\vec{f}_{21}; \quad \vec{f}_{12} + \vec{f}_{21} = 0$$

Rezultanta tuturor forțelor interne din sistem este nulă.

4.5.5 Teorema variației energiei cinetice a unui sistem de puncte materiale. Pentru un punct material, energia cinetică are expresia



Fig. 4.27. Forțele interne care se exercită între punctele materiale ale unui sistem mecanic sînt două cîte două egale în modul și de sens opus (acțiunea și reacțiunea) $\vec{f}_{12} = -\vec{f}_{21}$, de aceea rezultanta lor este nulă $\vec{f}_{12} + \vec{f}_{21} = 0$.

$$E_c = \frac{mv^2}{2}.$$

Pentru un sistem de puncte materiale, energia cinetică este egală cu suma energiei cinetice ale tuturor punctelor din sistem:

$$E_c = \sum_{i=1}^n \frac{1}{2} m_i v_i^2 \quad (4.33)$$

Vom enunța, fără a o demonstra, teorema variației energiei cinetice pentru un sistem de puncte materiale

ciune, care acționează asupra punctelor materiale din sistem

$$E_{c2} - E_{c1} = L_{\text{int.}} + L_{\text{ext.}} \quad (4.31)$$

În cazul sistemului deformabil, lucrul mecanic al forțelor interioare este, în general, diferit de zero.

În cazul unui solid indeformabil, lucrul mecanic al forțelor interioare este egal cu zero.

Variația energiei cinetice a unui solid indeformabil între două momente date este egală cu suma lucrurilor mecanice efectuate între aceste momente de către toate forțele exterioare care acționează asupra solidului.

PROBLEME REZOLVATE

1. Un punct material de masă m alunecă fără frecare pe o suprafață curbă AB (fig. 4.28). Să se determine viteza punctului material în punctul B , dacă mișcarea se face fără viteză inițială.

Rezolvare Sistemul alcătuit din punctul material și Pământ (interacționând prin câmpul gravitațional) este acționat numai de forțe conservative. Energia mecanică a sistemului în starea A este egală cu energia mecanică a sistemului în starea B :

$$\frac{mv_A^2}{2} + E_{pA} = \frac{mv_B^2}{2} + E_{pB}.$$

Iuind nivelul B , ca nivel de referință pentru energia potențială gravitațională și ținind seamă că $v_A = 0$, obținem:

$$mgh = \frac{1}{2} mv_B^2,$$

deci

$$v_B = \sqrt{2gh}.$$

2. Un corp de masă $m = 1$ kg este lăsat să cadă liber de la înălțimea $h = 2$ m pe un resort cu constanta elastică $k = 200$ N/m (fig. 4.29). Să se calculeze viteza cu care corpul ciocnește resortul și deformarea x a resortului.

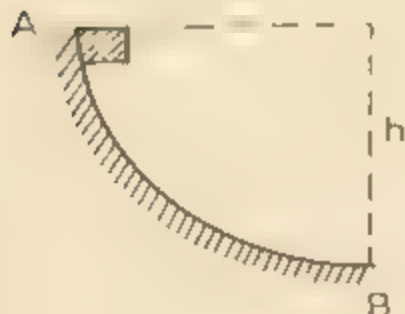


Fig. 4.28. La problema rezolvată 1.

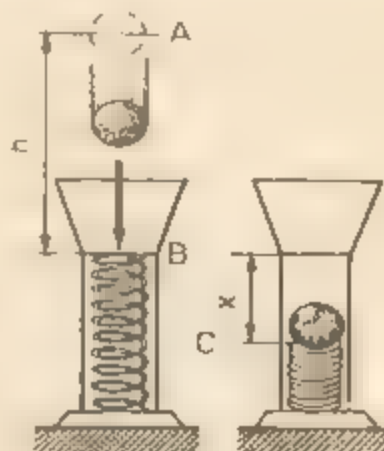


Fig. 4.29. La problema rezolvată 2.

Rezolvare În sistemul alcătuit din corp, resort și Pământ acționează două forțe conservative: forța de greutate și forța elastică. Considerăm ca nivele de referință, nivelul B pentru energia potențială elastică și nivelul C pentru energia potențială gravitațională.

Energia mecanică totală la nivelele A , B și C este.

$$E_A = mg(h + x), E_B = mgx + \frac{1}{2}mv^2; E_C = \frac{1}{2}kx^2. \quad (4.35)$$

Sistemul fiind izolat aceste energii mecanice sînt egale.

Pentru calculul vitezei la nivelul B folosim primele două relații (4.35) și obținem:

$$mg(h + x) = mgx + \frac{1}{2}mv^2,$$

de unde

$$v = \sqrt{2gh}.$$

Pentru calculul vitezei vom considera $g = 10 \text{ m/s}^2$.

$$v = \sqrt{2 \cdot 10 \cdot 2} = 6,32 \text{ m/s}.$$

Pentru calculul deformării x a resortului vom folosi prima și ultima relația (4.35) și obținem:

$$mg(h + x) = \frac{1}{2}kx^2,$$

sau

$$10x^2 - x - 2 = 0,$$

de unde

$$x = 0,5 \text{ m}$$

ÎNTREBĂRI, EXERCIIU, PROBLEME

1. Ce lucru mecanic efectuează forța centripetă în timpul unei rotații complete, într-o mișcare circulară uniformă?

$$R: L = 0, (\vec{F} \perp \vec{v})$$

2. Un corp se deplasează cu o viteză constantă pe un drum orizontal. Forța rezultantă care acționează asupra corpului este nulă. Se efectuează lucru mecanic asupra corpului? Justificați răspunsul.

3. Un om deplasează pe o suprafață orizontală, pe distanța $d = 10 \text{ m}$, o ladă cu masa $m = 100 \text{ kg}$. Coeficientul de frecare dintre ladă și suprafața pe care se deplasează este $\mu = 0,4$. Forța de tracțiune are direcția orizontală ($g = 10 \text{ m/s}^2$).

1° Se presupune viteză constantă. Să se calculeze:

a) lucrul mecanic efectuat de om asupra lăzii;

b) lucrul mecanic al forței de frecare;

c) lucrul mecanic total efectuat asupra lăzii.

2° Se presupune că lada are accelerația $a = 0,5 \text{ m/s}^2$. Să se răspundă la aceleași întrebări ale punctului 1°

$$R: 1^\circ \text{ a) } L_0 = \mu mgd = 4000 \text{ J, b) } L_f = -4000 \text{ J; c) } L = 0;$$

$$2^\circ \text{ a) } L_0 = (\mu mg + ma)d = 4500 \text{ J; b) } L_f = -4000 \text{ J; c) } L = 500 \text{ J}$$

4. Un corp cu masa $m = 20 \text{ kg}$ se deplasează cu viteză constantă pe distanța $d = 60 \text{ m}$, pe o suprafață orizontală. Coeficientul de frecare este $\mu = 0,45$. Forța aplicată corpului face un unghi $\alpha = 30^\circ$ cu orizontala. Să se calculeze.

a) forța aplicată corpului,

b) lucrul mecanic efectuat de forța de tracțiune asupra corpului ($g = 10 \text{ m/s}^2$)

$$\text{R: a) } F = \frac{\mu mg}{\cos \alpha + \mu \sin \alpha} \approx 83 \text{ N, b) } L = Fd \cos \alpha \approx 4287 \text{ J}$$

5. Asupra unui corp acționează o forță $F = 24 \text{ N}$, care face un unghi $\alpha = 37^\circ$ cu orizontala. Să se calculeze lucrul mecanic efectuat de forța F pe o distanță $d = 20 \text{ m}$. Frecările sînt neglijabile ($\cos 37^\circ = 0,8$).

$$\text{R: } L = Fd \cos \alpha = 384 \text{ J.}$$

6. Doi vectori \vec{a} și \vec{b} au mărimile, respectiv $a = 4$ unități convenționale și $b = 8$ unități convenționale. Să se calculeze produsul scalar al celor doi vectori, luînd pentru unghiul α dintre cei doi vectori valorile: $0, \frac{\pi}{6}, \frac{\pi}{4}, \frac{\pi}{2}, \pi$.

$$\text{R: } 32, 16\sqrt{3}, 16\sqrt{2}, 0, -1. \text{ (În unități convenționale corespunzătoare.)}$$

7. Să se demonstreze că produsul scalar a doi vectori \vec{a} și \vec{b} se poate scrie astfel

$$\vec{a} \cdot \vec{b} = a_x b_x + a_y b_y,$$

unde (a_x, a_y) și (b_x, b_y) sînt componentele vectorilor pe două axe de coordonate perpendiculare Ox, Oy situate în planul determinat de cei 2 vectori

8. Să se efectueze produsul scalar al vectorilor \vec{a} și \vec{b} reprezentați în figura 4.30, a, b și c Mărimile vectorilor sînt indicate pe grafic în unități convenționale

$$\text{R: a) } 4,24 \text{ b) } -4,596 \text{ c) } -6 \text{ (În unități convenționale corespunzătoare.)}$$

9. O macara ridică un corp cu masa $m = 300 \text{ kg}$ la înălțimea $h = 5 \text{ m}$. Să se calculeze lucrul mecanic efectuat de macara în cazurile următoare.

a) corpul este ridicat cu viteză constantă;

b) corpul este ridicat cu accelerația $a = 2 \text{ m/s}^2$ ($g = 10 \text{ m/s}^2$).

$$\text{R: a) } L = mgh = 15 \cdot 10^3 \text{ J, b) } L = m(g + a)h = 18 \cdot 10^3 \text{ J.}$$

10. Un copil aruncă o minge cu masa $m = 100 \text{ g}$ care se urcă la înălțimea $h = 20 \text{ m}$. Să se calculeze lucrul mecanic al gravitației mingei. Se va lua $g = 10 \text{ m/s}^2$

$$\text{R: } L = -mgh = -20 \text{ J,}$$

11. Un corp cu masa m se deplasează dintr-un punct A într-un punct C , în câmpul gravitațional terestru, pe traseul ABC , indicat în figura 4.31. Să se demonstreze că lucrul mecanic efectuat de greutate este egal cu zero.

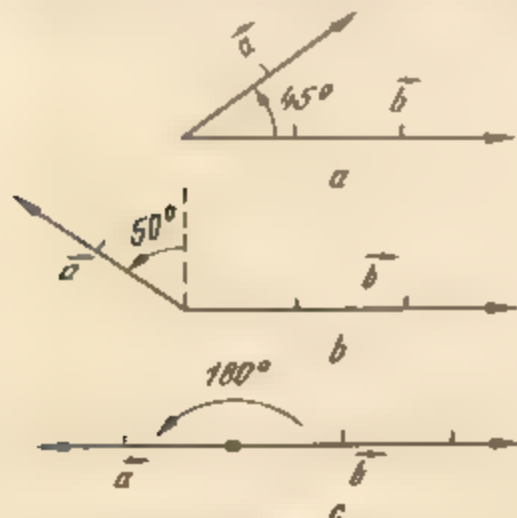


Fig. 4.30. La problema 8.

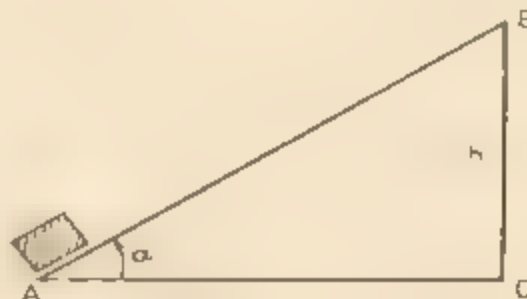


Fig. 4.31. La problema 11

12. În timp ce un alpinist escaladează peretele vertical al unui munte, un turist de aceeași greutate ca și alpinistul urcă în vârful muntelui pe o cărare în serpentină și ajunge în același loc ca și alpinistul. Care dintre cei doi a efectuat un lucru mecanic mai mare împotriva gravitației?

R: Efectuează același lucru mecanic.

13. În figura 4.32 este reprezentată dependența alungirii unui resort de mărimea forței deformatoare. Să se calculeze lucrul mecanic al forței deformatoare între punctele de abscise 0 cm și 8 cm. Să se spună care este sensul fizic al tangentei unghiului α și al ariei triunghiului de sub segmentul OA de pe grafic.

$$R: \operatorname{tg} \alpha = k, L = Fx/2 = 32 \text{ J}$$

14. Ce lucru mecanic trebuie efectuat pentru a întinde, cu $\Delta l = 0,5 \text{ cm}$, un resort cu constanta elastică $k = 40 \text{ kN/m}$?

$$R: L = k(\Delta l)^2/2 = 0,5 \text{ J}$$

15. Pentru a întinde un resort cu $\Delta l_1 = 4 \text{ mm}$, trebuie să se efectueze un lucru mecanic $L_1 = 0,02 \text{ J}$. Ce lucru mecanic trebuie efectuat pentru a întinde resortul cu $\Delta l_2 = 4 \text{ cm}$?

$$R: L_2 = L_1 (\Delta l_2/\Delta l_1)^2 = 2 \text{ J}$$

16. Un motor cu puterea $P = 10 \text{ kW}$ este folosit pentru a ridica o sarcină cu masa $m = 500 \text{ kg}$ la înălțimea $h = 40 \text{ m}$. În cât timp va ridica motorul sarcina respectivă? ($g = 10 \text{ m/s}^2$.)

$$R: t = mgh/P = 20 \text{ s}$$

17. În figurile 4.33, a, b, c și d sunt reprezentate dependențele de distanță ale forței F care acționează asupra unui corp. Să se calculeze lucrul mecanic al forței în fiecare caz.

$$R: a) 180 \text{ J}; b) 60 \text{ J}; c) 150 \text{ J}; d) 2,5 \text{ J}$$

18. Să se calculeze puterea minimă a unui automobil pentru a se deplasa cu viteză constantă $v = 100 \text{ km/h}$, dacă forța de frecare care acționează asupra automobilului este $F_f = 1,8 \cdot 10^3 \text{ N}$.

$$R: P = F_f v = 5 \cdot 10^4 \text{ W}$$

19. Punctul de aplicatie al unei forțe $F = 2,35 \text{ N}$ se deplasează, cu viteză constantă $v = 0,456 \text{ m/s}$, pe direcția forței. Care este puterea pusă în joc în această deplasare?

$$R: P = Fv = 1,07 \text{ W}$$

20. Depinde energia cinetică de sistemul de referință în raport cu care se calculează?

R: Da.

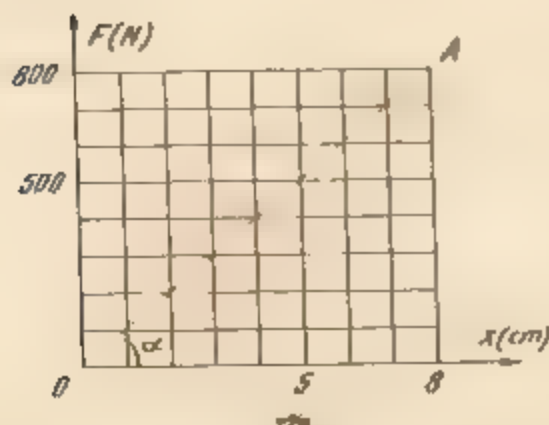


Fig. 4.32. La problema 13

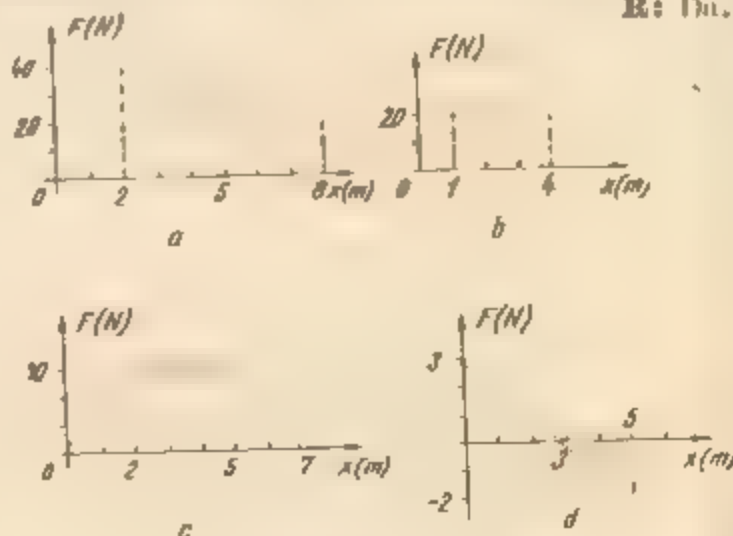


Fig. 4.33. La problema 17

21. Un om stă pe o bancă într-un autobuz care se deplasează cu viteza $v = 15 \text{ m/s}$. Masa omului este $m = 70 \text{ kg}$. Care este energia cinetică a omului în raport cu ceilalți pasageri? Dar în raport cu Pământul?

$$\text{R: } E_{1c} = 0, \\ E_{2c} = 7875 \text{ J}.$$

22. Un corp cu masa $m = 0,5 \text{ kg}$ este aruncat vertical în sus cu viteza $v_0 = 4 \text{ m/s}$. Să se calculeze: lucrul mecanic al gravitației, variația energiei potențiale și variația energiei cinetice la urcarea corpului până la înălțimea maximă

$$\text{R: } L_G = -mv_0^2/2 = -4 \text{ J}; \Delta E_p = 4 \text{ J}; \Delta E_c = -4 \text{ J}$$

23. O săgeată cu masa $m = 50 \text{ g}$ este lansată, dintr-un arc, cu viteza $v_0 = 30 \text{ m/s}$ pe verticală în sus. Să se calculeze energia cinetică și energia potențială a săgeții după un timp $t = 2 \text{ s}$ de la lansare. Se va lua $g = 10 \text{ m/s}^2$.

$$\text{R: } E_p = mg(v_0 t - gt^2/2) = 20 \text{ J}; E_c = m(v_0 - gt)^2/2 = 2,5 \text{ J}$$

24. Un corp cu masa $m = 2 \text{ kg}$ se deplasează din punctul P_1 în punctul P_2 în câmpul gravitațional uniform, în care g este constant și egal cu 10 m/s^2 (fig. 4.34)

a) Să se calculeze lucrul mecanic al gravitației pe traiectoriile P_1AP_2 și P_1BP_2 .

b) Dacă se presupune energia potențială a sistemului corp-Pământ nulă în P_1 , care va fi valoarea sa în P_2 ?

c) Ce valoare are lucrul mecanic efectuat de câmp pe traiectoria P_1CP_2 ?

d) Care este valoarea energiei potențiale în punctul de coordonate $x = 4 \text{ m}$, $y = 3 \text{ m}$?

$$\text{R: } L_1 = -40 \text{ J}; L_2 = -40 \text{ J}; b) E_p = 40 \text{ J}; c) L = -40 \text{ J}; \\ d) E_p = 40 \text{ J}.$$

25. Cu cât trebuie alungit un resort cu constanta elastică $k = 20 \text{ N/m}$ pentru ca energia înmagazinată în resort să fie $E_p = 14,4 \text{ J}$?

$$\text{R: } x = \sqrt{2E_p/k} = 1,2 \text{ m}$$

26. Un corp cu masa $m = 2 \text{ kg}$ alunecă pe o suprafață orizontală fără frecare. Corpul ciocnește un resort pe care l comprime cu $x = 0,5 \text{ m}$, înainte de a se opri. Constanta elastică a resortului este $k = 20 \text{ N/m}$. Care este viteza corpului înainte de ciocnire?

$$\text{R: } v = x\sqrt{k/m} = 1,58 \text{ m/s}.$$

27. La comprimarea resortului unui pistol jucărie cu $x = 3 \text{ cm}$ s a acționat cu o forță maximă $F = 20 \text{ N}$. Să se calculeze energia potențială a resortului comprimat.

$$\text{R: } E_p = Fx/2 = 0,3 \text{ J}.$$

28. Un pistol jucărie este prevăzut cu un resort de constantă elastică $k = 800 \text{ N/m}$. La încărcarea pistolului, resortul a fost comprimat cu $x = 5 \text{ cm}$. Cu ce viteză este lansat glonțul cu masa $m = 20 \text{ g}$, pe direcția orizontală?

$$\text{R: } v = x\sqrt{k/m} = 10 \text{ m/s}.$$

29. Un vagon de cale ferată cu masa $m = 20 \text{ tone}$ ciocnește un obstacol cu viteza $v = 0,2 \text{ m/s}$. Resorturile tampoanelor se comprimă fiecare cu $x = 4 \text{ cm}$. Să se determine forța maximă ce acționează asupra resorturilor.

$$\text{R: } F = mv^2/2x = 10 \text{ kN}.$$

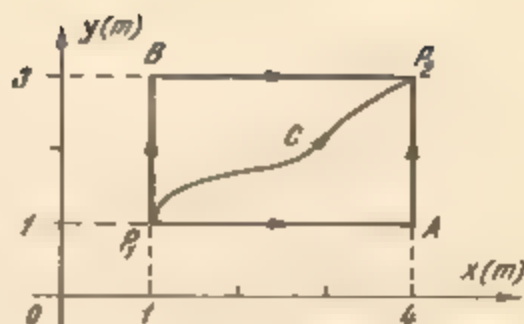


Fig. 4.34. La problema 24.

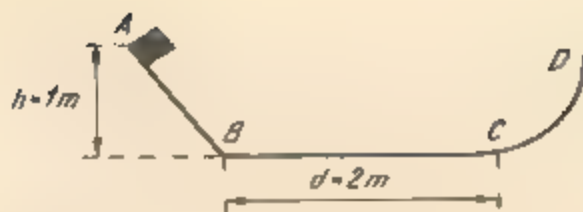


Fig. 4.35. La problema 31.

30. Asupra unui corp acționează o forță care variază cu distanța după legea: $F = 50 - 0,5x$, unde x este exprimat în metri și F în newtoni. Să se calculeze lucrul mecanic al forței, când punctul său de aplicație se deplasează între punctele de abscise $x_0 = 0$ m și $x = 20$ m.

$$R: L = \frac{F(x) + F(x_0)}{2} (x - x_0) = 900 \text{ J.}$$

31. Un corp cu masa $m = 2$ kg, oboară fără frecare pe un plan înclinat de înălțime $h = 1$ m. Ajungând la baza planului, corpul se deplasează cu frecare pe o suprafață plană până într-un punct C, parcurgând distanța $d = 2$ m. Coeficientul de frecare este $\mu = 0,3$. În punctul C, corpul urcă fără frecare, pe o suprafață curbă CD (fig. 4.35). Să se calculeze:

a) viteza v_1 a corpului la baza planului înclinat;

b) viteza v_2 a corpului în punctul C;

c) înălțimea h_1 la care urcă corpul pe suprafața CD

d) Să se determine poziția punctului în care se oprește corpul (pe suprafața plană față de punctul B. Se va lua $g = 9,8 \text{ m/s}^2$.

$$R: a) v_1 = \sqrt{2gh} = 4,47 \text{ m/s, } b) v_2 = \sqrt{2g(h - \mu d)} = 2,8 \text{ m/s}$$

$$c) h_1 = h - \mu d = 0,4 \text{ m, } d) d_1 = 2d - h/\mu = 0,66 \text{ m față de B}$$

5

IMPULSUL MECANIC

Am definit impulsul punctului material în § 2.3.2 prin relația: $\vec{p} = m\vec{v}$; el are direcția și sensul vectorului viteză, iar variația sa pe unitatea de timp reprezintă forța $\vec{F} = d\vec{p}/dt$ (lex secunda).

5.1. TEOREMA IMPULSULUI PENTRU PUNCTUL MATERIAL. CONSERVAREA IMPULSULUI

Să transcriem ecuația (2.12) $\vec{F}_m = \Delta\vec{p}/\Delta t$ sub forma

$$\vec{F}_m \Delta t = \Delta\vec{p} \text{ sau } \vec{F}_m(t_2 - t_1) = \vec{p}_2 - \vec{p}_1 = m\vec{v}_2 - m\vec{v}_1 \quad (5.1)$$

Produsul $\vec{H} = \vec{F}_m \Delta t$ se numește *impulsul forței*. Ecuația (5.1) exprimă *teorema impulsului pentru punctul material*:

impulsul forței aplicate punctului material.

Dacă impulsul forței aplicate este zero, de exemplu dacă forța aplicată este nulă, adică punctul material este *izolat* ($\vec{F} \equiv 0$, $\vec{H} \equiv 0$), variația de impuls va fi nulă: $\Delta\vec{p} = 0$, deci impulsul $\vec{p} = m\vec{v}$ rămâne neschimbat (constant).

Impulsul unui punct material izolat se conservă, $\vec{p} = \text{const}$, adică punctul material izolat se mișcă rectiliniu uniform sau este în repaus ($\vec{v} = \text{const}$) (în sisteme de referință inerțiale).

Impulsul se poate schimba numai sub acțiunea unei forțe exterioare.

În procesul interacțiunii realizat prin intermediul forței se face un transfer de mișcare de la un corp la altul, măsurat prin transferul de impuls și de energie cinetică, adică prin impulsul forței egal cu variația de impuls a corpului,

respectiv prin lucrul mecanic al forței, egal cu variația de energie cinetică a corpului.

Impulsul este o măsură a mișcării. Impulsul punctului material $\vec{p} = m\vec{v}$, este o măsură a mișcării mecanice pe care el o posedă (de aici provine și denumirea de cantitate de mișcare). *Teorema impulsului exprimă o lege de conservare a mișcării materiei.*

Verificarea experimentală a legii impulsului se reduce în fond la verificarea legii fundamentale a dinamicii.

5.2 TEOREMA IMPULSULUI ȘI LEGEA CONSERVĂRII IMPULSULUI PENTRU UN SISTEM DE DOUĂ PARTICULE

Fie un sistem format din două particule m_1, m_2 care interacționează între ele. Conform principiului acțiunii și reacțiunii forța \vec{F}_{12} exercitată asupra particulei m_1 de către particula m_2 este egală în modul și de sens opus cu forța \vec{F}_{21} exercitată asupra particulei m_2 de către particula m_1 , adică

$$\vec{F}_{12} = -\vec{F}_{21} \text{ sau } \vec{F}_{12} + \vec{F}_{21} = 0. \quad (5.2)$$

Cele două forțe acționează de-a lungul dreptei care unește cele două particule (fig. 5.1) și *rezultanta lor este nulă*.

În afară de aceste forțe de interacțiune care constituie forțe interne pentru sistemul nostru, fiecare particulă interacționează în general cu mediul exterior, ceea ce se traduce prin forțele externe \vec{F}_1 asupra particulei m_1 , \vec{F}_2 asupra particulei m_2 (fig. 5.1). Am notat forțele interne cu \vec{F} rond.

Să scriem legea impulsului pentru fiecare particulă. Dacă forțele nu sînt constante, atunci pentru un interval Δt oarecare trebuie considerate forțele medii pe acel interval, de aceea mai jos toate forțele sînt constante sau medii pe intervalul Δt :

$$(\vec{F}_1 + \vec{F}_{12})\Delta t = \Delta(m_1\vec{v}_1); (\vec{F}_2 + \vec{F}_{21})\Delta t = \Delta(m_2\vec{v}_2) \quad (5.3)$$

Adunînd membru cu membru cele două ecuații, găsim

$$(\vec{F}_1 + \vec{F}_2 + \vec{F}_{12} + \vec{F}_{21})\Delta t = \Delta(m_1\vec{v}_1) + \Delta(m_2\vec{v}_2) = \Delta(m_1\vec{v}_1 + m_2\vec{v}_2) \quad (5.4)$$



Fig. 5.1. Sistem de două particule care interacționează între ele și cu mediul exterior.

Dar, conform lui (5.2), rezultanta forțelor interne este nulă. Suma vectorială a forțelor externe dă *rezultanta forțelor externe*:

$$\vec{F} = \vec{F}_1 + \vec{F}_2. \quad (5.5)$$

Pe de altă parte, impulsul total al sistemului este suma vectorială a impulsurilor particulelor componente:

$$\vec{P} = m_1 \vec{v}_1 + m_2 \vec{v}_2 = \vec{p}_1 + \vec{p}_2 \quad (5.6)$$

Ținând seama de aceasta, ecuația (5.4) devine:

$$\vec{F}_m \Delta t = \Delta \vec{P}. \quad (5.7)$$

impulsului total al sistemului.

Ecuația (5.7) se poate transcrie sub forma cunoscută a legii II:

$$\vec{F}_m = \frac{\Delta \vec{P}}{\Delta t}, \quad \left(\vec{F} = \frac{d\vec{P}}{dt} \right) \quad (5.8)$$

unde \vec{F} este rezultanta forțelor externe și \vec{P} impulsul total al sistemului.

Forțele interne ale sistemului nu contribuie la variația impulsului total al sistemului, adică nu pot schimba impulsul total al sistemului (rezultanta lor fiind nulă). (Ele pot însă redistribui impulsul între particulele sistemului prin ciocniri.)

Dacă rezultanta forțelor externe este permanent zero sau dacă sistemul este izolat, adică nu interacționează cu mediul exterior, impulsul total se conservă (rămâne constant).

5.3 TEOREMA IMPULSULUI ȘI LEGEA CONSERVĂRII IMPULSULUI PENTRU UN SISTEM OARECARE DE PARTICULE

Rezultatele obținute sînt valabile pentru un sistem format dintr-un număr oarecare de particule. În adevăr, particulele sistemului interacționează între ele prin forțe interne perechi, două câte două egale în modul și de sensuri opuse, conform principiului acțiunii și reacțiunii. De aceea, dacă le însumăm pentru întregul sistem, ele se anulează două câte două și dau rezultantă nulă.

Rezultanta forțelor interne ale unui sistem de particule este nulă

Scrind legea impulsului pentru fiecare particulă și adunînd ecuațiile membru cu membru, așa cum am făcut pentru un sistem format din două particule, găsim legea impulsului pentru un sistem oarecare:

$$\vec{F}_m \Delta t = \Delta \vec{P} = \vec{P}_2 - \vec{P}_1,$$

unde \vec{F}_m este valoarea medie a rezultantei $\vec{F} = \vec{F}_1 + \vec{F}_2 + \dots + \vec{F}_n$ și $\vec{P} = m_1 \vec{v}_1 + m_2 \vec{v}_2 + \dots + m_n \vec{v}_n = \vec{p}_1 + \vec{p}_2 + \dots + \vec{p}_n$ sau sub forma legii II.

$$\vec{F}_m = \frac{\Delta \vec{P}}{\Delta t}, \quad \left(\vec{F} = \frac{d\vec{P}}{dt} \right). \quad (5.9)$$

În a este legea impulsului nu apar decît forțele *externe* care acționează asupra sistemului (cele interne dau rezultantă nulă).

Impulsul total al sistemului se conservă.

Această lege este atât de generală și de importantă încât uneori este formulată și cunoscută sub numele de *principiul conservării impulsului* pentru sisteme izolate, alături de *principiul conservării energiei*.

Numai prin interacțiune cu mediul exterior se transmite mișcare și se schimbă impulsul total al sistemului.

Deși forțele interne nu pot schimba impulsul total al sistemului, ele schimbă în general impulsurile părților componente ale sistemului, adică redistribuie impulsul în interiorul sistemului, tocmai ca urmare a interacțiunii dintre părțile sistemului.

5.4. CENTRUL DE MASĂ AL UNUI SISTEM DE DOUĂ PARTICULE

Vom introduce acum noțiunea de *centru de masă (CM)* al unui sistem un punct asociat sistemului care caracterizează oarecum „global” distribuția de masă a sistemului și se bucură de proprietăți remarcabile.

Pentru două particule de aceeași masă $m_1 = m_2$, centrul lor de masă se află la mijlocul distanței dintre ele, pe dreapta care unește cele două particule. Dacă particulele au mase diferite, centrul lor de masă se va găsi tot pe dreapta care le unește, dar mai aproape de particula de masă mai mare și anume, distanțele CM până la cele două particule sînt în raport invers cu masele lor (fig. 5.2):

$$\frac{d_1}{d_2} = \frac{m_2}{m_1} \text{ sau } m_1 d_1 = m_2 d_2, \text{ de unde } d_1 = \frac{m_2}{m_1 + m_2} d, \text{ unde } d = d_1 + d_2. \quad (5.10)$$

Să găsim vectorul de poziție \vec{r}_{CM} al centrului de masă. Observăm că \vec{r}_{CM} se compune din \vec{r}_1 plus vectorul \vec{d}_1 dus din m_1 spre CM. Dar $d_1 = \frac{m_2}{m_1 + m_2} d$ (5.10) relație care se scrie și vectorial, $\vec{d}_1 = \frac{m_2}{m_1 + m_2} (\vec{r}_2 - \vec{r}_1)$.

Rezultă atunci $\vec{r}_{CM} = \vec{r}_1 + \frac{m_2}{m_1 + m_2} (\vec{r}_2 - \vec{r}_1)$

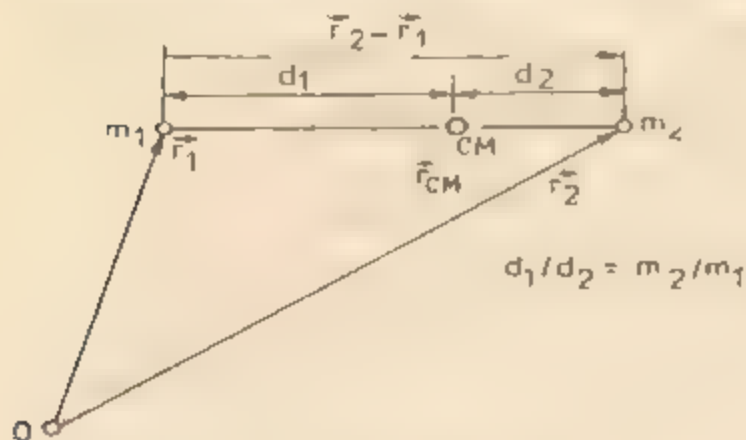


Fig. 5.2. Centrul de masă (CM) al unui sistem de două particule.

sau

$$\vec{r}_{CM} = \frac{m_1 \vec{r}_1 + m_2 \vec{r}_2}{m_1 + m_2}. \quad (5.11)$$

Relația vectorială (5.11) scrisă pe componente, de exemplu în cazul plan, ne dă coordonatele centrului de masă:

$$\begin{aligned} x_{CM} &= \frac{m_1 x_1 + m_2 x_2}{m_1 + m_2}, \\ y_{CM} &= \frac{m_1 y_1 + m_2 y_2}{m_1 + m_2}. \end{aligned} \quad (5.12)$$

De exemplu, alegând axa Ox pe direcția celor două particule (fig. 5.2) cu originea în m_1 și sensul spre m_2 , avem:

$$x_1 = 0, \quad x_2 = d \text{ și } x_{CM} = \frac{m_1 \cdot 0 + m_2 d}{m_1 + m_2} = d_1.$$

Vom demonstra două proprietăți remarcabile ale centrului de masă.

a) Să calculăm viteza centrului de masă. Pentru două momente succesive t, t' avem (notăm $m = m_1 + m_2$ — masa sistemului):

$$m\vec{r}_{CM} = m_1\vec{r}_1 + m_2\vec{r}_2; \quad m\vec{r}'_{CM} = m_1\vec{r}'_1 + m_2\vec{r}'_2.$$

De unde prin scădere membru cu membru:

$$m(\vec{r}'_{CM} - \vec{r}_{CM}) = m_1(\vec{r}'_1 - \vec{r}_1) + m_2(\vec{r}'_2 - \vec{r}_2) \text{ sau } m\Delta\vec{r}_{CM} = m_1\Delta\vec{r}_1 + m_2\Delta\vec{r}_2$$

și împărțind la intervalul de timp $\Delta t = t' - t$:

$$m \frac{\Delta\vec{r}_{CM}}{\Delta t} = m_1 \frac{\Delta\vec{r}_1}{\Delta t} + m_2 \frac{\Delta\vec{r}_2}{\Delta t}$$

sau

$$m\vec{v}_{CM} = m_1\vec{v}_1 + m_2\vec{v}_2 = \vec{p}_1 + \vec{p}_2 = \vec{P} \quad (5.13)$$

viteza centrului de masă

Observație. Centrul de masă se poate defini plecând de la expresia impulsului total al sistemului. În adevăr, scriind impulsul total al sistemului astfel

$$\begin{aligned} \vec{P} &= m_1\vec{v}_1 + m_2\vec{v}_2 = m_1 \frac{\Delta\vec{r}_1}{\Delta t} + m_2 \frac{\Delta\vec{r}_2}{\Delta t} = \frac{\Delta(m_1\vec{r}_1)}{\Delta t} + \frac{\Delta(m_2\vec{r}_2)}{\Delta t} = \\ &= \frac{\Delta(m_1\vec{r}_1 + m_2\vec{r}_2)}{\Delta t} = m \frac{\Delta(m_1\vec{r}_1 + m_2\vec{r}_2)}{\Delta t}, \quad (m = m_1 + m_2), \end{aligned}$$

se vede că punctul definit prin vectorul de poziție:

$$\vec{r}_{CM} = \frac{1}{m} (m_1\vec{r}_1 + m_2\vec{r}_2)$$

are proprietatea remarcabilă că viteza sa înmulțită cu masa sistemului ne dă impulsul total, ca și cum toată masa sistemului ar fi concentrată în centrul de masă și s-ar mișca cu viteza acestuia.

b) Să calculăm accelerația centrului de masă:

$$m\vec{v}_{CM} = \vec{P}, \quad m\vec{v}'_{CM} = \vec{P}', \quad m(\vec{v}'_{CM} - \vec{v}_{CM}) = \vec{P}' - \vec{P},$$

$$m\Delta\vec{v}_{CM} = \Delta\vec{P}, \quad m \frac{\Delta\vec{v}_{CM}}{\Delta t} = \frac{\Delta\vec{P}}{\Delta t}$$

și ținând seama de (5.8):

$$m\vec{a}_{CM} = \vec{F}. \quad (5.14)$$

acelerația centrului de masă.

Prin urmare, centrul de masă se comportă *ca un punct material avînd masa egală cu masa sistemului și supus forțelor externe, ca și cum întreaga masă a sistemului ar fi concentrată în CM și forțele externe ar acționa în CM.*

Dacă sistemul este *izolat* (sau rezultanta forțelor *externe* este nulă), centrul de masă va fi în repaus sau în mișcare rectilinie uniformă.

5.5. CENTRUL DE MASĂ AL UNUI SISTEM OARECARE DE PARTICULE

Formula (5.14) se generalizează ușor pentru un sistem format dintr-un număr oarecare de particule.

Fig. 3 particule. Calculăm întâi centrul de masă a două particule, de exemplu

$\vec{r}_{12} = \frac{m_1 \vec{r}_1 + m_2 \vec{r}_2}{m_1 + m_2}$ și, înlocuindu-le cu o singură particulă de masă $(m_1 + m_2)$ situată în \vec{r}_{12} , calculăm centrul de masă dintre aceasta și particula m_3

$$\vec{r}_{CM} = \frac{(m_1 + m_2)\vec{r}_{12} + m_3 \vec{r}_3}{(m_1 + m_2) + m_3} = \frac{m_1 \vec{r}_1 + m_2 \vec{r}_2 + m_3 \vec{r}_3}{m_1 + m_2 + m_3}.$$

Procedînd astfel din aproape în aproape obținem în general

$$\vec{r}_{CM} = \frac{m_1 \vec{r}_1 + m_2 \vec{r}_2 + \dots + m_n \vec{r}_n}{m_1 + m_2 + \dots + m_n} = \frac{1}{m} \sum_{k=1}^n m_k \vec{r}_k \quad (5.15)$$

Dacă un corp omogen posedă un plan de simetrie, atunci grupînd în mai sus două cîte două particule identice simetrice (situate de o parte și de alta a planului de simetrie), găsim că CM se află în planul de simetrie. La fel se întâmplă în cazul unei axe de simetrie sau în cel al centrului de simetrie.

Dacă un corp omogen posedă un plan de simetrie, o axă de simetrie sau un centru de simetrie, centrul său de masă se va găsi în planul de simetrie, pe axa de simetrie sau în centrul de simetrie.

De exemplu, CM al unui cilindru omogen se află pe axa sa, CM al unei sfere omogene se află în centrul sferei, CM al unui paralelipiped dreptunghiu se află în centrul paralelipipedului, CM al unui disc omogen subțire se află în centrul discului; CM al unei plăci omogene dreptunghiulare este în centrul ei.

Subliniem că CM este un punct geometric asociat sistemului, a cărui poziție este determinată de distribuția masei. În CM poate să nu fie deloc masă, ca în cazul unui inel omogen.

În formula (5.15) putem grupa termenii sumei corespunzători unui subsistem și înlocui cu masa subsistemului (M) înmulțită cu vectorul de poziție al CM corespunzător al subsistemului (\vec{R}).

$$\vec{r}_{CM} = \frac{1}{m} \sum_j M_j \vec{R}_j, \quad (5.16).$$

unde M_j sînt masele subsistemelor și \vec{R}_j vectorii de poziție ai centrelor lor de masă.

Formula (5.16) se scrie pe componente într-un sistem de coordonate convenabil

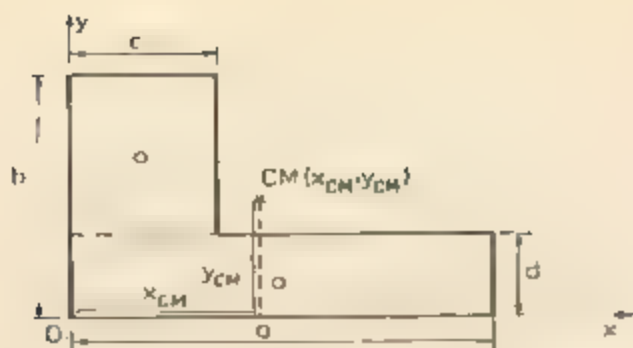


Fig. 5.3. Calculul poziției centrului de masă (CM) al unei plăci omogene.

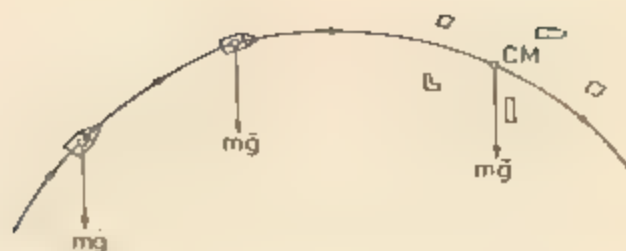


Fig. 5.4. Centrul de masă al unui obuz continuă să se miște după explozie pe parabolă (în vîd) centru de masă al schijelor, neperturbat pe parabolă (în vîd)

EXEMPLU

Să se calculeze CM al plăcii omogene din figura 5.3

Rezolvare Placa fiind omogenă, masele sînt proporționale cu ariile și în (5.16) putem folosi ariile respective. Alegînd axele ca în figură, avem

$$x_{CM} = \frac{ad \cdot \frac{a}{2} + (b-d)c \cdot \frac{c}{2}}{ad + (b-d)c}, \quad y_{CM} = \frac{ad \cdot \frac{d}{2} + (b-d)c \cdot \left(d + \frac{b-d}{2}\right)}{ad + (b-d)c}.$$

Cele două teoreme privind CM, de la § 5.3, rămîn valabile și în cazul unui sistem oarecare. Astfel, de exemplu, dacă rezultanta forțelor externe este zero (sau dacă sistemul este izolat), centrul său de masă va fi în repaus sau în mișcare rectilinie uniformă, deși părțile sistemului se pot mișca accelerat.

Mișcarea centrului de masă este dictată de forțele externe; forțele interne nu influențează mișcarea centrului de masă. De exemplu, dacă un obuz care se mișcă liber în vîd (sub acțiunea gravitației) explodează la un moment dat, centrul său de masă continuă să se miște, ca centrul de masă al schijelor, neperturbat pe parabolă, ca și cum nimic nu s-ar fi întâmplat, pînă cînd macar una din schije atinge pămîntul și apare o forță externă care va devia CM de pe parabolă (fig. 5.4).

Într-un câmp gravitațional omogen centrul de masă coincide cu centrul de greutate (punctul de aplicație al rezultantei forțelor de greutate).

5.6. CIOCNIRI

Prin ciocnirea a două sau mai multe corpuri se înțelege un proces de interacțiune care durează un timp finit, astfel încît atît înainte, cît și după ciocnire corpurile nu interacționează. La ciocnirea corpurilor macroscopice interacțiunea durează atît timp cît corpurile sînt în contact și acest timp de contact este foarte scurt față de duratele obișnuite (timpul de contact este de ordinul milisecundelor).

La ciocnirea a două corpuri (macroscopice) putem distinge două faze sau etape. Imediat ce corpurile vin în contact începe frînarea lor reciprocă, bruscă, și deformarea lor. Energia cinetică de mișcare relativă a unui corp față de celălalt se transformă prin lucrul mecanic al forțelor interne de ciocnire, în energie potențială de deformare a corpurilor. La un moment dat

viteza relativă a unui corp față de celălalt se reduce la zero, iar deformările lor sînt maxime. Energia cinetică de mișcare relativă s-a transformat în energie potențială de deformare și în alte forme de energie (în special căldură). În acest moment corpurile au o viteză comună, se mișcă solidar și în acest moment se termină prima fază a ciocnirii, numită faza *comprimării*. Imediat începe faza a doua a ciocnirii: faza *separării*. Corpurile încep să se depărteze unul față de altul, viteza relativă a unui corp față de celălalt crește, deformările lor se reduc, corpurile caută să revină la forma lor inițială. Energia potențială de deformare se transformă parțial în energie cinetică de mișcare relativă a corpurilor. În momentul cînd se separă complet, se termină faza de comprimării sau separării.

La ciocnirea unor corpuri elastice (bile de oțel, bile de fildes), deformările dispar după ciocnire, corpurile își recapătă forma lor inițială, energia cinetică „relativă” se restituie aproape integral și ciocnirea se cheamă *elastică*. Dar, în general, după ciocnire rămîn deformații *remanente*, de exemplu la bilele de plumb sau de plastilină.

În timpul ciocnirii apar forțe de interacțiune mari între corpurile care se ciocnesc, dar aceste forțe durează foarte puțin, atîta timp cît durează ciocnirea (contactul dintre corpuri). Conform principiului acțiunii și reacțiunii, forțele cu care acționează cele două corpuri, unul asupra celuilalt, sînt egale în modul și de sensuri opuse (fig. 5.5). Forțele normale se datoresc deformării elastice reciproce a celor două corpuri, iar forțele tangențiale se datoresc frecării dintre corpuri în planul de contact (întrepătrunderii asperităților sau rugozităților suprafețelor în contact).

Pentru sistemul format din cele două corpuri forțele care apar în procesul ciocnirii sînt forțe *interne* și dau rezultantă *nulă*. Prin urmare aceste forțe nu pot schimba impulsul *total* al celor două corpuri, dar îl *redistribuie* între cele două corpuri. De exemplu, dacă un vagonet lovește un altul aflat în repaus, acesta din urmă va căpăta un impuls pe seama impulsului primului corp: *avem un transfer de mișcare mecanică și de impuls de la un corp la altul prin ciocnire*.

În timpul foarte scurt cît durează ciocnirea, forțele externe obișnuite (de exemplu forțele de frecare sau forțele de greutate) nu pot modifica sensibil impulsul total al sistemului. De aceea chiar dacă corpurile care se ciocnesc sînt supuse la forțe externe, putem totuși scrie conservarea impulsului total al sistemului în sensul următor:

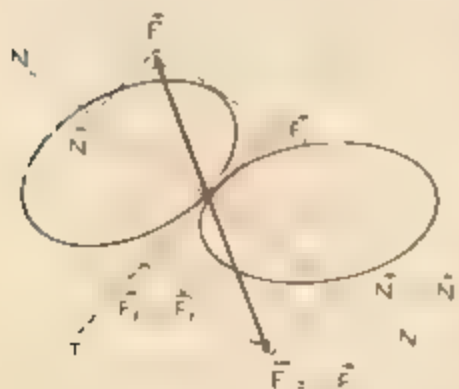


Fig. 5.5. Forțele care apar la ciocnirea a două corpuri

Suma vectorială a impulsurilor corpurilor imediat înainte de ciocnire trebuie să fie egală cu suma vectorială a impulsurilor corpurilor imediat după ciocnire

$$P_{\text{initial}} = p_1 + p_2 + \dots = P_{\text{final}}$$

(5.17)

De exemplu, în cazul a două particule:

$$m_1 \vec{v}_1 + m_2 \vec{v}_2 = m_1 \vec{v}'_1 + m_2 \vec{v}'_2. \quad (5.18)$$

Ecuația de conservare a impulsului este o egalitate vectorială. Ea se scrie pînă la urmă pe componente într-un sistem de coordonate ales convenabil.

Astfel, dacă înainte și după ciocnire particulele se mișcă pe *aceeași dreaptă* — cazul *unidimensional* — alegem această dreaptă drept axă Ox și atunci ecuația de conservare a impulsului devine:

$$m_1 v_1 + m_2 v_2 = m_1 v'_1 + m_2 v'_2, \quad (5.19)$$

unde vitezele inițiale v_1, v_2 și cele finale v'_1, v'_2 , pot fi pozitive sau negative după cum particulele se mișcă în sensul pozitiv ales sau cel negativ al axei.

5.6.1. **Ciocnirea plastică (total neelastică).** Un caz particular important al ciocnirilor este ciocnirea *total neelastică* sau *plastică*. În acest caz, prin ciocnire corpurile *se cupleză* — se lipesc — și își continuă mișcarea împreună, cu aceeași viteză comună. Exemple: cînd aruncăm o piatră într-un vagonet sau alergăm după un vagonet (tramvai, barcă) și sărim în el sau cînd un glonț rămine înfipt într-o țintă sau un obiect fragil cade jos pe podea etc. Reversul acestor ciocniri este cazul descompunerii sau deslăcării unui corp în mai multe fragmente (de exemplu cazul exploziei unui obuz). Dacă filmăm acest proces și proiectăm filmul în sens invers, obținem exact cazul ciocnirii plastice, și invers, o ciocnire plastică filmată și proiectată în sens invers apare ca o dezagregare, descompunere sau explozie. De aceea și aceste procese de descompunere pot fi înglobate în categoria de ciocniri plastice. De exemplu sărim din mers dintr-un vagonet (cărucior, barcă) sau aruncăm dintr-un vagonet sau barcă diferite obiecte etc. În toate aceste cazuri se aplică evident legea conservării impulsului.

Fie două particule cu masele m_1, m_2 și vitezele \vec{v}_1, \vec{v}_2 care se ciocnesc plastic. Înainte de ciocnire avem două corpuri cu impulsurile $m_1 \vec{v}_1, m_2 \vec{v}_2$, iar după ciocnire avem un singur corp de masă $m_1 + m_2$ și viteză \vec{v}' . Scriem legea conservării impulsului total:

$$m_1 \vec{v}_1 + m_2 \vec{v}_2 = (m_1 + m_2) \vec{v}', \text{ de unde } \vec{v}' = \frac{m_1 \vec{v}_1 + m_2 \vec{v}_2}{m_1 + m_2}. \quad (5.20)$$

Viteza finală se poate afla și grafic. Reprezentăm la o anumită scară vitezele și impulsurile (fig. 5.6). Compunem vectorial impulsurile $m_1 \vec{v}_1$ și $m_2 \vec{v}_2$ (după regula paralelogramului) și rezultatul îl împărțim la masa totală $m_1 + m_2$.

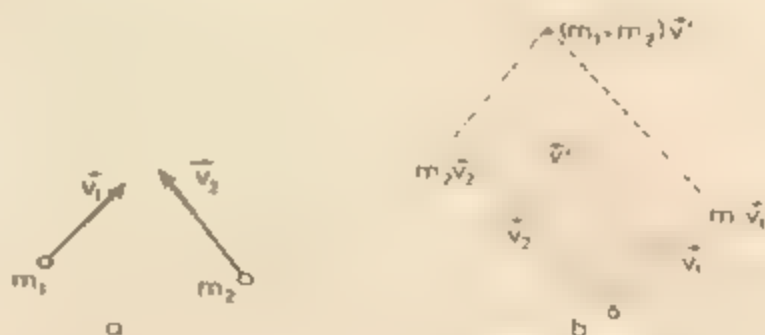


Fig. 5.6. Ciocnirea plastică a două particule

În cazul *unidimensional* formula (5.20) devine

$$v' = \frac{m_1 v_1 + m_2 v_2}{m_1 + m_2}. \quad (5.21)$$

În ciocnirea plastică o parte din energia cinetică a corpurilor se transformă în alte forme de energie (în special în căldură)

$$\begin{aligned} \frac{1}{2} m_1 v_1^2 + \frac{1}{2} m_2 v_2^2 &= \frac{1}{2} (m_1 + m_2) v'^2 + Q, \\ Q = -\Delta E_c &= \frac{1}{2} m_1 v_1^2 + \frac{1}{2} m_2 v_2^2 - \frac{1}{2} (m_1 + m_2) v'^2. \end{aligned} \quad (5.22)$$

Introducând aici pe v' din (5.21), obținem:

$$Q = -\Delta E_c = \frac{1}{2} \frac{m_1 m_2}{m_1 + m_2} (v_1 - v_2)^2 = \frac{1}{2} m_r v_r^2, \quad (5.23)$$

unde $v_r = v_1 - v_2$ este viteza relativă (a particulei 1 față de particula 2), iar m_r se numește masă redusă a celor două particule. Prin urmare, numai energia cinetică de mișcare relativă (a unei particule față de alta) dispare prin cuplarea particulelor, transformându-se în alte forme de energie.

EXEMPLU

Doi cărucioare de mase $m_1 = 1,00 \text{ kg}$, $m_2 = 2,00 \text{ kg}$ se mișcă unul spre celălalt cu vitezele $v_1 = 1,00 \text{ m/s}$, $v_2 = 2,00 \text{ m/s}$. Prin ciocnire caracterizată se produce o ciocnire plastică. Care va fi viteza lor comună după ciocnire și energia cinetică pierdută?

Rezolvare. Am ales axa Ox în sensul mișcării primului cărucior, de aceea viteza v_2 este negativă. Scriem conservarea impulsului:

$$m_1 v_1 + m_2 v_2 = (m_1 + m_2) v', \quad v' = \frac{m_1 v_1 + m_2 v_2}{m_1 + m_2};$$

$$v' = \frac{1,00 \text{ kg} \cdot 1,00 \text{ m/s} - 2,00 \text{ kg} \cdot 2,00 \text{ m/s}}{1,00 \text{ kg} + 2,00 \text{ kg}} = -1,00 \text{ m/s}.$$

Semnul minus arată că după ciocnire și cuplare cărucioarele se vor mișca în sensul negativ al axei alese Ox , adică în sensul vitezei inițiale a celui de al doilea cărucior (care a avut un impuls inițial mai mare).

Energia cinetică pierdută ($v_r = v_1 - v_2 = 1,00 - (-2,00) = 3,00 \text{ m/s}$).

$$Q = -\Delta E_c = \frac{1}{2} \frac{m_1 m_2}{m_1 + m_2} (v_1 - v_2)^2 = 3,00 \text{ J}.$$

5.6.2. Ciocnirea perfect elastică. Un alt caz particular simplu al ciocnirilor este ciocnirea *perfect elastică*. În acest caz deformațiile corpurilor dispar după ciocnire, energia cinetică „relativă”, transformată în timpul ciocnirii în energie potențială de deformare elastică, se restituie integral în energie cinetică după ciocnire.

Ciocnirea este perfect elastică dacă energia cinetică a corpurilor se conservă
 adică energia cinetică totală a corpurilor înainte de ciocnire este
 egală cu energia cinetică totală a corpurilor după ciocnire:

$$\frac{1}{2} m_1 v_1^2 + \frac{1}{2} m_2 v_2^2 = \frac{1}{2} m_1 v_1'^2 + \frac{1}{2} m_2 v_2'^2. \quad (5.24)$$

Bineînțeles, mai avem și ecuația de conservare a impulsului total:

$$m_1 v_1 + m_2 v_2 = m_1 v_1' + m_2 v_2'. \quad (5.25)$$

În natură nu există *rigor* ciocniri perfect elastice între corpuri macroscopice, dar de multe ori corpurile elastice (de exemplu bilele de fildes, de oțel, cărucioarele prevăzute cu lamjone resorturi elastice) le putem considera verifică bine condiția (5.24).

De obicei cunoaștem masele și vitezele inițiale ale corpurilor și vrem să aflăm vitezele lor finale. Avem o ecuație de conservare a energiei cinetice (5.24) și trei ecuații algebrice (pe componente) de conservare a impulsului (5.25), deci 4 ecuații și 3 + 3 = 6 necunoscute pentru componentele vitezelor finale. Prin urmare, în cazul general al ciocnirii în spațiu a două particule, datele și ecuațiile de care dispunem nu sunt suficiente. În cazul ciocnirii în plan vom avea 1 + 2 = 3 ecuații și 2 + 2 = 4 necunoscute, deci trebuie să mai cunoaștem o dată asupra ciocnirii.

În cazul *unidimensional* întâlnit înainte, atât și după ciocnire particulele se mișcă pe *aceeași dreaptă* pe care o alegem drept axa Ox , avem două ecuații de conservare și două necunoscute:

$$\frac{1}{2} m_1 v_1^2 + \frac{1}{2} m_2 v_2^2 = \frac{1}{2} m_1 v_1'^2 + \frac{1}{2} m_2 v_2'^2, \quad (5.26)$$

$$m_1 v_1 + m_2 v_2 = m_1 v_1' + m_2 v_2'. \quad (5.27)$$

Sistemul se rezolvă astfel. Treiem termenii care conțin pe m_1 în stînga și pe cei care conțin pe m_2 în dreapta:

$$m_1(v_1^2 - v_1'^2) = m_2(v_2'^2 - v_2^2)$$

sau

$$m_1(v_1 - v_1')(v_1 + v_1') = m_2(v_2' - v_2)(v_2' + v_2),$$

și

$$m_1(v_1 - v_1') = m_2(v_2' - v_2).$$

Împărțim membru la membru cele două ecuații

$$v_1 + v_1' = v_2' + v_2 \text{ sau } v_1 - v_2 = -(v_1' - v_2') \text{ sau } (v_1 - v_2) = -(v_1' - v_2'). \quad (5.28)$$

Aici $v_1' - v_2'$ reprezintă viteza *relativă* v_r a particulei 1 față de particula 2, după ciocnire, iar $v_1 - v_2$ reprezintă viteza relativă v_r înainte de ciocnire. Prin urmare, în ciocnirea perfect elastică unidimensională a două particule una din ele (de exemplu prima) se apropie de cealaltă cu o anumită viteză relativă $v_r = v_1 - v_2$, o lovește și se întoarce înapoi cu o viteză relativă egală în modul dar de semn schimbat.

Ecuația (5.28) împreună cu ecuația de conservare a impulsului (5.27) ne permite să aflăm imediat vitezele finale v'_1, v'_2 după ciocnirea perfect elastică unidimensională a două particule:

$$v'_1 = 2 \frac{m_1 v_1 + m_2 v_2}{m_1 + m_2} - v_1, \quad v'_2 = 2 \frac{m_1 v_1 + m_2 v_2}{m_1 + m_2} - v_2. \quad (5.29)$$

Discuție. a) Dacă particula 2 era în repaus înainte de ciocnire ($v_2 = 0$), obținem:

$$v'_1 = \frac{m_1 - m_2}{m_2 + m_1} v_1, \quad v'_2 = \frac{2m_1}{m_1 + m_2} v_1. \quad (5.30)$$

Se vede că în acest caz corpul 2 va căpăta o viteză v_2 în sensul în care este lovit (v_2 este de același semn cu v_1) în timp ce primul corp se poate întoarce înapoi dacă masa sa m_1 este mai mică decât a celui de-al doilea corp.

b) Dacă masele sînt egale, din (5.29) rezultă că $v'_1 = v_2$, $v'_2 = v_1$, corpurile schimbă vitezele între ele, ca și cum ar trece unul pe lângă celălalt fără să se atingă, unul luînd locul celuilalt. În aceleași condiții (adică $m_1 = m_2$), dacă al doilea corp era în repaus ($v_2 = 0$), atunci primul corp se oprește ($v'_1 = 0$), iar al doilea pornește cu viteza primului ($v'_2 = v_1$). Aceste rezultate sînt frumos ilustrate de următorul experiment.

EXPERIMENT

Suspendăm două bile identice pe fire paralele egale (fig. 5.7). Dacă deviem o bilă cu un anumit unghi și îi dăm drumul să se ciocnească cu cealaltă, atunci prin ciocnire prima se va opri, iar a doua va fi deviată aproape cu același unghi ca prima. După aceasta, bila a doua se întoarce înapoi și o lovește pe prima, oprindu-se la rîndul ei, și așa mai departe pînă ce mișcarea se stinge sau se strică (bilele nu mai rămîn în același plan vertical, dacă nu sînt perfect centrate sau dacă nu sînt suspendate fiecare prin 2 fire în forma literei V).

Dacă acum bila deviată are masă mai mare decât cea aflată în repaus, atunci după ciocnire ea va devia în continuare; dacă are masă mai mică, ea va fi deviată înapoi.

Observăm că în orice fel de ciocnire impulsul total al sistemului (izolat) se conservă, fiindcă rezultanta forțelor interne de ciocnire este totdeauna zero (principiul III), în timp ce energia cinetică totală în general nu se conservă, fiindcă lucrul mecanic al forțelor interne nu este în general zero și

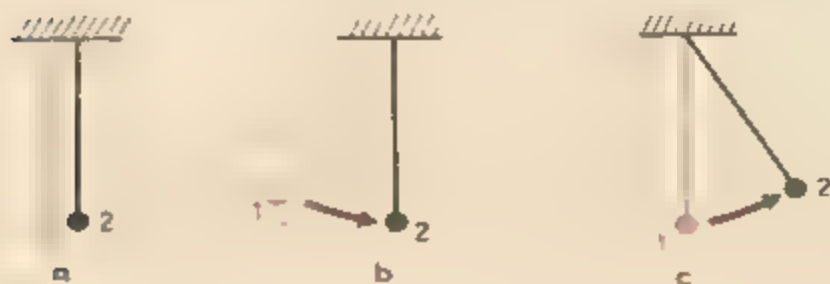


Fig. 5.7. Ciocnirea a două bile identice, dintre care una este în repaus

atunci o parte din energia cinetică se transformă în *alte* forme de energie (căldură sau alte forme disipate în mediu). În cazul exploziilor (descompunerilor) se creează energie cinetică pe seama altor forme ale energiei interne (chimică etc.). Bineînțeles, energia *totală* a sistemului izolat se conservă (principiul conservării energiei).

5.6.3. Ciocnirea cu un perete. În copilărie ne-am jucat cu mingea, aruncând-o pe podea sau pe perete și apoi prinzând-o. Observații simple ne arată că dacă aruncăm mingea perpendicular pe perete (sau pe podea), ea se întoarce înapoi tot perpendicular pe perete cu o viteză egală în modul, dar de semn schimbat, față de viteza inițială.

În teoria ciocnirilor se înțelege prin *ciocnirea cu un perete* — *ciocnirea cu un corp de masă foarte mare, astfel încât viteza acestuia nu se schimbă prin ciocnire*.

Acesta este cazul ciocnirii unei mingi cu podeaua sau cu un perete (eventual mobil) sau cazul ciocnirii unei molecule de gaz cu pereții vasului în care se găsește gazul sau cu pistonul (mobil) dacă gazul se află într-un cilindru cu piston.

Să considerăm ciocnirea perfect elastică (unidimensională) cu un corp de masă m_2 foarte mare (față de m_1). Să transcriem atunci formulele (5.29) sub următoarea formă:

$$v_1' = 2 \frac{\frac{m_1}{m_2} v_1 + v_2}{\frac{m_1}{m_2} + 1} - v_1; \quad v_2' = 2 \frac{\frac{m_1}{m_2} v_1 + v_2}{\frac{m_1}{m_2} + 1} - v_2. \quad (5.31)$$

Dacă masa m_2 este foarte mare, atunci fracția $\frac{m_1}{m_2}$ va fi foarte mică și pentru m_2 extrem de mare, fracția m_1/m_2 se va micșora pînă la zero. Atunci formulele de mai sus devin (punind $m_1/m_2 = 0$):

$$v_1' = 2v_2 - v_1, \quad v_2' = v_2, \quad (5.32)$$

adică în adevăr viteza peretelui (de masă m_2) nu se schimbă prin ciocnire ($v_2' = v_2$). Prima formulă se obține și direct din condiția (5.28) pentru viteza relativă în ciocnirea perfect elastică unidimensională, dacă punem, $v_2' = v_2$.

În cazul cînd peretele este în repaus ($v_2 = 0 = v_2'$), obținem rezultatul așteptat: $v_1' = -v_1$, adică particula se întoarce înapoi (ricosează) cu aceeași viteză în modul (fig. 5.8, a).

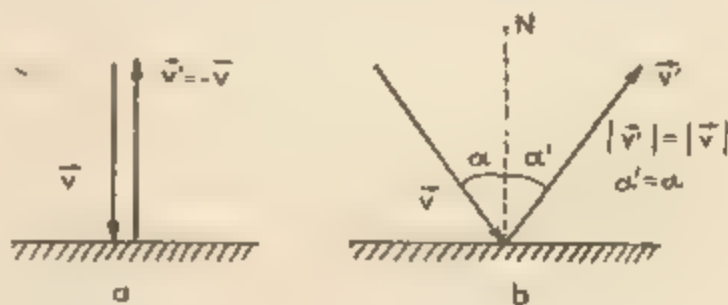


Fig. 5.8. Ciocnirea perfect elastică cu un perete în repaus. a) frontală, b) oblică

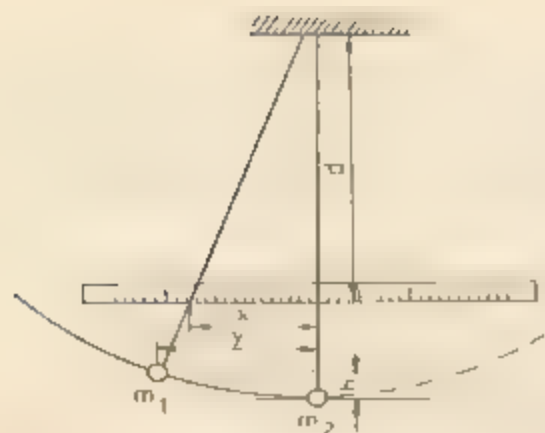


Fig. 5.9. Depoziv pentru verificarea legilor de conservare la ciocniri

În sfârșit, dacă particula lovește oblic și perfect elastic un perete aflat în repaus, ea ricoșează sub un unghi de „reflexie” α' , egal cu unghiul de „incidență” (de cădere) α și cu viteza \vec{v}' este egală în modul cu viteza \vec{v} (fig. 5.8, b):

$$|\vec{v}'| = |\vec{v}|, \alpha' = \alpha. \quad (5.33)$$

Verificarea experimentală a legilor de conservare la ciocniri se poate face de exemplu cu dispozitivul simplu din figura 5.9.

Două bile de mase m_1 , m_2 cunoscute sînt suspendate pe fire paralele apropiate, de lungime l (~ 50 cm). Bila m_1 este deviată, astfel încît firul sau de suspensie să se deplaseze cu o distanță x (~ 5 cm), măsurată pe o riglă gradată, bila m_2 rămîne în repaus. După ciocnire notăm încăși distanțele x_1 , x_2 cu care deviază firele de suspensie ale bilelor.

Viteza imediat înainte sau imediat după ciocnire se exprimă prin înălțimea respectivă h : $v = \sqrt{2gh}$ (fig. 5.9). Conform fig. 5.9, din asemanare triunghiurilor dreptunghice rezultă

$$\frac{y}{x} = \frac{l}{d} \frac{h}{d}, \text{ dar } y = \sqrt{l^2 - (l - h)^2} = \sqrt{h(2l - h)}$$

Considerînd devieri cu unghiuri mici, deci $h \ll l$, putem scrie aproximativ (neglijînd pe h față de l și $2l$):

$$\frac{y}{x} \approx \frac{l}{d} \quad y \approx \sqrt{2hl}, \text{ de unde } \sqrt{2h} \approx \frac{x}{d} \sqrt{l}$$

și deci viteza

$$v = \sqrt{2gh} \approx x \sqrt{\frac{gl}{d^2}} = Cx, \quad (5.34)$$

unde

$$C = \sqrt{\frac{gl}{d^2}},$$

este constanta aparatului pe care o calculăm de la bun început.

Alegînd o deviație x_1 și măsurînd deviațiile x'_1 și x'_2 , calculăm vitezele v_1 și v'_2 cu (5.34) și le comparăm cu vitezele teoretice calculate cu (5.30) în cazul ciocnirii perfect elastice.

În cazul ciocnirii plastice trebuie verificată relația ($v_2 = 0$):

$$v' = \frac{m_1}{m_1 + m_2} v_1. \quad (5.35)$$

În acest caz, bilele trebuie să se lipească (cupleze) (bile din plastilină sau alt material convenabil).

Cu o anumită îndemînare se pot măsura direct înălțimile h cu ajutorul unei rigle așezate vertical pe masă în dreptul bilei respective.

1. Un corp de masă $m = 10,0 \text{ kg}$ având viteza inițială $v_0 = 10,0 \text{ m/s}$ este frinat cu o forță constantă $F = 50 \text{ N}$ (pe aceeași direcție cu viteza). Să se afle timpul până la oprirea corpului.

Rezolvare. Scriem legea impulsului $\vec{F}\Delta t = \Delta\vec{p} = m\vec{v} - m\vec{v}_0$. Dacă Δt este timpul până la oprire, atunci viteza finală $v = 0$ (conținut de sprânc, și proiectând ecuația pe axa mișcării)

$$F\Delta t = 0 - m v_0 \Rightarrow \Delta t = \frac{mv_0}{F} = \frac{10,0 \text{ kg} \cdot 10,0 \text{ m/s}}{50 \text{ N}} = 2,0 \text{ s}.$$

Analog, dacă un corp este aruncat vertical în sus cu viteza inițială v_0 , atunci forța de greutate îl frânează și timpul de urcare va fi $t_0 = mv_0/mg = v_0/g$ (ceea ce înseamnă că

2. O minge cu masa $m = 0,10 \text{ kg}$ lovește frontal un perete cu viteza $v = 5,0 \text{ m/s}$. Dacă timpul de contact cu peretele este $\Delta t = 1,0 \text{ ms}$, să se afle forța medie care apare la contactul dintre minge și perete.

Rezolvare. Să scriem legea impulsului pentru minge (fig. 5.9, a): $\vec{F}_m \Delta t = m\vec{v}' - m\vec{v}$. Dar $\vec{v}' = -\vec{v}$ din condiția de ciocnire perfect elastică, deci atunci $\vec{F}_m \Delta t$

$$-2m\vec{v}, \vec{F}_m = -\frac{2m\vec{v}}{\Delta t}. \text{ Prin urmare, forța exerci}$$

tată asupra mingii din partea peretelui este perpendiculară pe perete și de sens opus vitezei inițiale și are valoarea

$$F_m = \frac{2m}{\Delta t} = \frac{2 \cdot 0,100 \text{ kg} \cdot 5,0 \text{ m/s}}{1,0 \cdot 10^{-3} \text{ s}} = 1,0 \cdot 10^3 \text{ N}.$$

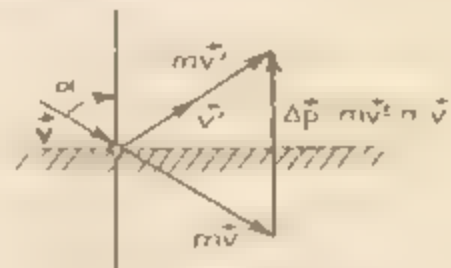


Fig. 5.10. Variația impulsului la ciocnirea perfect elastică cu perete în c (problemă rezolvată 2)

cu a mingei lovește oblic peretele (fig. 5.10), atunci variația impulsului se schimbă

prin scăderea vectorială: $\Delta\vec{p} = m\vec{v}' - m\vec{v}$ (fig. 5.10).

În valoarea absolută

$$|\Delta\vec{p}| = 2mv \cos \alpha, F_m = \frac{2mv \cos \alpha}{\Delta t} \quad (5.36)$$

și forța este de asemenea perpendiculară pe perete.

- 3*. Un elev stă pe un cărucior aflat în repaus și ține în mână două bile, fiecare de masă $m = 2,0 \text{ kg}$. Masa elevului și a căruciorului este $M = 60,0 \text{ kg}$. Elevul imprimă bilor o viteză $u = 1,1 \text{ m/s}$ relativă la el înainte de aruncare (ceea ce înseamnă că imprimă bilor același impuls $F\Delta t = m v_{\text{final}} - m v_{\text{initial}} = m u$). Care va fi viteza finală a căruciorului, dacă elevul aruncă bilele în același sens: a) simultan, b) succesiv? Câtă energie cinetică creează elevul?

Rezolvare. a) La aruncarea simultană:

$$0 = Mv' + 2mu, v' = -\frac{2m}{M}u = -\frac{0,52}{3} = -0,21 \text{ m/s};$$

$$\Delta E_c = \frac{m}{M} (M + 2m)u^2 = 20,5 \text{ J}.$$

Viteza imprimată căruciorului este opusă vitezei de aruncare a bilei (semnul minus).

b) La prima aruncare:

$$0 = (M + m)v_1 + mu, v_1 = -\frac{m}{M + m}u, \Delta E_{c1} = \frac{1}{2}mu^2 \frac{M}{M + m} = 9,92 \text{ J}.$$

La a doua aruncare: $(M + m)v_1 = Mv_2 + m(v_1 + u)$.

$$v_2 = v_1 + \frac{m}{M} u = \frac{m(2M + m)}{M(M + m)} u = -\frac{0,61}{3} = -0,20 \text{ m/s}, \quad |v'| > |v_2|;$$

$$\Delta E_{cz} = \frac{1}{2} mu^2 \frac{M + m}{M} = 9,93 \text{ J.}$$

În toate ecuațiile de conservare a impulsului vitezele corpurilor trebuie luate față de același sistem de referință (Pământul), de aceea în ultima ecuație apare viteza bilei $v_1 + u$ față de Pământ, fiindcă bila are deja viteza căruciorului v_1 la care se adaugă viteza u imprimată față de cărucior. Se poate scrie ecuația a doua și față de sistemul de referință care se mișcă cu viteza v_1 a căruciorului: $0 = Mv'_2 + mu$, unde v'_2 este a doua viteză a căruciorului față de prima viteză v_1 . Atunci față de Pământ $v_2 = v_1 + v'_2$ și regăsim rezultatul de mai sus.

Să reluăm problema, dar considerând că elevul aruncă bilele în sensuri opuse: a) simultan, b) succesiv.

a) La aruncarea simultană: $0 = Mv' + mu - mu$, $v' = 0$, ceea ce era de așteptat; cele două impulsuri imprimate se compensează fiind egale în modul și de sensuri opuse:

$$\Delta E_c = mu^2 = 19,22 \text{ J.}$$

b) La prima aruncare: $0 = (M + m)v_1 + mu$, $v_1 = -\frac{m}{m + M} u$ și la a doua aruncare:

$$(M + m)v_1 = Mv_2 + m(v_1 + u), \quad v_2 = v_1 + \frac{m}{M} u = \frac{m^2 u}{M(M + m)} = \frac{1}{300} \cdot \frac{m}{m} = 3,0033 \text{ m/s,}$$

deci căruciorul va căpăta pînă la urmă o viteză în sensul primei aruncări, ceea ce era de așteptat deoarece a doua aruncare are efect mai puternic asupra căruciorului, acesta avînd acum o masă mai mică. Energiile cinetice create sînt același ca la aruncarea succesivă în același sens.

ÎNTREBĂRI, EXERCIIU, PROBLEME

1. Un meteorit arde în atmosferă, fără a ajunge la suprafața Pământului. Unde dispare impulsul său?

R: parțial în particulele de ardere, parțial în moleculele de aer lovite.

2. Un disc omogen se rotește în jurul unei axe fixe. Care este impulsul său total?

R: zero.

3. Cum s-ar putea întoarce un cosmonaut, ieșit în spațiul cosmic, înapoi la nava cosmică, dacă cablul care îl leagă de navă se rupe, știind că cosmonautul are cu el o trusă de instrumente?

R: aruncă instrumentele în sensul opus.

4. Pe o scindură stă un om. Cum se va încovoia scindura în primul moment cînd omul brusc se ghemuiește? Dar dacă, odată ghemuit, se ridică brusc?

R: se ridică; coboară.

5. Întrîmplarea povestită de Münchhausen că ar fi ieșit dintr-o mlaștină (cu cal cu tot) trăgîndu-se cu putere de pînă în sus poate fi adevărată?

R: nu.

6. Poate un om să se ridice pe el însuși, trăgând de un capăt al unei sfori, care este trecută peste un scripete (cu axă orizontală fixă) și legată cu celălalt capăt la brâu său? Cu ce forță trebuie să tragă de sfoară?

R: $F = G/2$.

7. S-ar putea propulsa o barcă cu pinze, suflând aer spre pinze cu ajutorul unui ventilator instalat în barcă? Dar dacă suflăm alături de pinze (adică fără a nimeri în pinze)?

R: nu; da.

8*. Deși forțele interne ale unui sistem nu pot modifica impulsul total (rezultant) al sistemului, ele pot crea sau anihila două impulsuri egale în modul și de sensuri opuse purtate de două părți componente ale sistemului (de exemplu în cazul exploziilor sau al răsucirilor plastice). Cum ați putea explica înaintarea vapoarelor și a avioanelor cu elice?

R: impulsul navei este opus impulsului imprimat în elice.

9. Carnatițele se pot deplasa cu o viteză până la 60 m/s, ejectând periodic apă pe care o absorb. Pe ce principii se bazează deplasarea lor?

R: conservarea impulsului.

10. Dacă umflăm un balon de cauciuc cu aer și forțăm să iasă aerul dintr-un orificiu în jos, ce se va întâmpla?

R: se va ridica în sus.

11. Ce se întâmplă cu o barcă ușoară când ne deplasăm pe ea de la un capăt la celălalt?

R: se deplasează în sens invers.

12. Dacă pe un cârucișor este suspendat un pendul și îi dăm drumul să oscileze, ce se va întâmpla cu cârucișorul?

R: va oscila în sens invers.

13. a) De ce tind atletii să înlăture după o săritură trebuie să nu-și neglijeze puțin picioarele? Dar dacă am sta țesapăn?

b) De ce putem sări fără pericol de la etajul doi sau trei pe o plasă elastică întinsă deasupra solului?

c) Când un fotbalist prinde mingea, el relaxează puțin mușchii nărilor și se retrage puțin înăpoi împreună cu mingea. De ce? Dacă ar sta țesapăn și ar ține nărilor țesapăn, ce s-ar întâmpla?

R: forța medie de impact (clocnir) este invers proporțională cu durata ciocnirii (v. relația 5.36).

14. Pe o masă de biliard stau două bile de diametre egale, dar probabil de mase diferite. Cum putem determina fără cântar sau alte aparate, dacă bilele au mase egale sau care anume are masă mai mare?

R: prin ciocnirea, (v. relația 5.30)

15. Impulsul unui corp este $p = 4,0 \text{ N} \cdot \text{s}$, iar energia cinetică $E_c = 8,0 \text{ J}$. Să se afle masa și viteza corpului.

$$R: m = \frac{p^2}{2E_c} = 1,0 \text{ kg}; v = \frac{2E_c}{p} = 4,0 \text{ m/s}.$$

16. Ecuația de mișcare a unui punct material de masă $m = 0,20 \text{ kg}$ este $x = 2 - t + t^2$. Să se scrie expresia impulsului în funcție de timp.

$$R: p = mv = -0,2 + 0,4 t.$$

17. Un punct material cu masa $m = 1,0 \text{ kg}$ se mișcă circular uniform cu viteza $v = 10 \text{ m/s}$. Să se calculeze variația de impuls în timpul a) unei perioade, b) unei jumătăți de perioadă, c) unui sfert de perioadă.

$$R: |\Delta \vec{p}| = 0, 2mv = 20 \text{ N} \cdot \text{s}; \sqrt{2} \cdot mv = 14,1 \text{ N} \cdot \text{s}$$

18. O bilă cu masă $m = 100 \text{ g}$ e lăsată liber pe un plan orizontal având în momentul lovirii o viteză $v = 10 \text{ m/s}$. Să se afle variația impulsului prin lovire, considerând lovirea a) perfect elastică, b) absolut inelastică, plastică. Dacă durata ciocnirii a fost $\Delta t = 20 \text{ ms}$, care a fost forța medie de lovire?

$$\text{R: a) } \Delta p = 2mv = 2,0 \text{ N} \cdot \text{s} \quad F_m = \frac{\Delta p}{\Delta t} = 100 \text{ N},$$

$$\text{b) } \Delta p = mv = 1,0 \text{ N} \cdot \text{s}, F_m = 50 \text{ N}.$$

19. Un corp lovește frontal un pește. În ce raport este forța medie de contact în cazul curenului elastic, față de forța din cazul curenului plastic, dacă timpul de ciocnire este același?

$$\text{R: } 2.$$

20. Ce forță constantă de frinare trebuie aplicată unui tren de masă $m = 60 \text{ t}$, care se mișcă cu viteza $v_0 = 72 \text{ km/h}$, pentru a-l opri în $\Delta t = 10 \text{ s}$?

$$\text{R: } F = mv_0/\Delta t = 1,2 \text{ MN}.$$

21. Un corp cu masă $m_1 = 0,40 \text{ kg}$ și viteză $v_1 = 5,0 \text{ m/s}$ lovește un alt corp care se mișcă spre el pe o suprafață netedă. După lovire, primul corp s-a oprit. Care a fost impulsul celui de-al doilea corp?

$$\text{R: } p_2 = -m_1 v_1 = -2,0 \text{ N} \cdot \text{s}$$

22. Un vagonet dintr-un $M = 20 \text{ kg}$ cu o viteză $v = 10 \text{ m/s}$ (ce viteză va căpa în vagonetul dacă în el cade vertical un sac cu masă $m = 1,0 \text{ kg}$?

$$\text{R: } v' = \frac{M}{M+m} v = 2,0 \text{ m/s}$$

23. Două bile cu mase $m_1 = 1,0 \text{ kg}$ și $m_2 = 2,0 \text{ kg}$ se mișcă unul pe celălalt cu vitezele $v_1 = 1,0 \text{ m/s}$ și $v_2 = 2,0 \text{ m/s}$. Să se afle pierderea de energie cinetică (caldura) prin ciocnirea lor plastică.

$$\text{R: } Q = -\Delta E_c = \frac{1}{2} \frac{m_1 m_2}{m_1 + m_2} (v_1 - v_2)^2 = 3,0 \text{ J}$$

24. O bilă de lemn cu masa $M = 1,00 \text{ kg}$ stă pe un suport înclinat. Un glonț de masă $m = 10 \text{ g}$ vine de jos în sus și lovește cu viteză $v_0 = 100 \text{ m/s}$ în centrul masei. Care va fi timpul de interacțiune, în care căldura masivă (calorica) care se degajă?

$$\text{R: } t_m = \frac{m}{m+M} \cdot \frac{v_0}{g} = 0,30 \text{ s}, Q = \frac{1}{2} \frac{mM}{m+M} v_0^2 = 446 \text{ J}$$

25. Un om află într-o barcă frage cu ajutorul unei sferice a doua barcă. O forță constantă $F = 100 \text{ N}$. Masa primei bărci împreună cu omul este $m_1 = 100 \text{ kg}$, masa celei de a doua bărci este $m_2 = 50 \text{ kg}$. Neglijând rezistența apei, să se afle vitezele bărcilor după $\Delta t = 2,0 \text{ s}$.

$$\text{R: } v = F \Delta t / m_1 = 2,0 \text{ m/s}; v_2 = F \Delta t / m_2 = 4,0 \text{ m/s}$$

26. Un om de masă $m = 70 \text{ kg}$ parcurge lungimea unei bărci, de la prora la pupă ($l = 4,0 \text{ m}$). În timp ce se deplasează barca față de apă în același timp, dacă masa ei este $M = 30,0 \text{ kg}$?

$$\text{R: } s = \frac{m}{m+M} l = 2,8 \text{ m}.$$

27. Un vagon cu masă $m_1 = 10,0 \text{ t}$ se deplasează pe o cale ferată orizontală cu viteză inițială $v_0 = 10,0 \text{ m/s}$. După un timp $\Delta t = 10,0 \text{ s}$ el se ciocnește și se cuplează cu un al doilea vagon de masă $m_2 = 20,0 \text{ t}$ aflat în repaus. În timpul mișcării, atât înainte cât și după ciocnire, asupra fiecărui vagon acționează o forță de frecare egală cu $n = 98$ a părții din greutatea respectivului vagon. Să se afle viteza primului vagon

Înainte de ciocnire, viteza vagoanelor cuplate imediat după ciocnire și durata țegărită prin ciocnire, timpul și distanța până la oprirea vagoanelor cuplate.

$$\text{R: } v = v_0 - \frac{g}{n} \Delta t = 9,0 \text{ m/s}; v' = \frac{m_1}{m_1 + m_2} v_0 = 3,0 \text{ m/s}$$

$$Q = \frac{1}{2} \frac{m_1 m_2 v_0^2}{m_1 + m_2} = 270 \text{ kJ}; \Delta t' = \frac{v'}{g/n} = 30 \text{ s}; \Delta x' = \frac{v'^2}{2g/n} = 45 \text{ m}$$

28. Un obiect de masă $M = 10 \text{ kg}$ zboară cu viteza $v = 150 \text{ m/s}$. La un moment dat el explodează în două fragmente. Unul dintre ele de masă $m_1 = 30 \text{ kg}$ continuă să se miște înainte cu viteza $v_1 = 100 \text{ m/s}$. Care este viteza celui de al doilea fragment? Câtă energie cinetică se creează?

$$\text{R: } v_2 = \frac{Mv - m_1 v_1}{M - m_1} = 150 \text{ m/s}; E_c = \frac{1}{2} \frac{m_1 M}{M - m_1} (v - v_1)^2 = 4,05 \text{ MJ}$$

29. O moleculă de masă $m = 5,0 \cdot 10^{-26} \text{ kg}$ aflată într-un cilindru cu pistonul, se mișcă cu viteza $v_1 = 500 \text{ m/s}$ și ajunge din urmă pistonul care se mișcă cu viteza $v_2 = 1,0 \text{ m/s}$. Dacă se ciocnesc frontal perfect elastic, care este variația energiei cinetice și a impulsului moleculei în urma ciocnirii?

$$\text{R: } \Delta E_c = -2mv_2(v_1 - v_2) = -5,0 \cdot 10^{-12} \text{ J}; \Delta p = -2m(v_1 - v_2) = -5,0 \cdot 10^{-14} \text{ N} \cdot \text{s}$$

30. Două bile de mase m_1, m_2 sunt suspendate pe fire paralele, nelăungibile de lungime l . Una dintre bile este deplasată perpendicular față de poziția de echilibru și este lăsată să cadă. Bilele dau o ciocnire care este a) elastică, b) plastică. c) Câtă căldură se degajă în ultimul caz?

$$\text{R: } a) h_1 = h_2 \left(\frac{m_1 - m_2}{m_1 + m_2} \right)^2; h_2 = h_1 \left(\frac{2m_1}{m_1 + m_2} \right)^2; \\ b) h' = h_1 \left(\frac{m_1}{m_1 + m_2} \right)^2; c) Q = \frac{m_1 m_2}{m_1 + m_2} g h_1$$

31. O particulă de masă m_1 lovește o altă particulă de masă m_2 aflată în repaus. Să se afle ce fracțiune din energia cinetică inițială a particulei 1 este transferată particulei 2, dacă ciocnirea este a) perfect elastică, b) plastică, c) Cîtă căldură se transformă în căldură în ultimul caz?

$$\text{R: } a) \frac{4m_1 m_2}{(m_1 + m_2)^2}; b) \frac{m_1 m_2}{(m_1 + m_2)^2}; c) \frac{m_2}{m_1 + m_2}$$

6

MOMENTUL CINETIC

Alături de mărimile fizice impuls și energie cinetică, momentul cinetic joacă un rol important în fizică, în special în caracterizarea mișcării de rotație.

6.1 MOMENTUL FORȚEI. MOMENTUL CINETIC AL PUNCTULUI MATERIAL

6.1.1. Momentul forței în raport cu un punct. Dacă un corp are o articulație fixă în jurul căreia se poate roti liber, atunci aplicând o forță corpului, el se va roti în jurul unei axe trecând prin articulație. Axa de rotație va fi perpendiculară pe planul definit de articulație și forță (fig. 6.1)

Efectul de rotație este același, oriunde am aplica forța pe dreapta sa suport, de exemplu prin intermediul unui fir mai lung sau mai scurt. Dacă suportul forței trece prin articulație, forța nu poate produce rotație, ci doar trage de articulație.

Efectul de rotație este determinat atât de mărimea forței, cât și de distanța dreptei-suport a forței până la articulație.

Se numește brațul forței față de un punct distanța de la acel punct până la dreapta suport a forței, adică lungimea perpendiculei coborâte din acel punct pe dreapta suport a forței.

De exemplu, dacă înșurubăm o piuliță cu o cheie, efectul depinde atât de mărimea forței aplicate, cât și de brațul forței, adică de lungimea cheii, dacă aplicăm forța la capătul cheii, perpendicular pe cheie.



Fig. 6.1. O forță aplicată unui corp, având o articulație, îl rotește în jurul unei axe trecând prin articulație, perpendiculară pe planul definit de forță și articulație. Efectul de rotație este dat de momentul forței în raport cu articulația

Prin urmare, efectul de rotație se poate măsura prin produsul dintre forță și brațul ei, $F \cdot b$. Mai mult, ținând seama de direcția axei de rotație și de sensul rotației produse, putem introduce un *vector* având modulul Fb , direcția dată de axa de rotație și sensul pe această axă dat de sensul de înaintare al unui șurub (drept) rotit de forța aplicată (ca și cum corpul ar fi un șurub rotit cu forța \vec{F}). Acesta este *vectorul moment al forței* în raport cu articulația.

Poziția forței pe dreapta suport este dată de vectorul de poziție $\vec{r} = \vec{OA}$, care formează unghiul α cu vectorul forță \vec{F} , atunci brațul forței va fi $b = r \sin \alpha$ și modulul momentului:

$$M = bF = rF \sin (\vec{r}, \vec{F}) = rF \sin \alpha. \quad (6.1)$$

Prin urmare, din doi vectori \vec{r} și \vec{F} se obține un al treilea vector \vec{M} cu modulul $|\vec{r}| \cdot |\vec{F}| \cdot \sin (\vec{r}, \vec{F}) = rF \sin \alpha$, cu direcția perpendiculară pe cei doi vectori deci pe planul lor $[\vec{r}, \vec{F}]$ și cu sensul pe această direcție dat de sensul de înaintare al unui șurub sau burghiu așezat pe această direcție și rotit de la \vec{r} la \vec{F} . Se introduce astfel o nouă operație între vectori (fig. 6.2).

Se numește *produs vectorial* a doi vectori \vec{a}, \vec{b} , notat $\vec{a} \times \vec{b}$, un al treilea vector $\vec{c} = \vec{a} \times \vec{b}$, având modulul $|\vec{c}| = c = |\vec{a}| \cdot |\vec{b}| \cdot \sin (\vec{a}, \vec{b}) = ab \sin \alpha$, direcția perpendiculară pe planul vectorilor (\vec{a}, \vec{b}) deci pe fiecare din ei, iar sensul dat de regula burghiului.

Regula burghiului: se așază burghiul pe direcția respectivă și se rotește astfel încât primul vector \vec{a} să se suprapună peste cel de-al doilea \vec{b} , atunci sensul de înaintare al burghiului va fi sensul produsului vectorial $\vec{a} \times \vec{b}$.

Din figura 6.2 se vede că *modulul* produsului vectorial, adică $ab \sin \alpha$, este egal cu *aria paralelogramului* construit cu cei doi vectori (de exemplu baza b înmulțită cu înălțimea $a \sin \alpha$).

Produsul vectorial a doi vectori *coliniari* sau *paraleli* este *nul* ($\sin 0^\circ = 0$, $\sin 180^\circ = 0$) (de exemplu dacă \vec{r} și \vec{F} sînt paraleli sau coliniari, forța trece prin articulație).

Dacă schimbăm ordinea factorilor, atunci trebuie să rotim pe \vec{b} către \vec{a} , deci se schimbă sensul produsului vectorial. Prin urmare, produsul vectorial este *necomutativ*:

$$\vec{a} \times \vec{b} = -\vec{b} \times \vec{a}, \quad (6.2)$$

(se spune în acest caz că produsul este *anticomutativ*).

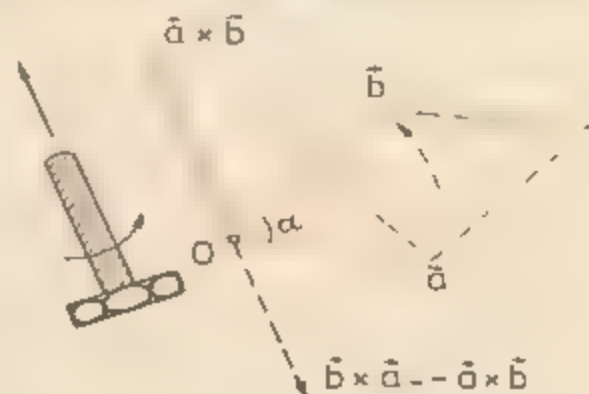


Fig. 6.2. Produsul vectorial a doi vectori $\vec{a} \times \vec{b}$ este un vector cu modulul $ab \sin \alpha$, cu direcție perpendiculară pe (\vec{a}, \vec{b}) și cu sensul dat de regula burghiului.

Dacă schimbăm sensul unuia dintre vectori, se schimbă și sensul vectorului produs.

Se poate verifica faptul că produsul vectorial este distributiv.

$$\vec{a} \times (\vec{b} + \vec{c}) = \vec{a} \times \vec{b} + \vec{a} \times \vec{c} \text{ și } (\vec{a} + \vec{b}) \times \vec{c} = \vec{a} \times \vec{c} + \vec{b} \times \vec{c}, \quad (6.3)$$

unde, bineînțeles, nu trebuie schimbată *ordinea* factorilor!

Într-un

$$\vec{M} = \vec{r} \times \vec{F}, \quad M_{\perp} = M = rF \sin \alpha = bF. \quad (6.4)$$

Trebuie reținută *ordinea* factorilor: $\vec{r} \times \vec{F}$ și nu $\vec{F} \times \vec{r}$. Dacă schimbăm sensul forței, se schimbă și sensul vectorului moment.

Momentul forței se măsoară în N · m.

(Atenție, produsul N · m nu trebuie înlocuit cu joule, fiindcă nu reprezintă lucrul mecanic.)

Din figura 6.1 se vede că momentul forței nu depinde de poziția forței pe dreapta suport: nu se schimbă nici mărimea $rF \sin \alpha = bF$ (dublul ariei triunghiului OAB), nici direcția sau sensul. Momentul forței este zero dacă polul se afla pe suportul forței deoarece atunci brațul forței este zero (\vec{r} și \vec{F} sînt paraleli).

Dacă asupra unui punct material P acționează mai multe forțe concurente $\vec{F}_1, \vec{F}_2, \dots, \vec{F}_n$, atunci fiecare forță dă un moment în raport cu un pol O :

$$\vec{M}_1 = \vec{r} \times \vec{F}_1, \quad \vec{M}_2 = \vec{r} \times \vec{F}_2, \dots, \vec{M}_n = \vec{r} \times \vec{F}_n, \quad (\vec{r} = \vec{OP}).$$

Adunînd aceste egalități membru cu membru, avem

$$\begin{aligned} \vec{M}_1 + \vec{M}_2 + \dots + \vec{M}_n &= \vec{r} \times \vec{F}_1 + \vec{r} \times \vec{F}_2 + \dots + \vec{r} \times \vec{F}_n \\ &= \vec{r} \times (\vec{F}_1 + \vec{F}_2 + \dots + \vec{F}_n) = \vec{r} \times \vec{F} = \vec{M}, \end{aligned} \quad (6.5)$$

unde \vec{F} este rezultanta forțelor concurente și $\vec{M} = \vec{r} \times \vec{F}$ momentul ei.

(teorema lui Varignon).

6.1.2. **Momentul forței în raport cu o axă.** Fie acum un corp care se poate roti liber în jurul unei axe fixe (fig. 6.3). Dacă forța aplicată corpului este *paralelă* cu axa de rotație sau *intersectează* axa de rotație, ea nu poate roti corpul, ci doar îndoaie axa sau trage de axă. De aceea descompunem forța \vec{F} în două forțe componente: \vec{F}_{\parallel} *paralelă* cu axa de rotație și \vec{F}_{\perp} *perpendiculară* pe axă. Forța componentă \vec{F}_{\parallel} nu poate roti corpul, ci doar îndoaie axa (trage corpul paralel cu axa); momentul ei în raport cu un punct de pe axă (M_{\parallel})

este perpendicular pe axa de rotație și tinde să îndoaie axa. Numai forța componentă transversală \vec{F}_\perp (perpendiculară pe axa de rotație) poate roti corpul în jurul axei în planul (π) perpendicular pe axă; momentul ei $M_\perp = F_\perp \cdot b$ în raport cu punctul C — piciorul perpendicularei din P pe axă, este paralel cu axa și el este acela care rotește corpul în jurul axei.

Momentul unei forțe \vec{F} în raport cu o axă este egal cu produsul dintre componenta transversală a forței F_\perp și brațul său b pînă la axă, în planul perpendicular pe axă (π), prevăzut cu semnul plus sau minus, după cum rotația produsă corespunde sau nu (după regula burghiului) sensului pozitiv al axei: $M_\parallel = \pm b \cdot F_\perp$.

Dacă luăm momentul forței \vec{F} față de un pol O de pe axă, $\vec{M} = \vec{r} \times \vec{F}$ atunci componenta vectorului \vec{M} pe axă va fi totmai $M_\parallel = \pm b F_\perp$.

Dacă asupra unui corp acționează mai multe forțe, atunci momentele lor față de același pol se compun după regula paralelogramului, ca orice vectori. Momentele lor în raport cu o axă se adună algebric (ținînd seama de semnul lor). Dacă momentul resultant în raport cu o axă este nul, corpul va fi în echilibru de rotație față de acea axă.

Experiment. Compunerea momentelor în raport cu axa de rotație

Montajul este arătat în figura 6.4. Se alege două orificii în discul gradat (38) în care se introduc cepii de plastic (47). De cepi se suspendă cîrligele (24) pentru greutăți crestate prin intermediul a două fire. Forțele sînt date de greutatea crestate împreună cu cîrligele și cepii (5 g).

Se calculează momentele celor două forțe în raport cu axul discului; ele sînt de semne opuse și trebuie să fie egale în modul — discul fiind în repaus.

Se schimbă greutățile și orificiile și se repetă experiența.

6.1.3. Momentul cinetic al punctului material. Analog momentului unei forțe în raport cu un pol sau o axă se poate defini momentul oricărui vector

Interes fizic deosebit prezintă momentul impulsului

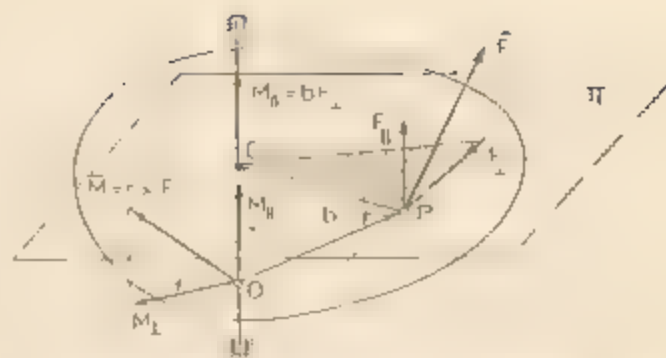


Fig. 6.3. Componenta F_\parallel paralelă cu axa de rotație nu produce rotație, momentul ei M_\parallel este perpendicular pe axă, tinde doar să îndoaie axa. Componenta F_\perp perpendiculară pe axă rotește corpul în jurul axei și dă moment în raport cu axa $M = b F_\perp$.

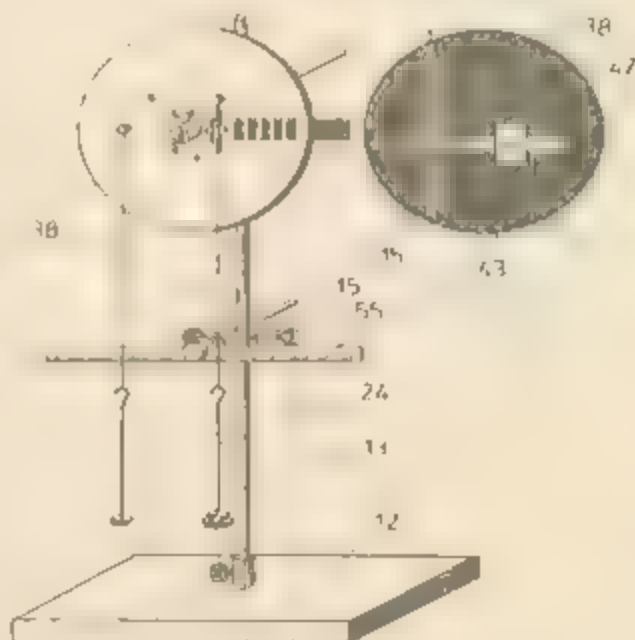


Fig. 6.4. Montaj pentru studiu compunerii momentelor



Momentul cinetic al unui punct material în raport cu un pol este momentul impulsului (fig. 6.5):

$$\vec{L} = \vec{r} \times \vec{p} = \vec{r} \times m\vec{v} \quad (6.6)$$

Fig. 6.5. Momentul cinetic al unui punct material este momentul impulsului $\vec{L} = \vec{r} \times m\vec{v}$

Momentul cinetic se măsoară în J.s.

Momentul cinetic \vec{L} definit mai sus se mai numește moment cinetic *orbital*, deoarece este legat de mișcarea particulei pe *orbita* sa (Particulele atomice pot avea și un moment cinetic *propriu* \vec{S} numit spin, atunci momentul cinetic total al particulei va fi $\vec{J} = \vec{L} + \vec{S}$.)

EXEMPLE

1. Momentul cinetic al unui punct material izolat, în raport cu orice pol, se *conservă* (este constant).

În adevăr, în timpul mișcării sale rectilinii uniforme impulsul $m\vec{v}$ este constant, dar liniea pe dreapta mișcării, de aceea $L = mv \cdot b = \text{const}$, la fel, direcția și sensul rămân neschimbate (fig. 6.6).

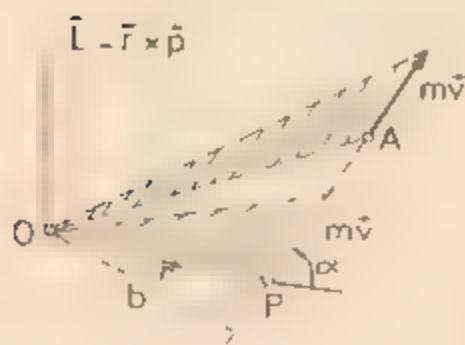


Fig. 6.6. Momentul cinetic al unui punct material izolat, deci în mișcare rectilinie uniformă, în raport cu orice pol, se conservă.

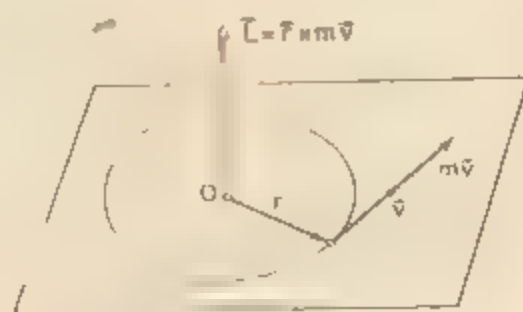


Fig. 6.7. La mișcarea circulară uniformă, momentul cinetic al punctului material în raport cu centrul cercului se conservă (fundația momentului forței este zero față de acest pol).

2. În mișcarea circulară uniformă, momentul cinetic al punctului material în raport cu centrul cercului se conservă (fig. 6.7).

În adevăr, modulul momentului este constant $L = mvr = mr^2\omega$ iar direcția și sensul nu se schimbă

6.2. TEOREMA MOMENTULUI CINETIC PENTRU PUNCTUL MATERIAL CONSERVAREA MOMENTULUI CINETIC

Să calculăm variația momentului cinetic pe unitatea de timp. La momentul t , momentul cinetic este $\vec{L} = \vec{r} \times \vec{p}$. La un moment apropiat $t' = t + \Delta t$, vectorul de poziție \vec{r} devine $\vec{r}' = \vec{r} + \Delta\vec{r}$ și viteza \vec{v} devine $\vec{v}' = \vec{v} + \Delta\vec{v}$, iar impulsul $\vec{p} = m\vec{v}$ devine $\vec{p}' = m\vec{v}' = \vec{p} + \Delta\vec{p} = m\vec{v} + m\Delta\vec{v}$. Atunci momentul cinetic \vec{L} devine:

$$\begin{aligned}\vec{L}' = \vec{r}' \times \vec{p}' &= (\vec{r} + \Delta\vec{r}) \times (\vec{p} + \Delta\vec{p}) = \vec{r} \times \vec{p} + \vec{r} \times \Delta\vec{p} + \\ &+ \Delta\vec{r} \times \vec{p} + \Delta\vec{r} \times \Delta\vec{p},\end{aligned}$$

de unde variația momentului cinetic raportată la intervalul de timp respectiv Δt :

$$\frac{\Delta\vec{L}}{\Delta t} = \frac{\vec{L}' - \vec{L}}{\Delta t} = \vec{r} \times \frac{\Delta\vec{p}}{\Delta t} + \frac{\Delta\vec{r}}{\Delta t} \times m\vec{v} + \Delta\vec{r} \times \frac{\Delta\vec{p}}{\Delta t}.$$

Pentru a găsi variația „momentană” (sau „instantanee”) a momentului cinetic pe unitatea de timp, facem, după cum știm, pe Δt să descrească către zero (să tindă către zero $\Delta t \rightarrow 0$), atunci, bineînțeles, și $\Delta\vec{r}$ și $\Delta\vec{p}$ descreșc către zero, dar raportul $\Delta\vec{r}/\Delta t$ devine viteza momentană \vec{v} , iar $\Delta\vec{p}/\Delta t$ devine egal cu forța \vec{F} (conform principiului II). Atunci ultimii doi termeni din expresia de mai sus se anulează: $\vec{v} \times m\vec{v} = 0$ deoarece sînt vectori coliniari (paraleli), iar ultimul termen se anulează fiindcă factorul $\Delta\vec{p}/\Delta t$ devine egal cu forța \vec{F} , iar factorul $\Delta\vec{r}$ se anulează cînd $\Delta t \rightarrow 0$. Rămîne numai primul termen din membrul drept care reprezintă momentul forței. Obținem astfel *teorema momentului cinetic pentru punctul material*.

$$\vec{M} = \vec{r} \times \vec{F} = \frac{\Delta\vec{L}}{\Delta t} \text{ cînd } \Delta t \rightarrow 0, \quad \left(\text{adică } \vec{M} = \frac{d\vec{L}}{dt} \right). \quad (6.7)$$

Dacă momentul forței rezultante în raport cu un pol este permanent nul, variația momentului cinetic al punctului material va fi zero, adică momentul cinetic în raport cu acel pol *se conservă*. Un punct material nu-și poate schimba momentul său cinetic decît sub acțiunea unui moment al forței.

De exemplu în cazul unui punct material *izolat*, $\vec{F} \equiv 0$, deci $\vec{M} \equiv 0$ față de orice pol, de aceea momentul cinetic \vec{L} în raport cu orice pol *se conservă*.

În mișcarea circulară *uniformă* forța este *centripetă*, deci momentul ei în raport cu *centrul* cercului este permanent zero, de aceea momentul cinetic al punctului material în raport cu *centrul* cercului *se conservă*.

În mișcarea planetelor în jurul Soarelui forța de atracție gravitațională exercitată de Soare asupra planetei trece permanent prin centrul Soarelui, de aceea momentul forței în raport cu Soarele este nul, deci momentul cinetic al planetei în raport cu Soarele se conservă. Analog se întâmplă în mișcarea electronilor în jurul nucleului într-un atom.

Dacă momentul resultant al unei forțe în raport cu o *axă* este zero, atunci momentul cinetic în raport cu *acea axă* *se conservă* (este constant).

Analog impulsului, momentul cinetic este și el o măsură a mișcării din punctul de vedere al rotației: teorema momentului cinetic exprimă o lege de conservare a mișcării mecanice, transmise de la un corp la altul prin intermediul momentului forței în procesul interacțiunii. Ecuația (6.7) este analoagă cu ecuația fundamentală a dinamicii: forței îi corespunde momentul forței iar impulsului îi corespunde momentul impulsului, adică momentul cinetic.

Ecuația (6.7) exprimă legea fundamentală a dinamicii pentru mișcarea de rotație.

6.3. TEOREMA MOMENTULUI CINETIC TOTAL AL UNUI SISTEM MECANIC. CONSERVAREA MOMENTULUI CINETIC TOTAL

Fie un sistem de două particule (fig. 6.8). Momentele celor două forțe interne \vec{S}_{12} și $\vec{S}_{21} = -\vec{S}_{12}$ în raport cu un pol O sînt egale în modul și de sensuri opuse: $\vec{M}_{12} = -\vec{M}_{21}$, sau $\vec{M}_{12} + \vec{M}_{21} = 0$. În adevăr, modulele momentelor sînt egale: $|\vec{S}_{12}| \cdot b = |\vec{S}_{21}| \cdot b$ (avînd același braț, b), direcția, este aceeași: perpendiculară pe planul $(O, \vec{S}_{12}, \vec{S}_{21})$, iar sensurile sînt opuse deoarece forțele \vec{S}_{12} și \vec{S}_{21} sînt de sensuri opuse.

Teorema momentului cinetic total al forțelor interne ale unui sistem de particule, în raport cu orice pol, este nulă.

Rezultatul este valabil pentru un sistem format dintr-un număr *oricare* de particule. În adevăr, forțele interne de interacțiune dintre particulele sistemului sînt totdeauna *perechi*, acțiunea și reacțiunea, egale în modul și de sensuri opuse și acționează pe aceeași dreaptă care unește cele două particule (principiul III). Deci momentele lor, față de orice pol, vor fi egale în modul și de sensuri opuse. De aceea dacă însumăm momentele pentru întregul sistem ele se anulează două cîte două și momentul resultant va fi nul.

Să scriem teorema momentului cinetic pentru fiecare particulă (se consideră mai jos momentele medii pe intervalul de timp Δt):

$$\vec{M}_1 + \vec{M}_{21} = \frac{\Delta \vec{L}_1}{\Delta t}, \quad \vec{M}_2 + \vec{M}_{12} = \frac{\Delta \vec{L}_2}{\Delta t},$$

unde \vec{M}_1, \vec{M}_2 sînt momentele forțelor *externe* care acționează asupra particulei 1, respectiv 2, iar $\vec{M}_{21}, \vec{M}_{12}$ sînt momentele forțelor *interne* care acționează asupra acestor

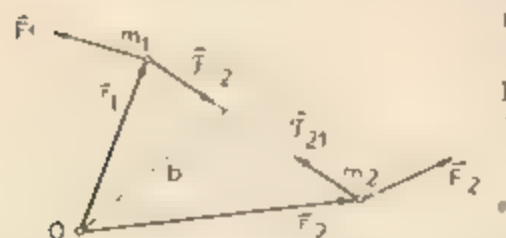


Fig. 6.8. Momentul resultant al forțelor interne ale unui sistem de particule, în raport cu orice pol este zero.

particule (fig. 6.8). Adunând membru cu membru cele două ecuații și ținând seama că momentul resultant al forțelor interne este nul, obținem:

$$\vec{M}_1 + \vec{M}_2 = \frac{\Delta \vec{L}_1}{\Delta t} + \frac{\Delta \vec{L}_2}{\Delta t} = \frac{\Delta(\vec{L}_1 + \vec{L}_2)}{\Delta t}.$$

Rezultatul este valabil și pentru un sistem format dintr-un număr oarecare de puncte materiale:

$$\vec{M} = \vec{M}_1 + \vec{M}_2 + \dots + \vec{M}_n \quad \Delta(\vec{L}_1 + \vec{L}_2 + \dots + \vec{L}_n) = \frac{\Delta \vec{J}}{\Delta t}, \quad (6.8)$$

unde \vec{M} este momentul resultant al forțelor externe, iar \vec{J} momentul cinetic total al sistemului.

Proiectând ecuația (6.8) pe o axă, obținem

$$M_{||} = -\frac{\Delta J_{||}}{\Delta t}, \quad (6.9)$$

unde $M_{||}$ este momentul resultant în raport cu axa, iar $J_{||}$ este momentul cinetic total în raport cu axa.

Dacă sistemul este izolat ($\vec{M} = 0$), momentul cinetic total al sistemului, față de orice pol sau axă, se conservă.

Dacă momentul resultant al forțelor externe în raport cu un pol sau în raport cu o axă este permanent nul, momentul cinetic total al sistemului în raport cu acel pol sau acea axă se conservă.

Prin urmare forțele interne nu pot modifica momentul cinetic total al sistemului (li pot doar redistribui între părțile sistemului). Numai prin interacțiune cu mediul exterior se transmite mișcarea și se schimbă momentul cinetic total al sistemului.

Dacă momentul resultant al forțelor externe aplicate unui corp, în raport cu un punct, este nul, corpul nu se va roti în jurul nici unei axe trecând prin acel punct. La fel, dacă momentul resultant al forțelor externe aplicate corpului în raport cu o axă, este nul, corpul nu se va roti în jurul acelei axe (se presupune că inițial corpul nu se rotea în jurul acelei axe).

ÎNTREBĂRI, EXERCIȚII, PROBLEME

1. O particulă în mișcare este supusă la o forță a cărei dreaptă suport trece printr-un punct fix. Ce se poate spune despre momentul cinetic al particulei?

R: se conservă față de punctul fix.

2. Se conservă momentul cinetic în raport cu Soarele al unei comete care orbitează Soarele pe o traiectorie parabolică? Dar în cazul planetelor care nu se mișcă pe traiectorii circulare?

R: se conservă

3. Dacă vectorul moment cinetic al unei particule este constant (se conservă), traiectoria sa este plană. De ce? Dar dacă numai direcția vectorului moment este constantă, cum este traiectoria?

R: \vec{L} are direcție fixă; plană.

4. Asupra unui satelit artificial al Pământului acționează o forță de frecare cu aerul $\vec{F}_f = -k\vec{v}$. Se conservă momentul său cinetic în raport cu centrul Pământului? Rămîne traiectoria sa plană?

R: nu; da.

5*. Se conservă momentul cinetic total al particulelor rezultate în urma exploziei unui corp izolat?

R: da.

6. O particulă se mișcă în vid sub acțiunea forței de greutate. Momentul cinetic în raport cu orice axă din planul mișcării se conservă. De ce? Ce valoare are?

R: \vec{G} și \vec{p} sînt incidente cu axa: $M_{\parallel} = L_{\parallel} = 0$.

7*. O particulă suspendată printr-un fir oscilează într-un plan vertical (pendul simplu). Care este momentul cinetic față de verticala prin punctul de suspensie? Care este variația pe unitatea de timp a momentului cinetic în raport cu punctul de suspensie?

R: zero; $|\Delta \vec{L}/\Delta t| = mgl \sin \theta$.

7

7.1. NOȚIUNEA DE RIGID

Pe un plan inclinat se lasă să se rostogolească un cilindru gol și unul plin, cei doi cilindri avind același diametru și aceeași masă. Se constată că cilindrul plin ajunge jos într-un timp mai scurt decât cilindrul gol.

Experiența arată că în acest caz nu mai putem considera corpurile ca puncte materiale, modelul de punct material folosit până acum în mecanică nu mai poate explica rezultatul acestei experiențe. Trebuie să luăm în considerație forma, dimensiunile și felul în care este distribuită masa corpurilor.

Un corp cu anumite dimensiuni poate avea în urma acțiunii unei forțe în afară mișcării centrului de masă și mișcări suplimentare. Aceste mișcări pot fi efectuate de întregul corp sau numai de anumite părți ale lui și se suprapun peste mișcarea de translație.

Să considerăm un caz simplu, acela în care corpul nu are părți mobile independente. Punctele materiale din care se consideră alcătuit corpul nu efectuează decât mișcări de ansamblu. Acest corp se numește rigid.

Un corp rigid este un sistem de puncte materiale ale căror distanțe reciproce rămân

Ca și punctul material, corpul rigid este un model. Acest model poate fi realizat cu bună aproximație de o bilă de oțel, de o roată, un cilindru, o bară, un cărucior etc.

7.2 VITEZA ȘI ACCELERAȚIA UNGHIULARĂ

EXPERIMENT

Pe un plan inclinat sau un jgheab, se lasă să se miște liber o bilă. Bila efectuează o mișcare de translație accelerată și în același timp efectuează și o mișcare de rotație (fig. 7.1).

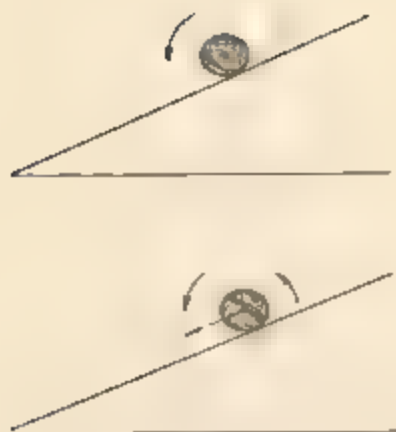


Fig. 7.1. O bilă în mișcare pe un plan înclinat.



Fig. 7.2. În mișcarea de translație traiectoriile, vitezele și accelerațiile tuturor punctelor corpului sînt identice.

Astfel această experiență cit și altele asemănătoare ne arată că un corp rigid se poate afla în mișcare de translație, în mișcare de rotație în jurul unei axe sau într-o mișcare elicoidală, rotație și translație simultan.

Mișcarea de translație a unui corp rigid este mișcarea în care orice dreaptă legată de corp își păstrează orientarea, adică se mișcă paralel cu ea însăși.

În această mișcare toate punctele corpului rigid au traiectorii, viteze și accelerații identice și de aceea această mișcare este determinată prin mișcarea unui singur punct material ce aparține corpului (fig. 7.2).

Mișcarea de rotație a unui rigid este mișcarea în care toate punctele sale descriu cercuri ale căror centre sînt situate pe o dreaptă perpendiculară pe planul cercurilor descrise, dreaptă numită axă de rotație (fig. 7.3).

Razele vectoriale ale punctelor diferite din corpul rigid vor descrie același unghi $\Delta\alpha$ în intervalul de timp Δt . Deci viteza unghiulară ω va fi aceeași pentru toate punctele corpului rigid în rotație:

$$\omega = \frac{\Delta\alpha}{\Delta t}. \quad (7.1)$$

Vitezele liniare ale diferitelor puncte ale rigidului sînt diferite deoarece și razele cercurilor descrise sînt diferite:

$$v_i = \omega r_i. \quad (7.2)$$

Viteza unghiulară ω este considerată o mărime vectorială, deci poate fi reprezentată printr-un vector. Vectorul vitezei unghiulare $\vec{\omega}$ are direcția axei de rotație, este deci perpendicular pe planul traiectoriei. Sensul acestui vector este determinat prin regula șurubului drept (fig. 7.3).

Datorită relației $v = \omega r$, a felului în care s-a ales direcția și sensul vectorului $\vec{\omega}$, se poate reprezenta viteza liniară \vec{v} a mișcării unui din punc-

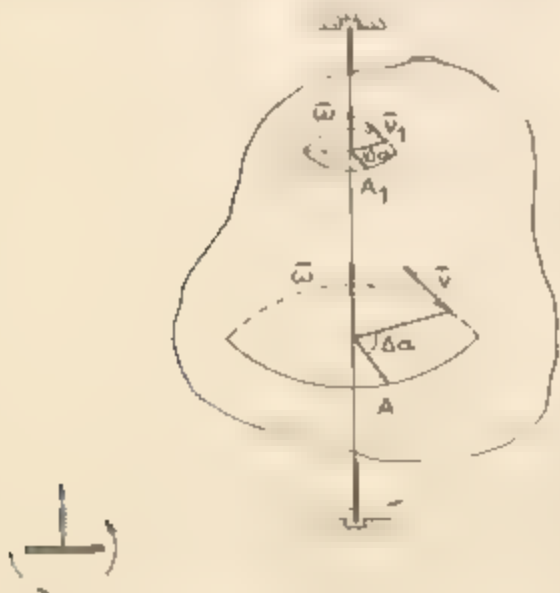


Fig. 7.3. Punctele unui solid rigid aflat în mișcare de rotație descriu cercuri cu centrul pe axa de rotație.

tele ce alcătuiesc rigidul, ca produs vectorial al vectorilor $\vec{\omega}$ și \vec{r} :

$$\vec{v} = \vec{\omega} \times \vec{r}. \quad (7.3)$$

Vectorul produs vectorial $\vec{v} = \vec{\omega} \times \vec{r}$ este perpendicular pe planul format de cei doi vectori, avînd sensul înălțării unui șurub drept (fig. 7.4). Mărimea

acestui vector este $v = \omega r \sin(\vec{\omega}, \vec{r})$
 $= \omega r$ deoarece unghiul $(\vec{\omega}, \vec{r}) = 90^\circ$.

Dacă vectorul viteză unghiulară $\vec{\omega}$ este constant în timp, mișcarea de rotație este uniformă.

În cazul în care rigidul se rotește în așa fel încît viteza unghiulară ω crește sau scade în timp, mișcarea de rotație este neuniformă, atunci relația

$$\epsilon = \frac{\Delta \omega}{\Delta t} \quad (7.4)$$

definește mărimea numită *acelerație unghiulară*. Ca și viteza unghiulară $\vec{\omega}$, accelerația unghiulară $\vec{\epsilon}$ se reprezintă printr-un vector și în cazul unei axe de rotație fixe direcția acestui vector este aceeași cu direcția vectorului $\vec{\omega}$. În SI mărimile ω și ϵ se măsoară în

$$[\omega]_{SI} = \text{rad/s} = \text{rad} \cdot \text{s}^{-1} \text{ respectiv } [\epsilon]_{SI} = \text{rad} \cdot \text{s}^{-2}$$

EXPERIMENTE

a) *Determinarea vitezei unghiulare ω .* Se realizează un montaj experimental așa cum arată figura 7.5. Măsurarea timpului în care este descris un unghi oarecare α se realizează cu dispozitivul electrochimic atașat frusei de mecanică sau cu ajutorul unui ceas cu secundar. Montajul electric este cel indicat în figura 7.6. Pe discul gradat din montaj, se fixează două întrerupătoare în sensul rotirii tamburului pentru un anumit unghi α . Acționarea întrerupătoarelor o face un indicator care se rotește cu întregul sistem. De firul trecut peste scripete, se suspendă cîrligul pentru discurile crestate. La un moment dat, lija cu cele două discuri la capete începe să se rotească aproape uniform. Măsurînd timpul t în care este descris unghiul α se determină viteza unghiulară $\omega = \alpha/t$. Repetînd experiența pentru alte unghiuri, rezultatele obținute pot fi comparate și înscrise într-un tabel de forma:

$t(\text{s})$	t_1, t_2, \dots, t
α (rad)	$\alpha_1, \alpha_2, \dots, \alpha$
ω (rad/s)	

b) *Determinarea accelerației unghiulare ϵ .* La montajul anterior se face o modificare, introducînd peste tamburul cu raza de 20 mm un alt tambor cu raza de 40 mm. Dispozitivul de măsurare a timpului nu mai este folosit acum. Se suspendă cîrligul pentru discurile crestate de firul trecut peste scripete. Pe cîrlig este introdus un disc cu masa de 10 g.

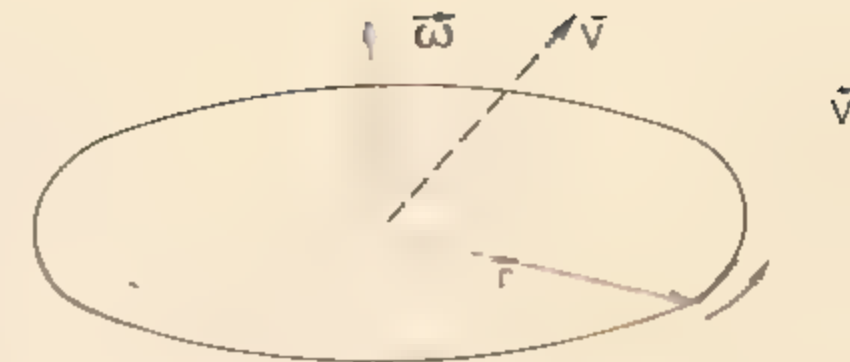


Fig. 7.4. Viteza unghiulară $\vec{\omega}$ este o mărime vectorială.

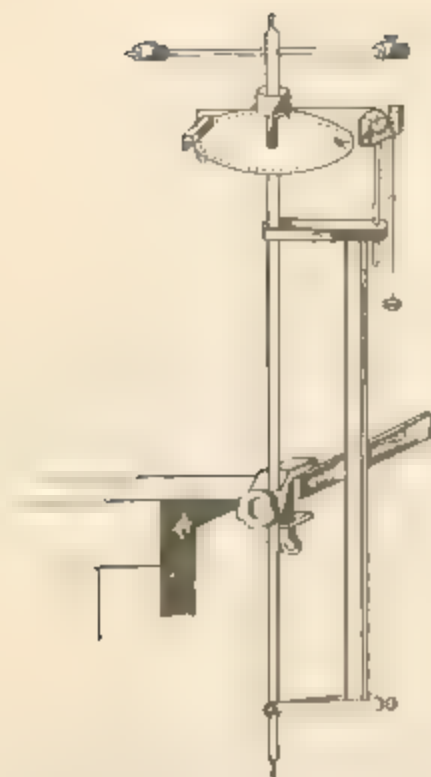
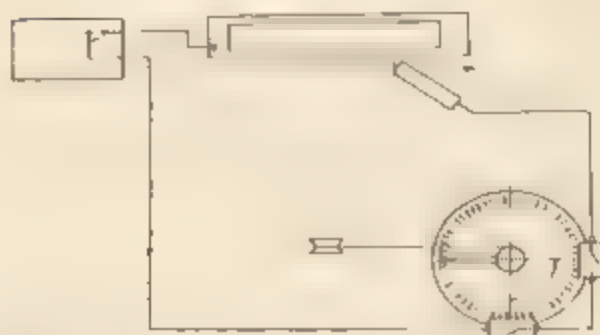


Fig. 7.5. Montaj experimental pentru determinarea vitezei unghiulare

Fig. 7.6. Montajul electric pentru experimentul din figura 7.5.



Pe bara divizată a montajului, se aleg două repere, unul superior și altul inferior care delimitează o distanță h .

Se rotește bara (1) până când cîrligul cu discurile crestate ajunge în dreptul reperului superior. Din acest moment sistemul este lăsat liber și se măsoară timpul t în care este parcurs spațiul h . Timpul se măsoară cu ajutorul unui ceas cu secundar sau cu un cronometru. Din ecuațiile mișcării uniform accelerate $\omega = \epsilon t$ și $\alpha = \frac{\omega}{t}$, unde $\alpha = h/r$, r fiind raza tamburului, rezultă pentru accelerația unghiulară ϵ expresia:

$$\epsilon = \frac{2h}{rt^2}$$

7.3. ENERGIA CINETICĂ DE ROTAȚIE MOMENTUL DE INERȚIE AL UNUI RIGID

EXPERIMENT

Se realizează montajul pentru determinarea vitezei unghiulare (fig. 7.5). Pe cîrlig se așază discuri crestate cu mase de 50 g. Se înfășoară firul pe tambur pînă cînd cîrligul este adus la partea superioară a barei divizate. Se lasă sistemul liber. Acesta va efectua o mișcare de rotație uniform accelerată. După desfășurarea completă a firului, mișcarea de rotație continuă, firul cu discurile crestate urcă, sistemul efectuează un lucru mecanic pentru ridicarea discurilor. Rezultă de aici că în timpul mișcării de rotație la coborîre, variația energiei potențiale a greutatei a produs variația energiei cinetice (creșterea acestei energii) a sistemului care a realizat un lucru mecanic, adică ridicarea discurilor.

De cine depinde energia cinetică de rotație?

Să considerăm un rigid care se rotește cu viteză unghiulară, constantă, în jurul unei axe fixe (fig. 7.7). Un punct material de masă m aflat la distanța r de axa de rotație are viteza liniară $v = \omega r$ și energia cinetică

$$\frac{1}{2} m v^2 = \frac{1}{2} m r^2 \omega^2.$$

Expresia $m r^2$ se numește **momentul de inerție al unui punct material față de o axă**.

Dacă însumăm energiile cinetice ale tuturor punctelor rigidului, obținem energia cinetică totală a solidului aflat în mișcare de rotație cu viteză unghiulară constantă ω :

$$E_{c, \text{rot}} = \sum_{k=1}^{k=n} \frac{1}{2} m_k r_k^2 \omega^2 = \frac{1}{2} \omega^2 \sum_{k=1}^{k=n} m_k r_k^2 \quad (7.5)$$

Expresia

$$I = \sum_{k=1}^{k=n} m_k r_k^2 \quad (7.6)$$

se numește **moment de inerție al rigidului față de axa de rotație considerată**.

Din definiția momentului de inerție (7.6) rezultă că unitatea de măsură în SI este

$$[I]_{\text{SI}} = [m][r^2] = \text{kg} \cdot \text{m}^2.$$

Observați că momentul de inerție al unui rigid este egal cu suma momentelor de inerție ale particulelor componente ale rigidului. Din relația (7.5) și ținând seama de relația (7.6) obținem

$$E_{c, \text{rot}} = \frac{1}{2} I \omega^2. \quad (7.7)$$

Pentru un ω dat, energia cinetică de rotație este cu atât mai mare cu cât punctele materiale, care alcătuiesc rigidul, sînt distribuite la distanțe mai mari față de axa de rotație, deci cu cât momentul de inerție este mai mare.

Energia cinetică a unui solid rigid aflat în mișcare de translație și de rotație se poate calcula prin relația:

$$E_c = \frac{1}{2} m_0 v^2 + \frac{1}{2} I \omega^2 \quad (7.8)$$

unde m_0 reprezintă masa rigidului, v - viteza centrului de masă, I - momentul de inerție față de axa de rotație ce trece prin centrul de masă.

Dacă se face comparație între energia cinetică de translație $E_{c, \text{trans}} = \frac{1}{2} m_0 v^2$ și energia cinetică de rotație, $E_{c, \text{rot}} = \frac{1}{2} I \omega^2$ se observă că rolul masei m_0 la mișcarea de translație, îl are, la mișcarea de rotație, momentul de inerție I . Valoarea momentului de inerție I depinde nu numai de valoarea maselor punctelor materiale care alcătuiesc rigidul considerat ci și de distanțele (distribuția) lor față de axa de rotație.

La o aceeași masă totală, solidul care are punctele materiale mai depărtate de axă va avea un moment de inerție mai mare. De exemplu, momentul de inerție al unui cilindru gol de grosime neglijabilă, este mai mare decât cel al unui cilindru plin, omogen, de

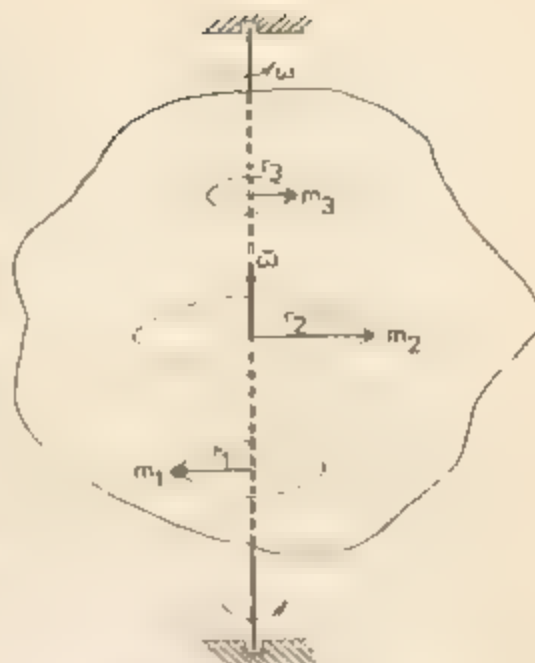


Fig. 7.7. Momentul de inerție al unui rigid este egal cu suma momentelor de inerție ale particulelor componente

aceeași masă cu primul, ambele calculate față de axa lor de simetrie. Așadar, pentru a obține un moment de inerție cât mai mare substanța din care este format rigidul respectiv trebuie distribuită cât mai departe de axa de rotație.

Valoarea momentului de inerție se schimbă dacă se schimbă poziția axei de rotație





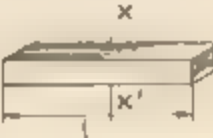




Pentru corpurile omogene de formă geometrică regulată momentele de inerție pot fi calculate prin metode matematice. Pentru corpurile de formă neregulară momentele de inerție pot fi determinate experimental.

EXPERIMENT

Montajul experimental folosit pentru determinarea accelerației unghiulare (fig. 7.5) poate fi utilizat pentru a pune în evidență momentul de inerție. Se pune sistemul în mișcare cu o accelerație mică, sub acțiunea discurilor crestate. Se observă cu atenție această mișcare. Se mută corpurile (greutățile) cu șurub de la capetele tijei mai spre centru. Se lasă iarăși sistemul liber și se observă că mișcarea are o accelerație mai mare. Deci pentru aceeași forță, pentru aceeași masă dar altfel distribuită efectele sînt diferite. Se repetă experimentul și se înlocuiesc corpurile de pe tijă cu alte două mai mici, de 100 g fiecare. Se va constata că pentru aceeași poziție ale corpurilor, efectele accelerației sînt altele.

Rezultă că într-o mișcare de rotație, inerția sistemului depinde atât de masa lui cât și de distribuția acestei mase în raport cu axa de rotație. În tabelul următor sînt date expresiv momentele de inerție pentru câteva corpuri rigide, omogene, de formă geometrică regulată față de axele de rotație indicate.

Tabelul 7.1

Cilindru plin	Cilindru gol	Inel cilindric	Sferă plină	Bară subțire
				
				
$I = \frac{1}{2} m R^2$	$I = m R^2$	$I = \frac{1}{2} m (R_1^2 + R_2^2)$	$I = \frac{2}{5} m R^2$	$I = \frac{1}{12} m l^2$

7.4. LEGILE CINEMATII ȘI DINAMII SOLIDULUI RIGID

Să analizăm mișcarea de rotație a unui rigid sub acțiunea unei forțe \vec{F} sau a unui sistem de forțe, cînd axa de rotație este fixă (fig. 7.8). Asupra fiecărui punct material de masă m_i acționează forța \vec{F}_i :

$$\vec{F}_i = m_i \cdot \vec{a}_i \quad (7.9)$$

unde \vec{a}_i este accelerația mișcării punctului material sub acțiunea forței \vec{F}_i .

În mișcarea de rotație a rigidului în jurul unei axe fixe, fiecare punct material se poate deplasa numai în planul perpendicular pe axă pe cercul de rază r_i , unde r_i este distanța de la punctul material m_i până la axa de rotație. Astfel, pentru a descrie mișcarea de rotație a punctului material putem considera numai relația între componenta tangențială F_{ti} a forței \vec{F}_i și accelerația tangențială a_{ti} :

$$F_{ti} = m_i a_{ti} \quad (7.10)$$

adică ecuația (7.9) proiectată pe tangenta la traiectoria circulară a punctului material considerat. Dar:

$$a_{ti} = \frac{\Delta v_i}{\Delta t} \text{ și } v_i = \omega r_i \text{ și deci } a_{ti} = r_i \frac{\Delta \omega}{\Delta t} = r_i \epsilon \quad (7.11)$$

unde $\epsilon = \frac{\Delta \omega}{\Delta t}$ este accelerația unghiulară.

Înmulțind ambii membri ai ecuației (7.10) cu r_i și ținând seama de (7.11) avem:

$$r_i F_{ti} = m_i r_i^2 \epsilon. \quad (7.12)$$

După cum am văzut în paragraful 6.1.2 momentul forței \vec{F}_i față de axa de rotație este definit de produsul dintre componenta transversală $\vec{F}_{i\perp}$ (proiecția forței \vec{F}_i pe planul perpendicular pe axă) și brațul acesteia până la axă, ceea ce este totuna cu produsul $r_i F_{ti}$ dintre componenta tangențială a forței și distanța de la punctul material la axă. Astfel, notînd $M_{ti} = r_i F_{ti}$, membrul stîng din relația (7.12) reprezintă valoarea momentului forței \vec{F}_i față de axa de rotație. Așadar, pentru întreg corpul rigid, putem scrie valoarea momentului rezultat față de axa de rotație:

$$M_{ti} = \sum_{i=1}^n M_{ti} = \epsilon \sum_{i=1}^n m_i r_i^2$$

adică:

$$M_{ti} = I \epsilon \quad (7.13)$$

unde $I = \sum_{i=1}^n m_i r_i^2$ este momentul de inerție al rigidului față de axa de rotație.

Tot în paragraful 6.1.2 am văzut că momentul unei forțe față de o axă este totuna cu proiecția pe axă respectiv a momentului acelei forțe față de un pol de pe axă. Astfel, avînd în vedere că momentul resultant al forțelor interne față de orice pol este nul, în relația (7.13) M_{ti} reprezintă valoarea momentului resultant al forțelor externe față de axa de rotație sau, ceea ce este totuna, proiecția pe axa de rotație a momentului resultant al forțelor externe față de un pol de pe axă.

Observăm că ecuația (7.13) reprezintă particularizarea ecuației (6.9) din paragraful 6.3 la cazul rigidului cu axă fixă. Într-adevăr, valoarea momentului cinetic J_i al punctului material m_i față de axa de rotație este $J_{ti} = r_i m_i r_i \dot{\omega} = m_i r_i^2 \omega$ de unde rezultă pentru întregul corp rigid:

$$J_{ti} = \sum_{i=1}^n J_{ti} = \sum_{i=1}^n m_i r_i^2 \omega = I \omega.$$

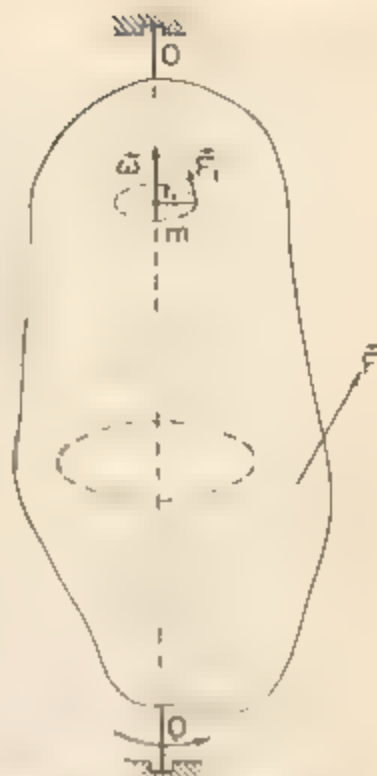


Fig. 7.8. Mișcarea de rotație a unui rigid sub acțiunea unei forțe \vec{F} .

Având în vedere că momentul de inerție I este constant și că $\frac{\Delta\omega}{\Delta t} = \epsilon$ și înlocuind în ecuația (6.9) rezultă ecuația (7.13).

Relația (7.13) reprezintă legea a II-a a dinamicii pentru mișcarea de rotație a unui rigid cu axă fixă.

axa de rotație

Dacă momentul resultant al forțelor exterioare față de axa de rotație este permanent nul atunci din relația (7.13) rezultă că accelerația unghiulară ϵ este nulă deci corpul rigid este în repaus sau se rotește în jurul axei cu o viteză unghiulară ω constantă.

EXPERIMENT

Determinarea momentului de inerție al unui corp Realizăm montajul folosit pentru determinarea accelerației unghiulare (fig. 7.5). Se fixează corpurile cu șurub cu masa de 150 g fiecare la capetele barei. Momentul de inerție al sistemului este suficient de mare pentru a putea fi neglijat momentul de inerție al barei. Suspendind de fir cirligul, se realizează o mișcare de rotație uniformă. Se mai pune apoi un corp cu masa $m = 20$ g care va imprima sistemului o accelerație unghiulară ϵ și o accelerație a pe verticală. Din legea fundamentală pentru mișcarea de rotație $M = I\epsilon$ rezultă

$$I = \frac{M}{\epsilon}.$$

Din $M = Tr$ unde $T = m(g - a)$ (vezi fig. 7.9) și $a = \frac{2h}{t^2}$ avem $M = mr(g - a)$

Dar, $\epsilon = \frac{2h}{rt^2}$ și înlocuind în expresia momentului de inerție I vom obține

$$I = \frac{mr^2}{2h} (gt^2 - 2h).$$

Se măsoară timpul t de cădere, masa m care produce mișcarea uniform accelerată și spațiul h pe care se deplasează discul crestat suspendat de cirlig. Cu valorile obținute se calculează momentul de inerție al sistemului.

Volantul. Pentru ca o mașină să funcționeze în bune condiții trebuie ca variațiile vitezei de mișcare să nu depășească anumite valori stabilite prin construcție.

La majoritatea mașinilor se cere menținerea vitezei constante, astfel încât în orice moment să avem egalitate între energia mecanică primită și energia consumată de mașină.

În cazul variațiilor periodice ale vitezei din relația $M = I\epsilon$ care poate fi scrisă și sub forma $M \Delta t = I \Delta\omega$ rezultă

$$\Delta\omega = \frac{M \Delta t}{I}$$

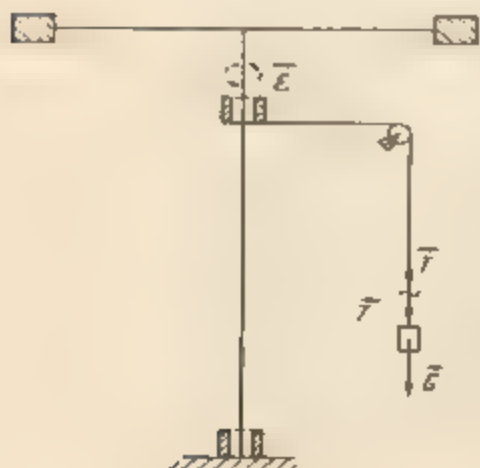


Fig. 7.9. Forțele ce acționează asupra corpului din experiment.

expresie din care se vede că variațiile vitezei unghiulare $\Delta\omega$ pentru un moment M al forțelor, determinat, sînt cu atât mai mici cu cît momentul de inerție I al masei este mai mare.

Mărirea considerabilă a momentului de inerție al unei mașini se obține cu ajutorul unei roți (disc) mari numită volant, montată pe arborele mașinii.

Volantul reprezintă un „acumulator” de energie cinetică. În decursul unui ciclu de funcționare al mașinii, în timpul cînd lucrul mecanic al forțelor motoare depășește pe acela al forțelor rezistente, energia cinetică a mașinii crește și volantul „acumulează” energie cinetică. Excesul de lucru mecanic al forțelor motoare fuță de cel al forțelor rezistente fiind consumat pentru creșterea energiei cinetice a volantului, acesta va micșora creșterea vitezei mașinii peste valoarea ei medie (de regim).

În timpul cînd lucrul mecanic al forțelor rezistente depășește pe acela al forțelor motoare, energia cinetică a mașinii scade și deci scade și viteza mașinii. Volantul „restituie” acum, mașinii, sub formă de lucru mecanic motor, energia cinetică acumulată anterior. O parte din lucrul mecanic al forțelor rezistente consumîndu se pentru încetinirea volantului, rezultă că în acest interval de timp din ciclul mașinii, volantul micșorează scăderea vitezei sub valoarea ei medie.

În consecință, în decursul unui ciclu energetic al mașinii, volantul acumulează energia cinetică în exces pe timpul cînd mașina tinde să se ambaleze pentru a o restitui atunci cînd mașina își încetinește mersul, menținînd astfel variațiile periodice ale vitezei mașinii în jurul valorii vitezei medii (de regim).

Între mișcarea de translație și mișcarea de rotație se poate face un paralelism, o corespondență analogică. Mărimile și ecuațiile între care se pot stabili corespondențe sînt date în tabelul care urmează:

Translație			Rotație		
CINEMATICA					
Mărimea tipul de mișcare	Ecuația simbolul	Unitatea de măsură	Mărimea, tipul de mișcare	Ecuația, simbolul	Unitatea de măsură
Vectorul deplasare	$\vec{\Delta r}$	m	Unghiul	α	radiani
Timpul	t	s	Timpul	t	s
Viteza	$\vec{v} = \frac{\Delta \vec{r}}{\Delta t}$	m/s	Viteza unghiulară	$\omega = \frac{\Delta \alpha}{\Delta t}$	rad/s
Mișcarea uniformă	$\vec{r} = \vec{r}_0 + \vec{v}t$		Rotație uniformă	$\alpha = \alpha_0 + \omega t$	
Accelerația	$\vec{a} = \frac{\Delta \vec{v}}{\Delta t}$	m/s ²	Accelerație unghiulară	$\epsilon = \frac{\Delta \omega}{\Delta t}$	rad/s ²
Mișcarea uniform variabilă	$\vec{v} = \vec{v}_0 + \vec{a}t$ $\vec{r} = \vec{r}_0 + \vec{v}_0 t + \frac{1}{2} \vec{a}t^2$		Rotație uniform variabilă	$\omega = \omega_0 + \epsilon t$ $\alpha = \alpha_0 + \omega_0 t + \frac{1}{2} \epsilon t^2$	

DINAMICA

Mărimea;	Ecuația, simbolul	Unitatea de măsură	Mărimea;	Ecuația, simbolul	Unitatea de măsură
Masa	m	kg	Momentul de inerție	I	$\text{kg} \cdot \text{m}^2$
Forța	\vec{F}	N	Momentul forței	\vec{M}	$\text{N} \cdot \text{m}$
Impulsul	$\vec{p} = m\vec{v}$	$\text{kg} \cdot \text{m/s}$	Momentul cINETIC	$\vec{J}_{ } = I\vec{\omega}$	$\text{N} \cdot \text{m}$
	$\vec{F} = \frac{\Delta \vec{p}}{\Delta t} = m\vec{a}$			$\vec{M}_{ } = \frac{\Delta \vec{J}_{ }}{\Delta t} = I\vec{\epsilon}$	
Energia cINETICĂ	$E_c = \frac{1}{2} m v^2$	J	Energia cINETICĂ	$E_c = \frac{1}{2} I \omega^2$	J

PROBLEME REZOLVATE

1. Pe un plan înclinat de unghi α (fig. 7.10) se lasă liber din punctul cel mai înalt al planului un corp rotund și omogen (cilindru, sferă) de masă m , rază R și moment de inerție I . Se cer: a) forța de frecare și coeficientul de frecare minim dintre corp și plan astfel încât corpul să se rostogolească fără să alunece pe plan, b) accelerația cu care se deplasează corpul pe plan, c) accelerația unghiulară.

Rezolvare a) Pentru ca între corp și planul înclinat să nu existe alunecare trebuie îndeplinite condițiile:

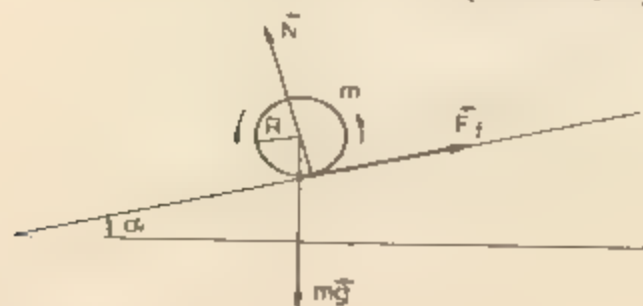
$$\begin{aligned} mg \sin \alpha - F_f &= ma \\ mg \cos \alpha - N &= 0 \\ F_f R &= I\epsilon \\ a &= \epsilon R. \end{aligned}$$

De unde rezultă

$$\epsilon = \frac{a}{R} \text{ din ultima relație și } F_f R = I \frac{a}{R} \Rightarrow F_f = I \frac{a}{R^2} \text{ sau } a = F_f \frac{R^2}{I}$$

Înlocuind în prima ecuație $mg \sin \alpha - F_f = m F_f \frac{R^2}{I}$ rezultă

$$mg \sin \alpha = F_f \left(1 + \frac{m R^2}{I} \right); \quad F_f = \frac{mg \sin \alpha}{1 + \frac{m R^2}{I}}$$



Iar condiția de nealunecare:

$$F_f < \mu N = \mu mg \cos \alpha \text{ adică}$$

$$\mu > \frac{1 \pm \frac{a}{g}}{1 + \frac{m R^2}{I}},$$

$$\text{sau } \tan \alpha < \mu \left(1 + \frac{m R^2}{I} \right).$$

Fig. 7.10. Pentru problema rezolvată 1.

$$b) \text{ Din relațiile de mai sus: } a = \frac{g \sin \alpha}{1 + \frac{I}{mR^2}}.$$

$$c) a = \frac{a}{R} = \frac{g \sin \alpha}{R + \frac{RI}{mR^2}} = \frac{g \sin \alpha}{R + \frac{I}{mR}}.$$

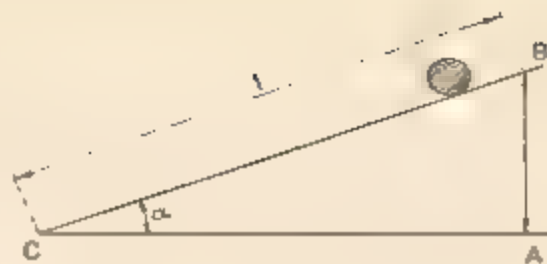


Fig. 7.11. Pentru problema rezolvată 2.

2. Să se determine accelerația cu care se deplasează o sferă care se rostogolește, fără alunecare, pe un plan înclinat de un unghi $\alpha = 30^\circ$.

Rezolvare În vârful planului înclinat la înălțimea h față de planul orizontal (fig. 7.11) sfera are energia potențială maximă $E_p = mgh$, iar la baza planului această energie se transformă în energie cinetică. Considerind sistemul izolat, din legea transformării și conservării energiei rezultă $E_c = E_p$. Energia cinetică a sferei este determinată de energia cinetică de rotație și de energia cinetică de translație, adică

$$E_c = \frac{I\omega^2}{2} + \frac{mv^2}{2},$$

dar $\omega = \frac{v}{R}$ (R este raza sferei), deoarece viteza de translație a centrului sferei (centrul de masă) este egală cu viteza periferică cu care se rotește sfera față de centrul său și deci putem scrie:

$$E_c = \frac{Iv^2}{2R^2} + \frac{mv^2}{2} = \frac{v^2}{2} \left(\frac{I}{R^2} + m \right)$$

Din egalitatea $E_c = E_p$ se obține $\frac{v^2}{2} \left(\frac{I}{R^2} + m \right) = mgh$, de unde rezultă

$$v^2 = \frac{2mgh}{\frac{I}{R^2} + m}.$$

Din ecuația vitezei în mișcarea accelerată $v = \sqrt{2al}$ se obține valoarea accelerației $a = \frac{v^2}{2l}$ și înlocuind valoarea lui v^2 se obține:

$$a = \frac{mg}{\frac{I}{R^2} + m} \cdot \frac{h}{l}.$$

Dar $h = l \sin \alpha$ și se obține pentru accelerație

$$a = \frac{mg \sin \alpha}{\frac{I}{R^2} + m}.$$

Știind că momentul de inerție al sferei este $I = \frac{2}{5} mR^2$, expresia accelerației de

$$\text{vine } a = \frac{mg \sin \alpha}{\frac{2}{5} \frac{mR^2}{R^2} + m} = \frac{5}{7} g \sin \alpha \text{ și pentru că } \sin 30^\circ = \frac{1}{2} \text{ valoarea accelerației}$$

este $a = 3,5 \text{ m/s}^2$.

Ca și în cazul mișcării de translație, valoarea accelerației în cazul rostogolirii pe plan nu depinde de masa sferei ci numai de înclinarea planului

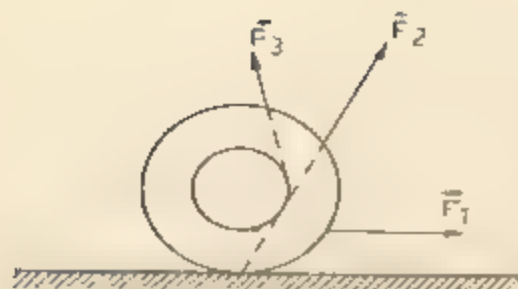


Fig. 7.12. Pentru problema 3.

1. Imaginați-vă un punct pe obada unei roți în mișcare. Dacă roata se mișcă cu viteză unghiulară constantă, are punctul considerat o accelerație normală? Dar tangențială?
2. Se fac experimente cu o sferă omogenă din lemn și cu 2 plane înclinate de unghiuri diferite. Sfera e pusă, pe rînd, pe fiecare plan la aceeași înălțime. Pe care dintre plane viteza la bază este mai mare? Cum vor fi timpii de mișcare? (Sfera se rostogolește fără alunecare.)

$$R: v_1' = v_2', t_1/t_2 = (\sin \alpha_2)/(\sin \alpha_1).$$

3. Un mosor avînd un fir subțire înfășurat pe el (fig. 7.12) poate fi acționat succesiv prin

intermediul firului de trei forțe după direcțiile indicate în figură. Indicați direcțiile de mișcare posibile ale mosorului pentru fiecare dintre cele trei forțe

4. Se măsoară viteza unghiulară a unui disc de pick up și se găsește valoarea $n = 33 \text{ rot/min}$. Care este viteza liniară a două puncte de pe disc: a) cel aflat la distanța $r_1 = 14,0 \text{ cm}$ față de centru; b) cel aflat la distanța $r_2 = 7,9 \text{ cm}$ de centrul discului?

$$R: v = \omega r = 2\pi n r = 305 \text{ cm/min}; 152 \text{ cm/min}.$$

5. Viteza unui automobil cu diametrul roților $D = 76 \text{ cm}$ este $v = 96,6 \text{ km/h}$. a) Care este viteza unghiulară a roților? b) Roțile sînt frînate uniform în timpul a $N = 30$ de rotații. Care este accelerația unghiulară? c) Pe ce distanță s a deplasat automobilul în timpul frînării?

$$R: \omega_0 = v/D \approx 70 \text{ rad/s}, \epsilon = \omega_0^2/4\pi N \approx 13 \text{ rad/s}^2, s = \pi ND \approx 73 \text{ m}$$

6. Discul unui pick up se rotește cu $n = 78 \text{ rot/min}$. La un moment dat discul încetinește și se oprește după $t_m = 30 \text{ s}$ de la deconectarea motorului. a) Să se calculeze accelerația unghiulară a mișcării încetînte. b) Numărul de rotații efectuate de disc în acest timp

$$R: \epsilon = 2\pi n/t_m = 0,27 \text{ rad/s}^2; N = nt_m/2 = 20 \text{ rotații}$$

8.1 SISTEM DE FORȚE CONCURENTE. REZULTANTA. MIȘCAREA DE TRANSLAȚIE (REDUCEREA LA UN PUNCT MATERIAL)

Starea de echilibru sau de mișcare a unui corp depinde de caracterul legăturilor mecanice cu celelalte corpuri, adică de apăsările, atracțiile sau respingerile ce rezultă din acțiunile lor reciproce. După cum știm, corpurile din natură acționează unele asupra altora reciproc, aceste interacțiuni fiind caracterizate prin forțe, care sînt mărimi vectoriale.

Dacă asupra unui corp acționează simultan mai multe forțe spunem că acestea formează un *sistem de forțe*. Cînd suporturile forțelor se întîlnesc în același punct, forțele sînt *concurente*.

Să considerăm un corp asupra căruia acționează sistemul de forțe \vec{F}_1 , \vec{F}_2 și \vec{F}_3 aplicate în punctele A , B și C (fig. 8.1). Dacă se înlocuiește sistemul de forțe dat prin alt sistem, care produce aceleași efecte asupra corpului ca și sistemul inițial, spunem că cele două *sisteme de forțe sînt echivalente*. Două sisteme de forțe echivalente cu un al treilea sînt și ele echivalente. Dacă sistemul dat este echivalent cu o singură forță, aceasta este *rezultanta* sistemului de forțe.

Rezultanta forțelor se obține prin operația de compunere a forțelor, care este identică cu operația de compunere a vectorilor cunoscută din paragraful 1.6.

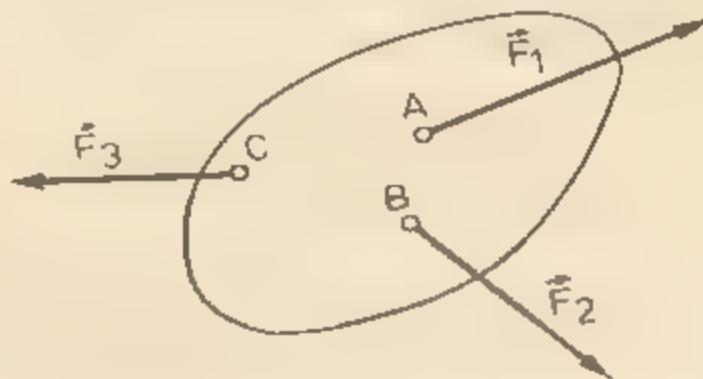


Fig. 8.1. Forțele \vec{F}_1 , \vec{F}_2 și \vec{F}_3 care acționează simultan asupra unui solid constituie un sistem de forțe

În cazul cînd corpul este un punct material, adică dimensiunile lui sînt neglijabile, distanțele dintre punctele de aplicație ale forțelor fiind foarte mici, acestea se pot confunda cu un singur punct pe care îl notăm cu O (fig. 8.2). Rezultă că forțele care acționează asupra unui punct material sînt concurente.

Ca urmare a neglijării dimensiunilor corpului, acesta nu poate efectua mișcări de rotație în jurul vreunei axe trecînd prin el însuși. Punctul material poate efectua numai mișcări de translație sub acțiunea forțelor care acționează asupra lui.

8.1.1. Compunerea forțelor prin metoda analitică. Asupra metodelor grafice de compunere a forțelor, cum ar fi metoda paralelogramului sau metoda poligonului forțelor, nu vom mai insista ele fiind cunoscute din paragraful 1.6, unde au fost aplicate pentru compunerea vectorilor. Vom prezenta numai metoda analitică de compunere a forțelor.

Metoda analitică de compunere a forțelor se bazează pe noțiunea de proiecție a forței pe o axă.

Proiectăm o forță \vec{F} pe axele perpendiculare Ox și Oy , ducînd din extremitățile A și B ale forței, perpendiculare pe aceste axe (fig. 8.3).

Componentele forței \vec{F} pe axele de coordonate Ox și Oy sînt date de formulele:

$$F_x = F \cos \alpha; \quad F_y = F \sin \alpha. \quad (8.1)$$

Vom aplica metoda analitică pentru determinarea rezultantei a două forțe coplanare \vec{F}_1 și \vec{F}_2 care fac între ele unghiul α . Metoda comportă următoarele etape:

1. Se ia un sistem de axe perpendiculare xOy orientat astfel încît axa Ox să aibă orientarea uneia dintre forțe. Apoi se proiectează fiecare forță pe cele două axe (fig. 8.4) și se obține:

$$\begin{aligned} F_{1x} &= F_1; & F_{1y} &= 0. \\ F_{2x} &= F_2 \cos \alpha; & F_{2y} &= F_2 \sin \alpha. \end{aligned}$$

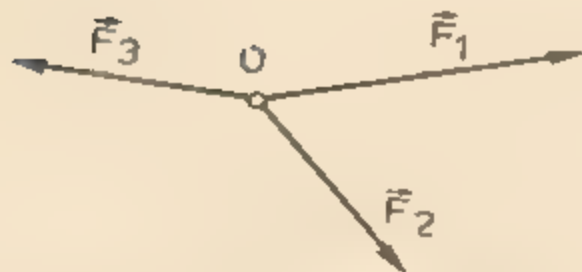


Fig. 8.2. Forțele care acționează asupra unui punct material sînt forțe concurente.

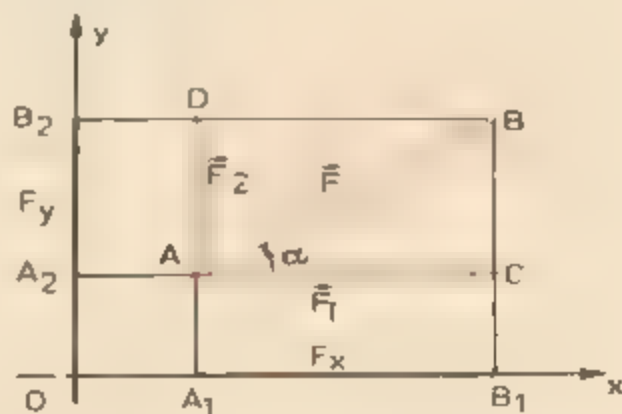


Fig. 8.3. Componentele forței \vec{F} pe axele de coordonate Ox și Oy sînt date de relațiile: $F_x = F \cos \alpha$; $F_y = F \sin \alpha$

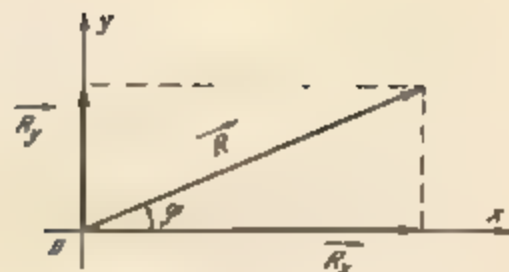
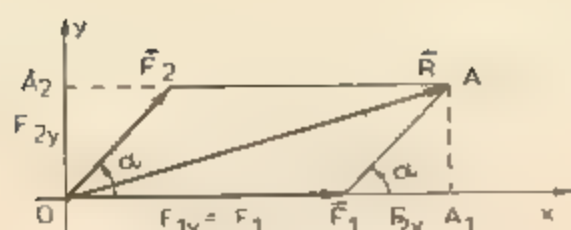


Fig. 8.4. a) Suma componentelor forțelor \vec{F}_1 și \vec{F}_2 pe axe de coordonate este egală cu componentele rezultantei \vec{R} , pe aceleași axe b) Sistemul de forțe \vec{F}_1 și \vec{F}_2 este înlocuit cu sistemul de forțe echivalent \vec{R}_x și \vec{R}_y . Aceste sisteme de forțe admit aceeași rezultantă \vec{R}

În paragraful 1.6 s-a demonstrat că orice sumă de vectori poate fi proiectată pe o axă oarecare și se obține o sumă corespunzătoare pentru proiecțiile vectorilor. Proiecția rezultantei fiind egală cu suma proiecțiilor forțelor. Aplicăm acest rezultat și în cazul forțelor \vec{F}_1 și \vec{F}_2 . După cum rezultă și din figura 8.4, a, suma componentelor forțelor \vec{F}_1 și \vec{F}_2 , pe axe Ox și Oy este egală cu componenta rezultantei \vec{R} , pe aceleași axe, deci:

$$R_x = F_{1x} + F_{2x} = F_1 + F_2 \cos \alpha, \quad (8.2)$$

$$R_y = F_{1y} + F_{2y} = 0 + F_2 \sin \alpha. \quad (8.3)$$

2. Sistemul inițial de forțe \vec{F}_1 și \vec{F}_2 este înlocuit cu un sistem echivalent de forțe \vec{R}_x și \vec{R}_y , care fac între ele un unghi drept (fig. 8.4, b). Rezultanta \vec{R} , a acestor două forțe este dată de diagonala dreptunghiului care are forțele \vec{R}_x și \vec{R}_y drept laturi. Această rezultantă este identică cu rezultanta forțelor \vec{F}_1 și \vec{F}_2 , deoarece cele două sisteme de forțe sînt echivalente.

Modulul rezultantei \vec{R} este dat de relația.

$$R^2 = R_x^2 + R_y^2. \quad (8.4)$$

Înlocuind în (8.4) valorile lui R_x și R_y date de (8.2) și (8.3) obținem:

$$R^2 = (F_1 + F_2 \cos \alpha)^2 + F_2^2 \sin^2 \alpha,$$

sau, după efectuarea calculelor:

$$R^2 = F_1^2 + F_2^2 + 2F_1F_2 \cos \alpha. \quad (8.5)$$

Unghiul φ , care dă orientarea rezultantei H față de axa Ox (fig. 8.4, b) este dat de relația:

$$\operatorname{tg} \varphi = \frac{R_y}{R_x}. \quad (8.6)$$

Metoda prezintă avantaj, cind sistemul este alcătuit dintr-un număr mare de forțe.

EXEMPLE

1. Asupra unui punct material acționează un sistem de forțe alcătuit din cinci forțe concurente, așa cum se indică în figura 8.5, a. Să se determine rezultanta acestui sistem de forțe.

Rezolvare. În cazul acestui exemplu este avantajos să se aleagă axa Ox pe direcția forței \vec{F}_1 și axa Oy pe direcția forței \vec{F}_5 (fig. 8.5, b). Se descompune fiecare forță în două componente după direcțiile axelor Ox și Oy (fig. 8.5, b). În locul celor cinci forțe, orientate după direcții oarecare, am obținut șapte forțe colineare pe două axe perpendiculare. Valoarea numerică a rezultantei forțelor pe direcțiile Ox și Oy este egală cu suma algebrică a valorilor numerice a forțelor componente:

$$R_x = F_{1x} + F_{2x} + \dots + F_{5x},$$

$$R_y = F_{1y} + F_{2y} + \dots + F_{5y}.$$

Asfel sistemul dat a fost redus la două forțe R_x și R_y , care au direcțiile perpendiculare. Rezultanta acestor forțe este dată de diagonala dreptunghiului care are ca laturi forțele R_x și R_y (fig. 8.5, c). Mărimea rezultantei este dată de relația:

$$R = \sqrt{R_x^2 + R_y^2}.$$

Pentru efectuarea calculelor este foarte comod să se folosească tabelul următor

Forța (N)		Componenta pe axa Ox (N)	Componenta pe axa Oy (N)
F_1	15	$15 \cos 0^\circ = 15$	$15 \sin 0^\circ = 0$
F_2	12	$12 \cos 60^\circ = 6$	$12 \sin 60^\circ = 10,39$
F_3	10	$-10 \cos 37^\circ = -8$	$10 \sin 37^\circ = 6$
F_4	10	$-10 \cos 60^\circ = -5$	$-10 \sin 60^\circ = -8,66$
F_5	1,73	$1,73 \cos 90^\circ = 0$	$-1,73 \sin 90^\circ = -1,73$
		$R_x = \sum_{i=1}^5 F_{ix} = 8 \text{ N};$	$R_y = \sum_{i=1}^5 F_{iy} = 6 \text{ N}$

Valoarea numerică a rezultantei este dată de relația:

$$R = \sqrt{R_x^2 + R_y^2} = \sqrt{64 + 36} = 10 \text{ N}.$$

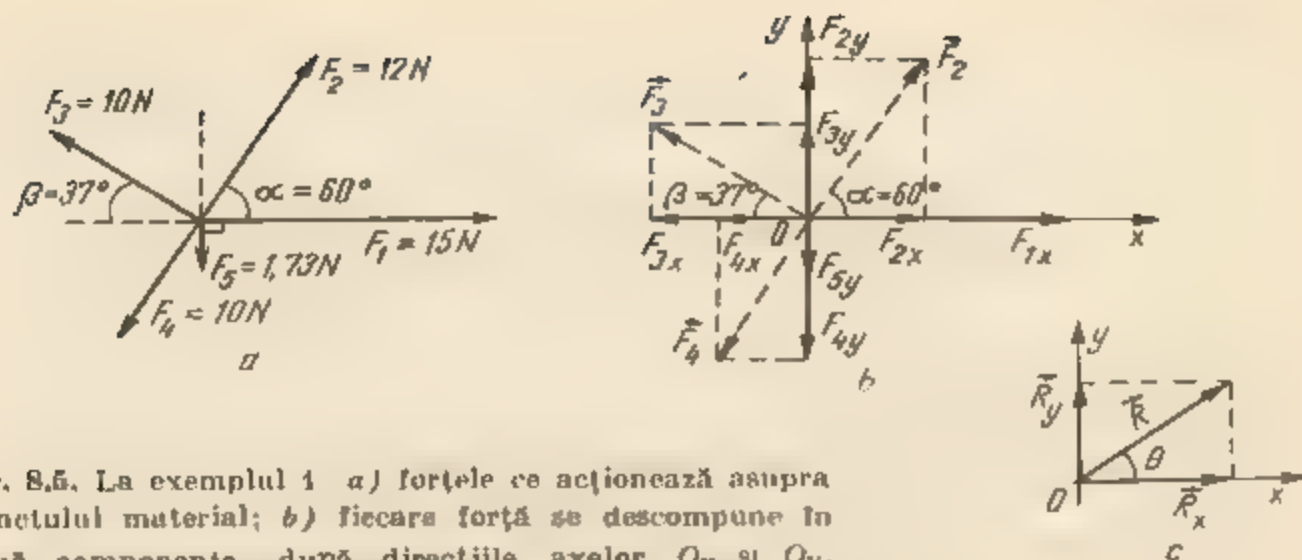


Fig. 8.5. La exemplul 1 a) forțele ce acționează asupra punctului material; b) fiecare forță se descompune în două componente, după direcțiile axelor Ox și Oy , (c) rezultanta \vec{R} a forțelor este diagonala dreptunghiului

Unghiul de orientare al rezultantei față de axa Ox este dat de relația:

$$\operatorname{tg} \theta = \frac{R_y}{R_x} = \frac{6}{8} = 0,75; \quad \theta = 37^\circ.$$

2. Să se determine rezultanta a trei forțe coplanare și concurente care au valorile numerice $F_1 = F_2 = F_3 = 200 \text{ N}$. Unghiul dintre prima și a doua forță este egal cu unghiul dintre a doua și a treia forță și egal cu 60° (fig. 8.6, a).

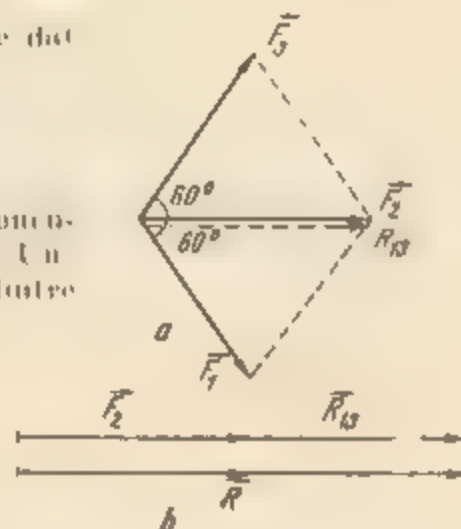


Fig. 8.6. La exemplul 2.

Rezolvare Componem mai întâi forțele \vec{F}_1 și \vec{F}_2 după regula paralelogramului (fig. 8.6, a). Rezultanta \vec{R}_{12} , a forțelor \vec{F}_1 și \vec{F}_2 , are aceeași direcție, sens și valoare numerică ca și forța \vec{F}_3 . Valoarea numerică a rezultantei sistemului de forțe este

$$R = R_{12} + F_3 = 400 \text{ N}$$

8.2. COMPUNEREA FORȚELOR PARALELE. CUPLUL DE FORȚE. MIȘCAREA DE rotație (IREDUCTIBILITATEA LA PUNCT MATERIAL)

Considerăm un solid rigid, adică un sistem mecanic în care distanțele dintre elementele care îl alcătuiesc nu se modifică în procesul mișcării mecanice. Solidul rigid, sub acțiunea unui sistem de forțe poate efectua o mișcare de translație, o mișcare de rotație sau amindouă mișcările simultan. Considerăm că solidul este acționat de un sistem de forțe paralele. Vom determina rezultanta sistemului de forțe paralele în două cazuri particulare

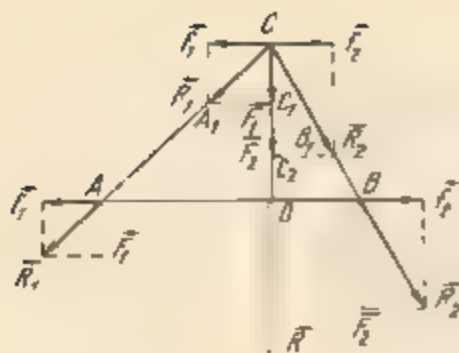


Fig. 8.7. Rezultanta \vec{R} a două forțe paralele de același sens, este paralelă cu acestea, are același sens ca ele și are modulul $R = F_1 + F_2$.

Forțele \vec{f}_1 și \vec{f}_2 , fiind egale și de sens contrar, nu au nici o influență asupra stării de mișcare sau de repaus a solidului rigid.

Compunind forțele \vec{f}_1 , \vec{F}_1 și \vec{f}_2 , \vec{F}_2 după regula paralelogramului, obținem forțele rezultante \vec{R}_1 respectiv \vec{R}_2 . Deplasăm forțele \vec{R}_1 și \vec{R}_2 pînă în punctul C de intersecție al dreptelor lor suport. În acest punct descompunem forțele \vec{R}_1 și \vec{R}_2 în componentele lor inițiale.

Efectele forțelor \vec{f}_1 și \vec{f}_2 anulându-se reciproc, le eliminăm din sistem. Rămîn în sistemul de forțe numai \vec{F}_1 și \vec{F}_2 care au aceeași dreaptă suport și același sens. Rezultanta lor are deci modulul:

$$R = F_1 + F_2.$$

Forța \vec{R} este rezultanta forțelor paralele \vec{F}_1 și \vec{F}_2 aplicate în A și B . Punctul O de aplicare al forței \vec{R} , îl determinăm ținînd seamă de asemănarea triunghiurilor AOC și A_1C_1C , și a triunghiurilor BOC și B_1C_2C .

Dacă notăm AO cu b_1 și OB cu b_2 , din asemănarea triunghiurilor amintite, mai sus, obținem:

$$\frac{b_1}{f_1} = \frac{OC}{F_1} \quad \text{și} \quad \frac{b_2}{f_2} = \frac{OC}{F_2}.$$

Împărțind relațiile de mai sus membru cu membru, obținem:

$$\frac{b_1}{b_2} = \frac{F_2}{F_1} \quad \text{sau} \quad F_1 b_1 = F_2 b_2. \quad (8.7)$$

Relația (8.7) ne permite să determinăm poziția punctului de aplicare O , al rezultantei \vec{R} . Această relație este independentă de schimbarea direcției forțelor paralele în raport cu solidul. Dacă forțele paralele sînt rotite față

de direcția inițială cu un anumit unghi β , așa cum indică figura 8.8, momentul resultant al forțelor în raport cu punctul C, este:

$$F_1 \cdot CA \sin \alpha - F_2 \cdot CB \sin \alpha = 0, \text{ sau} \\ F_1 \cdot CA - F_2 \cdot CB = 0$$

În concluzie, *rezultanta a două forțe paralele și de același sens, aplicate aceluiași solid, este o forță paralelă și de același sens cu componentele și are modulul egal cu suma modulilor componentelor. Punctul de aplicație al rezultantei împarte segmentul de dreaptă care unește punctele de aplicație ale componentelor în două segmente invers proporționale cu modulele forțelor componente*

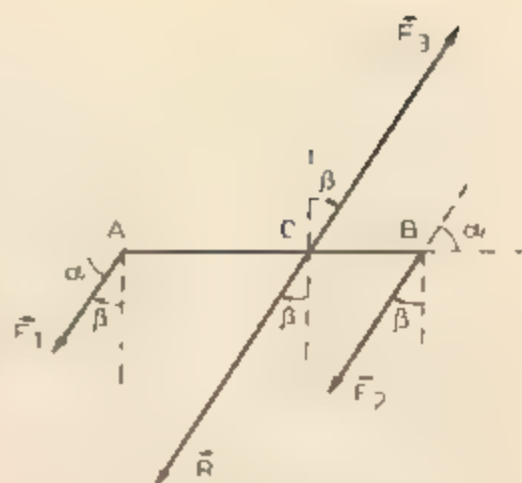


Fig. 8.8. Poziția punctului de aplicație al rezultantei forțelor paralele este independentă de schimbarea direcției forțelor paralele în raport cu solidul asupra căruia acționează.

EXPERIMENTE

Pentru verificarea experimentală a compunerii forțelor paralele, se poate folosi dispozitivul prezentat în figura 8.9

Se suspendă rigla gradată 1, de dinamometrul 2. Pe riglă se introduc alăbreți, notați pe figură cu 3. Dinamometrul indică o forță \vec{F}' egală în modul

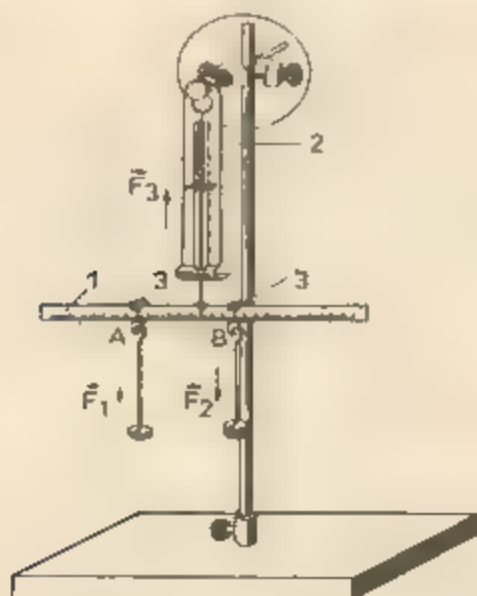


Fig. 8.9. Dispozitiv pentru studiul compunerii forțelor paralele

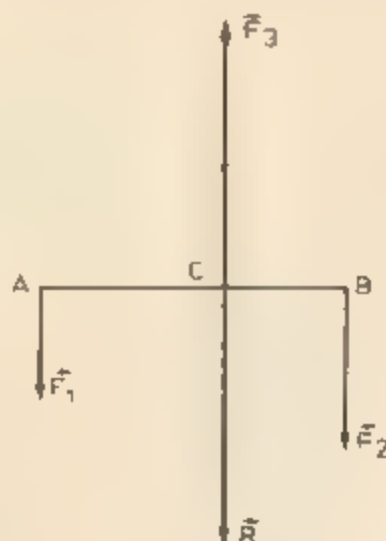


Fig. 8.10. Rezultanta forțelor paralele \vec{F}_1 și \vec{F}_2 este o forță paralelă cu forțele componente și de modul egal cu suma modulilor componentelor.

cu greutatea riglei și a călăreților. Se ține seamă de mărimea acestei forțe în determinările ulterioare.

De călăreți se suspendă cîrlige cu discuri crestate. Discurile suspendate de fiecare călăreț vor acționa asupra riglei cu forțele \vec{F}_1 respectiv \vec{F}_2 . Se deplasează călăreții pe riglă pînă se obține poziția orizontală a acestora. Rigla este în echilibru sub acțiunea forțelor paralele \vec{F}_1 , \vec{F}_2 și \vec{F}_3 . Forța \vec{F}_3 echilibrează forțele \vec{F}_1 și \vec{F}_2 (fig. 8.10). Forța $\vec{R} = -\vec{F}_3$, de același suport și de același modul ca forța \vec{F}_3 și de sens opus acesteia, care poate echilibra de asemenea forța \vec{F}_3 , este echivalentă cu sistemul de forțe \vec{F}_1 și \vec{F}_2 . Forța \vec{R} este deci rezultanta forțelor paralele \vec{F}_1 și \vec{F}_2 , $\vec{R} = \vec{F}_1 + \vec{F}_2$, și experimentul demonstrează că:

a) forța \vec{R} are aceeași direcție și același sens ca și forțele \vec{F}_1 și \vec{F}_2 , deoarece $\vec{R} = -\vec{F}_3$;

b) $R = F_1 + F_2$.

8.2.2. Compunerea forțelor paralele de sens opus. Pentru compunerea forțelor paralele de sens opus vom proceda la fel ca la compunerea forțelor paralele de același sens (fig. 8.11). Conform figurii 8.11, rezultă că:

a) *forța rezultantă \vec{R} are direcția forțelor \vec{F}_1 și \vec{F}_2 și sensul forței \vec{F}_2 , adică sensul forței celei mai mari;*

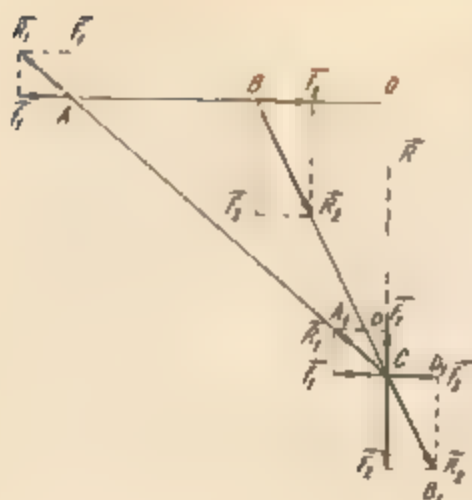


Fig. 8.11. Rezultanta \vec{R} , a două forțe paralele de sens contrar, este o forță paralelă cu acestea și are sensul forței celei mai mari. Modulul rezultantei este

$$R = F_2 - F_1.$$

$$R = F_2 - F_1$$

Dacă notăm cu b_1 segmentul OA și cu b_2 segmentul OB , și avînd în vedere asemănarea triunghiurilor OAC și CA_1D , precum și a triunghiurilor OBC și OD_1B_1 , avem:

$$\frac{b_1}{f_1} = \frac{OC}{F_1}, \text{ și } \frac{b_2}{f_2} = \frac{OC}{F_2}.$$

Împărțind relațiile de mai sus, membru cu membru, obținem:

$$\frac{b_1}{b_2} = \frac{F_2}{F_1}, \text{ sau } b_1 F_1 = b_2 F_2 \quad (8.8)$$

Relația (8.8) ne permite să determinăm poziția punctului de aplicație al rezultantei. Pe figura 8.11 se observă că el este în afara segmentului AB ce unește punctele de aplicație ale componentelor, și situat de partea forței celei mai mari.

Pentru verificarea experimentală a compunerii forțelor paralele de sens opus vom folosi dispozitivul prezentat în figura 8.9. Rigla folosită în acest dispozitiv este în echilibru sub acțiunea forțelor paralele \vec{F}_1 , \vec{F}_2 și \vec{F}_3 .

Forțele paralele \vec{F}_1 , \vec{F}_2 și \vec{F}_3 (fig. 8.12) fiind în echilibru, putem spune că forța \vec{F}_2 echilibrează forțele \vec{F}_1 și \vec{F}_3 și că forța $\vec{R} = -\vec{F}_3$ este rezultanta forțelor \vec{F}_1 și \vec{F}_2 :

$$\vec{R} = -\vec{F}_3 = \vec{F}_1 + \vec{F}_2.$$

Modulul rezultantei este dat de relația:

$$R = F_2 - F_1.$$

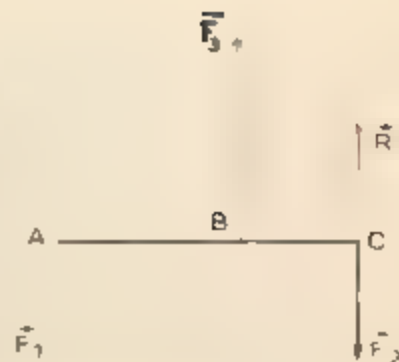


Fig. 8.12. Rezultanta forțelor \vec{F}_1 și \vec{F}_2 , paralele și de sens opus, este paralelă cu forțele componente și are sensul forței celei mai mari în modul. Modulul rezultantei este egal cu diferența modulelor componentelor.

8.2.3. Compunerea unui număr oarecare de forțe paralele. Fie un sistem de forțe paralele de același sens \vec{F}_1 , \vec{F}_2 , ..., \vec{F}_n , care acționează asupra unui solid (fig. 8.13). Se compun forțele două câte două. Se compun mai întâi forțele \vec{F}_1 și \vec{F}_2 . Apoi rezultanta \vec{R}_1 se compune cu forța \vec{F}_3 . Noua rezultantă \vec{R}_2 se compune cu forța \vec{F}_4 și așa mai departe. Rezultanta generală \vec{R} a sistemului de forțe are aceeași direcție ca și componentele sale; modulul său este egal cu suma modulelor componentelor:

$$R = F_1 + F_2 + \dots + F_n.$$

Punctul de aplicație C al rezultantei generale se numește *centrul forțelor paralele*. Acesta este un punct fix al solidului, a cărui poziție este independentă de:

- a) sistemul de referință;
- b) ordinea în care se compun forțele paralele, două câte două;

c) schimbarea direcției forțelor paralele în raport cu solidul (dacă toate forțele paralele se rotesc cu același unghi în raport cu solidul);

d) modificarea modulelor forțelor paralele în același raport (spre exemplu dacă toate modulele se micșorează sau se măresc de n ori în raport cu valoarea lor inițială).

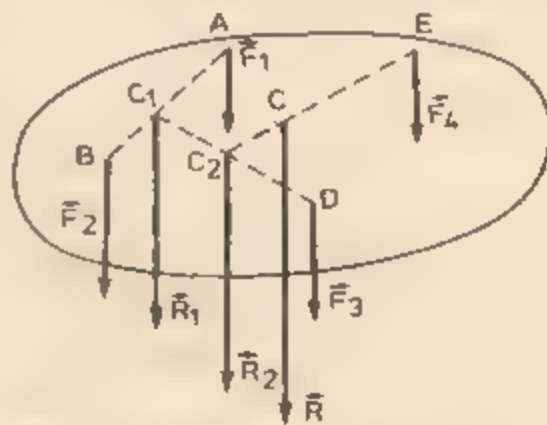


Fig. 8.13. Rezultanta unui sistem de forțe paralele este aplicată într-un punct numit *centrul forțelor paralele*.

Dacă forțele paralele nu au toate același sens, se compun mai întâi forțele de un anumit sens și apoi forțele de sens contrar. Se obțin două rezultante parțiale, paralele și de sens opus. Prin compunerea rezultatelor parțiale se obține rezultanta generală, cu punctul de aplicație în centrul forțelor paralele.

Se poate întâmpla ca rezultantele parțiale de sensuri opuse să aibă module egale și suporturile diferite, atunci ele alcătuiesc un *cuplu de forțe*.

8.2.4. Descompunerea unei forțe în două componente paralele cu ea. Cu ajutorul relațiilor (8.7) și (8.8) se pot rezolva problemele de descompunere a unei forțe date în două forțe paralele cu forța dată și orientate în același sens sau în sens opus.

EXEMPLE

1. Extremitățile unei bare de masă neglijabilă și de lungime $l = 2,4$ m sînt așezate pe doi stilpi la distanța $b_1 = 1,6$ m de unul dintre stilpi, se suspendă un corp cu greutatea $G = 640$ N. Să se calculeze forțele de apăsare pe fiecare dintre stilpi.

Rezolvare Fie \vec{F}_1 și \vec{F}_2 forțele care se exercită pe stilpi care susțin bara (fig. 8.14). Cu formă relației (8.7), avem:

$$\frac{b_1}{l - b_1} = \frac{F_2}{F_1}, \text{ sau } \frac{b_1}{l - b_1 + b_1} = \frac{F_2}{F_1 + F_2},$$

cum $F_1 + F_2 = G$ obținem:

$$F_2 = 427 \text{ N}; F_1 = 213 \text{ N}.$$

2. Extremitatea unei bare de greutate neglijabilă și de lungime $l = 2,4$ m este fixată într-un perete. La distanța $d = 1,6$ m de perete, bara este susținută de un stilp (fig. 8.15). La extremitatea liberă a barei acționează o forță $F = 640$ N. Să se calculeze forțele cu care bara apasă asupra peretelui și asupra stilpului.

Rezolvare Forța \vec{F} , așa cum rezultă din enunț, este descompusă în două componente paralele și de sens opus. Mărimile acestor componente le calculăm folosind relația (8.8).

$$\frac{l}{l - d} = \frac{F_2}{F_1} \text{ sau } \frac{2,4}{0,8} = \frac{F_2}{F_1}.$$

Din această ultimă relație obținem:

$$\frac{2,4 - 0,8}{0,8} = \frac{F_2}{F_1},$$

de unde

$$F_1 = 320 \text{ N}; F_2 = 960 \text{ N}.$$

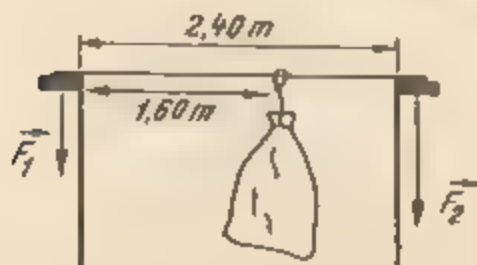


Fig. 8.14. La exemplul 1.



Fig. 8.15. La exemplul 2.

8.2.5 Cuplul de forțe. Cuplul de forțe este un sistem de două forțe paralele, de sensuri contrare, de același modul și de suporturi diferite, aplicate aceluiași solid. Planul definit de cele două forțe se numește planul cuplului, iar distanța dintre suporturile lor se numește *brațul cuplului* (fig. 8.16). Cu toate că rezultanta cuplului $\vec{R} = \vec{F}_1 + \vec{F}_2 = 0$ (ceea ce face să nu existe mișcare de translație), totuși cuplul are o acțiune bine determinată asupra corpului cărui i se aplică, rotindu-l în jurul unei axe perpendiculare pe planul cuplului.

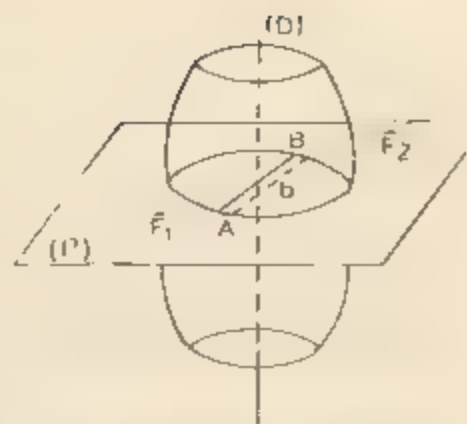


Fig. 8.16. Cuplul de forțe.

Exemple de cupluri de forțe: acțiunea mâinilor asupra unui volan de automobil sau asupra ghidonului unei biciclete, acțiunea tijei unei șurubelnițe asupra creștăturii unui șurub, acțiunea mâinii asupra unui turbușon (fig. 8.17).

8.2.6. Momentul unui cuplu. Momentul unui cuplu de forțe este același în raport cu orice punct din spațiu, fiind o proprietate intrinsecă a cuplului (fig. 8.18).

Să considerăm un punct oarecare O din spațiu. Momentul cuplului în raport cu acest punct este:

$$\vec{M} = \vec{r}_1 \times \vec{F}_1 + \vec{r}_2 \times \vec{F}_2 = (\vec{r}_1 - \vec{r}_2) \times \vec{F},$$

deoarece $\vec{F}_1 = -\vec{F}_2 = \vec{F}$.

Dar $\vec{r}_1 - \vec{r}_2 = \vec{r}_0$ deci

$$\vec{M} = \vec{r}_0 \times \vec{F}. \quad (8.9)$$

Momentul cuplului este perpendicular pe planul definit de forțele \vec{F}_1, \vec{F}_2 și are modulul

$$M = Fr_0 \sin \alpha = Fb, \quad (8.10)$$

unde $b = r_0 \sin \alpha$ este brațul cuplului.

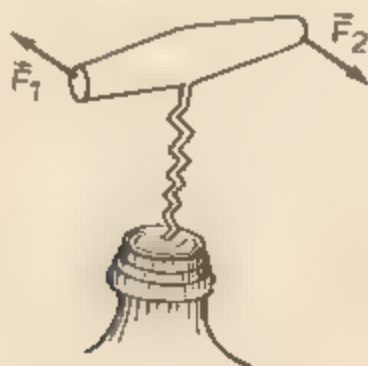


Fig. 8.17. Cuplul de forțe are ca efect producerea unei mișcări de rotație

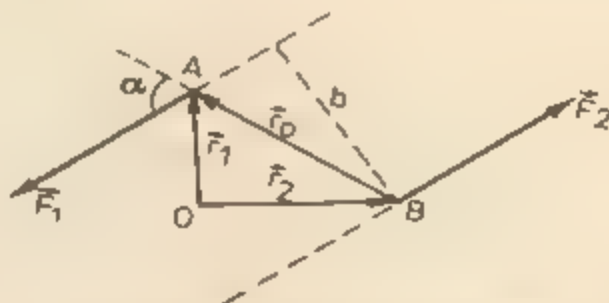


Fig. 8.18. Momentul unui cuplu.

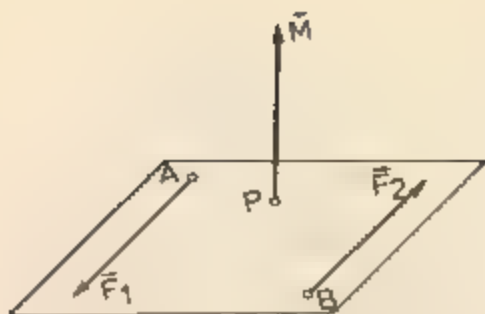


Fig. 8.19. Punctul de aplicație al momentului unui cuplu poate fi orice punct din spațiu

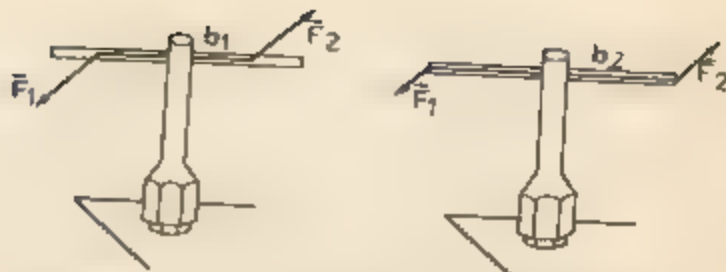


Fig. 8.20. Două cupluri sînt echivalente cînd produc același efect

Sensul momentului cuplului coincide cu sensul de înaintare al unui șurub drept, a cărui axă coincide cu suportul momentului, pe care îl rotim în sensul în care cuplul tinde să rotească corpul.

Punctul de aplicație al momentului cuplului poate fi orice punct din spațiu (fig. 8.19) (în cazul corpurilor rigide).

Două sau mai multe cupluri se spune că sînt echivalente, dacă aplicate succesiv aceluiași corp, produc același efect (fig. 8.20). Cuplurile echivalente se pot înlocui unul cu altul. Toate cuplurile echivalente au același moment, deoarece efectul de rotație este caracterizat numai de către momentul cuplului. În cazul corpurilor rigide un cuplu poate fi rotit, deplasat în propriul său plan sau într-un plan paralel, efectul său rămînînd același, deoarece momentul său nu se modifică.

8.3. CENTRUL DE GREUTATE

8.3.1. Centrul de greutate al unui sistem rigid de puncte materiale. Considerăm un sistem alcătuit din n puncte materiale A_1, A_2, \dots, A_n , de mase respective m_1, m_2, \dots, m_n , care au pozițiile fixe unele față de altele deoarece sistemul este nedeformabil. Sistemul de puncte materiale este plasat în

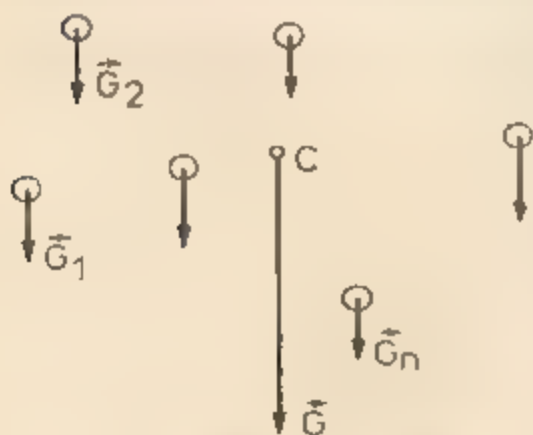


Fig. 8.21. Centrul de greutate al unui sistem rigid de puncte materiale

câmpul gravitațional uniform. Fiecare punct al sistemului este supus acțiunii unei forțe de greutate $\vec{G}_i = m_i \vec{g}$, unde \vec{g} este un vector constant oricare ar fi poziția punctului material. Forțele de greutate care acționează asupra punctelor materiale ale sistemului constituie un sistem de forțe paralele, care au direcția și sensul verticalei descendente (fig. 8.21). Acest sistem de forțe paralele este totdeauna echivalent cu o forță unică, aplicată în centrul forțelor paralele

Centrul forțelor de greutate paralele se numește *centrul de greutate* al sistemului

iar forța unică \vec{G} , echivalentă cu forțele sistemului, se numește *greutatea sistemului de puncte materiale*.

Modulul forței \vec{G} este dat de relația:

$$G = m_1g + m_2g + \dots + m_ng = (m_1 + m_2 + \dots + m_n)g,$$

sau

$$G = Mg, \quad (8.11)$$

unde $M = m_1 + m_2 + \dots + m_n$, reprezintă masa sistemului de puncte materiale. Cen-

trul de greutate se comportă ca un punct material de masă M , egală cu suma maselor m_i ale tuturor punctelor materiale ale sistemului.

Vom determina poziția centrului de greutate al unui sistem de 2 puncte materiale în raport cu un sistem de coordonate.

Considerăm deci un sistem alcătuit din două puncte materiale de mase m_1 și m_2 și de coordonate x_1, y_1 și x_2, y_2 , raportate la un sistem de axe perpendiculare xOy (fig. 8.22).

Forțele paralele $\vec{G}_1 = m_1\vec{g}$ și $\vec{G}_2 = m_2\vec{g}$ au drept rezultantă forța \vec{G} , cu punctul de aplicație în C , numit centru de greutate. Conform relației (8.7), avem

$$G_1b_1 = G_2b_2, \text{ sau } \frac{b_1}{b_2} = \frac{G_2}{G_1}. \quad (8.12)$$

Din asemănarea triunghiurilor AEB și ADC , precum și a triunghiurilor AHB și AFC (fig. 8.22), obținem:

$$\frac{x_c - x_1}{x_2 - x_c} = \frac{b_1}{b_2} \text{ și } \frac{y_c - y_1}{y_2 - y_c} = \frac{b_1}{b_2}. \quad (8.13)$$

Comparînd relațiile (8.12) și (8.13), obținem:

$$\frac{x_c - x_1}{x_2 - x_c} = \frac{G_2}{G_1} \text{ și } \frac{y_c - y_1}{y_2 - y_c} = \frac{G_2}{G_1}.$$

Aceste relații ne permit să determinăm coordonatele centrului de greutate:

$$(8.14)$$

Dacă raportăm sistemul de puncte materiale la trei axe de coordonate, obținem a treia coordonată a centrului de greutate:

$$(8.15)$$

Relațiile (8.14) și (8.15) se pot generaliza pentru un sistem format dintr-un număr oarecare de puncte materiale și obținem pentru centrul de greutate al acestui sistem, coordonatele

$$x_c = \frac{G_1x_1 + \dots + G_nx_n}{G_1 + G_2 + \dots + G_n}, \quad y_c = \frac{G_1y_1 + \dots + G_ny_n}{G_1 + G_2 + \dots + G_n}, \quad z_c = \frac{G_1z_1 + \dots + G_nz_n}{G_1 + G_2 + \dots + G_n}. \quad (8.16)$$

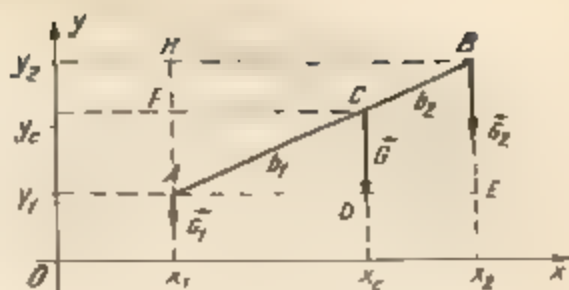


Fig. 8.22. În raport cu un sistem de referință fix, centrul de greutate al unui sistem de două puncte materiale are coordonatele x_c și y_c .

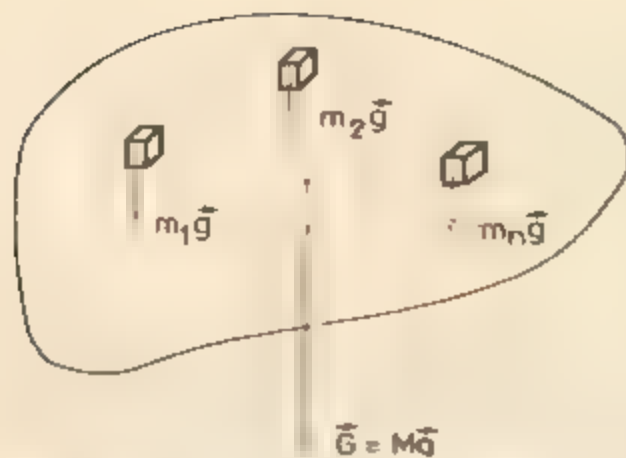


Fig. 8.23. Poziția centrului de greutate al unui solid este independentă de orientarea solidului în raport cu un sistem de referință fix.

Centrul de greutate are următoarele proprietăți:

a) poziția centrului de greutate al unui sistem de puncte materiale față de punctele sistemului este independentă de poziția sistemului față de sistemul de referință;

b) dacă sistemul de puncte materiale are un centru de simetrie, acest punct coincide întotdeauna cu centrul de greutate al sistemului;

c) dacă sistemul de puncte materiale are o axă de simetrie, centrul de greutate al sistemului este situat pe această axă;

d) dacă sistemul de puncte materiale are un plan de simetrie, centrul de greutate este situat în acest plan.

8.3.2. Centrul de greutate al unui solid rigid. Orice corp solid poate fi descompus mental într-un număr foarte mare de elemente de volum, foarte mici, care pot fi approximate prin puncte materiale. Fiecare punct material de masă m_i este supus unei forțe de greutate $m_i \vec{g}$ (fig. 8.23). Totalitatea forțelor de greutate care se exercită asupra elementelor de volum de masă m_i , constituie un sistem de forțe paralele. Rezultanta \vec{G} a sistemului de forțe paralele este greutatea corpului și are punctul de aplicație în centrul forțelor paralele, care este centrul de greutate al corpului.

Centrul de greutate este un punct fix al corpului ale cărui proprietăți sînt identice cu acelea ale centrului de greutate al unui sistem rigid de puncte materiale. În plus trebuie să menționăm că poziția centrului de greutate al unui solid omogen este independentă de masa cuprinsă în același contur. Spre exemplu, centrul de greutate al unei sticle goale are aceeași poziție ca și centrul de greutate al aceleiași sticle umplută complet cu un lichid. Deci toate centrele de greutate ocupă poziții identice în raport cu contururile identice.

Centrul de greutate al unui corp omogen și cu formă geometrică regulată depinde de elementele geometrice ale corpului, nu și de natura materialului din care este alcătuit. Dacă aceste corpuri au un plan, o axă sau un centru de simetrie, atunci centrul de greutate se găsește în planul, pe axa sau în centrul de simetrie respectiv. Spre exemplu, centrul unei bare omogene se află la mijlocul său; al unui disc circular omogen se află în centrul său; al unei sfere omogene se află în centrul sferei; al unui cilindru se află la jumătatea înălțimii cilindrului etc. Centrul de greutate al unei plăci triunghiulare se află la intersecția medianelor triunghiului.

Experimental centrul de greutate al unui corp se determină în felul următor. Se suspendă corpul într-un punct al său A , de care se leagă un fir cu plumb. Direcția firului se marchează pe corp. Apoi se suspendă corpul într-un alt punct al său B și se marchează, din nou pe corp, direcția firului cu plumb. Intersecția celor două linii marcate pe corp arată poziția centrului de greutate C (fig. 8.24). Se poate verifica experimental că centrul de greutate al unui corp este un punct unic.

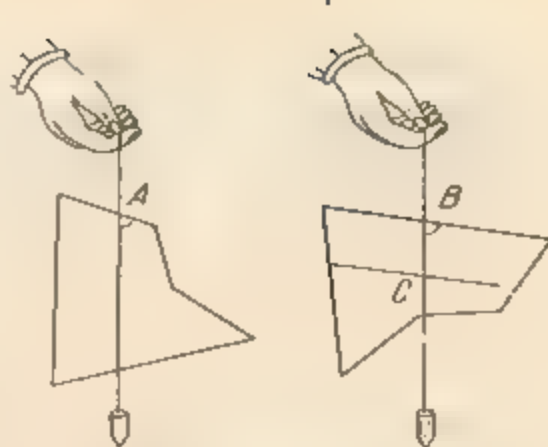


Fig. 8.24. Determinarea experimentală a centrului de greutate al unui corp

După cum se poate arăta, într-un câmp gravitațional omogen, centrul de greutate coincide cu centrul de masă. Totuși noțiunea de centru de masă este mai generală decât aceea de centru de greutate, deoarece centrul de masă al unui sistem fizic se poate determina întotdeauna, independent de forțele gravitaționale, ceea ce nu este adevărat pentru centrul de greutate. Spre exemplu, un experimentator din spațiul cosmic, aflat într-un satelit, nu va putea să determine centrul de greutate al unui obiect deoarece forța gravitațională nu are nici un efect în locul în care se face experimentul. În schimb, experimentatorul va putea determina centrul de masă al obiectului.

EXEMPLE

1. Pe o tijă rigidă de masă neglijabilă sînt introduse două sfere O_1 și O_2 de mase respective m_1 și m_2 . Centrele sferelor se află la distanțele x_1 respectiv x_2 de extremitatea O a tijei (fig. 8.25). Să se determine poziția centrului de greutate al sistemului alcătuit din cele două sfere.

Rezolvare Greutatea \vec{G} a sistemului alcătuit din cele două sfere este aplicată în punctul C , centrul de greutate al sistemului.

Momentul forței rezultante \vec{G} , în raport cu punctul O , este egal cu suma momentelor forțelor componente în raport cu același punct, deci

$$Gx_C = G_1x_1 + G_2x_2,$$

de unde

$$x_C = \frac{G_1x_1 + G_2x_2}{G_1 + G_2},$$

deoarece $G = G_1 + G_2$.

2. Să se determine poziția centrului de greutate C al unui disc omogen cu grosimea uniformă și de diametru $D_1 = 40$ cm, din care s-a tăiat o bucată circulară cu diametrul $D_2 = 10$ cm. Centrul O_2 al orificiului circular se află la 10 cm de centrul O_1 al discului dat (fig. 8.26).

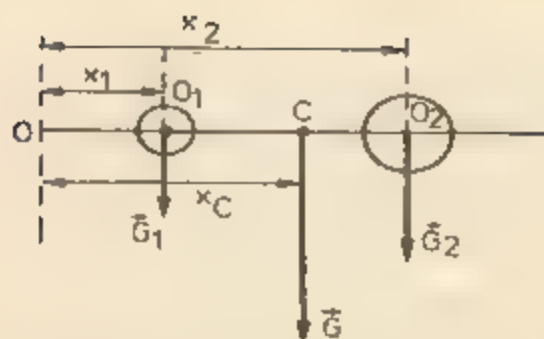


Fig. 8.25. La problema rezolvată 1

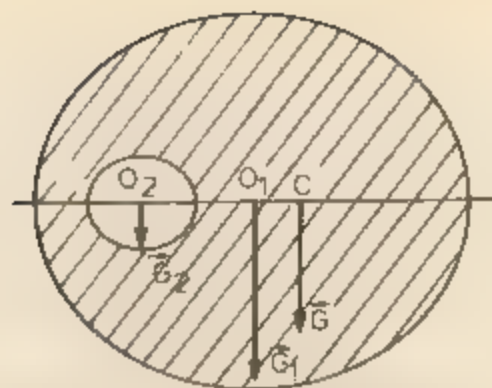


Fig. 8.26. La problema rezolvată 2.

Rezolvare. Calculăm raportul dintre greutatea $G_1 = \pi R_1^2 h \rho g$ a discului întreg și greutatea $G_2 = \pi R_2^2 h \rho g$ a părții scoase din disc:

$$\frac{G_1}{G_2} = \frac{R_1^2}{R_2^2} = \frac{16}{1},$$

unde R_1 este raza discului și R_2 raza părții decupate.

Greutatea discului incomplet se obține din relația de mai sus făcând o proporție derivată:

$$\frac{G_1}{G_2} = \frac{G_2}{G_1} = \frac{15}{1}$$

$$\text{deci } G = G_1 - G_2 = 15 G_2$$

Presupunind că discul este întreg, greutatea lui \vec{G}_1 , aplicată în O_1 , este rezultanta forțelor paralele \vec{G}_2 și \vec{G} .

Momentul forței rezultante \vec{G}_1 , în raport cu O_1 este egal cu suma momentelor forțelor componente \vec{G}_2 și \vec{G} în raport cu același punct.

Deci

$$G_2 \cdot O_1 O_2 - G \cdot O_1 C = 0,$$

de unde

$$O_1 C = \frac{G_2 \cdot O_1 O_2}{G} = \frac{G_2 \cdot O_1 O_2}{15 G_2} = \frac{10}{15} = 0,67 \text{ cm.}$$

8.4 ECHILIBRUL MECANIC. CONDIȚII DE ECHILIBRU

8.4.1. Echilibrul punctului material liber. Echilibrul de translație. Punctul material, fiind considerat un corp cu dimensiuni neglijabile, acesta nu poate efectua mișcări de rotație în jurul unei axe trecând prin corp. Sub acțiunea unui sistem de forțe, punctul material poate efectua mișcări de translație. Echilibrul sistemului de forțe aplicate punctului material se numește *echilibru de translație*.

Se spune că un sistem de forțe este în echilibru sau că are efect nul atunci când nu influențează mișcarea sau starea de repaus a corpului pe care îl acționează.

Conform principiului fundamental al dinamicii, $\vec{R} = m\vec{a}$, cauza determinantă a variației vitezei unui corp este rezultanta \vec{R} , a forțelor care acționează asupra corpului. Pentru ca un sistem de forțe să nu influențeze mișcarea corpului pe care îl acționează, trebuia ca rezultanta lui să fie nulă.

Să considerăm un punct material liber, adică un punct material care nu este legat de alte corpuri și care se poate deplasa în orice direcție în spațiu. Dacă punctul material liber este acționat de un sistem de forțe $\vec{F}_1, \vec{F}_2, \dots, \vec{F}_n$, în așa fel dispuse încât rezultanta lor să fie nulă:

$$\vec{R} = \vec{F}_1 + \vec{F}_2 + \dots + \vec{F}_n = 0, \quad (8.17)$$

atunci punctul material rămâne în repaus sau se mișcă rectiliniu și uniform față de un sistem de referință inerțial. Spunem că punctul material este în echilibru. Echilibrul este *static* când punctul material rămâne în repaus și echilibrul este *dinamic* când se mișcă rectiliniu și uniform în raport cu sistemul de referință dat. Alegând convenabil sistemul de referință, echilibrul dinamic poate fi privit ca echilibru static. În continuare ne vom referi numai la echilibrul static. Relația (8.17) reprezintă condiția de echilibru pentru punctul material liber. Deci:

condiția

Dacă proiectăm ecuația vectorială (8.17) pe două axe de coordonate perpendiculare Ox și Oy , condiția de echilibru (8.17) este înlocuită prin următoarele condiții de echilibru:

$$R_x = F_{1x} + F_{2x} + \dots + F_{nx} = 0, \quad (8.18)$$

$$R_y = F_{1y} + F_{2y} + \dots + F_{ny} = 0. \quad (8.19)$$

Condiția necesară și suficientă pentru echilibrul sistemului de forțe care acționează asupra punctului material liber, este ca suma componentelor forțelor pe două axe perpendiculare Ox și Oy să fie zero.

8.4.2. Echilibrul punctului material liber supus acțiunii a două forțe.

EXPERIMENT

Vom folosi dispozitivul experimental reprezentat în figura 8.27, realizat cu componente ale trusei de fizică pentru liceu. Acest dispozitiv este schematizat în mod simplificat în figura 8.28.

Corpul studiat este un inel foarte ușor, asimilat cu un punct material. Greutatea inelului se neglijează în raport cu forțele care acționează asupra lui. De inel se leagă două fire, care trec peste doi scripeți. La extremitățile acestor fire se leagă niște cîrlige suport pentru discuri crestate. Pe ambele

Fig. 8.27. Dispozitiv pentru studiul echilibrului forțelor

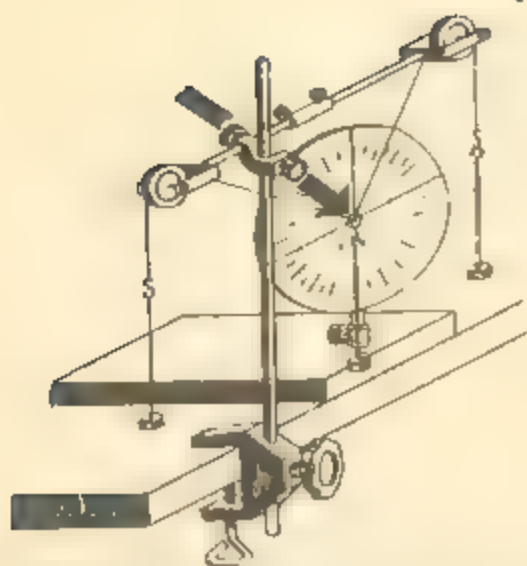
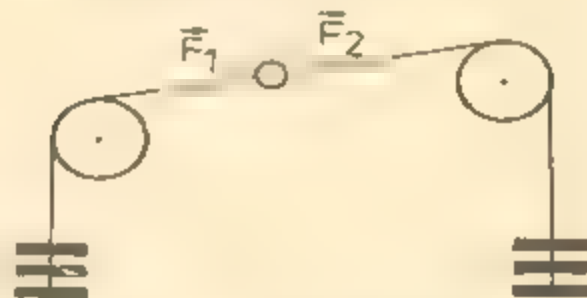


Fig. 8.28. Echilibrul unui punct material supus acțiunii a două forțe



clunge suport se pun în număr egal discuri. Se constată că firele legate de inel se întind în linie dreaptă, iar inelul rămâne în repaus.

Interpretăm acest experiment simplu astfel. Asupra inelului acționează două forțe \vec{F}_1 și \vec{F}_2 care au același suport, sensurile opuse și modulele egale. Rezultanta \vec{R} a forțelor este egală cu zero:

$$\vec{R} = \vec{F}_1 + \vec{F}_2 = 0.$$

Cele două forțe se echilibrează.

Un punct material liber supus acțiunii a două forțe este în echilibru dacă cele două forțe au același suport, același modul și sensurile opuse.

8.4.3. Echilibrul punctului material liber supus acțiunii a trei forțe.

EXPERIMENT

Se folosește dispozitivul din figura 8.27 care este reprezentat simplificat în figura 8.29. Corpul studiat este inelul din experimentul precedent. De acest inel se leagă trei fire, dintre care două se trec peste cei doi scripeți ai dispozitivului. De unul dintre firele trecute peste scripeți se suspendă, spre exemplu, patru discuri crestate, iar de celălalt trei discuri crestate. Lăsat liber inelul nu mai rămâne în echilibru și, pentru a-l echilibra, se suspendă de al treilea fir un număr de discuri crestate, spre exemplu cinci.

Asupra punctului material acționează trei forțe concurente: \vec{F}_1 , \vec{F}_2 și \vec{F}_3 .

Vom înlocui forțele \vec{F}_1 și \vec{F}_2 prin rezultanta lor \vec{R}_1 . Punctul material se află în echilibru sub acțiunea forțelor \vec{F}_3 și \vec{R}_1 . Deci \vec{R}_1 trebuie să aibă același suport și același modul ca \vec{F}_3 și sensul opus acestora.

$$\vec{R}_1 = -\vec{F}_3 = \vec{F}_1 + \vec{F}_2.$$

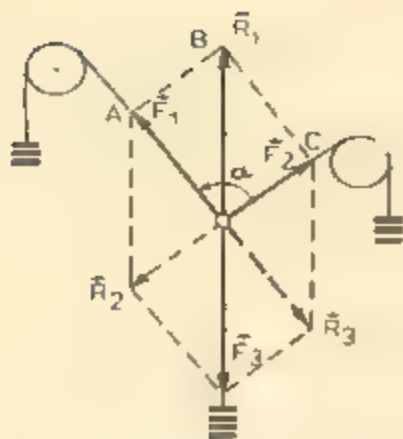


Fig. 8.29. Un punct material este în echilibru sub acțiunea a trei forțe coplanare concurente cînd rezultanta lor este nulă

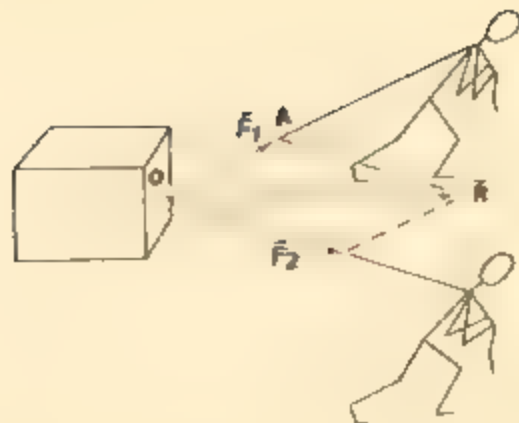


Fig. 8.30. Sistemul de forțe \vec{F}_1 și \vec{F}_2 concurente în O este echivalent cu o forță unică \vec{R} , numită rezultanta sistemului de forțe.

Deci,

$$\vec{F}_1 + \vec{F}_2 + \vec{F}_3 = 0.$$

Prin urmare

condiția necesară și suficientă ca punctul material liber supus acțiunii a trei forțe să fie în echilibru este ca rezultanta lor să fie zero.

Experimentul descris mai sus permite să se verifice faptul că, rezultanta a două forțe \vec{F}_1 și \vec{F}_2 concurente într-un punct O este definită în direcție, sens și modul prin diagonala care pleacă din O , a paralelogramului care are ca laturi cele două forțe (fig. 8.29 și 8.30).

Pentru verificarea experimentală de care am vorbit mai sus, măsurăm unghiul dintre forțele \vec{F}_1 și \vec{F}_2 cu ajutorul unui raportor în formă de disc, cu care este prevăzut dispozitivul, și apoi reprezentăm la scară forțele \vec{F}_1 , \vec{F}_2 și \vec{R}_1 pe o foaie de hirtie milimetrică. Din reprezentarea grafică constatăm că forța \vec{R}_1 este orientată după diagonala paralelogramului construit pe forțele \vec{F}_1 și \vec{F}_2 ca laturi și are modulul egal cu lungimea diagonalei.

Același experiment permite să se verifice că fiecare dintre cele trei forțe \vec{F}_1 , \vec{F}_2 , și \vec{F}_3 este direct opusă rezultantei celorlalte două (fig. 8.29).

EXEMPLU

De mijlocul unui fir O este legat un inel ușor, asimilat cu un punct material, a cărui greutate este neglijabilă în raport cu forțele care acționează asupra lui. Capetele firului, care susțin două corpuri cu greutățile $G_1 = 6 \text{ N}$ și $G_2 = 8 \text{ N}$, sînt trecute

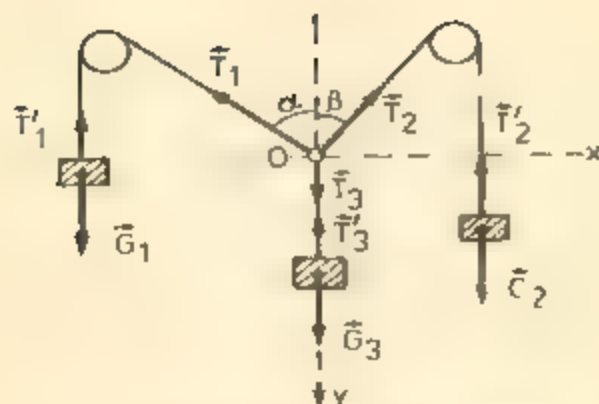


Fig. 8.31. La problema rezolvată.

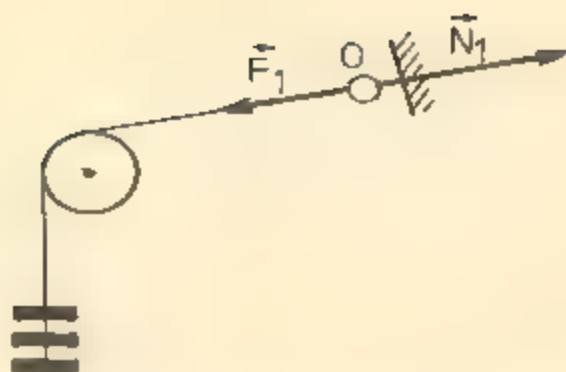


Fig. 8.32. Punctul material este în echilibru sub acțiunea forței \vec{F}_1 și a forței de legătură \vec{N}_1 .

peste doi scripete mici. De înel se leagă un al doilea fir, care susține un corp de greutate $G_2 = 10 \text{ N}$ (fig. 8.31). Să se determine unghiurile α și β pentru poziția de echilibru a punctului material O .

Rezolvare Punctul material O este liber. Poziția sa în spațiu fiind determinată numai de forțele care acționează asupra lui. Asupra punctului material acționează forțele \vec{T}_1 , \vec{T}_2 și \vec{T}_3 . Punctul material fiind în echilibru, rezultanta forțelor care acționează asupra lui este zero,

$$\vec{T}_1 + \vec{T}_2 + \vec{T}_3 = 0 \quad (8.20)$$

Proiectăm ecuația vectorială (8.20) pe două axe de coordonate Ox și Oy . Direcția axei Oy coincide cu direcția forței \vec{T}_3 , iar axa Ox este perpendiculară pe Oy în O . Efectuând proiecțiile, și având în vedere că $T_1 = G_1$, $T_2 = G_2$ și $T_3 = G_3$, obținem $-G_1 \sin \alpha + G_2 \sin \beta = 0$; $G_3 = G_1 \cos \alpha + G_2 \cos \beta = 0$, sau

$$G_1 \sin \alpha = G_2 \sin \beta; \quad G_3 = G_1 \cos \alpha + G_2 \cos \beta \quad (8.21)$$

Ridicând la pătrat relațiile (8.21) și apoi adunându-le, obținem

$$\cos \alpha = \frac{G_3^2 + G_1^2 - G_2^2}{2G_1G_3} = 0,6 \quad \alpha \approx 53^\circ$$

În mod asemănător se obține și

$$\cos \beta = \frac{G_3^2 + G_2^2 - G_1^2}{2G_2G_3} = 0,8; \quad \beta \approx 37^\circ.$$

8.4.4. Echilibrul punctului material supus la legături. Supraamata unul dintre firele legate de inelul folosit în experimentul descris în § 8.4.2. și apoi prindem inelul de un cârlig (fig. 8.32). Asupra inelului, care este în echilibru acționează forța \vec{F}_1 . Însă această forță singură nu poate să echilibreze inelul. Trebuie să admitem existența unei a doua forțe \vec{N}_1 . Această forță care se exercită din partea cârligului, adică din partea legăturii, este o forță de legătură sau o forță de reacțiune sau simplu reacțiune. Forța de legătură \vec{N}_1 are același suport, același modul ca forța \vec{F}_1 și sensul opus acesteia. Deci cele două forțe se echilibrează, rezultanta lor fiind egală cu zero.

Se numește *legătură*, orice cauză care limitează mișcarea unui punct material sau a unui corp oarecare în spațiu. Legăturile obligă punctul material să rămână tot timpul pe o anumită suprafață sau pe o anumită curbă sau să nu părăsească un anumit loc din spațiu.

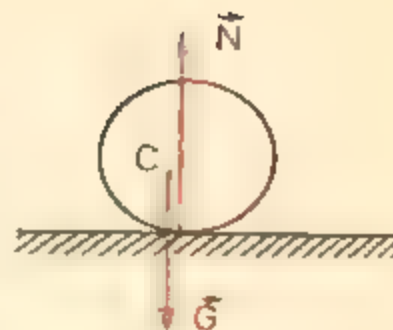


Fig. 8.33. Greutatea \vec{G} a punctului material este echilibrată de reacțiunea \vec{N} a suprafeței pe care este așezat acesta

Cîteva legături simple ale punctului material le cunoașteți din capitolele precedente. Spre exemplu, legăturile realizate prin fire care dau naștere unor reacțiuni numite tensiuni în fire, sau legăturile realizate prin anumite suprafețe plane sau curbe pe care sînt așezate puncte materiale. Acestea dau naștere unor reacțiuni \vec{N} orientate de-a lungul normalei comune la suprafețele corpurilor în contact (fig. 8.33).

Reacțiunile (forțele de legătură) pot înlocui legăturile geometrice. Urmează ea atunci cînd eliberăm un punct material de o legătură, să aplicăm asupra acestuia, cîte o forță de legătură. Procedînd astfel, înlocuim legăturile cu un sistem de forțe de legătură.

EXEMPLE

Pe un plan orizontal se află un punct material de greutate \vec{G} , asupra cărui acțiunează o forță \vec{F} , formînd cu orizontala unghiul α (fig. 8.34). Să se determine forța maximă pentru care punctul material rămîne încă în echilibru. Coeficientul de frecare dintre punctul material și plan este μ .

Rezolvare Această problemă se referă la punctul material supus la legături. Se înlocuiesc legăturile geometrice prin forțele de legătură și se scrie condiția de echilibru:

$$\vec{G} + \vec{F}_f + \vec{F} + \vec{N} = 0, \quad (8.22)$$

unde \vec{G} este greutatea punctului material, \vec{F}_f forța de frecare, \vec{F} forța de tracțiune, \vec{N} reacțiunea normală a planului.

Proiectînd ecuația (8.22) pe două axe de coordonate perpendiculare Ox și Oy , care au direcțiile orizontală și verticală și sensul indicat pe figură, obținem:

$$F \cos \alpha - \mu N = 0, \quad (8.23)$$

$$N + F \sin \alpha - G = 0, \quad (8.24)$$

unde μN este modulul forței de frecare la limita alunecării. Din relația (8.24) scoatem valoarea lui N , o introducem în (8.23) și după efectuarea calculelor obținem:

$$F \cos \alpha + \mu F \sin \alpha - \mu G = 0.$$

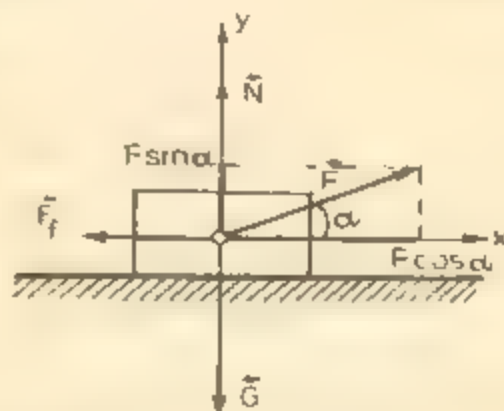


Fig. 8.34. La problema rezolvată.

Din relația de mai sus obținem forța maximă pentru care punctul material rămân încă în echilibru:

$$F_{max} = \frac{\mu G}{\cos \alpha + \mu \sin \alpha}$$

Pentru forțe mai mici decât F_{max} corpul va fi în echilibru

8.4.5. Echilibrul de translație și de rotație al unui solid rigid. Un solid rigid, sub acțiunea unui sistem de forțe, poate efectua o mișcare de translație sau o mișcare de rotație. Deci, în acest caz sînt necesare două condiții de echilibru pe care le vom studia în cele ce urmează.

a. Un corp solid este în echilibru de translație, în raport cu un sistem de referință inertial, dacă este în repaus (echilibru static) sau cînd se află în mișcare rectilinie și uniformă (echilibru dinamic). Putem transforma orice caz de echilibru dinamic în echilibru static, plasînd solidul într-un sistem de referință convenabil ales.

Condițiile de echilibru de translație pentru solidul rigid sînt aceleași ca și pentru punctul material.

Condiție exprimată prin relația următoare:

$$\vec{R} = \vec{F}_1 + \vec{F}_2 + \dots + \vec{F}_n = 0. \quad (8.25)$$

Relația (8.25) exprimă prima condiție de echilibru.

Proiectînd ecuația vectorială (8.25) pe două axe perpendiculare Ox și Oy , obținem:

$$R_x = F_{1x} + F_{2x} + \dots + F_{nx} = 0, \quad (8.26)$$

$$R_y = F_{1y} + F_{2y} + \dots + F_{ny} = 0. \quad (8.27)$$

Deci, pentru ca un sistem de forțe aplicate unui solid rigid să fie în echilibru de translație (într-un plan), este necesar și suficient ca suma componentelor forțelor pe două axe perpendiculare Ox și Oy să fie nule.

b. Efectul de rotație produs de o forță asupra unui solid este măsurat prin momentul forței în raport cu un punct sau cu o axă.

momentul să fie nul.

$$\vec{M} = \vec{M}_1 + \vec{M}_2 + \dots + \vec{M}_n = 0. \quad (8.28)$$

Relația (8.28) exprimă a doua condiție de echilibru, numită și condiția de echilibru de rotație.

Observația. 1. Echilibrul de translație este independent de poziția punctelor de aplicare ale forțelor care îl acționează. Dacă solidul reprezentat în

figura 8.35, *a*, este în echilibru sub acțiunea forțelor cu punctele de aplicație în *A*, *B*, *C*, el va rămâne mai departe în echilibru și când punctele de aplicație ale forțelor sînt în *A*₁, *B*₁, *C*₁ (fig. 8.35, *b*). Poziția punctului de aplicație al forțelor influențează numai echilibrul de rotație.

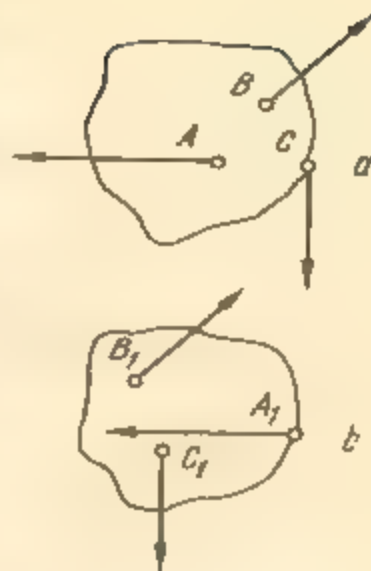


Fig. 8.35. Echilibrul de translație este independent de poziția punctelor de aplicație ale forțelor.

2. Condițiile de echilibru depind de natura sistemului de forțe care acționează asupra solidului rigid. Distingem următoarele cazuri particulare:

1) Dacă solidul rigid este supus acțiunii a două forțe, el este în echilibru când cele două forțe au același modul, același suport și sensurile opuse.

2) Dacă solidul este supus acțiunii a trei forțe, aplicate în trei puncte necoliniare, el este în echilibru când:

a) suporturile forțelor sînt cuprinse în planul determinat de punctele lor de aplicație;

b) suporturile forțelor sînt concurente;

c) rezultanta a două dintre cele trei forțe are același suport și același modul ca forța a treia, sensul ei fiind opus sensului celei de a treia forțe.

3) Dacă solidul este supus acțiunii unui sistem de forțe situate în același plan, el este în echilibru când rezultanta sistemului de forțe este egală cu zero:

$$\vec{R} = \sum_{i=1}^n \vec{F}_i = 0.$$

Observație. Dacă rezultanta forțelor este zero (adică este îndeplinită condiția de echilibru la translație) atunci momentul resultant al forțelor în raport cu orice punct din spațiu nu depinde de acest punct (adică condiția de anulare a momentului se poate pune față de orice pol).

EXEMPLE

1. Echilibrul unui solid sub acțiunea unui sistem de forțe paralele.

O bară *AB*, de greutate neglijabilă și de lungime *l*, este așezată pe un suport într-un punct *O* aflat la distanța $b_1 = \frac{2}{3} l$ de punctul *A* (fig. 8.36, *a*). În ce raport trebuie să se aile forțele, care trebuie aplicate la extremitățile barei, pentru ca aceasta să fie în echilibru?

Rezolvare. Aplicăm condiția de echilibru (8.28) sistemului de forțe care acționează asupra barei (fig. 8.36, *b*):

$$\vec{M}_O(\vec{R}) = \vec{M}_O(\vec{F}_1) + \vec{M}_O(\vec{F}_2) + \vec{M}_O(\vec{F}_3) = 0 \quad (8.29)$$

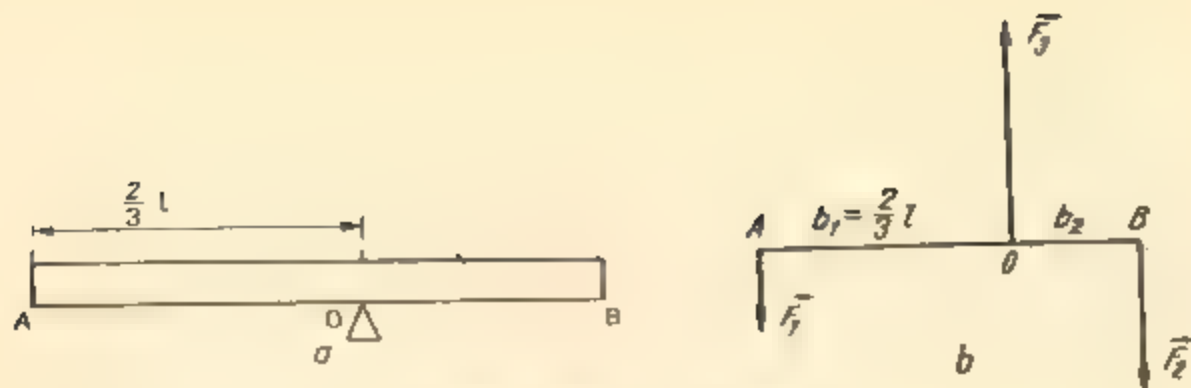


Fig. 8.36. La exemplul 1.

Momentele forțelor le calculăm în raport cu punctul O :

$$M_O(\vec{F}_1) = -b_1 F_1 = -\frac{2}{3} l F_1, \quad M_O(\vec{F}_2) = b_2 F_2 = \frac{1}{3} l F_2.$$

Momentul forței \vec{F}_3 în raport cu O este zero.

Înlocuind valorile momentelor în relația (8.29), obținem:

$$b_2 F_2 - b_1 F_1 = 0, \text{ sau } \frac{1}{3} l F_2 - \frac{2}{3} l F_1 = 0,$$

de unde:

$$F_2 = 2F_1. \quad (8.30)$$

Bara este în echilibru pentru toate forțele care satisfac relația (8.30).

Cum bara este și în echilibru de translație, rezultanta forțelor care acționează asupra barei este zero, deci:

$$F_2 - F_1 - F_3 = 0, \text{ sau } F_2 = F_1 + F_3. \quad (8.31)$$

Cînd solidul este în echilibru de translație, condiția $\sum \vec{M}(\vec{F}_i) = 0$ rămîne valabilă, oricare ar fi punctul sau axa în raport cu care se calculează momentele. Putem verifica acest lucru în cazul exemplului dat mai sus. Calculăm momentele în raport cu punctul A .

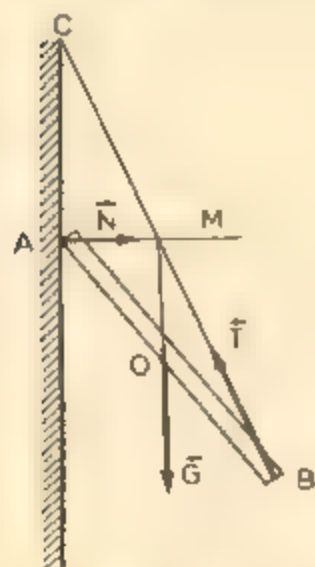


Fig. 8.37.
La exemplul 2.

$$F_1 \cdot 0 - F_2 \cdot \frac{2}{3} l + F_3 \cdot l = 0$$

Avînd în vedere relația (8.31), obținem:

$$F_2 = 2F_1.$$

Calculați momentele forțelor în raport cu un punct C aflat la distanța $\frac{1}{3} l$ de A .

2. Echilibrul unui solid sub acțiunea unui sistem de forțe neparalele.

O bară omogenă de masă m și lungime l se reazemă cu capătul ei superior A de un perete neted. De capătul barei B este prins un fir inextensibil BC , fixat de perete în punctul C . Lungimea firului este $l\sqrt{3}$. Să se determine poziția de echilibru a barei pentru care reacțiunea \vec{N} este perpendiculară pe perete în A (fig. 8.37).

Rezolvare. Înlocuim legăturile la care este supusă bara prin forțele de legătură \vec{N} și \vec{T} . Asupra barei acționează sistemul de forțe \vec{N} , \vec{T} și \vec{G} . Bara fiind în echilibru, suporturile celor trei forțe se intersectează într-un punct M (fig. 8.37)

Reacțiunea \vec{N} este perpendiculară în A , numai pentru una dintre pozițiile de echilibru ale barei, caracterizată prin distanța $d = AC$, pe care trebuie să o determinăm. În triunghiul CAB , dreapta OM este paralelă cu latura AC și intersectează laturile AB și CB la jumătate. Deci $MC = (\sqrt{3}/2)l$.

Din triunghiurile dreptunghice CAM și AMO , obținem:

$$AM^2 = CM^2 - AC^2 = \frac{3}{4}l^2 - d^2,$$

și

$$AM^2 = AO^2 - OM^2 = \frac{l^2}{4} - \frac{d^2}{4}.$$

Din relațiile de mai sus obținem:

$$\frac{3}{4}l^2 - d^2 = \frac{l^2}{4} - \frac{d^2}{4},$$

sau

$$d = \sqrt{\frac{2}{3}}l.$$

Poziția de echilibru a sistemului dat este independentă de greutatea barei.

8.5. ECHILIBRUL ÎN CÂMP GRAVITAȚIONAL. ECHILIBRUL ȘI ENERGIA POTENȚIALĂ

8.5.1. Echilibrul punctului material. Vom studia echilibrul unui punct material în câmpul gravitațional uniform, unde acesta este supus acțiunii forțelor de greutate și acțiunii forțelor de legătură.

Spunem că un punct material este în echilibru static dacă este imobil în raport cu un sistem de referință inerțial. Condiția necesară ca punctul material să fie în echilibru, în raport cu un sistem de referință inerțial, este ca suma vectorială a tuturor forțelor care acționează asupra lui să fie nulă. Aceasta este condiția necesară ca punctul material să fie în echilibru, dar este ea și suficientă pentru ca echilibrul să fie stabil?

Să considerăm o suprafață al cărei profil este reprezentat în figura 8.38. Vom așeza în diferite puncte ale acestei suprafețe o bilă de dimensiuni reduse, asimilabilă cu un punct material. Constatăm că bila este în echilibru în punctele A și B de pe porțiunea curbă a suprafeței, precum și în toate punctele de pe porțiunea plană orizontală MP a suprafeței, deoarece în toate aceste puncte rezultanta forțelor care acționează asupra punctului material este egală cu zero:

$$\vec{R} = \vec{G} + \vec{N} = 0,$$

unde \vec{G} este greutatea punctului material și \vec{N} reacțiunea suprafeței de sprijin.

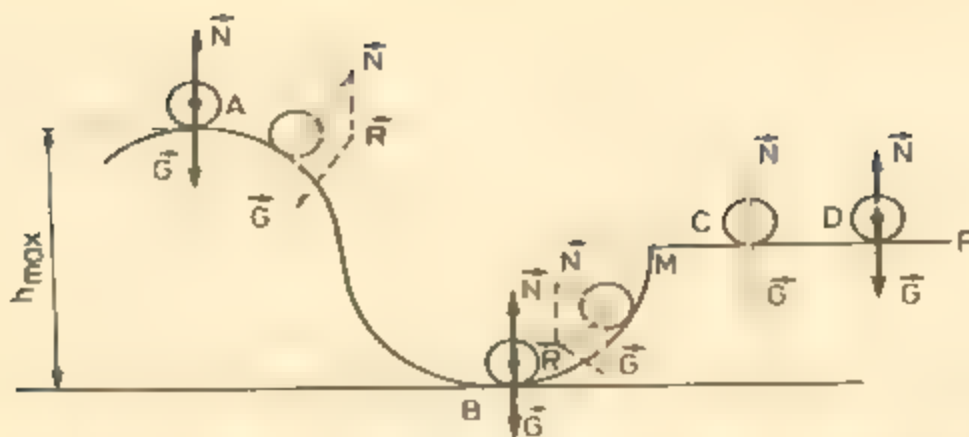


Fig. 8.38. Poziția de echilibru stabil a unui punct material sub acțiunea forțelor de greutate corespunde minimumului de energie potențială.

Dacă îndepărtăm foarte puțin bila din poziția de echilibru static, pot interveni trei situații:

a) îndepărtind-o din punctul A, asupra bilei acționează o forță rezultantă care o îndepărtează și mai mult de poziția inițială. Se spune că echilibrul este *instabil*;

b) îndepărtind-o din punctul B, bila este acționată de o forță rezultantă care o readuce la poziția inițială — se spune că echilibrul este *stabil*;

c) îndepărtată din punctul C, bila rămâne în echilibru în orice punct al suprafeței plane orizontale — se spune că echilibrul este *indiferent*.

Prin urmare, forța rezultantă egală cu zero este o condiție necesară, dar nu suficientă pentru echilibrul stabil al punctului material într-un câmp de forțe conservativ.

Echilibrul punctului material (al bilei) poate fi considerat și din punctul de vedere al energiei potențiale a sistemului alcătuit din punctul material și Pământ. Energia potențială a acestui sistem se exprimă prin relația E_p

mgh , unde h reprezintă diferența de nivel dintre poziția punctului material și nivelul corespunzător energiei potențiale nule. În cazul descris mai sus și reprezentat în figura 8.38, vom lua planul orizontal care trece prin punctul B, ca nivel de referință pentru energia potențială, a cărei valoare la acest nivel o considerăm nulă, $E_{pB} = E_{p0} = 0$. Punctul A corespunde maximumului de energie potențială, iar punctul B corespunde minimumului de energie potențială. Pe planul orizontal care trece prin punctele C și D energia potențială este constantă.

Deci, poziția de echilibru stabil a unui punct material sub acțiunea forțelor de greutate este aceea care corespunde minimumului de energie potențială, în comparație cu valorile din pozițiile vecine. Această proprietate este valabilă pentru orice punct material supus acțiunii unor forțe conservative.

În poziția de echilibru instabil, energia potențială are o valoare maximă în comparație cu valorile din punctele vecine. Iar în cazul cînd energia poten-

țială a punctului material este constantă, punctul material se află în echilibru indiferent.

8.5.2. Echilibrul solidului rigid suspendat. Considerațiile făcute asupra echilibrului punctului material în câmpul gravitațional se pot extinde foarte ușor la echilibrul solidului rigid. Părțile componente ale solidului sînt acționate de forțele gravitaționale a căror rezultantă este aplicată în centrul de greutate al corpului. Putem să înlocuim solidul printr-un punct material plasat în centrul său de greutate în care presupunem concentrată întreaga masă a corpului.

Cunoașterea poziției centrului de greutate al unui solid este de mare importanță pentru diferitele aspecte ale echilibrului acestuia.

Suspendăm o riglă omogenă cu una dintre extremitățile sale de un cui (fig. 8.39, *a*). Constatăm că centrul său de greutate se află sub punctul de suspensie și pe aceeași verticală cu acesta. Forțele care acționează asupra riglei, greutatea \vec{G} și reacțiunea \vec{N} a suportului se echilibrează. Se îndepărtează rigla din această poziție. Centrul său de greutate urcă, iar energia potențială crește. Lăsată liber, rigla este readusă în poziția inițială de către cuplul alcătuit din forțele \vec{G} și \vec{N} . În acest caz, rigla se află în echilibru stabil. Poziției de echilibru stabil îi corespunde energia potențială minimă.

Se rotește rigla cu 180° , așa cum indică figura 8.39, *b*. Centrul de greutate a urcat deasupra punctului de sprijin, iar energia potențială a sistemului a crescut la valoarea maximă. În acest caz avem de a face cu un echilibru instabil. Îndepărtînd foarte puțin rigla din această poziție, aceasta, sub acțiunea cuplului de forțe \vec{G} și \vec{N} , tinde să ocupe poziția corespunzătoare energiei potențiale minime; deci, poziția de echilibru stabil.

Dacă se suspendă rigla în centrul său de greutate, oricare ar fi poziția în care o așezăm, ea rămîne în echilibru. În acest caz rigla este în echilibru indiferent.

În concluzie, modificînd foarte puțin poziția de echilibru static a unui solid suspendat, se pot ivi trei cazuri:

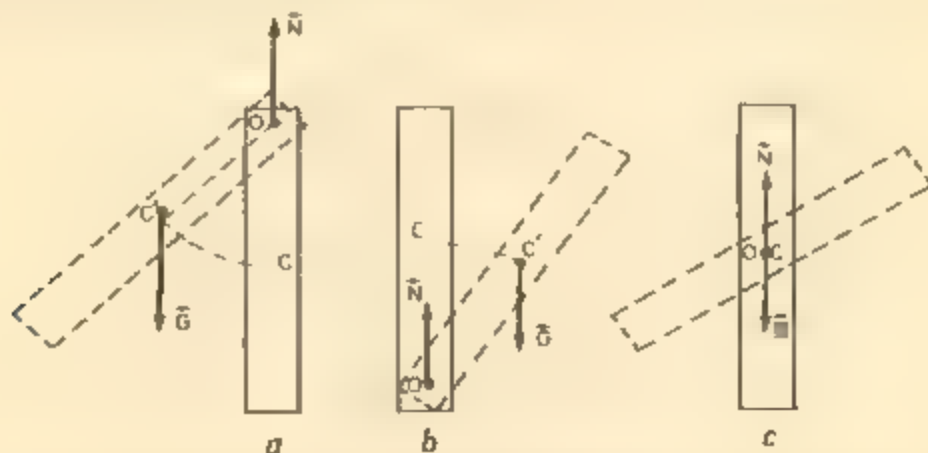


Fig. 8.39. Solidul (rigla) este în echilibru: stabil în poziția *a*, instabil în poziția *b*; indiferent în poziția *c*.



Fig. 8.40. Baza de sprijin a trepudului este un triunghi.

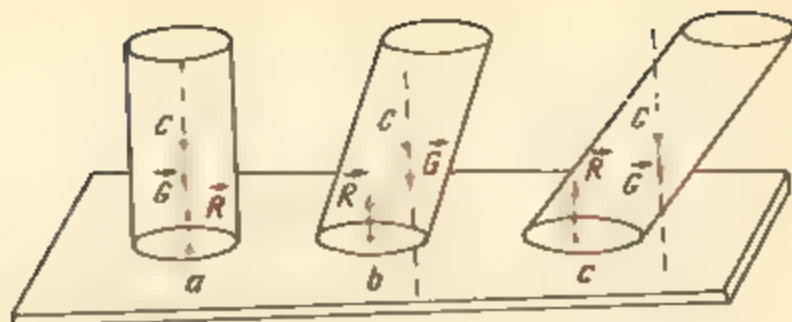


Fig. 8.41. Un corp așezat pe o suprafață plană este în echilibru când verticala coborită din centrul său de greutate cade în interiorul suprafeței de susținere

- a) solidul revine la poziția inițială — se spune că echilibrul este stabil;
 b) solidul se îndepărtează și mai mult de poziția de echilibru — se spune că echilibrul este instabil;
 c) solidul rămâne în repaus în orice poziție — se spune că echilibrul este indiferent.

8.5.3. Echilibrul solidului care are o bază de sprijin. Clădirile, vehiculele, obiectele din gospodării așezate pe suprafețe plane sînt în stare de echilibru, deoarece ele au o bază de susținere. Un scaun sau o masă se sprijină pe podea în patru puncte, un taburet în trei puncte. Unind punctele corpului aflate în contact cu suprafața plană și anume pe cele mai îndepărtate, obținem un poligon convex, a cărui suprafață se numește *bază de susținere*. Figura 8.40 arată că baza de susținere a unui taburet este un triunghi.

Un corp solid așezat pe o suprafață plană se află în echilibru, atunci cînd verticala coborită din centrul său de greutate cade în interiorul bazei de susținere. De exemplu cilindrul din figura 8.41, a este în echilibru deoarece greutatea și reacțiunea se echilibrează reciproc. Cilindrul din figura 8.41, c, pentru care verticala coborită din centrul de greutate nu cade în interiorul bazei de sprijin, nu este în echilibru, deoarece greutatea și reacțiunea formează un cuplu care tinde să-l răstoarne. Cilindrul din figura 8.41, b este la limita echilibrului.

ÎNTREBĂRI. EXERCIIII. PROBLEME

1. În ce caz, două sau mai multe sisteme de forțe, sînt echivalente?
2. Se descompune o forță pe două direcții oarecare coplanare cu forța. Este posibil ca una dintre componentele forței să fie mai mare decît forța?
R: da.
3. Dacă rezultanta unui sistem de forțe concurente este zero, demonștrați că și momentul resultant al acestor forțe în raport cu un punct oarecare este zero
4. Demonștrați că un cuplu nu poate fi echilibrat decît de un alt cuplu

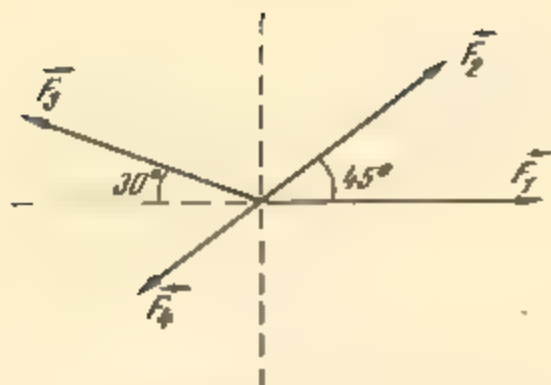


Fig. 8.42. La problema 8.

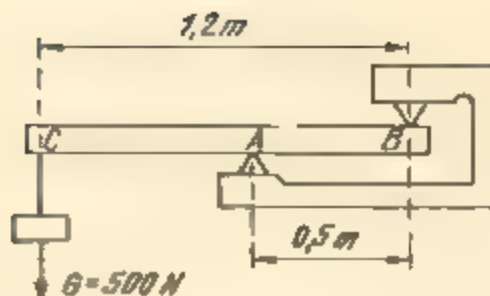


Fig. 8.43. La problema 9

5. Să se determine rezultanta a trei forțe coplanare și concurente care au mărimile $F_1 = F_2 = F_3 = 40 \text{ N}$ și care fac între ele unghiuri de 120° .

R: $R = 0$

6. De cablul unui funicular atâră un corp cu masa $m = 100 \text{ kg}$. Cablul face între cele două părți înclinse unghiul $\alpha = 120^\circ$. Ce forță de întindere acționează în cablu?

R: $T = 980 \text{ N}$.

7. Se dau 6 forțe concurente egale în modul care fac între ele unghiuri de 60° . Să se afle rezultanta sistemului de forțe.

R: $R = 0$

8. Să se calculeze prin metoda analitică, rezultanta sistemului de forțe reprezentat în figura 8.42. Se dau $F_1 = F_2 = F_3 = 40 \text{ N}$, $F_4 = 20 \text{ N}$.

R: $R \approx 39 \text{ N}$

9. O bară cu greutatea neglijabilă se sprijină în A și B pe două suporturi (fig. 8.43). La extremitatea C a barei se suspendă o sarcină $G = 500 \text{ N}$. Să se calculeze reacțiunile suporturilor asupra barei, în punctele de sprijin.

R: $N_A = 1200 \text{ N}$; $N_B = 700 \text{ N}$

10. O grindă de greutate neglijabilă se sprijină în M și N pe două suporturi (fig. 8.44). De grindă sînt suspendate trei sarcini $F_1 = 200 \text{ N}$; $F_2 = 300 \text{ N}$; $F_3 = 150 \text{ N}$, în punctele A, B și C. Să se determine:

a) modulul și poziția punctului de aplicație al rezultantei \vec{R}_1 a forțelor \vec{F}_1 și \vec{F}_2

b) modulul și poziția punctului de aplicație al rezultantei \vec{R}_2 a forțelor \vec{R}_1 și \vec{F}_3

R: a) $R_1 = 500 \text{ N}$, la 18 cm de A, b) $R_2 = 650 \text{ N}$ la 63 cm de C

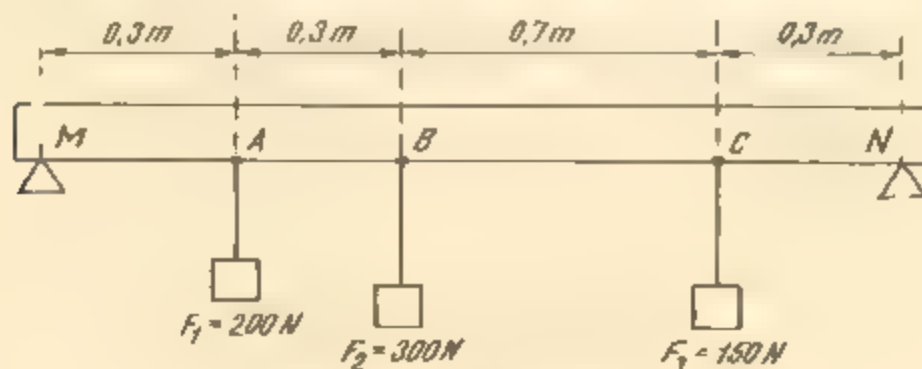


Fig. 8.44. La problema 10

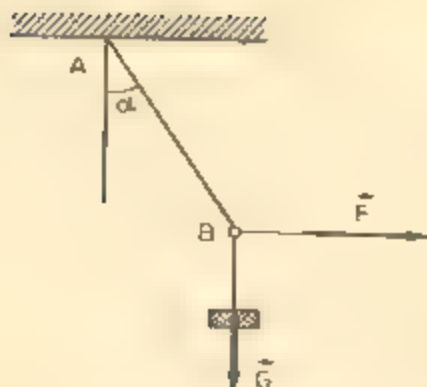


Fig. 8.45. La problema 12

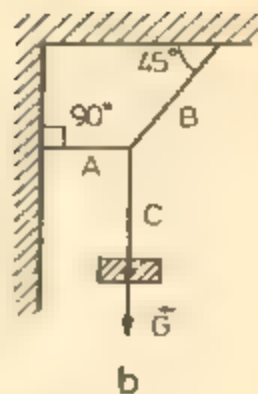
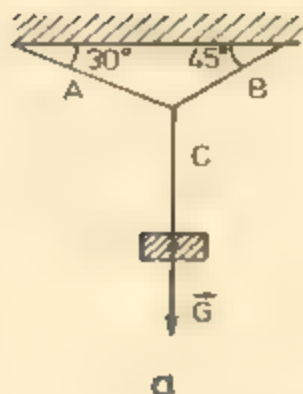


Fig. 8.46. La problema 13

11. O șină de cale ferată cu lungimea $l = 10$ m și cu masa $m = 900$ kg este ridicată cu două frânghii paralele. Să se determine tensiunile din frânghii, dacă una dintre ele este fixată la un capăt al șinei iar cealaltă la distanța $d = 1$ m de celălalt capăt.

R: 4 000 N; 5 000 N

12. De un fir fixat într-un punct A , se suspendă un corp cu masa $m = 2$ kg. Un al doilea fir este legat de primul în B (fig. 8.45). Asupra firului al doilea se exercită o forță orizontală \vec{F} . Care trebuie să fie mărimea forței \vec{F} , pentru ca unghiul α dintre AB și verticală să fie egal cu 45° ($g = 10$ m/s²)?

R: $F = G \tan \alpha = 20$ N

13. Să se calculeze tensiunile din firele A , B și C din montajele reprezentate în figurile 8.46, a și b . Se dă $G = 80$ N.

R: $a)$ $T_1 \approx 59$ N, $T_2 \approx 72$ N, $T_3 = 80$ N, $b)$ $T_1 = 80$ N, $T_2 \approx 113$ N, $T_3 = 80$ N.

14. Trei forțe paralele cu intensitățile $F_1 = 1$ N, $F_2 = 4$ N, $F_3 = 7$ N sînt aplicate în trei puncte A , B și C , așezate în linie dreaptă, astfel ca $AB = BC = 10$ cm. A treia forță este de sens contrar celorlalte două. Să se determine intensitatea și punctul de aplicație D , al rezultantei celor trei forțe.

R: $R = 2$ N; $AD = 50$ cm; $CD = 30$ cm.

15. Un solid este acționat de două forțe concurente $F_1 = 5$ N și $F_2 = 10$ N care fac între ele un unghi de 120° . Să se determine forța F_3 , concurentă cu primele două, ce trebuie aplicată solidului, pentru ca acesta să fie în echilibru.

R: $F_3 = 8,66$ N, perpendiculară pe F_1 .

16. Un corp A , cu masa $m = 500$ g, este așezat pe un plan înclinat (fig. 8.47). Ce masă trebuie să aibă corpul B , suspendat la extremitatea firului care trece peste scripetele S , pentru a menține corpul A în echilibru? Se neglijează frecările.

R: $m_B = 250$ g

17. O forță $F = 100$ N, orizontală, menține în echilibru static un corp așezat pe un plan înclinat cu unghiul $\alpha = 45^\circ$ față de orizontală (fig. 8.48). Frecările sînt neglijabile. Să se calculeze greutatea corpului și reacțiunea planului înclinat.

R: $G = 100$ N; $N = 100\sqrt{2}$ N.



Fig. 8.47. La problema 16.



Fig. 8.48. La problema 17.

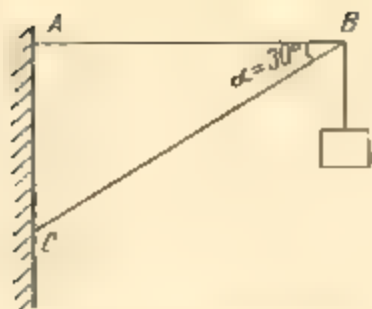


Fig. 8.49. La problema 18.

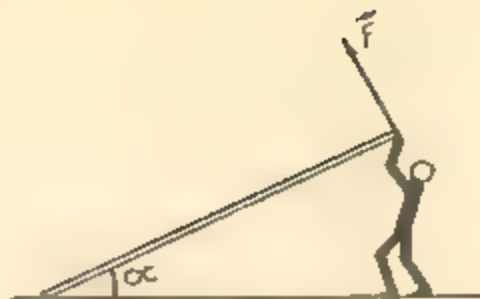


Fig. 8.50. La problemele 19 și 20

18. Să se calculeze momentul greutății corpului suspendat în B (fig. 8.49), în raport cu punctele A , B și C , dacă $CB = 1$ m, $\alpha = 30^\circ$ și masa corpului $m = 4$ kg.

$$R: 20\sqrt{3} \text{ N}\cdot\text{m}; 0 \text{ N}\cdot\text{m}; 20\sqrt{3} \text{ N}\cdot\text{m}$$

19. În figura 8.50 este reprezentat un muncitor care ține o scindură. În ce caz muncitorul acționează cu o forță maximă, când forța este perpendiculară pe scindură sau când forța este îndreptată vertical în sus?

20. Un muncitor ține o scindură de un capăt, astfel încât scindura să facă un unghi $\alpha = 30^\circ$ cu orizontala (fig. 8.50). Masa scindurii este $m = 40$ kg. Să se calculeze mărimea forței cu care muncitorul susține scindura, dacă direcția forței este perpendiculară pe scindură.

$$R: F = (mg \cos \alpha)/2 = 173 \text{ N.}$$

21. Un corp de formă cubică cu latura $l = 0,4$ m și cu masa $m = 40$ kg se află pe o suprafață orizontală. În fața corpului se află un mic prag B . La ce înălțime h trebuie aplicată o forță $F = 400$ N pentru ca reacțiunea normală în punctul A să fie nulă (fig. 8.51)? (Indicație: reacțiunea normală în A este nulă când corpul începe să se ridice în A deci când momentele M -urilor \vec{G} și \vec{F} în raport cu punctul B vor fi egale.)

$$R: h = Gl/(2F) = 0,2 \text{ m.}$$

22. O bară cu masa $m_0 = 10$ kg este montată așa cum se arată în figura 8.52, astfel încât să poată susține un corp cu masă $m = 100$ kg. Să se calculeze tensiunea în cablul AB .

$$R: T = \frac{(2m + m_0)g \cos 45^\circ}{2 \sin 10^\circ} = 2849,6 \text{ N}$$

23. O bară omogenă de grosime constantă, are lungimea $l = 50$ cm și greutatea $G_1 = 40$ N. La una dintre extremitățile barei se suspendă o sferă cu raza $R = 5$ cm și greutatea $G_2 = 10$ N. Să se determine poziția centrului de greutate a sistemului astfel format.

$$R: d = 24 \text{ cm, de la centrul sferei.}$$

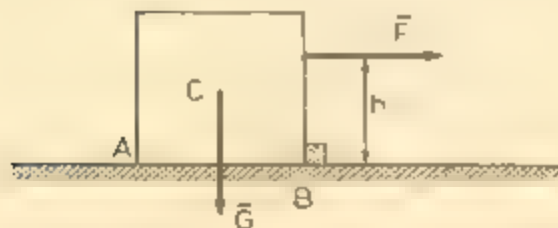


Fig. 8.51. La problema 21.

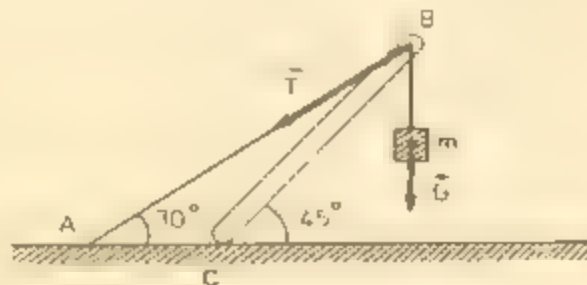


Fig. 8.52. La problema 22.

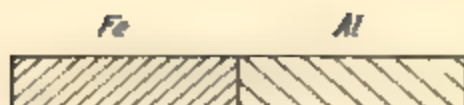


Fig. 8.53. La problema 27.



Fig. 8.54. La problema 28

24. O placă pătrată omogenă este împărțită în patru pătrate. Se taie și se îndepărtează un pătrat. Să se determine poziția centrului de greutate al porțiunii rămase. Latura pătratului este $l = 1 \text{ m}$.

$$R: d = l\sqrt{2}/12 = 0,116 \text{ m, față de centrul plăcii}$$

25. De la capătul unei bare cilindrice s-a tăiat o porțiune cu lungimea $l = 40 \text{ cm}$. Să se calculeze distanța cu care s-a deplasat centrul de greutate al porțiunii rămase față de centrul de greutate al barei întregi.

$$R: d = l/2 = 20 \text{ cm}$$

26. Două bile cu razele egale sînt fixate în punctul de contact. Masa uneia dintre bile este de două ori mai mare decît a celeilalte. Să se determine poziția centrului de greutate al sistemului.

$$R: d = (2/3) R, \text{ față de centrul bilei cu masa mai mare}$$

27. O bară cilindrică cu lungimea $l = 30 \text{ cm}$ este făcută jumătate din oțel și jumătate din aluminiu (densitățile oțelului și aluminului sînt $\rho_1 = 7860 \text{ kg/m}^3$ și $\rho_2 = 2700 \text{ kg/m}^3$). Să se determine poziția centrului de greutate al barei (fig. 8.53).

$$R: x_{CG} = 11,34 \text{ cm, față de extremitatea liberă a părții din oțel.}$$

28. În figura 8.54 este reprezentată o placă metalică. Să se determine raportul dintre înălțimea x a părții triunghiulare și lungimea l a părții dreptunghiulare astfel ca centrul de greutate al plăcii să fie în punctul O .

$$R: x = l\sqrt{3}$$

9

MECANICA FLUIDELOR

Mecanica fluidelor se ocupă cu echilibrul și mișcarea fluidelor și cu acțiunea lor asupra pereților ce le înconjură sau asupra corpurilor cufundate în ele.

Problema fundamentală a mecanicii fluidelor este determinarea repartiției presiunilor și a vitezelor în interiorul fluidelor.

Mecanica fluidelor are următoarele părți:

a) *statica fluidelor*, care cuprinde statica lichidelor (hidrostatica, care studiază lichidele în echilibru) și statica gazelor (aerostatica, care studiază gazele în echilibru);

b) *dinamica fluidelor*, care cuprinde dinamica lichidelor (hidrodinamica, care studiază mișcarea lichidelor) și dinamica gazelor (aerodinamica, care studiază mișcarea gazelor).

9.1. STAREA FLUIDĂ

Corpurile, din punctul de vedere al stării de agregare, se împart în trei mari categorii: solide, lichide și gaze. Lichidele și gazele poartă denumirea de fluide.

Solidele și fluidele se disting ușor prin caracteristicile lor diferite.

Noțiunea de solid este inseparabilă de cea de formă. În solide moleculele fiind repartizate la distanțe mici unele față de altele, forțele de atracție dintre ele sînt mari, asigurînd solidelor o formă proprie. Din contră, noțiunea de fluid exclude complet noțiunea de formă.

Un fluid este, prin definiție, o substanță care poate curge și care nu formează vasului care o conține.

Lichidele sînt practic incompresibile. Forțele de coeziune dintre moleculele lichidelor fiind mici, forma lor poate fi modificată de o forță foarte

mică. Ele își recapătă forma inițială, în momentul când forța încetează să acționeze.

Un lichid este totdeauna mărginit de o anumită suprafață care îl separă de corpurile solide sau gazoase. Suprafața de separare dintre lichid și gaz se numește *suprafață liberă*.

Gazele sînt perfect elastice și umplu totdeauna volumele ce le conțin. Ca și lichidele și gazele la volum constant nu opun o rezistență apreciabilă la schimbarea formei.

Corpurile gazoase nu au suprafețe libere.

Fluidele reale opun o rezistență la alunecarea unui strat peste altul sau la înaintarea unui corp în fluide și de aceea spunem că sînt viscoase. Viscositatea este deci rezultatul frecării dintre straturile paralele de fluid care alunecă unul peste altul.

Un fluid incompresibil și lipsit de viscozitate se numește *fluid ideal*. Fluidul ideal este un model fizic, el nu există în realitate, însă este foarte util, deoarece ușurează studiul anumitor fenomene și oferă un termen de comparație comod. Acest model de fluid ideal constituie o aproximație satisfăcătoare pentru un număr mare de lichide și chiar de gaze, atîta timp cît vitezele acestora sînt mai mici decît viteza sunetului.

9.2. NOȚIUNEA DE PRESIUNE

Presiunea este o mărime fizică egală cu raportul dintre mărimea forței \vec{F} , care apasă normal și uniform pe o suprafață și aria S a acestei suprafețe (fig. 9.1):

$$p = \frac{F}{S}. \quad (9.1)$$

Deoarece apăsarea forței nu poate fi uniformă pe orice suprafață, atunci relația (9.1) reprezintă presiunea medie pe o suprafață.

Unitatea de măsură pentru presiune este egală cu raportul dintre unitatea de măsură a forței și unitatea de măsură a ariei, adică N/m^2 . Această unitate se numește Pascal și se notează cu Pa.



Fig. 9.1. Presiunea este raportul dintre mărimea forței ce apasă normal pe suprafață și aria suprafeței.

$$1 \text{ Pa} = 1 \frac{\text{N}}{\text{m}^2}.$$

Pentru presiune se mai folosesc și unitățile următoare: torrul (torr), atmosfera fizică (atm), atmosfera tehnică (at).

$$1 \text{ torr} = 1 \text{ mm Hg} \approx 133,3 \text{ N/m}^2,$$

$$1 \text{ atm} = 760 \text{ torr} = 1,013 \cdot 10^5 \text{ N/m}^2,$$

$$1 \text{ at} = 98\,066,5 \text{ N/m}^2,$$

$$1 \text{ torr} = 13,6 \text{ mm H}_2\text{O}.$$

9.3. STATICA FLUIDELOR: HIDROSTATICA ȘI AEROSTATICA

Un fluid este în echilibru cînd fiecare porțiune de fluid este în repaus. Presiunea în fluidele în echilibru (în repaus) nu depinde decît de poziția punctului în care este definită.

9.3.1. **Forța exercitată de către un fluid în echilibru pe peretele vasului care îl conține.** Considerăm un vas în care se află un lichid (fig. 9.2). Datorită greutății sale, lichidul exercită o forță pe peretele vasului. Conform principiului acțiunilor reciproce și vasul exercită asupra lichidului o forță care echilibrează greutatea lichidului.

Să considerăm un element din suprafața peretelui vasului, notat cu S (fig. 9.2) Forța exercitată de lichid, pe elementul de suprafață S , este normală pe acest element. Dacă această forță, pe care o notăm cu \vec{F} , nu ar fi normală pe S , am putea să o descompunem într-o forță, componentă normală, \vec{F}_n și o forță, componentă tangențială, \vec{F}_t . Sub acțiunea componentei tangențiale, lichidul s-ar deplasa în lungul peretelui vasului și nu ar putea fi în echilibru.

Existența forțelor de apăsare, exercitate de către gaze pe pereții vaselor în care sînt închise, poate fi pusă în evidență printr-un experiment simplu.

EXPERIMENT

Se introduce într-o cameră de minge de fotbal o anumită cantitate de pudră de talc foarte fină și apoi se umflă camera cu ajutorul unei pompe. Peretele elastic al camerei se întinde, sub acțiunea forțelor exercitate pe suprafața interioară a acesteia și camera ia o formă sferică. Această formă ne determină să admitem că forțele exercitate de gaz, pe peretele interior al camerei, au aceeași intensitate (fig. 9.3). Dacă se găurește camera cu un ac

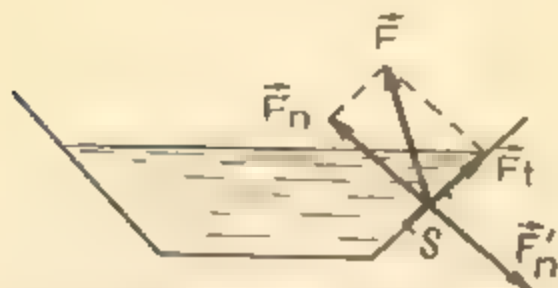


Fig. 9.2. Dacă lichidul ar exercita o forță de presiune oblică pe pereții vasului în care se află, atunci lichidul ar curge din vas.



Fig. 9.3. Un gaz în echilibru — ca și un lichid în echilibru — exercită pe orice element de suprafață în contact cu el o forță de apăsare perpendiculară pe acest element de suprafață.

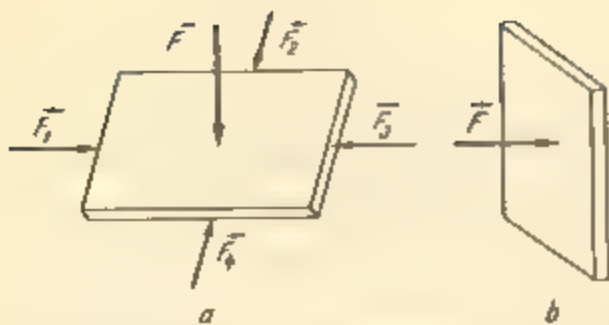


Fig. 9.4. Forța care acționează pe o suprafață din interiorul unui lichid este perpendiculară pe suprafață și nu depinde de orientarea acestei suprafețe în jurul centrului său.

dăce un solid în interiorul unui fluid (fig. 9.4). Fluidul exercită forțe de apăsare pe toate părțile suprafeței solidului care sînt în contact cu el. Pentru același motiv, arătat în paragraful precedent, aceste forțe sînt perpendiculare pe suprafețele pe care se exercită.

Existența forțelor de apăsare exercitate de lichide pe suprafețele corpurilor cufundate în lichide poate fi pusă în evidență cu ajutorul dispozitivului experimental prezentat în figura 9.5.

EXPERIMENT

Se folosește un cilindru de sticlă deschis la ambele capete și care poate fi astupat la partea inferioară cu un disc de plastic foarte ușor. De disc este legat un fir foarte subțire cu ajutorul căruia îl ținem în contact cu cilindrul, atunci cînd nu se află în lichid. Dacă se slăbește firul, cînd cilindrul este în aer, discul cade sub acțiunea propriei sale greutate (fig. 9.5, a).

Se introduce cilindrul, astupat cu discul la partea inferioară, într-un vas cu apă. Se slăbește firul și se constată că discul nu cade. Asupra discului acționează o forță \vec{F} orientată de jos în sus. Forța \vec{F} este perpendiculară pe disc (fig. 9.5, b). Dacă forța \vec{F} ar fi oblică, discul s-ar deplasa sub acțiunea

foarte fin, continuînd să introducem în ea aer cu ajutorul pompei, constatăm că din cameră iese un jet de gaz perpendicular pe suprafața acesteia, făcut vizibil de către particulele de talc. Direcția de mișcare a particulelor de talc, care ies din camera de minge, dă direcția de acțiune a forțelor de presiune exercitate de gaz.

9.3.2. Forța de apăsare exercitată de un fluid în echilibru pe suprafața unui corp cufundat în fluid. Se intro-

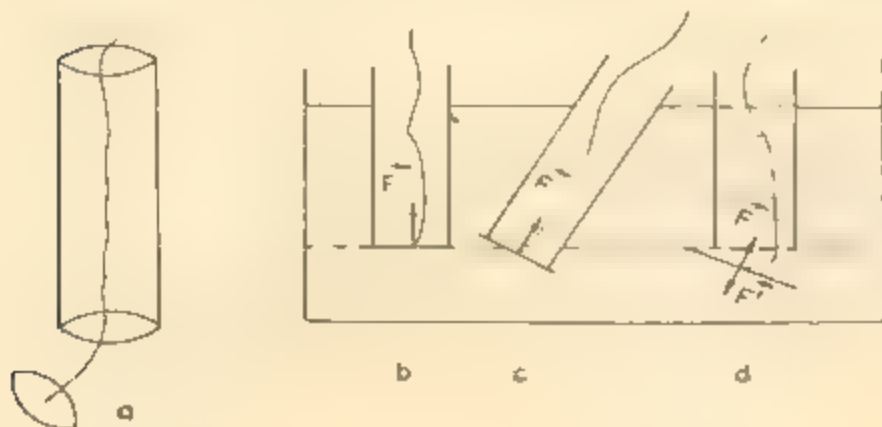


Fig. 9.5. Un lichid exercită pe orice suprafață în contact cu el o forță de apăsare perpendiculară pe această suprafață. În cazul d din figură, apa exercită pe cele două fețe ale discului forțele \vec{F} și \vec{F}' egale și opuse. În acest caz discul se desprinde de cilindru și cade sub acțiunea propriei sale greutate.

acestei forțe și s-ar desprinde de cilindru. Se înclină cilindrul și se constată că discul nu se deplasează (fig. 9.5 c). Se readuce cilindrul în poziție verticală și se toarnă apă în el până la nivelul apei din vas. Se constată că discul se desprinde de cilindru, deci pe ambele fețe ale discului se exercită forțe egale și de sens opus (fig. 9.5, d).

9.3.3. Presiunea hidrostatică. În acest paragraf precum și în paragrafele următoare vom studia fenomenele specifice fluidelor lichide, dar concluziile se aplică și fluidelor gazoase.

Hidrostatica studiază lichidele în repaus. Statica lichidelor reale se confundă cu statica lichidelor ideale, deoarece forțele de viscozitate nu intervin în cazul lichidelor în repaus. Un lichid în echilibru se află numai sub acțiunea propriei sale greutate. Datorită greutății lor, păturile de lichid care se află în contact exercită presiuni unele asupra altora; în cazul în care lichidul este în echilibru, presiunea exercitată la un anumit nivel se numește *presiune hidrostatică*.

Pentru a găsi factorii de care depinde presiunea într-un punct dintr-un lichid în echilibru vom folosi capsula manometrică. Se leagă capsula manometrică la un tub (4) în formă de U (fig. 9.6), prin intermediul unui furtun (3). Tubul (4) conține un lichid colorat, care are același nivel în ambele ramuri. Exercițind o apăsare pe membrana elastică, aceasta comprimă aerul din cutie care determină o scădere a nivelului lichidului din ramura A a tubului în formă de U și o creștere a nivelului în ramura B. Acest aparat permite compararea presiunilor exercitate pe suprafața S a membranei (fig. 9.7).

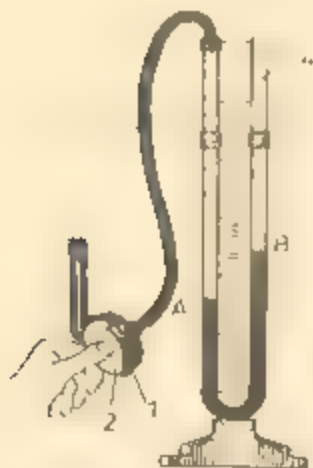


Fig. 9.6. Capsula manometrică folosită pentru punerea în evidență a forțelor exercitate pe suprafața unui solid introdus într-un lichid este alcătuită dintr-o cutie metalică 1 care are un perete elastic 2.

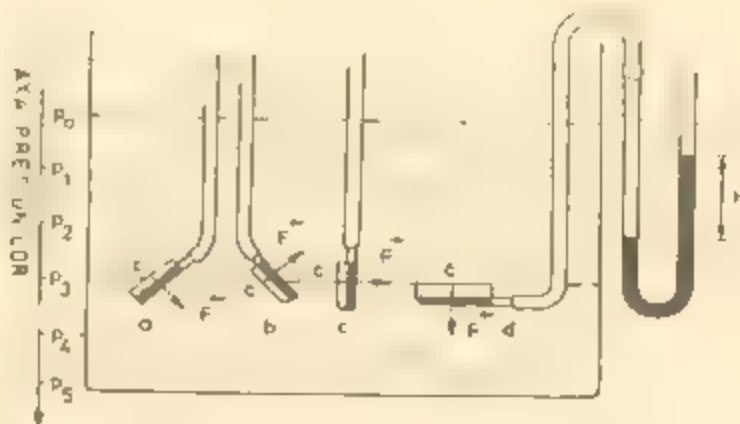


Fig. 9.7. Presiunea este în lichid în repaus: a) crește cu adâncimea; b) are o valoare constantă în toate punctele unui plan orizontal; c) într-un punct din interiorul lichidului are aceeași valoare în toate direcțiile.

1. Se introduce capsula într-un vas cu apă, la o adâncime din ce în ce mai mare și se compară presiunile la diferitele nivele (fig. 9.7).

Se constată că presiunea într-un lichid în repaus crește cu adâncimea.

2. La o anumită adâncime în lichid se orientează membrana în diferite direcții încît centrul său C să rămînă în același punct din interiorul lichidului. Se constată că denivelarea în tubul în U rămîne constantă (fig. 9.7).

Rezultă că, *presiunea într-un punct al lichidului este independentă de orientarea suprafeței pe care se exercită. Într-un punct din interiorul lichidului presiunea are aceeași valoare în toate direcțiile.*

3. Se deplasează capsula astfel ca centrul membranei să rămînă în același plan orizontal; denivelarea h rămîne constantă.

Presiunea exercitată de un lichid în repaus este aceeași în toate punctele unui plan orizontal. Deci, într-un lichid în repaus, planele orizontale sînt suprafețe de egală presiune.

4. Se introduce succesiv capsula manometrică, la o adâncime H , în alcool, apă distilată, saramură (soluție de sare în apă) și se constată că denivelarea h variază în funcție de densitatea lichidului (fig. 9.8).

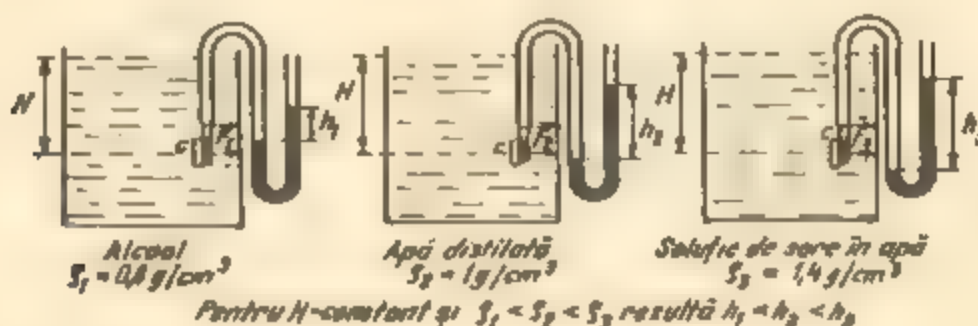


Fig. 9.8. Presiunea în puncte situate la aceeași adâncime în lichide diferite depinde de natura lichidului.

Presiunea în punctele aflate la aceeași adâncime în lichide diferite depinde de natura lichidului, fiind proporțională cu densitatea lichidului.

9.3.4. Diferența de presiune dintre două puncte din interiorul unui lichid. Într-un recipient se află un lichid în repaus. Limităm un volum V de lichid de formă paralelipipedică cu aria bazei S și înălțimea h . Presupunem că lichidul cuprins în volumul V a fost delimitat printr-o peliculă foarte subțire, fără greutate și inextensibilă, ceea ce nu modifică echilibrul volumului de lichid astfel delimitat (fig. 9.9). Lichidul cuprins în volumul V are greutatea

$$G = \rho g S(h_2 - h_1) = \rho g S h, \quad (9.2)$$

unde ρ este densitatea lichidului, $h = h_2 - h_1$ este înălțimea paralelipipedului și S aria bazei paralelipipedului.

Presiunea exercitată de către lichid pe fața inferioară B a paralelipipedului, aflată la adâncimea h_2 , are valoarea p_2 . Pe fața superioară aflată la nivelul h_1 se exercită presiunea p_1 . Forțele de apăsare exercitate de către lichid pe fețele paralelipipedului sunt normale pe aceste fețe. Forțele care acționează pe fețele laterale își anulează reciproc efectele, ele având valori egale și de sens opus. Pe fața superioară acționează forța \vec{F}_1 , de intensitate $F_1 = p_1 S$, iar pe fața inferioară acționează forța \vec{F}_2 , de intensitate $F_2 = p_2 S$. Scriind condiția de echilibru pentru paralelipiped, obținem:

$$\vec{F}_1 + \vec{F}_2 + \vec{G} = 0. \quad (9.3)$$

Proiectând ecuația vectorială (9.3) pe axa Oz obținem:

$$p_2 S - p_1 S - \rho g S h = 0,$$

de unde

$$p_2 - p_1 = \rho g h. \quad (9.4)$$

unde $p_2 - p_1$ este diferența de presiune între nivelele h_2 și h_1 iar $h = h_2 - h_1$. Putem enunța principiul fundamental al hidrostaticii:

D.L.B.

numerie egală cu greutatea unei coloane din acel lichid având ca bază punctele respective.

Dacă la nivelul 2 presiunea este p , iar nivelul 1 coincide cu suprafața liberă a lichidului, atunci:

$$p - H = \rho g h \text{ sau } p = H + \rho g h, \quad (9.5)$$

H fiind presiunea atmosferică.

Se constată că presiunea hidrostatică este independentă de forma vasului în care se află lichidul și că este aceeași în toate punctele aflate la aceeași adâncime în lichid. Din relația (9.5) rezultă că dacă se mărește presiunea pe suprafața liberă a lichidului, presiunea p din interiorul lichidului crește cu aceeași cantitate.

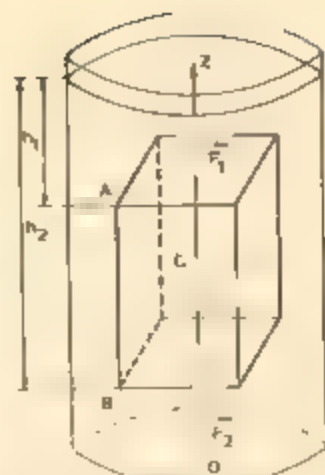


Fig. 9.9. Forțele care acționează pe fețele laterale ale paralelipipedului de lichid sunt egale și opuse. Diferența forțelor F_2 și F_1 este egală cu greutatea paralelipipedului de lichid

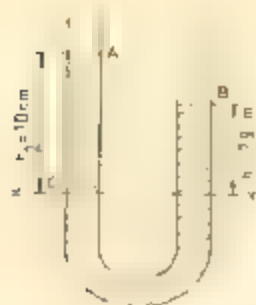


Fig. 9.10. Manometr cu două lichide.

EXEMPLU

Într-un tub în formă de U (fig. 9.10) se toarnă apă cu densitatea $\rho_1 = 1,00 \text{ g/cm}^3$ și apoi în una dintre ramuri se toarnă un lichid care nu se amestecă cu apa, de densitate ρ_2 necunoscută. Înălțimile coloanelor de lichid, în cele două ramuri, deasupra suprafeței de separare a lichidelor, sînt indicate pe figura 9.10. Să se calculeze densitatea ρ_2 .

Soluție. Surfațele de separare apă-lichid, apă-lichid-lichid au sînt paralele orientate. În A și B presiunile p_A și p_B sînt egale cu presiunea atmosferică H ($p_A = p_B = H$).

Pe suprafața de separare xx' apă-lichid, presiunile în a, a' și în lichid sînt egale ($p_1 = p_2$). La acest nivel presiunile sînt:

$$p_1 = H + \rho_1 g h_1, \text{ presiunea în apă, și}$$

$$p_2 = H + \rho_2 g h_2, \text{ presiunea în lichid.}$$

Deoarece $p_1 = p_2$, rezultă:

$$\rho_1 h_1 = \rho_2 h_2 \text{ și } \rho_2 = \frac{\rho_1 h_1}{h_2} = 0,79 \text{ g/cm}^3.$$

9.3.5 Măsurarea presiunii atmosferice. Aerul este cel mai răspîndit gaz. El înconjoară toată suprafața Pămîntului într-o pălîmă foarte groasă numită atmosferă terestră.

Aerul este peste tot în jurul nostru, însă noi nu îl vedem, el e incolor, fără gust și fără miros.

Atmosfera este alcătuită dintr-un amestec de gaze cu vapori de apă, scame de gheață, praf și diverse impurități. Compoziția atmosferei variază cu altitudinea ei și pe suprafața terestră. Atmosfera nu are o limită precisă, ea trece treptat în spațiul interplanetar.

Masa atmosferei este enormă, ea fiind egală cu $6 \cdot 10^{18}$ tone. Greutatea acestei mase de aer exercită o presiune continuă pe suprafața Pămîntului, numită *presiune atmosferică*. Datorită presiunii atmosferice, pe suprafețele aflate în atmosferă, se exercită forțe de apăsare foarte mari.

Datorită greutatei aerului straturile inferioare de aer sînt comprimate de către cele superioare. Deci densitatea atmosferei scade cu înălțimea.

EXEMPLU

Să se determine forța de apăsare exercitată de către aerul atmosferic pe una dintre fețele geamului unei ferestre de formă dreptunghiulară cu laturile de 80 cm și 130 cm.

Dat. Densitatea aerului are valoarea $H = 1,013 \cdot 10^5 \frac{\text{N}}{\text{m}^2}$.

Rezoluție. Forța de apăsare are intensitatea:

$$F = HS = 1,013 \cdot 10^5 \text{ N/m}^2 \cdot 0,96 \text{ m}^2 = 9,72 \cdot 10^4 \text{ N.}$$

Forța de presiune exercitată pe geamul ferestrei este egală cu greutatea unei mase de $9,72 \text{ t}$ de aer. Căci această presiune mare din aer îl este presat pe ambele fețe.

Aerul din jurul nostru și în jurul nostru apasă din toate părțile pe corpul nostru. Forțele de presiune mari exercitate asupra noastră nu sînt suportabile pentru că organismul nostru s-a adaptat acestor condiții de presiune. Nu am putea să respirăm normal sau chiar să trăim, dacă această presiune s-ar modifica mult.

Presiunea atmosferică într-un punct al atmosferei este egală cu greutatea unei coloane de aer, cu secțiune egală cu unitatea și cu înălțimea egală cu diferența de nivel dintre acel punct și suprafața liberă a atmosferei. Această presiune nu se poate calcula, deoarece nu se cunoaște cu precizie limita superioară a atmosferei și datorită faptului că atmosfera nu este statică.

Presiunea atmosferică se poate determina experimental printr-o metodă simplă propusă de către fizicianul italian Torricelli în anul 1643.

Pentru determinarea presiunii atmosferice se folosește un tub cu lungimea de aproximativ un metru și închis la unul dintre capete, numit tub barometric sau tubul lui Torricelli. Tubul barometric se umple cu mercur, apoi se astupă cu degetul și se răstoarnă într-o cuvă cu mercur. Retrăgînd degetul se constată că o parte din mercurul din tub coboară în cuvă. Coloana de mercur rămasă în tub, măsurată de la suprafața liberă a mercurului din cuvă pînă la suprafața liberă a mercurului din tub, are o înălțime h de aproximativ 76 cm (fig. 9.11, *a* și *b*). Pe suprafața liberă a mercurului din tub presiunea este zero ($p_c = 0$), deoarece deasupra acestei suprafețe este vid. Porțiunea tubului în care se află vid se numește cameră barometrică.

Mercurul fiind în echilibru, presiunea în toate punctele planului orizontal AB , care cuprinde și suprafața liberă a mercurului din cuvă, este constantă (fig. 9.11, *b*). Deci presiunile în punctele A și B sînt egale ($p_A = p_B$). În A se exercită presiunea atmosferică pe care o notăm cu H , deci $p_A = H$. În B , acționează presiunea hidrostatică datorată coloanei de mercur.

$$p_B - p_C = \rho gh,$$

deoarece $p_C = 0$, rezultă

$$p_B = H = \rho gh.$$

Deci, presiunea atmosferică este egală cu presiunea hidrostatică a coloanei de mercur din tub. Măsurarea presiunii atmosferice, într-un anumit punct din atmosferă se reduce la măsurarea lungimii coloanei de mercur h și ρ și g fiind marimi cunoscute.

Cum presiunea hidrostatică este independentă de forma și secțiunea vasului, rezultă că dacă se înclină tubul sau se face experiența cu tuburi de forme diferite, înălțimea coloanei de mercur h nu se modifică (fig. 9.12).



Fig. 9.11. Experimentul lui Torricelli

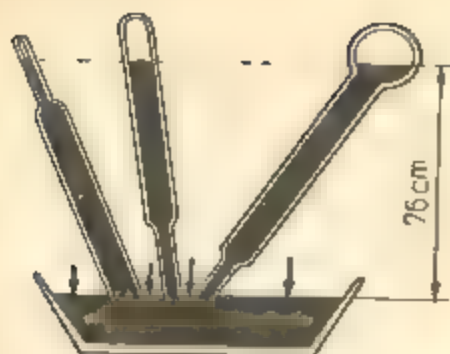


Fig. 9.12. Înălțimea coloanei de mercur este independentă de forma, de secțiunea și de înclinarea tubului

Presiunea atmosferică variază:

— cu *altitudinea*, datorită greutatei aerului. Măsurătorile au arătat că această variație nu este uniformă (fig. 9.13);

— cu *starea vremii*. Starea vremii depinde de deplasarea maselor de aer atmosferic, adică de mișcările ciclonilor și anticiclonilor atmosferici;

— de la un loc la altul. Pe hărțile meteorologice se observă linii continue, care unesc punctele în care presiunea are aceeași valoare la un moment bine determinat. Curbele

acestea se numesc *izobare* și sînt foarte utile pentru prevederea stării vremii.

Avînd în vedere că presiunea variază de la un loc la altul și chiar în același loc de la o oră la alta, se impune definirea unei presiuni de referință, numită *presiune atmosferică normală*.

Presiunea atmosferică normală se consideră, prin convenție, ca fiind egală cu 760 torr.

Exprimată în N/m^2 presiunea atmosferică normală are valoarea $H_0 = 1,013 \cdot 10^5 \text{ N/m}^2$.

Instrumentele cu care se măsoară presiunea atmosferică și se observă schimbările ei se numesc *barometre*. În practică se folosesc două feluri de barometre: a) *barometrul metalic*, a cărui funcționare se bazează pe echilibrarea forțelor de presiune atmosferică de către forțele elastice ale unui resort; b) *barometrul cu mercur*, a cărui funcționare se bazează pe echilibrarea presiunii atmosferice de către presiunea hidrostatică a unei coloane de mercur. Primul barometru de acest tip a fost tubul lui Torricelli.

9.3.6. Măsurarea presiunii gazelor. Manometrul cu lichid. Presiunile în fluide (gazoase sau lichide) se măsoară cu instrumente numite *manometre*. Vom descrie doar manometrul cu lichid folosit pentru măsurarea presiunii gazelor.

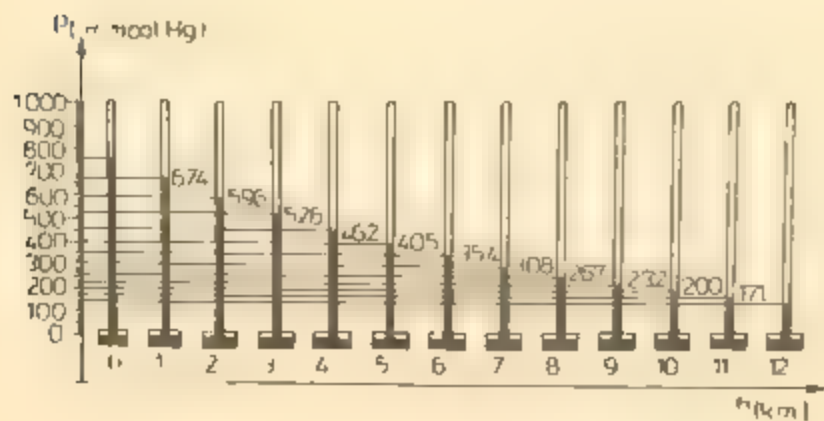


Fig. 9.13. Presiunea atmosferică variază cu altitudinea

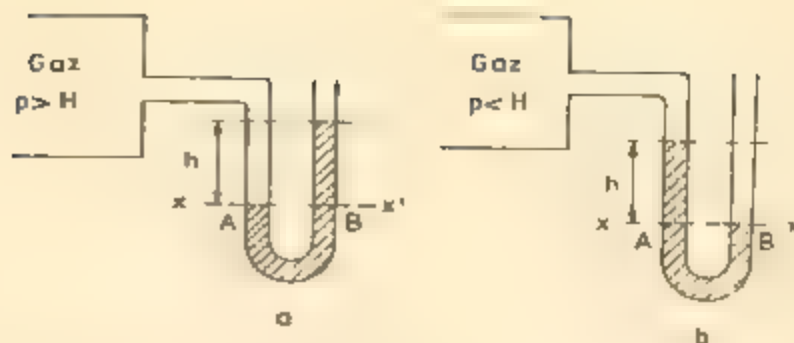


Fig. 9.14. Principiul manometrului cu lichid.

Manometrul cu lichid este alcătuit dintr-un tub în formă de *U*, deschis la ambele capete, în care s-a turnat un lichid de densitate ρ (spre exemplu mercur sau apă).

O ramură a tubului în *U* comunică cu atmosfera, iar cealaltă ramură comunică cu gazul de presiune p . În cazurile prezentate în figura 9.14, dacă H este presiunea atmosferică, presiunea de măsurat este dată de relația

$$p = H \pm \rho gh. \quad (9.6)$$

În relația (9.6) se ia semnul plus când $p > H$ și semnul minus când $p < H$. Diferența de presiune

$$p - H = \pm \rho gh. \quad (9.7)$$

se numește *presiune relativă* sau *presiune manometrică*.

Lichidul manometric se alege în funcție de presiunea de măsurat. Spre exemplu, un manometru cu apă dă o denivelare de 13,6 ori mai mare decât un manometru cu mercur.

Pentru măsurarea directă a presiunii p , se folosește, în locul tubului în *U* deschis, un barometru cu sifon racordat cu un tub de cauciuc la recipientul care conține gazul (fig. 9.15.) În acest caz presiunea gazului este echilibrată de presiunea hidrostatică a unei coloane de mercur h :

$$p = \rho gh.$$

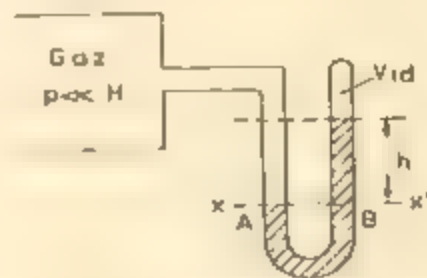


Fig. 9.15. Manometru cu lichid cu tubul închis, numit manometru barometric.

EXEMPLU

Un manometru cu mercur (fig. 9.14, b) este pus în legătură cu un gaz de presiune p . Denivelarea manometrică este $h = 5$ mm. Presiunea indicată de un barometru este $H = 753$ torr. Care este presiunea gazului? Care este denivelarea h_a , în cazul folosirii unui manometru cu apă?

Rezolvare Presiunea gazului fiind mai mică decât presiunea atmosferică, rezultă

$$p = H - \rho gh.$$

Ținând cont de valorile numerice obținem:

$$p = 753 \text{ torr} = 753 \text{ torr} \cdot \frac{1 \text{ atm}}{760 \text{ torr}} \approx 0,99 \text{ atm} = \\ = 0,99 \cdot 1,013 \cdot 10^5 \text{ N/m}^2 \approx 10^5 \text{ N/m}^2 = 1 \text{ at}$$

Dacă lichidul barometrice ar fi apă, acest lichid ar trebui să producă o presiune hidrostatică egală cu aceea produsă de mercur:

$$p_{H_2O} = \rho h_{H_2O} = p_a = \rho h_m: h_m = \frac{13600 \cdot 5}{1000} = 68 \text{ mm}$$

9.3.7 Transmiterea presiunii în lichide. Legea lui Pascal

EXPERIMENT

Se umple complet cu apă un vas cu două deschideri tubulare (fig. 9.16) și se astupă fiecare deschidere cu un dop de cauciuc uns cu grăsime. Se are în vedere ca dopurile să fie în contact cu apa. Dacă se presează puternic pe unul dintre dopuri celălalt este aruncat în aer. Variația presiunii din B se transmite și în A și determină dopul A să sară din locașul său.

Experimentul descris mai sus ilustrează *legea lui Pascal* care se enunță astfel:

Presiunea exercitată pe o suprafață oricărei mase de lichid se transmite în toate direcțiile cu aceeași intensitate în tot lichidul și la pereții vasului care-l conține.

Legea lui Pascal este o consecință a legilor staticii fluidelor și rezultă din acestea.

În p_A și p_B presiunile în punctele A și B dintr-un lichid în repaus (fig. 9.17). Conform principiului fundamental al hidrostaticii rezultă

$$p_B - p_A = \rho gh.$$

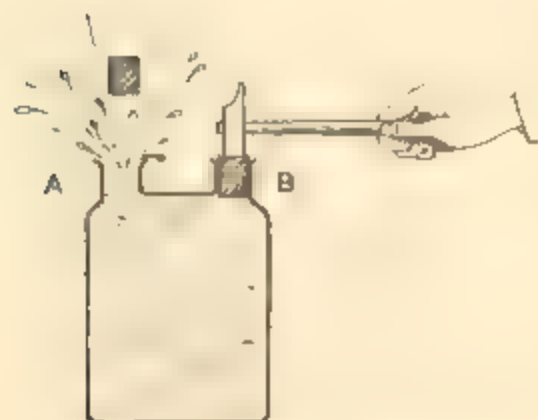


Fig. 9.16. Dispozitiv experimental pentru punerea în evidență a transmiterii presiunii printr-un lichid.



Fig. 9.17. Transmiterea presiunii printr-un lichid.

Cum mărimile ρ , g , h sînt constante, diferența de presiune este și ea constantă, chiar dacă se mărește sau se micșorează presiunea din punctele A și B . Deci, orice variație de presiune în A provoacă o variație egală de presiune în B , precum și în toate punctele lichidului.

9.3.8. Aplicații ale legii lui Pascal. Presa hidraulică. Una dintre aplicațiile principale ale legii lui Pascal este presa hidraulică al cărei principiu este dat în figura 9.18. Două vase cilindrice comunică între ele prin partea inferioară. Cei doi cilindri sînt închiși la partea superioară prin două pistoane mobile P și P_1 .

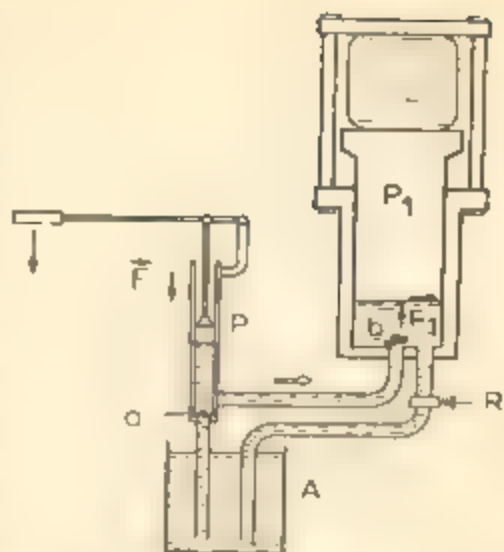


Fig. 9.18. Principiul de funcționare a presei hidraulice

Se exercită pe pistonul P , de secțiune S , o forță normală \vec{F} . Această forță produce în toate punctele lichidului o creștere a presiunii, egală cu

$$p = \frac{F}{S}. \quad (9.8)$$

Această presiune este integral transmisă pe fața inferioară a pistonului P_1 , de secțiune S_1 , care este astfel acționat de o forță \vec{F}_1 , de mărime

$$F_1 = pS_1. \quad (9.9)$$

Din relațiile (9.8) și (9.9) obținem:

$$F_1 = F \frac{S_1}{S}. \quad (9.10)$$

Intensitatea forței F_1 este cu atît mai mare cu cît raportul ariilor fețelor pistoanelor este mai mare.

Presă hidraulică este folosită pentru a comprima paie și bumbacul în baloturi, pentru a extrage uleiul din diferitele semințe, la fabricarea caroseriilor de automobil și a obiectelor din material plastic etc.

O aplicație a presei hidraulice este și sistemul de frinare al automobilelor, schematizat în figura 9.19.

O apăsare pe pedala 1 produce o creștere a presiunii în cilindrul 3 . Această creștere de presiune este transmisă prin intermediul lichidului 2 , pistoanelor 4 , care împing saboții 6 , pe tamburul 5 .

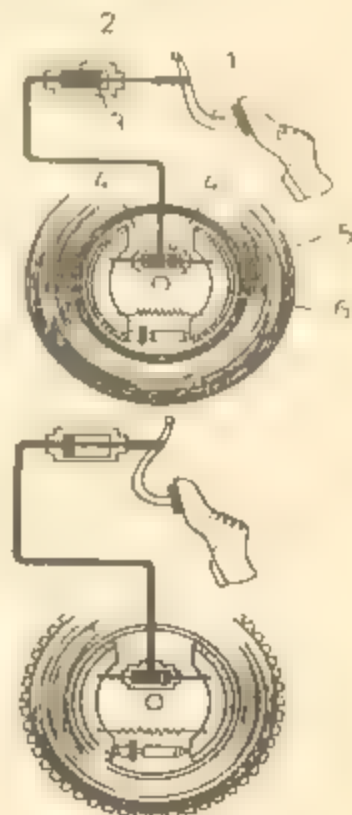


Fig. 9.19. Frîna hidraulică.

BLAISE PASCAL (1623—1662).



Matematician, fizician, filozof și scriitor francez. Pascal a fost un spirit precoc care s-a manifestat foarte timpuriu. La 12 ani, el regăsește singur, primele teoreme ale geometriei lui Euclid. La 16 ani, scrie un „Tratat despre secțiunile conice”. Pascal este fondatorul teoriei probabilităților. A inventat o mașină de calcul în anul 1642.

În domeniul fizicii, activitatea lui Pascal a fost îndreptată, mai ales, asupra presiunii atmosferice și asupra vidului. Pascal a descoperit legea fundamentală a hidrostaticii care stă la baza tuturor sistemelor hidraulice.

9.3.9. Legea lui Arhimede. Pentru a introduce o sticlă goală într-o căldare cu apă, trebuie să se exercite asupra ei o forță de apăsare destul de mare. O minge de tenis de masă introdusă pe fundul unui vas cu apă și apoi lăsată liberă, iese singură la suprafață. Dacă o piatră grea este introdusă în apă, cînd este ridicată, ea pare mai ușoară decît în aer. Greutatea pietrei nu s-a modificat, pentru că forțele de atracție gravitațională sînt independente de natura mediului care separă corpurile. Fie că piatra este în aer sau în apă, forța de atracție pe care o exercită Pămîntul asupra ei, este aceeași. Rezultă că lichidul împinge corpul vertical în sus. Vom dovedi aceasta experimental.

EXPERIMENT

Se suspendă un cilindru de fier, cu ajutorul unui fir, de un dinamometru. Citim pe dinamometru greutatea sa, de exemplu 2,5 N. Se cufundă corpul în apă. Se constată că direcția firului de suspensie nu s-a modificat. Dinamometrul indică acum o forță de numai 1,5 N (fig. 9.20).

Rezultă că *un corp cufundat într-un lichid este împins de către lichid cu o forță verticală orientată de jos în sus. Această forță se numește forță arhimedică.*

Înlocuind cilindrul metalic cu un alt corp mai voluminos se constată că forța arhimedică este mai mare. Deci, *forța de împingere exercitată asupra unui corp cufundat într-un lichid crește cu volumul de lichid dezlucuit.*

Se cufundă acum corpul într-un alt lichid, în alcool sau în soluție de sare de bucătărie în apă și se constată că indicațiile dinamometrului s-au modificat. Deci, *forța de împingere exercitată de un lichid, asupra unui corp cufundat în el, depinde de densitatea lichidului.*

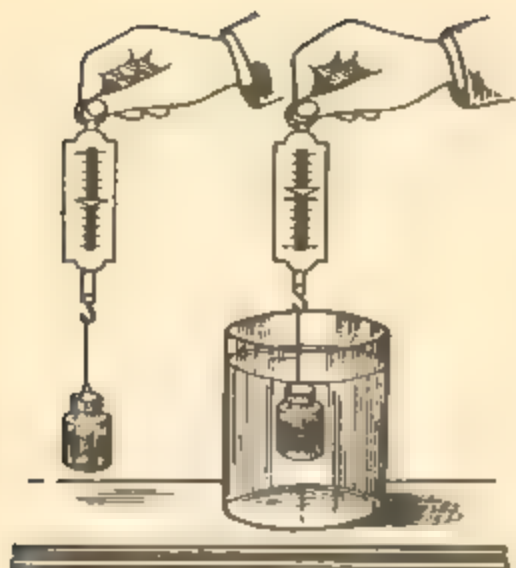


Fig. 9.20. Apa exercită asupra cilindrilor o forță de apăsare verticală, orientată de jos în sus

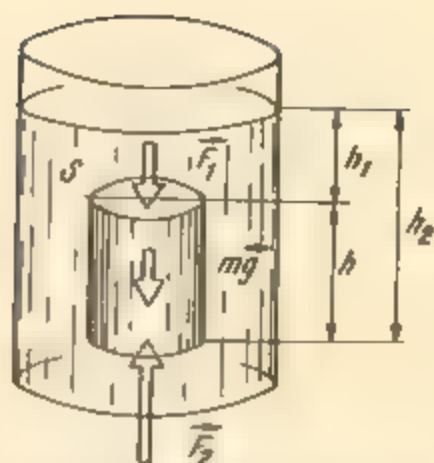


Fig. 9.21. Orice corp cufundat într-un fluid este împins vertical în sus cu o forță egală cu greutatea fluidului dezlucuit

Legea lui Arhimede se enunță astfel:

Legea lui Arhimede este, de asemenea, o consecință a legilor fundamentale ale staticii fluidelor, și deci se poate deduce din acestea.

Considerăm un corp de forma unui cilindru drept cufundat în poziție verticală într-un lichid în repaus (fig. 9.21). Notăm cu S aria bazei și cu h înălțimea cilindrului.

Conform principiului fundamental al hidrostaticii, forțele de apăsare pe suprafața laterală a cilindrului își fac echilibrul. Rezultanta forțelor de presiune verticale, normale pe bazele cilindrului, este:

$$F_A = F_2 - F_1 = (p_2 - p_1)S,$$

sau ținând seamă de relația (9.4), obținem:

$$F_A = \rho g(h_2 - h_1)S = \rho h S g = G_l, \quad (9.11)$$

unde $h = h_2 - h_1$ este înălțimea cilindrului, ρ este densitatea lichidului, iar G_l este greutatea lichidului dezlucuit de corp.

Deci, rezultanta \vec{F}_A a forțelor de presiune exercitate asupra corpului cufundat în fluid, numită forță arhimedică, este egală și de sens opus cu greutatea volumului de fluid dezlucuit de corp. Punctul în care se aplică forța arhimedică se numește *centru de presiune*. În general, centrul de presiune este diferit de centrul de greutate, în afară de cazul particular când corpul cufundat în fluid este omogen. În acest caz, centrul de greutate și centrul de presiune coincid.

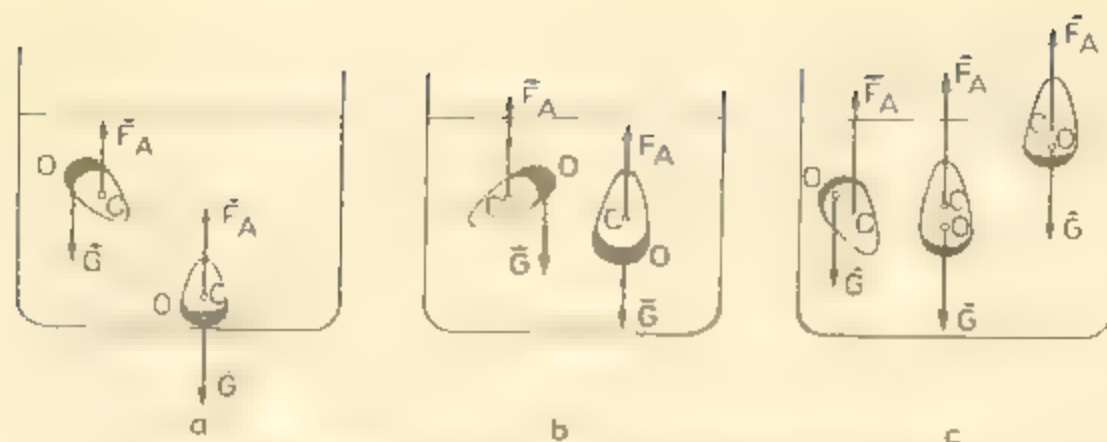


Fig. 9.22. Echilibrul corpurilor cufundate într-un lichid.

Legea lui Arhimede se aplică fluidelor lichide sau gazoase, lichidelor neomogene în repaus (de exemplu în cazul a două lichide care nu se amestecă, turnate unul peste altul) cit și pentru corpurile necufundate complet.

9.3.10. Plutirea corpurilor. Un corp introdus într-un lichid este supus acțiunii a două forțe: greutatea sa \vec{G} aplicată în centrul de greutate al corpului și forța arhimedică \vec{F}_A aplicată în centrul de presiune C . Trei cazuri se pot ivi (fig. 9.22):

a) $G > F_A$. Rezultanta $\vec{G}_a = \vec{G} + \vec{F}_A$ se numește greutatea aparentă și are modulul: *

$$G_a = mg - \rho_f V g = mg \left(1 - \frac{\rho_f}{\rho_s} \right), \quad (9.12)$$

unde ρ_f este densitatea fluidului iar ρ_s este densitatea solidului. Dacă $\rho_f < \rho_s$, corpul se cufundă.

b) $G = F_A$. Greutatea aparentă este zero și corpul rămâne în echilibru în interiorul lichidului. Dacă corpul este omogen, condiția se scrie: $\rho_f = \rho_s$. În acest caz centrul de presiune coincide cu centrul de greutate. Dacă solidul este neomogen, centrul de presiune și centrul de greutate nu coincid. Pentru ca echilibrul să fie stabil este suficient ca centrul de greutate și centrul de presiune să fie pe aceeași verticală, iar centrul de greutate să se găsească sub centrul de presiune.

c) $G < F_A$. Rezultanta $\vec{F}_a = \vec{G} + \vec{F}_A$ se numește forță ascensională. Un corp cufundat este adus la suprafața lichidului de către forța ascensională. Pe măsură ce corpul iese din lichid forța arhimedică scade. În momentul cînd greutatea corpului echilibrează forța arhimedică, corpul plutește în echilibru la suprafața lichidului.

Pentru un corp omogen condiția de plutire la suprafața lichidului se scrie: $\rho_f > \rho_s$.

Condiția de plutire a corpurilor se enunță astfel *dacă un corp plutește în echilibru în interiorul sau la suprafața unui lichid în repaus, greutatea corpului este egală cu greutatea volumului de lichid deplasat de corp.*

9.3.11. Consecințe și aplicații ale plutirii corpurilor.

A. Corpuri în echilibru în interiorul unui lichid.

Submarinul este o navă care poate pluti la suprafața apei. Submarinul posedă niște rezervoare laterale numite balast-apă. Când acestea se umplu cu apă nava se scufundă, iar când apa este evacuată cu ajutorul pompelor, submarinul urcă la suprafață (fig. 9.23).

Batiscaful destinat explorărilor submarine funcționează pe același principiu ca și submarinul.

B. Corpuri care plutesc la suprafața apei.

Icebergurile sînt blocuri uriașe de gheață care plutesc pe mare, deoarece densitatea gheții este mai mică decît densitatea apei (fig. 9.24). Porțiunea din volumul unui iceberg cufundat în apă reprezintă 11,12 din volumul total.

Navele, datorită formei lor dezechilibrate, un volum foarte mare de apă, în consecință forța arhimedică este mult mai mare decît greutatea lor. O navă de 10 000 tone trebuie să dezechilibreze cel puțin 10 000 m³ de apă pentru a putea pluti.

Plutirea navelor este stabilă cînd centrul de greutate se află pe aceeași verticală cu centrul de presiune și deasupra centrului de presiune (fig. 9.25). Cînd nava oscilează centrul de presiune își schimbă poziția. În acest caz greutatea \vec{G} și forța arhimedică \vec{F}_A formează un cuplu care tinde să readucă nava în poziția inițială. Suportul forței arhimedice întîlnește verticala de stabilitate într-un pîunct M numit metacentru. Echilibrul este stabil dacă metacentrul este deasupra centrului de greutate. Punctul M are o poziție fixă în raport cu nava.

C. Densimetrele sînt instrumente utilizate pentru determinarea densității lichidelor.

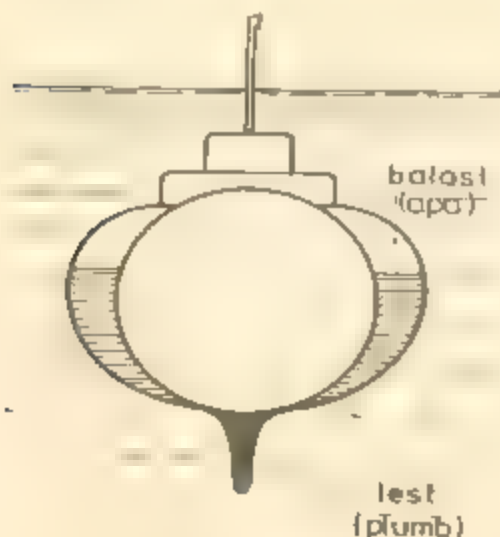


Fig. 9.23. Submarinul

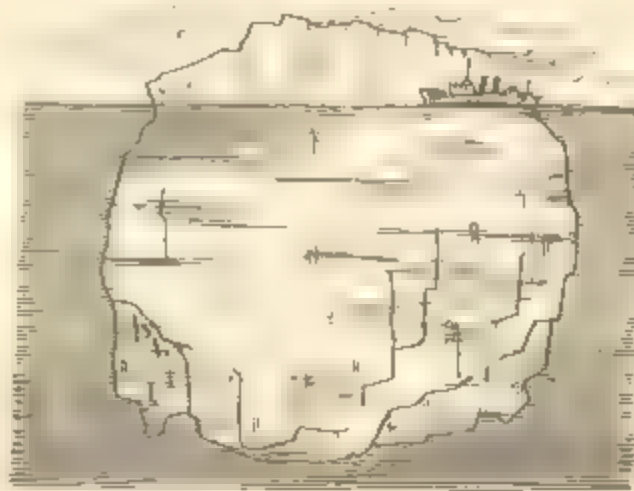


Fig. 9.24. Iceberg

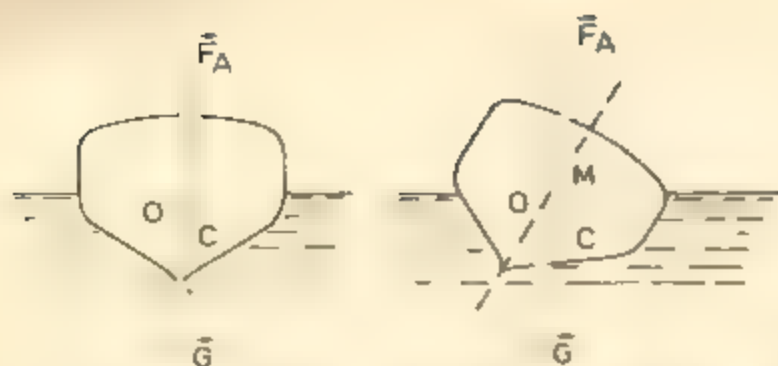


Fig. 9.25. Echilibrul unei nave.

Un densimetru este alcătuit dintr-un tub de sticlă numit plutitor, în care se află la partea de jos alică de plumb sau mercur, prelungit cu o tijă de sticlă subțire.

Densimetrele se gradează în unități de densitate. Gradațiile se fac pe tija de sticlă.

Există două feluri de densimetre:

— densimetre pentru lichide cu densitatea mai mică decât a apei, gradate de la 0,6 la 1. Introduse în apă, acestea se cufundă pînă la baza tijei, unde se află gradația 1 (fig. 9.26). Gradația 1 de la baza tijei reprezintă densitatea apei de 1 g/cm^3 ;

— densimetre pentru lichide mai dense decât apa, gradate de la 1 la 2. Introduse în apă, ele se cufundă pînă aproape de extremitatea superioară a tijei, unde se află gradația 1 (fig. 9.27).

EXEMPLE

1. O sferă cu densitatea $\rho_1 = 500 \text{ kg/m}^3$ cade fără viteză inițială de la înălțimea $h_1 = 20 \text{ m}$, într-un bazin adînc, plin cu apă (fig. 9.28). Să se calculeze adîncimea în care se va opri sfera în apă. Densitatea apei este $\rho_2 = 1000 \text{ kg/m}^3$, $g = 10 \text{ m/s}^2$.

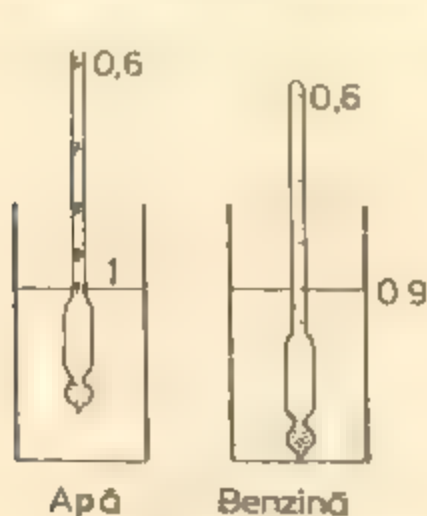


Fig. 9.26. Densimetre pentru lichide cu densitatea mai mică decât densitatea apei.

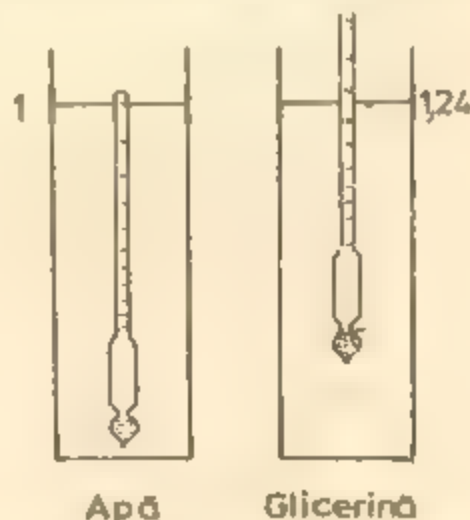


Fig. 9.27. Densimetre pentru lichide cu densitatea mai mare decât densitatea apei.



Fig. 9.28. La exemplul 1

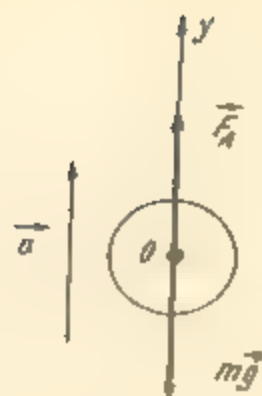


Fig. 9.29. La exemplul 2

Rezolvare a) Calculul vitezei sferei în momentul când atinge suprafața apei. Aplicând formula lui Galilei obținem:

$$v_0 = \sqrt{2gh_1} = 20 \text{ m/s.}$$

b) Calculul accelerației sferei în timpul mișcării ei în apă. În timpul mișcării în apă asupra sferei acționează forța arhimedică $F_A = \rho_2 V g$ și greutatea sa $G = mg$ (fig. 9.28). Scriem relația fundamentală a dinamicii pentru mișcarea sferei în apă

$$F_A - mg = ma. \quad (9.13)$$

Din relația (9.13), obținem:

$$a = \frac{F_A}{m} - g$$

Înlocuind în această relație forța arhimedică prin valoarea sa și masa corpului prin $m = \rho_1 V$, obținem:

$$a = g \left(\frac{\rho_2}{\rho_1} - 1 \right) = 10 \text{ m/s}^2.$$

c) Calculul adâncimii h_2 , la care se oprește sfera:

$$h_2 = \frac{v_0^2}{2a} = 20 \text{ m.}$$

2. Un aerostat cu masa $m = 500 \text{ kg}$ și volumul $V = 600 \text{ m}^3$ se ridică pe verticală într-o mișcare uniform accelerată (fig. 9.29).

Să se calculeze înălțimea la care se ridică aerostatul în timpul $t = 10 \text{ s}$. Densitatea aerului este $\rho = 1,3 \text{ kg/m}^3$, $g = 10 \text{ m/s}^2$. Se neglijează rezistența aerului.

Rezolvare a) Calculul accelerației aerostatului. Asupra aerostatului acționează forța arhimedică $F_A = \rho g V$ (unde ρ este densitatea aerului) și greutatea $G = mg$. Scriind relația fundamentală a dinamicii pentru mișcarea aerostatului, obținem:

$$F_A - mg = ma.$$

$$a = \frac{F_A}{m} - g = \frac{\rho g V}{m} - g = 5,6 \text{ m/s}^2$$

b) Calculul înălțimii la care urcă aerostatul în timpul $t = 10 \text{ s}$:

$$h = \frac{at^2}{2} = 280 \text{ m.}$$

9.4.1 Curgerea staționară. Prin curgerea unui fluid se înțelege deplasarea acestuia față de un sistem de referință dat. Un fluid ideal, adică un fluid incompresibil și lipsit de vâcositate, poate fi pus în mișcare datorită greutatei sale și diferenței de presiune între diferitele puncte din interiorul său.

Fenomenele de mișcare a fluidelor au un caracter microscopic, fluidele fiind asimilate cu medii continue. În cazul fluidelor continue este posibilă o mișcare care să constea din deplasarea diferitelor părți ale aceluiasi corp una față de alta. Pentru descrierea curgerii unui fluid, îl vom considera alcătuit dintr-un număr foarte mare de particule, caracterizate prin aceea că au un volum foarte mic în raport cu acela al corpului.

Studiem mișcarea particulelor fluidului în raport cu un anumit sistem de referință, față de care fixăm pozițiile particulelor de fluid.

Mișcarea unui fluid este caracterizată prin distribuția vitezelor și a presiunilor în interiorul fluidului. Aceste mărimi variază de la un punct la altul. În același punct ele pot varia, de asemenea, în funcție de timp. În acest caz curgerea (mișcarea) fluidelor se numește nepermanentă (nestaționară) sau variată. De viteză este legată și noțiunea de *linie de curent*. Se numește *linie de curent la un moment dat t , linia curbă care are proprietatea că, la acel moment, vitezele diferitelor particule care se află pe ea îi sînt tangente* (fig. 9.30). În general aceste particule au traiectorii care nu se confundă cu linia de curent pe care se află ele la un moment dat t .

Cînd viteza în diferitele puncte ale spațiului ocupat de fluid nu depinde explicit de timp, ci numai de poziția în care se află particula de fluid considerată, curgerea se numește *staționară*.

În cazul curgerii nestaționare, forma liniilor de curent se schimbă de la un moment la altul. În cazul curgerii staționare, aspectul liniilor de curent rămîne neschimbat, forma lor fiind independentă de timp și atunci traiectoriile particulelor de fluid coincid cu liniile de curent. În curgerea staționară putem fixa poziția unei particule de fluid de-a lungul liniei de curent cu ajutorul coordonatei curbilini s (fig. 9.30). Cum viteza și presiunea variază de la un punct la altul, înseamnă că ele sînt funcții de s :

$$v = v(s); \quad p = p(s). \quad (9.14)$$

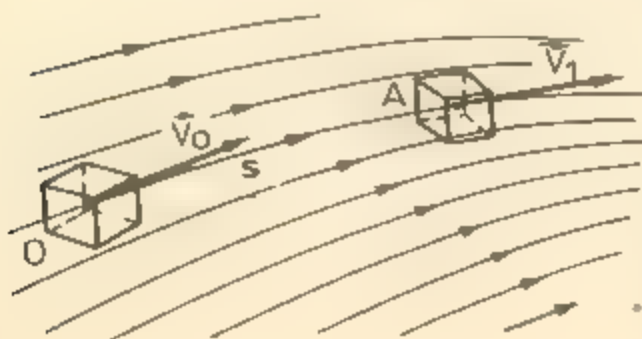


Fig. 9.30. Linii de curent în interiorul unui fluid ideal. În cazul mișcării staționare acestea coincid cu traiectoriile particulelor de fluid. Poziția unei particule de fluid pe linia de curent se poate determina cu ajutorul coordonatei curbilini s , luată de-a lungul liniei de curent.

În curgerea staționară liniile de curent nu se intersectează. Astfel, liniile de curent, în cazul fluidului ideal, pot materializa pereții unui tub, prin care curge un fluid. De aceea liniile de curent care trec prin toate punctele unui contur închis formează un *tub de curent* (fig. 9.31).

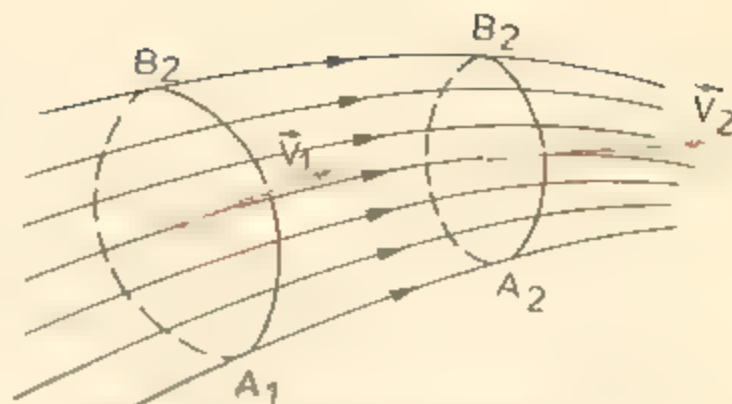


Fig. 9.31. Tub de curent

9.4.2. **Ecuația de continuitate.** Cantitatea de fluid care străbate o anumită arie în unitatea de timp reprezintă debitul de fluid prin acea arie. Debitul poate fi de masă sau de volum, după cum cantitatea de fluid reprezintă o masă sau un volum de fluid.

Debitul de masă se exprimă prin relația:

$$Q_m = \frac{\Delta m}{\Delta t},$$

unde Δm este masa de fluid care străbate o anumită arie în timpul Δt . Iar debitul de volum este dat de relația:

$$Q_v = \frac{\Delta V}{\Delta t},$$

unde ΔV este volumul de fluid care străbate o anumită arie în intervalul de timp Δt .

Să considerăm un fluid în curgere staționară și d.n. acesta să separăm un tub de curent (fig. 9.32). Debitul de volum prin ariile S_1 și S_2 are valorile:

$$Q_1 = \frac{S_1 v_1 \Delta t}{\Delta t} = S_1 v_1; \quad Q_2 = S_2 v_2.$$

Fluidul fiind incompresibil, ariile S_1 și S_2 sunt străbătute de aceeași cantitate de fluid în unitatea de timp, deci

$$S_1 v_1 = S_2 v_2 \quad (9.15)$$

Relația (9.15) se numește *ecuația de continuitate*.

9.4.3. **Legea lui Bernoulli.** Această lege se aplică curgerii staționare a unui fluid ideal. Reamintim că un fluid ideal are următoarele caracteristici: a) nu are viscozitate; b) este incompresibil; c) viteza unei particule de fluid este independentă de timp.

Considerăm un tub de curent cu secțiunea variabilă. Vom studia curgerea fluidului cuprins între secțiunile S_1 și S_2 d.n. tubul de curent (fig. 9.32).

Ca urmare a incompresibilității fluidului, volumul V_1 de fluid care traversează secțiunea S_1 în intervalul de timp Δt este egal cu volumul V_2 de fluid care traversează secțiunea S_2 în același interval de timp.

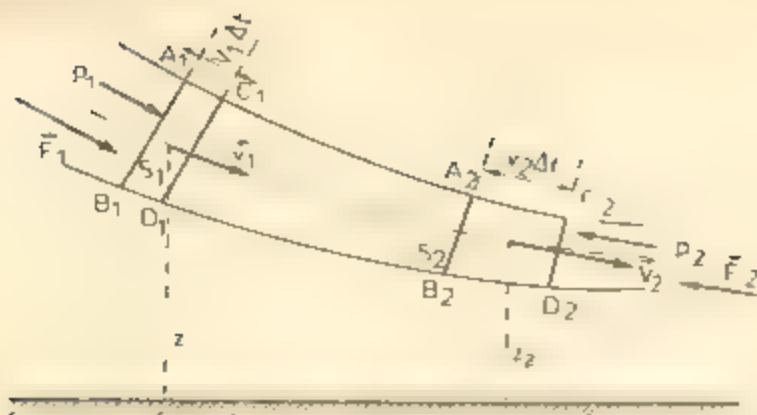


Fig. 9.32. De la o parte de a lunguii unui tub de curent de fluid ideal în regiuni în care viteza este constantă

$$S_1 v_1 = S_2 v_2.$$

De-a lungul liniei de curent $\rho = \frac{1}{2} \rho = \frac{1}{2} \rho$ constant

Înmulțind relația (9.15) cu Δt obținem:

$$S_1 v_1 \Delta t = S_2 v_2 \Delta t,$$

$$\text{sau } S_1 \cdot A_1 C_1 = S_2 \cdot A_2 C_2,$$

de unde rezultă că

$$V_1 = V_2 = V.$$

Totul se petrece ca și cum în intervalul de timp Δt s-ar transfera direct din poziția $A_1 B_1 C_1 D_1$ o masă de fluid $m = \rho V$, în poziția $A_2 B_2 C_2 D_2$, fără ca lichidul intermediar să se fi mișcat.

Masa de fluid m are la traversarea secțiunii S_1 energia cinetică $\frac{1}{2} m v_1^2$, iar la traversarea secțiunii S_2 are energia cinetică $\frac{1}{2} m v_2^2$. Variația energiei cinetice a masei m , în intervalul de timp în care a fost transferată din poziția $A_1 B_1 C_1 D_1$ în poziția $A_2 B_2 C_2 D_2$, este:

$$\Delta E_c = \frac{1}{2} m (v_2^2 - v_1^2) \quad (9.16)$$

și ea trebuie să fie egală cu lucrul mecanic al forțelor ce se exercită asupra sistemului considerat în intervalul de timp Δt . Aceste forțe sînt forțele de presiune $F_1 = p_1 S_1, F_2 = p_2 S_2$ care acționează asupra lichidului cuprins între secțiunile S_1 și S_2 și greutatea mg a lichidului transferat.

În intervalul de timp Δt în care masa m traversează secțiunea S_1 sub acțiunea forței F_1 , al cărei punct de aplicare se deplasează pe distanța $A_1 C_1$, se efectuează următorul lucru mecanic motor:

$$L_1 = F_1 \cdot A_1 C_1 = p_1 S_1 \cdot A_1 C_1 = p_1 V = p_1 \frac{m}{\rho}.$$

În același interval de timp forța $F_2 = p_2 S_2$ care se exercită perpendicular pe secțiunea S_2 efectuează următorul lucru mecanic rezistent:

$$L_2 = -F_2 \cdot C_2 A_2 = -p_2 V = -p_2 \frac{m}{\rho}.$$

Lucrul mecanic al greutății masei de lichid transferate este:

$$L_3 = -mg (z_2 - z_1).$$

Egalînd variația energiei cinetice a masei m cu lucrul mecanic rezultat al forțelor ce se exercită asupra acestei mase, obținem:

$$(p_1 - p_2) \frac{m}{\rho} + mg (z_1 - z_2) = \frac{1}{2} m (v_2^2 - v_1^2), \quad (9.17)$$

$$p_1 + \rho g z_1 + \frac{1}{2} \rho v_1^2 = p_2 + \rho g z_2 + \frac{1}{2} \rho v_2^2 \quad (9.18)$$

Aceasta este ecuația lui Bernoulli (1700 – 1782). Ecuația lui Bernoulli se mai scrie și astfel

$$p + \frac{1}{2} \rho v^2 + \rho g z = \text{constant} = C. \quad (9.19)$$

Constanta C este aceeași de-a lungul liniei de curent și este independentă de timp. Termenii din relația (9.19) au toți dimensiunile unei presiuni. Pentru a-i distinge, în enunțuri se utilizează denumirile: „presiunea statică” pentru p , „presiunea dinamică” pentru $(1/2) \rho v^2$, „presiunea de poziție” pentru $\rho g z$, termen datorat energiei potențiale.

În cazul acțiunii fluidului asupra unui perete, pe un element de suprafață ΔS al peretelui se va exercita o forță de presiune $p \Delta S$, unde p se scoate din relația (9.19).

În cazul particular când tubul de curent este practic orizontal sau când energia potențială este neglijabilă, obținem:

$$p + \frac{1}{2} \rho v^2 = C. \quad (9.20)$$

9.4.4. Aplicații ale legii lui Bernoulli. Să considerăm un fluid care curge printr-o conductă cu secțiunea variabilă. În porțiunile înguste ale conductei prin care curge fluidul viteza acestuia crește; conform legii lui Bernoulli (9.20) crește și presiunea dinamică, de aceea trebuie să scadă presiunea statică, pentru ca suma lor să rămână constantă. Presiunea statică la gâtuitură poate scădea sub presiunea atmosferică, astfel apare fenomenul de aspirație (fig. 9.33) pe care se bazează unele aplicații practice, cum ar fi pulverizatorul (fig. 9.34),

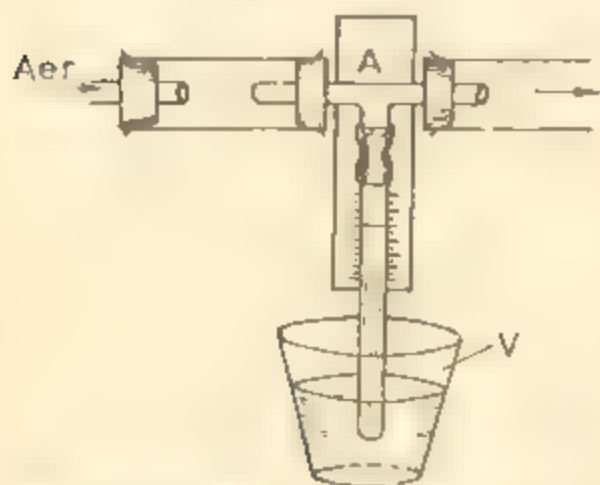


Fig. 9.33. Presiunea statică în porțiunea îngustă A a unei conducte poate să scadă sub valoarea presiunii atmosferice și provoacă aspirația lichidului din vasul V

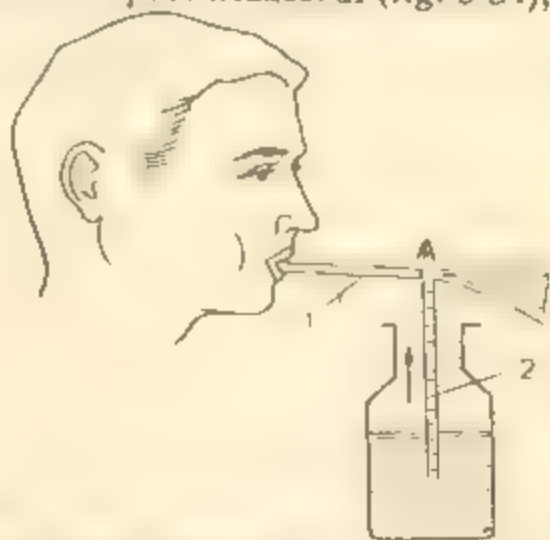


Fig. 9.34. Pulverizatorul. Datorită aerului suflat prin tubul 1, în punctul A crește presiunea dinamică și scade presiunea statică sub valoarea presiunii atmosferice. Datorită acestui fapt lichidul urcă în tubul 2 până în A unde curentul de aer îl prefăce în picături fine

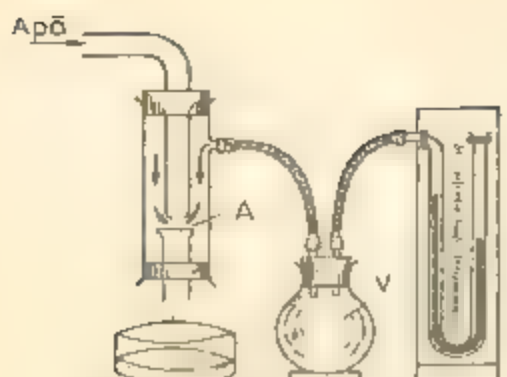


Fig. 9.35. Trompa de apă

lampa Bunsen, trompa de apă, sonda de presiune, debitmetrele etc.

a) *Trompa de apă* (fig. 9.35) funcționează astfel. În regiunea *A* presiunea dinamică crește, scade presiunea statică și ia naștere absorbția aerului din vasul *V*, aer care este antrenat de jetul de apă

b) *Sonda de presiune* este un tub manometru montat perpendicular pe o conductă prin care curge un fluid și care servește la determinarea presiunii statice a fluidului (fig. 9.36).

c) *Tubul Venturi* se folosește la măsurarea debitelor de volum ale fluidelor (fig. 9.37). Pentru măsurarea debitelor se înlocuiește o porțiune orizontală de conductă cu tubul Venturi cu secțiunea de intrare S_1 și secțiunea porțiunii mai înguste S_2 . În secțiunile S_1 și S_2 vitezele fluidului sînt v_1 și v_2 . Aplicînd relația (9.20), se obține

$$p_1 + \rho \frac{v_1^2}{2} = p_2 + \rho \frac{v_2^2}{2},$$

de unde

$$\Delta p = p_1 - p_2 = \frac{1}{2} (v_2^2 - v_1^2) \rho. \quad (9.21)$$

Folosind în relația (9.21) ecuația de continuitate (9.15), obținem:

$$\Delta p = \frac{1}{2} \rho \left[\left(\frac{S_1}{S_2} \right)^2 - 1 \right] v_1^2.$$

Debitul de volum este dat de relația:

$$Q_V = S_1 v_1 = S_1 \sqrt{\frac{2 \Delta p}{\rho \left[\left(\frac{S_1}{S_2} \right)^2 - 1 \right]}} = k \sqrt{\frac{\Delta p}{\rho}} \quad (9.22)$$

unde k este constanta aparatului

$$k = S_1 S_2 \sqrt{\frac{2}{S_1^2 - S_2^2}}. \quad (9.23)$$

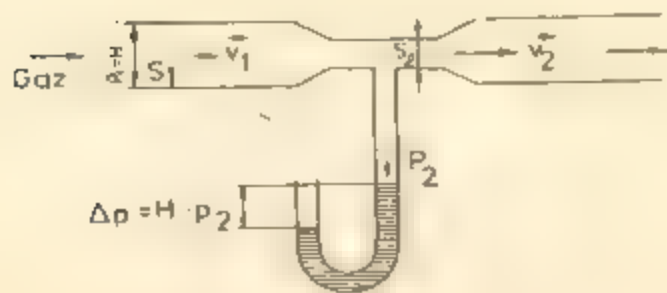


Fig. 9.36. Sonda de presiune.

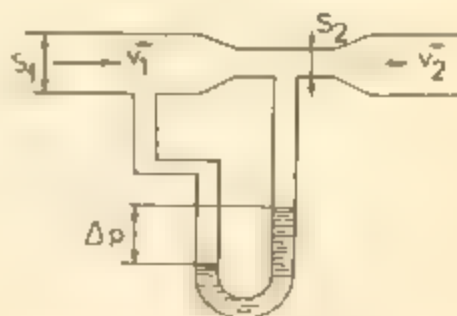


Fig. 9.37. Tubul Venturi.

9.4.5. Viscositatea. La viteze nu prea mari, curgerea fluidelor este laminară (în straturi), adică liniile de curent sînt bine determinate și nu se intersectează nicăieri între ele, fiecare particuță de fluid rămîne mereu în interiorul unui același tub de curent. La viteze mari, mișcarea devine turbulenta, neordonată, pozițiile de fluid se amestecă și se formează vârtejuri.

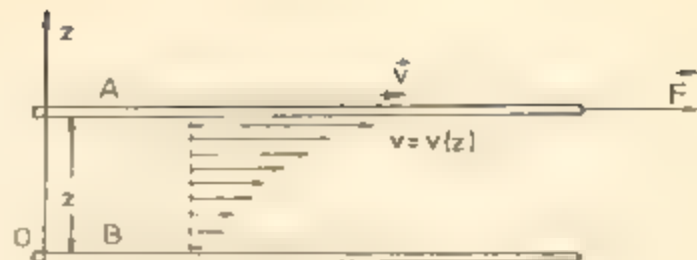


Fig. 9.38. Acțiunea testatului de hotel vine datorită viscozității

Să ne imaginăm două suprafețe solide plane A și B așezate la o anumită distanță z una de alta într-un fluid viscos în repaus (fig. 9.38). Acționăm cu o forță \vec{F} asupra suprafeței A deplasând-o cu o viteză \vec{v} constantă în raport cu suprafața B . În timp ce suprafața A se deplasează în propriul său plan, suprafața B are tendința să se deplaseze în aceeași direcție. Ne putem închipui că în interiorul tubului de curgere dintre cele două suprafețe plane există mai multe straturi paralele care alunecă unele față de altele, între care apar forțe de frecare internă sau de viscozitate. Stratul care se află în contact cu suprafața mobilă are aceeași viteză ca și aceasta, în timp ce lichidul în contact cu cealaltă suprafață se află în repaus. Viteza straturilor intermediare crește uniform de la o suprafață la alta, așa cum arată figura 9.38. Stratul cu viteză mai mare va căsa să alunecare stratul cu viteză mai mică peste care el alunecă, și invers stratul cu viteză mai mică nu-l să froneze stratul cu viteză mai mare cu care este în contact. Astfel, în aceste forțe de frecare $\vec{F}' = -\vec{F}$, care acționează în planurile de alunecare, a căror viteză de curgere variază de la un strat la altul.

Dacă grosimea z a stratului de fluid dintre cele două suprafețe crește, acționând asupra forței \vec{F} asupra suprafeței A , aceasta va căpta o viteză mai mare $v > v_0$. Dacă se mărește aria S a suprafeței A se constată o măsura creșterii vitezei plăcii, elnd este acționată de aceeași forță $\vec{F} \sim 1/S$. O creștere a modului din forței \vec{F} produce o creștere proporțională a vitezei $v \sim F$. Astfel viteza este proporțională cu forța F , cu distanța z și cu $1/S$. Putem scrie următoarea relație:

$$v = \frac{Fz}{\eta S},$$

sau

$$\eta = \frac{Fz}{Sv}. \quad (9.24)$$

unde η este un factor care depinde numai de natura fluidului și de temperatura sa. Acesta se numește **coeficientul de viscozitate al fluidului**.

Unitatea de măsură pentru coeficientul de viscozitate în SI se numește deapo se, după numele fizicianului Poiseuille.

Avînd în vedere relația (9.24) obținem:

$$1 \text{ decapoise} = 1 \text{ N} \cdot \text{s}/\text{m}^2$$

9.4.6. Forța de rezistență la înaintarea în fluide. Din experiența noastră ca călători, multe călători, sau ca pasageri în diverse vehicule, am constatat că aerul tinde să se opună mișcării corpurilor.

Mișcarea unui corp într-un fluid face să apară o *forță de rezistență*, care este întotdeauna opusă mișcării.

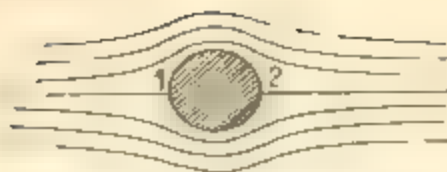


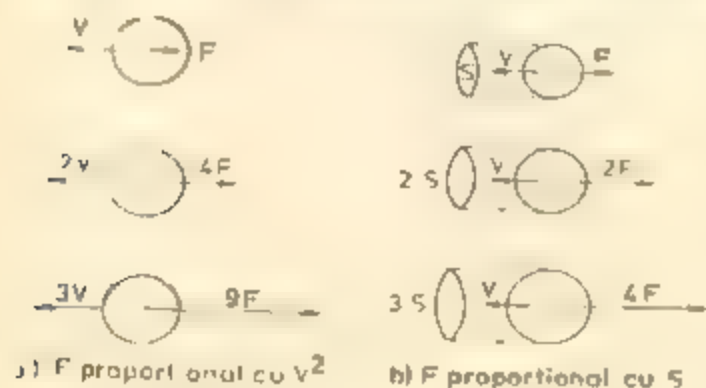
Fig. 9.39. Linii de curent în jurul unei sfere într-o curgere laminară.



Fig. 9.40. Formarea turbioanelor în spatele unui cilindru de revoluție într-o curgere laminară.

Să considerăm cazul unui corp care posedă o axă de simetrie și care se deplasează în aer cu o viteză constantă care are aceeași direcție ca și axa de simetrie a corpului. Rezistența pe care o opune aerul mișcării corpului se datorează forțelor de frecare și forțelor de presiune. Distingem cazurile următoare:

a) Dacă mobilul se deplasează în aer cu o viteză până la 0,5 m/s, perturbațiile datorate forțelor de presiune sînt neglijabile. Mișcarea este perturbată de forțele de frecare.



Forțele de frecare se datorează viscozității aerului. Acestea sînt tangente la suprafața corpului și admit o rezultantă care are ca dreaptă suport, axa de simetrie a mobilului, mîncîntă rezistență de frecare. În acest caz, rezistența este proporțională cu viteza. Fluidul aluneacă în lungul pereților corpului și curgerea lui se numește laminară (fig. 9.39).

b) Dacă mobilul se deplasează cu o viteză cuprinsă între 1 m/s și 280 m/s, rezistența de frecare (datorată viscozității aerului) este mică în raport cu rezistența datorată forțelor de presiune. La aceste viteze, se produce în fața mobilului o zonă de suprapresiune și în spatele mobilului o zonă de depresiune, care dă naștere turbioanelor (fig. 9.40). În acest caz rezistența se datorează diferenței dintre forțele de presiune din fața și din spatele mobilului.

Studii experimentale, în tunele aerodinamice, au condus la concluzia că rezistența de înaintare în aer este proporțională cu

— pătratul vitezei mobilului (fig. 9.41, a);

— densitatea aerului ρ , în condițiile experimentului;

— aria S a suprafeței obținută prin proiectarea corpului pe un plan perpendicular pe vectorul vitezei numită contur aparent (fig. 9.41, b)

Rezistența nu depinde de forma corpului.

Fig. 9.41. Forța de rezistență a obiectelor aflate într-un fluid în mișcare este proporțională cu: a) pătratul vitezei fluidului; b) cu secțiunea transversală S a corpului. Depinde, de asemenea, de forma corpului (c) și de densitatea fluidului.

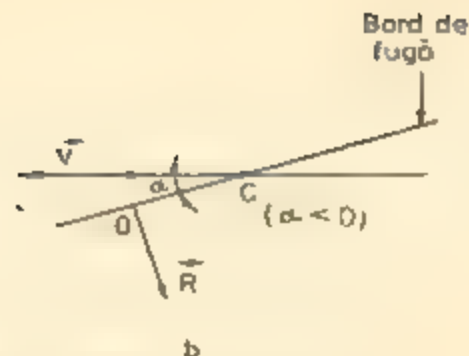
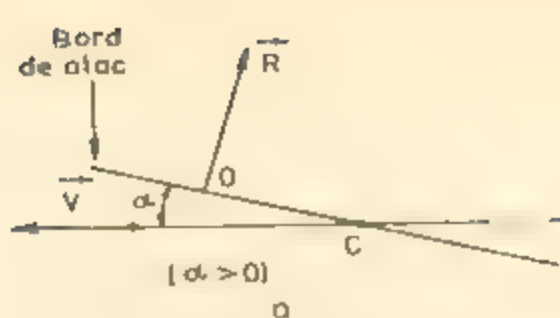


Fig. 9.42 a) Unghiul de atac al unei plăci plane b) bordul de fugă al unei plăci plane.

Mărimea forței de rezistență este dată de relația următoare.

$$R = \frac{1}{2} C S \rho v^2. \quad (9.25)$$

Factorul 1/2 este introdus din considerente teoretice. Coeficientul de proporționalitate C , este o constantă adimensională. Acest coeficient depinde de forma corpului și se numește și coeficient de formă în regim turbulent.

9.4.2 Zborul avionului. Să considerăm aripa unui avion de formă unei plăci plane cu o lungimile, care se mișcă într-o atmosferă caldă cu viteza v . Fie α unghiul pe care-l face placa cu vectorul vitezei v (fig. 9.42). Unghiul α se numește *unghi de atac*. Partea frontală a plăcii se numește *bord de atac*, iar partea diametral opusă se numește *bord de fugă* (fig. 9.42). Experiența arată că asupra plăcii acționează un sistem de forțe care adună o rezultantă R . Aceasta satisface următoarele condiții:

- are punctul de aplicație O , la o treime de bordul de atac;
- are direcția normală la placă;
- are un astfel de sens încât tinde să mărească unghiul α .

Intensitatea forței R este proporțională cu densitatea aerului ρ , suprafața plăcii S , unghiul de atac și pătratul vitezei:

$$R = C \rho a S v^2. \quad (9.26)$$

Această formulă este valabilă pentru unghiuri mici de atac și pentru viteze care nu depășesc 300 km/h.

Proiectăm forța R pe o axă paralelă cu viteza și pe o axă perpendiculară pe viteza (fig. 9.43).

Componenta $P = R \cos \alpha$ se numește *portanța aripai* (sau forță portantă) care învinge greutatea avionului. Componenta $T = R \sin \alpha$ se numește *rezistența frontală* și trebuie învinsă de către forța de tracțiune a avionului.

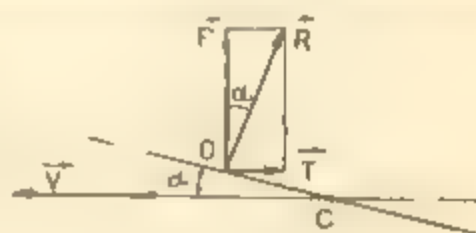


Fig. 9.43. Forța portantă

PROBLEMĂ REZOLVATĂ

Un rezervor cu apă este prevăzut cu un orificiu de secțiune S_2 foarte mică în raport cu secțiunea S_1 a rezervorului. Orificiul este construit astfel încât ghidează curgerea. Să se calculeze viteza de curgere a apei prin orificiu, neglijând frecarea (fig. 9.44, a și b). Nivelul apei din rezervor se menține constant la valoarea $h = 1,8$ m ($g = 10$ m/s²).

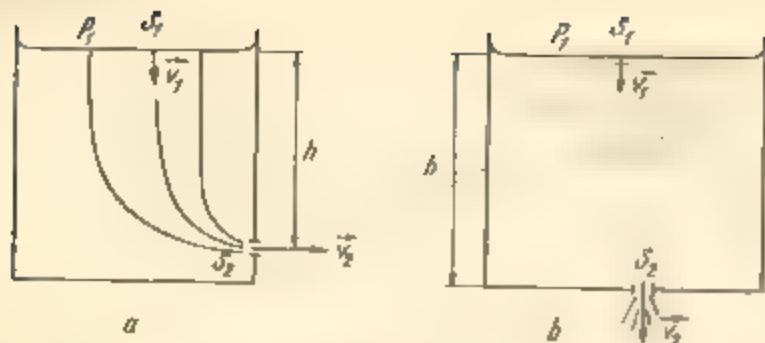


Fig. 9.44. a și b. La problema rezolvată.

Rezolvare. Notăm cu p_0 presiunea atmosferică, cu v_1 viteza lichidului la nivelul său superior și cu v_2 viteza lichidului la nivelul orificiului. Mișcările fluidului (presupus ideal), i se aplică legea lui Bernoulli:

$$p_0 + \frac{\rho v_1^2}{2} + \rho gh = p_0 + \frac{\rho v_2^2}{2}.$$

Ținând seamă de ecuația de continuitate $S_1 v_1 = S_2 v_2$, obținem:

$$v_2 = \frac{\sqrt{2gh}}{\sqrt{1 - \frac{S_2^2}{S_1^2}}}.$$

Cum secțiunea S_2 este foarte mică în raport cu S_1 , avem:

$$v_2 = \sqrt{2gh} = 6 \text{ m/s}.$$

ÎNTREBĂRI. EXERCIIII. PROBLEME

1. Un balon de cauciuc umflat cu hidrogen urcă în aerul atmosferic. Acest fapt poate fi o probă a existenței forțelor de presiune datorate aerului atmosferic? Justificați răspunsul.

R: da.

2. Un pahar umplut cu apă până la refuz este acoperit cu o foaie de hirtie. Se întoarce paharul cu gura în jos moperind în acest timp foaia cu podul palmei. Foaia rămâne lipită de gura paharului și apa nu curge (fig. 9.45). Este aceasta o probă a existenței presiunii atmosferice?

R: da.



3. Se cufundă un corp într-un vas cu apă, astfel încît sub corp mai rămîne un strat foarte subțire de apă. Să va exercita, în acest caz, o presiune hidrostatică orientată de jos în sus? Justificați răspunsul.

R: da.

4. Dacă o persoană se așază în apropierea unui tren care se deplasează cu o viteză oarecare, există riscul ca persoana să cadă sub tren?

R: da.

5. Un remorcher trage două șlepurî (fig. 9.46). Explicați de ce cele două șlepurî au tendința să se apropie.

Fig. 9.45. Pentru exercițiul 2.



Fig. 9.46. Pentru exercițiul 5.

6. Două mingi de cauciuc se suspendă așa cum se arată în figura 9.47. Dacă între cele două mingi se suflă aer, acestea se vor apropia. Explicați fenomenul.
7. Se realizează dispozitivul din figura 9.48 alcătuit dintr-un disc ușor A făcut din carton și așezat în apropierea unui alt disc B prevăzut cu un orificiu pus în legătură cu un tub C . Dacă se suflă aer prin tubul C , discul A se apropie de discul B . De ce?
8. Un manometru cu lichid se compune dintr-un tub în formă de U care are o ramură deschisă iar cealaltă este legată la un recipient care conține un gaz sub o anumită presiune. Tubul se poate umple cu mercur ($\rho_1 = 13,6 \text{ g/cm}^3$), apă ($\rho_2 = 1 \text{ g/cm}^3$) sau cu ulei ($\rho_3 = 0,6 \text{ g/cm}^3$). Să se discute avantajele și dezavantajele utilizării fiecărui lichid. În ce condiții, fiecare dintre cele trei lichide, va fi mai util?
9. Un tub Torricelli are o lungime $l = 1 \text{ m}$. Se înclină pînă cînd se umple complet cu mercur. În acest moment el face un unghi $\alpha = 49^\circ 10'$ cu nivelul liber al mercurului din cuvă. Să se determine presiunea atmosferică în acest loc.

$$R: H = \rho g l \sin \alpha = 756,6 \text{ mm col. Hg.}$$

10. O bucată de lemn cu densitatea $\rho_1 = 700 \text{ kg/m}^3$ și cu masa $m_1 = 0,250 \text{ kg}$, este prinsă de o bucată de plumb. Corpul format se introduce în apă ($\rho = 1000 \text{ kg/m}^3$). Să se calculeze greutatea plumbului pentru ca:
 - a) corpul format să plutească în echilibru în apă;
 - b) numai $f = 8/10$ din volumul total să fie cufundat în apă. Densitatea plumbului este $\rho_2 = 11350 \text{ kg/m}^3$, iar $g = 10 \text{ m/s}^2$.

$$R: (m_1 + m_2)g = \left(\frac{m_1}{\rho_1} + \frac{m_2}{\rho_2} \right) \rho g : a) G_2 = 1,18 \text{ N}; b) G_2 = 0,88 \text{ N}$$

11. Densitatea apei de mare este de $1,026 \text{ g/cm}^3$. Care este presiunea datorată apei de mare la o adîncime de 1 km ?

$$R: p = \rho g h = 10,055 \cdot 10^4 \text{ N/m}^2.$$



Fig. 9.47. Pentru exercițiul 6.

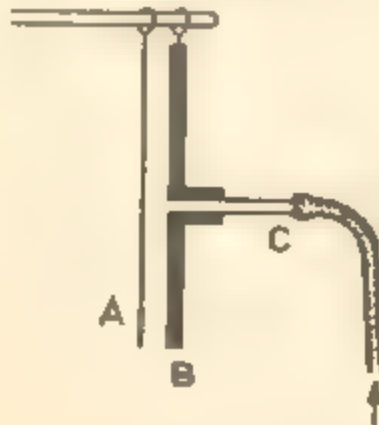


Fig. 9.48. Pentru exercițiul 7.

12. Pistonul mic al unei prese hidraulice are un diametru $d_1 = 1$ cm și este supus acțiunii unei forțe $F_1 = 10$ N. Care trebuie să fie diametrul pistonului mare d_2 pentru a suporta o sarcină $F_2 = 10\,000$ N?

$$R: d_2 = d_1 \sqrt{F_2/F_1} = 31,6 \text{ cm.}$$

13. Un corp din fontă cu masa $m = 20$ kg și densitatea $\rho = 7\,500$ kg/m³ poate să plutească pe suprafața mercurului de densitate $\rho_1 = 13\,600$ kg/m³. Calculați volumul porțiunii din corp cufundate în mercur și volumul total al corpului.

$$R: V_1 = m/\rho_1 = 1\,470 \text{ cm}^3; V = 2\,667 \text{ cm}^3.$$

14. O sferă din aluminiu are greutatea în aer $G = 2,58$ N. Greutatea sa aparentă în apă nu este decât $G_a = 1$ N. Demonstrați că sfera este goală în interior și calculați volumul cavității. Densitatea aluminiului $\rho = 2\,580$ kg/m³ ($g = 10$ m/s²).

$$R: G_a = G - (V_1 + G/\rho g) \cdot \rho_0 g; V_1 = 58 \text{ cm}^3$$

15. Masa unui vapor este $m = 5\,800$ tone. Să se calculeze volumul părții cufundate în apă de mare cu densitatea $\rho_1 = 1\,028$ kg/m³, și apoi în apă dulce cu densitatea $\rho_2 = 1\,000$ kg/m³.

$$R: V_1 = m/\rho_1 = 56\,226 \text{ m}^3; V_2 = m/\rho_2 = 57\,800 \text{ m}^3$$

16. Un tub Torricelli este înclinat cu $\alpha = 45^\circ$. Cu cât se deplasează mercurul în tub, când presiunea atmosferică variază de la $H_1 = 758$ la $H_2 = 764$ mm coloană de mercur?

$$R: \Delta h = (\Delta H)/\rho g \cos \alpha = 8,6 \text{ mm}$$

17. Printr-o conductă orizontală, cu secțiunea transversală variabilă, curge apă (fig. 9.49). Să se determine debitul de volum al apei ce curge prin conductă. Se dau secțiunile transversale $S_1 = 10^{-2}$ m², $S_2 = 2 \cdot 10^{-2}$ m² și diferența de nivel dintre coloanele de lichid din sondele de presiune montate pe conductă $\Delta h = 0,2$ m.

$$R: Q_V = S_1 S_2 \sqrt{2g \Delta h / (S_2^2 - S_1^2)} = 2,29 \cdot 10^{-3} \text{ m}^3/\text{s}$$

18. Să se afle cu ce viteză scade nivelul apei dintr-un rezervor cu aria secțiunii transversale $S_1 = 1$ m², dacă viteza de curgere a apei printr-un orificiu, făcut în peretele lateral al rezervorului, este $v = 2$ m/s. Diametrul orificiului este de $d = 2$ cm.

$$R: v_2 = \pi d^2 v / 4 S_1 = 6,28 \cdot 10^{-4} \text{ m/s.}$$

19. Să se determine viteza de curgere a bioxidului de carbon printr-o conductă, dacă prin secțiunea transversală a conductei se scurge în timpul $t = 30$ minute o masă $m = 0,51$ kg. Densitatea gazului este $\rho = 7,5$ kg/m³ și diametrul conductei este $d = 2$ cm.

$$R: v = 4 m / \rho \pi d^2 t = 0,12 \text{ m/s}$$

20. Apa se scurge dintr-un tub cu diametrul interior $d = 2$ cm cu debitul de volum $Q_V = 8$ litri/min. Să se determine viteza apei în tub.

$$R: v = 4 Q_V / \pi d^2 = 42,4 \text{ cm/s.}$$



Fig. 9.49. La problema 17

21. Un lichid cu densitatea $\rho = 900$ kg/m³, curge printr-o conductă cu diametrul $d = 6$ cm. Într-o secțiune unde diametrul scade de la $d_1 = 4,2$ cm, presiunea este cu $1\,600$ N/m² mai mică decât presiunea din cealaltă secțiune a conductei. Să se calculeze viteza lichidului în secțiunea conductei de diametru d .

$$R: v = \sqrt{2 \Delta p / \rho [(d/d_1)^4 - 1]} = 1,1 \text{ m/s}$$

10

UNDE ELASTICE NOTIUNI DE ACUSTICA

10.1 OSCILATORUL LINIAR ARMONIC COMPUNEREA OSCILAȚIILOR

10.1.1. Mișcarea oscilatorie

EXPERIMENTE

1. De un fir lung și inextensibil, suspendăm un corp (bilă) pe care-l lovim astfel încât să nu imprimăm o deviație prea mare față de poziția de repaus (fig. 10.1, *a*). Un astfel de sistem mecanic este numit *pendul gravitațional*.

2. De un resort de oțel, suspendăm un corp și prin intermediul lui tragem resortul în jos (fig. 10.1, *b*). Sistemul începe să se miște în sus și în jos. Un astfel de sistem este numit *pendul elastic*.

3. Fixăm o bandă de oțel la unul din capete și apoi o deviem din poziția inițială ca în figura 10.1, *c*. Sistemul se numește *pendul cu arc lamelar*.

4. Turnăm apă într-un tub îndoit din sticlă, cu diametrul de câțiva cm. Astupăm unul dintre capete cu un dop de plută și suflăm aer la celălalt capăt. În acest fel coloana de apă este pusă în mișcare (fig. 10.1, *d*).

5. Pe marginea unui disc fixăm într-o poziție oarecare o bilă. Rotim discul cu viteză unghiulară constantă. Cu ajutorul unei lămpi de proiecție, proiectăm pe un ecran mișcarea bilei de pe disc (fig. 10.1, *e*). Vom constata că umbra bilei are o mișcare alternativă, dus-întors.

În toate cazurile studiate mai sus are loc o mișcare continuă de o parte și de alta (dus-întors) a poziției inițiale (de repaus) a corpului (sau a umbrei sale în cazul experimentului 5).

Această mișcare prezintă următoarele caracteristici:

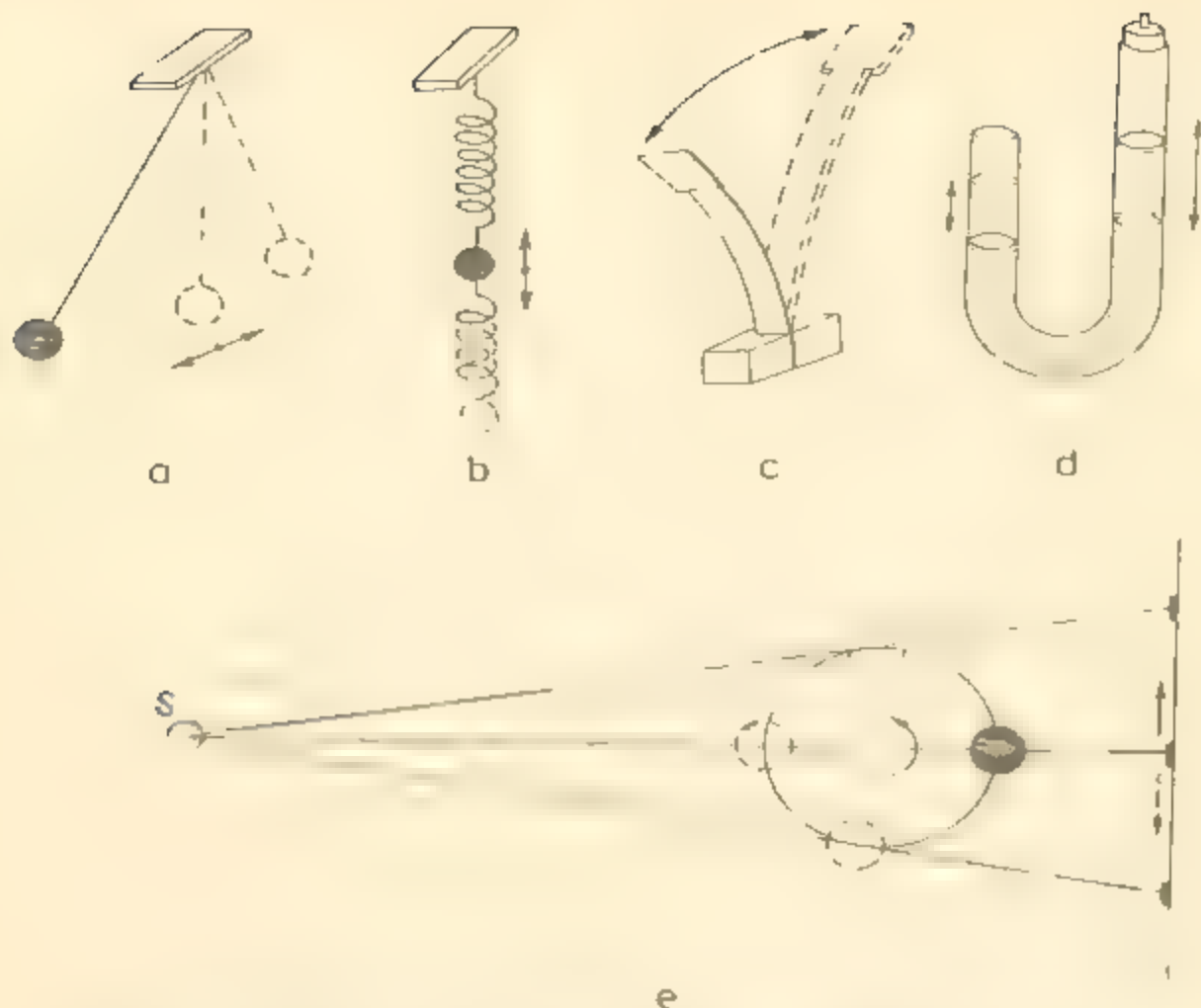


Fig. 10.1. Exemple de oscilatori: a) pendul gravitațional, b) pendul elastic, c) pendul cu arc lamelar, d) coloană de apă oscilantă, e) proiecția pe un ecran a unei mișcări circulare uniforme

a) după intervale de timp egale, procesul individual de mișcare, se repetă, este un proces periodic;

b) mișcarea are loc de fiecare dată simetric față de o anumită poziție, poziția de repaus sau de echilibru a oscilatorului

Definiție: Mișcarea periodică este o mișcare care se repetă după intervale de timp egale, numite perioade.

Pentru studiul mișcării oscilatorii se definesc următoarele mărimi fizice: *Perioada mișcării oscilatorii T , reprezintă timpul necesar efectuării unei oscilații complete.*

Dacă notăm cu n numărul de oscilații efectuate de un oscilator în intervalul de timp t atunci avem:

$$T = \frac{t}{n}$$

Unitatea de măsură în S.I. este:

$$[T]_{SI} = 1s.$$

Frecvența mișcării ν este numărul de oscilații efectuate în unitatea de timp

$$\nu = \frac{n}{t}.$$

Unitatea de măsură pentru frecvență în S.I. este hertzul (Hz):

$$[\nu]_{SI} = 1s^{-1} = 1Hz.$$

Din relațiile de definiție ale frecvenței și perioadei rezultă relația:

$$\nu T = 1.$$

Elongația mișcării notată cu x sau y reprezintă deplasarea (depărtarea) oscilatorului față de poziția de repaus la un moment dat.

Din definiția elongației rezultă că ea variază în timp. Această mărime are o valoare, o direcție și un sens, deci poate fi reprezentată printr-un vector \vec{x} sau \vec{y} . În S.I. unitatea de măsură pentru elongație este metrul

$$[x]_{SI} = 1m.$$

Amplitudinea mișcării A este elongația maximă x_{max} pe care o poate avea oscilatorul în cursul oscilației.

Dacă în experimentele anterioare 1, 2, 3, 4, se lasă sistemele (corpurile) să oscileze un interval de timp mai mare, se observă că amplitudinea mișcării oscilatorului nu rămâne constantă în timp. În experimentul 5, însă, amplitudinea mișcării (a proiecției mișcării) rămâne neschimbată. Distingem deci două cazuri:

a) mișcarea oscilatorie (oscilația) este neamortizată, amplitudinea rămâne neschimbată de la o oscilație la alta;

b) mișcarea oscilatorie (oscilația) este amortizată, amplitudinea scade de la o oscilație la alta.

10.1.2. Oscilatorul liniar armonic. Să analizăm un resort elastic care are lungimea l în stare nedeformată (fig. 10.2, a). După legea lui Hooke deformarea unui resort elastic este proporțională cu forța care acționează asupra resortului. Forța elastică care ia naștere în resort este, de asemenea, proporțională cu deformarea resortului dar de sens opus acesteia. Avem, deci:

$$\vec{F}_e = -k\vec{y} \text{ sau } F_e = -ky,$$

unde sînt considerate pozitive valorile citite începînd de la punctul cel mai de jos al resortului netensionat, în jos.

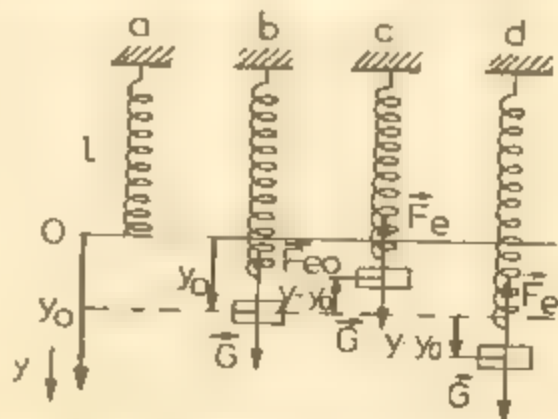


Fig. 10.2. Oscilator armonic liniar.

Dacă se suspendă de resort un corp cu masa m , el se va alungi cu y_0 datorită forței $\vec{G} = m\vec{g}$ (fig. 10.2, b) și de aici rezultă:

$$\vec{G} = m\vec{g} = k\vec{y}_0 = -\vec{F}_e \quad (10.1)$$

relație valabilă pentru poziția de repaus a pendulului elastic.

Scoțind pendulul din poziția de repaus el începe să oscileze vertical, forța \vec{G} îndreptată în jos își păstrează valoarea, în timp ce forța elastică \vec{F}_e din resort variază în funcție de alungirea y a acestuia (fig. 10.2, c, d). Suma vectorială a celor două forțe sau diferența valorilor lor dă ca rezultantă forța care la orice moment tinde să aducă pendulul spre poziția de repaus. Se obține pentru această forță expresia:

$$\vec{F} = \vec{F}_e + \vec{G} = -k\vec{y} + k\vec{y}_0 = -k(\vec{y} - \vec{y}_0)$$

sau

$$F = -k(y - y_0). \quad (10.2)$$

Așadar forța care acționează asupra pendulului elastic în timpul oscilației este proporțională cu deplasarea (depărtarea) față de poziția de repaus, și de sens contrar acesteia adică este o forță de tip elastic.

Un oscilator este un sistem fizic care poate să oscileze în jurul unei poziții de echilibru. Dacă oscilația este periodică și sinusoidală, oscilatorul este un oscilator armonic. Dacă oscilația este periodică și sinusoidală, oscilatorul este un oscilator armonic.

Oscilatorul liniar armonic este un oscilator ideal.

Pentru a stabili legea mișcării oscilatorului armonic, dependența elongației y de timp, $y = y(t)$, ne vom folosi de mișcarea circulară uniformă a unui punct material și de proiecția acestei mișcări pe unul din diametrele traiectoriei.

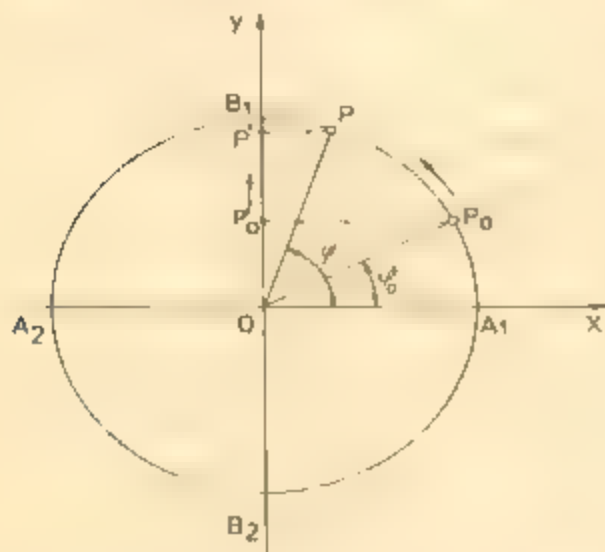


Fig. 10.3. Proiecția ortogonală a mișcării circulare uniforme a punctului P pe unul din diametrele traiectoriei (B_1B_2).

Să urmărim, în același timp, mișcarea circulară uniformă cu viteza unghiulară ω , pe un cerc de rază $R = A$, a unui punct material P de masă m și mișcarea proiecției sale P' , proiecție ortogonală pe axa Oy (diametrul B_1B_2 , în figura 10.3). În timp ce P face o rotație completă plecând din A_1 în sensul indicat pe figură, proiecția sa P' efectuează o oscilație cu amplitudine constantă A , plecând din O așa cum arată figura 10.4. Se observă următoarele: compo-

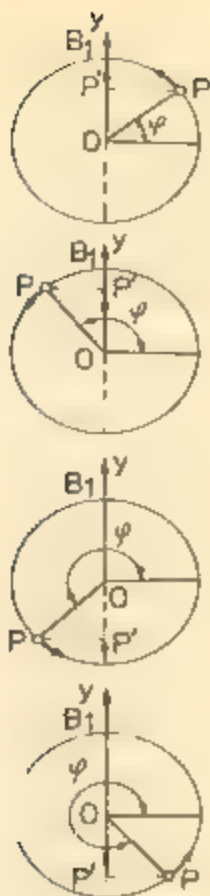
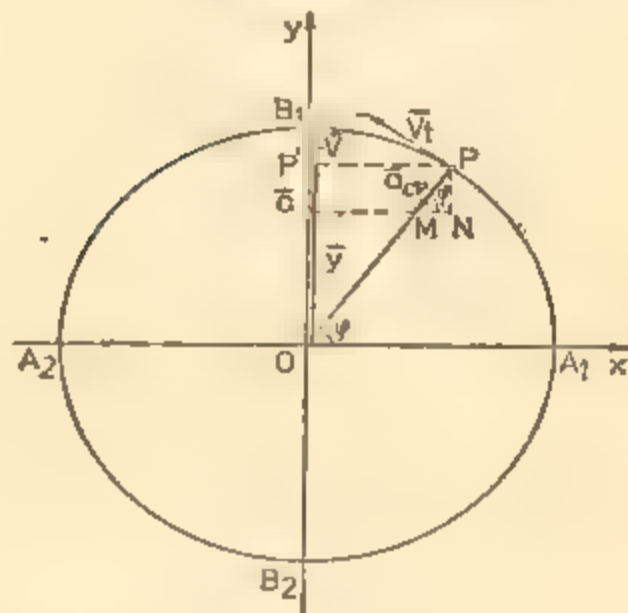


Fig. 10.4. Mișcarea concomitentă a punctului P și a proiecției sale P' .

Fig. 10.5. Mișcarea oscilatorie a punctului P' poate fi descrisă ca proiecția pe diametrul B_1B_2 a mișcării circulare a punctului P .



nenta pe axa y a deplasării lui P este totdeauna aceeași cu deplasarea lui P' ; componenta pe axa y a vitezei lui P este totdeauna aceeași cu viteza lui P' ; componenta pe axa y a accelerației lui P este totdeauna aceeași cu accelerația lui P' . Deci mișcarea oscilatorie a punctului P' poate fi descrisă ca proiecția pe diametrul Oy a mișcării circulare uniforme a punctului P . Să arătăm că această mișcare oscilatorie este o mișcare oscilatorie armonică.

Se știe că în mișcarea circulară uniformă accelerația centripetă \vec{a}_{cp} are valoarea $\omega^2 R$. Componenta sa pe diametrul B_1B_2 (fig. 10.5) reprezintă accelerația mișcării punctului P' și are valoarea :

$$a = -\omega^2 R \sin \varphi. \quad (10.3)$$

Din figura 10.5 se observă că putem scrie :

$$y = R \sin \varphi. \quad (10.4)$$

În acest caz relația (10.3) devine :

$$a = -\omega^2 y \text{ sau } \vec{a} = -\omega^2 \vec{y} \quad (10.5)$$

unde semnul minus semnifică faptul că accelerația \vec{a} și elongația \vec{y} au sensuri opuse.

Punctul P' se mișcă la fel ca și când ar fi un punct material de masă m și asupra lui ar acționa o forță F care să-i imprime accelerația dată de (10.5).

$$F = ma = -m\omega^2 y. \quad (10.6)$$

Pentru valori determinate ale masei m și ale vitezei unghiulare constante ω , produsul $m\omega^2 = k$ și relația (10.6) devine:

$$F = -ky. \quad (10.6')$$

Așadar mișcarea punctului P' se face ca și în cazul în care forța sub acțiunea căreia are loc mișcarea este o forță de tip elastic și deci acest punct material descrie o mișcare oscilatorie armonică.

Știind că $\varphi = \omega t$ și că $R = A$ este amplitudinea mișcării oscilatorii, relația (10.4) devine:

$$y = A \sin \omega t. \quad (10.7)$$

Această relație reprezintă ecuația elongației oscilatorului liniar armonic, adică reprezintă legea de mișcare a oscilatorului, dependența $y = y(t)$.

Dacă proiecția mișcării punctului P se face pe diametrul A_1A_2 atunci se obține pentru ecuația elongației expresia:

$$x = A \cos \omega t.$$

Putem formula acum o altă definiție a mișcării oscilatorii armonice:

orice punct material care se mișcă rectiliniu față de un S.R. astfel încât legea de mișcare este de forma

$$y = A \sin \omega t \text{ sau } x = A \cos \omega t,$$

descrie o mișcare oscilatorie armonică.

Ținând seama de relația (10.7) și de relația (10.5) expresia accelerației devine acum:

$$a = -\omega^2 A \sin \omega t. \quad (10.5')$$

Componenta vitezei liniare $v_t = \omega A$, pe diametrul B_1B_2 reprezintă viteza de mișcare a lui P' , adică viteza mișcării oscilatorii armonice

$$v = \omega A \cos \omega t. \quad (10.8)$$

Faza și perioada mișcării oscilatorii armonice. Argumentul funcției $y = A \sin \omega t$, $\varphi = \omega t$, se numește faza mișcării oscilatorii. Faza se măsoară în radiani și este una dintre mărimile de stare ale oscilatorului. Dacă în figura 10.3 oscilatorul P' ar fi fost la momentul inițial în P'_0 (corespunzător punctului P_0 de pe cerc) faza la momentul $t_0 = 0$ ar fi fost φ_0 . Atunci, la momentul t faza este $\varphi = \varphi_0 + \omega t$. Ecuația elongației se va scrie în acest caz:

$$y = A \sin (\omega t + \varphi_0). \quad (10.9)$$

Pentru mișcarea oscilatorie mărimea ω se numește pulsație și reprezintă viteza de variație a fazei. Această mărime se măsoară în S.I. în rad/s

Ca și la mișcarea circulară, între frecvența ν , perioada T și pulsația ω , mărimi caracteristice mișcării oscilatorii, sint valabile relațiile:

$$\omega = \frac{2\pi}{T}, \quad \omega = 2\pi\nu. \quad (10.10)$$

Din relația $k = m\omega^2$ ținând seama de relația (10.10) obținem:
 $k = m \cdot 4\pi^2/T^2$ de unde rezultă:

$$T = 2\pi \sqrt{\frac{m}{k}}. \quad (10.11)$$

Această relație reprezintă perioada oscilatorului liniar armonic și ea arată că perioada unui oscilator depinde de proprietățile sale inerțiale, prin masa m , și de cele elastice, prin constanta elastică k și nu depinde de condițiile inițiale în care se află oscilatorul.

EXPERIMENT

Cu un montaj ca cel din figura 3.65 se pot face determinări ale perioadei și frecvenței unui pendul elastic, evident neglijând frecările interne și cele cu aerul. Se pune în oscilație pendulul, trăgându-l ușor cu mina și apoi lăsându-l liber. Se numără oscilațiile n efectuate într-un interval de timp dat, t . Se modifică masa pendulului m prin adăugarea de discuri cu masa cunoscută.

Se pune din nou pendulul în stare de oscilație și se numără oscilațiile efectuate într-un timp determinat. Datele obținute se trec într-un tabel de forma celui de mai jos:

Dinamometrul 1 N							Dinamometrul 2,5 N					
Nr. crt.	Nr. de oscilații	t (s)	m (kg)	T (s)	T_{mediu} (s)	k N/m	Nr. crt.	t (s)	m (kg)	T (s)	T_{mediu} (s)	k (N/m)

Cu datele obținute studiați dependențele $T = f(\sqrt{m})$ și $T = f\left(\frac{1}{\sqrt{k}}\right)$. Ați putea indica eventualele surse de erori? Ce ar trebui făcut pentru a măări precizia determinărilor?

10.1.3. Energia oscilatorului armonic. După cum știți, un punct material de masă m , sub acțiunea unei forțe elastice $F = -ky$, descrie o mișcare oscilatorie armonică. La un moment dat t , elongația este $y = A \sin \omega t$ iar viteza mișcării $v = \omega A \cos \omega t$ (considerind $\varphi_0 = 0$).

Cum energia de poziție în câmpul forțelor elastice este $E_p = \frac{ky^2}{2}$, pentru oscilatorul liniar armonic avem:

$$E_p = \frac{1}{2} ky^2 = \frac{1}{2} kA^2 \sin^2 \omega t, \quad (10.12)$$

iar pentru energia cinetică a oscilatorului:

$$E_c = \frac{1}{2} mv^2 = \frac{1}{2} m\omega^2 A^2 \cos^2 \omega t = \frac{1}{2} kA^2 \cos^2 \omega t \quad (10.13)$$

(pentru că $m\omega^2 = k$).

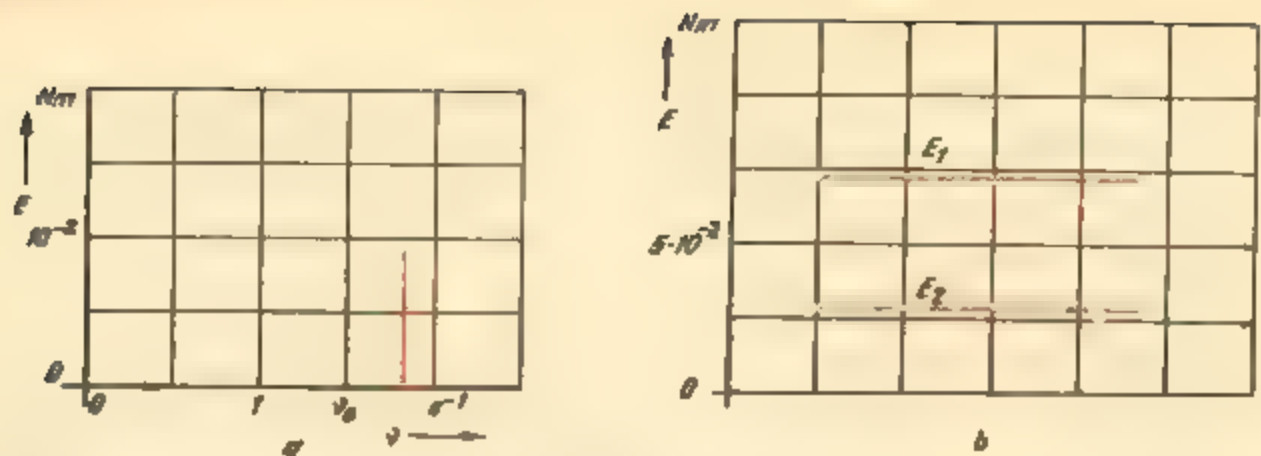


Fig. 10.6. a) Spectrul unei oscilații; b) schema nivelelor de energie a două oscilații.

Energia mecanică totală a oscilatorului liniar armonic este:

$$E = E_p + E_k = \frac{1}{2} k A^2 (\sin^2 \omega t + \cos^2 \omega t) = \frac{1}{2} k A^2 = \frac{1}{2} m \omega^2 A^2 = 2\pi^2 \nu^2 A^2 m. \quad (10.14)$$

Din relația 10.14 deducem că *energia totală a oscilatorului liniar armonic este constantă în timp* — este un invariant.

Se folosesc două moduri de reprezentare a energiei unui oscilator:

a) se reprezintă grafic energia în funcție de frecvență (energia pe ordonată și frecvența pe abscisă). Se obține astfel un *spectru* al procesului respectiv. O oscilație armonică se reprezintă printr-o *linie spectrală* (fig. 10.6, a);

b) printr-o *schemă de nivele de energie*. Într-o schemă de nivele de energie, energia oscilatorului se reprezintă printr-o dreaptă orizontală situată la o înălțime corespunzătoare valorii energiei (fig. 10.6, b). Se spune că oscilatorul se află pe un anumit *nivel de energie*.

PROBLEME REZOLVATE

1. Un corp de masă m fixat de un resort de constantă k este deplasat cu distanța x_0 față de poziția de echilibru sub acțiunea unei forțe F . Lăsat apoi liber, corpul începe să oscileze armonic (fig. 10.7). Se cer: a) constanta elastică a resortului presupunând valorile lui F și x_0 cunoscute; b) perioada oscilațiilor; c) viteza maximă atinsă de corp. (Se neglijează frecările.)

Rezolvare a) Alungirea resortului pe distanța x_0 este produsă de forța F . Deci $k = F/x_0$.

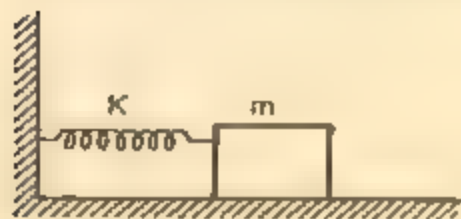


Fig. 10.7. Pentru problema rezolvată 1.

b) Din $k = m\omega^2$ obținem $\omega = \sqrt{\frac{k}{m}}$ și

$$T = 2\pi \sqrt{\frac{m}{k}}.$$

c) Viteza oscilatorului este dată de relația $v = A\omega \cos(\omega t + \varphi)$ și este maximă când $\cos(\omega t + \varphi) = 1$ deci $v_{\max} = A\omega$ unde $A = x_0$ și $\omega = \sqrt{k/m}$ și deci $v_{\max} = x_0 \sqrt{k/m}$.

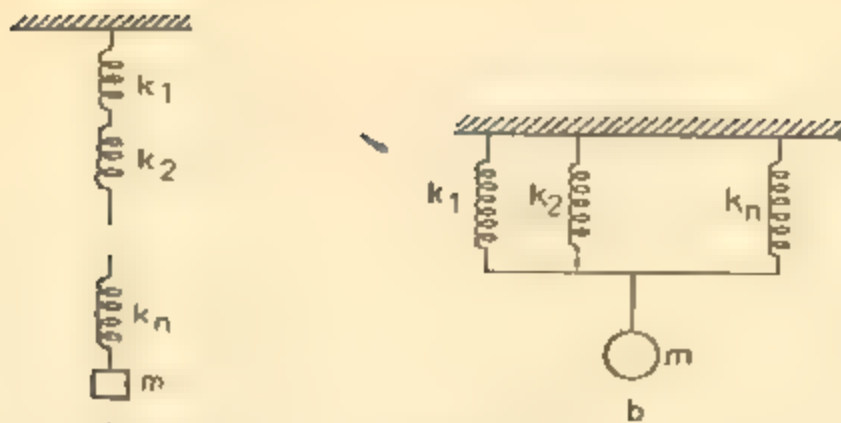


Fig. 10.8. Pentru problema rezolvată 2.

2. Să se calculeze perioada de oscilație a unui corp de masă m suspendat prin intermediul mai multor resorturi de constante k_1, k_2, \dots, k_n , cuplate: a) în serie, b) în paralel.

Rezolvare a) Forța elastică care acționează asupra întregului sistem este

$$F = k_{es} \cdot x$$

unde k_{es} este constanta echivalentă a resorturilor legate în serie. Se observă, din figura 10.8, a, că fiecare resort va avea o deplasare proprie x_i . Deci suma tuturor deplasărilor va fi tocmai deplasarea întregului sistem de resorturi.

$$x_1 + x_2 + \dots + x_n = x$$

Dar (neglijând masele resorturilor) avem:

$$x_1 = \frac{F}{k_1}, \quad x_2 = \frac{F}{k_2}, \quad x_n = \frac{F}{k_n} \quad \text{și} \quad x = \frac{F}{k_{es}},$$

și înlocuind în relația deplasărilor obținem

$$\frac{F}{k_1} + \frac{F}{k_2} + \dots + \frac{F}{k_n} = \frac{F}{k_{es}}.$$

După simplificare obținem,

$$\frac{1}{k_{es}} = \frac{1}{k_1} + \frac{1}{k_2} + \dots + \frac{1}{k_n} = \sum_{i=1}^n \frac{1}{k_i}.$$

Ștind că $m\omega^2 = k_{es}$, rezultă:

$$\omega = \sqrt{\frac{k_{es}}{m}} \quad \text{și} \quad T = \frac{2\pi}{\omega} = 2\pi \sqrt{\frac{m}{k_{es}}} = 2\pi \sqrt{m \sum_{i=1}^n \frac{1}{k_i}}.$$

b) În acest caz din figura 10.8, b se vede că forța rezultantă este

$$F = F_1 + F_2 + \dots + F_n$$

Resorturile avind fiecare aceeași deplasare x . Deci vom avea

$$F = k_{ep}x; \quad F_1 = k_1x; \quad F_2 = k_2x, \dots, F_n = k_nx.$$

Și înlocuind în expresia forței F obținem:

$$k_{ep}x = k_1x + k_2x + \dots + k_nx \quad \text{și}$$

$$k_{ep}x = (k_1 + k_2 + \dots + k_n)x, \text{ după simplificare rezultă:}$$

$$k_{ep} = k_1 + k_2 + \dots + k_n = \sum_{i=1}^n k_i.$$

Din $k_{ep} = m\omega^2$ avem:

$$\omega = \sqrt{\frac{k_{ep}}{m}} \text{ și } T = \frac{2\pi}{\omega} \text{ Deci } T = 2\pi \sqrt{\frac{m}{k_{ep}}} = 2\pi \sqrt{\frac{m}{\sum_{i=1}^n k_i}}.$$

10.1.4 Compunerea oscilațiilor. Am văzut că sub acțiunea unei forțe de tip elastic un punct material descrie o mișcare oscilatorie armonică a cărei ecuație este de forma:

$$x = a \cos(\omega t + \varphi) \text{ sau } y = a \sin(\omega t + \varphi)^*.$$

Ce se va întâmpla atunci când un punct material va fi solicitat să descrie în același timp două mișcări oscilatorii armonice? Ce fel de mișcare va avea în această situație punctul material?

Vom considera cazul în care cele două oscilații care solicită punctul material au aceeași direcție și aceeași pulsație (perioadă) dar amplitudinile și fazele inițiale diferite:

$$y_1 = a_1 \sin(\omega t + \varphi_1) \quad (10.15)$$

$$y_2 = a_2 \sin(\omega t + \varphi_2).$$

Deplasarea y față de poziția de echilibru va fi dată de suma algebrică a deplasărilor y_1 și y_2 adică:

$$y_1 + y_2 = a_1 \sin(\omega t + \varphi_1) + a_2 \sin(\omega t + \varphi_2) \quad (10.16)$$

Să efectuăm această adunare cu ajutorul metodei fazorilor sau vectorilor rotitori.

Dacă vom considera un segment de dreaptă de lungime a_1 (fig. 10.9) care face cu axa Ox unghiul φ_1 , drept un vector cu originea în O și sensul de la

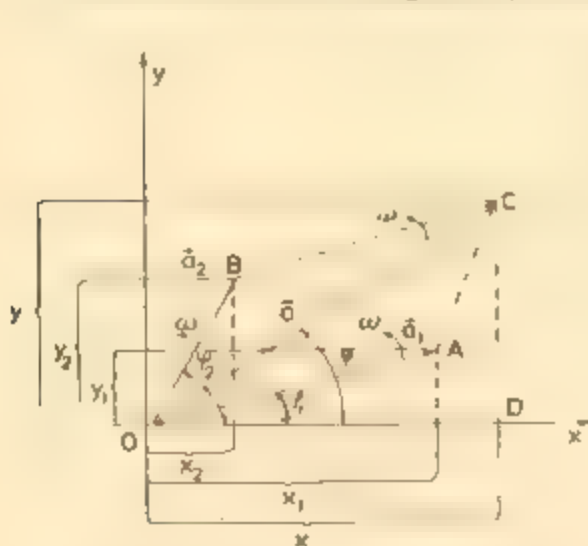


Fig. 10.9. Compunerea vectorilor rotitori care reprezintă mișcări oscilatorii armonice de aceeași pulsație.

O la A , adică vectorul $\vec{a}_1 = \vec{OA}$ și dacă acest vector se va roti cu viteza unghiulară ω (constantă) în sens trigonometric, atunci proiecția sa pe axa Oy la un moment oarecare t va fi:

$$y_1 = a_1 \sin(\omega t + \varphi_1),$$

relație care reprezintă tocmai ecuația unei mișcări oscilatorii armonice.

Așadar, putem reprezenta grafic prin vectori rotitori, fazori, o mișcare oscilatorie armonică.

Deci cele două mișcări oscilatorii descrise de ecuațiile (10.15) pot fi reprezentate prin fazorii \vec{a}_1 și \vec{a}_2 care se rotesc

* Voi am notat amplitudinea cu litera a pentru a nu o confunda cu litara A din figura 10.9.

cu viteză unghiulară constantă ω , față de punctul O . Unghiul dintre vectorii \vec{a}_1 și \vec{a}_2 rămâne neschimbat și are valoarea $\varphi_2 - \varphi_1$.

Deoarece suma proiecțiilor a doi vectori pe o axă este egală cu proiecția pe aceeași axă a vectorului rezultat, înseamnă că oscilația rezultantă poate fi reprezentată prin vectorul rezultat \vec{a} , care se obține din suma vectorială

$$\vec{a}_1 + \vec{a}_2 = \vec{a}. \quad (10.17)$$

Din figura 10.9 avem:

$$a^2 = a_1^2 + a_2^2 + 2a_1a_2 \cos(\varphi_2 - \varphi_1) \quad (10.18)$$

și evident, vectorul rezultat \vec{a} se rotește cu aceeași viteză unghiulară ω ca și vectorii \vec{a}_1 și \vec{a}_2 .

Tot din figura 10.9 obținem și relația:

$$\tan \varphi = \frac{a_1 \sin \varphi_1 + a_2 \sin \varphi_2}{a_1 \cos \varphi_1 + a_2 \cos \varphi_2} = \frac{C/D}{E/D} \quad (10.19)$$

relație din care se poate determina unghiul φ , faza inițială a oscilației rezultante.

Oscilația rezultantă va fi dată de componenta vectorului \vec{a} pe axa Oy adică va fi de forma:

$$y = y_1 + y_2 = a \sin(\omega t + \varphi). \quad (10.20)$$

Așadar, mișcarea rezultantă este o mișcare oscilatorie armonică care are aceeași direcție ca oscilațiile y_1 și y_2 și aceeași pulsație ω . Amplitudinea a și faza inițială φ ale oscilației rezultante se determină în funcție de amplitudinile și de fazele inițiale ale oscilațiilor componente, după relațiile (10.18) și (10.19).

De reținut că, potrivit relației (10.18) amplitudinea oscilației rezultante depinde de diferența de fază $\Delta\varphi = \varphi_2 - \varphi_1$ a oscilațiilor inițiale, care se compun.

a) Dacă $\Delta\varphi = 2k\pi$, ($k = 0, 1, 2, \dots$) atunci $\cos 2k\pi = 1$ și obținem:

$$a^2 = a_1^2 + a_2^2 + 2a_1a_2 \text{ sau } a = a_1 + a_2.$$

Amplitudinea oscilației rezultante este egală cu suma amplitudinilor oscilațiilor componente a_1 și a_2 . În acest caz se spune că oscilațiile sînt în fază.

b) Dacă $\Delta\varphi = (2k + 1)\pi$, ($k = 0, 1, 2, \dots$) atunci $\cos(2k + 1)\pi = -1$ și obținem:

$$a^2 = a_1^2 + a_2^2 - 2a_1a_2, \quad a = |a_1 - a_2|$$

pentru că amplitudinea nu poate fi decît o mărime pozitivă.

Amplitudinea oscilației rezultante este egală cu valoarea absolută a diferenței amplitudinilor oscilațiilor componente, a_1 și a_2 . În acest caz se spune că oscilațiile sînt în opoziție de fază.

c) Dacă $\Delta\varphi = (2k + 1) \frac{\pi}{2}$ ($k = 0, 1, 2, \dots$) atunci $\cos(2k + 1) \frac{\pi}{2} = 0$ și obținem:

$$a^2 = a_1^2 + a_2^2$$

se spune că *oscilațiile sînt în cvadratură sau „la sfert”*.

10.1.5. Oscilații amortizate. La studiul mișcării punctului material sub acțiunea unei forțe elastice, am presupus că nici o altă forță nu mai acționează asupra lui. În realitate, orice oscilație a unui punct material care nu este întreținută din exterior, se amortizează; amplitudinea oscilației scade cu timpul (fig. 10.10).

Cauzele amortizării sînt forțele care frinează mișcarea, de exemplu forța de frecare în locul de suspensie la oscilația pendulului sau forța de rezistență a mediului. În cazul unor rezistențe mari ale mediului mișcarea devine aperiodică (fig. 10.11).

Teoretic, oscilațiile unui punct (sistem) material ar trebui să înceteze complet numai după un interval de timp foarte mare — infinit. În realitate oscilațiile încetează după un interval de timp relativ scurt deoarece în situația în care amplitudinea oscilației ajunge sub o anumită valoare (de exemplu, de ordinul dimensiunilor moleculare) mișcarea sistemului material, luat ca întreg, devine imposibilă.

Energia transmisă unui sistem oscilant, în cazul amortizărilor, este cheltuită treptat sub formă de lucru mecanic necesar învingerii forței de frecare. Pentru a întreține oscilațiile adică pentru a obține oscilații neamortizate trebuie ca sistemul oscilant să primească mereu energie din afară.

Un sistem material în care amplitudinea oscilației este menținută neschimbată, datorită unei surse energetice care face parte din sistem se numește sistem autooscilant. (Un exemplu de astfel de sistem este ceasornicul cu pendul.)

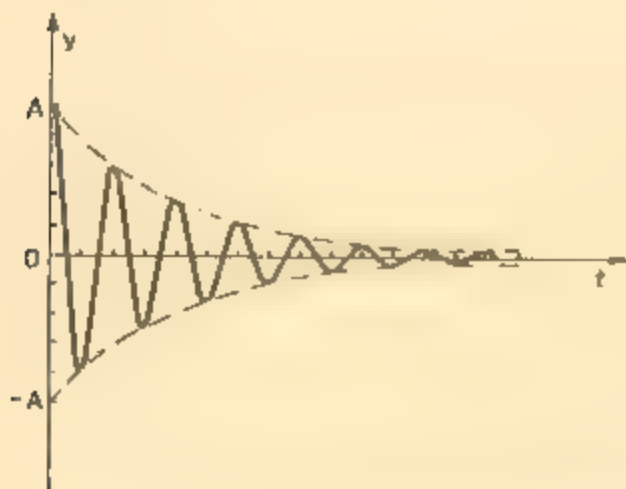


Fig. 10.10. Oscilații amortizate. Valoarea amplitudinii scade în timp.

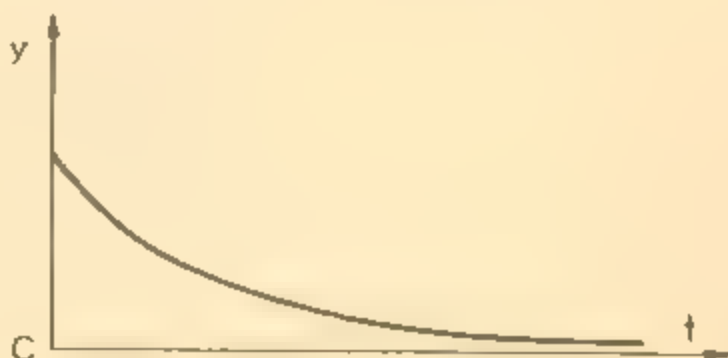


Fig. 10.11. Mișcare aperiodică

10.2. PENDULUL GRAVITAȚIONAL. REZONANȚA

10.2.1. Pendulul gravitațional. Un pendul gravitațional este un corp idealizat (experimentul 1 de la pag. 255) redus la un punct material de masă m , suspendat de un fir inextensibil și de masă neglijabilă. Dacă pendulul este deplasat din poziția sa de echilibru și este lăsat liber, el oscilează într-un plan vertical datorită forței de greutate. În figura 10.12 este reprezentat un pendul de lungime l , masă m , care formează cu verticala un unghi θ numit *elongație unghiulară*. Forțele care acționează asupra lui sînt: $\vec{G} = m\vec{g}$, forța de greutate și \vec{T} tensiunea din fir. Componenta lui G pe direcția firului este $G_n = mg \cos \theta$ iar componenta tangențială $G_t = mg \sin \theta$. Componenta tangențială este forța de restabilire sau de revenire care acționează asupra pendulului spre a-l readuce în poziție de echilibru. Așadar, forța de restabilire este:

$$F = G_t = mg \sin \theta. \quad (10.21)$$

Remarcăm că forța F nu este proporțională cu elongația unghiulară θ ci cu $\sin \theta$. Mișcarea pendulului nu este deci o mișcare oscilatorie armonică. În acest caz nu se mai poate vorbi de o perioadă proprie de oscilație. Două oscilații cu amplitudine diferită au perioade diferite, oscilațiile nu mai sînt izocrone.

Dacă unghiurile θ sînt mici atunci $\sin \theta$ este foarte apropiat de θ exprimat în radiani. Analizînd tabelul următor observăm că pentru unghiuri sub 5° putem scrie că $\sin \theta \approx \theta$ în radiani.

Unghiul θ		$\sin \theta$
grade	radiani	
0°	0,0000	0,0000
2°	0,0349	0,0349
5°	0,0873	0,0872

Dacă exprimăm unghiul θ în radiani avem $\theta = \frac{x}{l}$ și vom obține înlocuind $\sin \theta$

cu θ : $F = -mg\theta = -mg \frac{x}{l} = -\frac{mg}{l} x = -kx$, unde, semnul minus indică faptul că această forță este totdeauna de sens opus elongației.

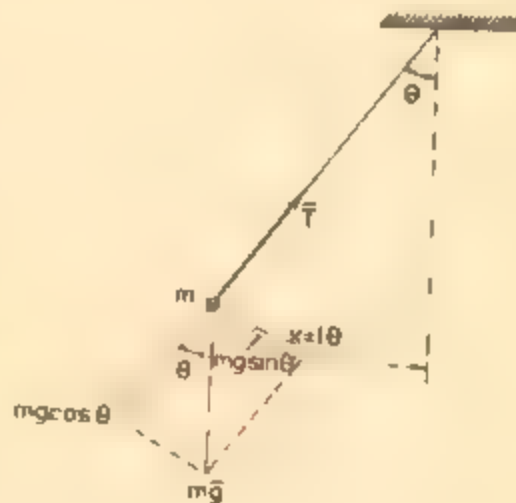


Fig. 10.12. Forțele care acționează asupra unui pendul gravitațional.

* Am notat cu x distanța de la poziția de echilibru, măsurată pe cerc astfel: $x > 0$ în dreapta poziției de echilibru și $x < 0$ în stînga poziției de echilibru.

Așadar pentru unghiuri mici, forța de revenire spre poziția de echilibru este aproximativ de tip elastic (forță cvasielastică) și mișcarea pendulului gravitațional poate fi considerată în acest caz o mișcare oscilatorie armonică.

Cum $\frac{mg}{l} = k$, perioada proprie de oscilație a pendulului devine:

$$T = 2\pi \sqrt{\frac{m}{k}} = 2\pi \sqrt{\frac{m}{\frac{mg}{l}}} = 2\pi \sqrt{\frac{l}{g}}. \quad (10.22)$$

Din relația (10.22) reținem că perioada pendulului gravitațional este independentă de masa pendulului. Deoarece, pentru unghiuri mici, perioada pendulului gravitațional este independentă de amplitudine, pendulul este folosit ca indicator de timp.

Pendulul gravitațional oferă o metodă simplă pentru determinarea valorii accelerației gravitaționale g , măsurând cu eroare cât mai mică lungimea l și perioada proprie T a pendulului.

EXPERIMENT

De un fir lung și subțire cu lungimea $l = 1$ m, suspendat la un capăt, se atâră o mică sferă de plumb (oțel sau bronz) cu un diametru de 2–3 cm. Se scoate pendulul astfel format din poziția de echilibru, deplasându-l față de verticală cu un unghi θ care să nu depășească 5° și se lasă apoi liber. Sistemul începe să oscileze. Se notează un anumit număr n de oscilații și timpul t corespunzător acestora. Perioada de oscilație se determină din relația $T = t/n$. Considerând sistemul bilă — fir un pendul gravitațional, din expresia

perioadei $T = 2\pi \sqrt{\frac{l}{g}}$ obținem $g = \frac{4\pi^2 l}{T^2}$, relație din care putem determina valoarea accelerației gravitaționale locale. Rezultatele unui număr mare de determinări se trec într-un tabel de forma

nr crt	n oscilații	t (s)	T = t/n (s)	T _m (s)	g (m/s ²)	g _m (m/s ²)

Ce observații puteți face? Coincid rezultatele determinărilor? De ce? Care sînt erorile pe care credeți că le-ați făcut? Cum s-ar putea înlătura sau micșora aceste erori?

10.2.2. Oscilații forțate. Transfer de energie între doi oscilatori. Rezonanță. Să presupunem că un sistem mecanic E , pe care-l vom numi excitator, care efectuează oscilații armonice de perioadă T și amplitudine constantă,

exercită o acțiune asupra unui alt oscilator mecanic R cu perioada proprie de oscilație T_0 , pe care-l numim rezonator. Experiența arată că sistemul R are totdeauna o mișcare armonică cu perioada T pe care i o impune oscilatorul E . Se spune că rezonatorul efectuează oscilații forțate sincronizate cu cele ale excitatorului. Acțiunea mecanică exercitată de excitator asupra rezonatorului se numește *cuplaj*.

EXPERIMENT

a) Două pendule simple (fig. 10.13), unul masiv P_1 și altul ușor P_2 , suspendate prin fire rigide, cu amortizare mică, sînt legate între ele prin intermediul unui resort de masă neglijabilă (care nu este deformat atunci cînd pendulele sînt în repaus). Pendulul P_1 , fiind pus în mișcare, exercită de fiecare dată asupra lui P_2 prin intermediul resortului, o forță care variază cu elongația sa. Are loc în aceste condiții, un transfer de energie de la P_1 către P_2 . Pendulul P_2 oscilează cu aceeași frecvență ca P_1 și dacă P_1 este ales mult mai greu ca P_2 forța exercitată de P_2 , respectiv energia transmisă către P_1 este neglijabilă.

b) Aceeași experiență se mai poate realiza suprimînd resortul R și suspendînd două pendule de o coardă bine întinsă (fig. 10.14). P_1 exercită asupra corzii în punctul de suspensie O_1 o forță care se transmite punctului de contact O_2 al pendulului P_2 și care va oscila cu frecvența (perioada) impusă de P_1 . În acest caz amplitudinea de oscilație a lui P_2 este mult mai mică decît în cazul analizat înainte. Cuplajul este mai slab. Transferul de energie dintre cele două pendule - oscilatori se realizează cu pierderi mari.

c) Pe o coardă bine întinsă sînt suspendate mai multe pendule rezonatoare dar cu lungimi diferite (fig. 10.15) unele avînd pulsația (perioada) proprie inferioară, altele superioară, pendulului excitator P_1 . Dacă P_1 este pus în stare de oscilație, se poate observa că celelalte pendule vor începe să oscileze

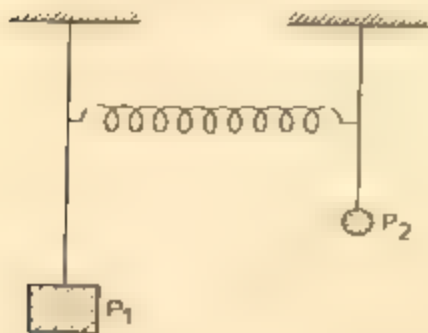


Fig. 10.13. Oscilații forțate ale pendulului P_2 , cuplaj strins.

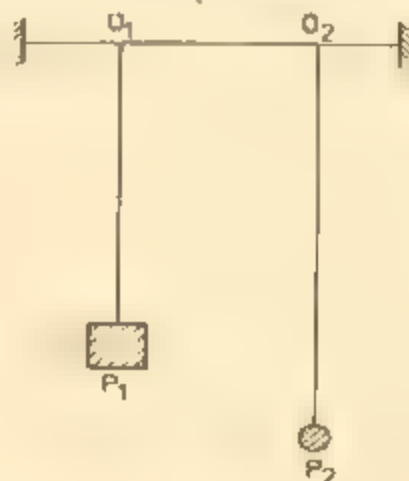


Fig. 10.14. Oscilații forțate ale pendulului P_2 , cuplaj slab.

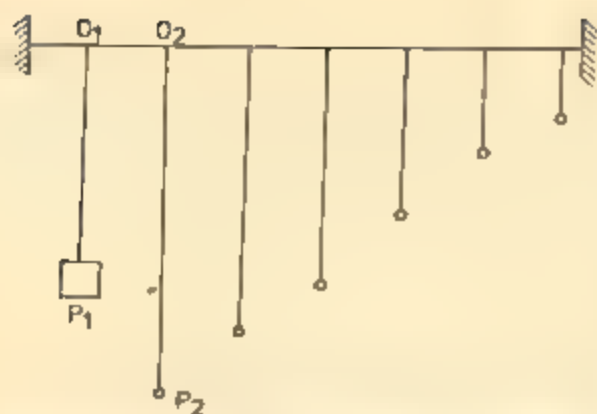


Fig. 10.15. Pendule rezonatoare cu diferite pulsații.

datorită transferului de energie prin coardă de la pendulul excitator. De remarcat un fapt interesant și anume că amplitudinea oscilațiilor este diferită. Ea este cu atât mai mare cu cât perioada proprie de oscilație a rezonatorului este mai apropiată, ca valoare, de perioada excitatorului. Dacă unul dintre pendulele rezonatoare are pulsația (perioada) proprie de oscilație foarte apropiată de cea a excitatorului, atunci amplitudinea sa de oscilație, în con-

dițiile date este cea mai mare, este maximă. Are loc deci un transfer maxim (optim) de energie între cei doi oscilatori.

10.3. PROPAGAREA MIȘCĂRII OSCILATORII

10.3.1. Propagarea unei perturbații. *a)* Un cablu lung de cauciuc (o coardă, un resort) bine întins, lovit la unul din capete ne permite să observăm transmiterea unei mici deformări pînă la celălalt capăt al cablului, după un anumit timp din momentul lovirii.

b) Ne aflăm pe marginea unui bazin cu apă a cărui suprafață este netulburată de valuri. Aruncînd o piatră în apă, observăm valuri mici de forma unor cercuri concentrice a căror rază crește foarte repede. Mai tîrziu vedem aceste mici valuri la distanțe mari față de locul în care am aruncat piatra. Perturbația provocată prin căderea pietrei pe suprafața apei n-a rămas localizată ci s-a transmis pe suprafața apei din bazin.

c) Ne aflăm pe un stadion. Asistăm la o întrecere sportivă: cursă cu obstacole, ștafetă etc. S-a dat startul. Vedem mai întîi mica flacără și fumul produs de pistolul de start și ceva mai tîrziu auzim și pocnetul (sunetul) produs de cartușul percutat.

Iată, în exemplele anterioare, cîteva cazuri particulare ale unei situații generale în natură: sistemele materiale nu „răspund” la perturbațiile exterioare, decît după un anumit timp de la producerea lor. Știți deja că un sistem material este un ansamblu de corpuri (eventual cîmpuri fizice) între care se exercită interacțiuni, forțe. Aceste forțe depind în general de distanțele relative dintre componentele sistemului. Mai mult, chiar, interacțiunile interne scad, uneori foarte repede, cînd distanțele dintre componente cresc. În acest fel, de multe ori, deformarea sistemului se realizează din aproape în aproape

fiecare componentă influențind numai pe cele imediat apropiate. Acesta este motivul pentru care „răspunsul“ sistemului apare întârziat față de perturbația externă aplicată.

EXPERIMENT

Pe o bară cu lungimea de 1,5—2 m, suspendăm mai multe bile identice cu diametrul de 2,5—3 cm (fig. 10.16).

Firurile de suspensie au lungimea de 1—1,2 m iar distanța dintre aceste fire este de 10—15 cm. Firurile de suspensie sînt legate între ele prin fire scurte de care sînt atîrnate corpuri identice cu masa de 100 g fiecare. Un șoc, un impuls, aplicat transversal la unul din capetele lanțului de bile se va transmite din aproape în aproape pînă la celălalt capăt al lanțului. Lanțul de bile legate între ele ne permite să observăm că perturbația produsă din exterior nu rămîne localizată, nu oscilează numai bila lovită ci oscilația se propagă din aproape în aproape în tot lanțul de bile.

Să considerăm un lanț de bile (particule), identice ca formă și avînd aceeași masă, legate între ele prin resorturi de aceeași lungime și aceeași constantă elastică (fig. 10.17). Lanțul de bile legate prin resorturi modelează mediile reale în care se pot propaga perturbații produse din exterior. Aparent există o mare deosebire între lanțul de particule și medii (corpurile reale) din exemplele anterioare. În fizică este folosită metoda modelării obiectului sau fenomenului de studiat, construindu-se sisteme — modele ideale, care păstrează proprietățile esențiale ale obiectului sau fenomenului real. Pe aceste modele se pot obține rezultate ce aproximează bine realitatea.

În cazurile prezentate la începutul paragrafului, elementele esențiale ale propagării sunetului în aer respectiv ale propagării perturbației pe suprafața apei și pe tubul de cauciuc sînt legate de structura mediului prin care trec aceste perturbații (aer, apă, cauciuc). Aceste medii au o structură corpusculară, sînt constituite din atomi sau molecule între care se exercită forțe de legătură care pot fi considerate forțe elastice cu bună aproximație.

Presupunem că, inițial, resorturile lanțului sînt complet relaxate. Acționăm din exterior cu o forță \vec{F} asupra bilei 1 din capătul lanțului, deplasînd-o spre dreapta. Să urmărim ce se întîmplă în timpul deformării resortului. Asupra bilei 2 va începe să acționeze o forță F' mai mică decît F , egală cu dife-

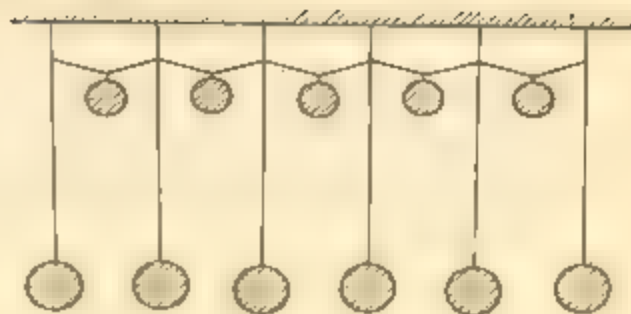


Fig. 10.16. Lanț de bile prin care se pot transmite perturbații

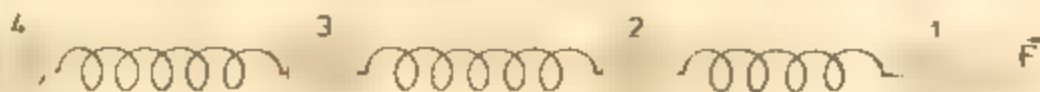


Fig. 10.17. Lanț de bile și resorturi, model de mediu elastic.

rența dintre tensiunea din resortul 1—2 și cea din resortul 2—3 (aceste tensiuni sînt de sensuri opuse cînd sînt aplicate asupra bilei 2).

Dacă acceptăm că tensiunea din resortul 1—2 este cel mult egală cu forța externă, rezultă că asupra bilei 2 va acționa mereu o forță mai mică decît asupra bilei 1. Înseamnă că accelerația bilei 2 va fi mereu mai mică decît cea a bilei 1 și deci, la orice moment intermediar, între aplicarea forței externe și întinderea maximă a resortului 1—2, bila 2 va avea o depărtare mai mică față de poziția de echilibru decît bila 1. Considerînd tensiunea din resortul 1—2 ca o forță externă aplicată bilei 2 constatăm că depărtarea de poziția de echilibru a bilei 2 va fi totdeauna mai mare decît cea a bilei 3. În acest fel, continuînd raționamentul, se poate înțelege de ce fiecare bilă — particulă se depărtează de poziția de echilibru cu o distanță mai mică decît precedentă și mai mare decît următoarea (fig. 10.18).

Considerînd lanțul suficient de lung ajungem la concluzia că trebuie să existe o bilă-particulă în acest lanț, fie n aceasta, care pînă la un anumit moment de la aplicarea forței \vec{F} nu se deplasează din poziția de echilibru. Aceasta înseamnă că tensiunea din resortul $n-(n+1)$ este nulă și deci nici bilele $(n+1)$, $(n+2)$, ... nu se deplasează din pozițiile lor inițiale. Aastă situație are loc pînă la un anumit moment t . În momentul imediat următor, particula n intră în mișcare și începe să întindă resortul $n-(n+1)$. În acest fel lanțul tinde să repartizeze uniform, răspunsul la forța externă, \vec{F} , între toate resorturile sale. Dar, după cum am constatat, acestea nu se întind în același timp și putem ajunge la situația în care forța \vec{F} poate să dispară la un moment dat, și să găsim totuși în lanț resorturi întinse sau comprimate. Mișcarea se transmite, se propagă, astfel din aproape în aproape, de la un capăt la celălalt al lanțului chiar și după încetarea acțiunii externe.

Fenomenul de transmitere a unei perturbații într-un mediu material se numește undă.

Dacă în mediul material perturbat apar numai forțe elastice spunem că unda care ia naștere este o undă elastică.

Mulțimea particulelor-bile din sistem (mediu) care la momentul t nu au fost încă solicitate, dar care vor intra în mișcare în momentul imediat următor constituie ceea ce se numește *frontul undei*.

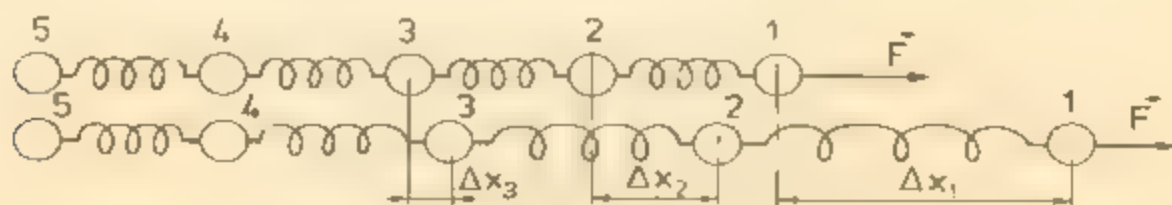


Fig. 10.18. Lanț de bile resorturi sub acțiunea unei forțe

10.3.2 Surse de oscilații. Principiul lui Huygens. Să reluăm analiza lanțului de bile resorturi. Se poate întâmpla ca la un moment dat bila I să revină în poziția de echilibru după un număr oarecare de oscilații. S-ar părea că mișcarea ar trebui să înceteze, să se stingă, în lanțul de resorturi. Dar așa ceva nu se întâmplă. În momentul în care bila I se află din nou în poziție de echilibru există o altă bilă, chiar mai multe, care se află în situația identică cu cea din momentul inițial al bilei I . Totul se petrece ca și cum perturbația externă ar fi fost aplicată acestor bile și nu primei bile din lanț. De reținut că aceste afirmații au sens dacă frecarea este suficient de mică, adică dacă mediul de propagare a undei este slab disipativ (pierderile de energie sînt foarte mici). Mai mult, se presupune că forțele interne care apar la transmiterea perturbației sînt numai forțe elastice. (Astfel de medii de propagare se numesc medii elastice iar undele care apar în astfel de medii sînt unde elastice.)

„Punctul” în care se aplică perturbația externă se mai numește sursă sau centru de oscilație, deoarece de cele mai multe ori perturbațiile au o formă oscilantă și sînt aplicate în regiuni restrinse ale mediului, destul de mici față de dimensiunile mediului perturbat.

Constatarea făcută mai sus, în ceea ce privește propagarea perturbației, poate fi exprimată astfel:

Pe o undă a unei unde la un moment dat punctele care oscilează în oscilație în locul celui inițial

Această propoziție constituie un caz particular a unei legi de propagare specifică mediilor elastice, denumită *principiul lui Huygens*.

10.3.3. Vectorul de oscilație. Să presupunem că perturbația inițială nu mai are loc în lungul lanțului bile-resorturi ci pe o direcție oarecare (fig. 10.19). Să considerăm un anumit moment al mișcării t și o anumită bilă n din lanț. În acel moment bila n este deplasată față de poziția ei de echilibru.

Să atașăm bilei n un vector \vec{u} care are originea în poziția de echilibru a bilei n , mărimea egală cu depărtarea bilei față de poziția inițială la momentul respectiv, direcția dată de dreapta care unește cele două poziții și vîrfurile în locul unde se află bila în momentul considerat. Acest vector se numește *vector de oscilație*. Valoarea sa la un moment dat poartă numele de *elongație*, iar elongația maximă se numește *amplitudine*. Dacă sînt cunoscuți vectorii de oscilație ai tuturor bilelor la orice moment atunci spunem că este cunoscută unda elastică respectivă.

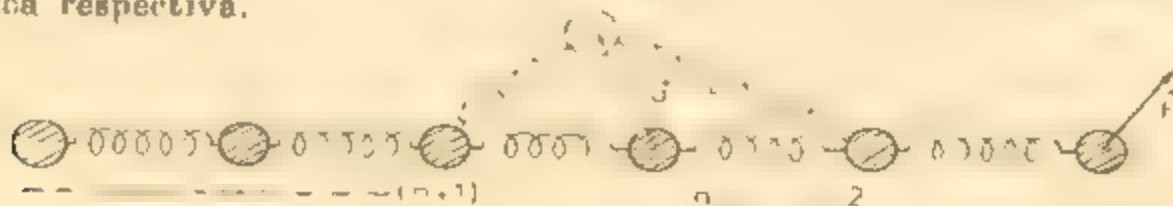


Fig. 10.19. Lanț de bile resorturi prin care se transmite o perturbație pe o direcție oarecare

Observăm că vectorul de oscilație \vec{u} este dependent de timp iar pentru același moment el diferă de la o bilă la alta adică depinde de depărtarea față de poziția de echilibru a fiecărei bile.

Să analizăm un caz real. Vom presupune deci că avem un (corp) mediu prin care se propagă o undă inițiată de o anumită perturbație externă. Ca oricare altul, mediul material considerat este format din microparticule (atomi, molecule). Aceste particule se vor comporta asemenea bilelor din lanțul de resorturi, între ele exercitându-se forțe care pot fi asimilate cu tensiunile — forțele elastice, din resort. Sînt însă și deosebiri mari: *a)* în primul rînd particulele unui mediu real formează o structură spațială și nu una liniară ca modelul lanț de resorturi-bile; *b)* în al doilea rînd forțele dintre ele pot să nu fie elastice, adică nu sînt proporționale cu depărtarea față de poziția de echilibru. Aceste deosebiri, cu toate că sînt importante, nu duc la rezultate mult diferite de cele care se obțin cu modelul lanț (liniar) de resorturi-bile.

De precizat că, în cazul real, nu fiecare particulă oscilează separat; se întîmplă, în cazul unor unde, ca grupuri întregi de particule să se miște la fel și deci să joace împreună rolul unei bile-particule din lanț.

10.4. UNDE TRANSVERSALE. UNDE LONGITUDINALE VITEZA DE PROPAGARE

10.4.1. Tipuri de unde. Să considerăm, față de un sistem de referință triortogonal $Oxyz$, poziția de echilibru a unui grup de particule din mediu, care se mișcă la fel (fig. 10.20). Grupul de particule care oscilează la fel ocupă un anumit volum pe care-l considerăm mic în raport cu dimensiunile mediu lui. Fiind foarte mic, este puțin importantă forma acestui volum și de aceea

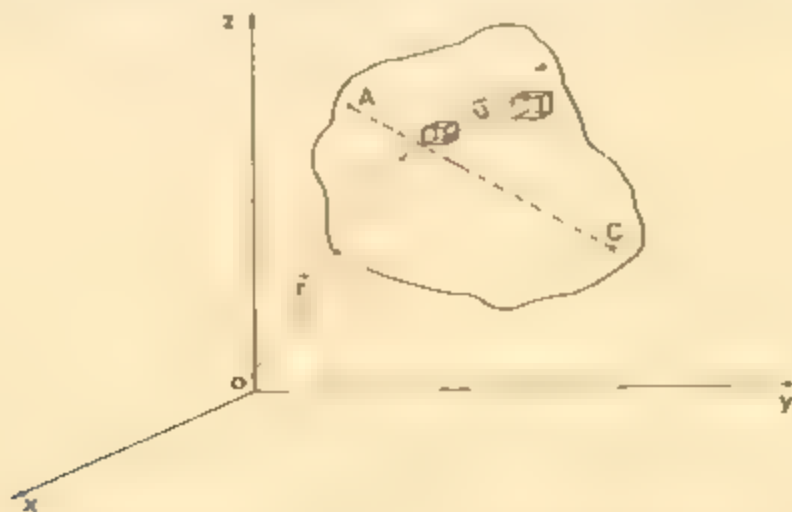


Fig. 10.20. Transmiterea unei perturbații pentru un grup de particule identice. Vectorul \vec{u} este vectorul de oscilație.

fi putem considera de formă paralelipipedică. Poziția față de sistemul de referință $Oxyz$ se fixează cu ajutorul vectorului de poziție \vec{r} al centrului acestui mic paralelipiped.

Sub acțiunea undei, grupul de particule se va deplasa din poziția inițială într-altă poziție. Vectorul de oscilație unește centrele celor două paralelipiede așa cum arată și figura 10.20. Mărimea și orientarea acestui vector depind de timp și de poziția de echilibru a grupului de particule. Putem scrie deci $\vec{u} = \vec{u}(\vec{r}, t)$.

Să considerăm un centru de oscilație C în care s-a aplicat o perturbație externă. După un timp ea s-a transmis până în punctul A . Dreapta CA se numește direcție de propagare sau rază de undă, deoarece mișcarea se transmite, se propagă, în mediul considerat după direcțiile unor „raze” care pleacă din C . Pe o astfel de direcție lucrurile se petrec asemănător cu cele analizate la modelul lanț de resorturi și bile.

Distingem două cazuri particulare importante:

a) este posibil ca vectorul de oscilație, variabil în timp să fie mereu și pentru orice particulă perpendicular pe direcția de propagare;

b) vectorul de oscilație să aibă direcția identică cu direcția de propagare.

În primul caz unda este transversală, iar în celălalt unda este longitudinală.

Din nou trebuie precizat că o undă nu apare într-un mediu real decât dacă între componentele acestuia se exercită interacțiuni. Astfel, undele transversale nu se pot produce decât în medii în care se manifestă interacțiuni perpendiculare pe direcția de propagare, forțe de forfecare (de torsune). Să luăm de exemplu fluidele, acestea sînt caracterizate prin proprietatea de curgere, adică particulele constituente nu interacționează prin forțe perpendiculare pe dreptele care unesc centrele particulelor între ele, ci numai prin forțe de-a lungul acestor drepte. Așadar, o deformare de forfecare nu se poate propaga prin fluide pentru că nu există forțe de revenire, forțe elastice, care să readucă particulele în pozițiile lor inițiale. Prin fluide se pot propaga numai deformările (comprimările) de-a lungul razelor de undă, situație în care vectorii de oscilație sînt paraleli cu direcția de propagare, adică se pot propaga numai unde longitudinale.

În (corpurile) mediile solide se manifestă forțe în toate direcțiile și deci în aceste medii undele pot fi atât transversale cît și longitudinale.

10.4.2 Lungime de undă. Viteză de propagare. Să reluăm analiza modelului inițial. Presupunem că perturbația externă este periodică, cum se și întîmplă în realitate de multe ori. Astfel, după un timp T egal cu o perioadă, bila I s-ar putea afla exact în situația dinaintea aplicării perturbației. Să notăm cu m bila pînă la care a ajuns unda la momentul $t = T$. Atunci bilele m și I se află în aceeași situație și se vor mișca la fel, adică vectorii lor de oscilație vor fi egali la orice moment ulterior, $\vec{u}_m = \vec{u}_I$. Se spune că bilele I și m oscilează în fază, sînt în concordanță de fază. Punctele, particulele, care oscilează la fel într-un mediu prin care se propagă o undă se numesc puncte de egală fază. Aceste puncte se dispun pe suprafețe închise în jurul centrului de

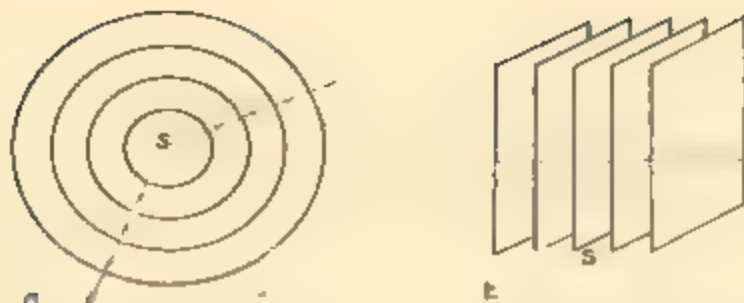


Fig. 10.21. a) Unde sferice
b) unde plane.

oscilație, numite suprafețe de egală fază sau suprafețe de undă. Se poate demonstra că razele de undă sînt perpendiculare pe suprafețele de egală fază.

Forma suprafeței de undă depinde atât de proprietățile mediului rit și de forma sursei. În medii omogene și izotrope, dacă sursa de oscilație este punctiformă sau sferică, suprafața de undă, deci și frontul de undă, sînt sfere concentrice. Undele care se formează în acest caz se numesc *unde sferice* (fig. 10.21, a).

Când sursa de oscilație este o suprafață plană atunci unda care se transmite este o *undă plană* (fig. 10.21, b).

La distanțe mari de sursa de perturbație o undă sferică poate fi considerată într-o regiune mică a mediului, ca o undă plană, pe regiuni restrinse asimilîndu-se suprafața sferei de rază mare cu o suprafață plană.

Să aplicăm acum principiul lui Huygens: dacă bila m oscilează la fel ca bila l putem considera că unda care se propagă de la bila m la bilele $(m+1)$, $(m+2)$ etc. își are centrul de oscilație în bila m . Cum toate bilele din lanț sînt identice și lanțul este suficient de lung rezultă că prima bilă care va oscila exact la fel ca bila m va fi cea cu numărul $2m$ și a m.d. Așadar bilele fm , $2m$, $3m$, ... vor fi bile care oscilează în fază. Același raționament se poate aplica oriunde pe o rază de undă pe o rază de undă puncte care oscilează în fază sînt egal depărtate.

Într-un mediu izotrop și omogen (unde rit) lungimea de undă se numește
lungime de undă și se notează cu λ .

În general, lungimea de undă nu este aceeași pentru toate razele de undă, pentru orice direcție de propagare din mediul respectiv. Medii (corpuri) în care lungimea de undă nu depinde de direcția de propagare se numesc medii izotrope.

Cu ce viteză se deplasează o undă, frontul undei, într-un mediu elastic?

În timp de o perioadă T unda parcurge distanța dintre două puncte de egală fază, situate pe aceeași direcție de propagare, adică distanța λ și deci putem scrie

$$\lambda = v_f T \quad (10.24)$$

unde v_f se numește *viteza de fază*, viteza de propagare a frontului de undă, a fazei.

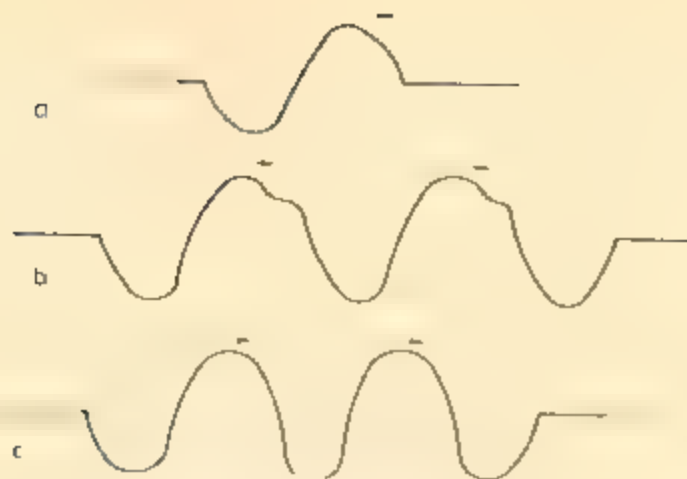


Fig. 10.22. Unde transversale pe corzi (a) și pe molla (b și c).

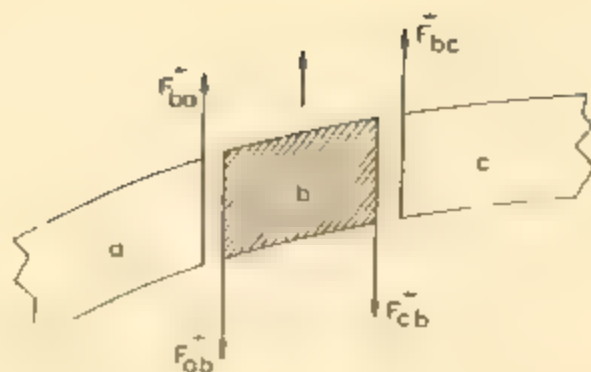


Fig. 10.23. Unda transversală presupune deformări de forfecare.

10.4.3. Unde transversale

EXPERIMENT

a) Un cablu de cauciuc (o coardă, un resort elastic) este lovit lateral. Se observă că propagarea acestei perturbații se face prin deformări perpendiculare pe direcția de transmitere a mișcării (fig. 10.22, a). O astfel de undă este un exemplu de undă transversală.

Dacă se produce o perturbație exterioară la intervale egale de timp sau este produsă o oscilație unană, atunci pe cablu sau pe coardă se vor transmite perturbații succesive. Acest grup de perturbații formează un tren de unde (fig. 10.22, b și c).

Producerea undelor transversale într-un cablu, o coardă, un resort etc., este posibilă datorită faptului că orice parte a mediului solid poate fi antrenată în mișcare și părțile învecinate, provocând solicitări de forfecare (fig. 10.23). În figură sînt prezentate trei părți vecine antrenate în propagarea perturbației. Mișcarea părții b (din mijloc) nu se poate face fără antrenarea părților a (forța \vec{F}_{ba}) și c (forța \vec{F}_{bc}) care se opun prin forțele \vec{F}_{ob} respectiv \vec{F}_{cb} . Aceste legături asigură cuplajul părților a, b, c și determină apariția deformărilor elastice și deci a forțelor elastice de revenire. Evident numai în corpurile solide pot apărea deformări elastice de acest fel pe cînd în fluide nu. Așadar undele transversale pot apărea numai în mediile (corpurile) solide.

Dacă sursa de oscilație produce oscilații într-un plan oarecare, atunci orice punct de pe direcția de propagare oscilează în planul inițial (planul de oscilație al sursei). Deplasînd de-a lungul corzii (cablului), în planul de oscilație al sursei, o fantă, vom constata că ea nu împiedică transmiterea perturbației (fig. 10.24). Se spune că undele transversale sînt *unde polarizate*.

b) Un model de mediu în care se propagă o undă transversală îl reprezintă bilele suspendate, reprezentate în figura 10.25 care pot fi asimilate

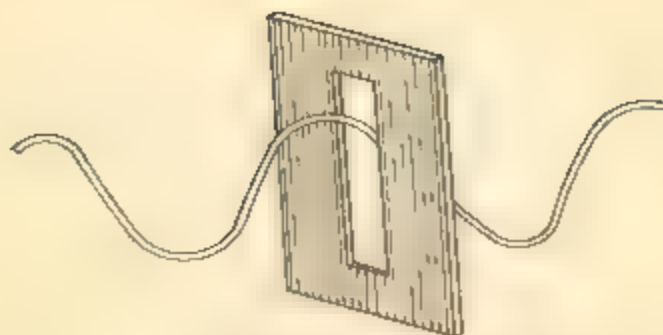


Fig. 10.24. Undă transversală plan polarizată

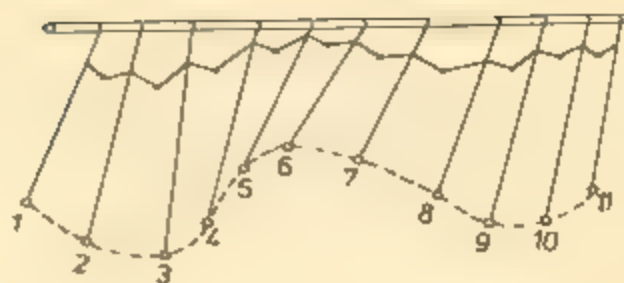


Fig. 10.25. Propagarea unei oscilații armonice pe un lanț de pendule gravitaționale.

drept pendule gravitaționale. Lanțul de pendule cuplate modelează un mediu omogen și izotrop.

Dacă punem în mișcare de oscilație un pendul din capătul lanțului, de exemplu pendulul 1, printr-un impuls transmis perpendicular pe direcția lanțului de pendule, datorită cuplajului, energia se transmite de la pendulul 1 în lanțul de oscilatori. Pentru mediul format din lanțul de pendule, excitarea pendulului 1 constituie o perturbație și acest pendul poate fi considerat drept o sursă de oscilație. Menținând mișcarea sursei, se constată că mișcarea celorlalți oscilatori continuă. Fiecare oscilator execută oscilații forțate cu frecvența impusă de frecvența sursei. Evident, procesul de propagare are loc în timp. Dacă măsurăm timpul necesar ca o perturbație să ajungă la un pendul oarecare din lanț, vom observa că acesta depinde de distanța dintre sursa de oscilație și pendulul considerat. Fiecare pendul intră în stare de oscilație mai târziu decât cel precedent. Faza mișcării fiecărui pendul diferă de a celui precedent și de a celui care urmează. Pentru că toți oscilatorii sînt identici și cuplajele sînt de același fel, viteza de propagare a oscilației este constantă, în absența forțelor disipative (forța de frecare). Cît timp viteza de propagare, viteza fazei sau viteza de fază rămîne constantă, distanța dintre doi oscilatori consecutivi, care oscilează în fază (1 și 9; 2 și 10, figura 10.25) este constantă. Această distanță reprezintă chiar lungimea de undă, fapt ce justifică afirmația că această mărime este caracteristică unei unde cînd propagarea are loc într-un mediu izotrop și omogen.

Din relația (10.23) și din descrierea procesului de propagare, rezultă că lungimea de undă este determinată de doi factori: unul care depinde de sursă (perioada sau pulsația sursei) și al doilea (viteza de fază) care depinde de mediul de propagare, de proprietățile lui elastice, adică de cuplajul dintre particulele mediului.

Se demonstrează că viteza v , de propagare a unei unde transversale pe o coardă depinde de tensiunea T_m la care este solicitată coarda și de masa μ a unității de lungime a corzii:

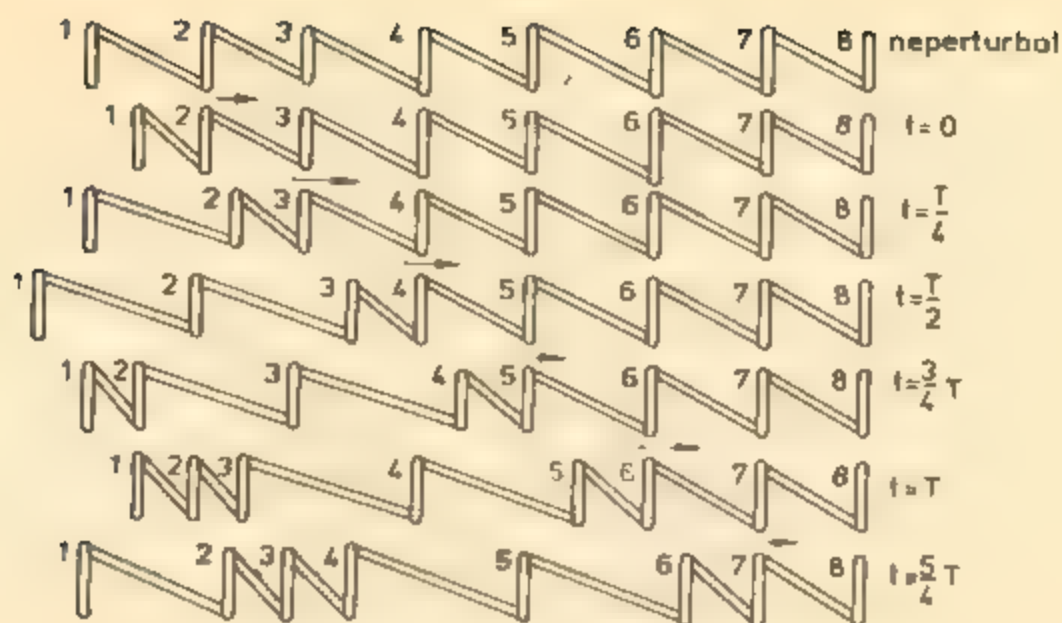


Fig. 10.26. Undă longitudinală într-un resort elastic

Dacă oscilațiile sursei nu sînt întreținute, amortizarea este foarte rapidă, energia sursei fiind transferată lanțului de oscilatori și disipată prin frecări. Unda se stinge foarte repede.

10.4.4. Unde longitudinale. Să considerăm un resort de oțel cu spirele în repaus și echilibrate (fig. 10.26.) Resortul îl putem lua drept un șir — lanț de spire (oscilatori) cuplate elastic, fiecare spirală putînd oscila de-a lungul axei sale în jurul unei poziții de echilibru. Provoacă o perturbație a resortului, trăgînd de o spirală în lungul axei resortului și lăsînd-o după aceea liberă. Perturbația se propagă în resort în lungul axului său prin punerea în starea de oscilație a fiecărei spire. Unda care a apărut în resort, în acest caz, se numește undă longitudinală. Datorită frecărilor cu aerul și, deosebi datorită frecărilor interne din materialul spirei, oscilațiile lor se sting, resortul atîngînd destul de repede starea de repaus.

Dacă prima spirală va fi pusă în mișcare, pe o cale oarecare și dacă această mișcare este oscilatorie armonică, atunci și spirele următoare vor descrie o mișcare asemănătoare după trecerea perturbației undale. Figura 10.26 surprinde resortul parcurs de o undă longitudinală la diferite momente exprimate în fracțiuni din perioada oscilației armonice a sursei de oscilație (spira 1). Se observă că în timp ce comprimarea avansează spre dreapta, fiecare spirală care intră în mișcare continuă să oscileze în jurul poziției de echilibru. De exemplu spira 1 face o oscilație completă între $t = 0$ și $t = T$, cînd apare o nouă comprimare care se va transmite în lungul resortului. Există spire care oscilează în concordanță de fază cum sînt, de exemplu spirele 1 și 5, 2 și 6.

Considerînd resortul un mediu omogen și izotrop, propagarea perturbației se va face de-a lungul resortului cu aceeași viteză v . În timp de o perioadă T



Fig. 10.27. Undă longitudinală într-un corp solid

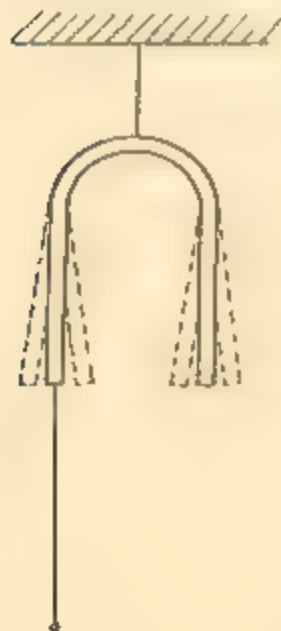
în care spira 1, de exemplu, descrie o oscilație completă, distanța parcursă de perturbație este vT . Perturbația a ajuns până la spira 5 care începe să oscileze în fază cu spira 1. Distanța dintre două spire consecutive (1 și 5, 2 și 6) care os dează în fază este lungimea de undă și constituie o caracteristică a undei respective. Unda longitudinală nu este polarizată ca unda transversală. Acest lucru se poate demonstra pe cale experimentală.

Undele longitudinale se pot forma atât în medii solide cît și în cele fluide (lichide și gaze). Un exemplu de undă longitudinală într-un solid este transmiterea perturbației produsă de o lovitură de ciocan la capătul unei bare, în lungul acesteia. Acest lucru poate fi verificat, dacă la celălalt capăt al barei se află o bilă de bară fixată rigid. Cînd perturbația va ajunge la capătul barei, bila este proiectată pe direcția barei în sensul propagării perturbației (fig. 10.27).

Ca și în cazul undelor transversale, viteza de propagare a undelor longitudinale depinde de caracteristicile mediului de propagare. Se demonstrează că viteza v_l a unei unde longitudinale este

$$v_l = \sqrt{\frac{E}{\rho}}$$

unde E reprezintă modulul de elasticitate iar ρ densitatea mediului de propagare.



PROBLEME REZOLVATE

1. La capătul unei ramuri a unui diapazon (fig. 10.28), se leagă un fir de lungime $l = 2$ m și masă $m = 12$ g. De fir se suspendă un corp cu masa $m_1 = 960$ g. Diapazonul oscilează. Să se calculeze: a) viteza de propagare a undelor în fir; b) frecvența de oscilație a diapazonului, dacă lungimea de undă este de 40 cm; c) Cum se schimbă viteza de propagare a undei, dacă se dublează masa corpului suspendat?

Rezolvare: a) În fir se propagă unde transversale. Neglijînd efectul masei firului asupra tensiunii din fir avem,

$$T = G_1 = m_1 g \text{ și deci } v_l = \sqrt{\frac{T}{\mu}} = \sqrt{\frac{m_1 g}{\frac{m}{l}}} =$$

$$= \sqrt{\frac{960 \cdot 10^{-3} \text{ kg} \cdot 9,8 \frac{\text{m}}{\text{s}^2} \cdot 2 \text{ m}}{12 \cdot 10^{-3} \text{ kg}}} = 40 \text{ m/s}$$

Fig. 10.28. Pentru exercițiul 1.

b) Fiecare punct de pe fir oscilează forțat cu frecvența impusă de oscilațiile diapazonului. Din $\lambda = vT$ și $vT = 1$ avem,

$$v = \frac{v}{\lambda} = \frac{40 \text{ m/s}}{40 \cdot 10^{-2} \text{ m}} = 10^2 \text{ s}^{-1} = 10^2 \text{ Hz.}$$

c) Masa corpului suspendat este acum $m'_1 = 2m_1$ și viteza de propagare a unei transversale va fi $v'_1 = \sqrt{\frac{T'}{\mu}}$. Raportul vitezelor de propagare este:

$$\frac{v'_1}{v_1} = \sqrt{\frac{T'}{T}} = \sqrt{\frac{m_1}{m'_1}} = 1/\sqrt{2}$$

2. Un muncitor de la calea ferată lovește cu ciocanul capătul unei șine. Sunetul transmis prin șină este auzit după $t = 20 \text{ s}$ de un al doilea muncitor care ascultă cu urechea pe șină. Se cere să se determine distanța dintre cei doi muncitori știind că șina este din oțel cu $\rho = 7800 \text{ kg/m}^3$ și modulul de elasticitate este $E = 20 \cdot 10^{10} \text{ N/m}^2$.

Rezolvare Dacă se cunoaște viteza v_l de propagare a perturbației pe care o vom considera că se transmite sub formă unei unde longitudinale atunci distanța poate fi determinată din relația $d = v_l t$:

$$v_l = \sqrt{\frac{E}{\rho}} = \sqrt{\frac{20 \cdot 10^{10} \text{ N/m}^2}{78000 \text{ kg/m}^3}} = 5,06 \cdot 10^3 \text{ m/s.}$$

$$d = v_l t = 5,06 \cdot 10^3 \text{ m/s} \cdot 20 \cdot 10^{-2} \text{ s} = 1012 \text{ m.}$$

10.4.5. Intensitatea undei. Să considerăm, într-un mediu elastic omogen și izotrop, o sursă de oscilație care transferă continuu aceeași energie în unitate de timp. Sursa are, deci, o putere constantă. Dacă E este energia emisă în timpul t de mulțimea Φ punctelor ce alcătuiesc sursa atunci relația

$$P = \frac{E}{t} = \Phi \quad (10.24)$$

definește *puterea emisă de sursă* sau fluxul de energie emis, mărime măsurată în watt. Energia emisă de sursă este transferată în întreg mediul. Raportul dintre fluxul de energie P și aria S a unei suprafețe perpendiculare pe direcția de propagare prin care are loc transferul de energie

$$I = \frac{P}{S} \quad (10.25)$$

definește *densitatea de flux de energie* sau *intensitatea* I a undei, mărime care în S.I. se măsoară în W/m^2 .

Deoarece energia transferată printr-o porțiune a unei suprafețe de undă este suma energiei tuturor oscilatorilor de pe această suprafață de undă și pentru că energia unui oscilator armonic este proporțională cu A^2 (pătratul amplitudinii) rezultă că densitatea fluxului de energie este direct proporțională cu pătratul amplitudinii oscilatorilor de pe această suprafață de undă

$$I \sim A^2. \quad (10.26)$$

Observație importantă!

Proprietatea cea mai importantă a unei unde este aceea de a transfera „energie”. Transportul de „energie” are loc fără transport de substanță!

F F'

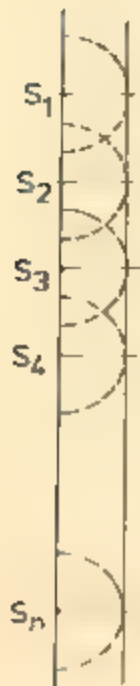


Fig. 10.29. Undă plană generată de mai multe surse de oscilație situate în același plan

Ne propunem să stabilim care este expresia funcției $\vec{u} = \vec{u}(\vec{r}, t)$ pentru un caz concret: undă plană.

Știm că acest tip de undă se caracterizează prin faptul că suprafețele de egală fază sînt plane, adică sînt suprafețe care se închid la infinit. Avem de a face, evident, cu o idealizare. O suprafață de egală fază poate fi considerată plană pe o porțiune mică, dacă este mult depărtată de sursa de oscilație. Se mai pot obține însă unde plane și altfel, anume folosind un număr mare de surse de oscilație dispuse pe un plan și care sînt în fază. Undele produse de aceste centre, separat, se compun și rezultatul este o undă plană (fig. 10.29).

Indiferent de modul de obținere, undele plane sînt caracterizate de faptul că amplitudinile oscilațiilor tuturor punctelor mediului sînt aceleași. Acest fapt este o consecință a legii conservării energiei: energia unui plan de oscilatori este pre-

lucată de un plan similar (același număr de particule) și prin urmare energia repartizată unui oscilator va fi aceeași (mediul de propagare este presupus nedisipativ). Cum energia de oscilație este proporțională cu puterea a doua a amplitudinii, A^2 , consecința apare evidentă.

Să reluăm în discuție modelul lanț de resorturi și bile. Acest model este suficient pentru studiul undei plane întrucît ne putem imagina o mulțime de lanțuri avînd bilele în plane paralele între ele și perpendiculare pe resorturi. Dacă toate lanțurile sînt perturbate simultan și identic, vom obține o undă plană care se propagă prin sistemul lor. Cum fiecare lanț se comportă la fel ca celelalte este suficient să studiem numai unul, pentru a obține informații despre întreg sistemul.

Vom presupune că perturbația externă este armonică, adică elongația bilei 1 va fi o funcție de forma $u_1 = A \sin \omega t$. Oscilațiile sînt presupuse paralele sau perpendiculare pe lanț. Pulsația perturbației se presupune a fi egală cu pulsațiile proprii ale bilelor, se presupune deci existența unui cuplaj strins, a unui transfer optim de energie.

Cum depinde elongația unei bile oarecare n din lanț de timpul de propagare de la sursa de oscilație și de distanța față de sursă?

Bila n va intra în oscilație mai tîrziu decît bila 1 și deci între cele două bile va exista un defazaj φ . Cum forțele care acționează asupra bilei n sînt

forțe elastice, oscilația sa va fi tot armonică și, unda fiind plană, amplitudinea va fi aceeași. Deci elongația bilei n va fi de forma:

$$u = A \sin(\omega t + \varphi) = A \sin \omega \left(t + \frac{\varphi}{\omega} \right). \quad (10.27)$$

Defazajul dintre cele două bile se datorează intrării mai târziu în oscilație a bilei n față de bila 1 , adică timpului τ necesar undei să parcurgă distanța x de la bila 1 la bila n : $\tau = \frac{x}{v_f}$. Deci putem scrie acum

$$u = A \sin \omega(t - \tau). \quad (10.28)$$

Așadar bila n începe să oscileze cu o întârziere τ față de bila 1 (momentul inițial fiind acela în care este aplicată perturbația). Adică, la momentul t , bila n are aceeași elongație pe care o avea bila 1 la momentul $(t - \tau)$, deci mai devreme. Înlocuind pe τ rezultă

$$u = A \sin \omega \left(t - \frac{x}{v_f} \right) = A \sin \left(\omega t - \frac{\omega x}{v_f} \right)$$

dar cum $\omega = \frac{2\pi}{T}$ și $v_f = \frac{\lambda}{T}$ rezultă:

$$u = A \sin 2\pi \left(\frac{t}{T} - \frac{x}{\lambda} \right). \quad (10.29)$$

Relația (10.29) reprezintă așa numita *ecuație a undei plane* sau legea de mișcare a undei.

Observație Dacă m este un număr întreg, păstrând x constant și punând în loc de $t \rightarrow t + mT$ rezultă:

$$\begin{aligned} u(t + mT, x) &= A \sin 2\pi \left(\frac{t + mT}{T} - \frac{x}{\lambda} \right) = A \sin 2\pi \left(\frac{t}{T} + m - \frac{x}{\lambda} \right) = \\ &= A \sin \left[2\pi \left(\frac{t}{T} - \frac{x}{\lambda} \right) + 2\pi m \right] = A \sin 2\pi \left(\frac{t}{T} - \frac{x}{\lambda} \right) = u(t, x), \end{aligned}$$

adică funcția are perioada T .

Păstrînd t constant avem $u(x, t) = A \sin 2\pi \left(\frac{t}{T} - \frac{x}{\lambda} \right)$

$$\begin{aligned} u(x + m\lambda, t) &= A \sin 2\pi \left(\frac{t}{T} - \frac{x + m\lambda}{\lambda} \right) = A \sin 2\pi \left(\frac{t}{T} - \frac{x}{\lambda} - m \right) = \\ &= A \sin \left[2\pi \left(\frac{t}{T} - \frac{x}{\lambda} \right) - 2\pi m \right] = A \sin 2\pi \left(\frac{t}{T} - \frac{x}{\lambda} \right) = u(x, t) \end{aligned}$$

Rezultă că: $\vec{u} = \vec{u}(t, x)$ este periodică atât în timp (cu perioada T) cît și în spațiu (cu perioada λ). În acest fel unda trebuie concepută în două privințe ca un proces periodic. Perioada temporală este perioada de oscilație T , „perioada” spațială este lungimea de undă λ .

O undă este un fenomen periodic în timp și spațiu

Relația (10.29) ne permite să exprimăm defazajul dintre doi oscilatori aflați la distanța x_1 respectiv x_2 de o sursă de oscilație, pe aceeași rază de undă, la același moment t . Într-adevăr dacă

$$u_1 = A \sin 2\pi \left(\frac{t}{T} - \frac{x_1}{\lambda} \right) \text{ și } u_2 = A \sin 2\pi \left(\frac{t}{T} - \frac{x_2}{\lambda} \right)$$

reprezintă elongațiile celor doi oscilatori atunci defazajul este,

$$\Delta\varphi = \varphi_2 - \varphi_1 = 2\pi \left(\frac{t}{T} - \frac{x_2}{\lambda} \right) - 2\pi \left(\frac{t}{T} - \frac{x_1}{\lambda} \right) = \frac{2\pi}{\lambda} (x_1 - x_2).$$

$$\Delta\varphi = \frac{2\pi}{\lambda} \Delta x. \quad (10.30)$$

Dacă Δx , diferența de drum dintre cei doi oscilatori, respectiv dintre suprafețele de undă cărora aparțin, este de forma $2k \frac{\lambda}{2}$, (un număr par de $\frac{\lambda}{2}$), atunci $\Delta\varphi$, defazajul, este $2k\pi$ și cei doi oscilatori, suprafețele lor de undă, sînt în fază.

În cazul în care $\Delta x = (2k + 1) \frac{\lambda}{2}$, (număr impar de $\frac{\lambda}{2}$), atunci defazajul $\Delta\varphi = (2k + 1)\pi$ și cei doi oscilatori sînt în opoziție de fază.

Exercițiu. O sursă de unde plane oscilează după ecuația $u = 3 \cdot 10^{-1} \sin \frac{\pi}{9} t$.

Dacă viteza de propagare a undelor este de 2 m/s: a) să se scrie ecuația undei, b) să se afle diferența de fază între oscilațiile a două puncte M și N aflate la distanța de 3 m respectiv de 4 m de sursă.

Rezolvare. a) Ecuația undei plane este

$$u = A \sin 2\pi \left(\frac{t}{T} - \frac{x}{\lambda} \right).$$

Comparînd legea de oscilație a sursei cu relația $u = A \sin (2\pi t + \varphi)$ observăm că $\omega = \frac{\pi}{9}$ rad/s de unde $T = \frac{2\pi}{\omega} = 18$ s, ceea ce permite calcularea lungimii de undă, $\lambda = vT = 2 \text{ m/s} \cdot 18 \text{ s} = 36 \text{ m}$. Putem scrie acum ecuația undei plane

$$u = 3 \cdot 10^{-1} \sin 2\pi \left(\frac{t}{18} - \frac{x}{36} \right)$$

b) Punctele M și N oscilează după legea

$$u_M = 3 \cdot 10^{-1} \sin 2\pi \left(\frac{t}{18} - \frac{3}{36} \right), \quad u_N = 3 \cdot 10^{-1} \sin 2\pi \left(\frac{t}{18} - \frac{4}{36} \right),$$

diferența de fază este deci $\varphi_1 - \varphi_2 = \Delta\varphi = 2\pi \left(\frac{t}{18} - \frac{3}{36} \right) - 2\pi \left(\frac{t}{18} - \frac{4}{36} \right) = \frac{\pi}{18}$ rad

10.6. CLASIFICAREA UNDELOR ELASTICE DUPĂ FRECVENȚĂ

Am reținut din paragrafele anterioare că undele care se formează în mediile elastice se numesc unde elastice. Considerind că izvorul de perturbație este un oscilator armonic, adică un oscilator sinusoidal, atunci și undele care se transmit în mediile elastice sînt sinusoidale. Dacă astfel de unde provin de la izvoare de oscilație, a căror frecvență este cuprinsă în intervalul $16 \text{ Hz} \dots 20\,000 \text{ Hz}$, deci care pot produce senzația de sunet, ele se numesc unde sonore sau *sunete*. Oscilațiile, respectiv undele, a căror frecvență este situată între 20 kHz și 100 GHz se numesc *ultrasunete*, iar cele cu frecvențe sub 16 Hz *infrasunete*.

În ultimii ani au început studii sistematice asupra producerii, propagării și absorbției infrasonetelor datorită constatării că acestea au o mare influență asupra organismelor vii. Această influență se datorește faptului că ritmurile specifice organismelor vii se produc cu frecvențe infrasonore și deci transferul de energie dintre un infrasunet și un organism viu devine important (la rezonanță).

O categorie aparte de unde elastice o constituie undele seismice. La adîncimi de ordinul sutelor de kilometri în interiorul globului pămîntesc, se acumulează, în timp, tensiuni foarte mari datorită cărora se produc brusc rupturi și deplasări care se resimt sub formă unor perturbații violente, numite cutremure. Regiunea din interiorul Pămîntului în care se produce mișcarea se numește focar sau hipocentru, iar locul de la suprafață aflat pe verticala focalului se numește epicentru. Mediul alcătuit din roci cu proprietăți elastice însemnate face posibilă transmiterea perturbației sub formă unei unde, unda seismică. Unda seismică constă din unda seismică transversală și unda seismică longitudinală. Frecvența undelor seismice este cuprinsă în intervalul $10\text{--}25 \text{ Hz}$.

10.7. CONDIȚII DE AUDIBILITATE A OSCILAȚIILOR ELASTICE

Senzația de sunet se datorește punerii în vibrație, în anumite condiții, a terminațiilor nervului auditiv, prin intermediul diferitelor organe ale urechii.

Pentru a fi percepute ca sunete, oscilațiile din mediile elastice (apă, aer, lemn sau oțel) care ating la ureche trebuie să îndeplinească anumite condiții de frecvență și de intensitate.

Știm că frecvențele oscilațiilor sonore (sunetele) sînt cuprinse între 16 Hz și $20\,000 \text{ Hz}$. Aceste limite sînt diferite de la individ la individ, în mod deosebit limita superioară (care pentru același individ scade cu vîrstă).

În ceea ce privește intensitatea sunetului ea trebuie să fie cuprinsă, de asemenea, între anumite limite. Spre intensitățile slabe există un prag sub care sunetele nu mai pot fi percepute, $I_{\text{min}} = 10^{-12} \text{ W/m}^2$ (la $\nu = 1 \text{ kHz}$), iar spre intensitățile mari există o limită peste care senzația auditivă se

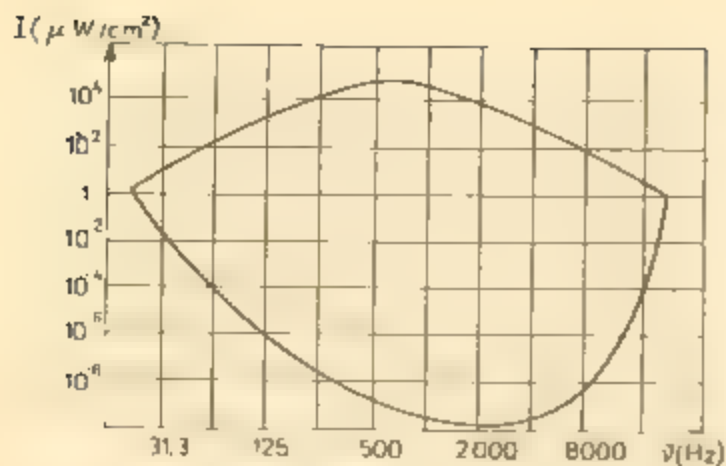


Fig. 10.30. Limitele de audibilitate.

impune undelor sonore și o limită de durată. Pentru ca o oscilație elastică care se află între limitele audibile de frecvență și intensitate, să poată fi percepută ca sunet, ea trebuie să dureze un timp minim. Pentru un observator standard (mediu) această durată este de cel puțin $\frac{1}{100}$ s. Dacă timpul este mai mic decât cel limită, oscilația elastică este percepută sub formă de pocnet.

transformă în senzație de durere, $I_s = 10^2 \text{ W/m}^2$ (la $\nu = 1 \text{ kHz}$). În figura 10.30 s-au trasat, aproximativ, limitele inferioară și superioară de intensitate audibilă pentru diferite frecvențe. Se poate observa că lărgimea suprafeței intensităților audibile variază cu frecvența, îngustându-se spre frecvențe foarte joase și foarte înalte, atingând valoarea cea mai mare în jurul frecvenței $\nu = 1000 \text{ Hz}$.

În afară de limitele de frecvență și de intensitate se mai

10.8. REFLEXIA ȘI REFRACTIA UNDELOR

10.8.1. Undă reflectată, undă refractată. Să presupunem că avem două medii în contact adică, pe o anumită suprafață, particulele unuia dintre ele interacționează cu particulele celuilalt. Să notăm cele două medii cu A și B și să presupunem că prin mediul A se propagă o undă către suprafața de separare (a, b) (fig. 10.31). În momentul în care unda ajunge la particulele de mediu A , situate pe suprafața (a, b) , acestea încep să oscileze. Cum particulele mediului B , aflate pe suprafața de contact, sînt în interacțiune cu cele

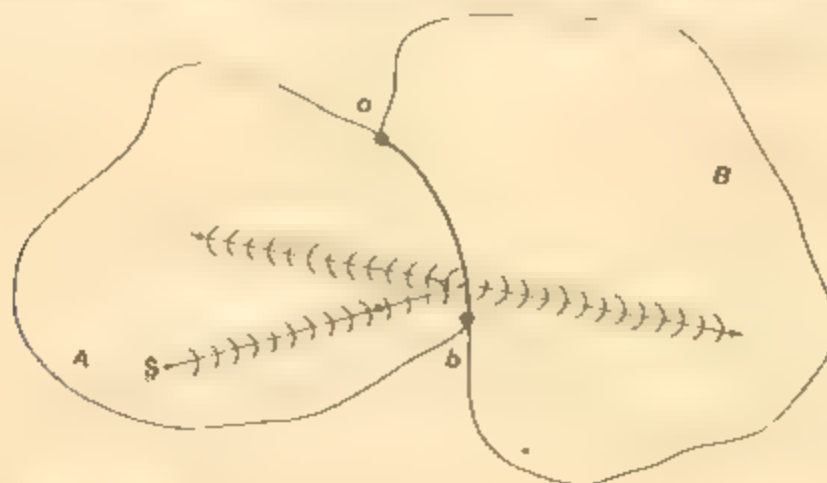


Fig. 10.31. Reflexia și refracția unei unde elastice.

ale mediului A , rezultă că oscilațiile se vor transmite mai departe în mediul B și odată cu ele și o parte din energia inițială.

Oscilatorii din mediul A , de pe suprafața de separare (a, b), după ce au pus în stare de oscilație particulele mediului B , vor continua să oscileze însă cu amplitudini mai mici. Acești oscilatori devin surse pentru o undă care se va propaga tot prin mediul A , dar care va fi diferită de cea inițială. (Energia transportată de această nouă undă va fi diferența dintre energia inițială și energia transferată mediului B .)

Unda care ia naștere în mediul B se numește undă transmisă sau undă refractată, iar cea care se formează în mediul A , undă reflectată.

Cum se propagă cele două unde? Cum se pot determina noile direcții de propagare?

Principiul lui Huygens enunțat, acum, pentru cazul general ne va ajuta să obținem răspuns la întrebările puse.

Fie o undă care se propagă printr-un mediu; dacă la un anumit moment t se înlocuiește frontul ei de undă cu o mulțime de oscilatori, ce constituie fiecare o sursă pentru câte o undă sferică (undă secundară sau elementară) care se propagă înainte, atunci frontul undei principale la un moment ulterior $t + \Delta t$ este suprafața tangentă (înfășurătoare) la fronturile undelor elementare (la momentul Δt de la generarea lor).

(1) altă formulare a principiului lui Huygens este următoarea:

„Fie o undă care se propagă printr-un mediu; dacă la un anumit moment t se înlocuiește frontul ei de undă cu o mulțime de oscilatori, ce constituie fiecare o sursă pentru câte o undă sferică (undă secundară sau elementară) care se propagă înainte, atunci frontul undei principale la un moment ulterior $t + \Delta t$ este suprafața tangentă (înfășurătoare) la fronturile undelor elementare (la momentul Δt de la generarea lor).”

Figura 10.32, a și b ilustrează construirea frontului de undă cu ajutorul principiului lui Huygens a) pentru unde circulare și b) pentru unde liniare.

Se poate ilustra principiul lui Huygens prin undele superficiale de la suprafața unui lichid, folosind aparatul de produs unde (fig. 10.33, a). Un vibrator produce perturbația stratului superficial de apă din cava C și generează unde circulare pe suprafața apei (fig. 10.33, b). Dacă așezăm pe apă un cilindru de tablă cu multe fante înguste practicate de-a lungul generatoarei

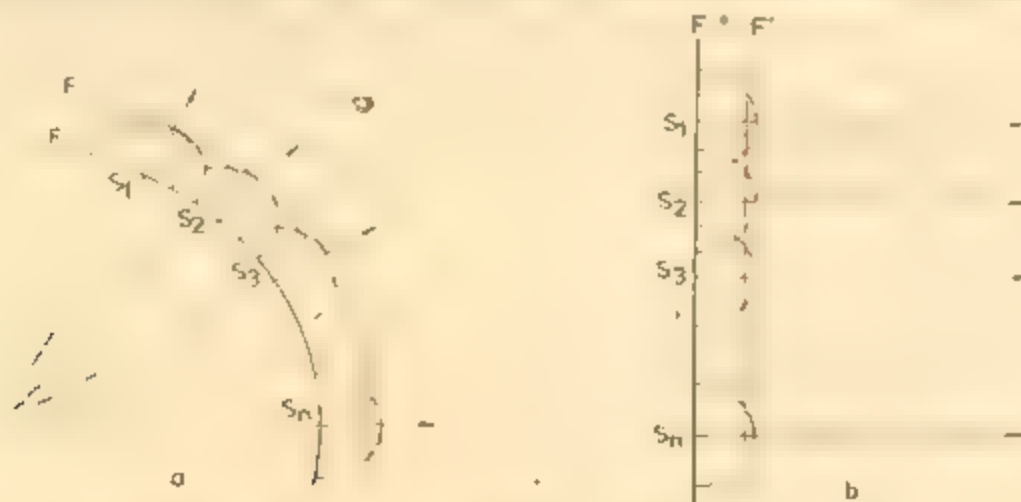


Fig. 10.32. Principiul lui Huygens. Construirea fronturilor de undă pentru unde circulare (a) și unde liniare (b).

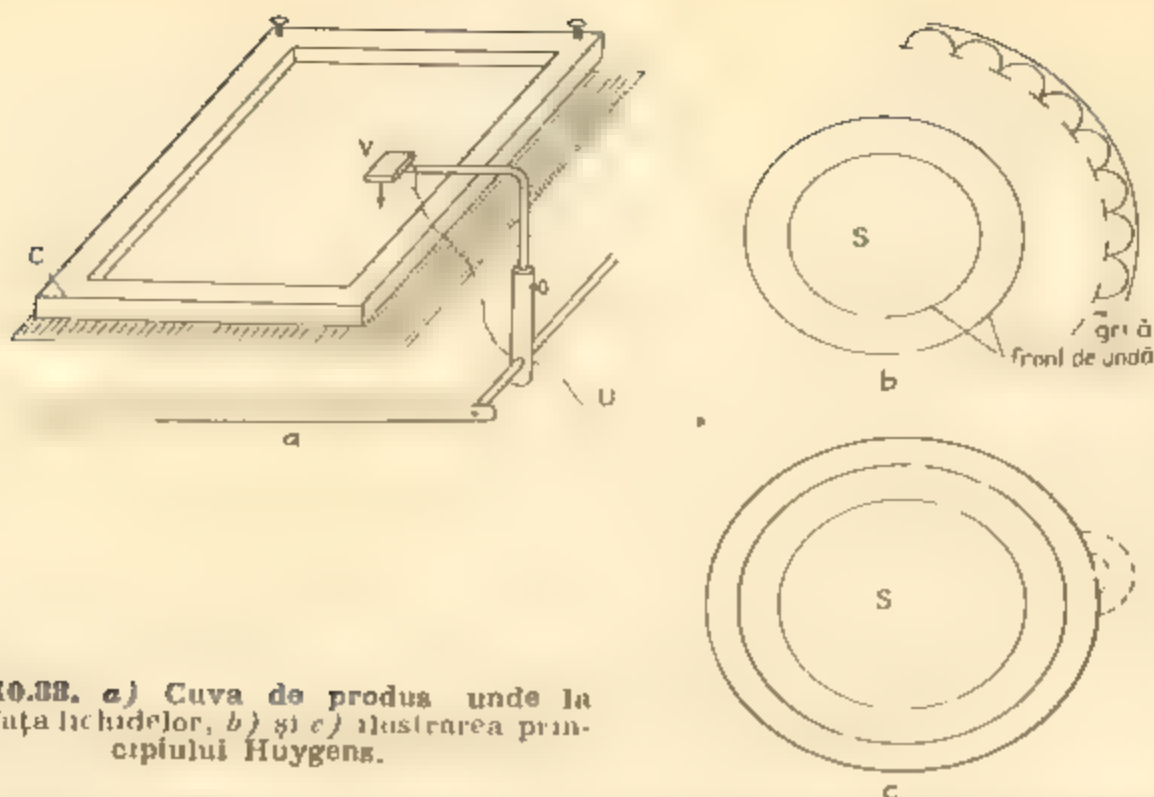


Fig. 10.33. a) Cuva de produs unde la suprafața lichidelor, b) și c) ilustrarea principiului Huygens.

(grila din figură) astfel încât axa lui să treacă prin centrul de oscilație, vom observa că frontul circular al undei se reface dincolo de cilindru. Dacă închidem toate fantele cu excepția uneia, vom observa unde circulare care se propagă înainte din această fantă și care se comportă ca un nou centru de oscilație (fig. 10.33, c).

10.82. Reflexia și refracția undelor superficiale. a) Reflexia. În cuva aparatului de produs unde se produc unde liniare. Așezând un obstacol în calea undelor, se observă fenomenul de reflexie, undele emise de izvorul de oscilație revenind în mediul în care s-au propagat la incidența cu obstacolul (peretele) P care constituie un mediu cu alte caracteristici decât mediul inițial (fig. 10.34, a).

De observat că direcția de propagare SI a undei incidente se schimbă devenind IR (fig. 10.34, b). Se construiește perpendiculara NI pe peretele P



Fig. 10.34. Reflexia undelor: a) fotografie în cuvă, b) schema geometrică corespunzătoare situației din a)

în punctul de incidență I . Unghiul $\widehat{SIN} = \hat{i}$ se numește *unghi de incidență* iar unghiul $\widehat{NIR} = r$ se numește *unghi de reflexie*.

b) Refracția. La același aparat, modificând adâncimea unei părți din apă prin așezarea pe fundul cuvei a unei plăci, schimbăm caracteristicile mediului (viteza undelor în regiunea mai puțin adâncă este mai mică). Fotografia din figura 10.35, *a* arată cum se schimbă direcția unei incidente la trecerea în alt mediu. Direcția SI , după trecerea liniei care separă cele două regiuni, devine IR (fig. 10.35, *b*).

Schimbarea direcției de propagare a unei la suprafața de separare între două regiuni în care vitezele de propagare sînt diferite, o numim *refracție*. Unghiul r se numește *unghi de refracție*. Se observă, în cazul dat, că unghiul de refracție este mai mic decît unghiul de incidență.

10.8.3. Legile reflexiei și refracției. *a) Legea reflexiei.* Să considerăm o porțiune a frontului de undă plan AA' care avansează cu viteza v pe direcția SI către suprafața de separare P pe care o atinge la un moment dat t (fig. 10.34, *b*). La un anumit moment poziția frontului de undă este IA_1 și de la fiecare punct al frontului care va atinge suprafața P vor pleca unde elementare care conform principiului lui Huygens se vor propaga în același mediu.

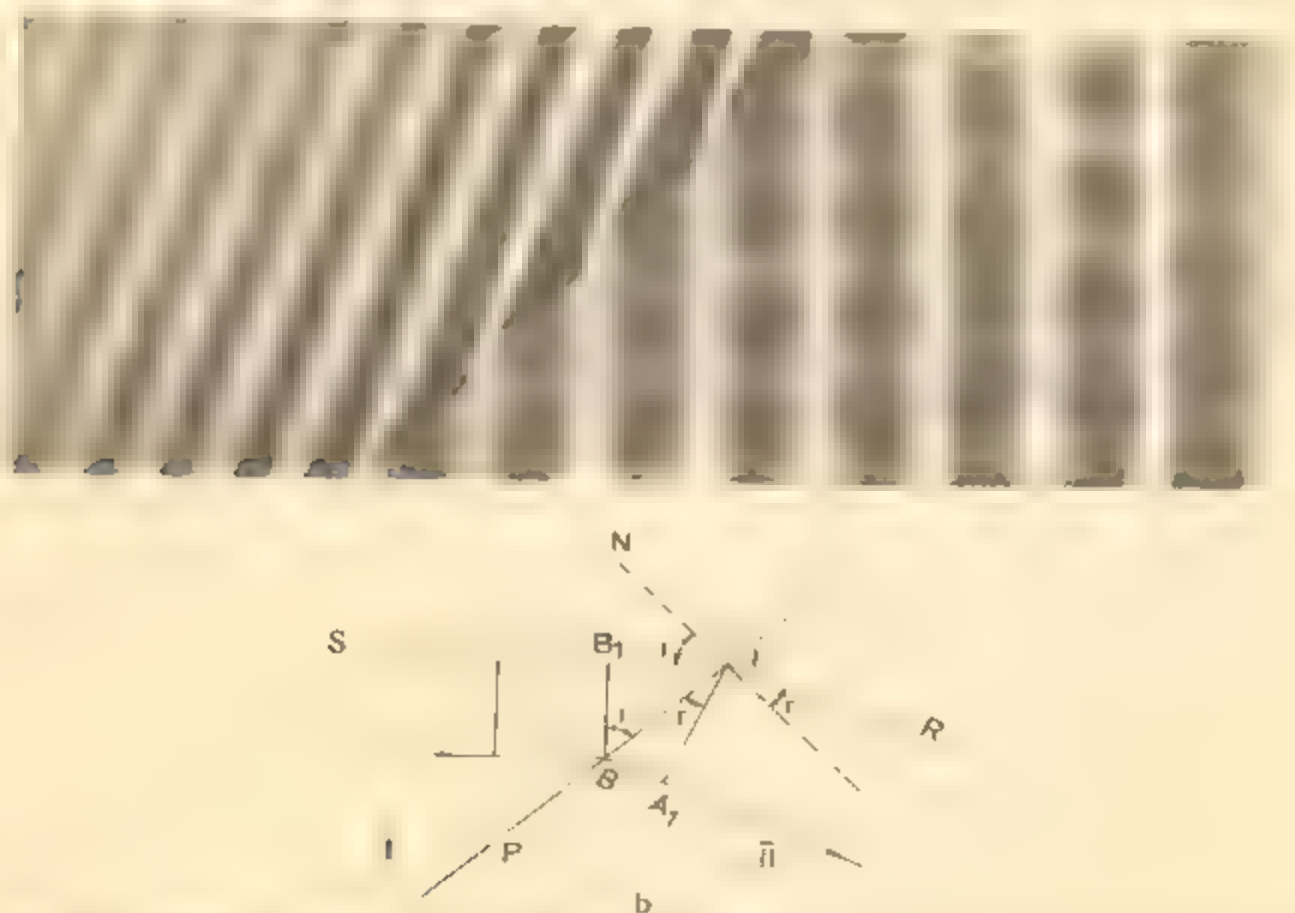


Fig. 10.35. Refracția undelor. *a)* fotografie în cuvă, *b)* schema geometrică corespunzătoare situației din *a*).

În intervalul de timp Δt , începînd cu momentul t și sfîrșind cu momentul $(t + \Delta t)$, moment la care punctele frontului de undă IA_1 au luat contact cu peretele, undele elementare produse succesiv de toate punctele dintre I și B se propagă de la perete înapoi în mediul din care au venit. Suprafața tangentă fronturilor de undă ale tuturor acestor unde elementare (înfășurătoarea) formează noul front de undă B_1B care se deplasează pe direcția IR . Se observă că triunghiurile dreptunghice IA_1B și BB_1I sînt egale avînd IB latura comună și $A_1B = IB_1 = v\Delta t$. Rezultă că $\angle A_1IB = \angle B_1BI$ sau

$$\hat{i} = \hat{r}. \quad (10.31)$$

Deci, la reflexie, unghiul de reflexie este egal cu unghiul de incidență.

b) *Legea refracției* Porțiunea BB_1 a frontului de undă incident avansează cu viteza v_1 pe direcția SI spre suprafața de separare P pe care o atinge în B la momentul t și în I la momentul $(t + \Delta t)$ (fig. 10.35, b). În intervalul Δt , succesiv, din toate punctele situate între B și I , se propagă unde elementare cu viteza $v_2 \neq v_1$. Tangenta tuturor fronturilor acestor unde formează frontul undei refractate care la momentul $(t + \Delta t)$ ocupă poziția A_1I . Din triunghiurile BB_1I și BA_1I , triunghiuri dreptunghice, putem scrie:

$$\sin \widehat{B_1BI} = \frac{B_1I}{BI} = \frac{v_1 \Delta t}{BI} \text{ și } \sin \widehat{BIA_1} = \frac{BA_1}{BI} = \frac{v_2 \Delta t}{BI}.$$

Dacă facem raportul $\frac{\sin \widehat{B_1BI}}{\sin \widehat{BIA_1}}$ și observăm că $\widehat{B_1BI} = \hat{i}$ (unghiul de incidență) iar $\widehat{BIA_1} = \hat{r}$ (unghiul de refracție) obținem legea refracției.

$$= \frac{v_1}{v_2} = n_{21}. \quad (10.32)$$

Raportul $\frac{v_1}{v_2} = n_{21}$ se numește indice de refracție al mediului 2 față de mediul 1.

Știînd că $\lambda = vT$ putem scrie: $\lambda_1 = v_1T$, respectiv $\lambda_2 = v_2T$, lungimile de undă ale undelor care se propagă în cele două medii. Relația (10.32) poate fi scrisă:

$$n_{21} = \frac{v_1}{v_2} = \frac{\lambda_2}{\lambda_1}. \quad (10.33)$$

Exercițiu. Undele produse într-o cuvă cu apă trec dintr-o regiune mai puțin adîncă în una mai adîncă și se refractă. Știînd că unghiul de incidență este de 19° iar cel de refracție de 30° să se afle: a) raportul vitezelor în cele două regiuni, b) raportul lungimilor de undă din cele două regiuni.

Rezolvare a) Din legea refracției $\frac{\sin i}{\sin r} = \frac{v_1}{v_2}$ înlocuind cu datele din enunț avem
 $\sin 19^\circ = \frac{v_1}{v_2} = \frac{2}{3}$, b) Din relația (10.33) putem scrie $\frac{\lambda_1}{\lambda_2} = \frac{2}{3}$.

10.8.4. Reflexie cu schimbare de sens

EXPERIMENT

Se produce o perturbatie transversală, puternică (un șoc) pe o coardă sau pe un tub de cauciuc al cărui capăt este lăsat mobil cu ajutorul unei sferei sau unei mci (fig. 10.36, a), sau este fix (fig. 10.36, b). Se observă, de a lungul coardei, propagarea unei „creste” de undă spre capătul ei. În cazul a) ea se întoarce cu deviere în aceeași parte adică tot ca o creastă. În cazul b) unda se întoarce ca o „depresiune” (adîncitură).

În ambele cazuri, perturbatia este reflectată la capătul corzii (ca la întâlnirea cu un perete — obstacol), dar felul reflexiei depinde de faptul dacă capătul corzii poate oscila liber transversal, numindu-l în acest caz capăt liber, sau dacă la capăt nu poate apărea nici o oscilație, numindu-l capăt fix.

Așadar „cresta” unei unde transversale se reflectă (se întoarce) la capătul liber ca o „cresta” de undă, iar la capătul fix ca o „depresiune” de undă.

Unda suferă la capătul fix un salt de fază egal cu π sau o „pierdere” de $\frac{\lambda}{2}$ pentru că după reflexie toate punctele vor oscila de cealaltă parte a tubului (corzii), față de unda incidentă.

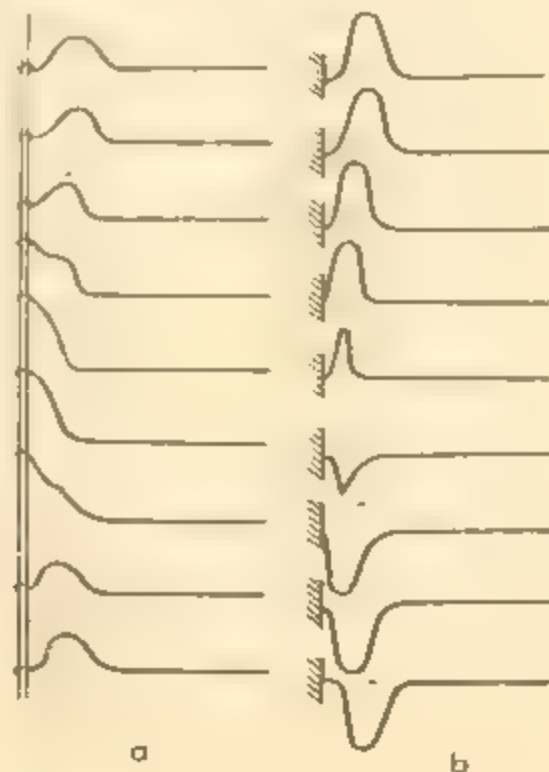


Fig. 10.36. Reflexia unei perturbatii care se propagă pe o coardă (desenele sînt distanțate uniform în timp). a) La capătul liber faza nu se schimbă, după reflexie; b) prin reflexie la capătul fix se schimbă faza cu 180° .

Concluzii identice se obțin dacă se analizează reflexia unei unde longitudinale.

10.9. DIFRACTIA

Ce se întâmplă atunci când undele care se propagă într-un mediu oarecare întâlnesc obstacole de dimensiuni comparabile cu lungimea de undă?

EXPERIMENT

În calea unor unde plane produse pe suprafața apei, în cuva de producere a undelor, se așază succesiv obstacole liniare de diferite dimensiuni (fig. 10.37, *a, b, c*) sau se lasă să treacă undele prin deschideri (fante) diferite (fig. 10.37, *d, e, f*).

În primul caz observăm că undele pătrund cu atât mai mult în „spațiul umbrei” geometrice din spatele obstacolului cu cât dimensiunile obstacolului devin mai mici. Și în al doilea caz se observă că regiunea în care se propagă unda în zona de „umbră” este cu atât mai mare cu cât deschiderea este mai mică.

Observație Difrakția este un fenomen distinct de cel de refracție. Refracția apare la trecerea unei unde dintr-un mediu în altul cu viteze diferite de propagare; difrakția apare la propagarea undei în același mediu fără schimbarea vitezei de propagare.

EXPERIMENT

Să repetăm experimentele de mai sus cu unde a căror lungime de undă diferă mult față de dimensiunile fantelor (obstacolelor). Figura 10.38 ilustrează efectul unei fante asupra unor unde cu lungimea de undă mult mai mică decât deschiderea sa, respectiv cu lungimea de undă comparabilă cu dimensiunea fantei.

Experiența arată că factorul determinant pentru fenomenele de difracție este raportul dintre lungimea de undă și dimensiunea obstacolului difractant. Difrakția este deosebit de pronunțată atunci când dimensiunile obstacolelor difractante sînt comparabile cu lungimea de undă.



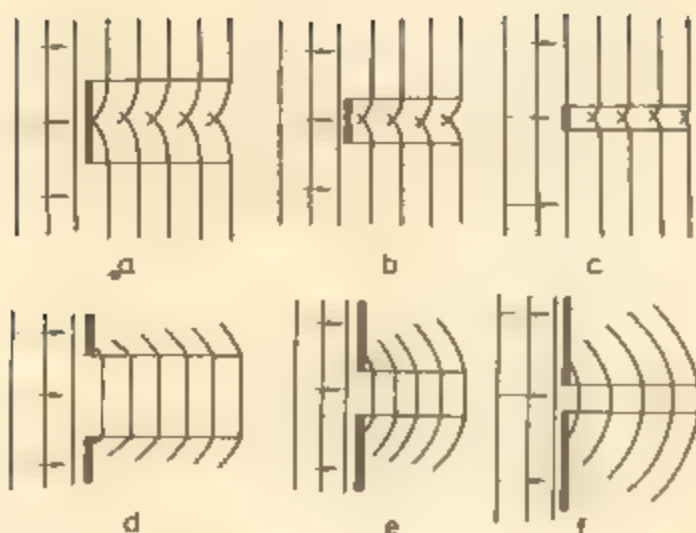


Fig. 10.37. Difrakția undelor pe obstacole și fante de diferite lățimi.

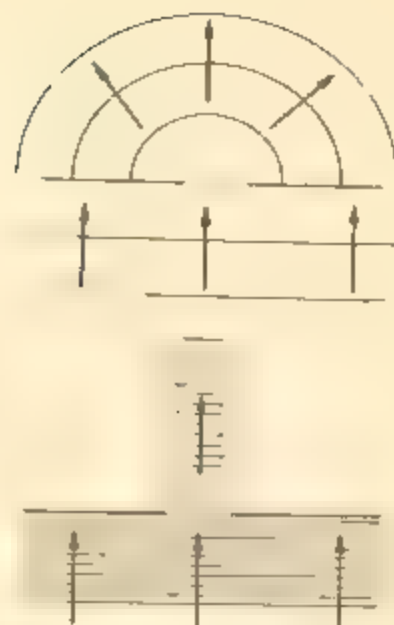


Fig. 10.38. Efectul unui orificiu asupra unor unde cu lungimea de undă mult mai mică decât orificiul, respectiv cu lungimea de undă comparabilă cu dimensiunile orificiului.

Fenomenul de difracție poate fi explicat pe baza principiului lui Huygens. Se consideră frontul de undă care a atins obstacolul ca fiind format dintr-o mulțime de centre (surse) noi de oscilații de la care pleacă unde elementare (fig. 10.37). În figura 10.37, *f* se observă formarea unei unde elementare individuale; are loc o difracție pronunțată.

10.10. INTERFERENȚA. UNDE STATIONARE

10.10. 1. Interferența undelor

EXPERIMENT

La capetele unei corzi (tub de cauciuc, lanț de resorturi), se produc, printr-o perturbație, două creste de unde, ambele de aceeași parte sau una de o parte și alta de cealaltă parte a corzii (fig. 10.39, *a*, *b*).

Se observă că ambele creste de undă se deplasează de-a lungul corzii nestingherite atât înainte cât și după ce se întâlnesc. În locul în care crestele de undă se întâlnesc apare o creastă vizibilă mai înaltă (fig. 10.39, *a*) sau deformarea dispare complet (fig. 10.39, *b*). Experimentul poate fi realizat și cu

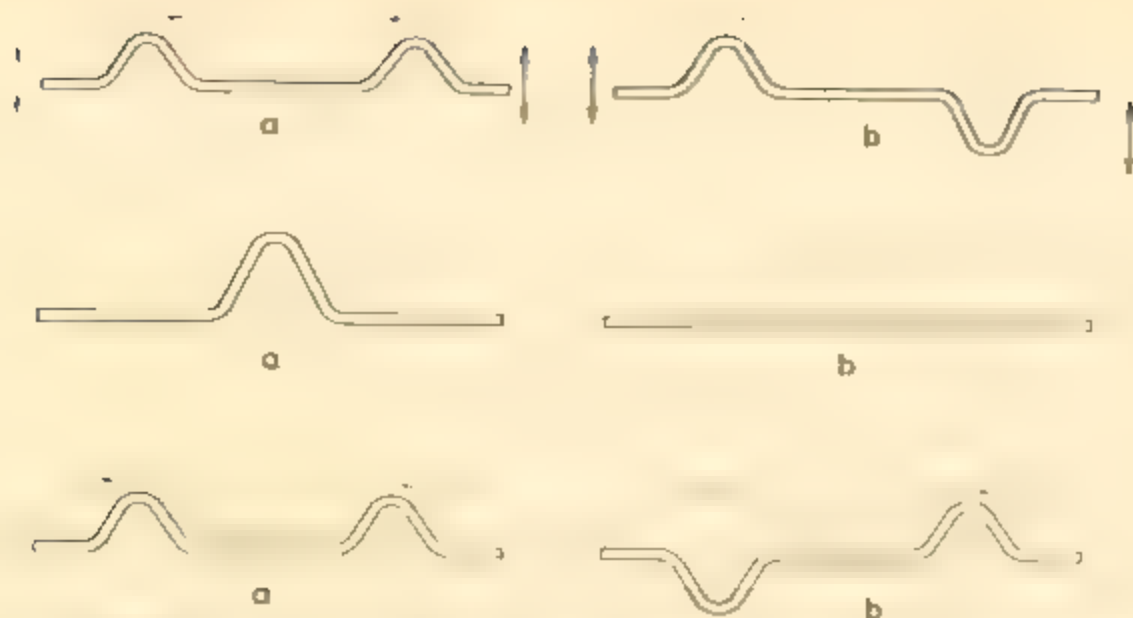


Fig. 10.39. Suprapunerea a două perturbații: a) cu aceeași fază; b) cu fază opusă

ajutorul lanțului de pendule. În acest caz, în momentul întâlnirii perturbațiilor unul din pendule deviază mult mai mult decât celelalte (a) sau abia se mișcă (b).

Ne întâlnim aici cu o situație deosebită, caracteristică propagării undelor. Peste unul și același lanț de oscilatori pot trece în același timp perturbații diferite, provenite de la două unde, fără ca undele care se produc pe lanțul (mediul) de oscilatori să se perturbe una pe alta. În locul în care cele două unde se întâlnesc ele se suprapun într-un mod foarte simplu: *amplitudinile oscilațiilor produse de cele două unde se adună (algebric)*.

Faptul că după întâlnire undele trec mai departe complet neschimbate, iar în timpul întâlnirii amplitudinile lor se adună, poartă denumirea de *suprapunere neperturbată* sau de *principiul superpoziției neperturbate a undelor*.

O importanță deosebită o prezintă cazul în care undele care se întâlnesc au aceeași lungime de undă și determină oscilații de aceeași frecvență (pulsanțe), unde denumite *coerente*.

numește interferență

Pentru fenomenul de interferență a două unde care se propagă pe aceeași direcție este importantă diferența de drum dintre cele două oscilații care se suprapun în același loc. În figura 10.40, a, diferența de drum Δx dintre oscilațiile produse de cele două unde este nulă și deci oscilațiile provocate de ambele

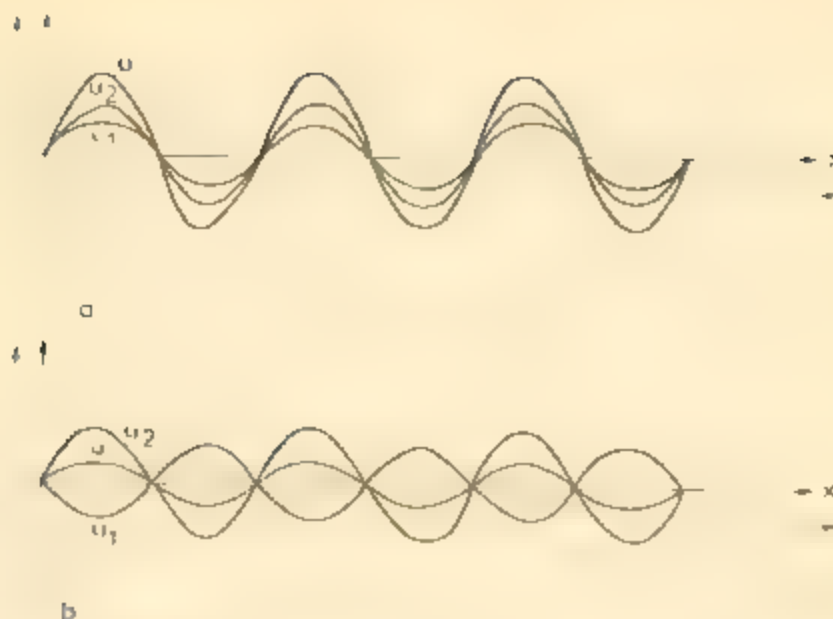


Fig. 10.40. Interferența a două unde cu aceeași lungime de undă: *a*) când diferența de drum este nulă și *b*) când diferența de drum este de o jumătate de lungime de undă.

unde sînt în fiecare punct de întîlnire, în fază. Cele două unde se „întăresc” una pe alta, oscilația rezultantă se face cu amplitudine maximă. În figura 10.40, *b* diferența de drum dintre oscilațiile produse de cele două unde este

$\Delta x = \frac{\lambda}{2}$. Oscilațiile produse de cele două unde, într-un anumit punct, vor

prezenta o diferență de fază $\Delta\varphi = \frac{2\pi}{\lambda} \cdot \frac{\lambda}{2} = \pi$. Cele două unde se „slăbesc” reciproc, amplitudinea oscilației rezultante este minimă. Dacă amplitudinile undelor sînt egale, oscilația rezultantă este nulă, cele două unde se „sting” complet una pe alta.

Observație. Două unde care interferă, se intensifică sau se slăbesc la maximum într-un anumit punct, cînd diferența de drum este zero sau $\frac{\lambda}{2}$. Pentru amplitudini egale ele se anulează complet dacă $\Delta x = \frac{\lambda}{2}$.

Dacă ținem seama de relația (10.30) se observă că la interferență avem:

a) amplificare maximă, cînd diferența de drum $\Delta x = k\lambda = \frac{2k\lambda}{2}$

este un număr par de $\frac{\lambda}{2}$. Din $\Delta\varphi = \frac{2\pi}{\lambda} \Delta x$ rezultă că pentru $\Delta x = k\lambda$ avem $\Delta\varphi = 2k\pi$ ($k = 0, 1, 2, \dots$). Deci un maxim de oscilație corespunde unei diferențe de drum de forma $2k \cdot \frac{\lambda}{2}$ sau unei diferențe de fază de $2k\pi$;

b) *atenuare maximă*, când diferența de drum $\Delta x = (2k + 1) \frac{\lambda}{2}$ este un număr impar de $\frac{\lambda}{2}$. În acest caz rezultă pentru $\Delta\varphi$ condiția $\Delta\varphi = (2k + 1)\pi$. Adică atenuarea maximă a două unde corespunde unei diferențe de drum de forma $(2k + 1) \frac{\lambda}{2}$ sau unei diferențe de fază de forma $(2k + 1)\pi$.

Zona în care se produce suprapunerea undelor se numește *cîmp de interferență*. Să considerăm un punct P din zona de interferență a undelor plane care provin de la două centre de oscilație C_1 și C_2 , care au aceeași pulsație (fig. 10.41). Vom presupune că oscilațiile care ajung în punctul P sunt oscilații armonice și au elongațiile paralele de forma:

$$y_1 = A_1 \sin 2\pi \left(\frac{t}{T} - \frac{x_1}{\lambda} \right),$$

$$y_2 = A_2 \sin 2\pi \left(\frac{t}{T} - \frac{x_2}{\lambda} \right).$$

Punctul P va descrie o mișcare rezultativă din compunerea celor două oscilații și după cum se știe de la compunerea oscilațiilor paralele și de aceeași pulsație această mișcare este oscilatorie armonică. Amplitudinea mișcării rezultante este dată de relația

$$A^2 = A_1^2 + A_2^2 + 2A_1A_2 \cos \Delta\varphi.$$

Dar cum $\Delta\varphi = \frac{2\pi}{\lambda} \Delta x$, avem pentru amplitudinea oscilației rezultante

$$A^2 = A_1^2 + A_2^2 + 2A_1A_2 \cos \left[\frac{2\pi}{\lambda} (x_2 - x_1) \right]. \quad (10.34)$$

Rezultă că amplitudinea oscilației în punctul P depinde de amplitudinile oscilațiilor care se suprapun și de diferența de drum $\Delta x = x_2 - x_1$ dintre oscilații în punctul de interferență.

În ipoteza că propagarea oscilațiilor se face într-un mediu în care nu există amortizare, amplitudinea oscilației rezultante va depinde numai de diferența de drum Δx dintre cele două oscilații.

În situația în care această diferență de drum este constantă și amplitudinea oscilației rezultante din punctul P este constantă.

Interferența în care toate punctele din cîmpul de interferență oscilează cu o amplitudine constantă în timp se numește *interferență staționară*.

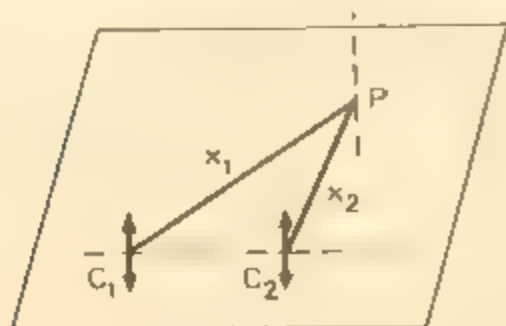


Fig. 10.41. Două centre de oscilație de aceeași pulsație într-un mediu elastic.

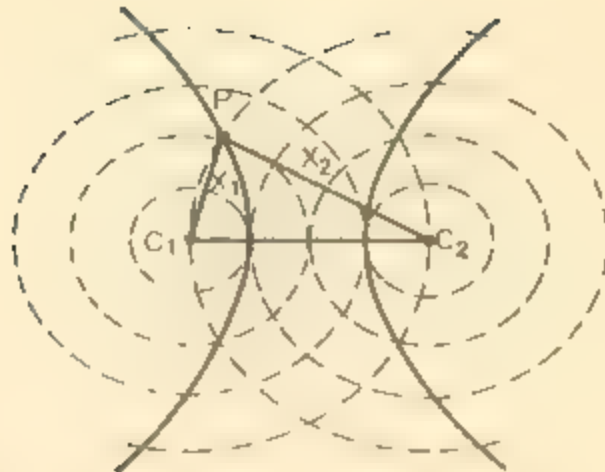


Fig. 10.42. Pentru fiecare valoare a diferenței de drum se obțin două curbe simetrice în raport cu mediatoarea segmentului C_1C_2 .

Valoarea amplitudinii oscilației fiecărui punct din câmpul de interferență depinde de diferența de drum Δx . În zona de interferență există puncte care au aceeași diferență de drum față de cele două centre de oscilație și care au aceeași amplitudine.

Curbele care unesc aceste puncte reprezintă un fel de geometru cu proprietatea că diferența de drum față de două puncte fixe este constantă (hiperbolă). Pentru fiecare valoare a diferenței de drum se obțin două curbe simetrice față de mediatoarea segmentului C_1C_2 (fig. 10.42), de egală amplitudine și care se numesc frânge de interferență.

După cum s-a afirmat mai înainte, există valori ale diferenței de drum pentru care oscilația rezultantă poate avea amplitudine maximă sau minimă. Aceste valori ale diferenței de drum, se pot obține din relația (10.34) punând condițiile

$$a) \cos \frac{2\pi}{\lambda} (x_2 - x_1) = 1, \text{ pentru amplitudine maximă } (A = A_1 + A_2)$$

$$\text{sau } \frac{2\pi}{\lambda} (x_2 - x_1) = 2k\pi, \text{ condiția din care rezultă:}$$

$$x_2 - x_1 = k\lambda = 2k \frac{\lambda}{2};$$

$$b) \cos \frac{2\pi}{\lambda} (x_2 - x_1) = -1, \text{ pentru amplitudine minimă } (A = A_1 - A_2) \text{ sau}$$

$$\frac{2\pi}{\lambda} (x_2 - x_1) = (2k + 1)\pi, \text{ de unde se obține:}$$

$$x_2 - x_1 = (2k + 1) \frac{\lambda}{2}.$$

Așadar toate punctele din câmpul de interferență pentru care diferența de drum este un număr par de $\frac{\lambda}{2}$, oscilează cu amplitudine maximă $A = A_1 + A_2$, iar cele pentru

care diferența de drum este un număr impar de $\frac{\lambda}{2}$, oscilează cu amplitudinea minimă

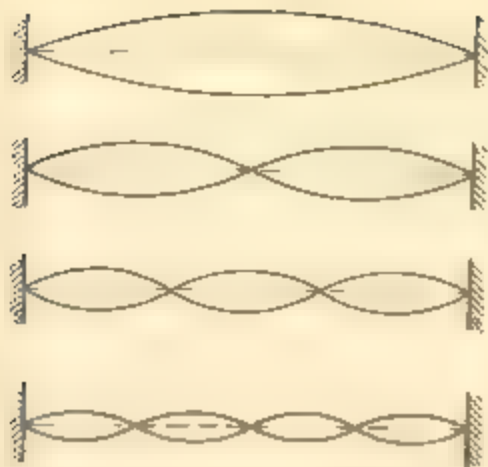


Fig. 10.43. Unde staționare pe un fir întins.

$A = A_1 + A_2$. Curbele care unesc punctele de maximă și minimă amplitudine se numesc frânge de maximă și minimă interferență. Evident pentru cazul particular $A_1 = A_2 = a$ obținem $A = 2a$ pentru amplitudine maximă și $A = 0$ pentru amplitudine minimă.

10.10.2 Unde staționare. Să perturbăm o coardă sau un resort elastic lung, provocând apariția unor unde transversale cu pulsații diferite. Să lășăm undele să se reflecte la capătul fix sau liber. Se constată că în întregul sistem se produc stări de oscilație caracteristice care nu se „deplasează” în timp ci rămân pe loc, staționează. Fenomenul se produce datorită suprapunerii undei incidente, produsă de sursa perturbatoare și undei reflectate, la capătul fix sau la cel liber.

Acest caz deosebit de interferență se numește undă staționară. *Se poate spune că două unde care se deplasează în sensuri opuse, se suprapun.*

Unda staționară prezintă la distanțe egale cu $\frac{\lambda}{2}$ locuri în care oscilația este stinsă complet, *noduri* de oscilație și între ele locuri în care punctele oscilează cu amplitudine maximă, *ventre* de oscilație.

Dacă în experiențele care pun în evidență undele staționare partea sursei de oscilație se consideră capăt fix atunci figura 10.43 redă câteva cazuri de formare a undelor staționare pe un fir întins, cînd celălalt capăt este tot fix. Figura 10.44 prezintă aparatul cu care pot fi produse și puse în evidență astfel de unde staționare.

Pentru a explica apariția nodurilor și ventrelor de oscilație să considerăm un punct oarecare P de pe firul întins (fig. 10.45), solicitat simultan de unda incidentă și de unda reflectată. Diferența de drum, dintre aceste două unde, este

$$\Delta x = \left(l + x + \frac{\lambda}{2} \right) - (l - x) = 2x + \frac{\lambda}{2},$$

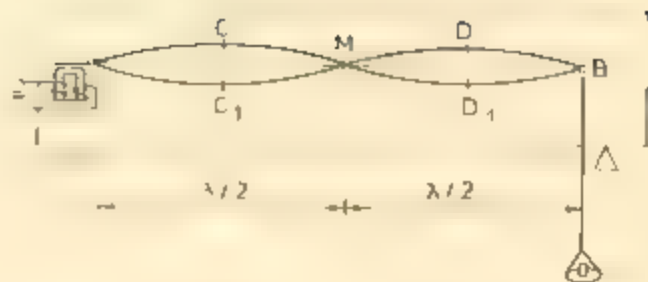


Fig. 10.44. Dispozitiv pentru producerea undelor staționare pe fir.

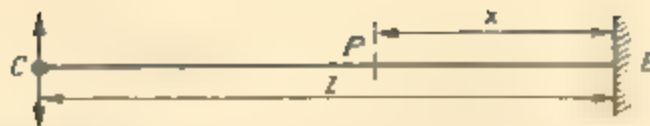


Fig. 10.45. Punctul P de pe fir este antrenat în mișcare atât de unda incidentă cât și de cea reflectată.

unde $\frac{\lambda}{2}$ reprezintă diferența de drum (pierdere, introdusă la reflexia pe capătul fix al firului (reflexie cu pierdere de $\frac{\lambda}{2}$). În ipoteza că firul este un mediu nedispersiv, amplitudinea oscilațiilor rămâne constantă în timp, rezultă că amplitudinea rezultantă este

$$A = \sqrt{A_1^2 + A_2^2 + 2A_1A_2 \cos \Delta\varphi},$$

dar cum $A_1 = A_2 = a$ (unda reflectată are aceeași amplitudine cu cea incidentă) și $\Delta\varphi = \frac{2\pi}{\lambda} \Delta x$ obținem:

$$A = \sqrt{2a^2 + 2a^2 \cos \frac{2\pi}{\lambda} \left(2x + \frac{\lambda}{2} \right)}.$$

Constatând cunoscută relația $1 + \cos \varphi = 2 \cos^2 \frac{\varphi}{2}$ se obține

$$A = \sqrt{2a^2 \left[1 + \cos \frac{2\pi}{\lambda} \left(2x + \frac{\lambda}{2} \right) \right]} = \sqrt{4a^2 \cos^2 \frac{\pi}{\lambda} \left(2x + \frac{\lambda}{2} \right)}$$

deci

$$A = 2a \cos \frac{\pi}{\lambda} \left(2x + \frac{\lambda}{2} \right). \quad (10.35)$$

Din relația (10.35) observăm că amplitudinea oscilației rezultante este independentă de timp dar variază periodic cu poziția punctului pe fir (cu distanța x față de capătul B al firului din figura 10.45). Toate punctele pentru care $2x + \frac{\lambda}{2} = \frac{2k\lambda}{2}$ oscilează cu amplitudine maximă. Aceste puncte sunt totuși punctele numite ventri și se află față de punctul de reflexie la distanțele

$$x_v = (2k - 1) \frac{\lambda}{4}, \quad k \geq 1 \text{ și întreg}$$

Punctele pentru care $2x + \frac{\lambda}{2} = (2k + 1) \frac{\lambda}{2}$, au amplitudinea zero (puncte în repaus), sînt punctele numite noduri și sînt situate față de punctul de reflexie la distanțele

$$x_n = 2k \frac{\lambda}{4} = k \frac{\lambda}{2}, \quad k \geq 0 \text{ și întreg.}$$

Poziția nodurilor și ventrelor, pe fir, nu se schimbă. punctele care oscilează cu amplitudine maximă, respectiv minimă (zero), rămân tot timpul aceleași, de aici și numele de unde staționare.

Pentru cazul firului fixat la cele două capete, reflexia se face cu schimbare de semn pentru elongație $\left(\text{pierdere de } \frac{\lambda}{2}\right)$. În fir se formează unde staționare dacă este îndeplinită condiția $l = n \frac{\lambda}{2}$, adică lungimea firului este egală cu un număr întreg de $\frac{\lambda}{2}$.

10.11. COARDE ȘI TUBURI SONORE

10.11.1. Proprietățile caracteristice ale unui sunet. În paragraful 10.6 au fost denumite sunete undele elastice a căror frecvență este cuprinsă între 16 Hz—20 kHz.

Un sunet perceput de ureche are anumite proprietăți care pot fi explicate prin mărimile fizice caracteristice sunetului și prin particularitățile organului auditiv. Se disting trei proprietăți fizice: înălțimea, intensitatea și timbrul.

a) Înălțimea. Senzația fiziologică de sunet ascuțit (înalt) și de sunet grav (jos) este determinată numai de frecvența undei sonore.

b) Intensitatea auditivă. Senzația fiziologică de intensitate a sunetului se măsoară prin intensitatea auditivă (tăria sunetului). Auzul nu dă pentru două sunete diferite senzații în același raport de tărie ca raportul intensităților lor sonore. Dacă se consideră ca intensitate de referință I_0 , pragul minim de audibilitate $I_0 = 10^{-12}$ W/m² (la 1 kHz), atunci se definește (L) nivelul de intensitate sonoră al unui sunet de intensitate I prin relația:

$$L = \lg \frac{I}{I_0}. \quad (10.36)$$

Nivelul de intensitate sonoră se măsoară în belli (B) și în decibelli (dB).

c) Timbrul. Un sunet emis de o sursă sonoră (coardă, tub etc.) are un caracter complex. Alături de sunetele principale, numite sunete fundamentale, o sursă sonoră emite simultan și câteva din armonicele sunetului fundamental. De exemplu, frecvența fundamentală pentru nota la sau armonica 1^a este de 440 Hz; orice multiplu întreg al acestei frecvențe este o armonică superioară.

Sunetul fundamental și armonicile care îl însoțesc sînt denumite componentele sunetului.

Caracteristica unui sunet care se exprimă prin numărul componentelor care însoțesc sunetul fundamental și nivelul lor de intensitate sonoră se numește timbrul aceluia sunet.

10.11.2. Surse sonore. Corpurile care pot oscila cu frecvențe între 16 Hz — 20 kHz și care pot genera unde sonore se numesc surse sonore. Printre categoriile de surse sonore importante distingem: *a)* coardele sonore și *b)* tuburile sonore.



Fig. 10.46. Ancie cu două lame.

a) *Coarde sonore* Coarda sonoră este sursa sonoră pentru toate instrumentele de corzi. O coardă sonoră poate fi pusă în oscilație în mod diferit, atât longitudinal cât și transversal. Frecvențele componentelor emise de o coardă sonoră pot fi determinate cu ajutorul relației:

$$v_{pr} = n \frac{1}{2l} \sqrt{\frac{T}{\mu}}, n = 1, 2, 3, \quad (10.37)$$

unde v_{pr} reprezintă frecvențele proprii ale coardei sonore, care depind de lungimea l a corzii, tensiunea T din coardă și de μ masa unității de lungime a corzii.

b) *Tuburi sonore* Tuburile sonore constituie o parte principală a instrumentelor de suflat, avind rolul de rezonator. Sursa sonoră propriu zisă o constituie ancia (muștiiucul), reprezentată în figura 10.46, prin intermediul căreia se produc oscilații ale aerului și care formează unde staționare în tubul sonor. Ventrul de oscilație se formează întotdeauna în ancie. În figura 10.47, a și b este reprezentat modul în care se formează componentele sunetului în tuburile sonore închise sau deschise.

Se observă că pentru tuburile deschise lungimea l a tubului este un număr întreg de $\frac{\lambda}{2}$:

$$l = n \frac{\lambda}{2}, \quad (n = 1, 2, 3, \dots) \text{ și din } \lambda_n = vT_n = \frac{v}{v_n}$$

rezultă

$$v_n = \frac{v}{\lambda_n} = \frac{v}{2l} n \quad (10.38)$$

relație prin care pot fi obținute componentele sunetului emis de un tub sonor deschis

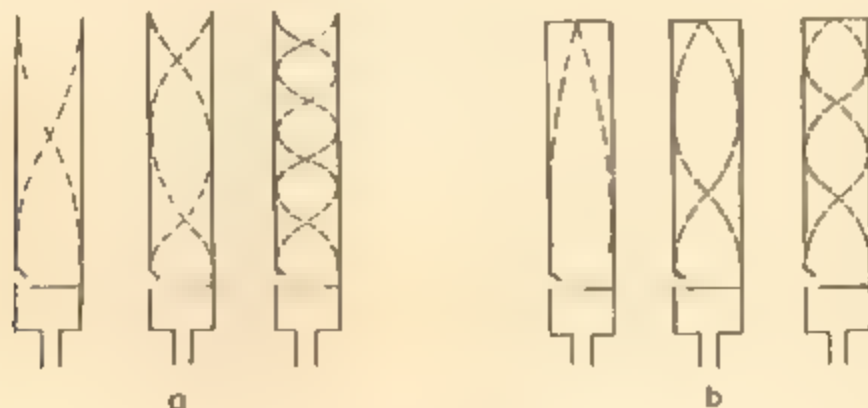


Fig. 10.47. Unde staționare: a) în tuburi deschise și b) în tuburi închise.

Din condiția $l = (2n - 1) \frac{\lambda}{4}$, pentru tuburile închise se obține pentru componențele sunetului relația:

$$\nu_n = \frac{v}{\lambda_n} = \frac{v}{4l} (2n - 1). \quad (10.39)$$

PROBLEME REZOLVATE

1. Un tub deschis cu lungimea $l = 0,5$ m emite oscilații cu lungimea de undă $\lambda = 1$ m să se calculeze a) ce armonică produce tubul și ce frecvență are sunetul produs? b) Se astupă tubul, (și, se cere lungimea de undă a aceleiași armonici a sunetului emis. Viteza sunetului în aer, $v = 340$ m/s.

Rezolvare a) În acest caz relația (10.38) ne dă $l = n \frac{\lambda}{2}$ sau $n = \frac{2l}{\lambda} = 1$. Rezultă că este emisă prima armonică (sunetul fundamental) cu frecvența $\nu = \frac{v}{\lambda} = \frac{340 \text{ m/s}}{1 \text{ m}} = 340 \text{ Hz}$.

b) Astupînd tubul, obținem din relația (10.39), $l = (2n - 1) \frac{\lambda_1}{4}$ sau dacă punem $n = 1$, $l = \frac{\lambda_1}{4}$ și $\lambda_1 = 4l = 2$ m. Rezultă $\nu = \frac{v}{\lambda_1} = \frac{340 \text{ m/s}}{2 \text{ m}} = 170 \text{ Hz}$. În acest caz, sunetul devine mai grav.

2. O coardă de violoncel are o lungime $l = 1$ m. Masa corzii este de 50 g. La ce tensiune este supusă coarda dacă ea trebuie să vibreze la frecvența fundamentală de 66 Hz?

Rezolvare În cazul sunetului fundamental trebuie îndeplinită condiția $l = \frac{\lambda}{2}$ deci $\lambda = 2$ m și pentru că

$$\nu = \frac{v}{\lambda} = \frac{\sqrt{T/\mu}}{\lambda}$$

unde $\mu = \frac{m}{l}$ rezultă pentru valoarea tensiunii din coardă:

$$T = \mu v^2 \lambda^2 = 50 \cdot 10^{-3} \text{ kg/m} \cdot 66^2 \text{ Hz}^2 \cdot 4 \text{ m}^2 = 871,2 \text{ N}.$$

ÎNTREBĂRI EXERCITII. PROBLEME

1. Se dă relația $a_{\max} = \frac{kA}{m}$, unde a_{\max} este accelerația maximă a unui oscilator armonic, k constanta elastică, A amplitudinea și m masa oscilatorului. Arătați că această relație are dimensiunile unei accelerații.

2. Două resorturi elastice de constante k_1, k_2 sînt legate o dată în serie, o dată în paralel. Ce condiție trebuie să îndeplinească k_1, k_2 așa încît perioadele de oscilație în cele două cazuri să fie egale?

R: nu este posibil, deoarece $T_s/T_p = (k_1 + k_2)/\sqrt{k_1 k_2} \geq 2$

3. Un punct material oscilează armoniu după o lege sinusoidală. Se măsoară elongațiile x_1 și x_2 la momente diferite și se găsește $x_1 = 6$ cm, $x_2 = 4$ cm iar vitezele corespunzătoare sînt $v_1 = 3$ cm/s, $v_2 = 5$ cm/s. Să se determine: a) amplitudinea și perioada oscilației armonice; b) accelerația maximă.

$$\text{R: a) } A = \sqrt{\frac{x_1^2 + x_2^2}{v_1^2 + v_2^2}} = 6,87 \text{ cm, } T = 2\pi \sqrt{\frac{x_1^2 + x_2^2}{v_1^2 + v_2^2}} = 7,025 \text{ s}$$

$$\text{b) } a_{\max} = 4,40 \text{ cm/s}^2$$

4. Un blo. cu masa $m = 3,62$ kg este suspendat de un resort cu constanta elastică $k = 520$ N/m. Un glonț cu masa $m' = 4,5$ g este tras de jos în sus cu o viteză $v = 150$ m/s și se oprește în bloc. Aproximînd mișcarea sistemului bloc-glonț cu o mișcare oscilatorie armonică, să se afle amplitudinea mișcării.

$$A = \frac{m'v}{k} \sqrt{1 + \frac{k}{(m + m')g}} = 1,55 \text{ cm.}$$

5. Un corp de masă m cade de la înălțimea h pe un platan de masă neglijabilă atînat de un resort cu constanta elastică k . Știind că după ciocnire corpul rămîne pe platan să se calculeze amplitudinea mișcării efectuate de sistemul platan-corp.

$$\text{R: } A = \frac{mg}{k} \sqrt{1 + \frac{2kh}{mg}}$$

6. De un dinamometru cu diviziuni între 0 și $F_m = 142$ N și cu lungimea scalei $l = 10$ cm este suspendat un corp care, datorită unei cauze externe, începe să oscileze vertical cu o frecvență $\nu = 2$ oscilații pe secundă. Ce masă are corpul?

$$\text{R: } k = F_m/l, m = k/\pi^2 \nu^2 = 9,6 \text{ kg.}$$

7. Un pendul matematic (gravitațional) se fixează de un cadru așezat pe un carucior, să se găsească perioada pendulului cînd caruciorul se mișcă, a) orizontal cu accelerația a ; b) vertical în sus cu accelerația a ; c) vertical în jos cu accelerația $a < g$. Se știe lungimea pendulului l și amplitudinea unghiulară inițială $\alpha_0 \leq 5^\circ$.

$$\text{R: a) } 2\pi \sqrt{\frac{l}{g + a}}; \text{ b) } 2\pi \sqrt{\frac{l}{g - a}}; \text{ c) } 2\pi \sqrt{\frac{l}{g - a}}$$

8. Pendulul fixat pe caruciorul de la problema 7 este obligat să se miște cu viteză constantă v pe un cerc de rază R în plan orizontal. Se cere perioada pendulului.

$$\text{R: } T = 2\pi \sqrt{\frac{l}{g + \frac{v^2}{R}}}$$

9. Două pendule gravitaționale oscilează în același loc cu frecvențele $\nu_1 = 28$ Hz și $\nu_2 = 7$ Hz. Care este raportul lungunilor lor?

$$\frac{l_1}{l_2} = \left(\frac{\nu_1}{\nu_2}\right)^2 = 16$$

10. Cum s-ar putea dovedi experimental că propagarea unei perturbații într-un mediu înseamnă și propagarea — transmiterea — de energie?

11. Prin intermediul undelor se transmite energie. Dar impuls se transmite prin unde?

12. Undele de torsiune (forfecare) sînt transversale sau longitudinale?

13. Cum pot fi create unde plane? Dar unde sferice?

14. Dacă mediul este omogen și izotrop, iar sursa de oscilație este punctiformă unda care la naștere este sferică. Ce fel de undă se va produce dacă mediul este izotrop dar nu este omogen? Dar dacă este omogen dar nu și izotrop?

15. Undele transversale dintr-o coardă pot fi polarizate. Dar undele sonore sînt polarizate?

16. Dacă două unde interferează, perturbă una din ele propagarea celeilalte?

17. Când interferează undele, există o pierdere de energie?

18. Care sînt limitele lungimilor de undă pentru undele sonore în aer? Dar în apă? Știți, că:

$$v_{\min} = 16 \text{ Hz}$$

$$v_{\text{aer}} = 340 \text{ m/s}$$

$$v_{\max} = 20 \text{ kHz}$$

$$v_{\text{apă}} = 5000 \text{ m/s.}$$

$$\text{R: } 21,25 \text{ m; } 17 \cdot 10^{-2} \text{ m; } 312,5 \text{ m; } 250 \cdot 10^{-2} \text{ m.}$$

19. O undă sonoră are frecvența de 440 Hz. Care este lungimea de undă a acestui sunet în aer ($v_{\text{aer}} = 340 \text{ m/s}$)? Dar în apă ($v_{\text{apă}} = 1400 \text{ m/s}$)?

$$\text{R: } 0,77 \text{ m; } 3,27 \text{ m.}$$

20. Un difuzor are un diametru de 15 cm. La ce frecvență, lungimea de undă a sunetului emis de el, în aer, va fi egală cu diametrul său?

$$\text{R: } 22,66 \cdot 10^2 \text{ Hz.}$$

21. O mișcare oscilatorie se propagă sub formă de unde într-un mediu elastic străbătînd în 5 s o distanță de 1700 m. Cîmînd lungimea de undă $\lambda = 3,4 \text{ m}$, să se calculeze viteza de propagare a undelor, perioada și frecvența acestora.

$$\text{R: } 340 \text{ m/s; } 0,01 \text{ s; } 100 \text{ Hz.}$$

22. Să se calculeze lungimea de undă a oscilațiilor cu frecvența de 1,32 kHz știind că acestea se propagă cu viteza de 330 m/s.

$$\text{R: } 0,25 \text{ m.}$$

23. Să se calculeze viteza maximă a particulelor mediului prin care se propagă o undă cu frecvența $\nu = 0,5 \text{ kHz}$ și cu amplitudinea $A = 0,25 \cdot 10^{-2} \text{ m}$. Se știe că $\lambda = 0,7 \text{ m}$. Se cere viteza de propagare a undelor în mediul considerat.

$$\text{R: } v_m = 2\pi\nu A = 7,85 \text{ m/s; } v_f = \lambda\nu = 350 \text{ m/s}$$

24. Care este viteza de propagare a undelor transversale într-un fir de cupru cu densitatea relativă $d = 8,9$ și secțiunea $S = 1 \text{ mm}^2$ întins de o forță $F = 100 \text{ N}$?

$$\text{R: } v_t = \sqrt{F/dS} = 106 \text{ m/s.}$$

25. Un fragment de metal este analizat măsurând viteza sunetului într-o bară făcută din acest metal. Bara are masa de 30 kg și volumul de $2 \cdot 10^{-2} \text{ m}^3$. Viteza sunetului în bară este de 4 000 m/s. Să se calculeze modulul de elasticitate.

$$R: 24 \cdot 10^{10} \text{ N/m}^2.$$

26. O sursă produce oscilații cu frecvența de 50 Hz care se propagă în două medii diferite. Cunoșcând vitezele de propagare $v_1 = 5 000 \text{ m/s}$ și $v_2 = 1450 \text{ m/s}$ în cele două medii să se calculeze lungimile de undă corespunzătoare.

$$R: \lambda_{1,2} = \frac{v_{1,2}}{\nu} = 100 \text{ m}; 29 \text{ m}.$$

27. Fie $u_1 = 3 \sin 200 \pi t$ (mm) și $u_2 = 3 \sin \left(200 \pi t + \frac{\pi}{3} \right)$ (mm) ecuațiile care descriu oscilațiile a două surse S_1 și S_2 situate la 6 cm una de alta. Sursele produc oscilații transversale cu elongațiile paralele și care se propagă cu viteza de 80 cm/s pe suprafața unui lichid. Să se determine diferența de fază între mișcările care sosesc în același moment într-un punct situat la distanța d_1 de S_1 și la distanța d_2 de S_2 .

$$R: 200 \pi \frac{d_2 - d_1}{v} = \frac{\pi}{3}.$$

28. Fie oscilațiile $u_1 = 3 \sin \frac{2\pi}{T} t$ (mm) și $u_2 = 4 \sin \frac{2\pi}{T} t$ (mm) care produc unde corespunzătoare. Să se calculeze amplitudinea undei rezultate prin interferența celor două unde într-un punct M , știind că diferența de drum este $d = 0,50 \text{ cm}$, viteza de propagare $v = 0,5 \text{ cm/s}$ și perioada 4 s.

$$R: \Delta\varphi = 2\pi d/\lambda, A = \sqrt{A_1^2 + A_2^2 + 2A_1A_2 \cos \Delta\varphi} \approx 5 \text{ cm}$$

29. Prin suprapunerea a două unde produse de două surse care oscilează cu aceeași amplitudine $A_1 = 5 \text{ cm}$, aceeași frecvență $\nu = 1 \text{ kHz}$ și care sosesc defazate cu $\Delta\varphi = \frac{\pi}{3}$ într-un punct, rezultă o oscilație cu amplitudinea A . Știind că undele se propagă în mediul respectiv cu viteza $v = 2 000 \text{ m/s}$, se cere să se scrie ecuația oscilației rezultante și diferența de drum în punctul considerat.

$$R: A = 2A_1 \cos \frac{\Delta\varphi}{2}, u = 8,65 \cdot 10^{-2} \sin 2\pi \left(\frac{t}{10^{-3}} - \frac{x}{2} \right); x_2 - x_1 = \frac{\lambda \Delta\varphi}{2\pi} = \frac{\lambda}{6}.$$

30. Două surse care oscilează conform ecuațiilor $u_1 = 3 \sin \frac{2\pi}{4} t$ (cm) și $u_2 = 2 \sin \frac{2\pi}{4} t$ (cm) emit unde plane. Să se calculeze a) amplitudinea undei rezultante într-un punct în care diferența între drumul parcurs de cele două unde este de $5 \cdot 10^{-3} \text{ m}$. Vitezele de propagare ale celor două unde sînt egale și au valoarea $v = 10^{-1} \text{ m/s}$. b) Ce valoare ar trebui să aibă diferențele de drum parcurse de cele două unde pînă la punctul considerat, pentru ca amplitudinea să fie maximă? Se consideră undele plane.

$$R: 4,9 \cdot 10^{-4} \text{ m}; 2k \frac{\lambda}{2}.$$

81. O sursă O aflată într-un mediu elastic produce oscilații de forma $u = 0,25 \sin 100 \pi t$ (mm). Lungimea de undă a undelor plane longitudinale produse este $\lambda = 10$ m. *a)* După cât timp va începe să oscileze un punct M situat la distanța $x = 8$ m față de sursă? *b)* Să se afle defazajul între sursă și punctul M . *c)* La ce distanță pe dreapta OM se află două puncte ale căror oscilații sînt defazate între ele cu $\frac{\pi}{6}$?

$$R: t = \frac{xT}{\lambda} = 16 \cdot 10^{-3} \text{ s}; \Delta\varphi = \frac{x}{\lambda} 360^\circ = 288^\circ, 0,833 \text{ m.}$$

82. Cum putem localiza experimental pozițiile nodurilor și ventrelor într-o coardă? Dar într-o coloană de aer?
83. O coardă cu lungimea $l = 15$ m fixată la un capăt primește la celălalt capăt impulsuri ritmice transversale de mică amplitudine cu frecvența $\nu = 2$ Hz. Viteza de propagare a oscilațiilor în coardă este $v = 20$ m/s. Se neglijează toate amortizările. Se cer *a)* lungimea de undă, *b)* numărul de faze ce se formează în coardă.

$$R: \lambda = \frac{v}{\nu} = 10 \text{ m}; N = \frac{2l}{\lambda} = 3$$

PROBLEME RECAPITULATIVE*

1. Un punct material se mișcă pe un cerc de rază $R = 2,00$ m. Care sînt distanțele parcurse și modulele vectorilor deplasare după: *a)* o șsirime de cerc, *b)* un sfert de cerc, *c)* o jumătate de cerc, *d)* trei sferturi de cerc, *e)* un cerc întreg?

$$R: a) \frac{\pi R}{3} = 2,10 \text{ m}; R = 2,00 \text{ m}; \quad c) \pi R = 6,28 \text{ m}; 2R = 4,00 \text{ m};$$

$$b) \frac{\pi R}{2} = 3,14 \text{ m}; R/\sqrt{2} = 2,82 \text{ m}; \quad d) \frac{3\pi R}{2} = 9,42 \text{ m}; R/\sqrt{2} = 2,82 \text{ m};$$

$$e) 2\pi R = 12,56 \text{ m}; \text{ zero}$$

2. Un automobil parcurge rectiliniu pe stradă o distanță $d_1 = 10$ m, face un viraj cu raza $R = 10$ m și intră într-o stradă perpendiculară pe care merge $d_2 = 10$ m. Să se deseneze traiectoria. Care sînt: distanța parcursă și modulul vectorului deplasare?

$$R: d \approx 36 \text{ m}; |\vec{\Delta r}| = 28 \text{ m}$$

3. Un biciclist se mișcă rectiliniu uniform pe o bicicletă. Cum va arăta traiectoria unui punct de pe periferia (ohada) roții într-un sistem de coordonate legat de: *a)* roată; *b)* rama bicicletei; *c)* Pămînt?

$$R: a) \text{ punct; } b) \text{ cerc; } c) \text{ bucle, asemenea unor semicercuri (vicioida)}$$

4. Cum se schimbă graficul coordonatei x și al vitezei v în funcție de t , dacă schimbăm sensul pozitiv ales pe axa Ox a mișcării?

$$R: \text{ trec în simetricele lor față de axa } Ot.$$

5. Să se calculeze vitezele și accelerațiile (momentane) mobilelor, dacă legile mișcărilor sînt: *a)* $x = 3 - 2t$; *b)* $x = 3t^2 + 10$; *c)* $x = 2t^3$.

$$R: a) v = -2; a = 0 \\ b) v = 6t; a = 6 \\ c) v = 6t^2; a = 12t$$

* Aceste probleme nu sînt obligatorii.

6. Ecuația mișcării (rectilinii) unui mobil este $a)x = 2 + 1,5t + t^2$; $b) x = \frac{1}{2} At^2 + Bt + C$, unde A, B, C sînt constante. Să se scrie legea vitezei și a accelerației.

R: a) $v = 1,5 + 2t$; $a = 2$;

b) $v = At + B$, $a = A$

7. O șalupă parcurge distanța dintre două porturi în sensul curgerii râului în $t_1 = 1,00$ h și împotriva curentului în $t_2 = 2,00$ h. În cît timp va parcurge aceeași distanță un colac de salvare scăpat în apă?

R: $t = \frac{2t_1 t_2}{t_2 - t_1} = 4,00$ h

8. Un călător aflat într-un tren de lungime $l_1 = 900$ m, care se mișcă cu viteza $v_1 = 54$ km/h, vede un timp $t_1 = 60$ s un tren vecin de lungime $l_2 = 600$ m, care se mișcă paralel cu primul tren și în același sens. Care este viteza trenului al doilea? Dacă trenurile se vor mișca acum în sensuri opuse, cît timp va vedea fiecare călător trenul celălalt? Care sistem de coordonate este mai potrivit?

R: SC legat de primul călător (tren),

$$v_2 = v_1 \pm l_2/t_1 = 25 \text{ m/s} = 90 \text{ km/h sau } 5 \text{ m/s} = 18 \text{ km/h},$$

$$t_2 = l_1 l_2 / l_2 = 90 \text{ s}; t'_1 = \frac{l_2}{v_1 + v_2} = 15 \text{ s sau } 30 \text{ s},$$

$$t'_2 = \frac{l_1}{v_1 + v_2} = 22,5 \text{ s sau } 45 \text{ s}$$

9. Două avioane zboară unul spre celălalt cu aceeași viteză $v = 576$ km/h fiecare. Cînd a fost (inițial) distanța dintre ele, dacă un semnal sonor (care se propagă rectiliniu uniform cu viteza $c = 340$ m/s), emis de un avion și reflectat de celălalt, se întoarce înapoi după un timp $T = 68$ s?

R: $d = (c + v)^2 T/2c = 25$ km.

10. Un autoturism se mișcă cu viteza $v_1 = 22$ m/s în spatele unui autocamion care are viteza $v_2 = 15$ m/s. Cînd distanța dintre autoturism și autocamion devine $d_1 = 20$ m, conducătorul autoturismului se angajează în depășirea autocamionului, dar observă în același timp un autobuz venind din sensul opus cu viteza $v_3 = 18$ m/s. Ce distanță minimă d_2 trebuie asigurată între autobuz și autoturism pentru a efectua în siguranță manevra de depășire, astfel ca, după depășire, autoturismul să fie la distanța $d_3 = 50$ m în fața autocamionului?

Care sistem de coordonate este mai potrivit?

R: SC legat de camion; $d_2 = (d_1 + d_3) \frac{v_1 + v_3}{v_1 - v_2} = 400$ m.

11. Un tren se mișcă cu viteza $v = 36$ km/h spre răsărit. Un călător de pe platforma vagonului simte vîntul suflînd dinspre nord. Cînd viteza trenului se dublează, călătorul simte vîntul suflînd dinspre nord-est. Care este viteza și direcția reală a vîntului (față de Pămînt)?

R: $v_0 = v/\sqrt{2} = 14,1$ m/s dinspre $N - E$.

12. Într-un atelier de reparații dintr-o gară loviturile unui ciocan se succed la un interval de timp $T = 1,00$ s. Ce interval de repetiție a loviturilor va înregistra un călător dintr-un tren care se depărtează, respectiv se apropie de gară cu viteza $v = 72$ km/h? Sunetul se propagă rectiliniu uniform cu viteza $c = 340$ m/s.

R: $T' = Tc/(c \mp v) = 1,06$ s, respectiv $0,95$ s.

13. Un corp pornește uniform accelerat fără viteză inițială și parcurge astfel un drum $d_1 = 6,0$ m, după care merge uniform încetinit și parcurge astfel un drum $d_2 = 4,0$ m până la oprire. Știind timpul total $T = 10,0$ s al mișcării, să se calculeze accelerațiile în cele două mișcări.

$$R: a_{1,2} = \pm \frac{2}{d_{1,2} T^2} (d_1 + d_2)^2 = 0,33 \text{ m/s}^2, \text{ respectiv } -0,50 \text{ m/s}^2.$$

14. De un tren de masă $M = 100$ t, care merge rectiliniu uniform, se desprinde la un moment dat ultimul vagon de masă $m = 10$ t. Acesta parcurge o distanță $d = 9,0$ km până se oprește. La ce distanță de vagon se va găsi în acest moment trenul, dacă forța de tracțiune a locomotivei a rămas aceeași? Toate forțele de frecare sînt proporționale cu greutatea.

$$R: x = d \frac{M}{M - m} = 10,0 \text{ km}$$

15. Peste un scripete ideal este trecut un fir cu două corpuri de mase m_1, m_2 la capete. Care este raportul maselor m_2/m_1 dacă după un anumit timp corpul cu masa m_2 a coborât cu $n = 5$ -a parte din distanța pe care el ar parcurge-o în căderea liberă în același interval de timp?

$$R: m_2/m_1 = (n + 1)/(n - 1) = 1,5.$$

16. Un corp este aruncat vertical în sus cu o viteză inițială $v_0 = 10$ m/s. Care este viteza v_1 a corpului la timpul t_1 , atunci cînd corpul se află la o înălțime egală cu o fracțiune $k = 0,19$ din înălțimea maximă la care el poate ajunge? Să se reprezinte pe aceeași diagramă viteza și coordonata corpului în funcție de timp.

$$R: v_1 = \pm v_0 \sqrt{1 - k} = \pm 9,0 \text{ m/s};$$

$$t_1 = \frac{v_0 - v_1}{g} = 1,02 \text{ s și } 19,4 \text{ s.}$$

17. Să se împartă înălțimea $h = 100$ m de la care cade liber un corp în $n = 10$ intervale de lungimi s_i ($i = 1, 2, 3, \dots, 10$), parcurse în același timp fiecare.

$$R: s_i = \frac{2h - 1}{n^2} h (= 1, 3, 5, 7, \dots, 19 \text{ m}).$$

18. Două corpuri sînt aruncate vertical în sus, cu aceeași viteză inițială $v_0 = 4,9$ m/s, la un interval τ unul după altul. Să se determine τ astfel ca cele două corpuri să se întâlnească la o înălțime egală cu o fracțiune $k = 0,36$ din înălțimea maximă la care ele pot ajunge.

$$R: \tau = \frac{2v_0}{g} \sqrt{1 - k} = 0,8 \text{ s.}$$

19. De la o înălțime $h = 4,9$ m cade liber un corp. Cu ce viteză inițială v_0 trebuie aruncat în jos de la aceeași înălțime un al doilea corp, la un interval $\tau = 0,5$ s după primul, pentru ca cele două corpuri să se întâlnească chiar la suprafața Pămîntului?

$$R: v_0 = \frac{g\tau}{2} \cdot \frac{2\sqrt{2h/g} - \tau}{\sqrt{2h/g} - \tau} = 7,35 \text{ m/s}$$

20. Două corpuri sînt aruncate vertical în sus cu vitezele inițiale $v_{01} = 60 \text{ m/s}$ și $v_{02} = 40 \text{ m/s}$, corpul 2 la un interval τ după primul. Care sînt limitele permise ale lui τ pentru ca cele două corpuri să se poată întîlni în aer? (Se va lua $g = 10 \text{ m/s}^2$)

$$\text{R: } 2 \frac{v_{01} - v_{02}}{g} = 4,0 \text{ s} < \tau < \frac{2v_{01}}{g} = 12 \text{ s}$$

21. Un corp este aruncat vertical în sus cu viteza inițială $v_{01} = 9,8 \text{ m/s}$. După un timp $\tau = 1,0 \text{ s}$ se aruncă după el un al doilea corp. Să se afle viteza inițială v_{02} a acestuia astfel ca cele două corpuri să se întîlnească în momentul cînd corpul 2 este la înălțimea sa maximă. Să se reprezinte coordonatele în funcție de timp pe aceeași diagramă.

$$\text{R: } v_{02} = 7,0 \text{ m/s}$$

22. În drumul unui glonț tras orizontal s-a așezat un paravan de carton la distanța d . Ștînd diferența de înălțime h dintre pușcă și orificiul făcut de glonț în paravan, să se afle viteza v_0 a glonțului și unghiul α sub care lovește glonțul paravanul (față de direcția orizontală)

$$\text{R: } v_0 = d \sqrt{g/2h}; \quad \lg \alpha = \frac{2h}{d}.$$

23. Un corp a fost aruncat orizontal dintr-un turn și a căzut pe pămînt după $\tau = 0,50 \text{ s}$ la distanța $d = 5,0 \text{ m}$ (pe orizontală). Să se afle înălțimea de la care a fost aruncat corpul, viteza inițială v_0 , viteza finală v' și unghiul format de ea cu orizontala

$$\text{R: } h = \frac{1}{2} g \tau^2 = 1,22 \text{ m}; \quad v_0 = d/\tau = 10 \text{ m/s};$$

$$v' = \sqrt{v_0^2 + 2gh} = 11,1 \text{ m/s};$$

$$\lg \alpha' = \sqrt{2gh}/v_0; \quad \alpha' = 26^\circ 21'$$

24. Un corp este aruncat cu viteza $v_0 = 10 \text{ m/s}$ sub un unghi $\alpha_0 = 45^\circ$ față de orizontală. Corpul lovește un perete situat la o distanță $d = 3,0 \text{ m}$. Să se afle pe ce porțiune, ascendentă sau descendentă a traiectoriei, se produce ciocnirea, la ce înălțime se produce ciocnirea; viteza v' în momentul ciocnirii?

$$\text{R: ascendentă (} b \approx 10 \text{ m)}, \quad h = d \lg \alpha_0 = \frac{gd^2}{2v_0^2 \cos^2 \alpha_0} = 2,1 \text{ m};$$

$$v' = \sqrt{v_0^2 - 2gh} = 7,6 \text{ m/s}.$$

25. Într-o sanie care alunecă liber, fără frecări, pe un plan înclinat de unghi α față de orizontală, este suspendat de tavan printr-un fir un corp. Cu ce unghi θ față de verticală deviază firul în poziția de echilibru relativ a corpului?

$$\text{R: } \theta = \alpha \text{ (firul va fi perpendicular pe planul înclinat).}$$

26. Două corpuri de mase $m_1 = 3,0 \text{ kg}$, $m_2 = 2,0 \text{ kg}$ sînt așezate pe un plan orizontal și legate între ele printr-un fir orizontal care rezistă pînă la o tensiune maximă $T_{\max} = 100 \text{ N}$. Coeficientul de frecare la alunecare este același pentru ambele corpuri. Cu ce forță orizontală maximă putem trage corpul m_1 pentru a nu se rupe firul în timpul mișcării?

$$\text{R: } F_{\max} = T_{\max} \frac{m_1 + m_2}{m_1} = 250 \text{ N}.$$

27. Știind că pentru a menține în echilibru un corp pe un plan înclinat de unghi $\alpha = 30^\circ$, trebuie aplicată corpului o forță minimă normală pe plan de $n = 2,5$ ori mai mare decât o forță minimă orizontală, să se calculeze coeficientul de frecare dintre corp și plan.

$$R: \mu = \frac{\cos \alpha}{n - \sin \alpha} = 0,43.$$

28. De-a lungul unui plan înclinat de unghi $\alpha = 45^\circ$ este lansat în sus un corp cu viteza inițială $v_0 = 10,0$ m/s. Coeficientul de frecare la alunecare $\mu = 0,20$. Să se afle: înălțimea h la care se ridică corpul, viteza v' cu care revine corpul înapoi la baza planului, timpul de urcare și timpul de coborire.

$$R: h = v_0^2 / 2g(1 + \mu \cot \alpha) = 4,25 \text{ m}, v' = v_0 [(\cot \alpha - \mu) / (\cot \alpha + \mu)]^{1/2} = 8,16 \text{ m/s}; \\ t_u = v_0 / g (\sin \alpha + \mu \cos \alpha) = 1,2 \text{ s}, t_c = (v_0 / g) (\sin^2 \alpha + \mu^2 \cos^2 \alpha)^{-1/2} = 1,5 \text{ s}.$$

29. O pană cu unghi de deschidere $\alpha = 30^\circ$ este bătută într-un butuc de lemn. Care trebuie să fie coeficientul de frecare minim între pană și butuc pentru ca pana să nu sară înapoi?

$$R: \mu = \tan \frac{\alpha}{2} = 0,27.$$

30. Două corpuri de mase $m_1 = 3,0$ kg, $m_2 = 2,0$ kg sînt așezate pe un plan înclinat de unghi $\alpha = 30^\circ$ și cuplate între ele printr-o tijă fină paralelă cu planul înclinat. Coeficienții de frecare la alunecare sînt respectiv $\mu_1 = 0,20$ și $\mu_2 = 0,30$. Să se calculeze accelerația sistemului și tensiunea din tijă.

$$R: a = g \frac{(m_1 + m_2) \sin \alpha - (\mu_1 m_1 + \mu_2 m_2) \cos \alpha}{m_1 + m_2} = 2,87 \text{ m/s}^2;$$

$$T = m_1 m_2 g \frac{(\mu_2 - \mu_1) \cos \alpha}{m_1 + m_2} = 1,02 \text{ N}.$$

31. Se trage un proiectil în direcție verticală, de la suprafața Pămîntului. Să se calculeze înălțimea maximă h la care urcă proiectilul, dacă viteza lui inițială este $v_0 = 10$ km/s și raza Pămîntului $R = 6400$ km. Se neglijează frecările și rotația Pămîntului.

(Indicație: Se consideră sistemul proiectil-Pămînt un sistem izolat și se aplică legea conservării energiei.)

$$R: h = v_0^2 R / (2g_0 R - v_0^2) = 2,5 \cdot 10^4 \text{ km}.$$

32. De la distanța h de la suprafața Pămîntului se lasă să cadă liber un corp. Care este viteza lui la suprafața Pămîntului, dacă sînt cunoscute g_0 , R_P și h ($h \gg R_P$).

(Indicație: Se aplică legea conservării energiei, pentru sistemul corp-Pămînt.)

$$R: v^2 = 2h g_0 \frac{R_P}{R_P + h}.$$

33. Un vagon cu masa $M = 10$ tone, supus acțiunii unei forțe de frinare constantă, roboară pe un plan înclinat cu unghiul α ($\sin \alpha = 0,05$). Vagonul nu are viteză inițială

și, atinge viteza $v = 12 \text{ m/s}$, după ce a parcurs distanța $d = 200 \text{ m}$. Să se calculeze forța de frinare ($g = 10 \text{ m/s}^2$).

$$\text{R: } F = M \left(g \sin \alpha - \frac{v^2}{2d} \right) = 1\,300 \text{ N.}$$

34. Un automobil cu masa $M = 800 \text{ kg}$ coboară cu viteza inițială $v_0 = 60 \text{ km/h}$, pe un plan înclinat cu unghiul α față de orizontală ($\sin \alpha = 0,04$). Forța de tracțiune a motorului este constantă. Automobilul sosește la baza planului cu viteza $v_1 = 90 \text{ km/h}$, după ce a parcurs distanța $d = 200 \text{ m}$. Forța de frecare dintre cauciucurile automobilului și drum este $F_f = 1\,000 \text{ N}$. Să se calculeze forța de tracțiune F ($g = 10 \text{ m/s}^2$).

$$\text{R: } F = \frac{M(v_1^2 - v_0^2)}{2d} + F_f - \frac{4Mg}{100} = 1\,400 \text{ N.}$$

35. Un ciocan cu masa $m = 1 \text{ kg}$ lovește cu viteza $v = 5 \text{ m/s}$ un cui care pătrunde în lemn cu $x = 1 \text{ cm}$. Să se calculeze forța de rezistență a lemnului ($g = 10 \text{ m/s}^2$). Se va neglija greutatea ciocanului în raport cu celelalte forțe.

$$\text{R: } F_r = \frac{mv^2}{2x} = 1\,250 \text{ N.}$$

36. Un pendul gravitațional simplu de masă $m = 100 \text{ g}$ și de lungime $l = 80 \text{ cm}$ se îndepărtează de poziția de echilibru cu un unghi $\alpha = 30^\circ$. a) Să se calculeze viteza și tensiunea din fir când pendulul trece prin poziția de echilibru.

b) Să se demonstreze că pentru o anumită valoare a unghiului α , tensiunea din fir, la trecerea pendulului prin poziția de echilibru, este egală cu dublul greutății. Să se calculeze în acest caz această valoare α_1 a unghiului α .

$$\text{R: a) } v^2 = 2gl(1 - \cos \alpha), v = 1,45 \text{ m/s}, T = mg + \frac{mv^2}{l} = 1,24 \text{ N}$$

$$\text{b) } T_1 = mg \cos \alpha_1 + 2mg(1 - \cos \alpha_1) = 2mg; \alpha_1 = 60^\circ.$$

37. De ce deviază ramura unui copac atunci când de pe ea își ia zborul o pasăre?

R: conservarea impulsului.

38. De un aerostat, aflat în repaus în atmosferă, este legată o scară de sfoară pe care stă un om. Masa aerostatului cu scară este M , iar a omului m . Ce viteză va avea aerostatul, dacă omul începe să urce pe scară cu viteza u față de scară? Câtă energie cinetică dezvoltă omul punându-se în mișcare?

$$\text{R: } v' = -\frac{m}{m+M}u, \Delta E_c = \frac{1}{2} \frac{mM}{m+M}u^2.$$

39. Doi patinatori de mase $m_1 = 70 \text{ kg}$ și $m_2 = 50 \text{ kg}$, ținînd de capetele unei sfori, stau pe gheața îngheață unul în fața celuilalt. Primul din ei începe să tragă de sfoară scurțînd o cu viteza $u = 1,20 \text{ m/s}$. Cu ce viteză se vor mișca patinatorii? (Se neglijează frecările.)

$$\text{R: } v_1 = \frac{m_2 u}{m_1 + m_2} = 0,50 \text{ m/s}, v_2 = -\frac{m_1 u}{m_1 + m_2} = -0,70 \text{ m/s.}$$

40. Trei bărci merg una după alta cu viteza v fiecare. În fiecare barcă se află câte un om, astfel încât masa bărcușia omului este M , iar în barca din mijloc mai există doi saci de masă m fiecare. Din barca din mijloc sunt aruncați cei doi saci, unul spre barca din față, celălalt spre barca din spate, cu aceeași viteză *relativă* u față de barcă înainte de aruncare. Care vor fi vitezele finale ale bărcilor, dacă sacii sunt aruncați a) simultan; b) succesiv?

$$\text{R: a) } v_1 = v + \frac{m}{M+m} u, v_2 = v, v_3 = v - \frac{m}{M+m} u$$

$$\text{b) } v_1 = v + \frac{m}{M+m} u, v_2 = v + \frac{m^2 u}{M(M+m)}; \quad v_3 = v - \frac{m(M+2m)}{(M+m)^2} u$$

$$\text{sau } v_1 = v + \frac{m(M+2m)}{(M+m)^2} u, \quad v_2 = v - \frac{m^2 u}{M(M+m)}; \quad v_3 = v - \frac{m}{M+m} u.$$

41. Două bile de mase $m_1 = 0,173 \text{ kg}$, $m_2 = 0,200 \text{ kg}$ se mișcă pe direcții perpendiculare cu vitezele $v_1 = 10,0 \text{ m/s}$, respectiv $v_2 = 5,0 \text{ m/s}$. După ciocnire bila m_2 se oprește. Care va fi viteza primei bile după ciocnire?

Să se traseze diagrama conservării impulsului total

$$\text{R: } \vec{v}_1 = \frac{1}{m_1} (m_1 \vec{v}_1 + m_2 \vec{v}_2); \quad v_1 = \frac{1}{m_1} \sqrt{m_1^2 v_1^2 + m_2^2 v_2^2} = 11,5 \text{ m/s.}$$

42. Față de care punct se conservă momentul cinetic al unei particule care lovește oblic și perfect elastic un perete (fig. 5.8)? Care este momentul cinetic în raport cu normala la perete în punctul de contact?

R: față de punctele normale la perete în punctul de contact, zero.

43. La pendulul conic (fig. 3.61), față de care punct se conservă momentul cinetic al particulei și ce valoare are? Care este variația pe unitatea de timp a momentului cinetic față de punctul de suspensie?

R: față de centrul cercului, $L = mvr = ml \sin^2 \alpha \sqrt{gl \cos \alpha}$, \vec{L} este vertical, $|\Delta \vec{L}/\Delta t| = |\vec{M}| = mgr = mgl \sin \alpha$, $\Delta \vec{L}/\Delta t = \vec{M}$ este tangent la cerc

44. O particulă se mișcă liber, fără frecare, sub acțiunea forței de greutate, pe suprafața interioară a unei sfere. Să se arate că momentul cinetic al particulei față de diametrul vertical al sferei se conservă.

45. Două particule de aceeași masă m se mișcă rectiliniu uniform cu viteze egale în sensuri opuse pe două drepte paralele. Să se arate că momentul cinetic total în raport cu orice punct din spațiu, nu depinde de alegerea acestui punct

$$\text{R: } \vec{L} = (\vec{r}_1 - \vec{r}_2) \times m\vec{v}$$

46. O bilă de masă $m = 0,100 \text{ kg}$, legată de un centru fix printr-un fir de lungime $l_1 = 0,60 \text{ m}$, execută o mișcare circulară uniformă pe un plan orizontal neted fără frecări cu turația $n_1 = 1,00 \text{ rot/s}$. Ce turație va avea bila, dacă firul se scurtează până la lungimea $l_2 = 0,30 \text{ m}$? Ce lucru mecanic a efectuat forța care a scurtat firul?

$$\text{R: } n_2 = n_1 l_1^2 / l_2^2 = 4,0 \text{ rot/s, } W = \frac{1}{2} m 4 \pi^2 n_1^2 l_1^2 (l_1^2 / l_2^2 - 1) = 2,12 \text{ J}$$

Fig. R-47. Pentru problema 47.

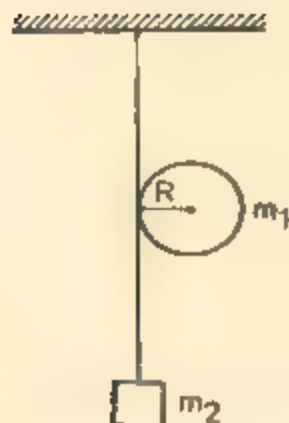
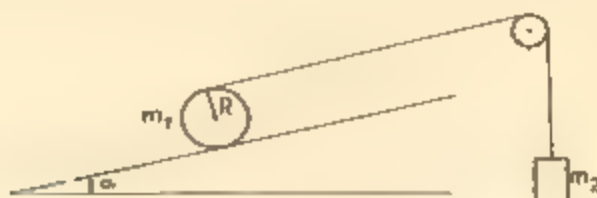


Fig. R-48. Pentru problema 48



47. Un cilindru de masă m_1 are înfășurat în jurul său un fir de care este suspendat în capătul liber un corp cu masa m_2 (fig. R-47). Calculați tensiunile din fire și accelerația cu care coboară cilindrul cunoscând raza R și momentul de inerție al cilindrului I .

Indicație. Cunoscând m_1 , m_2 , R și I se determină a , T_1 și T_2 din relațiile:

$$m_1 a = m_1 g + T_1 - T_2; 0 = m_2 g - T_2; m_1 g R = (I + m_1 R^2) \epsilon, a = \epsilon R.$$

$$\text{R: } T_1 = g \left(\frac{m_1 I}{I + m_1 R^2} + m_2 \right); \quad T_2 = m_2 g;$$

$$a = \frac{m_1 g R^2}{I + m_1 R^2}.$$

48. Pe un plan înclinat de unghi α este așezat un corp rotund, omogen, de masă m , rază R și moment de inerție I . Corpul rotund este legat de un alt corp de masă m_2 , prin intermediul unui fir inextensibil trecut peste un scripete cu inerția neglijabilă (fig. R-48). a) Care este coeficientul de frecare minim necesar pentru ca să nu alunece corpul? b) Să se calculeze accelerația mișcării corpului și tensiunea din fir. Aplicație numerică: corpul este o sferă, $m_1 = m_2$, $\alpha = 30^\circ$, $\mu = 0,20$.

Indicație. Din relațiile $m_1 g \sin \alpha - T - F_f = m_1 a_1$, $T - m_2 g = m_2 a_2$, $a_2 = a_1 = \epsilon R$ ($F_f = T$) $R = \epsilon I$, se scot F_f , a_1 și T . Din condiția $F_f < \mu g m \cos \alpha$ rezultă

$$\mu_{\min} < \mu$$

R: a) $\mu_{\min} = 0,154 < \mu$, deci nu avem alunecare.

$$b) a = 0,205 \text{ g}; \quad T = 0,47 m_1 g$$

49. Un fir trecut peste un scripete de inerție neglijabilă are la un capăt un cilindru plin de masă m_1 și rază R iar la celălalt un corp de masă m_2 (fig. R-49). Să se afle accelerația mișcării corpului m_2 , în cazul când cilindrul nu alunecă pe suprafața orizontală

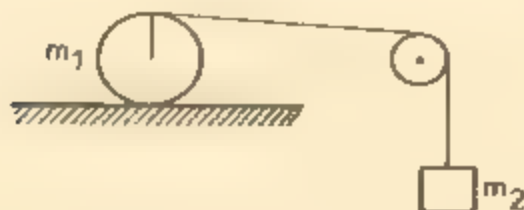


Fig. R-49. Pentru problema 49.

(Indicație: Dacă cilindrul se rostogolește pe plan atunci se poate scrie:

$$T + F_f = (1/2)m_1 a; m_2 g - T = m_2 a, (T - F_f) R = (1/2) m_1 R^2 \frac{a}{m_2}$$

și de aici rezultă a .)

$$R: a = \frac{g}{1 + \frac{3}{8} \cdot \frac{m_1}{m_2}} \quad m/k^2$$

50. Un om cu masa m_1 se deplasează pe circumferința de rază r a unui disc orizontal, aflat inițial în repaus. Discul are masa m_2 și raza R și se poate roti ușor în jurul unui ax vertical care trece prin centrul său. Cu ce viteză unghiulară ω se rotește discul, când omul se deplasează cu viteza v față de disc?

(Indicație: Se scrie conservarea momentului cinetic pentru cele două corpuri: $L = I\omega + I_1\omega$ unde $L = m_1rv$; $I\omega =$ momentul cinetic al discului; $I_1\omega =$ momentul cinetic pentru om. De aici rezultă valoarea lui ω .)

$$R: \omega = \frac{m_1rv}{\frac{1}{2}m_2R^2 + m_1r^2}$$

51. Cinci forțe acționează asupra unui punct material. Punctul de aplicație comun al forțelor se află într-unul din vîrfurile unui hexagon regulat, iar extremitățile lor în celelalte vîrfuri. Să se afle rezultanta forțelor, luînd mărimea, celei mai mari dintre ele egală cu 1 N.

$$R: R = 3 \text{ N}$$

52. Două resorturi R_1 și R_2 de mase neglijabile și de lungimi egale, se alungesc respectiv cu $\Delta l_1 = 1$ cm, sub acțiunea unei forțe deformatoare $F_1 = 0,1$ N și cu $\Delta l_2 = 120$ mm, pentru o forță $F_2 = 1$ N. Se suspendă resorturile în două puncte C_1 și C_2 aflate în același plan orizontal. Se fixează o tijă rigidă, de masă neglijabilă, la extremitățile libere A_1 și A_2 , ale resorturilor. Apoi se atîrnă o greutate G într-un punct D al tijei.

a) Să se determine poziția punctului D , caracterizată prin raportul DA_1/DA_2 , pentru ca tijă A_1A_2 să rămînă orizontală.

b) Să se determine alungirea suplimentară Δl a resorturilor, când greutatea G crește cu $\Delta G = 1$ N.

$$R: a) DA_1/DA_2 = k_2/k_1 = 5/6;$$

$$b) \Delta l = \frac{\Delta G}{k_1 + k_2} = 5,45 \text{ cm.}$$

53. Un cilindru gradat are grosimea $e = 2$ mm, înălțimea $h = 20$ cm și diametrul interior $D_1 = 4$ cm. Baza cilindrului are diametrul $D_2 = 6$ cm și grosimea $e = 2$ mm.

a) Să se determine poziția centrului de greutate al cilindrului gradat, în raport cu punctul aflat la jumătatea înălțimii cilindrului.

b) Se umple cilindrul cu apă pînă la jumătate, să se determine și în acest caz poziția centrului de greutate al cilindrului în raport cu același punct.

$$R: a) x = \frac{G_2}{G_1 + G_2} \frac{h + e}{2} = 0,98 \text{ cm},$$

$$b) y = \frac{1}{G_1 + G_2 + G_3} \left[(G_1 + G_2) x + G_3 \frac{h}{4} \right] = 2,84 \text{ cm}$$

54. Un tub cilindric care conține o anumită cantitate de mercur, plutește în apă scufundându-se cu $h = 10$ cm din lungimea sa. Într-un lichid de densitate necunoscută, tubul plutește scufundindu-se cu $h' = 12,5$ cm din lungimea sa. Să se determine densitatea relativă a lichidului, față de apă.

$$R: d = \frac{h}{h'} = 0,8$$

55. Pe un cărucior se află un vas cilindric în care se găsește apă pînă la înălțimea h , față de baza cilindrului. În peretele cilindrului, pe părți diametral opuse sînt făcute două orificii identice, cu secțiunea $S = 10^{-3} \text{ m}^2$. Un orificiu se află la înălțimea $h_1 = 0,25$ m, iar celălalt la înălțimea $h_2 = 0,5$ m, față de baza cilindrului. Să se determine sensul și intensitatea forței ce trebuie aplicată căruciorului, pentru ca acesta să rămînă în repaus, cînd se deschid orificiile și prin acestea începe să curgă apă.

$$R: F = 2\rho S g(h_2 - h_1) = 4,9 \text{ N}.$$

56. Un ceas cu pendul care bate secunda ($T_0 = 2$ s) la suprafața Pămîntului este mutat la o altitudine $h = 200$ m în aceeași localitate. Ce influență va avea această mutare asupra mersului ceasului? Cu cîte secunde se va modifica mersul lui în $D = 24$ ore? Raza Pămîntului $R = 6400$ km.

$$R: T = 2\pi \left(1 + \frac{h}{R} \right) \sqrt{\frac{l}{g_0}} = \left(1 + \frac{h}{R} \right) T_0,$$

$$\Delta t = D \left(\frac{T_0}{T} - 1 \right) = -2,70 \text{ s, întârziere.}$$

57. Densitatea unui corp de mici dimensiuni este $\rho = 2,6 \cdot 10^3 \text{ kg/m}^3$. Acest corp este suspendat de un fir și determinat să oscileze într-un mediu cu densitatea $\rho_0 = 1,3 \text{ kg/m}^3$. Aflați ce relație există între perioada de oscilație T a pendulului care oscilează în acest mediu și perioada lui de oscilație în vid T_0 . Se neglijează forțele de frecare.

$$R: T = T_0 \sqrt{\frac{\rho}{\rho - \rho_0}}.$$

58. Știind că energia totală a unui oscilator armonic este $E = \frac{1}{2} kA^2$ și energia potențială $E_p = \frac{1}{2} ky^2$, să se reprezinte într-un sistem de axe E și y graficul energiei cinetice și potențiale a oscilatorului armonic.

59. O oscilație armonică $y = A \sin \omega t$ se propagă ca o perturbație transversală cu viteza $v = 7,5 \cdot 10^{-3}$ m/s de la origine de-a lungul axei x , $A = 1 \cdot 10^{-2}$ m și $\omega = \pi/2$ rad/s. Să se determine: a) perioada T , frecvența ν și lungimea de undă λ , b) ecuația undei; c) imaginea momentană (un desen la scară) a perturbației după $t_1 = 4$ s, $t_2 = 6$ s; $t_3 = 9$ s

60. Legea de propagare a undei plane într-un mediu elastic, omogen și izotrop este $u = A \sin 2\pi \left(\frac{t}{T} - \frac{x}{\lambda} \right)$. a) Cum se reflectă planecitatea undei în această expresie? b) Ce condiție trebuie pusă intervalului de timp t , pentru ca expresia matematică a legii să aibă sens fizic?

R: dacă unda pleacă din $x = 0$ la $t = 0$ atunci $\frac{t}{T} - \frac{x}{\lambda} \geq 0$ sau $t \geq \frac{x}{v}$.

61. Două surse de oscilație S_1 și S_2 emit unde de amplitudine $A_1 = 2$ mm și respectiv $A_2 = 5$ mm. Frecvența undelor emise este $\nu = 160$ Hz, iar viteza lor de propagare în mediul considerat este $v = 320$ m/s. Să se afle amplitudinea de oscilație a unui punct situat la distanța $x_1 = 6,5$ m de prima sursă și $x_2 = 32/3$ m de a doua sursă, știind că cele două surse oscilează în fază

R: $A = 6,8$ mm

62. O săniuță de masă m alunecă liber pe un plan inclinat de la o înălțime h , apoi se oprește undeva pe planul orizontal. Ce lucru mecanic trebuie efectuat pentru a aduce săniuța înapoi la locul de plecare?

R: $2mgh$.

63. De ce vina de apă dintr-un robinet (în curgere lentă și lină, neturbulentă) se îngustează treptat pe măsură ce coboară?

R: $Sv = \text{const}$, v crește, deci S scade.

64. Putem măsura masele cu un dinamometru, dacă avem la dispoziție și o cutie cu etaloane de masă?

R: da (prin metoda substituției).

65. Un corp este tirat uniform pe un plan orizontal cu unghiul de frecare φ , cu ajutorul unei forțe care face unghiul α cu orizontala. Pentru ce valoare a unghiului α forța de tracțiune va fi minimă?

R: $\alpha = \varphi$ (unghi de frecare).

66. Doi pescari trebuie să treacă peste un riu exact în punctul opus. Amândoi visleșc cu aceeași viteză $v_b = 2,0$ m/s față de apă, iar viteza apei este peste tot $v_a = 1,2$ m/s. Primul orientează barca astfel încât înaintează rectiliniu și ajunge exact în punctul opus într-un timp t_1 . Celălalt orientează barca perpendicular pe țărm, ajunge lângă celălalt mal, apoi vislește de-a lungul acestui mal până ajunge în același punct final în timpul t_2 . Care este raportul t_1/t_2 ?

$$R: t_1/t_2 = \sqrt{\frac{v_b - v_a}{v_b + v_a}} = 1/3.$$

67. Un pescar mergînd cu barca în susul râului scapă, în dreptul unui pod, un colac în apă. După un timp $\tau = 1/2$ h își dă seama de aceasta și se întoarce înapoi, găsind colacul la distanța $d = 5,0$ km mai departe de pod. Care este viteza apei, dacă pescarul vislește mereu cu aceeași intensitate? Care sistem de referință este mai potrivit?

$$R: SC \text{ legat de apă; } v = d/2\tau = 5,0 \text{ km/h.}$$

68. Experiența arată că particulele mici care cad liber în aer întâmpină din partea aerului o forță de rezistență (de frecare) proporțională cu viteza particulei și orientată în sensul opus vitezei: $\vec{F}_r = -k\vec{v}$, unde k este o constantă de proporționalitate. Viteza acestor particule atinge destul de repede o valoare maximă (limită) constantă. Să se calculeze această viteză limită de cădere liberă, dacă masa particulelor este $m = 10$ mg și constanta de proporționalitate $k = 2,0 \cdot 10^{-3}$ N · s/m.

$$R: v = mg/k = 4,9 \text{ cm/s.}$$

69. O bilă de masă $m = 100$ g este suspendată printr-un fir de tavanul unui vagon. Când vagonul merge uniform frînat, firul cu bila se află în echilibru relativ, deviat cu unghiul $\theta = 60^\circ$, față de verticală. Să se afle accelerația vagonului și tensiunea din fir.

$$R: a = -g \tan \theta = -17 \text{ m/s}^2; T = mg/\cos \theta = 1,96 \text{ N.}$$

70. Un tren începe să frîneze uniform, parcurgînd astfel o distanță $s = 180$ m până la oprire. Un pendul simplu suspendat în vagon este deviat (la echilibru relativ) cu unghiul $\theta = 5^\circ$ în timpul frînării. Care a fost viteza inițială a trenului?

$$R: v_0 = \sqrt{2gs \cdot \tan \theta} = 17,6 \text{ m/s.}$$

71. Un corp este aruncat (în vid) cu viteza inițială $v_0 = 20$ m/s sub un unghi $\alpha_0 = 45^\circ$ față de orizontală. După cît timp și la ce înălțime vectorul vitezei formează un unghi $\alpha = 30^\circ$ cu orizontala?

$$R: t = \frac{v_0}{g} \cos \alpha_0 (\tan \alpha_0 - \tan \alpha) = 0,63 \text{ s;}$$

$$y = \frac{1}{2g} v_0^2 \cos^2 \alpha_0 (\tan^2 \alpha_0 - \tan^2 \alpha) = 6,8 \text{ m.}$$

72. Două corpuri sînt aruncate simultan din același punct cu aceeași viteză inițială $v_0 = 10$ m/s sub unghiurile $\alpha_1 = 30^\circ$, respectiv $\alpha_2 = 60^\circ$. Care este distanța d dintre corpuri după $t = 2,0$ s?

$$R: d = 2v_0 t \sin(\alpha_2 - \alpha_1)/2 = 11,3 \text{ m.}$$

73. O țintă de pe un deal se vede sub unghiul β față de orizontală. Distanța pe orizontală pînă la țintă este d . Știind viteza inițială v_0 a obuzului, să se afle unghiul α_0 de tragere. Care este viteza minimă necesară pentru a atinge ținta?

$$R: \tan \alpha_0 = \frac{v_0^2}{gd} \pm \sqrt{\frac{v_0^4}{g^2 d^2} - \frac{2v_0^2}{gd} \tan \beta - 1}; v_0 \geq \sqrt{\frac{gd}{\cos \beta} (\sin \beta + 1)}.$$

74. Un corp este așezat pe un plan înclinat de unghi $\alpha = 60^\circ$, fără frecări. Cu ce accelerație va aluneca liber corpul de-a lungul planului înclinat, dacă acesta este împins cu o accelerație orizontală $a' = 5,0 \text{ m/s}^2$?

$$R: a = g \sin \alpha + a' \cos \alpha = 6,2 \text{ m/s}^2 \text{ sau } 10,7 \text{ m/s}^2.$$

75. Într-un lift care se mișcă cu o accelerație $a' = 2,2 \text{ m/s}^2$ îndreptată în sus, este fixat pe podea un plan înclinat neted fără frecări, care formează un unghi $\alpha = 30^\circ$ cu podeaua. Cu ce accelerație va coborî liber de-a lungul planului, un corp de masă $m = 1,0 \text{ kg}$ așezat pe acest plan înclinat? Care va fi apăsarea pe plan?

$$R: m g \sin \alpha = m(a - a' \sin \alpha); N - m g \cos \alpha = m a' \cos \alpha, \text{ de unde } a = (g + a') \sin \alpha = 6,0 \text{ m/s}^2; N = m(g + a') \cos \alpha = 10,4 \text{ N}.$$

76. De o parte și de alta a unui dublu plan înclinat (unghi diedru cu unghiurile $\alpha_1 = 30^\circ$ și $\alpha_2 = 60^\circ$ față de orizontală, sînt așezate două corpuri de masă m_1 , respectiv m_2 , legate printr-un fir trecut peste un scripete ideal din vârful planului. Se neglijează frecările. Diferența de nivel dintre corpuri este inițial $h = 1,00 \text{ m}$. După $\tau = 0,70 \text{ s}$ cele două corpuri ajung la același nivel. Care este raportul maselor?

$$R: m_2/m_1 = \frac{g\tau^2(\sin \alpha_1 + \sin \alpha_2)\sin \alpha_1 + 2h}{g\tau^2(\sin \alpha_1 + \sin \alpha_2)\sin \alpha_2 - 2h} = 3,0.$$

77. De ce la elicoptere, pe lângă elicea mare cu axa verticală, mai există încă o elice mică la coadă, cu axa orizontală?

R: pornind elicea mare, corpul elicopterului s-ar roti în sens invers (conservarea momentului cinetic), ceea ce este împiedicat de elicea mică.

78. Într-o barcă aflată pe un lac stau la capete doi elevi. Masa lor și a bărcii este M . Primul elev aruncă celui de-al doilea o minge de masă m cu viteza u față de apă. Cu ce viteză relativă va lovi mingea pe al doilea elev?

$$R: v_{rel} = u \frac{M + m}{M}.$$

79. Un corp de masă m_1 lovește cu viteza v_1 un alt corp de masă m_2 aflat în repaus. După ciocnire direcțiile de mișcare ale corpurilor formează unghiurile θ_1 , respectiv θ_2 cu direcția inițială de mișcare (\vec{v}_1) a primului corp. Să se afle vitezele finale.

$$R: v_1' = \frac{v_1 \sin \theta_2}{\sin(\theta_1 + \theta_2)}; v_2' = \frac{m_1}{m_2} \frac{v_1 \sin \theta_1}{\sin(\theta_1 + \theta_2)}.$$

80. Pe o masă este întins un lanț. Un capăt al lanțului, de care este prins un corp greu de dimensiuni neglijabile, atîrnă liber peste marginea mesei. Cînd porțiunea de lanț de pe masă are lungimea l_0 , lanțul începe să alunece. Să se calculeze viteza lanțului în momentul cînd el părăsește masa.

$$R: v = \sqrt{g l_0}$$

Indicație: dacă m este masa lanțului și M masa corpului greu atunci inițial: $Mg + m \frac{l-l_0}{l} g = \mu m \frac{l_0}{l} g$. Scăderea energiei potențiale $\left(M + m \frac{l-l_0}{l} \right) g l_0 + m \frac{l_0}{l} g \cdot \frac{l_0}{2}$ este egală cu energia cinetică $(M + m)v^2/2$ plus lucrul mecanic al forței de frecare $\mu m \frac{l_0}{l} g \cdot \frac{l_0}{2}$.

